INFORME TÉCNICO DE LA TEMPORADA DE CAMPO 2015-2016

DEL PROYECTO ARQUEOLÓGICO Y PALEOECOLÓGICO

EL PRECERÁMICO DEL VALLE DE NOCHIXTLÁN

QUE PRESENTA AL

INSTITUTO NACIONAL DE ANTROPOLOGÍA E HISTORIA

el Director del Proyecto

Arthur A. Joyce
Department of Anthropology
University of Colorado
Campus Box 233
Boulder, CO 80309-0233
EE.UU.

Elaborado por:

Aleksander Borejsza
Jonathan C. Lohse
y
Arthur A. Joyce

12 de diciembre de 2017

CONTENIDO

Índice de figuras y tablas....3
Agradecimientos....9
1. Antecedentes y alcance del proyecto....11
1.1. Presentación....11
1.2. El Precerámico en las tierras altas de Mesoamérica....11
1.3. Antecedentes regionales....16
2. Trabajos en Yuzanú 50....26
2.1. Ubicación y contexto geomórfico....26
2.2. Secuencia estratigráfica y marco cronológico preliminar....31
2.3. Estrategia de excavación y muestreo....44
2.4. Los artefactos y ecofactos encontrados....50
2.5. Relevancia de los hallazgos....54
3. Trabajos en Yuzanú 36....72
3.1. Ubicación y contexto geomórfico....72
3.2. Secuencia estratigráfica y marco cronológico preliminar....77
3.3. Estrategia de excavación y muestreo....91
3.4. Los elementos, artefactos y ecofactos encontrados....96
3.5. Relevancia de los hallazgos....113
4. Registro de materiales....147
5. Análisis de la lítica tallada de Yuzanú 50....276
6. Cédulas de sitio....294
Obras citadas....299

ÍNDICE DE FIGURAS Y TABLAS

Figura 1.1. Ubicación de los dos sitios excavados.

Tabla 1.1. Fechamientos por radiocarbono de los que hace mención el informe. Todas las mediciones se hicieron por espectrometría de masas (AMS). Para las calibraciones, se usó el programa CALIB en su versión 7. Todos los valores están redondeados a 10 años.

Figura 2.1. Yuzanú 50 y localidades cercanas antes de la excavación, viendo río abajo. Para la estratigrafía de Yuz25 y Yuz26, véase Joyce et al. (2012).

Figura 2.2. Yuzanú 50 antes de la excavación, viendo río arriba.

Figura 2.3. Croquis de ubicación y contexto geomórfico del sitio Yuzanú 50 y localidades cercanas.

Figura 2.4. Preparación del área de excavación en Yuzanú 50.

Figura 2.5. Yuzanú 50 y localidades cercanas durante la excavación, viendo río abajo.

Figura 2.6.Yuzanú 50. Columna estratigráfica.

Figura 2.7. Corte estratigráfico en 500E.

Figura 2.8. Yuzanú 50. Retícula y orden de la excavación.

Figura 2.9. Talud intacto antes de iniciar la excavación del primer bloque. La superficie del área de excavación se encuentra en el contacto superior de la zona 63.

Figura 2.10. Excavación del primer bloque de seis cuadros incompletos. En el cuadro del extremo izquierdo se está llegando a la superficie de ocupación.

Figura 2.11. Excavación por cuadrantes en el tercer bloque de seis cuadros.

Figura 2.12. Herramienta bifacial (objeto 204) aislada expuesta en el lote 6163SW.

Figura 2.13. Yuzanú 50. Índice gráfico de los lotes de excavación.

Figura 2.14. Remoción del relleno de una grieta antes de iniciar la excavación del lote 6039.

Figura 2.15. Excavación de la superficie de ocupación. Preforma bifacial (objeto 125) en el primer plano y astrágalo de venado (objeto 121) en el segundo

Figura 2.16. Desechos de talla lítica en la superficie de ocupación. Contacto superior de la zona 69, lote 6052SW. Contraste acentuado en Photoshop.
Figura 2.17. *Ribbon flake* (objeto 97) en el lote 6059NW. Nótese posición casi vertical.
Figura 2.18. Desechos de talla lítica en los cuadrantes NW y SW del lote 6059.
Los cuadrantes NE y SE del mismo lote permanecen sin explorar. Contraste acentuado en Photoshop.
Figura 2.19. Preforma bifacial (objeto 125) y otros desechos de talla lítica en el lote 6072SE.
Figura 2.20. Yuzanú 50. Distribución horizontal de hallazgos en la superficie de ocupación. 125=preforma bifacial; 204=herramienta bifacial; 206=raedera.
Figura 2.21. Unidad más profunda después de la remoción de los lotes 6148 y 6149. Zonas 63-76 expuestas en el plano de 500E y canaletas de muestreo micro-morfológico.
Figura 2.22. Pelvis de gliptodonte (objetos 195 y 197) en la unidad más profunda. Personal del INAH está consolidando el hueso in situ.

Figura 3.1. Barranca de Nechixa, viendo río arriba hacia Las Conchas.
Figura 3.2. La misma barranca a la altura de Yuz35 y Yuz36, viendo río abajo.
Figura 3.3. Yuz36 durante los trabajos exploratorios de 2012. La excavación del sondeo se encuentra al nivel de la zona 15. Nótese su deslizamiento hacia la izquierda. col.=columnas de descripción y muestreo estratigráficos (compárese con la Figura 3.8).
Figura 3.4. Yuz36 al iniciar los trabajos de 2016.
Figura 3.5. Yuz36 en una etapa avanzada de las excavaciones.
Figura 3.6. Yuz36 rellenado al finalizar la temporada.
Figura 3.7. Croquis de ubicación y contexto geomórfico del área excavada del sitio Yuzanú 36.
Figura 3.8. Yuz36. Columnas estratigráficas.

Figura 3.9. Pared norte del área de excavación. La numeración del extremo derecho de la imagen es la de la columna estratigráfica Yuz36-2.
Figura 3.10. Grieta y falla en la pared este del área de excavación. A la izquierda de la falla, los depósitos culturales asociados con la zona 15 están intactos; a la derecha sumamente perturbados.
Figura 3.11. Topografía accidentada del límite superior de la zona 15 expuesta entre 48N, 50N, 44E y 50E. La falla con deslizamiento mayor es la misma que en la Figura 3.10 y la que definió el límite sur del área de excavación controlada.
Figura 3.12. Falla atravesando gravas fluviales en la zona 16. Se trata de la misma falla que delimita el lado este del bloque caído en la Figura 3.11. Nótese el canto quebrado.
Figura 3.13. Corte estratigráfico en 48N.
Figura 3.14. Yuz36. Retícula y orden de la excavación.
Figura 3.15. Excavación de la zona 15 por cuadros y cuadrantes. Las cubetas pintadas indican la proveniencia de la tierra por cribar.
Figura 3.16. Dibujo y registro individual de las piedras en el relleno de un hogar. Elemento 44.
Figura 3.17. Yuz36. Índice gráfico de lotes excavados por cuadro.
Figura 3.18. Yuz36. Índice gráfico de lotes usados para la excavación de elementos.
Figura 3.19. Yuz36. Índice gráfico de lotes usados para la excavación de las zonas 16 y 17. Se exceptúan los lotes excavados por cuadro (véase Figura 3.17)
Figura 3.20. Yuz36. Índice gráfico de lotes usados para la limpieza de cortes estratigráficos y algunas otras operaciones.
Figura 3.21. Uso de aspersor para humedecer superficies por excavar al día siguiente.
Figura 3.22. Máquina de flotación y cribado en húmedo.
El agua se recicla circulando entre los tres contenedores, en el orden marcado.
Figura 3.23. Elementos de generación IV en el límite superior de la zona 15.

Figura 3.24. Límite superior de la zona 15 en el extremo este del área de excavación. En el cuadro inferior izquierdo queda aún el aluvión de baja energía que la sepultó. La flecha apunta hacia el centro del elemento 5. Compárese con las Figuras 3.23 y 3.25.
Figura 3.25. Elemento 5 y el límite superior de la zona 15 en sus alrededores. Viendo hacia el Oeste de la retícula. Note la abundancia de carbón.
Figura 3.26. Elemento 20. El Norte de la retícula está hacia abajo.
Figura 3.27. Piedras con fractura térmica en el límite superior de la zona 15. Extremo oeste del área de excavación. El Norte de la retícula está hacia abajo.
Figura 3.28. Elemento 1 al aparecer en el límite superior de la zona 15.
Figura 3.29. Elemento 1 después de quitar su relleno.
Figura 3.30. Elementos de generaciones I-III y cortes estratigráficos dibujados. Se muestra la extensión máxima de los elementos. Los elementos 32 y 39 pertenecen a la generación II.
Figura 3.31. Boca del elemento 40 al aparecer bajo el lote 4083. El extremo oeste del elemento permanece aún oculto abajo de la zona 15.
Figura 3.32. Elemento 37 seccionado a lo largo de 49.5 N.
Figura 3.33. Elemento 38 expuesto en el corte de 48 N.
Figura 3.34. Extremo noreste del elemento 39 expuesto después de excavar el lote 4081.
Figura 3.35. Objeto 920 - posible cuenta de piedra - encontrado en el elemento 37. Su diámetro es del orden de 1cm.
Figura 3.36. Negativo del elemento 40 al Oeste de 47E, con el objeto 1303 in situ.
Figura 3.37. Objeto 1303 - una piedra con ranura - encontrado en el elemento 40.
Figura 3.38. Negativo del elemento 52 al excavar el lote 4213. B. = bloque apartado para análisis micromorfológico.
Figura 3.39. Boca del elemento 43 al excavar los lotes 4107 y 4109.
Figura 3.40. Elemento 41 después de excavar el lote 4104. Nótese la orilla del elemento enrojecida por el fuego.
Figura 3.41. Elemento 44 y alrededores después de excavar los lotes 4133 a 4136. Las flechas negras señalan agregados de la zona 16 redepositados en la zona 15T.

Figura 3.42. Elemento 44 y alrededores durante la excavación del lote 4147. El elemento 47 no parece cultural. El Norte de la retícula está hacia abajo.
Figura 3.43. Negativos de los elementos 44A y 44B y alrededores durante la excavación de la zona 15T por medio del lote 4154.
Figura 3.44. Boca del elemento 59 después de excavar el lote 4249. El Norte de la retícula está hacia la derecha.
Figura 3.45. Elemento 59 durante la excavación del lote 4251. Orientación y escala igual que en la figura anterior.
Figura 3.46. Elemento 59 después de excavar el lote 4271.
Figura 3.47. Elemento 59 durante la excavación del lote 4277.
Figura 3.48. Acercamiento del metlapil de la figura anterior. Nótese el residuo en el borde.
Figura 3.49. Residuo de sustancia amarillenta abajo del metlapil.
Figura 3.50. Zona 59-3 expuesta después de excavar el lote 4279. La escala descansa en un bloque apartado para análisis micromorfológico.
Figura 3.51. Elemento 60 expuesto en el corte de 43 E.
Figura 3.52. Gravas fluviales en la zona 16, el elemento natural 62. Después de la excavación del lote 4147.
Figura 3.53. Gravas fluviales en las zonas 16 y 16T, el elemento natural 63. Después de la excavación de lotes 4207 a 4209.

Tabla 4.1. Registro general de lotes de excavación y muestreo del sitio Yuzanú 50.
Tabla 4.2. Registro general de lotes de excavación y muestreo del sitio Yuzanú 36.
Tabla 4.3. Registro general de objetos numerados.

Figura 5.1. Ancho y grosor de las lascas de Yuzanú 50.
Figura 5.2. Ejemplo de la curvatura de una lasca de Yuzanú 50, comparada con la de la preforma bifacial recuperada en el mismo sitio.

Figura 5.3. Ejemplo de una lasca "típica" de Yuzanú 50, resultado del adelgazamiento de bifaces.

Figura 5.4. Ejemplo de una terminación sobrepasada controlada. Hay dos ejemplares en la colección que muestran claramente esta característica.

Figura 5.5. Las dos lascas con huellas de uso recuperadas en Yuzanú 50. A: objeto 81 (lote 6062); B: objeto 165 (lote 6072).

Figura 5.6. El objeto 204, una herramienta bifacial ovalada usada a manera de cuchillo.

Figura 5.7. El objeto 206, una herramienta bifacial tosca, usada a manera de raedera.

Figura 5.8. Ambas caras del objeto 125, una preforma bifacial. En la Figura 5.2 se puede apreciar una vista transversal que muestra la vesícula que contribuyó a que el artefacto se quebrara.

Figura 5.9. El objeto 125 de Yuzanú 50 comparado con algunos bifaces clovis clasificados en función de la etapa de reducción a la que pertenecen. Datos expresados en dimensiones absolutas, en milímetros. Datos comparativos tomados de Lohse et al. (2014b: figura 9.5).

Figura 5.10. El objeto 125 de Yuzanú 50 comparado con algunos bifaces clovis clasificados en función de la etapa de reducción a la que pertenecen. Datos expresados en términos proporcionales, sin dimensión. Datos comparativos tomados de Lohse et al. (2014b: figura 9.5).

Figura 5.11. Objeto 34, un fragmento de un hueso largo de un animal del tamaño de un venado, con huellas de corte.

Figura 5.12. Ejemplo de la primera variedad de materia prima presente en Yuzanú 50. El bloque de la izquierda fue recolectado en un afloramiento natural.

Figura 5.13. Ejemplos de la segunda variedad de materia prima presente en Yuzanú 50.

Figure 5.14. Dos lascas remontadas que representan un solo bifaz, hecho de la tercera variedad de materia prima presente en Yuzanú 50.

AGRADECIMIENTOS

Agradecemos en primera instancia la autorización otorgada por el Consejo de Arqueología presidido por María de los Ángeles Olay Barrientos para llevar a cabo los trabajos descritos en este informe, así como el apoyo del Centro Regional Oaxaca presidido por Sergio Bautista Orzuna. La National Geographic Society y la Fundación Wenner-Gren para la Investigación Antropológica proporcionaron la mayor parte de los fondos necesarios para la temporada de campo, complementados por los apoyos financieros directos y de infraestructura por parte de la Universidad de Colorado (Center to Advance Research and Teaching in the Social Sciences) y la Universidad Autónoma de San Luis Potosí (Facultad de Ciencias Sociales y Humanidades). Con Lorenzo Vázquez Selem quedamos en deuda por cubrir los gastos del fechamiento inicial del sitio Yuzanú 50 y por alentar y enriquecer nuestras investigaciones con sus perspicaces observaciones.

La temporada de campo y la elaboración de este informe no habrían sido posibles sin las más diversas contribuciones de Isabel Rodríguez López, quien organizó buena parte de la logística de los trabajos de campo y laboratorio y participa en ellos desde su inicio hasta el día de hoy. Jorge Alberto Ortiz Hernández y Andrea Reyes Vargas trabajaron arduamente a lo largo de toda la temporada de campo. Agradecemos también las visitas e intervenciones más breves de otros colegas, entre quienes queremos destacar, en orden cronológico, a Stephanie Orsini, Joaquín Arroyo Cabrales, Iván Alarcón Durán, Luis Morett Alatorre y Elma Judith Ramírez Hernández.

Más allá del ámbito académico, deseamos expresar nuestro profundo reconocimiento a los habitantes de Yanhuitlán, con quienes tuvimos la oportunidad de convivir y compartir un sinnúmero de experiencias inolvidables a lo largo de cinco meses. Se trató, para quienes suscribimos este informe, de un cúmulo de lecciones de vida que no se imparten en ninguna aula. Los trabajadores que permanecieron con nosotros a lo largo de la mayor parte de la temporada – Venancio Hernández Miguel, Honorio Bautista José, Antonio Cruz Viloria, Víctor Guadalupe Montesinos Gómez y Leoncio

Enrique Rodríguez Miguel – nos impresionaron con su trabajo arduo, la ejecución meticulosa de las tareas encomendadas, la aguda percepción de las cualidades de la tierra y de los artefactos más minúsculos durante la excavación, así como por su capacidad de mantener un buen humor aun en los días más aciagos. Agradecemos también las participaciones más breves pero igualmente comprometidas de Jorge Luis Cruz Santiago, Guadalupe Bautista Cruz, Pablo Cruz Cruz y César Geovani Santiago Jiménez. Igual que en ocasiones anteriores, el proyecto se enriqueció enormemente a través de las conversaciones que tuvimos con Julio Ángel Miguel Ramírez y Guadalupe Pérez Juan. El conocimiento que ambos tienen de la región corrigió, en más de una ocasión, el rumbo de nuestras investigaciones, señalando caminos que no hubiéramos encontrado sin ellos. Los familiares de ambos, así como los de Xóchitl Ramírez Miguel, (Soledad Miguel Ramírez, Fabiola Montesinos, Alma Clara Miguel Montesinos, Isabel Mota, Cecilia del Rocío Pérez Mota, Jesús Ramírez, Julia Miguel Cruz, entre otros) nos recibieron siempre con mucha generosidad y contribuyeron al éxito del proyecto de mil maneras. Enumerarlas una por una requeriría de otro informe. Finalmente deseamos agradecer a las autoridades del pueblo su incondicional y desinteresado apoyo a las actividades del proyecto. El Comisariado de Bienes Comunales nos apoyó a lo largo de la temporada de las más diversas maneras y asumió la tarea de explicar a los comuneros lo que estábamos haciendo. Su presidente, Luis Noé Jiménez Gutiérrez, no escatimó ni tiempo, ni esfuerzo, ni recursos personales, conservando siempre la ecuanimidad y logrando sacarnos de varios apuros. La presidenta municipal, Luz Irene del Carmen Montes Lara, nos recibió siempre con los brazos abiertos. Le agradecemos su continua amistad, sus consejos y sus presentaciones con varias personas del pueblo y del mundo académico.

1. ANTECEDENTES Y ALCANCE DEL PROYECTO

1.1. Presentación

El informe que a continuación presentamos describe los resultados de los trabajos de campo llevados a cabo durante entre diciembre de 2015 y abril de 2016 por el Proyecto Arqueológico y Paleoecológico "El Precerámico del Valle de Nochixtlán" en el municipio de Yanhuitlán, Oaxaca. Los trabajos consistieron en la excavación extensiva de dos sitios precerámicos ocupados por grupos de cazadores-recolectores (Figura 1.1) y algunas observaciones adicionales de cortes estratigráficos expuestos en las paredes de las barrancas en sus inmediaciones. Ambos sitios están sepultados bajo espesores considerables de aluvión, lo que presenta varios retos logísticos para una excavación extensiva. En el primer sitio explorado, Yuzanú 50, se logró explorar un área de una extensión aproximada de 18m^2, a profundidades del orden de 13 a 15m. En el segundo, Yuzanú 36, el área explorada abarca aproximadamente 30m^2, a unos 5m de profundidad. Los fechamientos por radiocarbono (Tabla 1.1) colocan la ocupación de Yuzanú 50 cerca de 10,800 a.C., es decir a finales de la última glaciación y en el periodo cultural Paleoindio. La ocupación de Yuzanú 36 se ubica entre 3300 y 3100 a.C., en el periodo Arcaico tardío. En este primer capítulo exponemos el marco más amplio en el que se desarrollan nuestras investigaciones, mientras que en los capítulos 2 y 3 relatamos de manera detallada los trabajos llevados a cabo, respectivamente, en Yuzanú 50 y Yuzanú 36. Los índices preliminares de los materiales recuperados ocupan el capítulo 4.

1.2. El Precerámico en las tierras altas de Mesoamérica

El Precerámico o la etapa lítica (sensu Lorenzo 1967) en México contiene las claves para elucidar algunas de las transiciones más importantes en la prehistoria de todo el continente americano. La investigación de la primera parte del Precerámico aborda por lo general la problemática de las adaptaciones humanas a los bruscos cambios climáticos en la transición entre el Pleistoceno y el Holoceno, la caza de los últimos representantes de la megafauna pleistocénica y la relación de ambos con patrones de movimiento y

subsistencia (para trabajos de los últimos veinte años véase p.ej. Carballal Staedtler 1997; Sánchez 2001; 2016; Morett Alatorre et al. 2003; Morett Alatorre y Arroyo Cabrales 2003; S. González et al. 2003; 2014; 2015; Arroyo Cabrales et al. 2006; 2007; 2010; Jiménez López et al. 2006a-b; 2010; 2011; 2014; Johnson et al. 2006; 2012; Gaines et al. 2009; Morales Mejía et al. 2009; Sánchez et al. 2009; 2014; 2015; Sánchez y Carpenter 2009; Jiménez López 2010; Ceballos et al. 2010; Ferrusquía Villafranca et al. 2010; Pérez Crespo et al. 2010; 2012; Acosta Ochoa y Pérez Martínez 2012; Mead et al. 2012; Mirambell 2012; A. González et al. 2014; Corona Martínez 2014; Acosta Ochoa 2014; Santamaría Estévez 2014). Para el Arcaico temprano y medio quedan por contestar varias preguntas importantes acerca de los procesos que llevaron a poblaciones de cazadores-recolectores a establecer patrones de movilidad y explotación de recursos naturales propios de cada región y a emprender los primeros pasos hacia la domesticación de ciertas plantas (además de los arriba citados, véase Voorhies et al. 2002; Voorhies 2004; 2013; Smith 2005; Faugère 2006; Acosta Ochoa 2008; 2010a; Mirambell y Morett Alatorre 2010; Zizumbo Villarreal y Colunga García Marín 2010; Piperno 2011). En el Arcaico tardío están las claves de los orígenes de la agricultura y vida sedentaria en México, uno de los pocos lugares en el mundo donde surgieron sin influencias externas (Lesure 2008; Lohse 2010; Acosta Ochoa 2010b; Kennett et al. 2010; Zizumbo Villarreal et al. 2012; McClung de Tapia y Acosta Ochoa 2015; Acosta Ochoa 2017). A pesar de la importancia fundamental de esta época para la prehistoria mundial, en los últimos veinte años el ritmo de las exploraciones de campo en México se ha ido rezagando en comparación con el Oriente medio, China y los demás centros de origen de agricultura. Además, la búsqueda de sitios del Arcaico se ha ido rezagando en comparación con la de sitios pleistocénicos.

En el Sur de México y norte de Centroamérica los sitios que tienen ocupaciones fechadas entre 10 000 y 8 000 a.C., a pesar de no ser los más antiguos, son muy escasos (Aveleyra 1964; MacNeish et al. 1975; Flannery 1986; Mirambell 2000; Morett Alatorre y Arroyo Cabrales 2003; S. González et al. 2003; 2015; Scheffler et al. 2012), de tal manera que el descubrimiento de tan sólo uno de ellos puede cambiar nuestra visión de ese

periodo. Las puntas acanaladas se consideran uno de los diagnósticos de este periodo, pero la mayoría de ellas carece de contexto estratigráfico o de un fechamiento confiable (Pearson 2002, 2004; Lohse et al. 2006). Dos lugares en particular, Ocozocoautla en Chiapas y Los Tapiales en los Altos de Guatemala son clave por contener puntas diagnósticas en contexto estratigráfico (Gruhn et al. 1977; Santamaría 1981; García Bárcena y Santamaría 1982; Santamaría Estévez y García Bárcena 1984a-b; 1989; Acosta Ochoa y Bate 2006; Acosta Ochoa 2008; 2010a; 2014; Acosta Ochoa y Pérez Martínez 2012). El abrigo de Los Grifos y Los Tapiales arrojan edades radiocarbónicas comprendidas entre 8930±150 y 9540±150 a.P. en el primero y de 10,700 a.P en el segundo. Hasta que se descubran más sitios y se fechen mejor los contextos, será difícil entender cómo estas tradiciones de puntas acanaladas, al parecer compartidas en un territorio muy amplio, dieron lugar a tradiciones más regionales. Las excavaciones más recientes en el abrigo de Santa Marta Ocozocoautla han recuperado polen de *Zea* sp. (teocintle o maíz) y *Theobroma* sp. (cacao) en niveles fechados entre 10,460±50 y 10,050±90 a.P., lo que sugiere una subsistencia de espectro amplio basada sobre todo en nichos ecológicos presentes en la orilla o en claros perturbados dentro de la franja de selva baja caducifolia (véase Piperno et al. 2007). Estos datos no sólo ponen en duda las nociones previas de la vida de los llamados paleoindios, sino también permiten formular hipótesis interesantes acerca de las adaptaciones a nichos ecológicos variados que debieron de ocurrir en los primeros milenios del Holoceno y el inicio de condiciones climáticas más estables y más parecidas a las actuales.

La evidencia de los desarrollos propios del periodo comprendido entre 8000 y 2000 a.C. es igualmente escasa, con no más de cincuenta sitios en toda Mesoamérica que cuenten con hallazgos en contexto estratigráfico, excavaciones controladas y una publicación final. Sabemos poco acerca de cuándo, dónde y por qué ciertos grupos humanos transitaron hacia la agricultura, la que entendemos como una dependencia alimenticia de especies domésticas y el cuidado de las mismas a través de todo el ciclo de vida de la planta, en parcelas bien definidas y desmontadas expresamente para tal propósito. Sabemos aun menos de cuándo, dónde y por qué transitaron hacia una vida

sedentaria, que asociamos con el uso repetido de las mismas parcelas y con la construcción de viviendas lo suficientemente duraderas como para mantenerse en pie de un año al otro (véase los debates alrededor de artículos recientes de Webster 2011; Killion 2013). En suma, en vista de la exigua base empírica de la que disponemos para hablar del Precerámico, cada nuevo hallazgo tiene el potencial de abrir nuevos caminos en las discusiones comparativas acerca de la dispersión de poblaciones humanas en nichos ecológicos nuevos, los orígenes de la domesticación de especies, la agricultura y la vida sedentaria.

La poca evidencia arqueológica que sí tenemos, así como una serie de modelos teóricos, sugieren que las planicies de inundación de las corrientes de agua, permanentes y efímeras, pudieron haber jugado un rol importante en varias de las transiciones que ubicamos en el Precerámico. Las planicies de inundación habrían sido un hábitat favorable para los recolectores y cazadores tempranos por varias razones. Sus comunidades vegetales suelen ser un poco peculiares y distintas de las comunidades 'clímax' definidas por Rzedowski (2006), tales como el bosque de pino-encino o la selva baja caducifolia. En su lugar, tenemos comunidades propias de lugares perturbados, adaptadas a las crecidas anuales y a veces a los altos niveles freáticos. En éstas suele haber una proporción y una densidad mayor de plantas anuales que invierten toda su energía en producir un órgano reproductivo (fruta, semilla) que madura en corto tiempo. Estas plantas suelen ser más maleables genéticamente y más susceptibles de ser objeto de recolección, manejo intencional y finalmente domesticación por parte de cazadores-recolectores. Los hábitats ribereños también atraen, tanto a los cazadores humano como a sus presas, por su gran biodiversidad, productividad y por la disponibilidad de agua dulce. Son particularmente atractivos para los herbívoros, por la gran abundancia de pastos y otras especies herbáceas. Es por ello que, a nivel mundial, han constituido muchas veces verdaderos corredores de difusión de plantas en vías de domesticación, de las técnicas de manejo que permitían asegurar su propagación y abundancia, así como de las mismas poblaciones humanas portadoras de tales prácticas (véase por ejemplo Bellwood 2005). En ambientes con importantes déficits estacionales

de agua, las planicies de inundación permitían adelantar la siembra, mientras que la fertilidad de sus suelos era renovada anualmente por las crecidas.

Los patrones de asentamiento documentados para el Preclásico temprano (1900-900 a.C.) en las tierras altas de México revelan una predilección muy acentuada por los fondos de los valles y lugares cercanos a los ríos (véase por ejemplo Flannery 1976; Kowalewski et al. 2009). Por lo tanto, parece lógico buscar sus antecedentes también a lo largo de las corrientes de agua. Con base en argumentos teóricos Flannery (1973) propuso que tanto la agricultura como la vida sedentaria en las tierras altas de México empezaron cuando las bandas del Arcaico tardío tomaron la decisión de congregarse por temporadas cada vez más largas cerca de las corrientes de agua. El atractivo mayor fue, primero, la cosecha del mezquite y otros recursos silvestres. Una vez que la productividad del maíz rebasó un cierto umbral, los mezquitales fueron desmontados y el atractivo mayor y las razones de la congregación tuvieron que ver cada vez más con sembrar y cuidar las milpas y con construir viviendas más duraderas (véase también MacNeish 1981). A nivel empírico, sin embargo, este modelo se ve apoyado por únicamente tres sitios precerámicos en ambientes ribereños, los tres excavados antes de 1968 (Flannery y Spores 1983). El más conocido es la mitad de una vivienda semi-subterránea, expuesta y excavada en la pared de un afluente del Río Salado, sitio del Valle de Tehuacán denominado Ts381 (MacNeish y García Cook 1975: 155-60). Incluso antes de que se dieran a conocer los pormenores de este hallazgo, Flannery (1972: 37) advertía que su importancia estaba siendo exagerada en la literatura secundaria. Antes había sido descubierto, en nuestra área de estudio, un horno fechado en ca. 2000 a.C., sepultado bajo varios metros de aluvión (Lorenzo 1958). El tercer sitio, Gheo-Shih en el Valle de Oaxaca, fue el único que no se encontraba profundamente sepultado, lo que permitió excavaciones un poco más extensivas. Éstas produjeron un conjunto de enigmáticos guijarros perforados, concentraciones de artefactos circulares interpretados como las huellas (negativas) de jacales circulares, así como un área pobre en artefactos delimitada por dos líneas de piedras que Marcus y Flannery (1996: 57-9) interpretan como una 'pista de baile'.

El reducido número de sitios precerámicos ribereños es sintomático de un sesgo muy fuerte de las investigaciones arqueológicas en contra de los sitios a cielo abierto, debido a que éstos suelen estar sepultados por espesores importantes de sedimentos aluviales (Borejsza et al. 2014). En su lugar se ha privilegiado hasta ahora la excavación de cuevas y abrigos rocosos, sobre todo aquéllos en los que un ambiente seco ha permitido una excelente conservación de materiales perecederos, incluidos los macrorrestos más antiguos de varias plantas domésticas y sus ancestros silvestres (MacNeish 1958; Byers 1967; MacNeish et al. 1975; Flannery 1986; Robles García y Martínez Tuñón 2011; Winter 2011). Sin embargo, como lo entendieron sus mismos descubridores los abrigos rocosos nunca fueron focos particularmente importantes para el asentamiento de edad precerámica. Esto nos ha conducido a una situación en la que hoy en día sabemos mucho más acerca de la domesticación de plantas que acerca de los lugares donde la gente vivía durante la mayor parte del año y donde cultivaba estas mismas plantas. La única manera de seguir investigando el papel que jugaron las planicies de inundación en la vida precerámica es excavando sitios cercanos a las corrientes de agua, sobre todo aquéllos que hayan sido rápidamente sepultados por una crecida, poniendo los vestigios a salvo de perturbaciones posteriores. El propósito fundamental de nuestro proyecto ha sido y sigue siendo poner todas estas suposiciones a prueba y contribuir a ampliar la base empírica para los debates sobre el Precerámico, llevando a cabo excavaciones en dos lugares de edades distintas, identificados como prometedores durante reconocimientos anteriores del Valle de Nochixtlán.

1.3. Antecedentes regionales

El Valle de Nochixtlán constituye la cuenca superior del Río Verde de Oaxaca y contiene la superficie cultivable plana más extensa de la Mixteca Alta. El valle abarca aproximadamente 500 km^2 en altitudes que van desde 2000 a 2900m s.n.m. Estas altitudes y el clima templado colocan el Valle de Nochixtlán por arriba del límite superior que se supone para la distribución de la variedad Balsas del teocintle, el ancestro del maíz hacia el cual apunta casi toda la evidencia genética (Doebley 2004;

Staller et al. 2006), así como fuera del área de distribución conocida de otras importantes plantas exitosamente domesticadas en Mesoamérica. Sin embargo, está a menos de 100km de la Depresión del Balsas, el Valle de Oaxaca y el Valle de Tehuacán, tres regiones propuestas por distintos investigadores como focos tempranos de la domesticación de plantas (MacNeish y Eubanks 2000; Piperno y Flannery 2001; Piperno et al. 2007; Smith 2005). Los ríos Yanhuitlán y Yucuita definen los dos brazos principales del Valle de Nochixtlán y suelen ser los únicos que mantienen un caudal perenne (Figura 1). Una densa red de afluentes de menor orden alimenta cada uno de ellos. Los afluentes suelen ser barrancas profundas que llevan agua únicamente después de los aguaceros de la temporada de lluvias. Sus paredes casi verticales cortan por lo general aluviones antiguos, dejando a la vista secuencias estratigráficas de muchos metros de espesor que abarcan buena parte de los últimos catorce mil años e incluyen múltiples paleosuelos.

El Valle de Nochixtlán ha atraído la atención de arqueólogos e historiadores desde una época bastante temprana. Excavaciones en varios sitios han permitido documentar ocupaciones desde 2500 a.C. hasta la época colonial (Caso 1938; Lorenzo 1958; Spores 1974; Winter 1982, 1994; Robles García 1986; 1988; Zárate 1987; Acosta y Romero 1992; Blomster 2004; Pérez Rodríguez et al. 2011; Pérez Rodríguez 2013). Un recorrido de superficie que abarcó todo el valle fue llevado a cabo por Spores (1972), seguido por recorridos que abarcaron algunas subáreas del mismo (Plunket 1983; Byland y Pohl 1994; Balkansky et al. 2004; Geurds y Jansen 2008; Pérez Rodríguez et al. 2011; Kowalewski et al. 2009). Hoy en día sabemos que el valle era habitado o por lo menos visitado por cazadores-recolectores, que tenía aldeas agrícolas permanentes hacia 1400 a.C. y sus primeros centros urbanos hacia 300 a.C. Existen asimismo varios trabajos del ámbito de las ciencias naturales, en los que se discutieron a fondo los cambios en la vegetación, hidrología y suelos que el valle ha sufrido bajo la influencia de más de tres mil años de agricultura sedentaria (Spores 1969; Kirkby, 1972; Joyce y Mueller 1997; Mueller et al. 2012). Antes del año de 2012, el único sitio precerámico excavado en el valle de manera controlada era el de Yuzanú (Lorenzo 1958). En otras partes de la

Mixteca Alta y Baja se reportan varios hallazgos de hueso de megafauna y en algunos casos, de artefactos asociados, pero parece tratarse en su mayoría de contextos más antiguos que 10,000 a.C. y depósitos formados bajo condiciones ambientales distintas (Pérez Crespo et al. 2008; Cruz et al. 2009; Jiménez Hidalgo et al. 2011; Arroyo Cabrales et al. 2012; Viñas Vallverdú et al. 2017)

El Valle de Nochixtlán ofrece una serie de condiciones muy propicias para la búsqueda y exploración de ocupaciones precerámicas. Las profundas barrancas han expuesto una serie de vestigios arqueológicos y paleontológicos que abarcan desde el Pleistoceno tardío hasta tiempos cerámicos. La multitud de sedimentos aluviales de distintas facies, así como los suelos que se formaron en algunos de ellos durante periodos de relativa estabilidad geomórfica permiten reconstruir los cambios en el medio ambiente acaecidos a lo largo de los últimos 14 mil años (Mueller et al. 2012). Los paleosuelos marcan a veces superficies de ocupación intactas, rápidamente sepultadas y por lo tanto con altas probabilidades de conservar aún las relaciones espaciales entre diferentes artefactos y ecofactos propias de su contexto sistémico original. La conservación del hueso se ve favorecida por la derivación de los aluviones de calizas y lutitas terciarias con un pH muy alto.

Las superficies de ocupación en estos contextos pueden reflejar un espectro bastante amplio de actividades, incluyendo expediciones de caza y eventos de destazado de presas, expediciones abocadas a la recolección de plantas, quemas intencionales de la vegetación ribereña, el acondicionamiento y cuidado de parcelas de cultivo, acampadas de corta duración, hasta el establecimiento de campamentos base y construcción de viviendas. Basamos estas suposiciones tanto en consideraciones de índole teórica esbozadas líneas arriba, como en nuestras investigaciones de campo anteriores y el hallazgo de una multitud de vestigios, sobre todo de épocas cerámicas. Entre éstas llaman la atención los lama-bordos (Pérez Rodríguez y Anderson 2013), un tipo de terraza agrícola de cauce. Existen altas probabilidades de que éstas tengan antecedentes en parcelas de edad precerámica (véase, entre otros, las sugerencias de Leigh et al. 2013 en este sentido). Las basamos también en los pocos hallazgos de indiscutible edad

precerámica, en los que nos enfocamos a continuación. Cabe señalar además que Joyce, Borejsza y asociados han concluido un reconocimiento amplio del sistema fluvial del valle, estableciendo un marco de referencia estratigráfico apoyado en decenas de fechamientos radiocarbónicos y una descripción de la geometría tridimensional de aluviones de distintas edades (Joyce y Mueller 1997; Mueller y Pou 2011; Joyce et al. 2012; Mueller et al. 2012; Borejsza et al. 2014). Esto nos permite anticipar la ubicación, accesibilidad y edad de distintos depósitos, a pesar de los deslaves y colapsos que sufren las paredes de las barrancas durante cada temporada de lluvias. Nos proporciona también un marco de referencia general en cuanto a las condiciones ambientales que prevalecieron en distintos momentos del Cuaternario tardío.

En cuanto a las ocupaciones paleoindias, en algunos ramales del sistema fluvial, y de manera más destacada en un tramo de aproximadamente un kilómetro ubicado hacia el Norte del actual pueblo de Yanhuitlán (Figura 1.1) abundan cortes estratigráficos en los que están expuestos paleosuelos que fechamos en la transición entre el Pleistoceno y Holoceno (ca. 12 000-8000 a.C.). Se trata de horizontes de suelo cumúlicos, formados bajo un régimen fluvial muy distinto al actual, cuando las actuales barrancas eran corrientes de agua más apacibles, con un caudal más constante, bordeadas por praderas que sin duda atraían a un buen número de herbívoros (Borejsza y Frederick 2010; Solís Castillo et al. 2012; Tovar et al. 2013; 2014a-b). Lo que parece apoyar esta inferencia es la importante cantidad de hallazgos de huesos de megafauna asociados con estos paleosuelos. Observamos algunos nuevos en prácticamente cada recorrido y los lugareños hablan de más. Es en el tramo fluvial mencionado que ubicamos y excavamos el sitio denominado Yuzanú 50.

En cuanto a las ocupaciones arcaicas, los depósitos de edad relevante abundan sobre todo a lo largo de la corriente recolectora que atraviesa el pueblo actual, así como en el curso bajo de algunos de sus afluentes. La importante cantidad de carbón presente en muchos depósitos aluviales del Arcaico tardío nos hacía sospechar desde hace tiempo un proceso de intensificación de incendios intencionales en el valle, quizás relacionado con las primeras actividades agrícolas. El lugar que escogimos para esta temporada

como representativo de este segundo extremo cronológico del Precerámico estaba acotado ya desde 2012 a un tramo de unos 30m de largo comprendido entre nuestras localidades Yuz35 y Yuz36, en una barranquilla que forma un afluente izquierdo de la corriente recolectora. A partir de este informe nos referimos a este afluente como la Barranca de Nechixa.

Cabe aclarar que en este informe nos referimos a la corriente recolectora como el Río Yuzanú, usando el topónimo que dio a conocer en su trabajo pionero Lorenzo (1958). Río arriba del pueblo de Yanhuitlán ésta es la corriente más larga y la que más caudal suele llevar. Pasa por el paraje de Yudayoo explorado en 2012 (Joyce et al. 2012), por el sitio excavado por José Luis Lorenzo, por Yuzanú 50, por el costado oriental del pueblo, abajo del puente de la carretera 195, para finalmente desembocar, al pie del Cerro Jazmín, en un río de orden mayor, que viene desde el noroeste. Es a este último río que nos referimos como el Río Yanhuitlán, y no al que pasa por el pueblo actual de Yanhuitlán. Estamos conscientes de que esta nomenclatura no es muy intuitiva y no necesariamente coincide con la de los propios habitantes del valle, quienes otorgan nombres distintos a distintos tramos de lo que nosotros llamamos Río Yuzanú y de lo que nosotros llamamos Río Yanhuitlán. Esta nomenclatura tiene, sin embargo, las ventajas de seguir un análisis geomórfico cuidadoso de los diferentes órdenes del sistema fluvial del Valle de Nochixtlán que realizamos para una publicación anterior (Mueller et al. 2012: figura 1) y de respetar la costumbre académica, arraigada desde los trabajos de la Universidad de Vanderbilt (Spores 1969; 1972; Kirkby 1972), de referirse a las dos principales corrientes del Valle de Nochixtlán que se unen en Etlatongo como los ríos Yanhuitlán y Yucuita.

La temporada 2015-2016 se basó en en un largo trabajo preparatorio, en particular nuestros reconocimientos exhaustivos de los ambientes aluviales del Valle de Nochixtlán desde la década de 1990. El modelo de los aluviones del Cuaternario tardío que hemos construido con base en estos reconocimientos nos permitió anticipar la ubicación de restos culturales y paleontológicos de determinadas edades y aumentó las probabilidades de recuperar muestras representativas de los mismos. Esto no significa

negar, por supuesto, que en última instancia en el descubrimiento puntual de los sitios Yuzanú 50 y Yuzanú 36 intervino también un elemento de suerte. Esperamos que los trabajos que se describen en los capítulos siguientes resulten la primera etapa de un programa de investigación que a largo plazo produzca algunas reconstrucciones del comportamiento humano frente a dos transiciones fundamentales del periodo precerámico: los cambios de patrones de movilidad y subsistencia en respuesta a los profundos cambios ambientales en la transición del Pleistoceno al Holoceno y, por otra parte, el surgimiento de la agricultura y la vida sedentaria a partir del Holoceno medio. Debido a la extrema escasez de trabajos recientes sobre sitios precerámicos, creemos que la adición de tan sólo dos localidades al conjunto de sitios conocidos podrá hacer una contribución significativa a los debates que ocupan a los prehistoriadores y permitirá contrastar el Precerámico de México, desde perspectivas novedosas, con periodos análogos en otras partes del mundo.

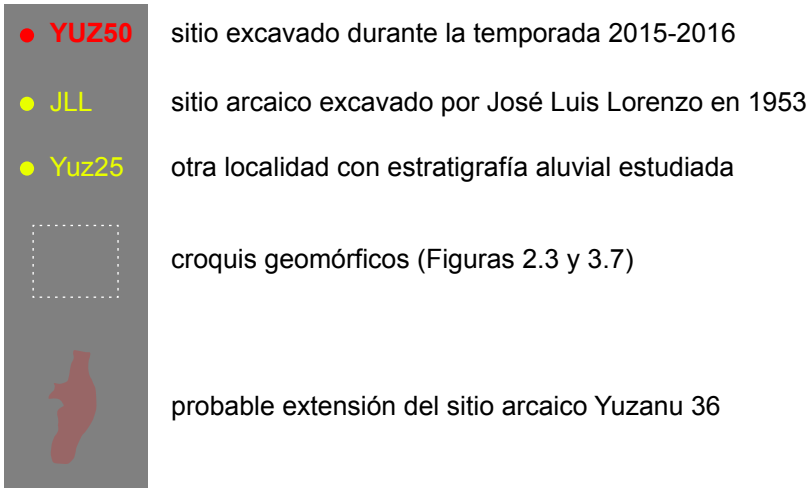
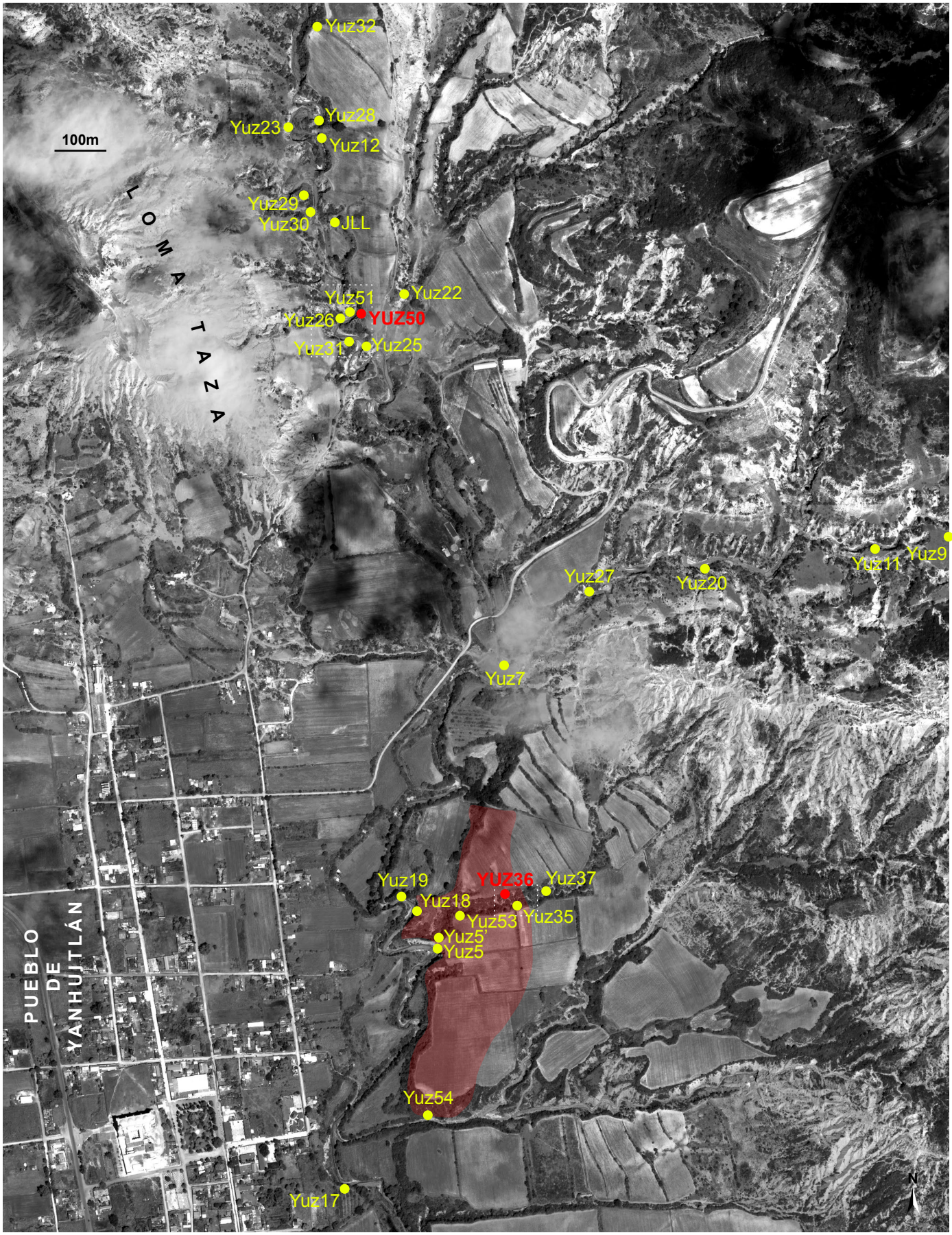


Figura 1.1. **Ubicación de los dos sitios excavados.**


Yuz32
Yuz28
Yuz23
Yuz12
100m
Yuz29
Yuz30
JLL
LOMA TAZA
Yuz51
Yuz22
Yuz26
YUZ50
Yuz31
Yuz25
Yuz9
Yuz11
Yuz27
Yuz20
Yuz7
Yuz19
YUZ36
Yuz37
Yuz18
Yuz53
Yuz35
Yuz5'
Yuz5
PUEBLO DE YANHUITLÁN
Yuz54
Yuz17
N

No. lab.	Proveniencia	Contexto	Material	$\delta^{13}C$	años ^{14}C a.P.	años cal. a.P.[a]	rango calibrado a.C./d.C. y su probabilidad relativa			
							1σ (68%)		2σ (95%)	
AA100986	Yuz25 zona 5 0.79m	paleosuelo con cerámica posclásica	carbón	-25.1	**556±34**	**540**	1320-1350 d.C. **1390-1420 d.C.**	0.46 **0.54**	1310-1360 d.C. **1390-1430 d.C.**	0.50 **0.50**
AA101002	Yuz25 zona 22 5.59m	arenas y limos aluviales	carbón	-22.5	**3559±36**	**3870**	**1960-1880 a.C.** 1840-1830 a.C. 1790-1780 a.C.	**0.88** 0.08 0.05	2020-1990 a.C. **1980-1860 a.C.** 1850-1770 a.C.	0.05 **0.72** 0.22
AA100987	Yuz25 zona 25 8.00m	gravas de paleocauce	carbón	-22.3	**3815±40**	**4200**	2340-2320 a.C. **2310-2200 a.C.** 2160-2150 a.C.	0.07 **0.88** 0.05	2460-2420 a.C. 2410-2380 a.C. 2370-2360 a.C. **2350-2140 a.C.**	0.05 0.05 0.01 **0.89**
Beta248941	Yuz5 suelo 1 0.9m	paleosuelo	materia orgánica total	-19.3	**4320±40**	**4870**	3010-2980 a.C. 2960-2950 a.C. **2940-2890 a.C.**	0.29 0.02 **0.69**	3080-3070 a.C. **3030-2880 a.C.**	0.01 **0.99**
D-AMS017586	Yuz36 zona 41-3	hogar	mezclado	-24.3	**4413±32**	**5000**	**3090-3010 a.C.** 2980-2940 a.C.	**0.74** 0.26	3320-3240 a.C. **3110-2920 a.C.**	0.09 **0.91**
AA101000	Yuz36 zona 15 cerca de contacto superior	paleosuelo quemado	carbón	-24.7	**4435±40**	**5010**	3320-3240 a.C. 3170-3160 a.C. **3110-3010 a.C.** 2980-2970 a.C. 2950-2940 a.C.	0.32 0.01 **0.63** 0.02 0.01	3330-3210 a.C. 3190-3160 a.C. **3130-2920 a.C.**	0.31 0.06 **0.64**
D-AMS016829	Yuz36 zona 15 cerca de contacto superior	paleosuelo quemado	carbón	-22.9	**4513±28**	**5150**	3340-3320 a.C. 3290 a.C. 3270 a.C. **3240-3170 a.C.** 3160-3110 a.C.	0.16 0.01 0.04 **0.45** 0.35	3350-3260 a.C. **3250-3100 a.C.**	0.34 **0.66**
D-AMS017587	Yuz36 zona 59-3	relleno de troncocónica	mezclado	-29.4	**4518±72**	**5120**	3350-3260 a.C. **3240-3100 a.C.**	0.38 **0.62**	3500-3460 a.C. **3380-3010 a.C.** 2980-2940 a.C.	0.03 **0.95** 0.03
Beta269780	Yuz5 suelo 3 4.5m	paleosuelo	materia orgánica total	-16.9	**6970±40**	**7790**	**5900-5790 a.C.**	**1.00**	5980-5950 a.C. **5920-5750 a.C.**	0.09 **0.91**
D-AMS106896	Yuz50 zona 63 cerca de contacto inferior	paleosuelo cumúlico junto a hueso de megafauna	carbón	-26.6	**8116±66**	**9060**	7290-7280 a.C. 7250-7230 a.C. **7190-7040 a.C.**	0.03 0.05 **0.92**	**7330-7000 a.C.** 6990-6980 a.C. 6970-6910 a.C. 6880-6830 a.C.	**0.90** 0.01 0.05 0.05
Beta438201	Yuz50 zona 69 lote 6072 SW	ocupación paleoindia	carbón	-26.7	**10,680±40**	**12,660**	**10,750-10,670 a.C.**	**1.00**	**10,760-10,620 a.C.**	**1.00**

No. lab.	Proveniencia	Contexto	Material	$\delta^{13}C$	años ^{14}C a.P.	años cal. a.P.[a]	rango calibrado a.C./d.C. y su probabilidad relativa			
							1σ (68%)		2σ (95%)	
GU44027	Yuz50 zona 69 lote 6166 NE	ocupación paleoindia	carbón	-22.1	**10,903±35**	**12,760**	**10,830-10,780 a.C.**	**1.00**	**10,870-10,760 a.C.**	**1.00**
GU44026	Yuz50 zona 69 lote 6058 SW	ocupación paleoindia	carbón	-24.1	**10,945±35**	**12,780**	**10,860-10,790 a.C.**	**1.00**	**10,940-10,760 a.C.**	**1.00**
GU44028	Yuz50 zona 69	abajo de ocupación paleoindia	carbón	-21.7	**11,065±36**	**12,930**	**11,050-10,910 a.C.**	**1.00**	**11,100-10,860 a.C.**	**1.00**
D-AMS016897	Yuz50 zona 70 lote 6137	paleosuelo cumúlico	carbón	-23.6	**11,066±41**	**12,930**	**11,060-10,910 a.C.**	**1.00**	**11,110-10,860 a.C.**	**1.00**
D-AMS017589	Yuz50 zona 69 lote 6163 SW	ocupación paleoindia	carbón	-20.9	**11,292±39**	**13,140**	**11,230-11,140 a.C.**	**1.00**	**11,290-11,120 a.C.**	**1.00**
D-AMS016899	Yuz50 zona 76	paleosuelo cumúlico gleyizado	carbón	-21.9	**11,471±67**	**13,330**	**11,460-11,310 a.C.**	**1.00**	**11,500-11,210 a.C.**	**1.00**
D-AMS017588	Yuz50 zona 68C/69 lote 6052 SW	ocupación paleoindia	carbón	-22.8	**11,491±40**	**13,340**	**11,440-11,340 a.C.**	**1.00**	**11,490-11,310 a.C.**	**1.00**
Beta232655	Yuz 12 suelo 1 7.7m	paleosuelo cumúlico	materia orgánica total	-21.3	**12,110±70**	**13,960**	**12,120-11,900 a.C.**	**1.00**	**12,190-11,820 a.C.**	**1.00**
Beta441723	Yuz50 zona 69 lote 6058 SW	ocupación paleoindia	mezclado	-21.7	**12,380±50**	**14,400**	**12,630-12,270 a.C.**	**1.00**	**12,810-12,190 a.C.**	**1.00**
Beta441724	Yuz50 zona 69 lote 6059 NE	ocupación paleoindia	mezclado	-20.4	**13,100±50**	**15,720**	**13,880-13,670 a.C.**	1.00	**14,000-13,520 a.C.**	**1.00**

Tabla 1.1. **Fechamientos por radiocarbono de los que hace mención el informe.**
Todas las mediciones se hicieron por espectrometría de masas (AMS).
Para las calibraciones, se usó el programa CALIB en su versión 7.
Todos los valores están redondeados a 10 años.

[a] Éste es unicamente un valor de referencia, calculado como la media del intervalo más probable de la calibración en 1σ.

2. TRABAJOS EN YUZANÚ 50

2.1. Ubicación y contexto geomórfico

La localidad que denominamos Yuzanú 50 (y abreviamos como Yuz50) se ubica hacia el Norte del pueblo actual de Yanhuitlán, en un ramal del sistema fluvial que en los mapas del INEGI aparece con la etiqueta de 'Yusatiagua'. Se trata de la prolongación, río arriba, de la misma corriente de agua que define el costado oriental del pueblo y que decidimos nombrar como el Río Yuzanú (véase sección 1.3 arriba). El tramo en cuestión corre aproximadamente de norte a sur y está fuertemente encajonado entre paredes casi verticales de más de 10m de altura. En las paredes se aprecian secuencias complejas de aluviones del Cuaternario tardío. El constante desgaste y frecuentes colapsos de estas paredes exponen periódicamente vestigios paleontológicos y arqueológicos sepultados: los muros de terrazas de cultivo del tipo lama-bordo y los huesos de megafauna extinta están entre los más comunes. El tramo ha llamado por lo tanto la atención de varios investigadores, invitando una intervención de José Luis Lorenzo en 1953. Lo que inició en aquel entonces como un intento de rescatar un esqueleto de mamut, desembocó en el descubrimiento de un horno de finales del Arcaico, fechado en ca. 2000 a.C. (Lorenzo 1958). A partir de los años 1990 visitas de Joyce y Mueller establecieron la presencia en este ramal de un complejo de paleosuelos cumúlicos común en todo el Valle Nochixtlán, que abarca la transición entre el Pleistoceno y el Holoceno (Mueller et al. 2012). En 2012 se llevaron a cabo trabajos más intensivos en este tramo. Examinamos varias secuencias aluviales que abarcan los niveles pleistocénicos (Yuz25, Yuz29, Yuz31), pero el principal esfuerzo de la temporada consistió en registrar y muestrear una serie de lama-bordos sepultados de diferentes edades, cuya construcción fechamos desde el Formativo hasta el siglo XX (Joyce et al. 2012).

El proyecto del que da cuenta este informe decidió regresar a este mismo tramo para enfocarse esta vez en los niveles más antiguos, representados por los paleosuelos cumúlicos que afloran por lo general al pie de las paredes. Terminamos escogiendo para la excavación un tramo de pared de barranca del lado izquierdo del cauce actual,

después de haber notado algunas lascas grandes de pedernal que se estaban cayendo de un afloramiento de los paleosuelos cumúlicos. La frecuente aparición de huesos y dientes de animales extintos en las inmediaciones – por ejemplo en las localidades Yuz25, Yuz26 y Yuz51 – ofrecía un aliciente adicional.

En los alrededores de Yuz50 están presentes aluviones de lo que hemos denominado ciclos de azolvamiento 3, 2 y 1. El ciclo 3 habría empezado a finales del Pleistoceno, en fechas cercanas a 12,000 a.C. (en años calibrados) prolongándose hasta el tercer milenio antes de Cristo. De esta manera, abarca casi todo lo que los arqueólogos denominamos como el periodo precerámico. En la base de esta unidad se presentan los mencionados paleosuelos cumúlicos. Más arriba, en un nivel que ubicamos en el Holoceno temprano (cerca de 7000 a.C.), el estilo de sedimentación cambia de manera radical, registrándose a partir de entonces una serie de aluviones de alta energía, interrumpidos sólo ocasionalmente por paleosuelos, la mayoría de ellos muy poco desarrollados y de valor limitado como marcadores estratigráficos que se pudieran correlacionar entre un ramal y otro. Aproximadamente en el tercer milenio a.C. el cauce del Yuzanú se volvió a encajonar, iniciándose con esto el ciclo de azolvamiento 2. La ocupación registrada por José Luis Lorenzo parece ubicarse en el tercio inferior de los aluviones de este ciclo. En el ciclo 2 las dinámicas naturales de sedimentación se vieron sumamente alteradas por el desmonte de las laderas de la cuenca con fines agrícolas y más directamente por la construcción de lama-bordos a lo largo del cauce. Un volumen importante de los aluviones de este ciclo representa el relleno acumulado en lama-bordos durante el Formativo, Clásico y Posclásico (ca. 1500 a.C.-1500 d.C.). Un nuevo encajonamiento ocurrió al parecer en el periodo colonial temprano (siglo XVI o XVII), seguido por la acumulación de gravas y aluviones más finos de color intensamente rojo, derivados de la erosión de la Formación Yanhuitlán. Aunque interrumpida por encajonamientos de menor envergadura, la sedimentación aluvial de un estilo semejante prosigue hoy en día, de tal manera que el mismo tipo de sedimentos predomina en el cauce activo, la planicie de inundación y las barras de arena y grava de fechas más recientes.

La arquitectura tridimensional de los aluviones en las inmediaciones de Yuz50 es sumamente compleja. No se conservan terrazas fluviales del ciclo 3; los aluviones de esa edad están sumamente fragmentados por los encajonamientos (incisiones) posteriores, de tal manera que por lo general se conservan únicamente los depósitos de la primera mitad del ciclo 3, surcados por discordancias erosivas. En cambio, la superficie de los aluviones del ciclo 2 forma las terrazas fluviales bien definidas a una altura de ca. 15m arriba del cauce actual; se trata de las superficies planas en ambos lados de la barranca. De lado izquierdo u oriental varias de ellas se aprovechan de manera intermitente como terrenos de cultivo. Del lado opuesto de la barranca, la superficie de esta misma terraza T2 está sepultada bajo una cuña de sedimento coluvial rojizo derivado de la erosión de la Formación Yanhuitlán a lo largo de una cresta conocida como la Loma Taza. Esta asimetría de los dos lados de la barranca indica que el encajonamiento que separa los ciclos de azolvamiento 2 y 1 se había iniciado antes de que se desencadenaran los procesos erosivos más fuertes en la Loma Taza y sus estribaciones. Siendo que uno de los barrios más densamente poblados de Yanhuitlán en el Posclásico se encontraba en la Loma Taza, nos inclinamos a asociar el encajonamiento 2/1 y una catastrófica aceleración de los aportes sedimentarios desde la Formación Yanuitlán con las convulsiones del periodo colonial, incluido el abandono de terrazas de habitación y cultivo en la laderas, así como la introducción del ganado. La abundancia de tepalcates posclásicos en la superficie de la terraza T2 y en los aluviones subyacentes parece apoyar esta cronología, aunque falta afianzarla por medio de más fechamientos radiométricos.

Si nos detenemos aquí en las dinámicas gemórficas posteriores al Precerámico, es porque éstas permiten entender y, en cierta medida, anticipar dónde se pueden conservar y dónde podrían estar visibles y accesibles para la excavación arqueológica las ocupaciones precerámicas. La conservación de los niveles más antiguos, aquéllos que correspondan al periodo paleoindio, está casi asegurada abajo de la terraza T2, ya que el encajonamiento 3/2 pocas veces penetró a una profundidad suficiente para removerlos. Sin embargo, donde la terraza T2 está intacta, los niveles de interés se encuentran sepultados por más de diez metros de aluviones del ciclo 2, lo que presenta retos

logísticos muy grandes para la excavación. Éste es el caso de la ocupación que excavamos en Yuz50. Condiciones similares imperan a lo largo de todos los "escarpes mayores" marcados en la Figura 2.3, incluidas las localidades Yuz25, Yuz31 y – río arriba del área mostrada en esa figura – en las localidades Yuz29, Yuz12, Yuz23 y Yuz28. En las partes en dónde la superficie de la terraza T2 está truncada por meandros más recientes, deslices de la pared de la barranca, o bien surcada por cárcavas, los aluviones del ciclo 3 se vuelven a menudo más accesibles. El encajonamiento 2/1 fue más profundo y por lo general más ancho que el 3/2, llegando a remover todos los aluviones anteriores, incluidos los paleosuelos cumúlicos de los inicios del ciclo 3. De esta manera, abajo de las terrazas T1, puede haber aún vestigios de los aluviones más antiguos del ciclo 3, o los mismos pueden estar ausentes. Éste es el caso, por ejemplo, de los terrenos escalonados en la orilla derecha del cauce actual río arriba de Yuz50 (Figura 2.3). Cerca del cauce activo los aluviones del ciclo 3 parecen estar ausentes, pero más lejos algunas cárcavas dejan entrever paleosuelos cumúlicos sepultados. Está geometría de los depósitos aluviales nos permitirá afirmar que lo que pudimos recuperar en Yuz50 sea tan solo la orilla de un sitio arqueológico más extenso; buena parte del mismo ha sido destruida y arrastrada por la corriente.

En Yuz50, la pared izquierda de la barranca, de unos 15m de alto, bordea un meandro abandonado (Figura 2.2, letra M en la Figura 2.3). El cauce actual de la barranca, en vez de seguir este meandro, sigue su curso al pie de la localidad designada como Yuz26. Lo angosto de la ruptura que separa Yuz26 del pedestal alargado que designamos como Yuz51, así como los testimonios de un vecino en sus setentas, nos hacen sospechar que el meandro fue abandonado hace relativamente poco, en la segunda mitad del siglo XX. Es posible que avenidas muy grandes todavía lleguen a inundar de agua y lodo el meandro. Cuando aún no existía la ruptura en cuestión el agua entraba en el meandro a lo largo del meandro anterior que da la vuelta hacia la izquierda dejando Yuz26 en su exterior o – durante avenidas fuertes – a lo largo del canal de corta que atraviesa las barras de grava en frente de Yuz26 (letra C en la Figura 2.3).

Antes de su separación reciente, Yuz51 y Yuz26 eran parte de la misma geoforma, una terraza fluvial erosiva (*cut-terrace*) rebanada por el encajonamiento 2/1 hasta aproximadamente la mitad del complejo de paleosuelos cumúlicos. En esta discordancia erosiva se depositó una capa de aluvión rojo y gravoso del ciclo 1, pero tan delgada y hoy en día tan fragmentada que no merece ser mostrada en la Figura 2.3 como parte de la terraza fluvial de acumulación (*fill-terrace*) T1. Más tarde, el meandro de Yuz50 y el cauce actual removieron los remanentes de los aluviones del ciclo 3, delimitando en todos sus costados el pedestal de Yuz51.

La comparación de la textura y otros atributos de los paleosuelos cumúlicos en Yuz50 y localidades cercanas, así como la observación de la geometría de los diferentes límites estratigráficos dentro de este complejo, nos indican que durante el ciclo 3 la barranca seguía un curso muy distinto al actual. El mayor espesor del complejo de suelos cumúlicos se registra en Yuz25, donde tiene mínimamente 3.12m de espesor – no alcanzamos su límite inferior, ya que se encuentra por debajo de la elevación de la planicie de inundación actual. Aquí, sus texturas son en promedio bastante gruesas y se observa un desarrollo edáfico débil, que no había logrado borrar aún las estructuras sedimentarias del material parental aluvial. En Yuz31 y en la pared inmediatamente río arriba de Yuz26, el mismo complejo tiene un espesor muy reducido; en Yuz31 es de tan sólo 0.68m. El sedimento es sumamente arcilloso y el desarrollo edáfico más avanzado. En Yuz50 el mismo complejo tiene 3.09m de espesor y – por lo menos en su mitad superior – características intermedias entre aquéllos dos extremos, aunque más cercanas a las de Yuz25. En Yuz50 la excavación reveló que los límites estratigráficos en la mitad superior del complejo se inclinan muy ligeramente hacia adentro de la pared actual de la barranca. A partir de todo esto, inferimos que Yuz25 representa la facies proximal de la planicie de inundación durante el ciclo 3, es decir la más cercana al cauce de aquella época, mientras que Yuz31 representa la facies más distal, en la que las inundaciones eran de baja energía y no muy frecuentes, permitiendo un mayor desarrollo edáfico. El cauce del ciclo 3 probablemente pasaba al oriente de Yuz50, siguiendo por abajo de la

actual terraza T2 izquierda hacia Yuz25, donde tenía una orientación aproximadamente perpendicular al cauce actual.

2.2. Secuencia estratigráfica y marco cronológico preliminar

A lo largo del tramo fluvial cercano a Yuz50, contamos con descripciones estratigráficas formales para los aluviones del ciclo 3 en Yuz25, Yuz31, Yuz26 y Yuz29, así como observaciones más informales en Yuz51 y Yuz12. Para los aluviones del ciclo 2, contamos con descripciones formales en Yuz25, Yuz29 y Yuz23 y observaciones más informales en Yuz28; a esto hay que agregar la descripción de una secuencia en frente de Yuz30 por parte de José Luis Lorenzo. Describimos también una pequeña cuña de aluviones del ciclo 1 en Yuz26 y el relleno de un lama-bordo del siglo XX en Yuz30. Contamos con fechamientos radiocarbónicos para Yuz12, Yuz23 y Yuz25.

En Yuz50, nuestro registro estratigráfico se basa en una franja de la pared que limpiamos con ayuda de equipo de rappel desde la superficie de la terraza T2 (Figuras 2.4 y 2.5), en ese lugar ligeramente truncada por erosión reciente, así como en el registro de los diferentes cortes expuestos por la excavación. Lo que se presenta en la Figura 2.6 es por lo tanto una columna que resume la estratigrafía tridimensional de esta localidad. Las zonas estratigráficas 1 a 17 fueron registradas en una columna vertical continua. A continuación movimos el eje de la limpieza unos metros hacia la derecha, a lo largo de un límite horizontal bien definido. En esta segunda columna describimos las zonas 18 a 22. Las zonas 49 a 79 fueron observadas durante la excavación, lo que permitió apreciar mejor su variación interna y geometría tridimensional. El espesor que indicamos en la Figura 2.6 corresponde a la columna que registramos en las inmediaciones de la coordenada (498N; 500E) de la retícula de excavación. La conexión entre esta tercera columna y la segunda se hizo a lo largo de una discordancia erosiva marcada por una capa de gravas con estratificación cruzada – la zona 49 – que se acuña hacia la izquierda hasta volverse tan solo una línea de grava en la base de la zona 19. La zona 52 se reconoce fácilmente tanto en la segunda como en la tercera columna, siendo otro elemento fiable para la correlación. De esta manera, las zonas 20 a 21 por una parte, y las

zonas 50 y 51 por la otra, son simplemente diferentes facies de lo mismo; en estos aluviones finamente estratificados e incluso laminados colocar un límite entre zonas en tal o tal contacto es obviamente un ejercicio un tanto arbitrario.

En la columna estratigráfica de Yuz50 se observa un contraste entre el complejo de paleosuelos cumúlicos arcillosos y oscuros que abarcan las zonas 78 a 63 por una parte, y con los aluviones finamente estratificados de texturas variables pero relativamente gruesas y con rasgos edáficos muy poco desarrollados que abarcan las zonas 62 a 49, y 19 a 1. Sin embargo, no estamos seguros dónde se encuentra la discordancia erosiva mayor en esta secuencia. Podría ser el límite entre las zonas 63 y 62 que corresponde al cambio mencionado en la oración anterior, o bien en el contacto inferior de una de las capas de grava con estratificación cruzada, es decir los límites entre las zonas 50 y 49, o 17 y 16. Las observaciones hechas tanto en Yuz50 como en Yuz25 nos indican que lo que es un límite claramente discordante en la base de un paleocauce relleno de gravas, ondulado con amplitudes que alcanzan un metro, puede volverse unos metros más adelante un límite perfectamente horizontal entre dos estratos de arena o limo. Por la correlación con Yuz25, donde hay una discordancia mucho más marcada, nos inclinaríamos a ubicarla en Yuz50 entre las zonas 50 y 49, pero queda por confirmar por medio de fechamientos radiométricos si ésta representa efectivamente el hiato mayor que quisiéramos correlacionar con un encajonamiento fuerte de todo el sistema fluvial entre los ciclos 3 y 2. Comentamos las posibles resoluciones de este problema de correlación estratigráfica después de presentar a detalle la secuencia y registrada en Yuz50 y los fechamientos nuevos de Yuz50 y Yuz25.

A diferencia de Yuz25, donde no pudimos alcanzar la base de la secuencia aluvial, en Yuz50 la excavación por debajo del nivel de la superficie del meandro abandonado nos permitió llegar hasta el nivel freático que, a finales de enero, se mantenía en el límite de las zonas 79 y 78. La zona 79 es de características muy distintas a las que la cubren, siendo un depósito blanquecino muy uniforme, limoso y débilmente cementado. Es posible que se trate de un depósito anterior a la deposición aluvial, quizás

algún tipo de endeque o caliche. Su cementación es probablemente la que impide la percolación del agua y mantiene el nivel freático cerca de su límite superior.

Las zonas 78 a 74 constituyen la mitad inferior del complejo de paleosuelos cumúlicos. Se distinguen por una textura muy arcillosa, colores con tonalidades azulosas claras y la ausencia de una estratificación interna obvia, aunque el hecho de que muchos agregados se rompan a lo largo de planos subhorizontales sugiere que tal estratificación estuvo presente en el momento de la deposición. Las zonas 78, 77 y 76 contienen algo de arena e incluso gravilla. Su concentración aumenta de arriba hacia abajo en la zona 78, de tal manera que en su base partículas gravosas abarcan unos 15% de la superficie. Esta gradación deja entrever una paulatina disminución de la energía de las avenidas. Aun así, la textura promedio de la zona 78 es de arcilla arenosa, es decir muy fina. Algunas de las partículas del tamaño de gravas y arenas parecen ser agregados redepositados de la Formación Yanhuitlán, redondeados por el transporte. Los nódulos blanquecinos, al parecer de carbonato secundario, presentes en la zona 78, podrían ser también producto de arrastre y redeposición, más que de la acumulación de carbonato in situ. En cambio, los filamentos de carbonato que siguen los poros de esta misma zona parecieran haberse formado in situ. En la zona 74 los nódulos siguen las grietas más grandes entre los agregados prismáticos, como si fueran ensartados en un hilo; a veces descienden hasta la zona 75. Esto también sugiere una movilización y precipitación de carbonato in situ, más que la redeposición de nódulos formados en otro lugar.

La formación de suelo en estas zonas se expresa sobre todo en la desaparición de casi todos los vestigios de estructuras sedimentarias del aluvión y el desarrollo – de mediana intensidad – de una estructura edáfica que cambia de prismática en las zonas 74 y 75, a estructuras de agregados angulares de la zona 75 hacia abajo. En las caras de los agregados se pueden apreciar revestimientos muy marcados de arcilla y materia orgánica, los que alcanzan su mayor desarrollo en las zonas 74 y 77, marcando quizás hiatos más prolongados en la sedimentación aluvial ocurridos después de su deposición.

Los tonos azulosos son característicos de procesos de gleyización o seudogleyización y no dejan lugar a dudas de que estos paleosuelos estuvieron

saturados de agua por temporadas largas. Queda por aclarar, sin embargo, si esto ocurrió de manera concurrente con la formación del suelo o en algún momento posterior a su sepultamiento. Otros rasgos hidromórficos se manifiestan en forma de revestimientos y motas de color de hierro. Estas manchas de oxidación, así como la mencionada iluviación de la arcilla y la posible acumulación de carbonatos secundarios sugieren, en contraparte, que estas zonas permanecieron bien drenadas y oreadas (con aire en los poros) durante ciertas temporadas del año o épocas de duración mayor. La secuencia exacta de todos estos procesos edáficos queda por desentrañar por medio de la micromorfología y otros análisis de laboratorio, pero mientras tanto podemos sugerir que se trata de suelos de una planicie inundación con vegetación herbácea, inundaciones frecuentes pero de baja energía y una alternancia de periodos de saturación en agua y desecación.

Las zonas 73 a 63 constituyen la mitad superior del complejo de paleosuelos cumúlicos, de rasgos distintos de la mitad inferior. Se trata de una serie de capas de arcilla muy oscura (zonas 72 y 71, 69, 67, 65 y 63) separadas por capas más delgadas ricas en arena y de coloración amarillenta (zonas 73, 70, 68, 66 y 64). Su deposición alterna ha de reflejar cambios sutiles en la energía de las avenidas que alcanzaban esta parte de la planicie de inundación. Las capas arenosas no acusan casi ningún rasgo edáfico y algunas (zonas 68, 66) conservan una estratificación interna perceptible a simple vista como cambios en el tamaño de las partículas. La zona 68 está subdividida en dos por una lámina de lodo oscuro que no rebasa 3mm de espesor. Observadas con más detenimiento (véase Figura 2.7), sin embargo, estas capas de arena revelan tener una asimetría interesante: sus límites inferiores suelen ser rectos, mientras que sus límites superiores suelen ser ligeramente ondulados. Lo interpretamos como el resultado de la bioturbación del límite superior después de la deposición de la capa arcillosa, en el curso de la transformación de la última en un horizonte A de suelo.

En efecto, si las capas arcillosas y oscuras tenían originalmente una estratificación interna, ésta se ha borrado casi por completo, sustituida por una estructura edáfica de bloques angulares medianos. Su grado de desarrollo es mediano,

alcanzando un grado fuerte en la zona 63. En las caras de los bloques angulares se observan revestimientos muy marcados de arcilla y materia orgánica, acompañados en muchos casos de facetas de presión (*slickensides*). Están presentes también unos nódulos de carbonato de unos 5mm de diámetro y su distribución en el interior de los agregados y a lo largo de los poros sugiere que se han formado in situ. El color casi negro de estas capas de arcilla tiene tonos ligeramente azulosos, pero no se trata de zonas tan obviamente gleyizadas como las de más abajo. A diferencia de aquéllas, carecen de acumulaciones de hierro u otros rasgos hidromórficos. Se trataría por lo tanto de una continuación de un desarrollo intermitente de horizontes A de suelo, casi simultáneo con una deposición de baja energía, pero interrumpida por breves pulsos de energía un poco más alta. Estos suelos se desarrollarían en condiciones mejor drenadas, quizás porque la misma deposición los había elevado más arriba del nivel freático.

Paleosuelos con características parecidas a las de las zonas 78 a 63 son bastante comunes en niveles del Pleistoceno final y los principios del Holoceno en las tierras altas de México y han sido reportados en los estados de Oaxaca, Puebla, Tlaxcala y Guanajuato. En publicaciones y ponencias anteriores nos hemos referido a ellos como suelos de praderas húmedas que imaginamos creciendo en las planicies de inundación de barrancas con escurrimientos más constantes y más apacibles que las actuales (Borejsza y Frederick 2010; Mueller et al. 2012; Borejsza et al. 2014). La deposición fue relativamente rápida pero paulatina y de baja energía, permitiendo que los procesos edáficos fueran modificando el aluvión conforme se iba depositando y que la vegetación herbácea se mantuviera de un año al otro. La disponibilidad de agua dulce y forraje había de ser un imán para los herbívoros, incluidos los grandes herbívoros pleistocénicos.

En vista de esta interpretación, nos sorprende un poco encontrar en estos paleosuelos de manera bastante consistente restos de carbón vegetal. Nos resulta difícil imaginar que las praderas húmedas en cuestión sufrieran muchos incendios. Imaginamos que el carbón refleja más bien incendios de vegetación más xérica en las laderas y su posterior redeposición a lo largo del sistema fluvial. Sin embargo, la

presencia de algunos horizontes con múltiples fragmentos de carbón en algunas de las zonas descritas (la 77, la 69, o la 63) podría señalar que el fuego consumió en algunas ocasiones la vegetación ribereña o de las laderas bajas a corta distancia río arriba de Yuz50. Otra posibilidad aún es que se trate un proceso en el que una avenida de baja energía haya dispersado los restos de unos fogones ubicados en la planicie de inundación, interpretación que se antoja más plausible para la zona 69, la única para la que tenemos evidencia incontrovertible de presencia humana.

A partir de la zona 62 y hasta la zona 50, se suceden láminas y estratos de unos cuantos centímetros de espesor, del más variado tamaño de partícula, desde arcillas hasta gravillas. En donde predominan las partículas más finas (zonas 59, 55 y 53) se aprecian algunos rasgos edáficos muy incipientes – bioturbación de la estratificación horizontal, desarrollo débil de estructura angular – pero sin llegar al desarrollo de revestimientos en las caras de los agregados. Se siguen observando algunos horizontes con una concentración un poco más elevada de fragmentos de carbón vegetal. En suma parece que a partir de la zona 62 se dio un cambio en la hidrología de la barranca que impidió el desarrollo de paleosuelos cumúlicos: quizás fueron de mayor energía las avenidas, barriendo con la vegetación de la planicie de inundación, quizás se había vuelto más árido el clima, haciendo más lento el crecimiento de la misma.

Entre las dos discordancias ya mencionadas – en los límites inferiores de las zonas 49 (o 19) y 16 – marcadas por las gravas con estratificación cruzada, distinguimos tan sólo tres zonas. Se trata de una secuencia de estratos horizontales de unos cuantos centímetros de espesor con límites sumamente nítidos, sin huellas de bioturbación u otros procesos edáficos. Se alternan capas de lodo (es decir arcilla o limo) de un café con tonalidades moradas, con capas de arena generalmente más amarillentas. Las proporciones entre las dos varían, pero las primeras abarcan un espesor mayor que las segundas. El carbón parece en promedio más común que más bajo. Se pueden encontrar algunos fragmentos en casi cualquier nivel, pero su cobertura no rebasa 1% de la superficie. La única excepción la constituye una lámina de 7mm de espesor de carbón casi puro en la parte superior de la zona 17; suponemos que debe de reflejar la quema de

algún tipo de combustible vegetal in situ, es decir en la superficie de la planicie de inundación.

La zona 17 está truncada por las gravas de un paleocauce o barra, registradas como la zona 16. Más arriba – por lo menos hasta la zona 5 – se siguen alternando estratos de lodo y arena de unos cuantos centímetros de espesor, pero sus proporciones se modifican, haciéndose más comunes los estratos arenosos. El grado de conservación de la estratificación sedimentaria varía, pero aun en las zonas en las que ésta no es muy nítida, no se aprecia casi ningún desarrollo edáfico. El carbón es muy común, rebasando los 2% de cobertura en las zonas 15, 14 y 6. En las zonas 15, 14, 6 y 4 hay algunas láminas bien definidas en las que la concentración de carbón oscila entre 5% y 100% de la superficie. En estos casos estamos casi seguros de que se trata de un fuego que consumió algo in situ. En varios niveles hemos observado también piedras aisladas suspendidas dentro de estratos de un tamaño de partícula mucho menor. Como la matriz del sedimento refleja una avenida de energía insuficiente para mover piedras, estamos convencidos que las últimas fueron acarreadas de otra manera. Hemos aprendido que ambas observaciones – láminas llenas de carbón y piedras fuera de su contexto fluvial – apuntan a que los aluviones en cuestión podrían ser el relleno de lama-bordos. Lo que confirma la veracidad de esta inferencia en Yuz50 es la presencia de por lo menos dos muros de contención de lama-bordos sepultados en elevaciones que corresponden aproximadamente a las zonas 15 a 4. Uno de ellos aflora a unos cuantos metros hacia la izquierda de la columna registrada en la Figura 2.6, mientras que el otro está suspendido en la pared de la barranca encima del canal de corta señalado con la letra C en la Figura 2.3. Puesto que ambos muros se encuentran río arriba de la columna estratigráfica registrada en la Figura 2.6, ninguno de ellos retenía las zonas 15 a 4, pero no nos queda mucha duda de que éstas a su vez fueron retenidas por los muros de lama-bordos que formaban los siguientes escalones río abajo a lo largo de la barranca. Como lo hemos comprobado en otros cortes, los lama-bordos se rellenaban de manera tan rápida que apenas se aprecia en ellos algún rasgo edáfico. Lo borroso de algunos contactos estratigráficos, sin embargo, podría ser el resultado de la roturación del relleno, las

láminas de carbón podrían marcar la quema intencional de vegetación secundaria o los residuos del cultivo, mientras que las piedras mencionadas habrían sido acarreadas por manos humanas, para después caerse de alguno de los muros o simplemente quedar abandonadas en la superficie del terreno en el momento de una inundación de baja energía que las terminó sepultando con sedimento más fino.

La zona 7 se distingue por un desarrollo edáfico incipiente perceptible en la acumulación de materia orgánica y estructura angular. La zona 4 se distingue por revestimientos de carbonato en las caras de agregados prismáticos desarrollados en un material parental con textura de lodo. La zona 1 es un horizonte A con estructura subangular y contiene varios tepalcates posclásicos, abundantes en la superficie de la terraza fluvial T2. Tanto la acumulación de carbonatos como la de materia orgánica señalan probablemente que el ritmo de acumulación de sedimento en los lama-bordos iba amainando y que sus superficies se iban manteniendo en un mismo nivel por más tiempo.

Para establecer un marco cronológico absoluto de la estratigrafía registrada en Yuz50 contamos aún con un número insuficiente de fechamientos radiocarbónicos. Las ocho muestras de Yuz50 fechadas hasta ahora (Tabla 1.1; Figura 2.6) provienen de los paleosuelos cumúlicos y por lo menos cinco de ellas resultaron problemáticas por razones que comentamos líneas abajo. Para ubicar en el tiempo los aluviones más recientes de Yuz50 nos tenemos que apoyar por lo pronto en intentos de correlación con algunos otros fechamientos obtenidos en localidades cercanas.

Nuestra intención original fue privilegiar el fechamiento de carbón vegetal por encima del de la materia húmica de los paleosuelos. Investigaciones anteriores en el Valle de Nochixtlán – en particular los resultados aún no publicados de la temporada de 2012 – nos habían alertado a que muchos suelos desarrollados en los aluviones conservaban un componente significativo de materia orgánica heredada del material parental, que la incipiente acumulación de materia orgánica in situ no había logrado borrar por completo. Por consiguiente, los fechamientos sobre carbón vegetal de los mismos horizontes suelen arrojar edades más recientes, con una diferencia de varios

siglos, llegando a discrepancias de más de un milenio en los niveles del Holoceno temprano o Pleistoceno final.

Yuz50 confirma nuestras sospechas en este sentido. De catorce muestras de carbón enviadas a los laboratorios de radiocarbono, ocho resultaron no tener suficiente carbono para obtener un fechamiento. Sin embargo, en cinco de éstas se pudo obtener un fechamiento juntando los fragmentos de carbón con la materia húmica de la tierra aún adherida a los fragmentos. Éstos son los fechamientos que se consignan del lado izquierdo de la columna estratigráfica en la Figura 2.6. El problema con estos resultados es que desconocemos la proporción de carbón vegetal y materia húmica en cada una de las muestras. Las enormes diferencias entre los tres fechamientos de la parte superior de la zona 69 – 11,292±39, 12,380±50 y 13,100±50 a.P (sin calibrar) – dejan claro que estas proporciones fueron variables y que además la materia húmica contiene un componente viejo (redepositado, 'detrítico') muy importante. Al mismo tiempo no hay que perder de vista la posibilidad de que los fragmentos de carbón también hayan sido redepositados. Lo único que podemos afirmar con base en estos tres fechamientos es que la deposición de la parte superior de la zona 69 es posterior al más reciente de ellos, el de 11,292±39 a.P. De manera análoga, los fechamientos de 11,491±40 y 8,116±66 a.P. proporcionan un *terminus post quem* para la deposición de las zonas 68 y 63, respectivamente. El primero es redundante en vista de que ya sabemos que la zona 69 se depositó después de 11,292±39 a.P. El segundo es muy importante, ya que ubica la zona 63 en tiempos mucho más recientes, en el Holoceno temprano. La cifra de 8,116±66 a.P. da un intervalo de 2σ de 7290-7040 a.C. después de la calibración, mientras que el inicio del Holoceno se ubica en ca. 9600 a.C. Este fechamiento es uno de los más recientes registrados para los paleosuelos cumúlicos en México y por lo tanto nos resulta bastante sorprendente.

Del lado derecho de la columna de la Figura 2.6 mostramos los fechamientos que se lograron sobre carbón vegetal puro, sin necesidad de añadir materia húmica. Para la superficie de ocupación en la parte superior de la zona 69, contamos con tres fechamientos con estas características. Dos de ellos son casi idénticos: las edades de 10,903±35, 10,945±35 a.P. dan los intervalos calibrados 10,870-10,760 y 10,940-10,760 y

a.C., respectivamente. El tercer fechamiento, de 10,680±40 a.P., es un poco más reciente. Su intervalo calibrado, 10,760-10,620 a.C., sigue, de manera consecutiva, a los intervalos derivados de la calibración de los primeros dos fechamientos. Antes del redondeo decadal, hay de hecho un traslapo de dos años, en 10,762-10,760 a.C. Puesto que en el nivel del que provienen las cuatro muestras – la parte superior de la zona 69 – hay muchos fragmentos de carbón, en asociación con restos culturales, consideramos que el combustible se ha de haber quemado al mismo tiempo que la ocupación humana. En vista de las condiciones de conservación de los restos culturales que describimos más adelante, la avenida que trajo la zona 68C debió ocurrir en un lapso de meses o años después de la ocupación humana. Ambos eventos habrían ocurrido entonces cerca de 10,760 a.C., es decir en la primera mitad del último interestadial del Pleistoceno, conocido como el Younger Dryas (11,000-9600 a.C.).

Un cuarto fechamiento sobre carbón puro procedente de la zona 69, de 11,065±36, da un intervalo calibrado de 11,100-10,860. La muestra en cuestión procede de un nivel ubicado a mitad de la zona, ya abajo de la superficie de ocupación (la diferencia de altitud es de unos 7cm) y de un cuadro más al Sur de la concentración mayor de artefactos. En la zona 70, pero cerca de su límite superior con la zona 69, recuperamos un fragmento de una rama carbonizada de unos 4cm de diámetro y más de 7cm de largo. Una porción de esta rama arrojó el resultado de 11,066±41 a.P., lo que da 11,110-10,860 a.C. después de la calibración, intervalo idéntico al fechamiento anterior. Este intervalo está centrado en el inicio del Younger Dryas, por lo que podríamos pensar entonces en unos cuantos siglos para la deposición de la zona 69 y el desarrollo de sus rasgos edáficos.

En la zona 76, en la que la cobertura de fragmentos de carbón alcanza unos 2%, recuperamos también una muestra que resultó ser de tamaño satisfactorio, arrojando la edad de 11,471±67 a.P, lo que da 11,500-11,210 a.C. después de la calibración, cayendo en el interestadial anterior al Younger Dryas, conocido en el Viejo Mundo como Allerød. Esta fecha es cercana a las de los sitios clovis más tempranos, como Aubrey o Fin del Mundo (Sánchez 2016: 3). Si la fecha es cercana a la deposición de la zona 76, tendríamos

que inferir una deposición muy rápida de la mitad inferior del complejo de paleosuelos cumúlicos, seguida por una deposición mucho más lenta de la mitad superior, o bien suponer que las capas arenosas de la mitad superior marcan discordancias erosivas. A simple vista en la mitad superior parece haber un desarrollo mayor de rasgos edáficos, lo que vendría a reforzar la idea de una deposición muy lenta, pero las diferencias en el grado y naturaleza de los procesos formadores del suelo en ambas mitades deberán ser examinados de manera más detallada a través de análisis de laboratorio.

Cabe recordar que río arriba, en Yuz12, habíamos obtenido un fechamiento de 12,110±70 a.P. sobre la materia húmica del complejo de paleosuelos cumúlicos (Mueller et al. 2012). Junto con los fechamientos sobre muestras mezcladas (carbón y materia húmica) de la zona 69 en Yuz50, este dato reafirma la noción de que un componente importante de la materia orgánica de estos suelos había sido retrabajado desde niveles más antiguos río arriba.

Arriba de la zona 63 no contamos aún con ningún fechamiento directo de Yuz50. Sin embargo, en Yuz25, a una distancia horizontal de 60m en línea recta, hemos obtenido tres fechamientos sobre carbón vegetal. El más antiguo de ellos proviene de una muestra tomada entre las gravas de un paleocauce, la zona 25 de Yuz25, 8.00m debajo de la superficie de la terraza fluvial T2. Aunque las correlaciones suelen ser algo arriesgadas en este tipo de depósitos, de manera tentativa señalaríamos la zona 16 de Yuz50 como el equivalente más probable. La edad que arrojó la muestra fue de 3815±40 a.P (2460-2140 a.C.). Más arriba, en la zona 22 de Yuz25, a una profundidad de 5.59m, en un estrato de arenas y limos, obtuvimos una muestra con la edad de 3559±36 a.P. (2020-1770 a.C.). Ésta podría corresponder a algún nivel de la zona 9 o 10 en Yuz50. Estos fechamientos dejan claro que la mitad o los dos tercios superiores de Yuz25 y Yuz50 pertenecen a un ciclo de azolvamiento totalmente distinto y muy posterior al de los paleosuelos cumúlicos. Nos indican también que a finales del Precerámico, la sedimentación aluvial en este tramo procedía a un ritmo muy rápido. Cabe recordar que el horno excavado por José Luis Lorenzo río arriba se ubicaba a una profundidad comparable (unos siete metros) debajo

de la terraza fluvial T2 y, en los inicios del uso del radiocarbono como técnica de datación, arrojó una fecha muy parecida a las que reportamos aquí.

La última muestra fechada proviene de la zona 5 de Yuz25, de una profundidad de 0.79m. A esta profundidad hay un horizonte A sepultado que contiene tepalcates posclásicos. El radiocarbono dio un resultado congruente con la edad de los artefactos, de 556±34 a.P., es decir 1310-1430 d.C. El probable equivalente de la zona 5 en Yuz25 es la zona 1 en Yuz50, ya que la columna estratigráfica que describimos en esta última localidad estaba ligeramente truncada, como ya lo explicamos. Se trata igualmente de un horizonte A con tepalcates posclásicos. En vista de este resultado y de la ubicuidad de lama-bordos sepultados abajo de la superficie de T2, podemos imaginar que en el momento de la llegada de los españoles la barranca estaba casi completamente azolvada, subdividida en superficies de cultivo escalonadas y con escurrimientos controlados. La fecha en cuestión apoya también nuestra hipótesis de la destrucción de los lama-bordos por un encajonamiento muy profundo en la época colonial.

En conclusión, la estratigrafía registrada en Yuz50, junto con las observaciones hechas en localidades cercanas, están perfilando varias revisiones al esquema regional (Mueller et al. 2012) al que nos referimos al principio de este capítulo. Los tres ciclos de encajonamiento y azolvamiento definidos para el Valle de Nochixtlán en su conjunto sí están presentes a lo largo de este tramo del Yuzanú, pero su cronología requiere de varios ajustes, tanto por la acumulación de datos nuevos, como por la posible falta de sincronía con el comportamiento de tramos fluviales de mayor orden y de otros afluentes de orden comparable.

La formación de paleosuelos cumúlicos en la base del ciclo 3 quizás iniciaría más tarde, y casi seguramente terminaría más tarde de lo que habíamos propuesto. Nos preguntamos si parte de la materia orgánica redepositada no provendría de suelos desarrollados antes de y removidos por el encajonamiento que inicia el ciclo 3. En algunos casos podría tratarse de suelos desarrollados no en aluviones, sino directamente en la Formación Yanhuitlán. En algunas localidades, sobre todo las que conservan los depósitos más espesos de la planicie de inundación proximal, parece posible definir un

cambio en el estilo de sedimentación dentro del complejo de paleosuelos cumúlicos, de una sedimentación más continua a una más intermitente, quizás incluso interrumpida por etapas de erosión localizada (si se confirma la hipótesis de que las capas arenosas marcan tales eventos). A juzgar por la cronología de Yuz50, el cambio coincidió quizás con el inicio del Younger Dryas. En algunas localidades afectadas por encajonamientos posteriores, sólo se conservarían los paleosuelos anteriores a ese cambio. Este parece ser el caso, por ejemplo, de Yuz26. En Yuz51, los niveles posteriores al cambio, con algunas capas de arena, se observan solamente del lado noroeste del pedestal, donde éste conserva su mayor altura. La mayor parte del mismo pedestal ha sido rebajada ya hasta la mitad inferior fuertemente gleyizada del complejo.

En cuanto a la parte del ciclo 3 posterior a los paleosuelos cumúlicos – cuya formación en Yuz50 cesaría después de 7000 a.C., nos llama la atención de que en este tramo fluvial no se conserva un paleosuelo bien desarrollado de mediados del Holoceno, fechado río abajo y en otros ramales de los alrededores de Yanhuitlán en ca. 6000 a.C. Esto sugiere que las avenidas en este tramo se volvieron tan violentas y tan frecuentes que impidieron el desarrollo de un suelo semejante, o bien que este fue removido por completo por encajonamientos a mediados del Holoceno. Los dos horizontes de gravas en Yuz25 y Yuz50 quizás señalen que aquí se dieron no uno, sino dos encajonamientos entre aproximadamente 7000 y 2500 a.C., de profundidad variable y difícil de estimar. De cualquier manera, después de la última fecha tenemos confirmada la deposición de aluviones parecidos, a grandes rasgos, a los del ciclo 2 en otras partes del valle, una deposición fuertemente asistida por la construcción de lama-bordos.

El ciclo 2 no termina aquí, como en otras partes del valle, con un encajonamiento profundo cerca de 1000 d.C., sino se prolonga hasta después de 1500 d.C. El encajonamiento más drástico del Cuaternario tardío que separa los ciclos 2 y 1, parece acaecer aquí a principios de la Colonia. El ciclo 1 está por siguiente comprimido en unos cuantos siglos, cuyo registro son las terrazas constructivas y erosivas señaladas en el apartado anterior, reflejos de la alternancia entre periodos muy breves en los que el lecho del río se azolvaba, se volvía a encajonar, y cambiaba ligeramente de curso. Esto

puede ser reflejo de dinámicas fluviales más erráticas o simplemente de la mejor conservación y visibilidad de las geoformas más recientes. A escalas de tiempo más largos muchas de estas terrazas pequeñas y aisladas simplemente no se conservarían en el registro estratigráfico o serían sumamente difíciles de reconocer.

2.3. Estrategia de excavación y muestreo

El propósito principal de la excavación fue exponer los desechos de talla lítica notados en la pared de la barranca en una superficie horizontal lo suficientemente extensa para poder apreciar cómo se relacionaban unos con otros y averiguar si habían sido abandonados en este lugar o redepositados por procesos fluviales. Queríamos también excavar un volumen importante del complejo de paleosuelos cumúlicos en condiciones controladas para averiguar si los artefactos se limitaban a un solo estrato o se encontraban en varios, así como para recuperar muestras de restos animales y vegetales, tanto en asociación con los artefactos, como aquéllos de otros niveles, que nos permitieran emprender la tarea de reconstruir el nicho ecológico que representaba la planicie de inundación de la barranca a finales del Pleistoceno y principios del Holoceno. Con base en exploraciones previas, sabíamos también que en esos niveles abunda el hueso de megafauna, por lo que queríamos aumentar las probabilidades de recuperarlos y empezar a documentar hasta cuál era el horizonte superior en el que dejaban de presentarse.

Al estar el horizonte cultural de interés sepultado a una profundidad mayor a trece metros, fue necesario empezar por recortar la pared de la barranca en talud, para asegurar el área de trabajo de la caída de piedras desde los horizontes de grava, para crear una superficie horizontal en la que se pudiera tender una retícula de excavación, y para permitir que el área de excavación, al llegar a los niveles de interés, abarcara una superficie considerable. Para cumplir con esta tarea, teníamos dos o tres cuerdas de rappel amarradas en la superficie de la terraza fluvial T2 y tendidas sobre la pared de la barranca (Figura 2.4). Éstas permitían desplazarse cómodamente sobre la pared vertical, con las manos libres para picos, palas, cucharillas, bolsas, lapiceros, tablas de dibujo, etc.

Fuimos desgastando la pared, conociendo al mismo tiempo su estratigrafía y alertos a la aparición de cualquier elemento cultural. Terminamos recortando en talud tanto la pared original de la barranca, como las paredes laterales que descendían hacia el área de excavación (Figura 2.5). Las operaciones de limpieza y aseguramiento de la pared se repitieron periódicamente a lo largo de la temporada, permitiendo registrar toda la columna estratigráfica presentada en la sección anterior y recuperar varias muestras, sobre todo de carbón vegetal para fechamiento. La superficie de excavación se cubría con plásticos gruesos en los momentos en los que se volvía necesario repetir las operaciones de limpieza de pared.

Al mismo tiempo establecimos una base permanente para la estación total, encima del pedestal de Yuz51 (Figura 2.3, punto B; Figura 2.5). A la base asignamos las coordenadas arbitrarias de n=100.000m, e=100.000m y z=2000.000m, orientándola hacia el Norte magnético. Río abajo, junto a la desembocadura de un pequeño afluente derecho, establecimos el punto para visar hacia atrás (Figura 2.3, punto G). Sus coordenadas, según la primera medición hecha, son (71.541n; 67.262e; 1999.811). Usamos las aquí las letras minúsculas n y e para referirse a un primer sistema de coordenadas horizontales, orientado hacia el Norte magnético y usado para un levantamiento topográfico amplio de los alrededores de las localidades Yuz50, Yuz51 y Yuz26 que fuimos completando a lo largo de la temporada. Para la excavación empleamos un segundo sistema de coordenadas horizontales, orientado hacia el Norte de la retícula, cuyas coordenadas horizontales designamos con las letras mayúsculas N y E. Los puntos B y G fueron marcadas con varillas de 50cm de largo, sumidas completamente en la tierra y con la punta pintada de rojo. Al terminar la temporada tomamos las precauciones de disimularlas, esperando que por lo menos una de las dos se conserve para referencia futura.

Una tarea paralela más consistió en recoger en la superficie de la terraza fluvial T2 una muestra de lítica tallada. Como lo habíamos mencionado, en esa superficie, en toda la extensión desde Yuz25 a Yuz50, abundan tepalcates posclásicos. Habíamos tomado una muestra de los mismos en 2012 (Joyce et al. 2012), reportando su análisis en

un informe posterior (Lohse et al. 2015). En esta ocasión, se trató de recuperar una muestra de lítica tallada, para poder comparar las materias primas y las tecnologías usadas con las de los niveles precerámicos y poder así despejar cualquier duda acerca de una posible intrusión de materiales más recientes. Sobra decir que consideramos imposible que una intrusión significativa pase desapercibida en este lugar, en vista de los más de 10m de espesor que separan ambas ocupaciones.

Al llegar la limpieza y recorte de la pared a la zona 49 (las gravas que parecen marcar una discordancia erosiva) contábamos ya con una superficie horizontal de aproximadamente 10m de largo – en el eje paralelo a la pared – y 1.7m de ancho. En este nivel dividimos la repisa creada en dos partes. En la parte sur, de unos 4m de largo, retiramos únicamente las gravas de la zona 49, recuperando entre ellas tres aparentes artefactos líticos, probablemente arrastrados en el paleocauce y por lo tanto en contexto obviamente secundario. Fue en la parte norte que proseguimos con la excavación hacia niveles más profundos, retirando sucesivamente las zonas 50 a 62, cribando un metro cuadrado de cada una de ellas a manera de control, a través de una malla de 1/4 pulgadas (ca. 6mm). A pesar de haber cribado de esta manera ca. 1.88 m^3 de tierra, sólo recuperamos una navajilla en la zona 55.

Al llegar al límite superior de la zona 63 en la parte norte de la repisa antes mencionada, procedimos a tender la retícula de excavación, abarcando un área de 6m por aproximadamente 2.2m de ancho (Figura 2.8). Los costados norte, sur y este de esta área eran definidos por nuestras operaciones de excavación y por lo tanto rectos. El costado oeste era definido por la pared de la barranca y por lo tanto más irregular y variable de un nivel a otro. Cabe explicar que a la orilla del meandro abandonado, la base de la pared de la barranca se vuelve menos vertical, formando una especie de talud natural, aun así con una inclinación muy fuerte, del orden de 55 grados. Por lo tanto, el área de excavación se iba ensanchando conforme avanzaban los trabajos. El talud recibe un 'bombardeo' constante de sedimento que se va desmoronando de la pared, pero su fuerte inclinación hace que sólo las partículas más finas lleguen a descansar en su superficie. En otras palabras, en condiciones naturales (anteriores a la excavación) el

talud 'se empolva' todo el tiempo, haciendo difícil distinguir su estratificación. Por ello, nuestra siguiente tarea consistió en recortar el talud ligeramente, para asegurarnos de que estábamos observando estratos intactos (Figura 2.9). En esta operación fueron apareciendo algunas lascas más. Fuimos registrando su proveniencia, junto con la de algunas muestras de carbón, con la estación total, y marcándola con clavos y cinta de color rosa. La gran mayoría de los artefactos recuperados de esta manera se fue agrupando a lo largo de un plano subhorizontal que a la postre reconoceríamos como la superficie de ocupación cercana al contacto superior de la zona estratigráfica 69. Unas cuantas lascas aparecieron también en la zona 67.

Tal como lo muestra la Figura 2.8, la retícula dividió el área de excavación en 18 cuadros: 12 de ellos eran cuadros regulares de $1m^2$, de superficie constante, mientras que los seis cuadros restantes, los que estaban dispuestos a lo largo del talud, tenían una superficie menor, pero que iba aumentando paulatinamente de arriba hacia abajo (Figuras 2.9-2.10). El eje norte-sur de la retícula fue dispuesto de manera arbitraria en el eje largo de la retícula, con el ´Norte´ de la retícula apuntando hacia el acimut magnético de 38°. Las coordenadas horizontales (500N; 500E) se asignaron a un punto ubicado a la mitad del área de excavación en el eje norte-sur y relativamente cerca del plano inclinado del talud al nivel del contacto superior de la zona 63. De aquí en adelante la excavación procedió por medio de lotes volumétricos, los que generalmente corresponden a un cuadro particular y a una sola zona estratigráfica natural, o a una subdivisión de la misma. Los lotes se identifican por números en los 6000. La gran mayoría de ellos fue cribada en seco a través de la malla d 1/4 pulgadas. Muchos lotes fueron subdivididos en cuadrantes (NW, SW, SE y NE) para permitir un aun mejor control de la proveniencia de los artefactos y ecofactos recuperados en la criba (Figuras 2.11 y 2.12). El uso de cubetas marcadas del mismo tamaño permitía llevar el control de los volúmenes excavados en cada cuadrante de cada lote. La gran mayoría de los hallazgos fue registrada in situ, con ayuda de dibujos de planta sobre papel milimétrico y de la estación total. Éstos se identifican como 'objetos', con una numeración aparte, que empezó en 1 y, en Yuz50, llegó hasta 207. La Figura 2.13 da cuenta de la

correspondencia entre lotes de excavación, cuadros y zonas estratigráficas, además de indicar si un lote particular fue subdividido en cuadrantes o cribado. Aparte del cribado en seco, apartamos muestras de tierra para la flotación y cribado en húmedo a través de una malla de 1mm. Las muestras para tal fin por lo general procedían del cuadrante NE de los lotes subdivididos. La gran cohesión de los agregados del complejo de paleosuelos cumúlicos hizo necesaria la aplicación de bicarbonato de sodio y agua caliente para lograr su desmoronamiento.

Los 18 cuadros mencionados se excavaron en tres bloques consecutivos, de seis cuadros cada uno (Figura 2.8). Primero excavamos las zonas 63 a 72 en los seis cuadros del talud, creando un corte vertical en 500E (Figuras 2.7, 2.8, 2.10). El segundo bloque abarcó las zonas 63 a 69 entre 500E, 502E, 500N y 503N. Después de registrar y muestrear el corte estratigráfico en 500N, excavamos las zonas 63 a 69 entre 500N, 497N, 500E y 502E. En unos cuantos cuadros del área de excavación había grietas de ca. 1-3cm de ancho, que se habían abierto en algún momento desde niveles varios metros por encima del complejo de paleosuelos cumúlicos, aparentemente por la desecación y contracción de aluviones ricos en arcilla (Figura 2.14). Las grietas se habían rellenado con arena bastante gruesa, de colores claros que contrastaban con lo oscuro de las capas arcillosas de los paleosuelos cumúlicos. Si un cuadro estaba atravesado por una de estas gritas, nos asegurábamos de retirar todo su relleno antes de iniciar la excavación de un lote nuevo y así prevenir cualquier posibilidad de contaminación.

Al mismo tiempo que excavábamos el segundo y tercer bloque, empezamos a excavar por debajo de la zona 72 entre 497N y 499N, y al W de 500E, creando de esta manera una unidad más profunda (Figuras 2.8, 2.13 y 2.21). Su orilla W iba siguiendo la orilla irregular del talud hasta llegar al pie del mismo, es decir a la superficie del meandro abandonado, al terminar los lotes 6148 y 6149. A partir de allí proseguimos con un pozo regular delimitado por los planos de 497N, 499N, 499E y 500E. Al aparecer algunos restos de megafauna, sin embargo, decidimos ampliar este pozo de tal manera que su pared W quedó finalmente en el plano de 498.4E. En esta superficie ampliada alcanzamos finalmente el nivel freático. Esta unidad de excavación profunda fue

rellenada al terminar la excavación, para después marcar con plástico grueso el nivel culturalmente estéril alcanzado al E de 500E y también tapar esta parte, con la tierra producto de las operaciones de limpieza de pared y excavación, dejando al final una superficie inclinada que protege el pie de la pared de la barranca, aunque obviamente con un ángulo menor a los ca. 55 grados del talud.

En dos niveles distintos la densidad de los hallazgos nos obligó a proceder de manera excepcionalmente lenta: en la parte superior de la zona 69, en donde se encuentra la mencionada superficie de ocupación y cerca del fondo de la unidad más profunda, esencialmente en la zona 78, en donde apareció una concentración de huesos de megafauna. En estos niveles usamos casi exclusivamente cucharillas y palillos de madera (Figura 2.15), estos últimos con el propósito de evitar rayar o desportillar los artefactos de lítica o los huesos. Al ser el sedimento sumamente arcilloso y fuertemente estructurado, la utilidad de brochas se limitó a la remoción de gránulos de tierra previamente aflojados con un palillo de madera.

En la zona 78, cercana al nivel freático y muy húmeda durante la excavación, fueron necesarias precauciones adicionales. Al aparecer los huesos, había que dejar que se secaran un poco in situ, para que absorbieran la solución de resistol que nuestros colaboradores de la Subdirección de Laboratorios y Apoyo Académico del INAH aplicaban para consolidarlo (Figura 2.22).

En el campamento del proyecto, en el que acondicionamos un laboratorio provisional, se proseguía el proceso de consolidación de los huesos. Al mismo tiempo se llevaba a cabo el registro preliminar de los materiales y muestras recuperados en campo. La tarea que más tiempo consumió al personal de laboratorio durante la temporada de campo fue la flotación y cribado en húmedo de grandes volúmenes de tierra. Se implementó también una serie de programas de muestreo más especializados, tanto durante la excavación como a la hora de registrar los cortes estratigráficos.

2.4. Los artefactos y ecofactos encontrados

Los artefactos y ecofactos encontrados en Yuz50 resultaron ser relativamente pocos y tener una distribución sumamente acotada. La superficie de ocupación con restos culturales está muy bien definida, limitándose a un espesor de unos cuantos centímetros desde el contacto de las zonas estratigráficas 68C y 69 hacia abajo. La gran mayoría de ellos se amontona en una superficie del orden de un metro cuadrado, entre 499.2N, 500.2N, 500.2E y 499.2E, correspondiendo la última coordenada aproximadamente a la orilla del talud en este nivel (Figura 2.20). No sabemos qué tanto se extendían los restos culturales hacia el Oeste, donde el encajonamiento del meandro destruyó una porción desconocida del sitio arqueológico. La gran concentración de desechos pequeños en el cuadrante comprendido entre el talud, 499.5E, 500.0N y 499.5N es en buena medida una ilusión creada por el registro excesivamente minucioso de lo contenido en 6059NW, uno de los primeros cuadrantes de la superficie de ocupación en ser excavados. Más adelante dejamos de dibujar los desechos más pequeños.

Los restos culturales consisten casi exclusivamente de desechos de la talla de un pedernal de tonos azulosos (Figuras 2.16-2.19). Los desechos son de los tamaños más variados, desde una preforma bifacial de más de 10cm de largo, hasta desprendimientos minúsculos abundantes en algunas de las fracciones pesadas capturadas en la malla de 1mm. La ausencia de cualquier tipo de selección de desechos por tamaño es muy alentadora, ya que sugiere que no hubo ningún tipo de desplazamiento por procesos fluviales, quedando la lítica sepultada por una avenida de relativamente baja energía en el lugar en el que había sido abandonada por los humanos. Cabe señalar, sin embargo, que no todas las lascas descansaban en el momento de su hallazgo en una posición horizontal. Algunas estaban fuertemente inclinadas (Figuras 2.17, 2.19), es decir en una posición que parece poco probable si se hubieran caído sobre la superficie – que suponemos horizontal – de la planicie de inundación. Se nos ocurren tres posibles explicaciones de este hecho. La primera es que las actividades humanas en el lugar, o incluso las pisadas de algún otro animal grande, hayan creado una superficie un tanto irregular, con algunos terrones esparcidos en el lugar en el que iban cayendo los

desechos. En este caso, algunas lascas pudieran haberse apoyado accidentalmente en algún terrón u otra irregularidad de la superficie. Cuesta aun menos trabajo imaginar una superficie cubierta de pasto espeso y las lascas deteniéndose entre los tallos de éstos. La segunda explicación sería que la superficie de la planicie estaba húmeda y fangosa en el momento del descarte, con lo que algunas lascas se clavaron o se fueron sumiendo en ella. La tercera posibilidad es que las lascas hayan sufrido ligeras rotaciones desde una posición originalmente horizontal a causa de los procesos de expansión y contracción de los agregados del suelo sumamente arcilloso. Algunas pudieron haberse desplazado hacia pequeñas grietas que se abrían entre los agregados en la temporada de secas. Ninguno de estos procesos, sin embargo, implicaría desplazamientos mayores a unos cuantos centímetros. De lo contrario, hubiéramos encontrado la lítica esparcida a través de un espesor mayor de las zonas 69 y 68.

El pedernal que fue tallado en este lugar parece ser el mismo que aflora a unos cuantos kilómetros río arriba, en las laderas cercanas a la divisoria que separa la cuenca del Yuzanú de valles ubicados más al Norte. Allí hemos conocido un paraje en el que un pedernal de color azul oscuro aflora en forma de nódulos de varios decímetros de diámetro, en medio de una tierra rosa, probablemente producto de meteorización de la roca caliza. Nódulos más pequeños de este pedernal son comunes entre la grava del cauce y barras cercanas a Yuz50, pero éstos por lo general presentan muchas fracturas internas que dificultan el lasqueo. No es descabellado pensar que las personas que dejaron los desechos líticos en Yuz50 se acababan de abastecer de materia prima río arriba.

Muchas de las lascas encontradas son producto del adelgazamiento bifacial. Varias proceden con toda probabilidad de la preforma sin terminar (objeto no. 125), el artefacto quizás más llamativo de Yuz50 (Figuras 2.15 y 2.19). La preforma en cuestión se rompió en dos en una pequeña cavidad natural de la materia prima oculta dentro del nódulo, lo que sin duda ocasionó su descarte. La otra parte fue descartada quizás en la parte destruida del sitio (o había sido lanzada más lejos al acompañamiento de alguna mala palabra pleistocénica). Algunas lascas tienen plataformas con huellas de abrasión

intencional o terminaciones del tipo *overshot*, ambas características siendo típicas de la tecnología paleoindia. Por la cantidad de desechos, por variaciones sutiles en el color y textura de la materia prima, así como por atributos tecnológicos, queda claro que en el lugar se talló más que aquella preforma. Encontramos también dos herramientas bifaciales completas, los objetos nos. 204 y 206, el último con huellas de uso que sugieren que fue usado a manera de raedera; esto sugiere que en el lugar se llevaron algunas otras actividades sin relación directa con la actividad de talla, o quizás que se había fabricado un reemplazo de la raedera en cuestión. El objeto no. 204 estaba aislado de los demás artefactos líticos, a unos metros de distancia (Figuras 2.12 y 2.20), aunque exactamente en la misma posición estratigráfica. Sugiere un descarte más premeditado (en la *toss zone* de Binford, quizás en oposición a la *drop zone* que conformarían los demás hallazgos) o bien que más allá de la esquina SE de nuestra área de excavación se extiende otra área de actividad.

Entre la concentración principal de desechos líticos había también unos cuantos fragmentos de hueso. Por su coloración sospechamos que podrían estar quemados, pero esta suposición está por examinarse en laboratorio. El tamaño de los huesos apunta hacia algún mamífero de tamaño moderado (no a megafauna); el único hueso de la superficie de ocupación que ha sido identificado taxonómicamente hasta ahora es el objeto no. 121 (Figura 2.15), un astrágalo de venado. En medio de la misma concentración había también una concentración arcuada de arcilla de color café (Figura 2.20), el que la diferenciaba, junto con límites nítidos, de la matriz arcillosa de tonos azulosos de la zona 69. Esta mancha podría ser la huella de algún objeto orgánico descompuesto. En toda la superficie de ocupación, y particularmente entre los desechos líticos, había un número considerable de fragmentos de materia vegetal carbonizada. No estamos seguros por ahora si reflejan alguna actividad cultural o si habían llegado al lugar junto con el sedimento que conforma la zona 69.

En la zona 67, unos 10cm arriba de la superficie de ocupación descrita encontramos una decena de fragmentos de pedernal tallado. En vista de la textura de la zona 67, parecida a la de la zona 69, consideramos que éstos tampoco habían sufrido

redeposición fluvial. Parece más posible que hayan sido introducidos por bioturbación desde la zona 69. Lo mismo habría ocurrido con unos cinco artefactos líticos encontrados en la zona 70, en este caso desplazados hacia abajo. Casi todos estos hallazgos de la zona 67 y 70 se agrupan exactamente encima o abajo de la concentración mayor de la zona 69, lo que hace improbable que representen huellas de distintas ocupaciones aún in situ. Las menos de diez piezas de lítica tallada encontradas más arriba (hasta la zona 49) carecen de cualquier asociación plausible con ocupaciones humanas y probablemente han sido redepositadas por procesos naturales; en el caso de algunas se plantea incluso la interrogante de si realmente han sido talladas por manos humanas.

En cuanto a la concentración de huesos en la zona 78, su pieza central es un gran fragmento de una pelvis de gliptodonte (*Glyptotherium* sp.) (Figura 2.21). Los otros huesos, aunque más pequeños, también eran de megafauna y varios de ellos parecen proceder de la región pélvica o columna vertebral baja de un gliptodonte. Algunos de estos huesos descansaban directamente sobre el fragmento de pelvis grande, mientras que otros estaban más aislados. No percibimos ningún par de huesos articulados. La pelvis parece demasiado grande para haber sido arrastrada por una corriente fluvial que haya depositado la zona 78, pero en vista de la pobre clasificación de este depósito (contiene partículas desde arcilla hasta grava, las últimas suspendidas en la matriz) no se puede descartar del todo algún flujo turbulento o incluso la deposición por procesos coluviales. La desarticulación de los huesos pudo haber sido obra de animales carnívoros o de procesos fluviales, aunque estos últimos debieron haber operado a corta distancia en vista de la ausencia de abrasión, redondeo o mayor fragmentación de los huesos. No hay absolutamente nada que sugiera alguna asociación cultural de estos huesos, que se encuentran a más de dos metros abajo de la superficie de ocupación de la zona 69.

Curiosamente, un hueso de megafauna aislado, al parecer un fragmento de costilla (objeto no. 181), apareció casi exactamente en el otro extremo del complejo de paleosuelos cumúlicos, en la zona 63, cerca de su contacto con la zona 64 (Figura 2.6). Sus dimensiones (unos 15cm de largo, aproximadamente el tamaño de la mano de un

humano adulto) hacen poco probable que haya sido depositado por la avenida que trajo la muy arcillosa zona 63. No creemos por lo tanto que haya sido acarreado por procesos fluviales. Resulta imposible, sin embargo, evaluar cuánto tiempo transcurrió entre la muerte del animal y la deposición del hueso en este lugar. Como el hueso apareció en la orilla del área de excavación, en el plano de 502E, no sabemos si está asociado con otros.

En el contacto de los lotes 6112 y 6118, es decir dentro de la zona 68, descubrimos una pequeña concentración de guijarros de unos 5-10cm de diámetro, apoyados unos en otros. Nos parecieron partículas grandes para la matriz, generalmente arenosa, de la zona 68, pero todos eran de litologías de muy baja densidad, lo que habría hecho más fácil su arrastre a una energía relativamente baja. Concluimos que se trataba con toda probabilidad de una acumulación natural, quizás en el fondo de una pequeña cárcava con orientación NW-SE de la retícula.

Una categoría de hallazgos común a lo largo de la excavación del complejo de paleosuelos cumúlicos fueron pequeñas conchas de moluscos. Algunas de ellas parecen pertenecer al género *Succinea* (Joaquín Arroyo Cabrales, comunicación personal). Los moluscos nos parecieron particularmente comunes en la zona 63. Su identificación taxonómica ayudará quizás a imaginar mejor el tipo de humedal que representan estos paleosuelos.

2.5. Relevancia de los hallazgos

Lo más relevante de los hallazgos de Yuz50 es obviamente haber recuperado evidencia sumamente temprana de presencia humana. De confirmarse la fecha cercana a 10,700 a.C., estaríamos frente al sitio arqueológico más antiguo del estado de Oaxaca. Además, se trata de uno de los sitios, muy escasos a nivel nacional, en los que se combinan huellas incontrovertibles de presencia paleoindia, con un contexto estratigráfico firmemente sellado, todo ello en un sitio a cielo abierto, y no un abrigo rocoso. La sumamente rápida sedimentación aluvial permitió además que se conservaran intactas las muy efímeras huellas de una acampada que posiblemente no duró más de unas cuantas horas. En un sitio así, casi todos los desechos representan basura primaria, es

decir cosas que se quedaron en el lugar en el que fueron descartadas por primera vez por el hombre, con muy poca perturbación posterior. Esperamos poder confirmar esta inferencia por medio de remontajes de los desechos de talla lítica.

Este hallazgo otorga credibilidad a lo que hemos afirmado desde hace tiempo, a saber que los paleosuelos cumúlicos pudieran representar un nicho ecológico muy atractivo tanto para los últimos grandes herbívoros pleistocénicos, como para los grupos de cazadores-recolectores paleoindios. Eso no quiere decir que los grupos en cuestión se hayan dedicado primordialmente a la caza de la megafauna, siendo que en el sitio sólo hay hueso de animales de talla menor y que el propósito de pasar por este lugar pudo haber sido otro, quizás el de abastecerse de materia prima río arriba.

La excavación en Yuz50 nos brindó al mismo tiempo nuestra primera oportunidad de excavar en condiciones bien controladas un volumen importante del complejo de paleosuelos cumúlicos, recuperando todo tipo de información paleoambiental que éstos puedan brindar. Se confirmó la consistente presencia de restos de megafauna en estos paleosuelos, desde los niveles más antiguos hasta niveles más recientes. Cotejando estos hallazgos con observaciones hechas, por nosotros y por los lugareños, en Yuz25, Yuz26, Yuz51 y otras localidades cercanas, podemos estar seguros de que los restos de megafauna son abundantes. En Yuz26 pertenecerían a la mitad de abajo de este complejo, probablemente anterior al Younger Dryas. En Yuz51, en donde recuperamos unos cuantos dientes de caballo, estarían en un nivel intermedio. En Yuz25, sin embargo, afloraba hace unos años un hueso – posiblemente un acromion de megafauna – en la parte superior del complejo, en una posición estratigráfica cercana a la que en Yuz50 ocupaba el fragmento tentativamente identificado como costilla. De multiplicarse este tipo de hallazgos, de poder descartarse la redeposición del hueso y de confirmarse la edad holocénica de los paleosuelos cumúlicos más recientes, estaríamos en condiciones de formular la hipótesis de la supervivencia de la megafauna en este nicho ecológico hasta una época que la mayoría de los paleontólogos consideraría muy tardía.

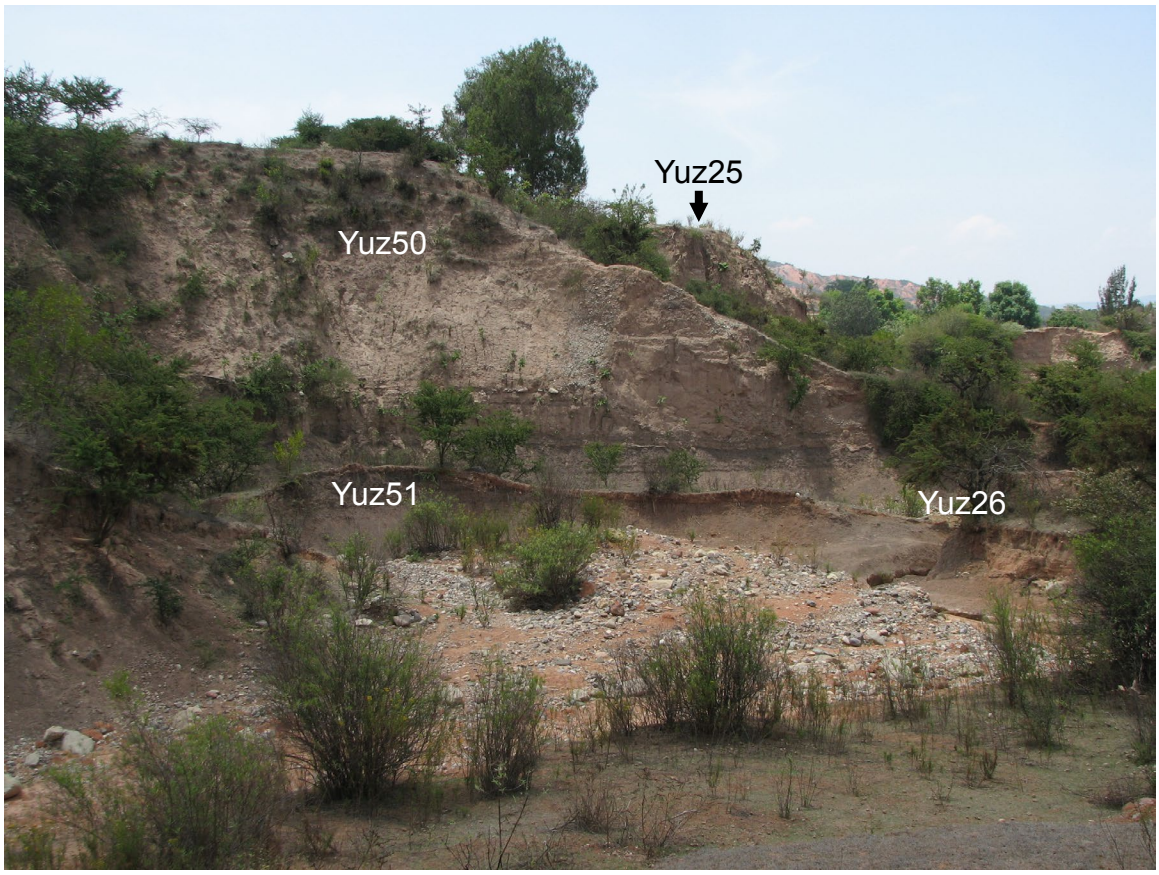


Figura 2.1. **Yuzanú 50 y localidades cercanas antes de la excavación, viendo río abajo.** Para la estratigrafía de Yuz25 y Yuz26, véase Joyce et al. (2012).



Figura 2.2. **Yuzanú 50 antes de la excavación, viendo río arriba.**

ESTRATIGRAFÍA:

- superficie intacta de las terrazas T2
- superficies erosionados de las terrazas T3 y T2
- superficies erosionadas de las terrazas T1
- barras de grava y arena recientes
- planicie de inundación (T0) y meandro abandonado
- cauces activos

RELIEVE:

- cambio de pendiente
- escarpe menor
- escarpe mayor (pared de barranca)
- pendiente moderada
- pendiente fuerte
- pendiente convexa
- pendiente cóncava

OTROS:

- **Yuz25** localidad con estratigrafía examinada
- (B) base de la estación total (nivel arbitrario de 2000m)
- (C) canal de corta de las barras de grava
- (E) unidad de excavación
- (G) punto para visar hacia atrás
- (M) meandro abandonado

Figura 2.3. **Croquis de ubicación y contexto geomórfico del sitio Yuzanú 50 y localidades cercanas.**


N
C
B
M
E
G
Yuz50
Yuz51
Yuz26
Yuz31
Yuz25
20m



Figura 2.4. **Preparación del área de excavación en Yuzanú 50.**



Figura 2.5. **Yuzanú 50 y localidades cercanas durante la excavación, viendo río abajo.**

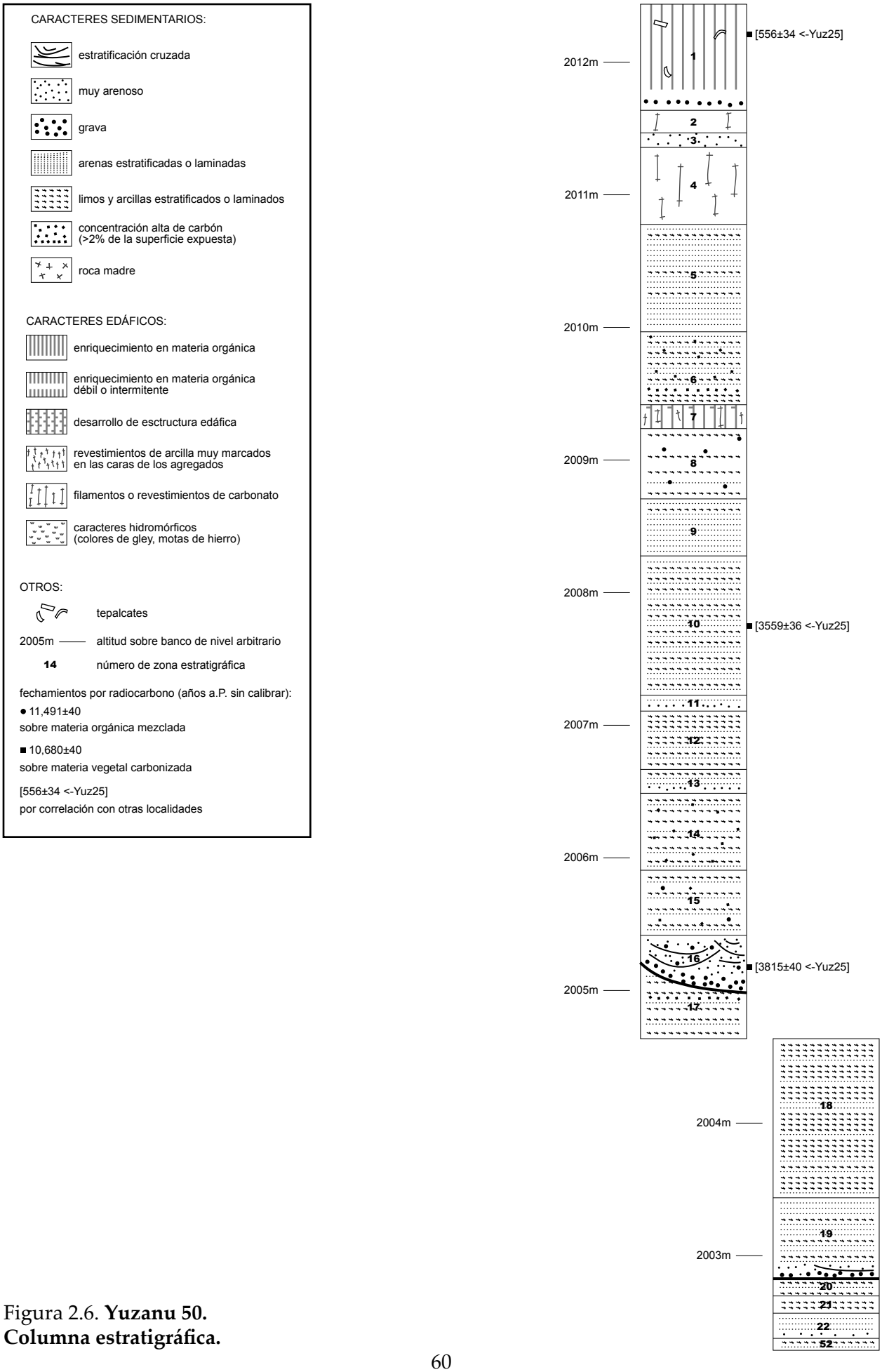


Figura 2.6. **Yuzanu 50. Columna estratigráfica.**

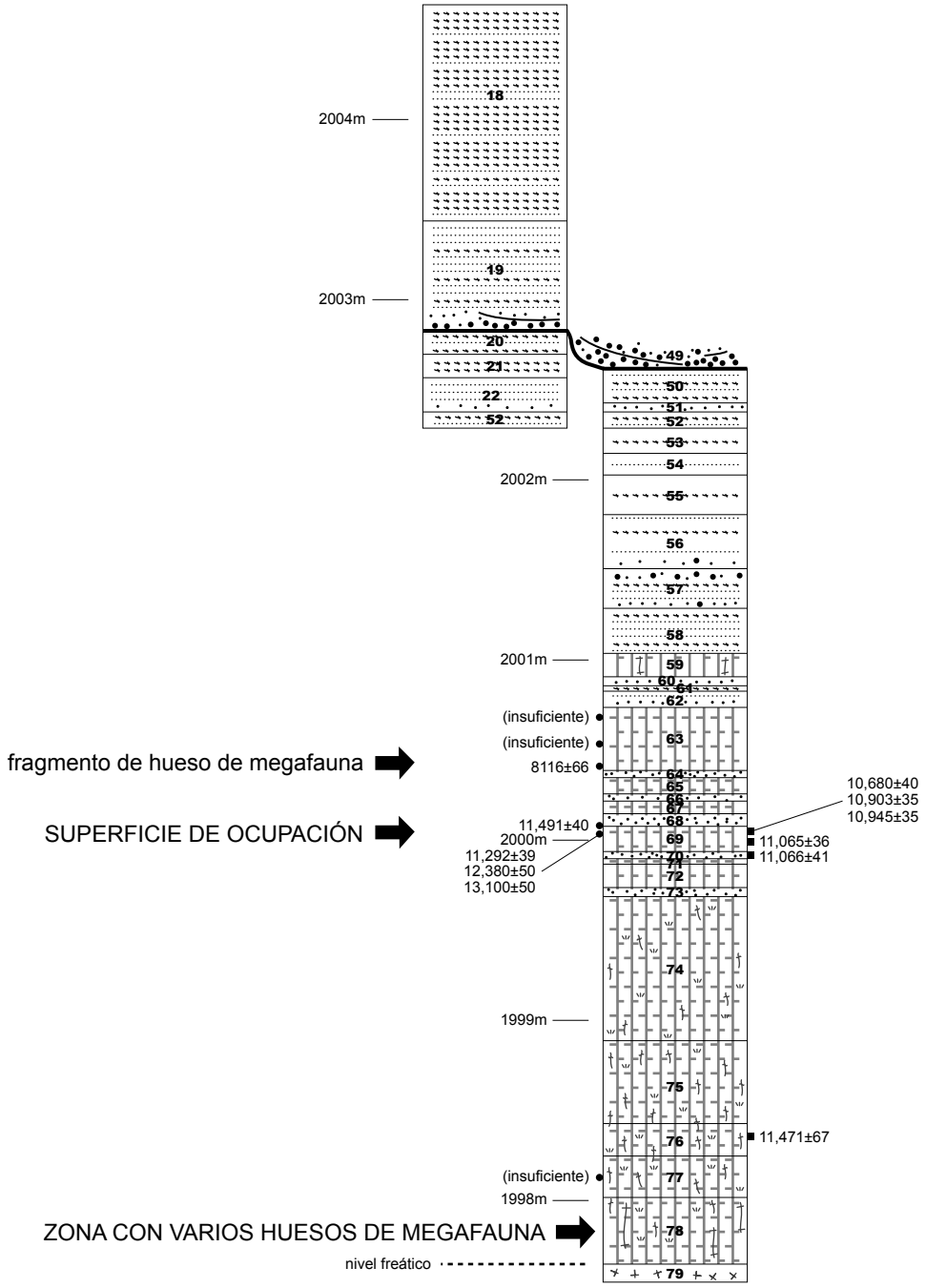


Figura 2.6 (continuación).**Yuzanú 50. Columna estratigráfica.**

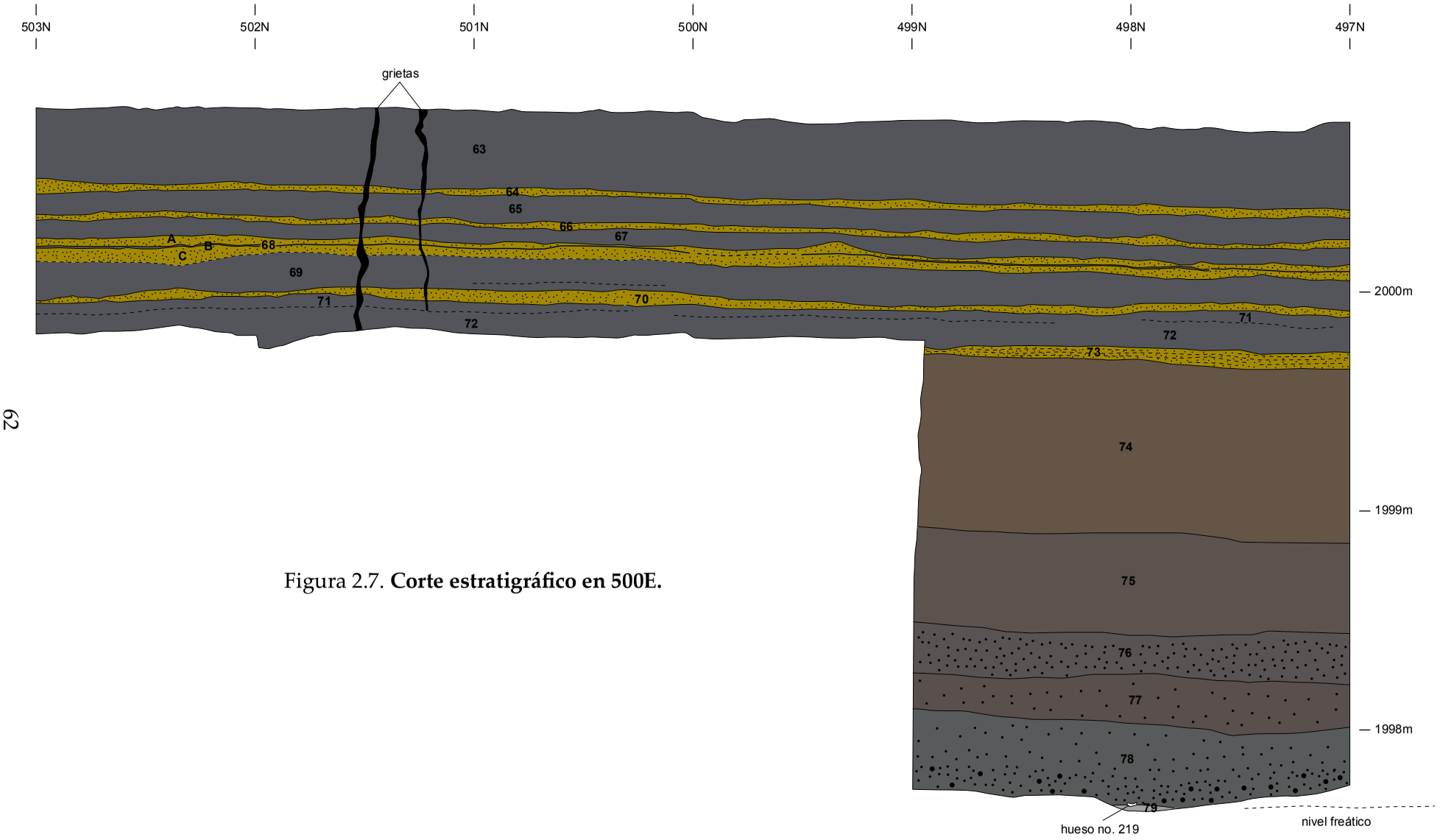


Figura 2.7. **Corte estratigráfico en 500E.**

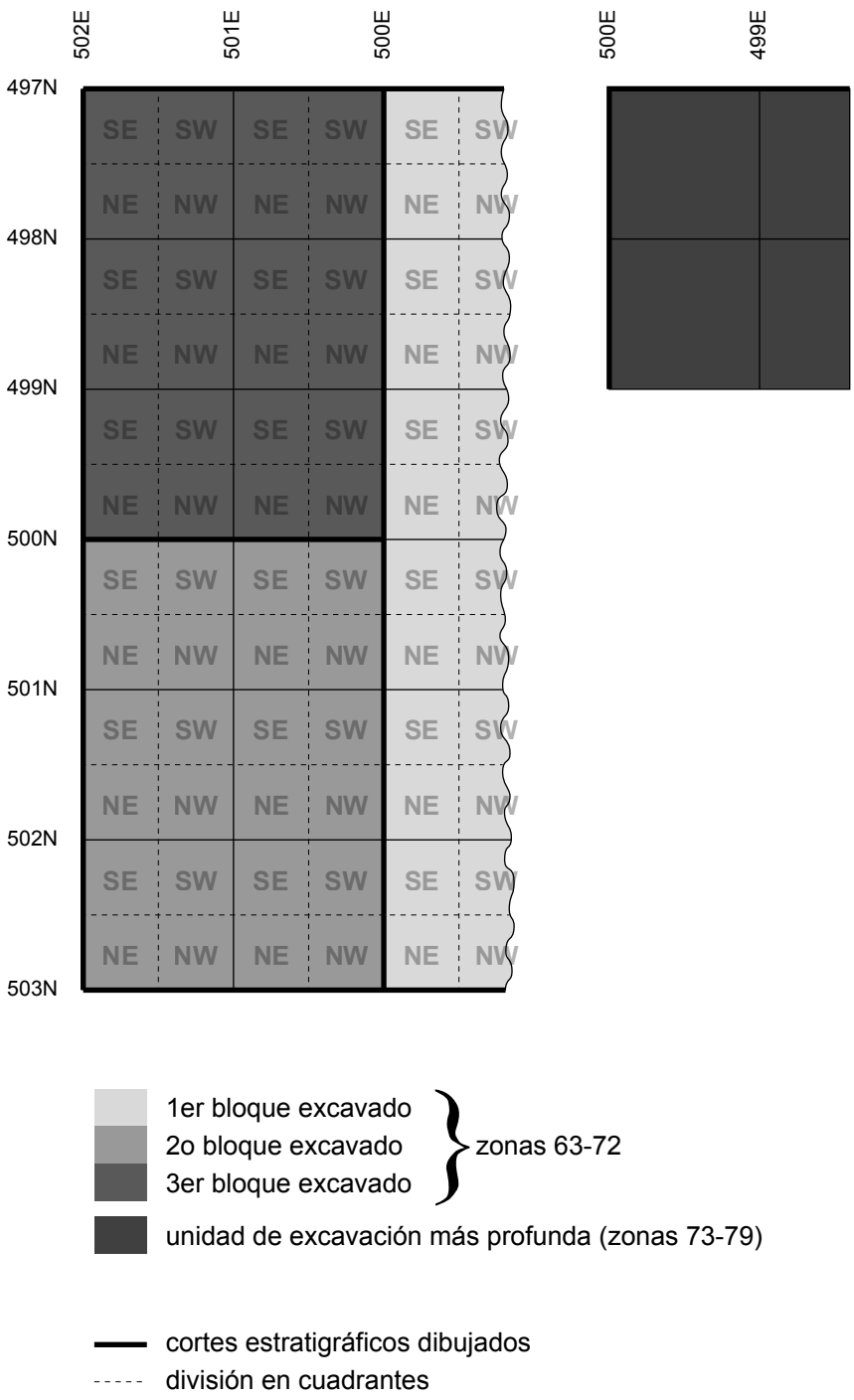


Figura 2.8. **Yuzanú 50. Retícula y orden de la excavación.**

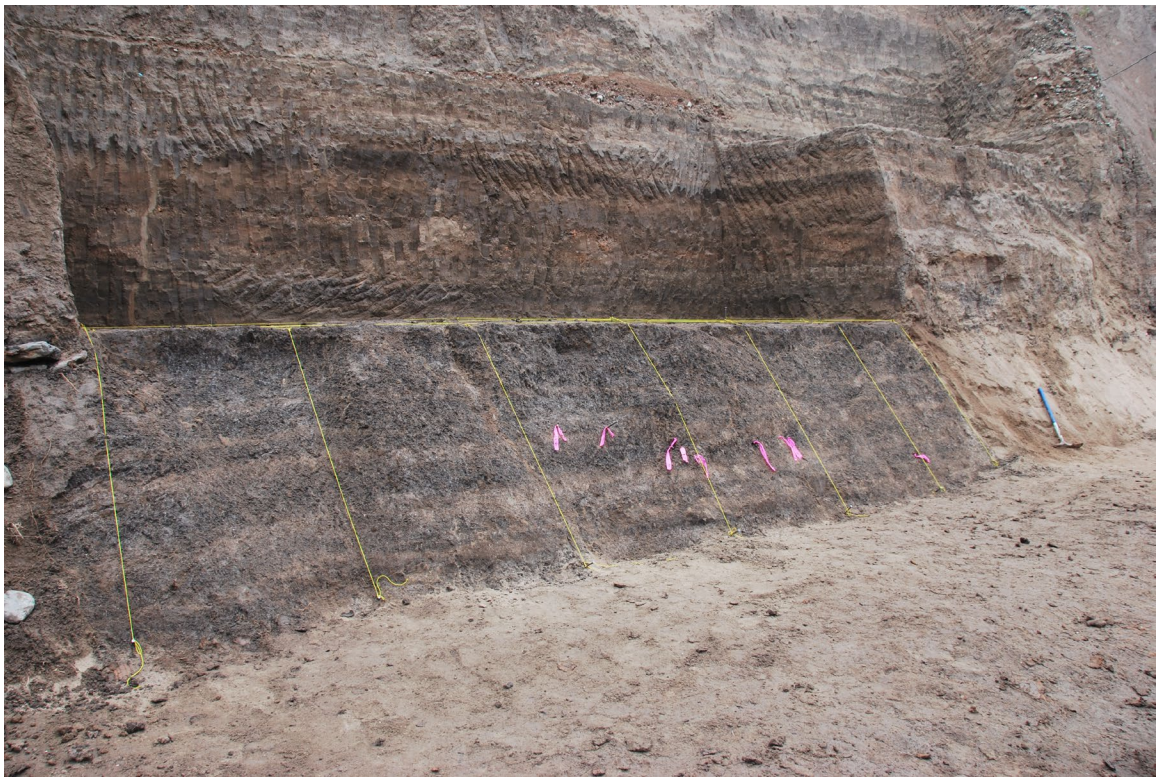


Figura 2.9. **Talud intacto antes de iniciar la excavación del primer bloque.**
La superficie del área de excavación se encuentra en el contacto superior de la zona 63.

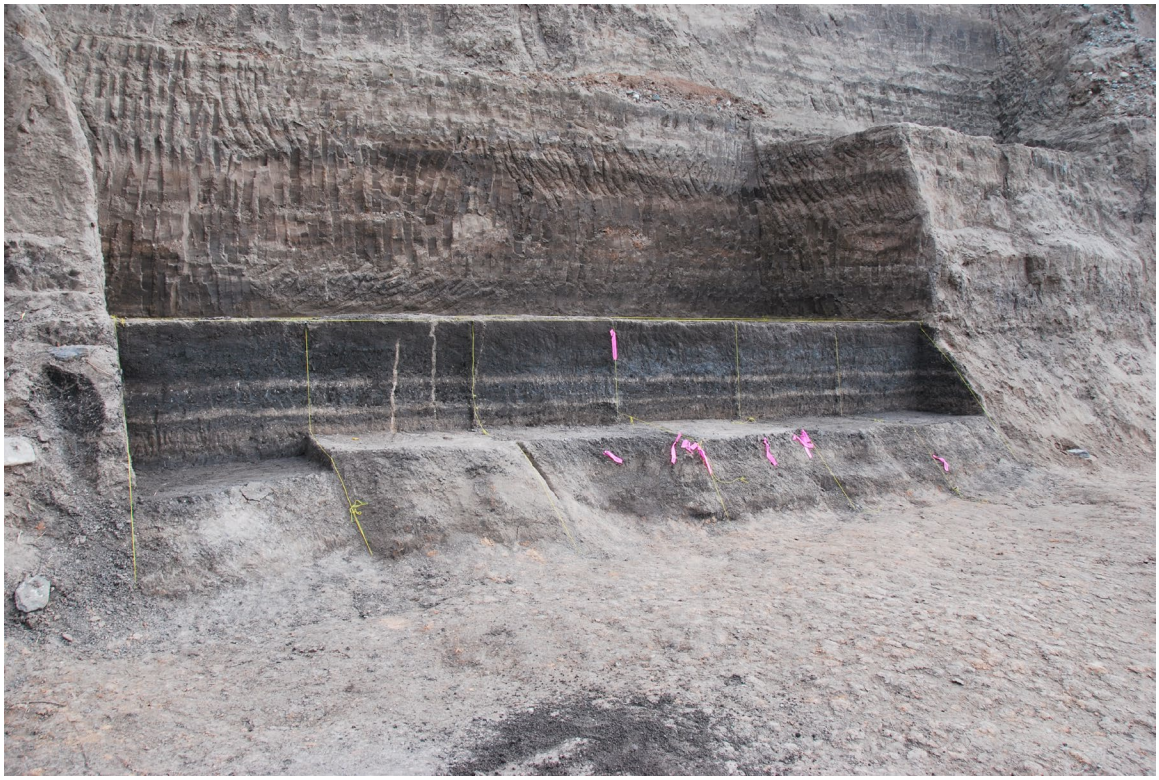


Figura 2.10. **Excavación del primer bloque de seis cuadros incompletos.**
En el cuadro del extremo izquierdo se está llegando a la superficie de ocupación.



Figura 2.11. **Excavación por cuadrantes en el tercer bloque de seis cuadros.**



Figura 2.12. **Herramienta bifacial (objeto 204) aislada expuesta en el lote 6163SW.**

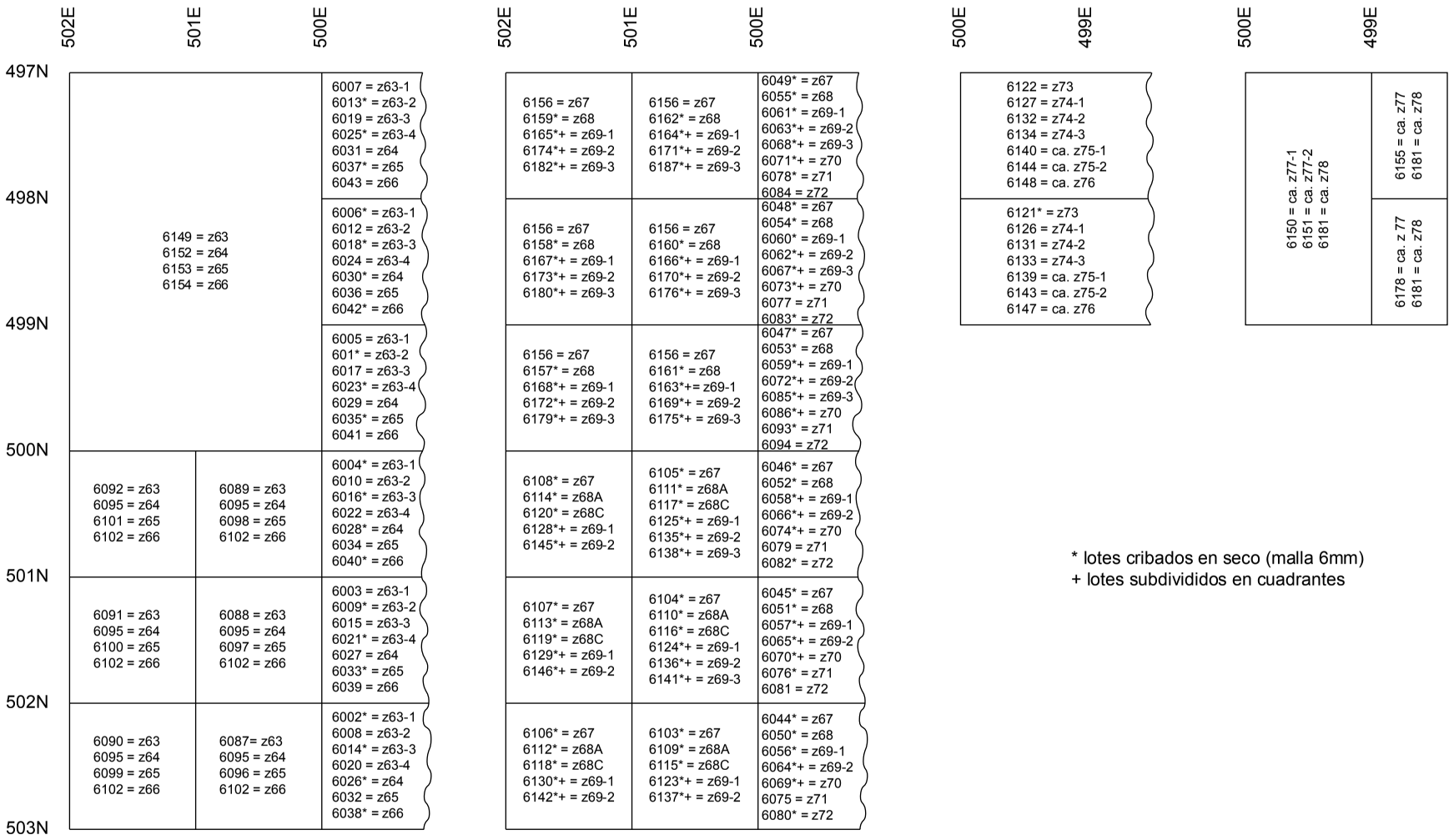


Figura 2.13. **Yuzanú 50. Índice gráfico de los lotes de excavación.**



Figura 2.14. **Remoción del relleno de una grieta antes de iniciar la excavación del lote 6039.**



Figura 2.15. **Excavación de la superficie de ocupación.** Preforma bifacial (objeto 125) en el primer plano y astrágalo de venado (objeto 121) en el segundo.



Figura 2.16. **Desechos de talla lítica en la superficie de ocupación.**
Contacto superior de la zona 69, lote 6052SW.
Contraste acentuado en Photoshop.



Figura 2.17. ***Ribbon flake*** **(objeto 97) en el lote 6059NW.**
Nótese posición casi vertical.

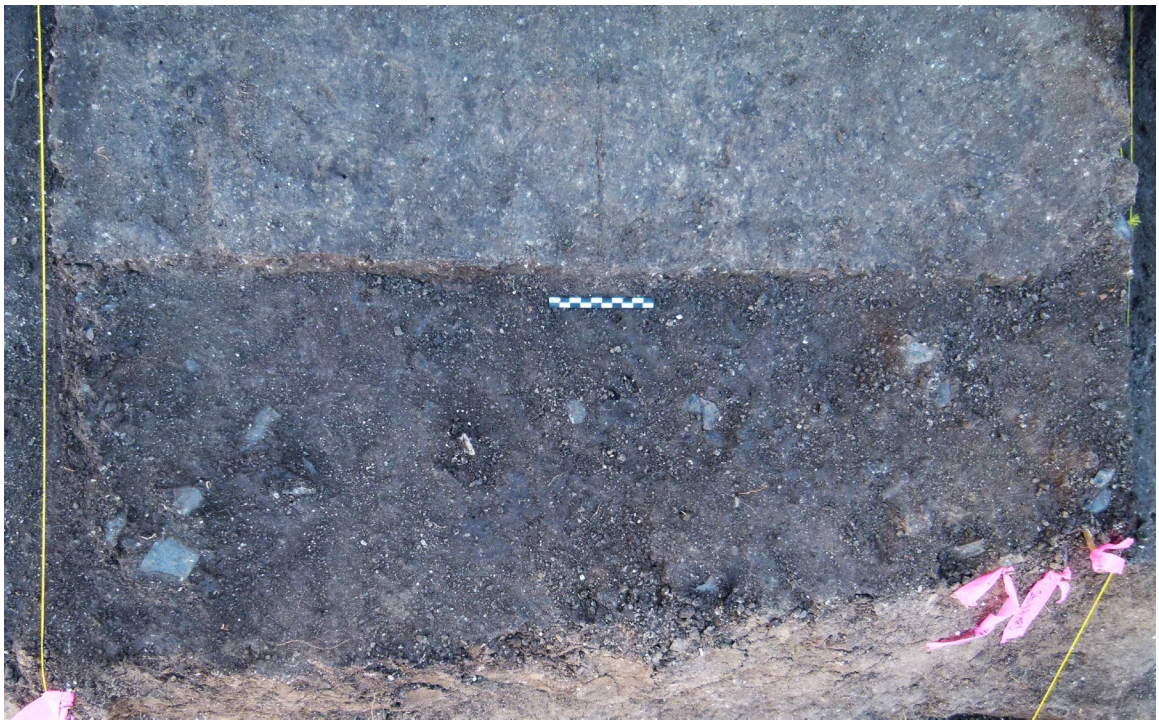


Figura 2.18. **Desechos de talla lítica en los cuadrantes NW y SW del lote 6059.**
Los cuadrantes NE y SE del mismo lote permanecen sin explorar.
Contraste acentuado en Photoshop.



Figura 2.19. **Preforma bifacial (objeto 125)**
y otros desechos de talla lítica en el lote 6072SE.

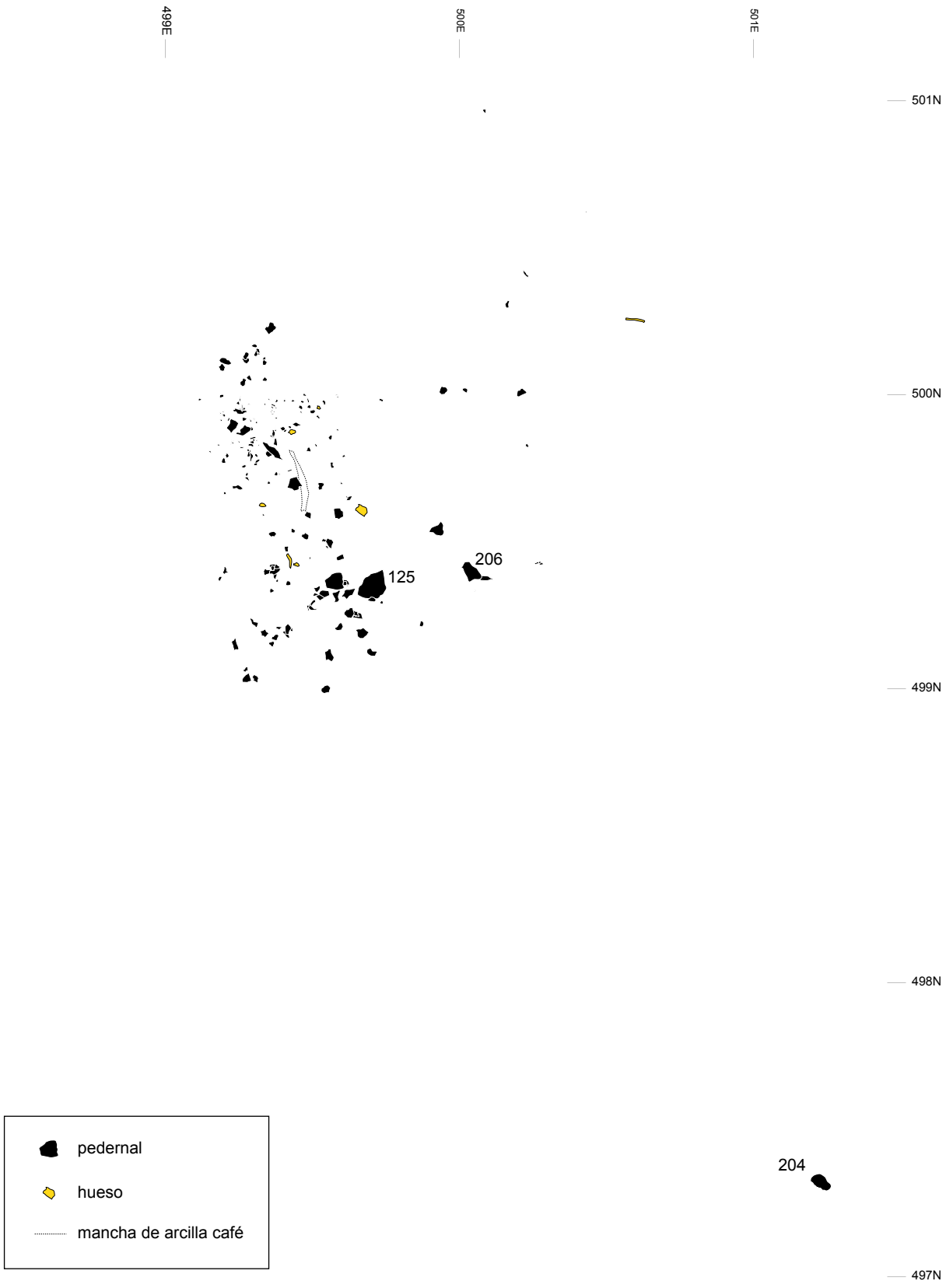


Figura 2.20.**Yuzanú 50. Distribución horizontal de hallazgos en la superficie de ocupación.** 125=preforma bifacial; 204=herramienta bifacial; 206=raedera.



Figura 2.21. **Unidad más profunda después de la remoción de los lotes 6148 y 6149.** Zonas 63-76 expuestas en el plano de 500E y canaletas de muestreo micromorfológico.



Figura 2.22. **Pelvis de gliptodonte (objetos 195 y 197) en la unidad más profunda.** Personal del INAH está consolidando el hueso in situ.

3. TRABAJOS EN YUZANÚ 36

3.1. Ubicación y contexto geomórfico

La localidad Yuz36 y el sitio arqueológico que denominamos Yuzanú 36 se ubican hacia el Este del pueblo actual de Yanhuitlán (Figura 1.1). A diferencia de Yuzanú 50, que es un sitio muy pequeño, Yuzanú 36 parece ser – según varios indicios que nos proporcionó la temporada 2016 – un sitio de varias hectáreas de extensión. Como consecuencia de esto, estamos ante un a situación en la que el sitio arqueológico Yuzanú 36 engloba varias de las localidades de observación y muestreo que habíamos definido en nuestras exploraciones anteriores en la cuenca del Río Yuzanú, incluidos Yuz36, Yuz35 y Yuz5. Para evitar la confusión, en lo que sigue usaremos el nombre completo – Yuzanú 36 – para referirnos al sitio arqueológico en su totalidad, y la abreviatura Yuz36 para referirnos al lugar más acotado (Figuras 3.1-3.2) en donde hicimos nuestras primeras observaciones y practicamos un sondeo en 2012 y donde llevamos a cabo una excavación extensiva en 2016, es decir en la temporada cuyos resultados aquí se reportan. En una ocasión se nos señaló el nombre de Nechixa para el paraje que comprende la localidad de Yuz36, pero el alcance del mismo queda por determinar.

Yuz36 había llamado nuestra atención en 2012 por la presencia, en la pared derecha de la barranca, de un paleosuelo sepultado de color muy oscuro que mostraba varios indicios de haber sido expuesto al fuego, entre otros la alta concentración de materia vegetal carbonizada y de piedras fracturadas por choque térmico. Una repisa de 1.6m de largo por aproximadamente 1.0m de ancho recortada en la pared de la barranca a manera de sondeo (Figura 3.3), nos permitió la excavación controlada y el cribado de todo el espesor del paleosuelo en cuestión. De esta manera recuperamos también una muestra de desechos de talla de pedernal, lo que confirmaba la presencia humana en este lugar, la que fechamientos posteriores ubicaban cerca de 3000 a.C. A unos escasos 40m río arriba, en la localidad denominada Yuz35, en un corte expuesto del lado opuesto de la misma barranca, pudimos registrar la presencia del mismo paleosuelo. A la

corriente de agua que ha expuesto tanto Yuz35 como Yuz36 nos referiremos como la Barranca de Nechixa.

A lo largo de la temporada 2016 no sólo ampliamos el sondeo de Yuz36 hasta lograr una excavación extensiva, sino también tuvimos la oportunidad de reconocer la presencia del mismo paleosuelo quemado en tres cortes estratigráficos más, en las localidades Yuz5', Yuz53 y Yuz54 (Figura 1.1). En todas ellas el paleosuelo en cuestión se distingue por una coloración muy oscura, debida en buena parte a la alta concentración de carbón vegetal, y la presencia de piedras con fracturas térmicas (a las que nos referiremos de aquí en adelante, en aras de brevedad, como 'piedras de calor'). Yuz5' es en realidad la misma localidad que Yuz5, el enorme paredón de más de 16m de alto creado por un meandro del río en frente del pueblo, que exploramos con anterioridad (Mueller et al. 2012: figuras 5 y 10; Borejsza et al. 2014: figura 6). En el extremo izquierdo (de río arriba) de Yuz5 es precisamente donde desemboca la Barranca de Nechixa. En la confluencia, los mismos estratos aparecen expuestos tanto del lado izquierdo del Río Yuzanú, donde los habíamos registrado bajo la etiqueta de Yuz5, como del lado izquierdo de la Barranca de Nechixa, donde usamos la etiqueta de Yuz5'. Al rapelear en el paredón vertical de Yuz5 en ocasiones anteriores, no habíamos reparado en la alteración térmica de ninguno de los paleosuelos, pero sospechamos ahora que el segundo paleosuelo desde arriba corresponde al que contiene la ocupación humana en Yuz36. En Yuz5', en donde la pared es más inclinada y por lo mismo la visibilidad de los estratos más limitada, nos pudimos acercar al paleosuelo quemado en 2016, constatando la presencia no sólo de piedras de calor, sino también de fragmentos de pedernal, la materia prima que constituye más de 99% de los desechos de talla en Yuz36. Yuz53 está entre Yuz5' y Yuz36, en la ribera izquierda de la Barranca de Nechixa, en un lugar en el que los escurrimientos descienden en cascada la pared, formando una pequeña cárcava. Yuz54 es un corte de camino, a un poco más de 300m al Sur de Yuz5. Aquí el paleosuelo quemado también contiene fragmentos de pedernal, entre el que había por lo menos un artefacto. Finalmente, en 2016 observamos también varios artefactos de pedernal en el paleosuelo de interés en Yuz35.

La geometría de los depósitos aluviales nos sugiere que el paleosuelo quemado debe de estar presente también en Yuz18, inmediatamente arriba de la desembocadura de la Barranca de Nechixa. Es probable su existencia del lado derecho del Río Yuzanú, pero no sabemos si allí sigue mostrando las mismas señales de alteración térmica. Nos llama mucho la atención que en todas las localidades donde está expuesto el paleosuelo quemado, hay indicios de presencia humana que varían de fuertes a incontrovertibles. Se entenderá que trazar la extensión exacta de un sitio arqueológico acerámico que se encuentra sepultado a una profundidad de unos 5m es una tarea casi imposible. Tratándose de un sitio precerámico los vestigios son modestos; por este motivo y por la profundidad parecen estar fuera del alcance de los métodos de prospección geofísica conocidos. Sin embargo, al observar la amplia distribución de las localidades mencionadas – Yuz5, Yuz35, Yuz36, Yuz53 y Yuz54 – queda claro que se trata de un sitio que abarca varias hectáreas. La mancha que marcamos en la Figura 1.1 es por lo tanto una extrapolación basada, por una parte, en hallazgos arqueológicos y, por la otra, en nuestro estado de conocimiento actual de la geometría de los depósitos aluviales en esta parte de la cuenca.

El paleosuelo quemado pertenece a lo que hemos denominado el ciclo de sedimentación aluvial 3 en el Valle de Nochixtlán (Mueller et al. 2012). En la cuenca de Yuzanú, ubicada en una de las cabeceras del sistema fluvial de este valle, el ciclo 3 abarcaría aproximadamente desde 12,000 hasta 2500 a.C. El sitio Yuzanú 50, descrito en el capítulo anterior, se situaría en sus inicios, el de Yuzanú 36 en sus finales. Creemos que el sitio excavado por José Luis Lorenzo, aunque sólo un milenio más joven que Yuzanú 36, tenía un contexto geomórfico distinto, perteneciendo a los aluviones más antiguos del ciclo 2. Los depósitos aluviales del ciclo 3 alcanzan espesores mayores a 10m. Uno de los tramos donde mejor se conservan es el que bordea el Río Yuzanú al Este del pueblo de Yanhuitlán, desde Yuz7 (Figura 1.1) hasta unos cientos de metros río abajo del puente de la carretera 195 (la antigua Panamericana). Después de la incisión del sistema fluvial que separa los ciclos 3 y 2, los aluviones del ciclo 3 qudaron en este tramo fuera del alcance de las crecidas, en forma de la terraza de construcción fluvial (*fill*

terrace) T3, la que se conserva en grandes extensiones en ambos costados del cauce actual del Río Yuzanú. De hecho, la parte oriental del pueblo actual de Yanhuitlán está construida encima de esta terraza. Conforme uno se aleja de la ribera izquierda del Río Yuzanú hacia el oriente, en dirección hacia los cerros conocidos como Las Conchas, la superficie de la terraza T3 desaparece bajo sedimentos cada vez más espesos de color intensamente rojo, derivados de la erosión de la Formación Yanhuitlán (Joyce et al. 2012: figura 2). Estos sedimentos parecen haber sido redistribuidos desde las laderas y estribaciones de Las Conchas por una combinación de transporte coluvial y aluvial, obra de efímeros abanicos aluviales y de algunos afluentes izquierdos del Río Yuzanú. En la cabecera de la Barranca de Nechixa se encuentra un paraje con superficies sumamente erosionadas, tapizadas de tepalcates de la fase Natividad. Como nos resulta difícil imaginar este paraje habitado en su estado actual, sospechamos que la cubierta sedimentaria derivada de la Formación Yanhuitlán fue depositada después de la fase Natividad, es decir en los últimos quinientos años.

Es esta tierra roja la que se encuentra hoy en día y se ara de manera intermitente en los terrenos de cultivo contiguos a Yuz35, Yuz36, Yuz53 y Yuz54 (Figura 3.3). Al concluir las excavaciones de 2012 en Yuz36, creíamos aún que los depósitos que se encuentran más abajo, incluido el material parental del paleosuelo quemado, eran aluviones de la Barranca de Nechixa, es decir que habían sido acarreados desde la misma dirección ENE que la tierra roja. Hoy – por razones que se expondrán más adelante – estamos seguros que se trata de aluviones del mismo Río Yuzanú, cuyo cauce debió correr más al Este del su cauce actual, pasando en las inmediaciones de Yuz36 y Yuz35. Por lo tanto, todo parece indicar que la Barranca de Nechixa, por lo menos en su curso bajo, se formó tiempo después de que el Río Yuzanú experimentó una o ambas de las incisiones que transformaron de manera radical su curso, cerca de 2500 a.C. (entre ciclos 3 y 2) y después de 1500 d.C. (entre ciclos 2 y 1). Una fecha en los últimos quinientos años nos parece más probable en vista de que la barranca dio salida a los escurrimientos acelerados desde el extremo noroccidental de Las Conchas, todavía habitado en la fase Natividad.

El relieve actual de los alrededores de Yuz36 y Yuz35 (Figura 3.7) es relativamente sencillo, sobre todo en comparación con lo que describimos para Yuzanú 50 en el capítulo anterior. Geoformas parecidas se distribuyen en ambos lados del cauce activo de la Barranca de Nechixa. El cauce es muy angosto, de unos 2 metros de ancho. Lleva muy poca grava, siendo dominado por partículas más finas, derivadas de la Formación Yanhuitlán. Este cauce parece estarse azolvando en los últimos años y por lo general está definido por un minúsculo escarpe de unos 20cm de alto (que no se muestra en la Figura 3.7). Arriba de este escarpe hay algunas áreas relativamente planas, sobre todo al interior de algunos meandros, así como en un tramo corto recto río abajo de Yuz36. Estas partes probablemente se anegan durante crecidas mayores y por lo tanto se podrían considerar una minúscula y fragmentada planicie de inundación. En muchas partes, sin embargo, el talud empinado de la barranca desplanta inmediatamente arriba del escarpe que marca el cauce activo. Este talud tiene una inclinación mayor a 45° y un perfil por lo general recto o ligeramente cóncavo. Está interrumpido en muchas partes por escarpes largos paralelos al cauce o por escarpes más cortos con orientaciones diversas. Muchos de los últimos separan pequeñas estribaciones de perfil recto o incluso ligeramente convexo, de segmentos cóncavos del talud. Los rectos a convexos corresponden muchas veces al interior de los meandros, mientras que los cóncavos suelen adquirir esta forma debido a escurrimientos encauzados por incipientes cárcavas.

Los taludes conectan el cauce con la superficie llana de los terrenos circundantes, la que corresponde – como lo explicábamos líneas arriba – a la superficie de la terraza fluvial T3 del Río Yuzanú cubierta por coluviones y aluviones rojos más recientes. Si algún relieve tienen esas superficies, éste se debe a trabajos agrícolas recientes, como es el caso de una melga perpendicular al cauce en la ribera izquierda, o una somera zanja paralela al borde del talud en la ribera derecha (no se muestra esta última en la Figura 3.7). La inclinación de los taludes no es suficiente para impedir el crecimiento de la vegetación arbustiva, cuya densidad varía desde unas cuantas matas aisladas hasta un tupido matorral que impide el paso. En algunas partes del talud han crecido ya árboles. Aun en las partes ralas o desprovistas de vegetación, el talud se encuentra embarrado de

la tierra roja recién deslavada de los terrenos circundantes, de tal manera que es muy difícil apreciar la verdadera naturaleza de los depósitos que subyacen el talud. Como es de esperarse en vista de la estratigrafía esbozada, las partes altas de los taludes están formados por los coluviones rojos, mientras que en las partes bajas se encuentran a menudo los depósitos aluviales del ciclo 3. Lo relevante de los escarpes mayores del talud y de las pequeñas estribaciones mencionadas es que son lugares en los que los depósitos más antiguos se conservan hasta una altura mayor que en los segmentos cóncavos contiguos. De esta manera, por ejemplo, el paleosuelo quemado que nos interesa, se conserva en un pequeño manchón en la estribación que se observa en la ribera derecha entre Yuz35 y Yuz36 (Figura 3.7, entre los puntos B y G), mientras que está ausente a sus costados. Aunque la limitada visibilidad nos impide afirmarlo de manera contundente, parece que río arriba de Yuz35 ya no afloran los aluviones del Río Yuzanú del ciclo 3, lo que ha sido el motivo principal para suponer que Yuz35 se encuentra cerca de la orilla oriental del sitio arqueológico.

3.2. Secuencia estratigráfica y marco cronológico preliminar

Uno de los trabajos emprendidos en Yuz36 en 2012 consistió en crear un corte estratigráfico vertical a través del talud. Tal como se aprecia en la Figura 3.3, limpiamos dos tiras o columnas. La primera, denominada Yuz36, estaba alineada con el sondeo, de tal manera que descendía hacia la pared trasera de éste, en donde abarcaba la zona 15, para después seguir al frente de la repisa creada por la excavación, a partir de la zona 16. La segunda columna, denominada Yuz36-1, estaba un poco más hacia la izquierda. La correlacionamos con la primera siguiendo el nítido límite entre las zonas 29 y 30. La columna Yuz36-1 se prolongaba hacia abajo en un pequeño pozo excavado al pie del talud. Ambas columnas fueron objeto de una descripción y muestreo detallados. En 2016, en un momento cercano al cierre de las operaciones de excavación (véase Figura 3.5), registramos también una columna estratigráfica larga, arriba de la parte este del área de excavación, la que se prolongaba en la pared trasera de la misma, ubicada en el

plano de 50N de la retícula de excavación. A ésta nos referiremos como la columna Yuz36-2.

En 2016 nos seguimos refiriendo al paleosuelo quemado como la zona estratigráfica 15, pero la numeración de las demás zonas y la descripción de todas, se llevaron a cabo de nuevo, de manera independiente de las observaciones de 2012. Como resultado, las zonas 1 a 13 de 2012 no son las mismas que las zonas 1 a 13 de 2016. Para las zonas 14 a 17 sí se puede hablar de una equivalencia entre 2012 y 2016, aunque en la última temporada reconocimos, describimos y muestreamos varias facies y variantes de las zonas 15 y 16, así como zonas estratigráficas de extensión más limitada, que generalmente corresponden a los rellenos de elementos culturales. Éstas últimas se identifican por medio de etiquetas compuestas: por ejemplo, la designación 'z59-2' se refiere al segundo relleno del elemento cultural 59.

Las tres columnas están representadas en la Figura 3.8. Las zonas estratigráficas han sido agrupadas en conjuntos marcados en diferentes colores; entre estos conjuntos sí se puede hablar de correlación directa, ya que todos ellos están presentes, en la misma secuencia, en las columnas 36 y 36-2. Tratándose de depósitos de origen aluvial, no es de extrañarse que su espesor sea muy variable sobre distancias cortas, sobre todo (1) si entre una columna y otra nos movemos en un eje perpendicular al cauce original; (2) si la ubicación exacta del cauce fue cambiando conforme se iban acumulando los aluviones (lo que muy comúnmente sucede); y (3) si algunas capas fueron localmente truncadas por la fuerza de la corriente durante la fase creciente de una inundación. La Figura 3.9 es una foto de la estratigrafía expuesta atrás de la parte oeste del área de excavación. La columna Yuz36-2 estaría a unos dos metros y medio hacia la derecha de esta foto, mientras que la Yuz36 estaría en donde se aprecia el negativo del sondeo de 2012.

La columna Yuz36 estaba bastante alejada de la orilla de la barranca, empezando en la tierra roja en la superficie del talud en frente del sabino grande que se aprecia bien en las Figuras 3.3, 3.5 y 3.6. Por esta razón, abarca un suelo muy incipiente desarrollado en el coluvión rojo, pero no todo el espesor del mismo. De manera parecida, en la columna 36-2, sólo describimos la parte inferior de la capa de coluvión rojo, que aquí

alcanza un espesor mayor a dos metros. En pocas palabras, nunca consideramos que el coluvión rojo, muy uniforme en sus atributos, mereciera un muestreo en incrementos pequeños que abarcara todo su espesor. En Yuz36 la tierra intensamente roja corresponde a las zonas 1 y 2, en Yuz36-2 a la zona 2. Está dominada por partículas de limo, pero en el tramo horizontal de más de 11m expuesto por la excavación su textura se vuelve más fina de derecha a izquierda, es decir de NE a SW. Si, como nos imaginamos, se trata de la deposición en un abanico alimentado desde Las Conchas, es de esperarse una pérdida de energía y de tamaño promedio de partículas de este a oeste. No se aprecia mucha estructura ni tampoco ningún paleosuelo obvio en la tierra roja, lo que sugiere una deposición sin interrupciones en un lapso muy breve.

El límite inferior de la tierra roja es abrupto y en partes algo irregular. Este límite separa dos regímenes de sedimentación radicalmente distintos, ya que lo que subyace son los aluviones depositados en la amplia planicie de inundación del Río Yuzanú, durante su ciclo de sedimentación 3, arrastrados desde todas sus cabeceras, ubicadas sobre todo al Norte, en áreas de litología muy variada, en las que la Formación Yanhuitlán no es dominante. Los colores de estos aluviones son mucho más variados y sus texturas abarcan un rango más amplio, desde arcillas hasta gravas. Las excavaciones de 2016 expusieron algunas facies gravosas de la zona 16 y entre éstas se pueden observar las litologías más variadas, la gran mayoría de ellas ausentes de la pequeña cuenca de la Barranca de Nechixa. En 2012, al encontrar varias de estas partículas de grava ajena a Nechixa en la zona 15, creíamos que podía tratarse de piedras acarreadas desde la planicie de inundación de Río Yuzanú por los ocupantes del sitio arcaico. Ahora, después de observarlas formando verdaderas barras de grava en la zona 16, sabemos que la gente estaba acampando en la planicie de inundación del mismo Río Yuzanú.

Durante la temporada 2016, armados con una estación total, pudimos también comparar la cota del límite superior del paleosuelo quemado, la zona 15 de Yuz36, y la de su equivalente en Yuz35, la zona 13. Una lectura preliminar de estos datos arroja que la cota es inferior en Yuz35, siendo que éste se encuentra hoy en día unos 40m río arriba,

siguiendo el curso de la Barranca de Nechixa. Aun en México, el agua no fluye cuesta arriba. Hay dos maneras de explicar esta anomalía. La primera es aceptar que el sentido en el que fluía el agua en los tiempos cuando se depositó la zona 15 era de Yuz36 a Yuz35, opuesto al sentido en el que fluye hoy en día. De allí se tendría que inferir que la Barranca de Nechixa no existía en aquel entonces y que un tramo de un meandro del Río Yuzanú pasaba por este paraje de NW a SE, probablemente virando de vuelta hacia el SW más allá de Yuz35. La segunda posibilidad – que consideramos mucho más remota – es que los depósitos aluviales expuestos en Yuz35 formen parte de un bloque de aluvión de varias decenas de metros cúbicos deslizado hacia el cauce de la Barranca de Nechixa una vez que éste se haya abierto. En este caso, cabría la posibilidad de que los aluviones expuestos en Yuz35 representaran una parte más distal de la planicie de inundación del antiguo Río Yuzanú que los de Yuz36, en vez de representar un lugar río abajo de Yuz36.

Creemos que no es casual que las zonas superiores sepultadas inmediatamente abajo de la tierra roja (zonas 2 a 5 en la columna Yuz36-2, 3 a 4 en la Yuz36) acusen rasgos edáficos bastante desarrollados, incluida la ausencia de estructuras sedimentarias originales del material parental, la acumulación de materia orgánica, el desarrollo de agregados angulares a prismáticos revestidos de arcilla y, en la parte inferior de este paquete, la presencia de algunos nódulos de carbonato. Tratándose de los últimos depósitos aluviales del ciclo, éstos habrían permanecido estables (sin aportes de sedimento nuevos) en la superficie de la terraza fluvial T3 por un largo tiempo después de la incisión del Río Yuzanú que creó la terraza cerca de 2500 a.C. La misma incisión habría puesto esa superficie fuera del alcance de cualquier inundación, permitiendo el desarrollo de un suelo bien drenado y la movilización de los carbonatos secundarios. La zona 2 de Yuz36-2, de estructura bastante bien desarrollada, está ausente al parecer de Yuz36, de donde habría sido removida en el momento en el que inició la deposición de la tierra roja.

Los nódulos blancos se encuentran también en la parte superior de la zona 6 de Yuz36-2, probablemente marcando el nivel hasta el que llegaba la percolación de agua

cargada de carbonato desde la superficie de la terraza T3. La zona 6, equivalente a zonas 5 a 7 de Yuz36, consta de una serie de arenas y lodos (limos o arcillas) que aún conservan su fina estratificación original. De lejos predominan entre ellos tonos amarillentos (Figura 3.9). La zona 7 de Yuz36-2 (la 8 de Yuz36) consta de lodos y limos laminados. Llaman la atención dos láminas de limo de color blanco que marcan los límites superior e inferior de esta zona. La lámina blanca en el límite superior de la zona destaca desde lejos y constituye un buen marcador estratigráfico, presente al parecer en toda el área excavada hasta la fecha en Yuz36. Las zonas 8 a 10 de la columna Yuz36-2 (zonas 9 a 11 de Yuz36) son de tonos cafés y grises. Se trata de lodos y arenas intercalados en un sinnúmero de estratos finos. La estratificación original ha sido parcialmente borrada por incipientes procesos edáficos. Es en este paquete que se nota por primera vez de manera más consistente la presencia de carbón vegetal, así como de algunas piedras, muy aisladas, que parecen fuera del alcance de la energía que depositó el estrato en el que las encontramos. La gran mayoría de ellas no son artefactos en el sentido de haber sido modificadas intencionalmente por manos humanas, pero algunas cuentan con fracturas térmicas y algunas son de pedernal. Todo ello configura un cuadro muy sugerente de una presencia humana intermitente en el paraje.

Las zonas 11 a 17 (en la numeración de 2016) fueron objeto de la exploración, descripción y muestreo más cuidadosos y más extensivos, registrándose no sólo en las columnas de la Figura 3.8, sino también en una serie de dibujos a escala 1:20, alineados con la retícula de la excavación. Disponemos de 39.2m horizontales de estos dibujos (Figura 3.30), los que dan cuenta de la geometría tridimensional y variaciones internas de las zonas 11 a 17. Como un corte representativo, reproducimos en la Figura 3.13 la estratigrafía registrada a lo largo del plano de 48N de la retícula. Las zonas 11 a 14 (equivalentes a las zonas 12 a 14 de la columna Yuz36 de 2012) integran un paquete sedimentario de arenas, limos y arcillas laminados, con estructuras sedimentarias bien conservadas. La laminación es horizontal, aunque en las zonas 11 a 13 hay también atisbos de una laminación cruzada. Se trata de los depósitos de una serie de crecidas de energía relativamente baja, ya que las partículas más grandes, presentes sobre todo en la

zona 12, no rebasan el tamaño de gravilla de ca. 2cm de diámetro y aun allí son escasas. En algunas láminas de este paquete se observa una concentración muy alta de fragmentos de carbón, la que excepcionalmente alcanza una cobertura de hasta 10% de la superficie. Se trata sin embargo de carbón muy fragmentado, de tamaño milimétrico. La zona 14 es de densidad baja y de textura particularmente fina, ya que la componen unas cuantas láminas de limo y lodo. La depositó una crecida de energía particularmente baja, permitiendo que el contacto superior de la zona 15 se conservara intacto. Efectivamente, este contacto, que expusimos con sumo cuidado (Figura 3.24) no está surcado por ningún tipo de paleocauces o cárcavas erosivas. En el límite superior de la zona 15 descansan muchas piedras pequeñas y se puede apreciar como el sedimento fino de la zona 14 se fue depositando alrededor de ellas, sin moverlas. Se trata de un suceso muy fortuito para la arqueología, ya que permitió la conservación de la última de las superficies de ocupación del sitio arcaico, ubicada precisamente en ese límite superior de la zona 15.

El espesor de la zona 15 en Yuz36 es muy uniforme, manteniéndose cerca de 20cm en casi toda el área excavada. Aunque se presentan en algunos lugares espesores tan pequeños como 14cm y en otros mayores a 25cm, los primeros parecen ser resultado de la compresión posdeposicional de algunos bloques de aluvión en la orilla del talud, mientras que los espesores mayores se observan sobre todo en donde el contacto entre las zonas 15 y 16 está surcado por someras cárcavas, o donde ha sido turbado después de la deposición de por lo menos una parte de la zona 15. La textura de la zona 15 es la de un migajón arcillo arenoso. El contenido de arena parece aumentar un poco hacia el Oeste del área excavada, notándose sobre todo la presencia de inclusiones de arena mediana a fina de color blanco que aumenta hasta cubrir unos 3% de la superficie. Cuando está húmeda, la zona 15 ostenta un color intensamente negro; al secarse se torna gris. El color oscuro se debe a la acumulación de materia orgánica y a la abundancia de carbón, que incluye desde fragmentos milimétricos hasta fragmentos de varios centímetros de diámetro, y cuya cobertura varía de 1 a 10%; nos parece que la concentración de carbón disminuye ligeramente hacia el Oeste del área de excavación,

pero esta apreciación está por evaluarse en función de los resultados de los análisis de laboratorio. La zona 15 tiene una estructura débil- a medianamente desarrollada, de unos bloques angulares gruesos; en sus caras parece haber revestimientos delgados de materia orgánica y arcilla, pero el poco contraste entre éstos y el color también oscuro del interior de los agregados, hace difícil apreciar la intensidad de los procesos de iluviación.

En términos generales, hay una aparente incongruencia entre el color muy oscuro, que sugiere un largo tiempo de acumulación de materia orgánica y el pobre desarrollo de otros rasgos edáficos. Sospechamos que esto se debe, entre otros factores, a que el oscurecimiento se haya dado más por la quema de la vegetación en la superficie de este paleosuelo, que por la acumulación de humus. Nos parece también viable la hipótesis de que las actividades humanas en este lugar hayan contribuido a revolver la tierra, destruyendo las estructuras sedimentarias del material parental del suelo, pero al mismo tiempo rompiendo los agregados e impidiendo un desarrollo más fuerte de la estructura edáfica. Hay que mencionar también que, aunque no tiene mucha estructura, la zona 15 es muy compacta: en estado húmedo tiene una consistencia firme, mientras que al secarse se vuelve muy dura a extremadamente dura. Posiblemente haya sido compactada por el tránsito continuo de personas.

La textura de la zona 15 parece volverse un poco más arenosa hacia abajo, pero a simple vista resulta casi imposible vislumbrar dentro de ella algún indicio de estratificación interna. Sin embargo, estamos convencidos de que los 20cm de espesor no se depositaron en un solo evento, sino en una serie de crecidas que iban aportando espesores menores de aluvión, que la formación de suelo fue modificando poco a poco. Esta inferencia se debe sobre todo a la distribución de materiales y elementos culturales dentro de la zona 15, que no es uniforme ni aleatoria. Como se explicará con más detalle en el apartado 3.4, hicimos muchos hallazgos en la superficie de la zona 15; más abajo su concentración tiende a disminuir, hasta alcanzar una profundidad de aproximadamente dos tercios del espesor total de la zona. En este nivel la concentración de artefactos parece aumentar de nuevo y, lo que es fundamental, es desde este nivel que desplantan

varios de los elementos culturales descubiertos, incluidos varios pozos y hogares. Finalmente, hay algunos elementos que parecen desplantar del contacto entre las zonas 15 y 16. Es por ello que pensamos que la zona 15 se siguió acumulando a lo largo de la ocupación del sitio. Nos imaginamos que en varias ocasiones en las que la gente se retiró de la planicie de inundación en tiempo de lluvias, las crecidas del Río Yuzanú cubrieron este lugar de delgadas capas de lodo o arena no muy gruesa. Los subsiguientes lapsos de estabilidad, crecimiento de plantas en la planicie de inundación y actividad humana fueron lo suficientemente largos pare revolver estos aportes nuevos de sedimento, oscurecerlos, y homogeneizarlos con el resto de la zona 15.

Nada de esto debió haber involucrado una turbación muy intensa del sedimento, ya que de ser así, se habrían borrado los contornos de los elementos y se habrían distribuido de manera más uniforme los artefactos. Sin embargo, algunas partes del área excavada, sobre todo del lado oeste, sí experimentaron una turbación más intensa, que revolvió las zonas 15 y 16, en ocasiones llegando hasta la zona 17. Lo interesante de esta turbación es que se presenta bastante acotada, tanto en su extensión horizontal (Figura 3.30), como en su extensión vertical (Figura 3.13), de tal manera que en un primer instante malinterpretamos varios manchones turbados como elementos culturales (véase por ejemplo la Figura 3.43). Terminamos por etiquetar las zonas turbadas en las que predominaban los atributos de la zona 15 como la zona 15T, y aquéllos en los que predominaban los atributos de la zona 16 como la zona 16T. La zona 15T muchas veces se presenta como un depósito con una matriz tan oscura como la de la zona 15 'estándar', a veces incluso con concentraciones de carbón mayores, pero al mismo tiempo con gruesos agregados amarillentos y arenosos arrancados, sin duda alguna, de las zonas 16 y 17. La variante 15T no se presenta nunca en los dos tercios superiores de la zona 15; sólo la encontramos en el tercio inferior, donde llena por lo general depresiones que penetran en la zona 16.

Todo ello nos permite afirmar que la turbación no es reciente, sino que se dio en un lapso muy breve durante la ocupación del sitio, después de que se había depositado el cuarto o el tercio inferior de la zona 15, pero antes de que se hubiera acumulado el

resto. Ignoramos si se trató de un proceso de turbación cultural o natural. Entre los primeros podríamos pensar en la gente roturando o cavando tierra en la planicie de inundación de manera algo desordenada, en búsqueda de tubérculos o invertebrados comestibles, o para aprovechar la misma tierra en alguna otra actividad; los contornos sumamente irregulares de los manchones de la zona 15T y su relleno revuelto y pobre en artefactos dejan claro que no se trataba de cavar fosas como las que presentamos a continuación entre los elementos culturales incontrovertibles. Entre los procesos naturales que pudieran ocasionar este tipo de turbación está la actividad de animales que cavan madrigueras, o simplemente el crecimiento de uno o dos árboles de raíces gruesas en el lugar, gracias a un lapso prolongado en el que no se dieron inundaciones mayores. No creemos que la turbación se deba a un evento erosivo de índole fluvial, ya que el área turbada no tiene la forma lineal de un paleocauce o paleocárcava; además si la corriente tenía suficiente fuerza para arrancar los agregados de las zonas 15 y 16, los habría desagregado y removido más allá de Yuz36, llenando la depresión de sedimento más grueso y estratificado. Por lo pronto nos inclinamos a pensar en los procesos de bioturbación natural como los más probables, preferencia que encuentra cierto apoyo en la observación que desde el fondo de las depresiones con relleno de zona 15T arrancan a veces pequeñas grietas y 'túneles' con relleno oscuro que atraviesan la zona 16.

La zona 16 está compuesta de manera predominante por tierra de tonos amarillentos oscuros y con textura de migajón arenoso. Su débil estructura de gruesos agregados angulares es muy parecida a la de la zona 16. El límite entre las zonas 15 y 16 es claro, pero no abrupto, con muchos revestimientos de materia orgánica y arcilla que descienden desde la primera hacia la segunda, donde se vuelven más visibles gracias al color contrastante del interior de los agregados de la zona 16. En el momento de su deposición la zona 15 debió ser muy parecida a la zona 16, oscureciéndose la zona 15 y enriqueciéndose en arcilla ya por procesos edáficos. Juntas, estas dos zonas forman un solo paquete aluvial con estratificación normal (*normally graded*), es decir con un tamaño promedio de partículas que va disminuyendo de abajo hacia arriba, reflejando cómo fueron amainando de las crecidas, quizás debido a que el cauce principal del Río Yuzanú

se iba alejando del lugar. Es posible que en el momento en el que inició la deposición de la zona 15, las crecidas habían amainado lo suficiente para alentar a la gente a acampar en este lugar; de esta manera se explicaría por qué los restos culturales se asocian de manera casi exclusiva con la zona 15 y elementos que desplantan de ella.

La excavación extensiva de 2016 permitió apreciar la considerable variabilidad de la zona 16, la que contiene partes de textura más fina o más gruesa que el migajón arenoso que acabamos de mencionar como la norma. Las lentículas de arena o grava son particularmente comunes. Las últimas dan cuenta de la presencia de ambientes de mucha energía fluvial en las inmediaciones de Yuz36 durante la deposición de la zona 16, quizás incluso del paso de uno de los paleocauces del Río Yuzanú a través del área que abarcó la excavación. La concentración de carbón en la zona 16 disminuye de manera drástica, aunque sí se encuentren de manera consistente fragmentos de tamaño milimétrico, así como algunas piedras de calor y artefactos aislados.

La zona 17 tiene una coloración amarilla y una textura de migajón arcillo limoso. Es parte de un paquete aluvial más grande, que se extiende hacia abajo hasta la zona 29. Se trata de estratos horizontales o subhorizontales de arenas, limos y arcillas, entre los que predominan tonos amarillentos. Se encuentran en este paquete de manera consistente fragmentos de carbón de tamaño milimétrico, pero sólo en las zonas 20 y 26 su cobertura llega a rebasar 2% de la superficie. Ninguna de estas zonas ha sido alterada de manera significativa por procesos edáficos.

A partir de la zona 30 se da un cambio radical en la naturaleza de los estratos, éstos expuestos únicamente en la columna Yuz36-1. Se trata de un paquete compuesto por zonas sumamente arcillosas, con una estructura de gruesos prismas con gruesos revestimientos de arcilla y materia orgánica en sus caras; los revestimientos cuentan con facetas de presión (*slickensides*). Los colores predominantes son de grises muy oscuros, a veces con tonos azulosos. En algunos niveles se han acumulado carbonatos secundarios de diferente morfología, incluyendo filamentos, revestimientos y nódulos. Todo el paquete se podría describir como un complejo de horizontes A cumúlicos, aunque está interrumpido por dos zonas más arenosas, la 35 y la 37, en las que la formación de suelo

no ha llegado tan lejos como en las zonas de textura más fina. Hay muy poco carbón en estas zonas. La columna expuesta en 2012 sólo alcanzó la zona 38, así que no sabemos a qué profundidad se encuentra aquí la discordancia que marca el inicio del ciclo de sedimentación 3.

Aunque el grosor de los estratos varía, la misma secuencia de deposición se presenta en casi todo Yuz36. Cabe mencionar, sin embargo, que en algunas partes los aluviones en cuestión y los suelos que en ellos se han desarrollado en distintos momentos del Cuaternario tardío, se han visto afectados por procesos pos-deposicionales. Los más conspicuos entre ellos han operado a gran escala, afectando múltiples zonas estratigráficas a la vez. Se han abierto algunas grietas de varios centímetros de ancho que zigzaguean a través de varios metros de espesor de los paquetes aluviales (Figuras 3.10-3.13). Parecen originarse en las zonas con alto contenido de arcilla, en las que los agregados se contraen de manera considerable al secarse, pero de allí se propagan a través de todos los estratos, sin importar su textura. Las presiones que se desarrollan al abrirse estas macrogrietas son tan fuertes que a veces llegan a romper cantos (Figura 3.12). En muchos casos las grietas ocasionan la completa separación de enormes bloques de aluvión, de varios metros cúbicos de volumen y pesos de decenas de toneladas. En estos casos estamos hablando de verdaderas fallas, aunque por supuesto de dimensiones menores a las fallas tectónicas.

El desarrollo de esas fallas en Yuz36 parece ser un proceso posterior a la aparición de la Barranca de Nechixa. Al abrir ésta un enorme boquete a través de la terraza T3, ha expuesto los antiguos aluviones del Río Yuzanú a variaciones más acentuadas en su contenido de agua, al mismo tiempo que les quitó algo de su antiguo soporte estructural. Es muy posible que los frecuentes temblores que experimenta el Valle de Nochixtlán contribuyan también a la aparición y propagación de estas fallas. Algunas fallas se abren sin que los bloques de aluvión se muevan, mientras que a lo largo de otras se dan deslizamientos (Figura 3.10). Los deslizamientos a su vez, se pueden dividir entre aquéllos en los que el bloque caído conserva su cohesión y por lo tanto su estratigrafía original, y aquéllos en los que el bloque caído se desmorona en

bloques más pequeños, en los agregados de suelo originales, o en sus partículas constituyentes. Un bloque deslizado sin desmoronamiento puede ser objeto de una excavación arqueológica que define y respeta todos los límites estratigráficos. Un bloque caído y desmoronado es de interés mucho más limitado: en el mejor de los casos se podrán rescatar algunos artefactos y ecofactos, pero muchos de ellos carecerán de un contexto estratigráfico seguro, a menos de que se encuentren aún firmemente enterrados en agregados característicos de una zona estratigráfica con atributos muy distintivos (como es el caso de la zona 15 en Yuz36). Las relaciones espaciales entre los hallazgos serán de todos modos muy difíciles o imposibles de reconstruir.

Como es de esperarse, en Yuz36 las fallas, deslizamientos y desmoronamientos se hacen más frecuentes y más intensos conforme uno se va acercando al cauce activo y a la superficie del talud, pero disminuyen de manera notable hacia adentro de la pared de la barranca. Como explicamos en el apartado siguiente, nuestra estrategia de excavación se guió por estas observaciones, tratando de concentrar los esfuerzos en los bloques con estratigrafía intacta.

Las grietas y fallas se vuelven por supuesto un conducto para la penetración de animales, raíces y de sedimento suelto desde capas superiores. En Yuz36 algunas de ellas resaltan por su relleno teñido del color rojo del coluvión. Al iniciar la excavación estábamos bastante preocupados por la confusión que estos procesos posdeposicionales podían introducir en el sitio. Sin embargo, las grietas resultaron ser bastante fáciles de delimitar, mientras que otro tipo de intrusiones, de raíces o de madrigueras, resultaron ser sumamente escasos. Tenemos la impresión de que una vez establecidas, las grietas en cuestión se mantienen bastante estables (es decir, en cada temporada de lluvias se abren en el mismo lugar). Además, tanto las raíces como los animales las aprovechan, lo que limita su penetración hacia adentro de los grandes bloques que las fallas delimitan.

Contamos con varios elementos para proponer un marco cronológico preliminar para la secuencia estratigráfica de Yuz36, algunos ya mencionados en la discusión del contexto geomórfico de Yuzanú 36 en el apartado anterior. Una primera división muy marcada la proporciona la distribución de los artefactos. En el terreno de cultivo que se

extiende hacia el Norte de Yuz36 hay algunos tepalcates de la fase Natividad y algunos artefactos cerámicos parecen estar asociados con la tierra roja en el ápice de la secuencia estratigráfica. Más abajo, sin embargo, después de haber excavado varias decenas de metros cúbicos de tierra y cribado una buena porción de este volumen, no hemos recuperado ni un solo artefacto cerámico. Entre las zonas 8 y 16 sí hemos recuperado varios artefactos líticos, miles de ellos concentrados en la zona 15. Se confirma de esta manera que los aluviones del Río Yuzanú en este lugar pertenecen, en términos arqueológicos, al Precerámico (que terminaría en la Mixteca Alta a mediados del segundo milenio a.C.), mientras que la tierra roja es de tiempos cerámicos, como lo señalábamos más arriba probablemente posteriores a 1500 d.C.

Tenemos aún muchas dudas acerca de las posibles correlaciones y la edad del complejo de paleosuelos cumúlicos que abarca las zonas 30 a 38. Su posición en la secuencia sugiere una correlación con el paleosuelo 3 de Yuz5, cuya materia orgánica había arrojado el resultado de 6970±40 a.P. (5980-5750 a.C. a 2σ) (Mueller et al. 2012: tabla 1). Sin embargo, en Yuz5 se trata de un paleosuelo mucho menos espeso, sin rasgos cumúlicos. Éstos acercan las zonas 30 a 38 de Yuz36 más bien al complejo de paleosuelos que en los alrededores de Yuzanú 50 (y en otras partes del Valle de Nochixtlán) abarca la transición Pleistoceno-Holoceno y en el que excavamos la ocupación paleoindia descrita en el capítulo anterior. Sin embargo, el paleosuelo de Yuz36 parece mejor drenado, más desarrollado en términos edáficos, con pocos vestigios de la estratificación original y con más carbonatos. Por lo pronto, nos inclinamos más hacia la primera correlación, es decir una fecha del Holoceno medio para las zonas expuestas en Yuz36-1. En vista del alto grado de reciclaje de materia orgánica de los paleosuelos aluviales constatado en Yuz50 y en otras partes del Valle de Nochixtlán, la edad radiocarbónica citada podría apuntar incluso al sepultamiento de la zona 30 en una fecha cercana a o posterior a 5000 a.C.

La otra correlación que ya habíamos señalado y que consideramos mejor fundamentada, es la que iguala el paleosuelo 2 de Yuz5, con la zona 15 de Yuz36. No contamos con un fechamiento del paleosuelo 2 de Yuz5, pero sí de los paleosuelos 3 y 1. El fechamiento sobre el paleosuelo 3 está señalado en el párrafo anterior. El paleosuelo 1

arrojó un fechamiento de 4320±40 a.P., también sobre materia orgánica, lo que se traduce en una calibración de 3080-2880 a.C. a 2σ. El paleosuelo 2 podría rondar por lo tanto una edad de 4500 a.C. Por razones expuestas ya en múltiples ocasiones, tememos que todos estos fechamientos cargan con un error de un milenio o más, que los hace sobreestimar las verdaderas edades de sepultamiento de los paleosuelos en cuestión.

Afortunadamente contamos con cuatro fechamientos directos sobre muestras provenientes de la zona 15 de Yuz36 y de elementos asociados con ella. Dos de ellos se efectuaron sobre fragmentos de carbón encontrados en la matriz de la zona 15. El primero, tomado en el límite superior de la zona arrojó la edad de 4435±40 a.P.; el segundo, tomado en el tercio superior de la zona, la edad de 4513±28 a.P. Éstos se traducen en los intervalos calibrados de 3330-2920 y 3350-3100 a.C. a 2σ, traslapándose en los 230 años entre 3330 y 3100 a.C.

El otro par de fechamientos es también sobre fragmentos de carbón, pero en este caso la cantidad insuficiente de materia vegetal carbonizada al parecer obligó al laboratorio a añadir algo de la materia orgánica (no carbonizada) de la tierra adherida a las muestras. En Yuz50 este método dio resultados muy cuestionables. Aquí los resultados parecen más o menos aceptables: la muestra de carbón tomada del elemento 41, un hogar cavado a partir de una superficie ubicada en el tercio inferior de la zona 15, dio 4413±32 a.P.; la muestra tomada del relleno más profundo del elemento 59, una troncocónica cavada a partir del contacto de las zonas 15 y 16, dio 4518±72 a.P. Las calibraciones respectivas arrojan 3320-2920 a.C. y 3500-2940 a.C. Debido a su desviación estándar más grande, el segundo fechamiento casi engloba el primero.

Cada uno de los dos pares citados se presenta en orden estratigráfico. Sin embargo, el fechamientos sobre el elemento 41 debería arrojar en principio una edad más antigua que cualquiera de los fechamientos sobre la parte superior de la zona 15. En realidad, como los cuatro fechamiento terminan con un amplio traslapo de 220 años antre 3320 y 3100 a.C., consideramos que por lo pronto el radiocarbono no nos puede indicar la duración de la acumulación de la zona 15, el desarrollo de sus rasgos edáficos y su sepultamiento. Todo ello pudo haber durado varios siglos entre 3500 y 2900 a.C. o

unas cuantas décadas entre 3320 y 3100 a.C. No tenemos una buena idea acerca del tiempo que toma desarrollar los relativamente débiles rasgos edáficos que ostenta la zona 15 y no sabemos si su desarrollo fue acelerado por las actividades humanas en el sitio. Todo lo que nos indica el radiocarbono es por lo tanto que el sitio data de una época cercana al siglo XXXIII o XXXII a.C.

El resto de la acumulación fluvial en Yuz36 probablemente abarca menos de un milenio, conclusión que impone la probable fecha de la incisión que separa los ciclos de sedimentación 3 y 2, la que ubicábamos cerca de 2500 a.C. En resumen, si se nos pidiera apostar, con base en la información disponible hoy en día, en la fecha de deposición de las diferentes zonas estratigráficas presentes en Yuz36, proporcionaríamos las siguientes cifras:

zonas 38 a 30	6000-4500 a.C.
zonas 29 a 16	3500-3300 a.C.
zona 15	3300-3100 a.C.
zonas 14 a 2	3000-2500 a.C.
zona 1	1600-1900 d.C.

3.3. Estrategia de excavación y muestreo

El propósito principal de los trabajos de 2016 en Yuz36 fue exponer, en las inmediaciones del sondeo de 2012, una superficie lo menos perturbada y lo más extensa posible, para poder apreciar las relaciones espaciales entre diferentes partes de la ocupación arcaica y recuperar una muestra más grande de materiales arqueológicos. Igual que en Yuz50, la considerable profundidad a la que se encuentran los vestigios y la configuración del talud de la barranca dictaron la orientación de la retícula y el hecho de que el área abarcada fuera alargada en la dirección paralela al cauce. Al reubicar el sondeo de 2012 procedimos a desmontar el lugar de la vegetación arbustiva y herbácea, y a recortar el talud de la barranca hacia la vertical, empezando no desde su orilla, sino desde un nivel arbitrario trazado en la parte inferior de la capa de coluvión rojo (Figuras 3.5, 3.9). De esta manera fuimos abriendo una repisa cada vez más amplia, hasta tender,

al exponer una superficie horizontal ubicada aproximadamente al nivel de la zona 11, una retícula de 11m de largo y un mínimo de 2m de ancho (Figura 3.14). El ancho abarcado por la excavación variaba según la forma irregular del talud de la barranca y en función de las grietas que delimitaban los bloques que aún conservaban su integridad estratigráfica; su mínimo fue de 2.4m, su máximo – alcanzado en el extremo oeste – de 4.0m. Al terminar la temporada abarcamos de esta manera una extensión aproximada de $30m^2$.

La retícula quedó orientada con su 'Norte' arbitrario hacia el acimut magnético de 306° (de aquí en adelante los rumbos señalados en el texto se refieren a los de la retícula a menos de que se especifique otra cosa); la esquina noreste del área excavada quedó designada como el punto (50N; 50E). Colocamos la base permanente de la estación total en una pequeña repisa recortada en el talud derecho de la barranca, más allá del extremo este del área excavada (Figura 3.7, punto B; véase también Figuras 3.5, 3.10). A esta base asignamos las coordenadas arbitrarias de n=100.000m, e=100.000m y z=2000.000m, orientándola hacia el Norte magnético. Río arriba, encima del corte estratigráfico de Yuz35, establecimos el punto para visar hacia atrás (Figura 3.7, punto G). Sus coordenadas, según la primera medición hecha, son (90.684n; 125.582e; 1999.284). Igual que en Yuzanú 50, usamos las letras minúsculas n y e para referirse a un primer sistema de coordenadas horizontales, orientado hacia el Norte magnético y usado para un levantamiento topográfico amplio de los alrededores de las localidades Yuz36 y Yuz35, mientras que para la excavación empleamos un segundo sistema de coordenadas horizontales, orientado hacia el Norte de la retícula, cuyas coordenadas horizontales designamos con las letras mayúsculas N y E. Los puntos B y G fueron marcados y, al terminar la temporada, disimulados de manera análoga a lo que ocurrió en Yuzanú 50.

A partir de que tendimos la retícula, la excavación quedó dividida en dos unidades, una al Este del plano de 44E y la otra al Oeste del plano de 43E. En cada una de ellas empezamos por excavar el área menos perturbada, comprendida entre 48N y 50N. Una vez que llegamos en esta área a niveles en los que las huellas de presencia humana se volvían insignificantes – por lo general dentro de la zona 16 o 17 –

empezamos a extender la excavación hacia el Sur del plano de 48N, procediendo desde allí hasta la orilla del talud intacto, delimitada por una falla con deslizamiento. En unos cuantos puntos excavamos también más allá de esta falla, sobre todo en donde la cara del talud no estaba a la vista o donde había todavía ciertas posibilidades de recuperar algo de información y materiales de la tierra que había sufrido el deslizamiento. El área del sondeo de 2012 acusaba un contorno algo irregular, a causa de las muestras micromorfológicas que habíamos retirado de su pared trasera al finalizar aquella temporada y probablemente también por deslizamientos pequeños ocurridos entre 2012 y 2016. Al llegar al límite superior de la zona 16 el área del sondeo se integró con el resto de la unidad de excavación oeste.

Desde antes de llegar a la zona 11, fuimos asignando números de 'objeto' a todos los materiales recuperados in situ. La numeración abarcó los números 211-3999, 5000-5999, y 7000-7211. Los números de objeto fueron asignados principalmente a huesos y artefactos líticos, tanto los obvios como los posibles, así como las piedras sin modificación intencional que sospechábamos que habían pasado por manos humanas (los llamados *manuports*), clasificados como tales con base en (1) la presencia de fracturas térmicas; (2) una litología potencialmente útil (p.ej., todos los nódulos de pedernal, aunque no estuvieran trabajados); (3) una litología poco común entre las gravas fluviales de la cuenca del Río Yuzanú; o (4) un tamaño fuera del alcance de la energía que depositó la zona que estaba siendo excavada. Usamos la estación total para registrar las tres coordenadas de cada objeto encontrado. Los materiales recuperados en la criba y algunas muestras fueron referidas a lotes volumétricos de excavación, en Yuzanú 36 numerados de 4000 a 4281. De esta manera ningún número, ni de lote, ni de objeto, se repite entre los dos sitios.

La gran mayoría de lotes corresponde a un nivel determinado dentro de un cuadro de 1m×1m de la retícula (Figuras 3.15, 3.17). Las zonas 11-14 fueron excavadas sin subdividir estos cuadros, usando principalmente picoletas de mano y cucharillas. Al llegar a la zona 15 pasamos a usar exclusivamente cucharillas, palitos de madera y herramientas más finas, estableciendo a la vez un control adicional de la proveniencia de

la tierra por cribarse, al subdividir los lotes en cuadrantes de 50cm×50cm (Figuras 3.14, 3.17). La exploración empezaba casi siempre por el cuadrante NE, siguiendo los cuadrantes SE, SW y NW, en este orden. La zona 15, debido a su contenido bastante elevado de arcilla y quizás a otros factores que aún no hemos logrado identificar, se endurecía muy rápidamente al ser expuesta al sol, de tal manera que cualquier intento de excavarla con cucharilla resultaba en arrancar agregados de tamaño considerable, o bien requería aplicar una fuerza que ponía en peligro los artefactos. Por lo tanto, se volvió necesario humedecerla sistemáticamente con la ayuda de un aspersor (Figura 3.21). Esta actividad se llevaba a cabo por lo general al final de la jornada del trabajo, antes de tapar el área de excavación con grandes tiras de plástico grueso. Cabe señalar que, preocupados por el efecto que pudiera tener esta actividad sobre algunos análisis de laboratorio, tomamos múltiples muestras de tierra en el límite superior de la zona 15, antes de empezar con el aspersado. En Yuz36 se implementó un programa de cribado en seco, flotación y cribado en húmedo casi idéntico que en Yuz50, sólo que en este caso ya no fue necesario el uso de bicarbonato ni de agua caliente. El dispositivo semi-mecanizado empleado para la flotación y el cribado en húmedo se muestra en la Figura 3.22. Para todos los lotes excavados por cuadros de 1m×1m, la Figura 3.17 se puede usar a manera de índice, para ubicarlos horizontalmente y correlacionarlos con zonas estratigráficas. Debido a su espesor mayor, del orden de 20cm, la zona 15 quedó subdividida en tres niveles arbitrarios, señalados como 15-1, 15-2 y 15-3. La simbología de la misma figura indica también si un lote determinado fue subdividido en cuadrantes, y si fue cribado.

A partir de la zona 15 empezaron a aparecer varios elementos culturales cuyo relleno fuimos retirando, en conjunto o por partes, por medio de lotes de excavación que se ajustaban a sus variadas formas y no a la retícula. Estos lotes se indizan en la siguiente figura, la 3.18. Al llegar a la zona 16 y al percatarnos de que ya no seguían apareciendo ni elementos ni materiales culturales, por lo general regresábamos al sistema de excavación por cuadro de 1m×1m, ya sin subdivisiones. Más adelante fuimos retirando partes de las zonas 16 y 17 por medio de extensiones horizontales más grandes, las que

se indizan a su vez en la Figura 3.19. En la misma figura se muestran los lotes utilizados para recortar las paredes de un pozo troncocónico, el elemento 59, y así poder excavar y muestrear su relleno de manera más controlada (se trata de los lotes 4269, 4271, 4272 y 4278). El contorno de los negativos dejados por la excavación de todos los lotes fue asentado en croquis y levantado con la estación total.

Finalmente, a lo largo de la temporada fueron necesarias algunas operaciones de limpieza de las paredes de las unidades excavadas, de la superficie del talud, así como operaciones de muestreo que removían volúmenes pequeños de tierra. Con muy pocas excepciones, si la tierra removida procedía de la zona 15, se sujetaba también al cribado en seco. Para liberar el acceso a elemento 61 excavamos cierto volúmen de la tierra revuelta caída más allá de la falla principal. De entre los terrones allí encontrados escogimos aquéllos que por su color y consistencia se podían asignar con bastante certeza a la zona 15; los desmoronamos y los pasamos también por la criba. Los materiales recuperadas en el transcurso de todas estas operaciones fueron asignados a lotes especiales, los que se indizan en la Figura 3.20.

Al descubrirse en Yuz36 varios elementos culturales, se hicieron necesarias otras formas de registro. La superficie muy accidentada de la zona 15 (Figuras 3.23-3.24; véase la descripción en el siguiente apartado) fue objeto de un levantamiento micro-topográfico. El contorno de los elementos fue trazado en papel milimétrico y a la vez levantado con la estación total. Dibujamos también las piedras que integraban varios hogares (Figura 3.16), inventariándolas una por una. Procedimientos análogos se aplicaron a la mayoría de los hallazgos hechos en los rellenos de otros elementos.

Al ir concluyendo la excavación del primer par de unidades señaladas en la Figura 3.14 pudimos empezar a dibujar varios de los cortes estratigráficos expuestos y proceder a muestrearlos para diferentes tipos de análisis geoarqueológicos, tarea que se prolongó conforme la excavación procedía hacia el Sur de la retícula. Todos los cortes dibujados, incluidos aquéllos que obtuvimos al seccionar algunos elementos culturales, se señalan en la Figura 3.30. La última semana de la temporada fue dedicada casi

exclusivamente a volver a subir la tierra desde la barranca para rellenar las áreas excavadas y restablecer la pendiente original del talud (Figura 3.6).

3.4. Los elementos, artefactos y ecofactos encontrados

Los artefactos y ecofactos recuperados durante la temporada 2016 proceden casi exclusivamente de la zona estratigráfica 15 o de elementos que en ella se originan. Entre la veintena de objetos de piedra recuperadas en las zonas 8 a 10, no hay más de cinco que se puedan clasificar como tallados, siendo los demás piedras de calor o piedras que llamaron nuestra atención por un tamaño que hacía poco probable su re-deposición por procesos fluviales. Junto con el carbón presente en estas zonas, las piedras sugieren el paso ocasional de algunos individuos por las inmediaciones de Yuz36, pero sin conformarse claramente algo que mereciera el apelativo de 'ocupación'. El carbón se hace más común en las zonas 11 a 14, pero los artefactos siguen siendo sumamente escasos, ocurriendo probablemente en una concentración, por volumen de tierra excavada, similar a la de las zonas 8 a 10. Podríamos imaginar, quizás, visitas esporádicas a la planicie de inundación, acompañadas de actividades que implicaban la quema de la vegetación ribereña, pero no la existencia de un campamento.

Todo esto cambia en la zona 15, en la que encontramos miles de piezas de lítica, probablemente decenas de miles si se incluyen los desechos recuperados por medio del cribado. Su enorme densidad queda patente desde que uno retira la última zona suprayacente (Figuras 3.24-3.27) y se ve superada únicamente por la densidad y ubicuidad de fragmentos de carbón vegetal. La densidad no es, sin embargo, uniforme. Nuestra impresión, por confirmar a partir de cuantificaciones que resultarán de los trabajos de gabinete, es que la concentración de lítica, en particular de las piedras de calor, iba en aumento de este a oeste (Figura 3.27), por lo menos en el tercio superior de la zona 15.

El particular interés del límite superior de la zona 15 reside en la manera en la que quedó sepultado, por una avenida de muy baja energía que nos permite suponer que se conservan aún las relaciones espaciales entre artefactos y elementos culturales, así

como su relieve original. Este último es muy curioso, acusando múltiples elevaciones y depresiones (Figuras 3.23, 3.25, 3.26). La amplitud del relieve no parece rebasar 10cm y sus contornos suelen ser suaves. No se nos ocurre ningún proceso natural, ni geomórfico ni edáfico, que pudiera ocasionar estas irregularidades. La textura fina del sedimento depositado como material parental de ese paleosuelo indica que la deposición tuvo lugar en agua bastante quieta y debió de dejar una superficie casi plana. El suelo, aunque rico en arcilla, no parece contener suficiente para provocar el fenómeno de formación de *gilgai*, es decir ondulaciones resultado de los procesos de contracción y expansión de arcillas según el grado de saturación del suelo en agua. La zona 15 no tiene la estructura prismática desarrollada de algunas de las zonas más arcillosas de las que hablamos en el apartado 3.2. Por otro lado, si se tratara de depresiones creadas por la fuerza erosiva de algunas crecidas, esperaríamos ver elementos más lineales, quizás más grandes, y – muchas veces – revestidos con un relleno de arena o gravilla en su fondo. No es el caso y con las pocas excepciones que señalamos a continuación, los elementos negativos de ese relieve no cuentan con ningún relleno especial. Los rellena la zona 14, amoldándose al relieve existente.

Es por ello que permanecemos abiertos a la posibilidad de que el relieve sea resultado de actividades humanas. En los momentos en los que fue apareciendo la superficie de la zona 15 en el extremo este del área de excavación (Figura 3.24), pensamos en las diferentes configuraciones del terreno que uno suele encontrar en las milpas, incluidos surcos y bordos, los cajetes para la siembra (comúnmente empleados en lugares que conservan humedad residual a lo largo de la temporada de secas) o los pequeños montículos que resultan del aporcamiento de los tallos de las matas ya crecidas. Sin embargo, el relieve resultó muy irregular: no hay surcos ni bordos rectos y continuos; las depresiones y elevaciones no están ni siquiera alineadas, ni tampoco tienen formas ni tamaños uniformes.

Muchas depresiones tienen una forma circular, con diámetros que rondan los 10 a 20cm. El elemento 2 es una depresión de paredes casi verticales, en cuya orilla oeste se eleva un pequeño bordo alargado, el elemento 6. Una configuración parecida se

encuentra en los alrededores del elemento 19, una depresión circular acompañada de un bordo igualmente circular de su lado NW; una diferencia es que aquí hay otro pequeño reborde de tierra en la orilla SE de la depresión. El elemento 14 es un bordito circular, con una pequeña horadación en su cúspide. El bordo desciende hacia el nivel promedio del terreno de manera suave, con excepción de su costado oeste, en donde está delimitado por un escarpe arcuado. El elemento 5 invierte de cierta manera esta configuración, ya que está constituido por una depresión circular, en medio de la cual se alza un pequeño bordo (Figura 3.25). Hacia el Oeste de la depresión se alza un bordo arcuado, el elemento 12. Su lado cóncavo da hacia el Oeste, en donde hay otra depresión, más tenue. Es difícil probarlo, pero es posible que los elementos positivos del relieve sean el resultado de cavar las depresiones contiguas, amontonando la tierra.

Los elementos 16 y 17 constan, cada uno, de una depresión circular que se une a otra, más alargada. Una depresión, el elemento 20 (Figura 3.26), y un bordo, el elemento 4, tenían en su orilla una piedra; en vista de su abundancia en esta superficie probablemente se trate de coincidencias, pero no queremos omitir señalar la observación. El origen cultural de algunas depresiones, por ejemplo los elementos 11, 25, 26 y 27, nos parece más dudoso, en vista de sus contornos más irregulares y sobre todo en vista del hecho que estén alineadas con las grandes grietas.

Aun si aceptamos un origen cultural del relieve arriba descrito, resulta difícil asignar una función a un conjunto de elementos tan dispares. Algunas de las hipótesis que seguimos barajando, se mueven en el ámbito de tareas que requerían mover pequeñas cantidades de tierra en la superficie de la planicie de inundación, quizás para preparar el terreno para la siembra de algunas matas, quizás para desenterrar raíces, tubérculos o invertebrados. Tenemos la impresión de que la distribución de estos elementos, con una concentración más fuerte del lado este, es inversa a la de las piedras de calor (y quizás también a la de la lítica tallada), lo que podría señalar la presencia de diferentes áreas de actividad. Cabe recordar que en nuestra exposición, en el apartado 3.2, acerca de las razones de la homogeneización de la zona 15 y su débil estructura, así como acerca del origen de la zona 15T, en un nivel estratigráfico inferior, especulábamos

también acerca de las razones por las que los ocupantes del sitio podían turbar la tierra. De tratarse de una actividad recurrente, estaríamos ante una situación donde en niveles inferiores dentro de la misma zona 15 también habría existido un micro-relieve complejo, pero éste habría sido progresivamente obliterado u ocultado por rellenos de la misma zona 15. Es sólo en el contacto superior del paleosuelo donde el contraste de color y textura con la zona suprayacente permite percibir el relieve. Para seguir explorando las diferentes hipótesis tomamos un importante número de muestras de tierra dentro de estos elementos, así como muestras de control, en la misma superficie, pero fuera de cualquier elemento. Esperamos someterlas a análisis químicos y utilizarlas para extraer fitolitos.

Tres de los elementos descubiertos en el límite superior de la zona 15 tenían un relleno distinto, que no era ni la zona 14, ni tampoco una variante de la misma zona 15. Se trataría por lo tanto de elementos que se rellenaron un poco antes de la crecida que depositó la zona 14. El elemento 35 fue una depresión semiesférica de un diámetro de ca. 25cm, con un relleno de arena. Sin embargo, su fondo resultó ser irregular y alineado con una de las grietas mayores, lo que resta un poco de credibilidad a su origen cultural. El elemento 1 apareció como una pequeña mancha de arena anaranjada (Figura 3.28). Al ir retirando ésta descubrimos un orificio con sección transversal de un triángulo ambligonio, de unos 8 cm de profundidad. El orificio no era vertical, sino marcadamente inclinado hacia el vértice obtuso del triángulo. La morfología de este elemento evoca fuertemente una estaca de madera, carrizo o quiote partido, clavada oblicuamente para tensar una cuerda; al tratarse únicamente de un negativo hay obviamente otras evocaciones posibles. Acotarlas requeriría de otras huellas parecidas que conformaran un patrón, cosa que no detectamos. A cuatro metros hacia el Oeste apareció otra huella parecida, el elemento 31; su relleno era similar y se presentaba una inclinación análoga, también hacia el NNE, pero el contorno resultó menos regular y su profundidad no rebasó 2cm.

Todos los elementos descritos hasta ahora se originaban en el límite superior de la zona 15. Nos referiremos a ellos como los elementos de 'generación' IV. Como ya lo

señalábamos en el apartado 3.2, al ir excavando la zona 15 nos fuimos percatando de la existencia de otras superficies de ocupación distribuidas en diferentes niveles de la misma zona y por ende de diferentes 'generaciones' de elementos culturales. Fue en el tercio inferior de la zona 15 donde descubrimos un número particularmente elevado de elementos culturales, a los que asignamos aquí la etiqueta de generación II. Un solo elemento descubierto entre estos dos niveles se asigna a la generación III (suponemos que exploraciones futuras pueden revelar la existencia de otros elementos contemporáneos). La generación I queda conformada por elementos cuyas bocas estaban aproximadamente al nivel del contacto entre las zonas 15 y 16. La Figura 3.30 muestra la distribución horizontal de los elementos de las generaciones I a III. Cabe recordar que, conforme a nuestra interpretación del origen de la zona 15T, expuesta en el apartado 3.2, parece muy probable que algunos elementos de las generaciones I y II quedaron destruidos por procesos de turbación antropogénica o natural; de allí su escasez entre aproximadamente 41E y 44E. Las generaciones que definimos aquí se basan en la estratigrafía; no sabemos si hay entre ellas suficiente separación temporal para poder distinguirlas con base en el radiocarbono; para averiguarlo se requeriría un programa muy intensivo de fechamiento, apoyado en la identificación de macrorrestos carbonizados de plantas de vida corta. Las relaciones funcionales entre los elementos que asignamos a la misma generación son obviamente muy difíciles de establecer, aunque abajo si planteamos tal relación entre los elementos 39 y 41. Una estricta contemporaneidad – el uso durante la misma acampada – es aun más difícil de probar; se vislumbraría como probable en el poco probable caso de que lográramos múltiples remontajes entre artefactos líticos procedentes de diferentes elementos.

El único elemento asignado a la generación III es el 42, cuya boca apareció al excavar el lote 4100, es decir el segundo tercio de la zona 15. Se trata de un elemento parecido al ya descrito elemento 35, con el que el 42 se traslapa en la horizontal, aunque nunca observamos que los dos se comunicaran. El 41 es una depresión de diámetro un poco más reducido y de paredes rectas. Su fondo parecía entre plano y ligeramente redondeado; su forma exacta era algo difícil de determinar a causa de la distorsión

ocasionada por la grieta que lo atravesaba. Su relleno era una mezcla de dos tierras de características contrastantes: una arena gruesa a mediana de color amarillo que ocupaba aproximadamente 70% del volumen, y una tierra oscura y arcillosa, rica en carbón, pero sin artefactos. La cercanía de los elementos 42 y 35, la aparente prolongación de la misma grieta y lo revuelto del relleno del elemento 42 restan credibilidad al origen cultural de ambos elementos; nos preguntamos si no se trata de huecos debidos a la bioturbación posdeposicional a lo largo de la grieta. El contorno regular de las paredes del elemento 42, en cambio, hablaría a favor de un origen cultural.

Los elementos asociados con una superficie en el tercio inferior de la zona 15, los que agrupamos en la generación II, son numerosos, grandes y su origen cultural no deja lugar a dudas. Su distribución no es uniforme: aproximadamente a la mitad de la unidad este, los elementos 37, 38, 39, 40 y 41 forman una especie de círculo incompleto de un poco menos de dos metros de diámetro, abierto hacia el Este; más alejado y aislado hacia el Este está el elemento 32; en la unidad oeste los elementos 52 y 43 están cerca uno del otro, mientras que el elemento 60 se ubica en la orilla este de la misma unidad.

Los elementos 37, 38 y 40 se parecen mucho. Se trata de pozos circulares a elípticos de paredes rectas y fondo redondeado (Figuras 3.31-3.33). Las paredes del elemento 37 fueron algo difíciles de trazar, por lo que no estamos seguros si eran rectas o, como nos pareció, más inclinadas. Sus bocas miden 45-60cm en el eje largo y 40-45cm en el eje corto; su profundidad es de 15-20cm. Su relleno se parece mucho a la zona 15 y quizás sea derivado en parte de ésta. Se distingue por concentraciones más altas de fragmentos de carbón, las que rebasan 50% de cobertura en algunas partes del elemento 38, así como por la presencia de muchas astillas de hueso. Aparte de las que logramos recuperar íntegras, había también en los rellenos inclusiones bastante amorfas de color café oscuro que creímos ser fragmentos de hueso parcialmente descompuesto. Sospechamos que el relleno contenía en general mucha materia orgánica, ya que la zona 16 que subyace estos elementos a menudo parece teñida de colores oscuros, más de lo que ocurre abajo del límite entre las zonas 15 y 16 en ausencia de elementos culturales. El proceso ha de ser posdeposcional y se debe probablemente a que el agua que

percolaba a través del relleno redistribuyó la abundante materia orgánica. Los elementos en cuestión no contienen mucha piedra, aunque sí recuperamos varias lascas, sobre todo del elemento 38. Creemos que se trata de pequeños pozos de basura. La mayor parte de la basura que recibieron debió de ser de materiales perecederos y orgánicos. No sabemos si los pozos fueron cavados con el propósito de recibir basura. Desde un punto de vista práctico esta idea parece poco probable si recordamos que la gente acampaba a unos pasos de una corriente de agua que bien podía recibir y llevarse desechos malolientes o estorbosos. Como suele suceder en arqueología, sin embargo, si los pozos tuvieron una función primaria distinta, ésta resulta más difícil de discernir que su función secundaria de receptáculos de basura.

Entre la basura no-orgánica se encuentran algunos objetos bastante curiosos. En el elemento 37 encontramos una minúscula cuenta hecha de una piedra blanda. La cuenta es cilíndrica, tiene una perforación que la atraviesa entre las caras paralelas y una serie de ranuras paralelas en la superficie curva del cilindro (Figura 3.35). En el elemento 40 había un guijarro grande, blanco y con forma de huevo, pesado pero muy blando y con una superficie polvosa, en la que se aprecia una pequeña depresión y una tenue ranura, las que no parecen naturales (Figuras 3.36-3.37).

Varios otros elementos, tanto de la generación II como la I, se relacionan con las actividades de quemar leña u otro combustible vegetal, para generar calor y (quizás) luz. Entre este tipo de elementos quisiéramos hacer la distinción entre fogones, hogares, y hornos, aunque estamos conscientes que los dos primeros términos se usan muchas veces de forma intercambiable, y aun el tercero se llega a veces a traslapar o confundir con los primeros dos. Los tres sirven para contener la lumbre y crear una fuente concentrada de calor, pero hay una gradación desde lo más casual y efímero, a lo más planeado, laborioso y duradero. Un fogón, en la definición que usaremos aquí, se puede hacer sobre una superficie plana, sin modificarla, simplemente amontonando el combustible. A veces se acomodarán alrededor de la lumbre algunas piedras, para evitar que se desparrame el combustible, o atrancar las ramas más gruesas, sobre todo si se desea apilar leña en una forma cónica.

Si se excava una somera depresión para contener el combustible y concentrar más calor, pasaríamos al nivel de un hogar. Éste puede ser delimitado por piedras; se pueden también colocar piedras en su interior, las que guardarán e irradiarán el calor por mucho tiempo después de que se hayan extinguido las llamas, y de que el combustible se haya reducido a ascuas y ceniza. Tanto el fogón como el hogar operan con acceso abundante de oxígeno y levantan llamas durante buena parte de la operación. Si el calor se usa para preparar alimentos, éstos serán rostizados o asados, o bien colocados en un recipiente suspendido sobre la lumbre o apoyado directamente sobre las ascuas. Otra posibilidad es la de calentar piedras en la lumbre, para después retirarlas con tenazas y arrojarlas en un recipiente para hervir el líquido que contiene. Esta actividad adquiere especial relevancia en el contexto de sociedades precerámicas que usaron recipientes de cuero, cestería, guaje u otros materiales que no resistirían el contacto directo con la lumbre. El hogar parece ser un dispositivo más adecuado que el fogón para preparar piedras para esta operación.

El horno (de tierra) implica una excavación más profunda que el hogar. La tierra expuesta en las paredes se puede dejar tal cual; dependiendo de la naturaleza del sustrato se endurecerán quizás con la aplicación de calor. Otros hornos tendrán las paredes revestidas de piedra. La quema del combustible en el horno puede iniciar de manera casi idéntica al fogón u hogar, pero el propósito principal es reducirlo a ascuas y calentar al máximo una cama de piedras colocada encima o entre ellas. Una vez logrado esto, encima de la cama de piedras se coloca la carga por cocerse y se sepulta con tierra. De tratarse de alimentos, éstos se cocerán lentamente, a lo largo de muchas horas, conforme las piedras vayan perdiendo calor. De esta manera, durante buena parte de la operación del horno no habrá llamas. Los alimentos suelen ir aislados, entre la cama de piedras y la tierra, dentro de un 'colchón"' vegetal que generará vapor al calentarse. De allí la distinción que se hace a veces entre fogones u hogares por un lado, y hornos de tierra por el otro, es que los primeros usan el calor 'seco', mientras que los segundos usan un calor 'húmedo'. Los equivalentes de fogón y horno en inglés serían, respectivamente, *hearth* y *earth oven* (véase Black y Thoms 2014: 204-205). No estamos

seguros en cuál de sus dos categorías colocarían estos autores nuestros 'hogares'; para hacer la distinción se podría hablar quizás de *pit hearths* o *pit fires*.

Todos o casi todos los elementos de combustión encontrados en Yuz36 pertenecerían precisamente a la categoría intermedia de hogares. Dentro de la generación II, clasificaríamos como tales los elementos 41, 43 y 52. Los tres son ligeramente ovalados, y de dimensiones muy parecidas: 60-70cm en su eje largo y ca. 55cm en su eje corto. Desde el borde, las paredes de cada uno descienden gradualmente hacia el centro, de tal manera que los tres asemejan cazoletas someras: el elemento 41, el más profundo de los tres, no rebasa 15cm de profundidad en su centro. El elemento 52 fue el más sencillo de los tres hogares (Figura 3.38). Su relleno contenía en general muy pocas piedras, aunque había una concentración notable de piedras de calor, dentro del relleno, cerca de la orilla noroeste del elemento. El relleno tenía muchos atributos en común con la zona 15: era oscuro y con una textura entre migajón limoso y migajón arcillo arenoso. Se distinguía por una muy fuerte concentración de carbón, con fragmentos de hasta 2cm de largo que cubrían 15-20% de la superficie, así como por la presencia de ceniza blanquecina. Fragmentos de arena muy gruesa y gravilla blanquecina cubrían 3-5%, manchitas de color rojizo (5YR5/7) 1%.

La cercanía del elemento 43 se pudo percibir desde la excavación de los lotes 4107 y 4109, ya que a partir de ese momento notamos la presencia de ceniza, una concentración muy fuerte de carbón, así como un aumento de la frecuencia con la que aparecían piedras de calor y desechos de talla lítica (Figura 3.39). Más tarde, una vez que logramos definir el contorno del elemento, nos dimos cuenta que su relleno, rico en ceniza y carbón, había sido desparramado más allá de su boca, sobre todo hacia el noreste. Las piedras de calor, sin embargo, se concentraban en la parte del relleno que estaba confinada dentro de la cazoleta del hogar. Su concentración era mucho mayor que en el elemento 52 y algunas descansaban directamente sobre otras. El relleno mismo era un migajón arcillo limoso sin estructura, de color grisáceo y con una muy alta concentración de carbón.

La cazoleta del elemento 41 (Figura 3.40) tenía paredes un poco más verticales que en los otros dos hogares. El borde de la cazoleta consistía de arena muy fina de tonos anaranjados o rosas (color promedio 10YR8/6 en seco). A ésta nos referimos como la zona 41-2 y pensamos que se trata de la pared del elemento modificada por el calor. Nos parece significativo que estos colores se perciban sólo cerca de los bordes del elemento y no más abajo, es decir más cerca del centro. Creemos que esto se debe a que durante la combustión sólo a estas partes llegaba suficiente oxígeno para provocar la oxidación de ciertos minerales que suponemos responsable de los colores vivos de la zona 41-2. Esto a su vez prueba que tenemos bien conservada la orilla original del hogar y que no se trata de un elemento cuyas partes superiores hubieran sido truncadas o turbadas. En otras palabras, esto es la prueba más contundente de que éste y otros elementos de la generación II se originaron de una superficie anterior a la deposición de los dos tercios superiores de la zona 15.

El relleno de este hogar se puede dividir en dos zonas. La zona 41-1 es la superior y la que mayor volumen ocupa. Es un migajón arcillo arenoso, oscuro (10YR3/1 en seco), casi sin estructura, con fragmentos de carbón de hasta 3cm de largo que ocupan generalmente 10-30% de la superficie, aunque en la parte oeste del elemento alcanzan coberturas de hasta 90%. Esta zona también contiene 2-3% de gravilla mediana a fina, y 1-2% de terrones del mismo tamaño, alterados por altas temperaturas hasta adquirir tonos rosáceos, anaranjados, o café claros. Conforme se va uno acercanco al centro y al fondo del elemento, esta zona cede lugar a la 41-3, que se distingue por una textura un poco más gruesa, de migajón arenoso, un color más café que negro, y una menor concentración de carbón. Contiene también concentraciones o nódulos, blanquizcos, del tamaño de arena gruesa a gravilla fina, los que podrían ser de carbonato de calcio, o de alguna roca calcárea blanda. Todo el relleno del elemento 41 contiene muy pocos artefactos, ecofactos, o piedras de calor. Un hallazgo único, sin embargo, hecho cerca del fondo del elemento, nos pareció ser un fragmento de cordón carbonizado.

Hacia el Sur del elemento 41, se extiende el elemento 39 (Figura 3.34). Se trata de la mayor y más discreta concentración de piedras de calor en el sitio. Aquí las piedras no

se encuentran desperdigadas en una superficie de ocupación, sino amontonadas unas muy cerca de otras: algunas descansan directamente sobre otras, algunas se sostienen en la matriz de la zona 15. Entre las piedras y abajo de ellas hay ceniza y mucho carbón. Aunque la base del montón se encuentra en el tercio inferior de la zona 15, las piedras cercanas a su cima aparecieron desde que retiramos el tercio superior de la misma zona, lo que quiere decir que el montón tiene un grosor de hasta 10cm y hasta tres capas de piedras de calor. Se adelgaza sin embargo hacia sus orillas. Originalmente el montón era quizás aun más alto, discreto y compacto, pero seguramente fue despuntado y removido un poco por crecidas del río y ocupaciones posteriores a la generación II. La parte suroeste del montón sufrió también un ligero desplazamiento hacia abajo en tiempos mucho más recientes, por la aparición de una falla. Creemos muy probable que exista un vínculo funcional entre los elementos 41 y 39, al representar el último las piedras que fueron retiradas del primero al terminar un evento de combustión. De ser así, quizás el elemento 41 se acerque más a la noción de horno que de hogar.

Los pozos de basura y los hogares tienen algunos atributos en común: el contorno circular, ovalado o elíptico, el fondo redondeado y, sobre todo, el relleno oscuro y las altas concentraciones de carbón vegetal. Se plantea entonces la pregunta si hay una posible relación genética entre ambas categorías de elemento. ¿Podrían ser los elementos 37, 38 y 40 hogares o pequeños hornos que quedaron vacíos y se reutilizaron como receptáculos de basura? Lo vemos poco probable, ya que la forma y las dimensiones de los elementos en ambas categorías son bastante distintas. Si el destino de un hogar u horno era ser abandonado, vemos también poco probable que recibiera una última limpieza que removiera ceniza y piedras de calor del fondo.

El elemento 32 no es más que un conjunto de manchas de una sustancia blanca y polvosa, casi seguramente ceniza concentrada. Aunque podría tratarse de ceniza recogida en otro lugar y descartada en este punto de la superficie de ocupación, su pureza hace pensar más bien en una combustión in situ. En una superficie periódicamente barrida por crecidas del río, esto es quizás lo más que podemos esperar recuperar de un fogón en cuya operación no se usó piedra.

El último de los elementos de la generación II es único en su género. El elemento 60 apareció en la orilla este de la unidad de excavación oeste, por lo que sólo excavamos una mitad. Más que una frustración, esto resultó ser una coincidencia afortunada, ya que nos permitió apreciar claramente un corte vertical a través de un elemento que de otra manera quizás no hubiéramos decidido seccionar, por su tamaño reducido. Su planta es circular, con un diámetro de ca. 20cm en la boca. Como se aprecia en el corte estratigráfico en el plano de 43E (Figura 3.51) este diámetro se mantiene más o menos constante en la mitad superior del elemento, en la que se mantiene una forma cilíndrica. Más abajo el cilindro se vuelve cono, de tal manera que en el fondo el elemento se cierra completamente en un vértice un tanto redondeado, ubicado exactamente en su centro. De esta manera todo el elemento parece tener la forma del extremo de un lápiz usado al que le hace falta sacar punta. El relleno se parece mucho a la zona 15, sólo que en su parte superior hay una franja horizontal con abundante ceniza. Del relleno recuperamos también un fragmento de peroné de venado, al parecer trabajado. La forma del elemento se parece mucho a la de huellas que dejan horcones grandes hechos de un tronco de árbol, al ser retirados o al podrirse in situ. Tal interpretación, sin embargo, parece desconcertante en razón de que se trata de un elemento aislado de otras huellas de poste. Nos preguntamos obviamente si podría haber otras huellas alineadas con el elemento 60 que permanecen ocultas entre las dos unidades de excavación, es decir entre los planos de 43E y 44E, o si este elemento podría ser la única huella que no fue borrada por la turbación que resultó en la zona 15T.

Los elementos cuyas bocas aparecieron en el límite entre las zonas 15 y 16 o unos centímetros por debajo de éste, son los más antiguos del sitio y los que asignamos a la generación I. Se trata de los elementos 44, 56, 59 y 61, cada uno de naturaleza distinta. El elemento 56 apareció en un estrato arenoso dentro de la zona 16, sepultado bajo un estrato de gravilla de la misma zona. Fue una simple mancha circular de carbón y ceniza, de 20cm de diámetro y no más de 2cm de espesor. Se podría tratar de un fogón muy pequeño, o del resultado más casual de la combustión de un pedazo grande de

madera, quizás sacado de algún otros elemento cercano antes de que lo terminara de consumir el fuego.

El elemento 61 apareció en la orilla del talud de la barranca, sumamente perturbado por fallas y deslizamientos. Su boca parecía estar ya dentro de la zona 16. Su estado de conservación sólo permitió recuperar una porción de su contorno circular o elíptico. Entre la tierra revuelta caída ya más allá de la falla principal recuperamos algunos objetos adicionales, sobre todo huesos, que casi seguramente procedían de este elemento. Todo parece indicar que se trata de otro pozo con relleno de basura orgánica, parecido a los elementos 37, 38 y 40. En su fondo encontramos un artefacto de piedra pulida, del tamaño aproximado de un puño humano, hecho de una roca de color rojo, de una litología que nos parece poco común en la cuenca del Yuzanú.

La boca del elemento 44 coincide más o menos con el límite entre las zonas 15 y 16 y apareció después de unas cuantas pasadas de la cucharilla al iniciarse la excavación del cuadrante NE del lote 4136. Lo que apareció primero fue una mancha circular de unos 60cm de diámetro, de tierra oscura, rica en carbón, ceniza y artefactos (Figura 3.41). Su contorno se fue haciendo cada vez más claro y al mismo tiempo fueron apareciendo cada vez más guijarros, la mayoría de ellos con huellas de exposición al fuego, pero no todos fracturados (Figura 3.42). Lo que complicaba un poco el entendimiento del elemento fue el hecho de que en esta parte la zona 16, a través de la que había sido cavado el elemento 44, estaba compuesta por una barra de grava con guijarros del mismo tamaño. La presencia del relleno oscuro entre las piedras del elemento, así como sus aristas angulares que contrastaban con los contornos redondeados de los guijarros de la barra (Figura 3.42), permitieron delimitar el elemento sin lugar a equivocaciones. En el extremo noroeste del elemento 44 divisamos un círculo de piedras más pequeño, sobrepuesto al círculo más grande de todo el elemento; lo etiquetamos como el elemento 44A en espera de que se confirmara como algo intencional. En todo el elemento 44 la densidad de piedras era tal que unas descansaban sobre otras. La tierra que llenaba los intersticios casi no tenía estructura y se sentía más arenosa que la de la zona 15. Fuimos

dibujando, numerando y retirando las piedras, hasta finalmente cerciorarnos de que llenaban otro hogar en forma de cazoleta.

Al llegar al fondo se confirmó como correcta la observación de la sobreposición de dos elementos, o de dos etapas del uso del mismo hogar (Figura 3.43). La mayor parte de la cazoleta había sido cavada hasta un estrato gravoso dentro de la ya mencionada barra de origen fluvial, aunque carente ya de las piedras tamaño guijarro. En la parte noroeste, sin embargo, el fondo estaba libre de grava, asentándose en un estrato de limo arenoso. Esta parte formaba una cazoleta aparte, de menor diámetro, y con un centro desplazado hacia el noroeste del centro de la cazoleta grande. Al haberse cavado la cazoleta chica hasta una profundidad ligeramente mayor que la grande, llegó hasta un estrato limo-arenoso de la misma zona 16, que subyace la barra de grava. Esta coincide en la horizontal con el elemento 44A. Reservamos entonces la denominación de 44B a la cazoleta grande.

El hogar más grande pero más somero al que nos referimos como elemento 44B fue el primero en hacerse en este lugar. La gente se colocó directamente sobre las gravas de una barra del río, las removió para crear una cazoleta y con toda probabilidad reutilizó las mismas piedras removidas como conductores de calor en el hogar, quizás en más de una ocasión en vista de sus múltiples fracturas. Las piedras no fueron retiradas del elemento 44B después de su último uso y el hogar se rellenó de tierra y algunos desechos. En un momento posterior, se excavó a través del elemento 44B rellenado un hogar nuevo, más pequeño y más elíptico, pero más profundo, el elemento 44A. Medía unos 35cm por unos 25cm, apoyándose en parte de su contorno en la pared del elemento 44B. Abandonado, el segundo hogar se rellenó de tierra muy parecida a la que había llenado el primero. Tenemos aquí evidencia clara que aun dentro de la misma 'generación' de elementos se pueden identificar varios episodios de uso.

El elemento 59 fue uno de los últimos en descubrirse y el último en terminar de explorarse, mientras se iban rellenando ya algunas partes del área de excavación. Su descubrimiento abonó una de las más arraigadas supersticiones arqueológicas, la que mantiene que el hallazgo más importante de la temporada ocurre siempre bajo las

presiones de la inminente clausura de los trabajos. Nos percatamos de la existencia de un elemento al observar una mancha circular de unos 45cm de diámetro, de tierra más suelta y ligeramente más grisácea que la circundante zona 16, en este nivel amarilla, compacta y limo-arenosa (Figura 3.44). Seccionamos este círculo en dirección norte-sur y procedimos a retirar el relleno de su mitad este (Figura 3.45). Hacia abajo el semicírculo abierto se fue ensanchando. Para tener mejor controlada la excavación y disponer de luz natural para el registro fotográfico, antes de que llegáramos al fondo retiramos parte de la pared compuesta por las zonas naturales 16 y 17 (compárese Figuras 3.18 y 3.19). Al llegar al fondo teníamos ya a la vista la mitad oeste del elemento (Figura 3.46). Procedimos entonces a recortar la zona 17 más allá del fondo del elemento, dibujamos el corte estratigráfico resultante y pasamos a excavar la mitad oeste (Figuras 3.47-3.50).

Las fotografías dejan claro que se trata de un pozo troncocónico, que de una boca de 45cm de diámetro, se ensancha hasta llegar a un fondo plano de contorno ligeramente elíptico, de 70cm por 60cm. Su profundidad es de 23cm. A todo arqueólogo meso-americanista, esta forma evocará poderosamente los elementos que aparecen por doquier en las aldeas permanentes del subsecuente periodo, el Formativo, a partir de los mediados del segundo milenio a.C., conocidos como pozos troncocónicos, formaciones troncocónicas, o pozos campaniformes (*bell-shaped pits*), interpretados comúnmente como graneros subterráneos, reutilizados como receptáculos de desechos (o de entierros) al terminar su vida útil (Winter 1972; 1976; Reyna Robles 1976; Manzanilla 1985; Flannery y Marcus 2005; López Corral y Uruñuela y Ladrón de Guevara 2013; Uruñuela y Ladrón de Guevara y Plunket 2013; Borejsza y Rodríguez López 2014). En esos contextos más tardíos, las troncocónicas bien conservadas suelen ser de más de 1m de profundidad, prolongándose a menudo hacia arriba en la forma de un cuello de botella. Los cortes como el que se observa en la Figura 3.46 suelen indicar por lo tanto que la parte superior del pozo fue truncada en algún momento posterior por la erosión.

En este contexto arcaico, sin embargo, creemos que se trata de una troncocónica esencialmente intacta, por las siguientes razones. Estamos en un contexto aluvial, en el que todas las observaciones de la estratigrafía natural indican una deposición a lo largo

del cuarto y tercer milenio a.C. que no fue interrumpida en ningún momento por un evento erosivo que pudiera bajar la elevación de la planicie de inundación por varios decímetros. Recuérdese que para reducir un perfil de troncocónica 'típica' al que observamos, se requeriría de una erosión del orden de 70-80cm. La misma estimación nos dice que, para lograr ese perfil 'típico', la troncocónica tendría que originarse mucho más arriba – no desde el contacto superior de la zona 15, sino desde aproximadamente el nivel del contacto superior de la zona 10 (Figura 3.8) – en donde no tenemos ni siquiera indicios de ocupación humana. Un evento erosivo de tal envergadura dejaría huellas inconfundibles.

Se podría argumentar que la turbación responsable de la creación de la zona 15T contribuyó a obliterar el contorno de la boca del elemento 59. Sin embargo, la intensidad de esa turbación en esta parte de la unidad de excavación fue moderada. Aun suponiendo que fue más intensa de lo que nuestras observaciones indican, al originarse esta turbación en el tercio inferior de la zona 15, no habría podido borrar más de 10cm del elemento 59 en su dimensión vertical.

El elemento 59 es pequeño a comparación de las troncocónicas formativas. Su boca es de 45cm de diámetro. En nuestra experiencia con elementos formativos y con réplicas experimentales de los mismos (Rodríguez López et al. 2006), un diámetro menor a 40cm dificultaría enormemente la entrada y salida del granero. Por lo tanto, también por esta razón estamos convencidos que el elemento 59 no podía prolongarse mucho más hacia arriba. Finalmente, siendo la fecha radiocarbónica procedente de este elemento la más antigua del sitio, se hace aun más improbable que éste haya sido cavado desde alguna superficie de ocupación no detectada posterior a la zona 15.

Aun en sus 23cm de espesor, el relleno de la troncocónica ostenta bastante complejidad, distinguiéndose tres zonas estratigráficas diferentes. La zona más antigua, la 59-3, es sumamente arcillosa y pegajosa. Parece tratarse de la mezcla de tres sustancias distintas que nunca fueron homogeneizadas, de tal manera que los límites entre una y otra se mantienen bastante nítidos. La dominante, que podríamos llamar la matriz, es de color oscuro (2.5Y4/1). La segunda es de tonos rojizos que varían de 10YR8/3 a 5YR4/5;

estos colores se correlacionan, respectivamente, con variantes más arenosos y más arcillosos de esta sustancia. Las concentraciones rojizas son relativamente pequeñas en la parte superior de la zona, donde tienen una cobertura de 10-25%. Más abajo se vuelven cada vez más extensas y continuas, hasta abarcar 50% de la superficie. El tercer ingrediente son unas inclusiones blancas del tamaño de arena muy gruesa a gravilla muy fina, con cobertura del orden. La zona contiene también fragmentos de tamaño mili- y centimétrico de carbón, con cobertura del orden de 7%. Toda esta mezcla se presenta bajo forma de una cuña que alcanza su grosor máximo, de 9cm, en donde toca la pared sur del pozo, desapareciendo por completo sin alcanzar la pared norte, de tal manera que no alcanza a cubrir todo el fondo del pozo. A pesar de ser una mezcla, la zona es muy firme en su consistencia.

La zona 59-2 está presente en toda la extensión horizontal del pozo y, junto con la 59-3, llena quizás un cuarto de su espesor total. Su contacto superior es cóncavo. Ya que los fondos de muchas troncocónicas formativas son ligeramente cóncavos, en un primer instante, al excavar la mitad este, pensamos que habíamos llegado ya al fondo. Tiene una textura más gruesa, de migajón arcillo arenoso fino o quizás migajón arcillo limoso. En esta zona la mezcla de sustancias y colores combina un amarillo (2.5Y5/5, 60%) con un gris (2.5Y4/2, 40%). La cobertura de carbón, con fragmentos que alcanzan varios centímetros de largo, es de 15%. Las zonas 59-3 y 59-2 son muy compactas (aunque la 59-2, al ser cortada con la cucharilla se revela menos firme) y casi libres de piedras y de artefactos.

La zona 59-1 ocupa los tres cuartos superiores de la troncocónica. Se trata de una tierra un poco más friable, que mezcla un color más amarillento (2.5Y5/3, 30%) con otro más gris (2.5Y4/1, 70%). Este último tono, así como la textura de migajón limoso le confieren una apariencia y un tacto muy parecido al de la ceniza, por lo que sospechamos que un volumen grande de ésta fue desechado en el pozo. Los tonos más amarillentos podrían provenir en cambio del desmoronamiento de las zonas 16 y 17 desde las paredes del pozo. La compactación y densidad de esta zona son muy bajas, haciendo pensar en una deposición muy rápida. La zona contiene fragmentos de carbón

de hasta 4cm de largo, con cobertura de 15%, así como abundantes piedras de calor del tamaño guijarro. La ceniza, el carbón y las piedras de calor hacen pensar en la limpieza de uno o varios elementos de combustión cercanos. Entre las piedras hay unas cuantas lajas – muy poco comunes en el sitio – que pudieron haber sido traídas intencionalmente y usadas en alguna actividad, así como un gran fragmento de un metlapil roto, embarrado en una de sus caras de una sustancia de intenso color amarillo (Figuras 3.47-3.49). La complejidad de la estratigrafía de esta pequeña troncocónica y la presencia de un elemento que pudo haber tenido como su función primaria el almacenamiento, contribuyen aun más a crear la impresión de un sitio ocupado por largas temporadas y repetidas veces.

Los últimos elementos que numeramos son de origen natural. Se trata de las ya mencionadas barras de grava dentro de la zona 16. La que está contigua al elemento 44 recibió el número 62 (Figura 3.52) y constaba de guijarros muy grandes. La otra, más dispersa y compuesta por grava de menor tamaño, apareció en la unidad de excavación oeste y fue designada elemento 63 (Figura 3.53). Ambas barras parecen seguir el eje ENE-WSW de la retícula, lo que las haría transversales a la dirección de flujo predominante, de Yuz36 hacia Yuz35, que propusimos en un pasaje anterior (véase Figura 3.8). Las gravas no estaban imbricadas, ni tenían una orientación clara de sus ejes largos. Tampoco parecían llenar geoformas marcadamente cóncavas. Todo ello nos hace pensar que no marcan la orientación del cauce antiguo del Río Yuzanú.

3.5. Relevancia de los hallazgos

Lo que hace de Yuzanú 36 un sitio excepcional a escala nacional es su carácter de sitio arcaico a cielo abierto que a la vez tiene integridad estratigráfica. Como lo señalamos en el capítulo 1, desde los trabajos llevados a cabo hace medio siglo en el Valle de Tehuacán, se ha conjeturado la existencia de sitios arcaicos más extensos y más duraderos que las efímeras ocupaciones que iban documentando las excavaciones en abrigos rocosos, en Tehuacán, en el Valle de Tlacolula y en otros sitios más aislados de las tierras altas de Mesoamérica. Se señalaba a menudo las planicies de inundación de

los ríos como el lugar donde *debía de* haber tales sitios, ya que la cercanía del agua y los extensos mezquitales habrían permitido reunir en un campamento o proto-aldea a varias bandas, asegurándoles recursos suficientes para una estadía larga. Sin embargo, los sitios que parecían encajar en este modelo se podían y aún hoy en día se pueden contar con los dedos de una mano. Incluyen el sitio Ts381 de Tehuacán y Gheo-Shih en el Valle de Tlacolula. En las cabeceras del Río Yuzanú, tenemos el horno ya mencionado, descubierto por José Luis Lorenzo (1958) y fechado en 2000 a.C. Aunque algunos colegas han expresado dudas acerca de la pertenencia de este hallazgo al periodo precerámico, tenemos aquí la satisfacción de reportar que nuestras exploraciones en la misma cuenca validan tanto su antigüedad como la relevancia del trabajo pionero de Lorenzo. La arquitectura de los depósitos aluviales en este tramo concuerda con la fecha propuesta, mientras que la abundancia de carbón en depósitos coetáneos y sobre todo, la presencia de un sitio de la importancia de Yuzanú 36, sugieren que la cuenca atraía de manera constante a grandes grupos de cazadores-recolectores del Arcaico tardío.

Si nuestras estimaciones de su extensión son correctas, Yuzanú 36 sería un sitio mucho más extenso que cualquiera de los arriba citados. Además, todo lo expuesto en este capítulo indica que se trata de un sitio de una complejidad excepcional, tanto en planta, como en la sobreposición vertical de varias ocupaciones. A diferencia de muchos sitios en superficies estables o de acumulación de depósitos lenta, en los que los restos de varios siglos o aun milenios pueden estar revueltos en el mismo nivel, aquí podemos distinguir ya por lo menos tres o cuatro episodios distintos de uso dentro de un intervalo de tiempo muy corto – del orden de décadas o cuando mucho unos cuantos siglos. La enorme ventaja que tiene Yuzanú 36 es que las diferentes ocupaciones están separadas verticalmente por adiciones de pequeños espesores de aluvión acarreado por las crecidas del Río Yuzanú. Esto abre la posibilidad de distinguir diferentes áreas de actividad, tarea que esperamos emprender por medio de una serie de análisis avanzados de gabinete.

Hasta ahora Yuzanú 36 carece de evidencia convincente de estructuras de habitación. Tampoco queda muy claro en qué actividades de subsistencia se vieron

involucrados sus habitantes, aunque todo parece indicar que modificaron por medio de incendios intencionales su entorno inmediato en la planicie de inundación. Si a esto añadimos las sugerencias de una remoción intencional del suelo, se vuelve casi obligatorio evaluar la hipótesis de que sembraban algún tipo de planta útil, o por lo menos alentaban su crecimiento. De hecho, la distribución vertical de elementos de combustión, de artefactos y de ecofactos, nos sugiere que la función del área que han abarcado hasta ahora nuestras excavaciones pudo haber experimentado un cambio gradual desde un área en el que se concentraban las actividades de preparación de alimentos, hacia un área de cultivo o manejo de plantas. Serán necesarios otros análisis de gabinete para evaluar estas posibilidades.

A la luz de estos comentarios preliminares, no deseamos exagerar en este momento la relevancia de Yuzanú 36 para los estudios de los inicios de la agricultura y de la vida sedentaria. Por su clima frío y distancia de los centros de origen del maíz en la Cuenca del Balsas la Mixteca Alta parece un lugar poco probable para una introducción temprana de un modo de subsistencia que girara alrededor de esta planta. En cuanto a la abundancia de recursos silvestres que habrían facilitado una vida sedentaria sin la necesidad de recurrir a la agricultura, faltaría señalar cuáles serían esos recursos en la planicie de inundación del Río Yuzanú hace cinco mil años, lo que no es una tarea fácil en vista de las profundas transformaciones ecológicas que ha experimentado la Mixteca Alta desde aquel entonces. Con base en las observacione hechas en sitios como Tlapacoya-Zohapilco (Niederberger 1976) y El Japón (McClung y Acosta Ochoa 2015; Acosta Ochoa 2017) los ambientes lacustres parecen, hasta la fecha, proporcionar evidencia más convincente de sedentismo temprano en las tierras altas de Mesoamérica. Queremos destacar, sin embargo, que El Japón y Yuzanú 36 son quizás los dos únicos sitios a cielo abierto del Arcaico tardío que se han excavado en las tierras altas en las últimas décadas, con técnicas modernas. Las comparaciones entre ambos serán sin duda fructíferas.



Figura 3.1. **Barranca de Nechixa, viendo río arriba hacia Las Conchas.**



Figura 3.2. **La misma barranca a la altura de Yuz35 y Yuz36, viendo río abajo.**

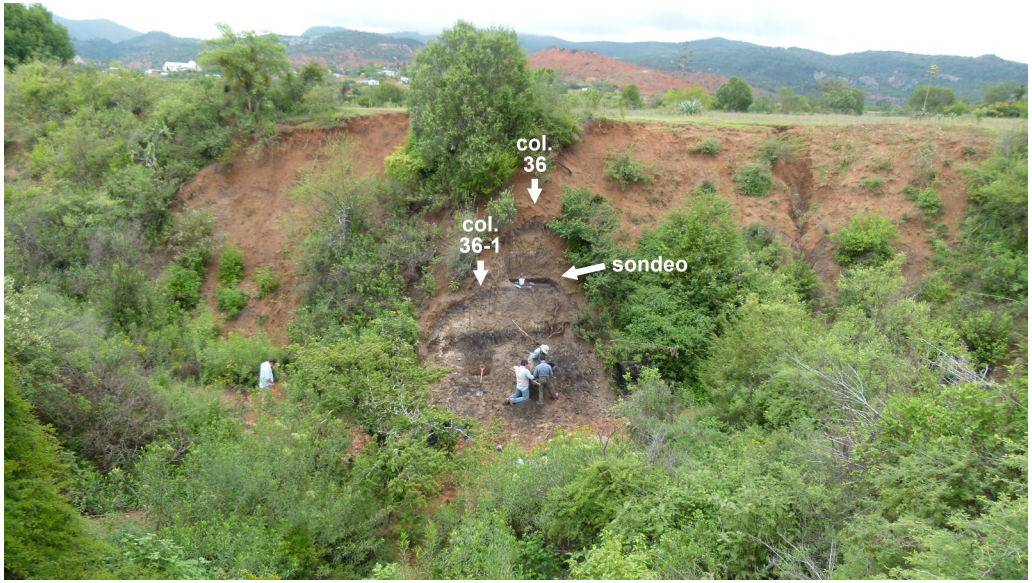


Figura 3.3. **Yuz36 durante los trabajos exploratorios de 2012.**
La excavación del sondeo se encuentra al nivel de la zona 15. Nótese su deslizamiento hacia la izquierda.
col.=columnas de descripción y muestreo estratigráficos (compárese con la Figura 3.8).



Figura 3.4. **Yuz36 al iniciar los trabajos de 2016.**



Figura 3.5. **Yuz36 en una etapa avanzada de las excavaciones.**



Figura 3.6. **Yuz36 rellenado al finalizar la temporada.**

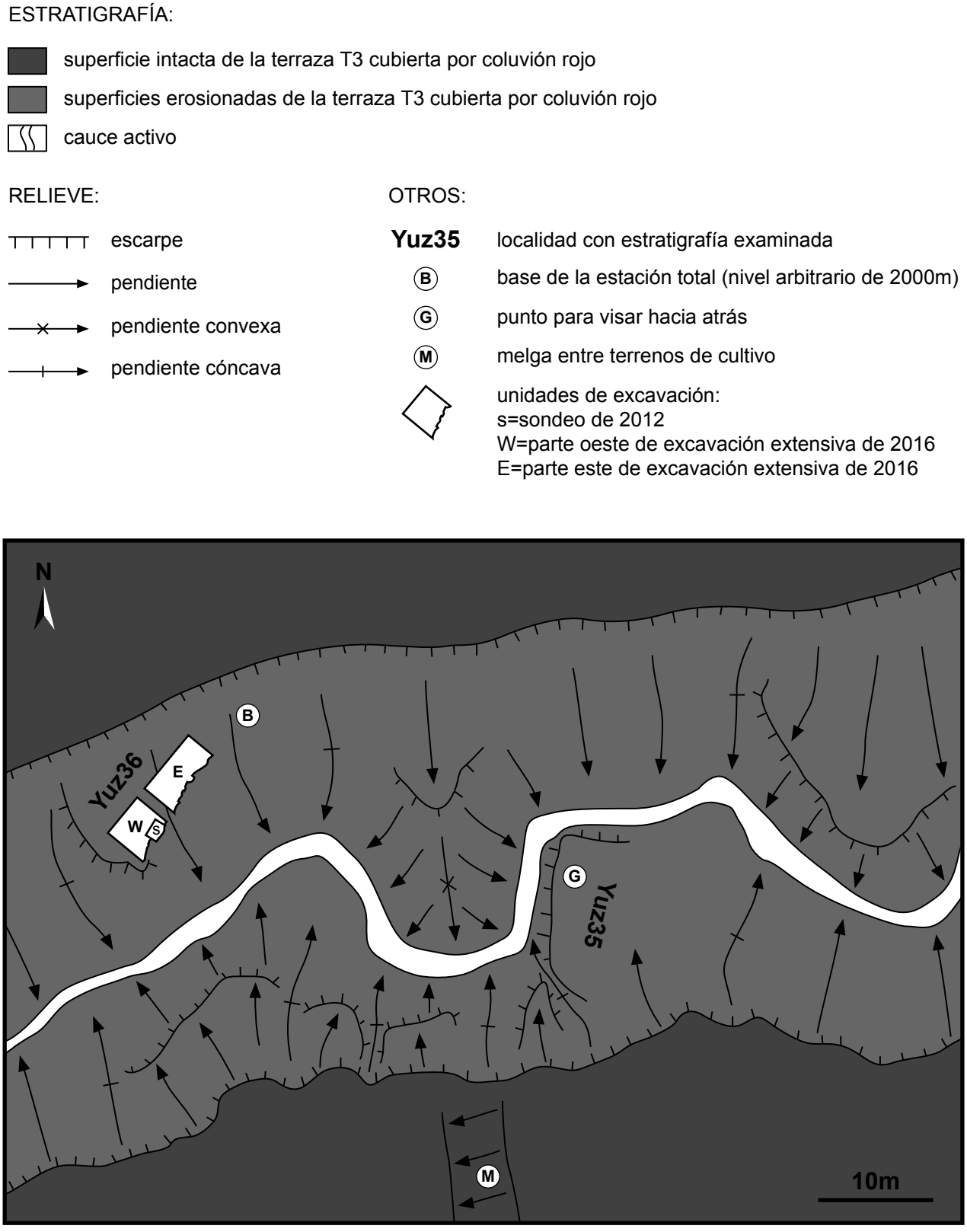


Figura 3.7. **Croquis de ubicación y contexto geomórfico del área excavada del sitio Yuzanú 36.**

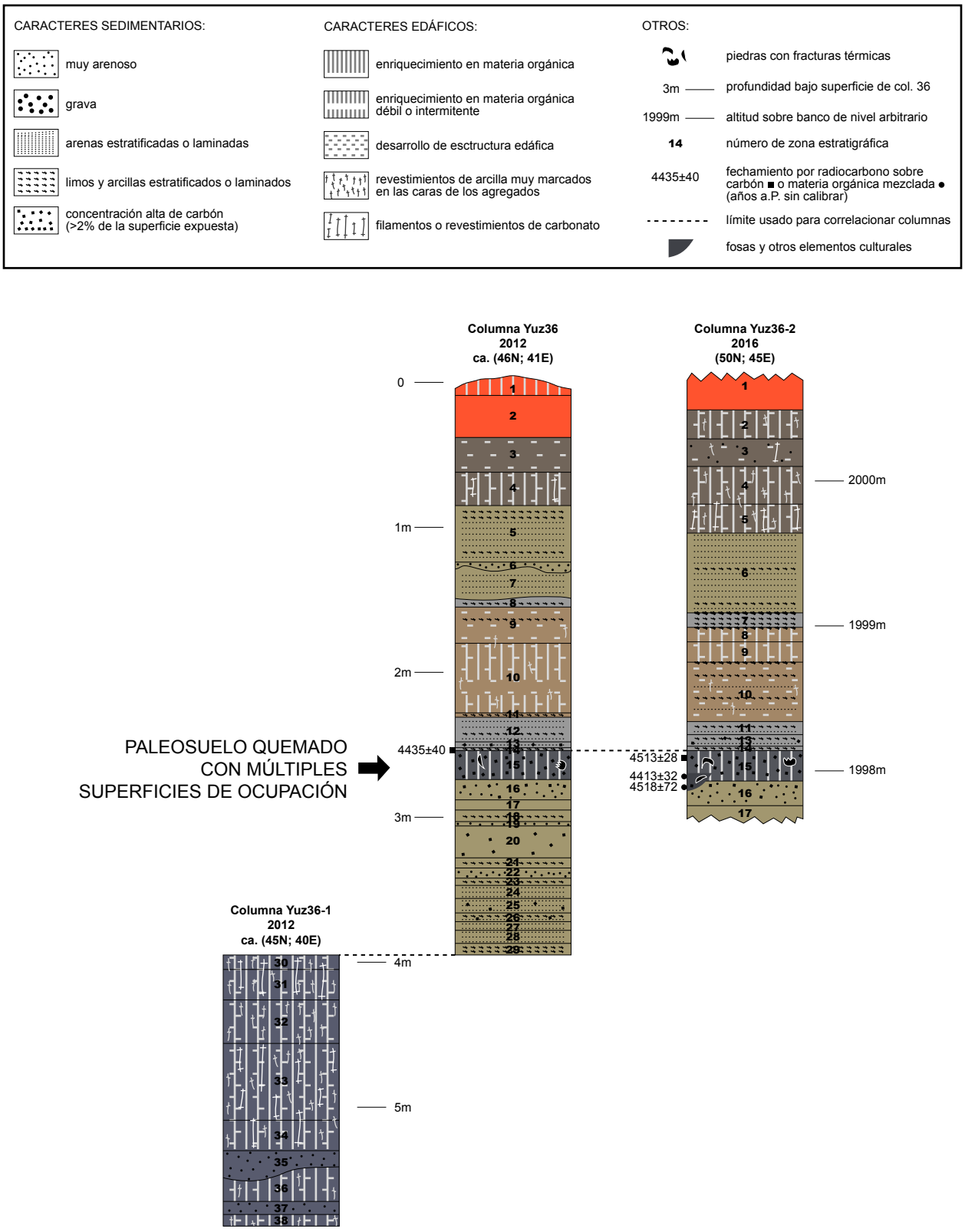


Figura 3.8. **Yuz36. Columnas estratigráficas.**

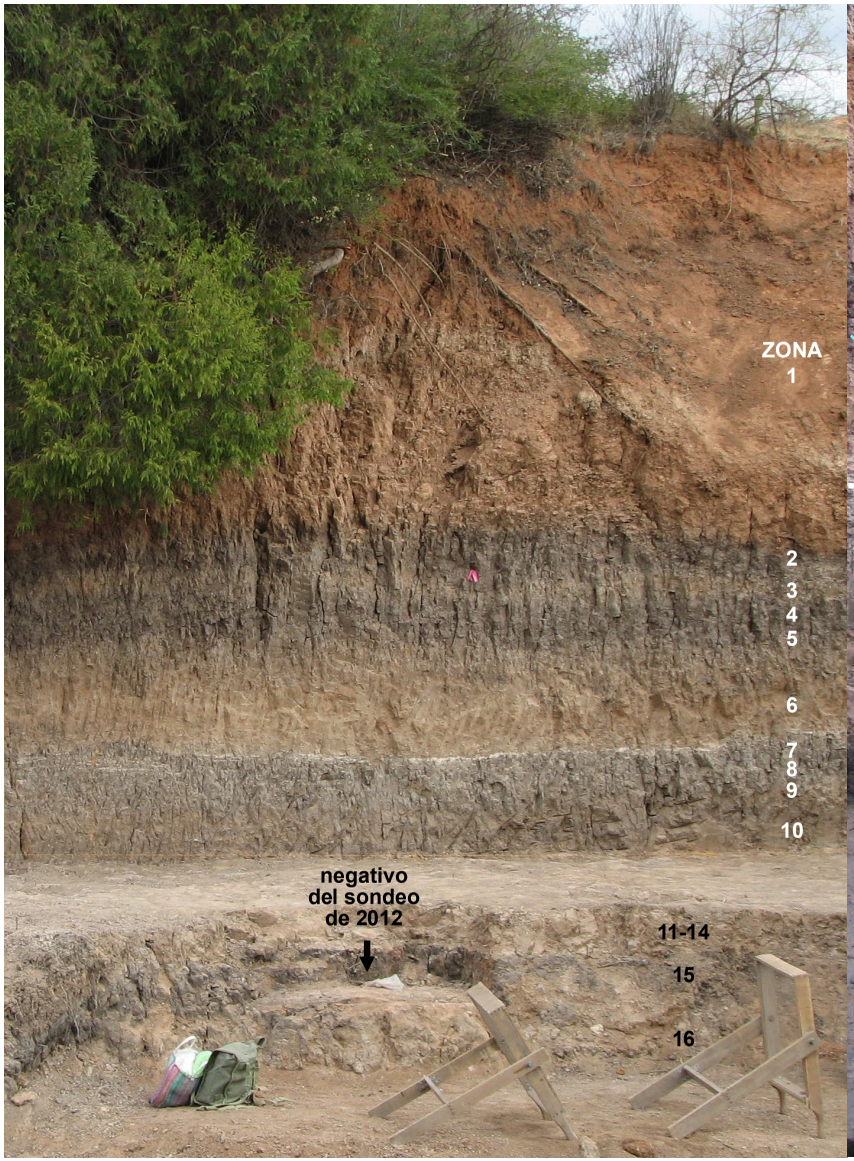


Figura 3.9. **Pared norte del área de excavación.**
La numeración en el extremo derecho de la imagen es la de la columna estratigráfica Yuz36-2.

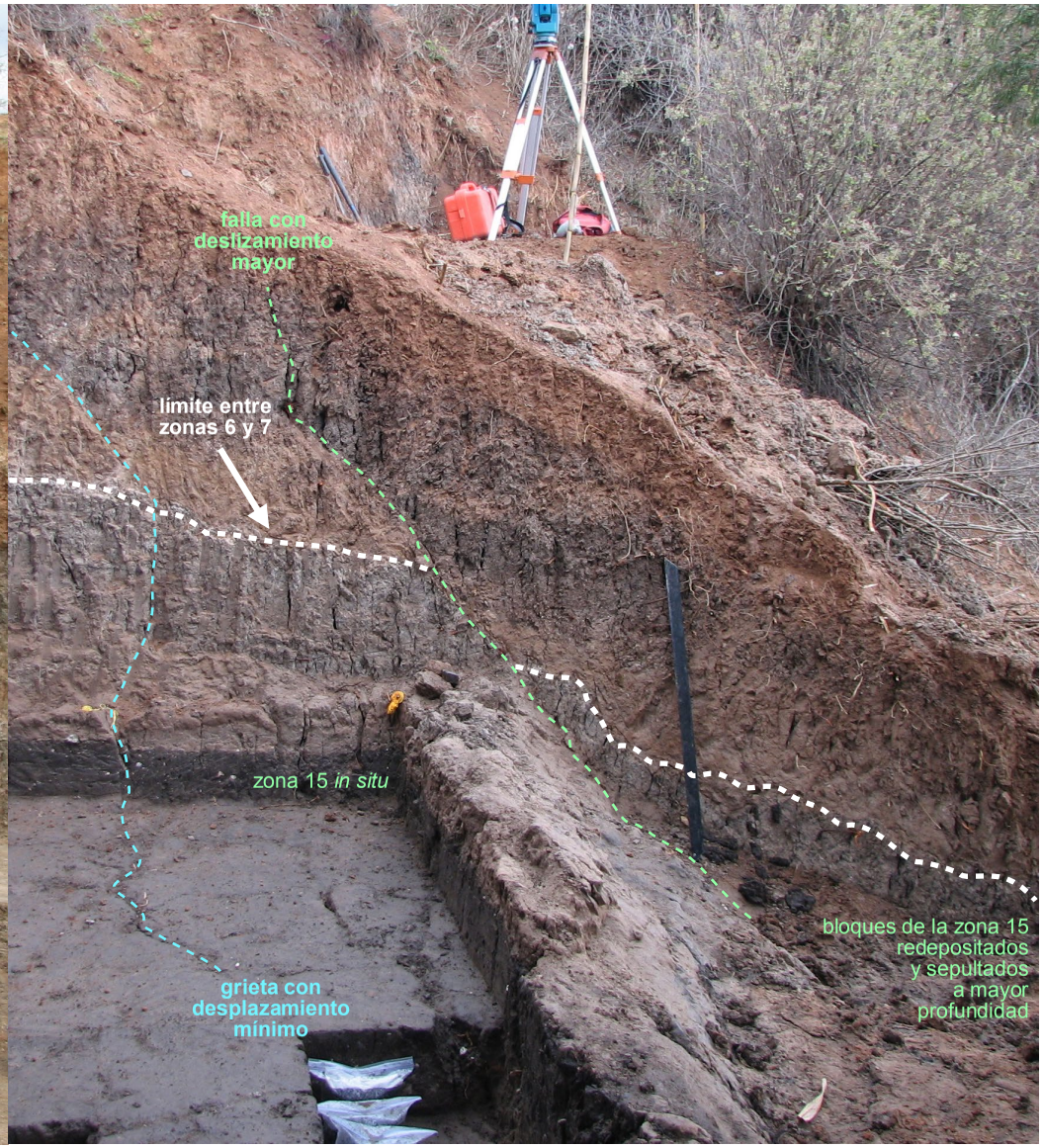


Figura 3.10. **Grieta y falla en la pared este del área de excavación.**
A la izquierda de la falla, los depósitos culturales asociados con la zona 15 están intactos; a la derecha sumamente perturbados.



Figura 3.11. **Topografía accidentada del límite superior de la zona 15 expuesta entre 48N, 50N, 44E y 50E.** La falla con deslizamiento mayor es la misma que en la Figura 3.10 y la que definió el límite sur del área de excavación controlada.



Figura 3.12. **Falla atravesando gravas fluviales en la zona 16.** Se trata de la misma falla que delimita el lado este del bloque caído en la Figura 3.11. Nótese el canto quebrado.

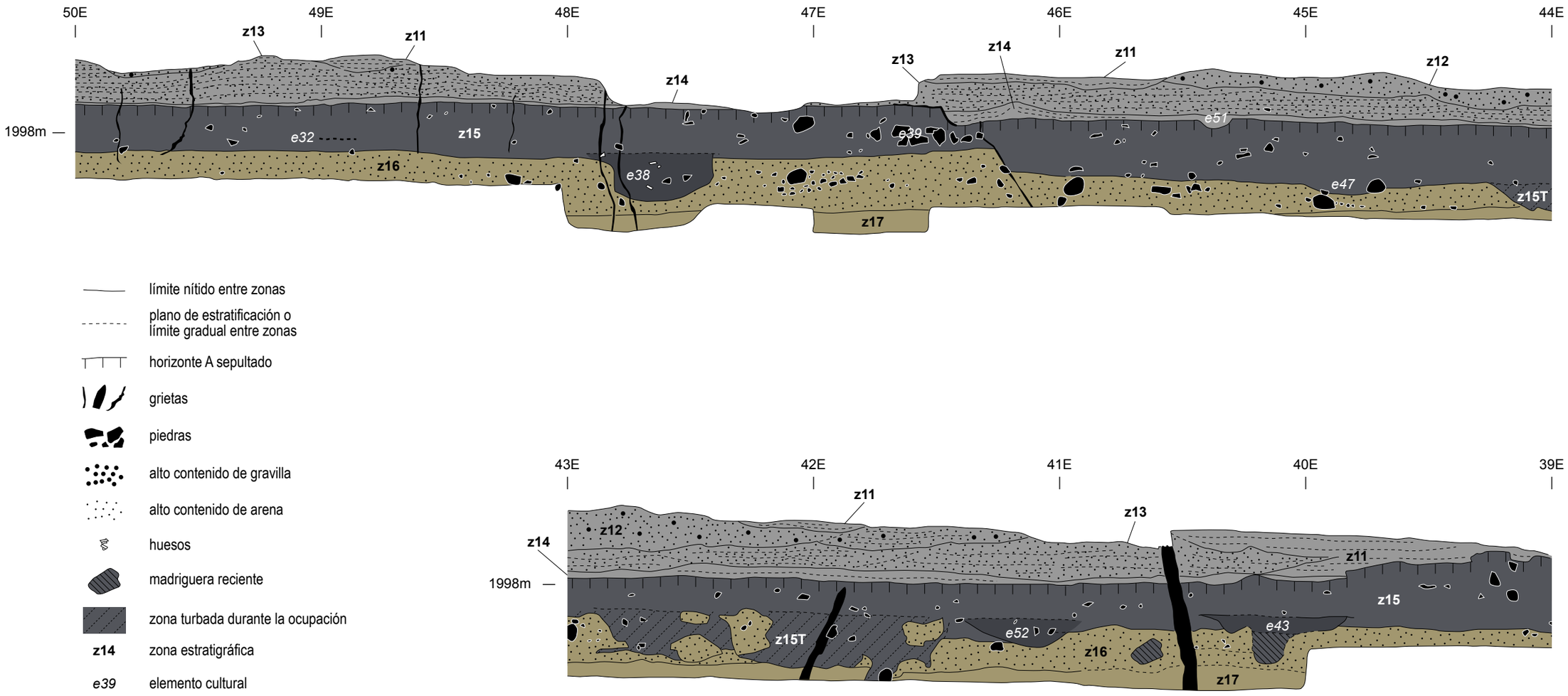


Figura 3.13. **Corte estratigráfico en 48N.**

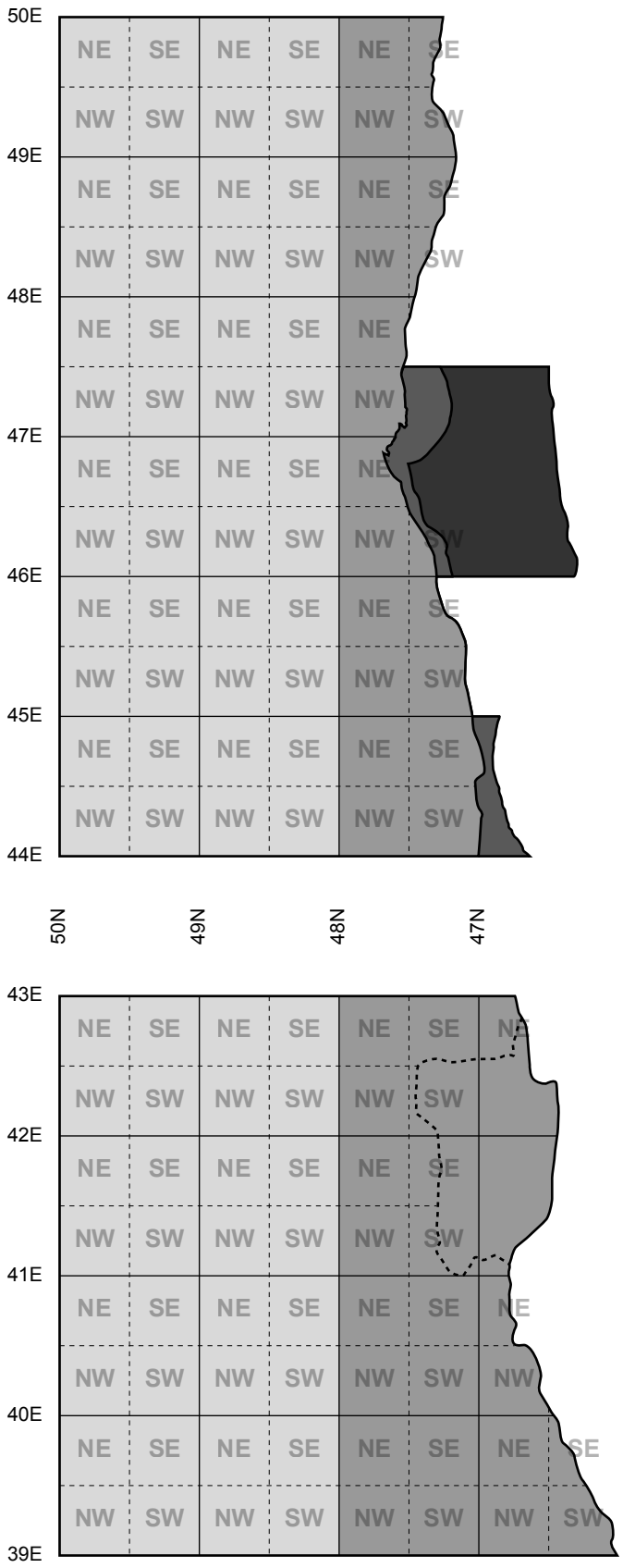


Figura 3.14. **Yuz36.**
Retícula y orden de la excavación.

excavación de bloques *in situ* arriba de la falla con deslizamiento mayor:

- 1er par de unidades excavadas
- 2o par de unidades excavadas

excavación de bloques deslizados más allá de la falla:

- algunos elementos y zonas estratigráficas aún reconocibles
- agregados revueltos de diferentes zonas estratigráficas
- negativo del sondeo de 2012 (excavación limitada por debajo del fondo del mismo)
- división en cuadrantes

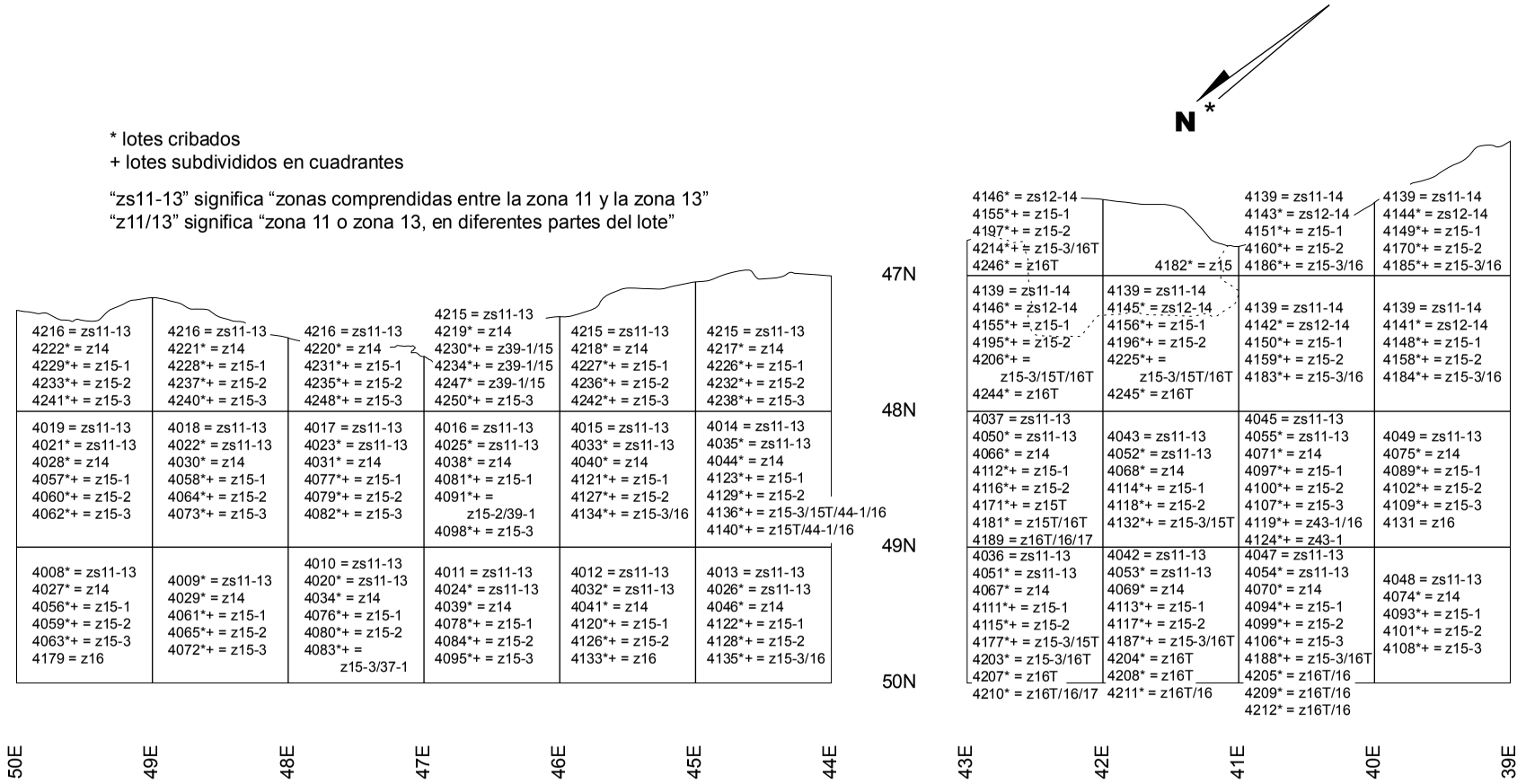


Figura 3.15. **Excavación de la zona 15 por cuadros y cuadrantes.**
Las cubetas pintadas indican la proveniencia de la tierra por cribar.



Figura 3.16. **Dibujo y registro individual de las piedras en el relleno de un hogar.**
Elemento 44.

Figura 3.17. **Yuz36. Índice gráfico de lotes excavados por cuadro.**



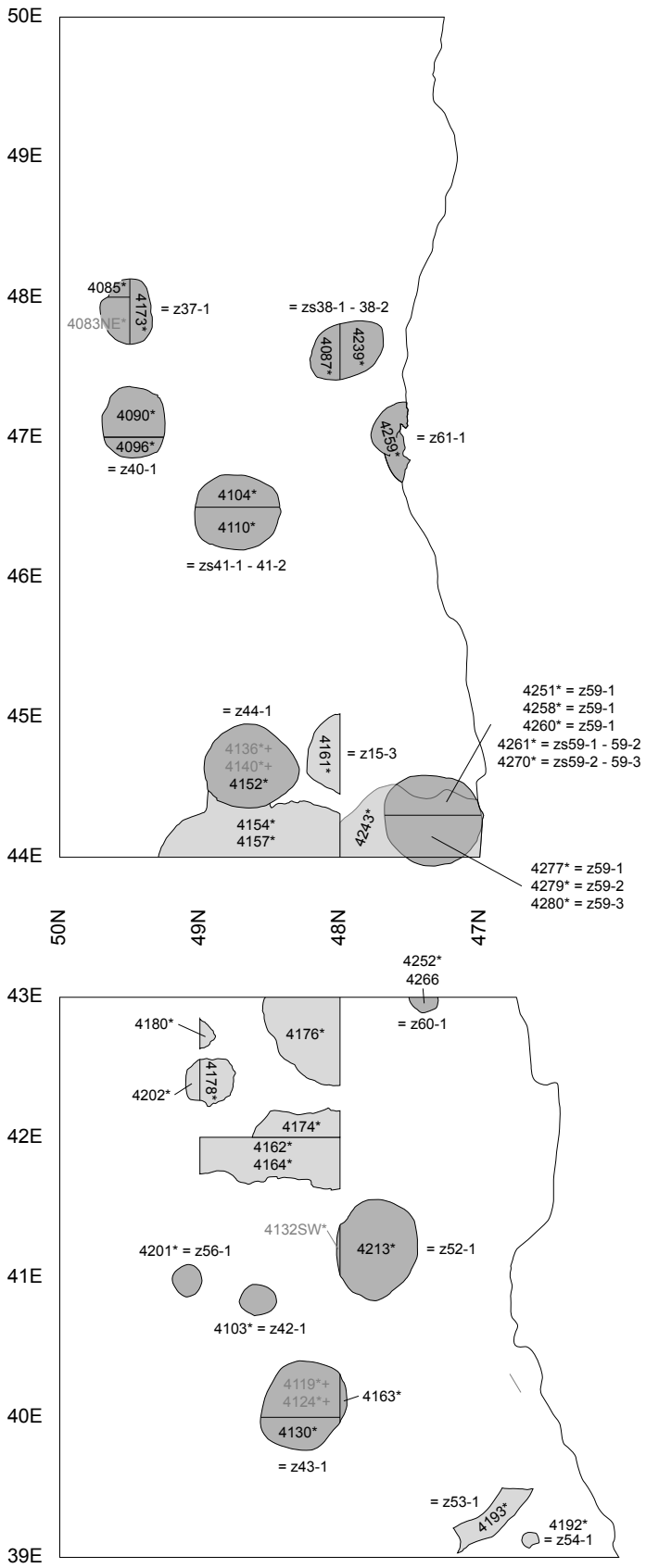


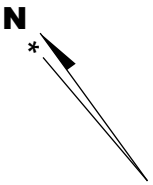
Figura 3.18. **Yuz36.**
Índice gráfico de lotes usados para la excavación de elementos.

elemento cultural

manchas de tierra oscura que resultaron no ser elementos culturales (zona 15T a menos de que se indique otra)

4132SW* porciones de elementos excavados por cuadro (véase Figura 3.17)

* lotes cribados
\+ lotes subdivididos en cuadrantes



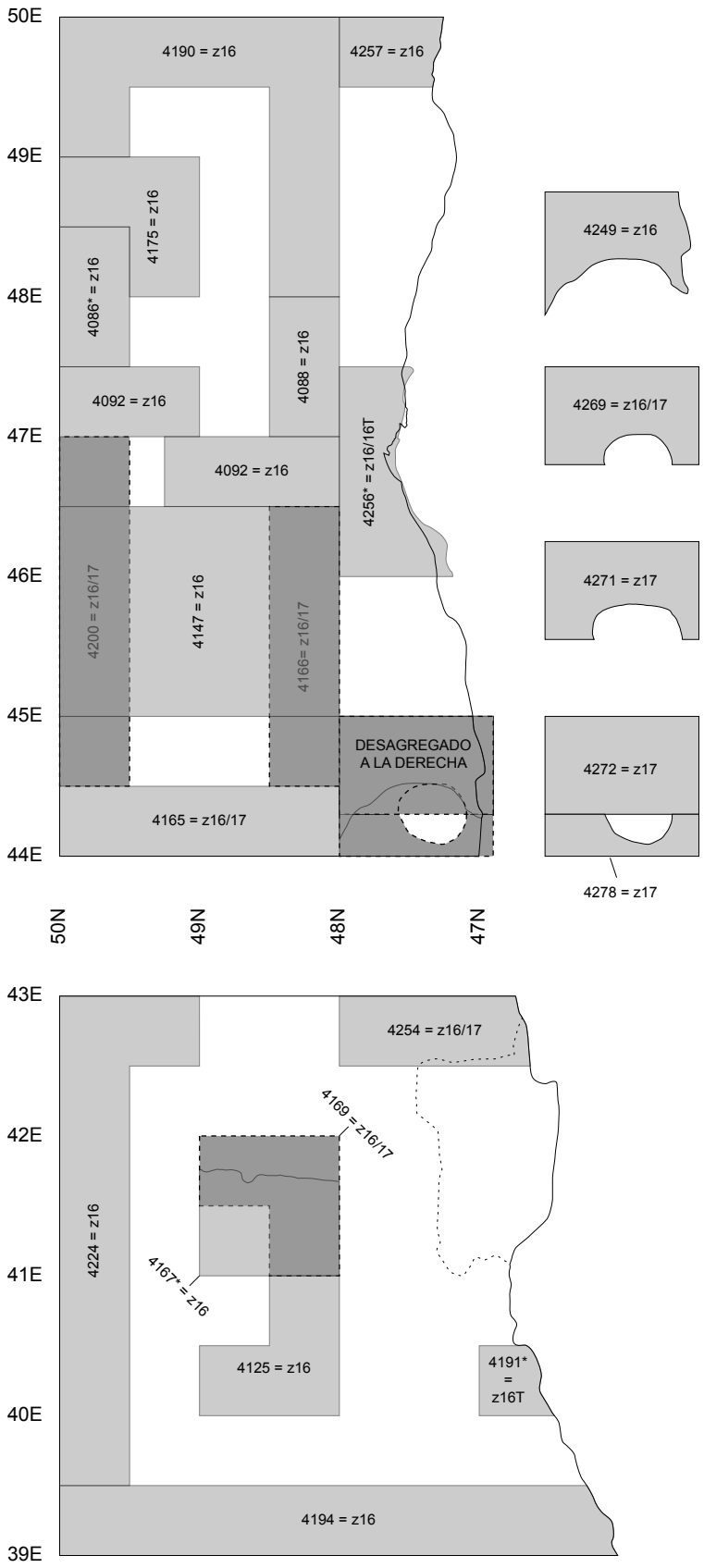


Figura 3.19. **Yuz36. Índice gráfico de lotes usados para la excavación de las zonas 16 y 17.** Se exceptúan los lotes excavados por cuadro (véase Figura 3.17)

* lotes cribados

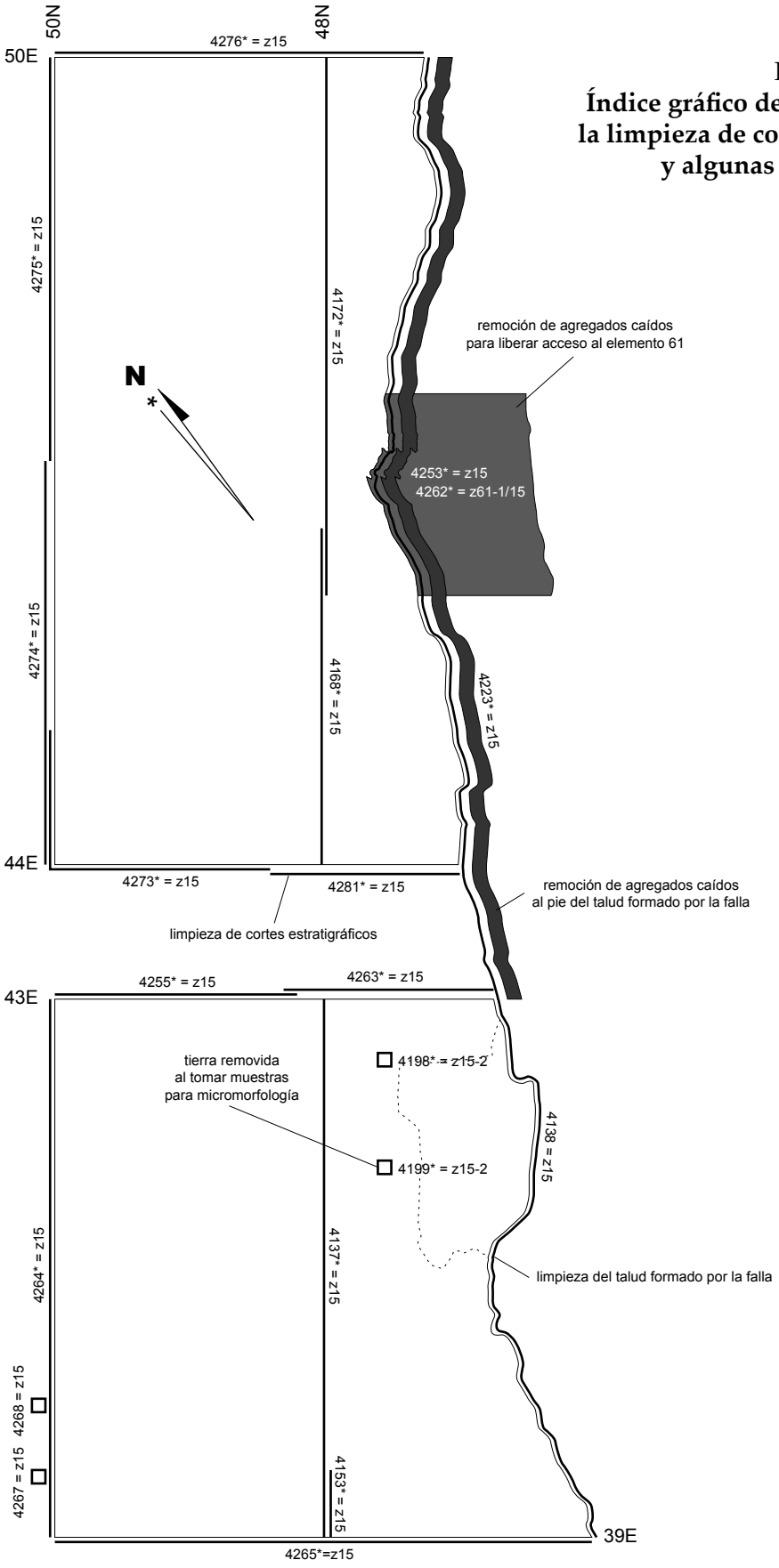


Figura 3.20. **Yuz36. Índice gráfico de lotes usados para la limpieza de cortes estratigráficos y algunas otras operaciones.**

* lotes cribados



Figura 3.21. **Uso de aspersor para humedecer superficies por excavar al día siguiente.**



Figura 3.22. **Máquina de flotación y cribado en húmedo.** El agua se recicla circulando entre los tres contenedores, en el orden marcado.

Figura 3.23. **Elementos de generación IV en el límite superior de la zona 15.**

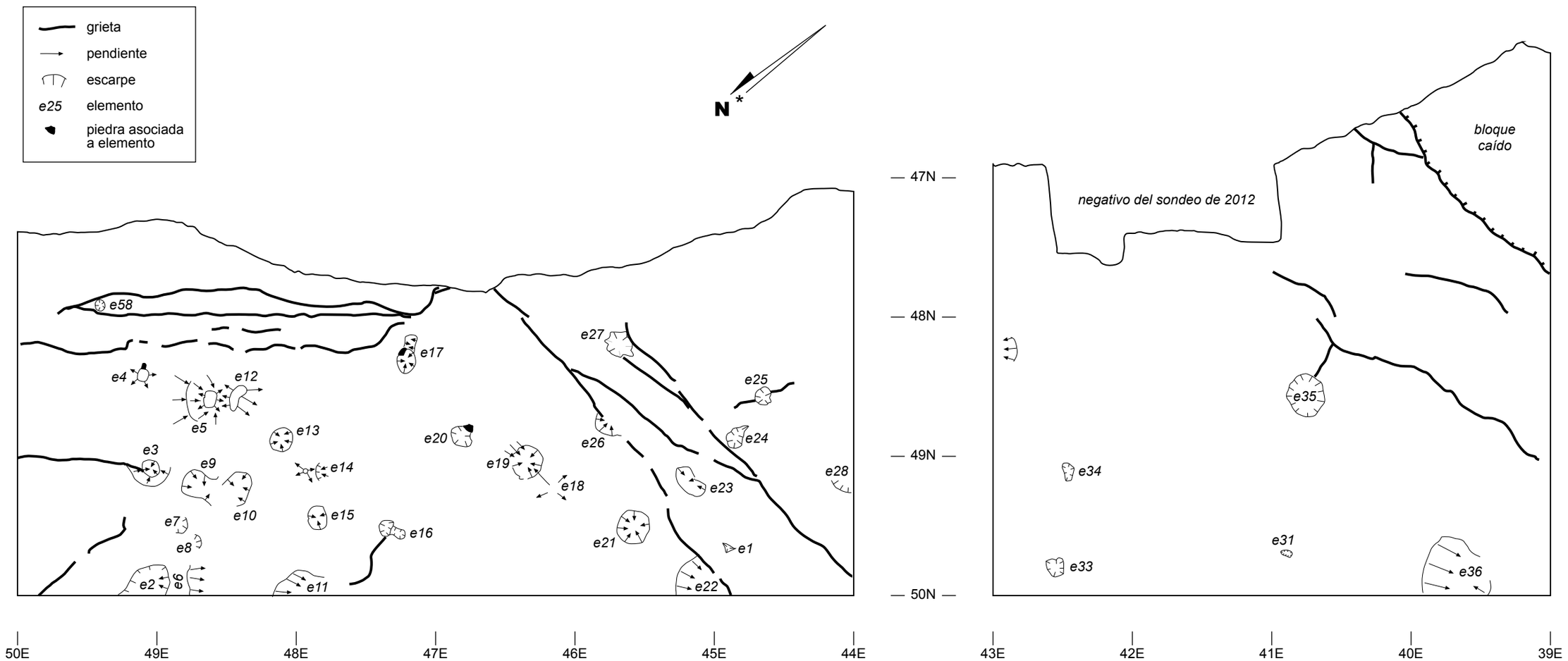




Figura 3.24. **Límite superior de la zona 15 en el extremo este del área de excavación.** En el cuadro inferior izquierdo queda aún el aluvión de baja energía que la sepultó. La flecha apunta hacia el centro del elemento 5. Compárese con las Figs. 3.23 y 3.25.



Figura 3.25. **Elemento 5 y el límite superior de la zona 15 en sus alrededores.** Viendo hacia el Oeste de la retícula. Note la abundancia de carbón.

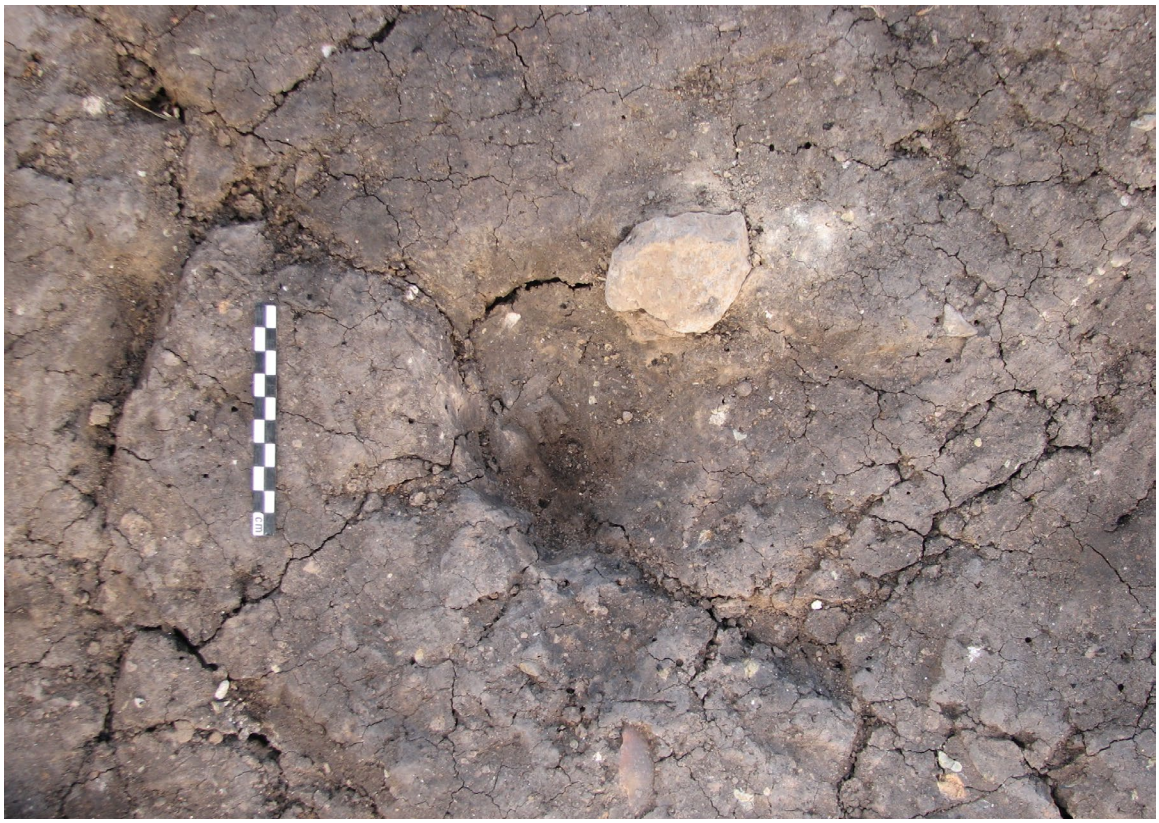


Figura 3.26. **Elemento 20.** El Norte de la retícula está hacia abajo.

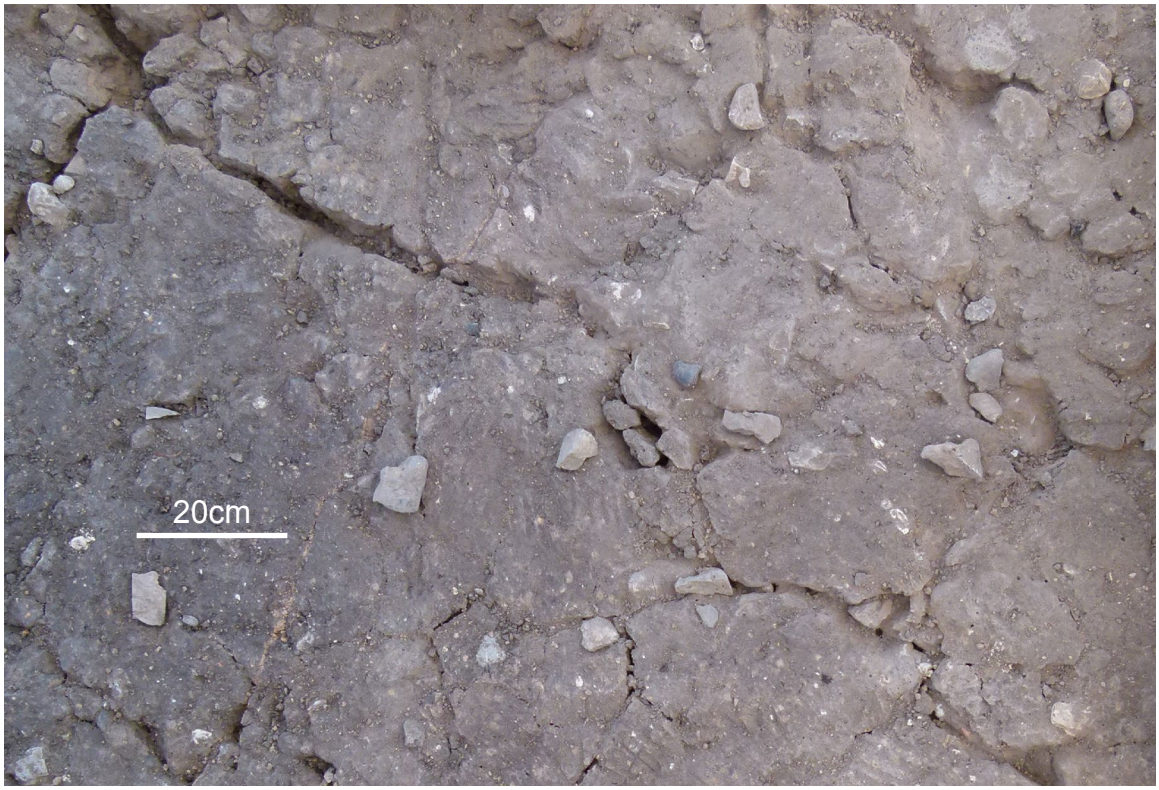


Figura 3.27. **Piedras con fractura térmica en el límite superior de la zona 15.** Extremo oeste del área de excavación. El Norte de la retícula está hacia abajo.



Figura 3.28. **Elemento 1 al aparecer en el límite superior de la zona 15.**



Figura 3.29. **Elemento 1 después de quitar su relleno.**

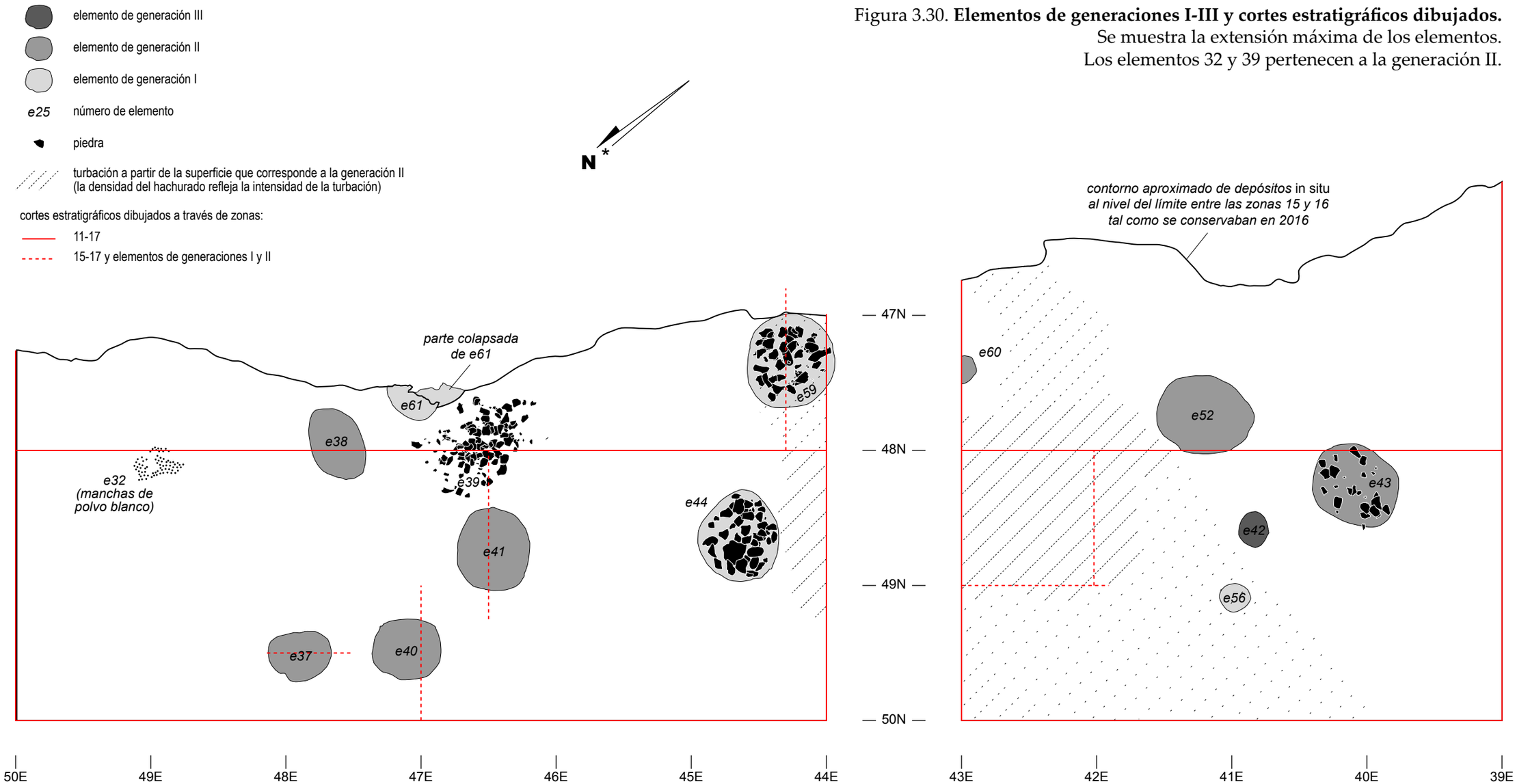


Figura 3.30. **Elementos de generaciones I-III y cortes estratigráficos dibujados.** Se muestra la extensión máxima de los elementos. Los elementos 32 y 39 pertenecen a la generación II.



Figura 3.31. **Boca del elemento 40 al aparecer bajo el lote 4083.**
El extremo oeste del elemento permanece aún oculto abajo de la zona 15.



Figura 3.32. **Elemento 37 seccionado a lo largo de 49.5 N.**

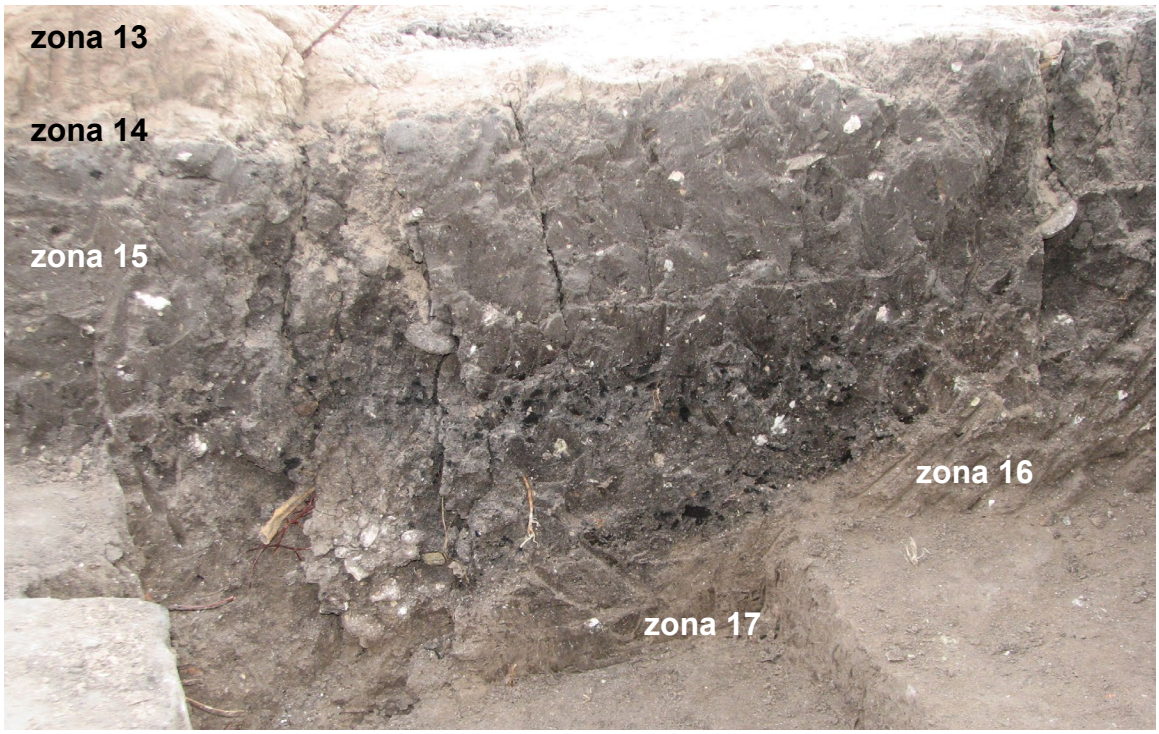


Figura 3.33. **Elemento 38 expuesto en el corte de 48 N.**



Figura 3.34. **Extremo noreste del elemento 39 expuesto después de excavar el lote 4081.**



Figura 3.35. **Objeto 920 - posible cuenta de piedra - encontrado en el elemento 37.** Su diámetro es del orden de 1cm.



Figura 3.37. **Objeto 1303 - una piedra con ranura - encontrado en el elemento 40.**



Figura 3.36. **Negativo del elemento 40 al Oeste de 47E, con el objeto 1303 in situ.**



Figura 3.38. **Negativo del elemento 52 al excavar el lote 4213.**
B. = bloque apartado para análisis micromorfológico.



Figura 3.39. **Boca del elemento 43 al excavar los lotes 4107 y 4109.**



Figura 3.40. **Elemento 41 después de excavar el lote 4104.**
Nótese la orilla del elemento enrojecida por el fuego.

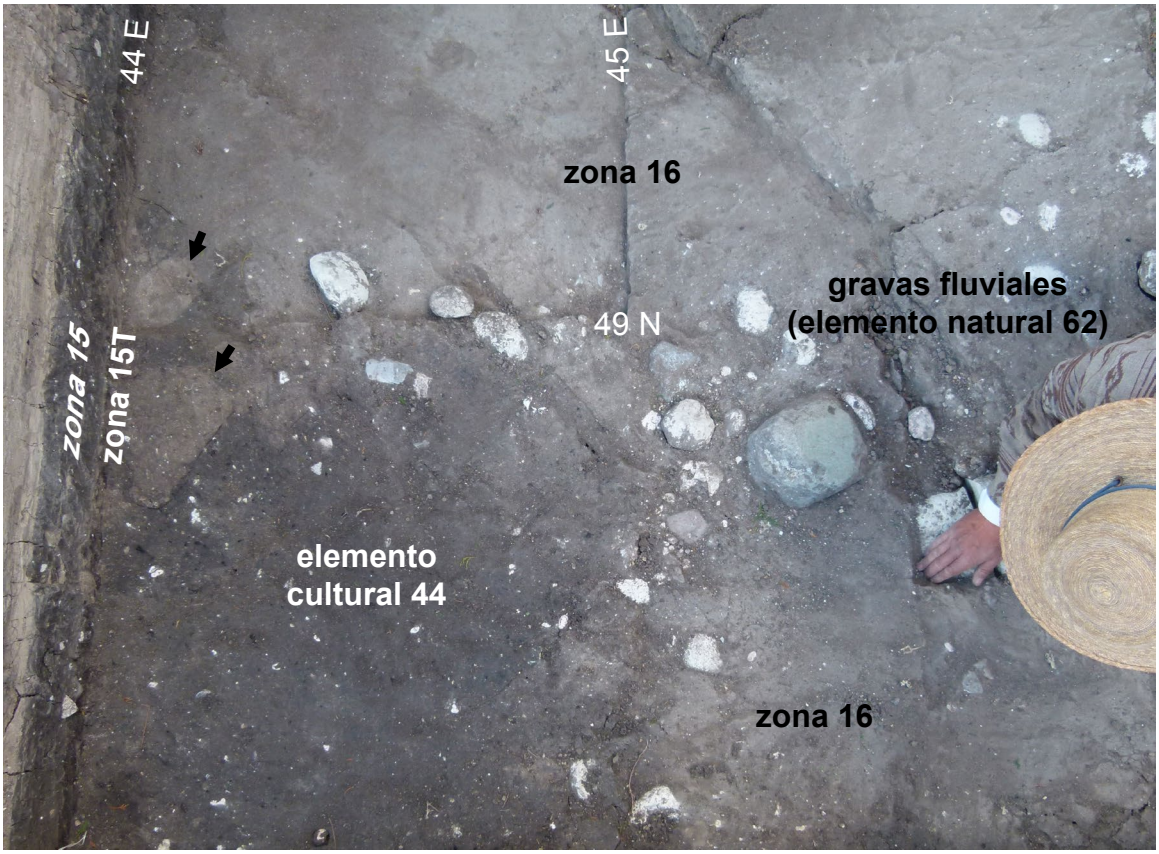


Figura 3.41. **Elemento 44 y alrededores después de excavar los lotes 4133 a 4136.**
Las flechas negras señalan agregados de la zona 16 redepositados en la zona 15T.

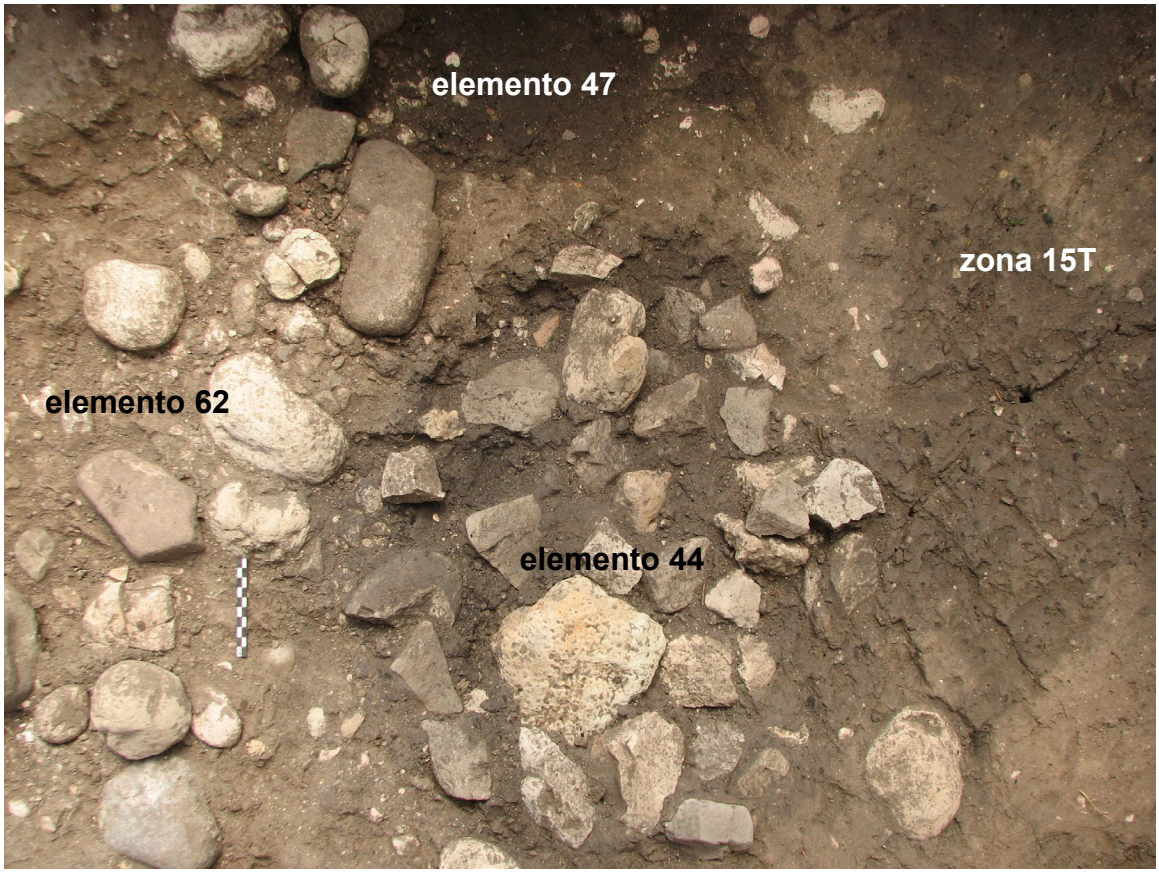


Figura 3.42. **Elemento 44 y alrededores durante la excavación del lote 4147.** El elemento 47 no parece cultural. El Norte de la retícula está hacia abajo.

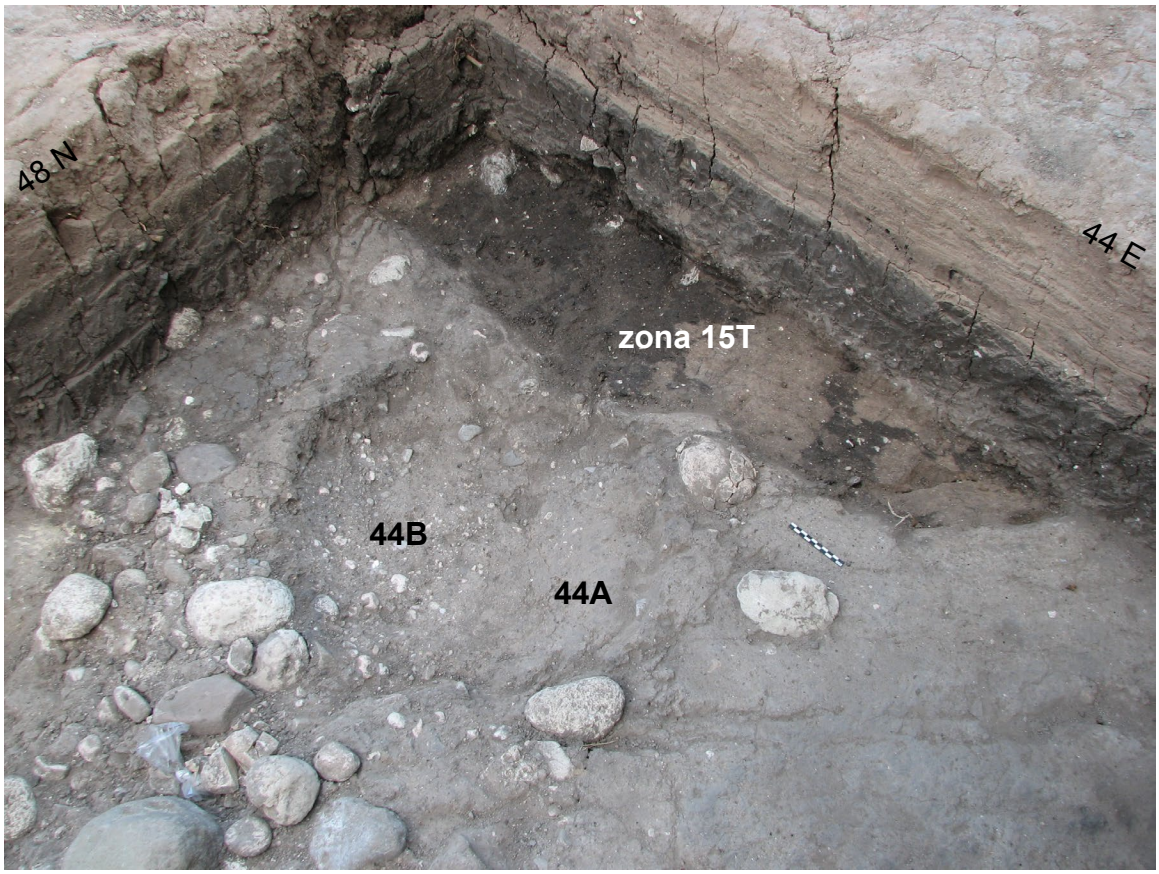


Figura 3.43. **Negativos de los elementos 44A y 44B y alrededores durante la excavación de la zona 15T por medio del lote 4154.**

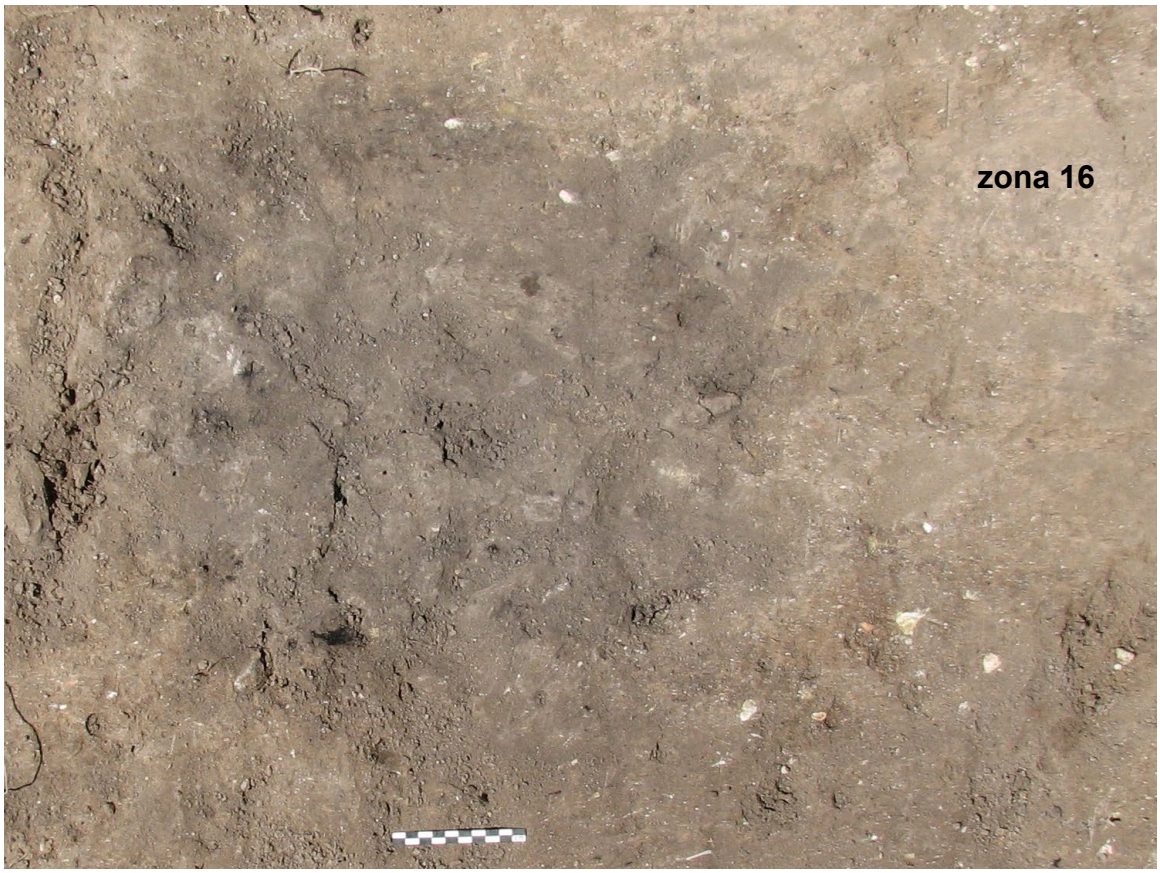


Figura 3.44. **Boca del elemento 59 después de excavar el lote 4249.**
El Norte de la retícula está hacia la derecha.



Figura 3.45. **Elemento 59 durante la excavación del lote 4251.**
Orientación y escala igual que en la figura anterior.



Figura 3.46. **Elemento 59 después de excavar el lote 4271.**



Figura 3.47. **Elemento 59 durante la excavación del lote 4277.**



Figura 3.48. **Acercamiento del metlapil de la figura anterior.**
Nótese el residuo en el borde.



Figura 3.49. **Residuo de sustancia amarillenta abajo del metlapil.**



Figura 3.50. **Zona 59-3 expuesta después de excavar el lote 4279.**
La escala descansa en un bloque apartado para análisis micromorfológico.

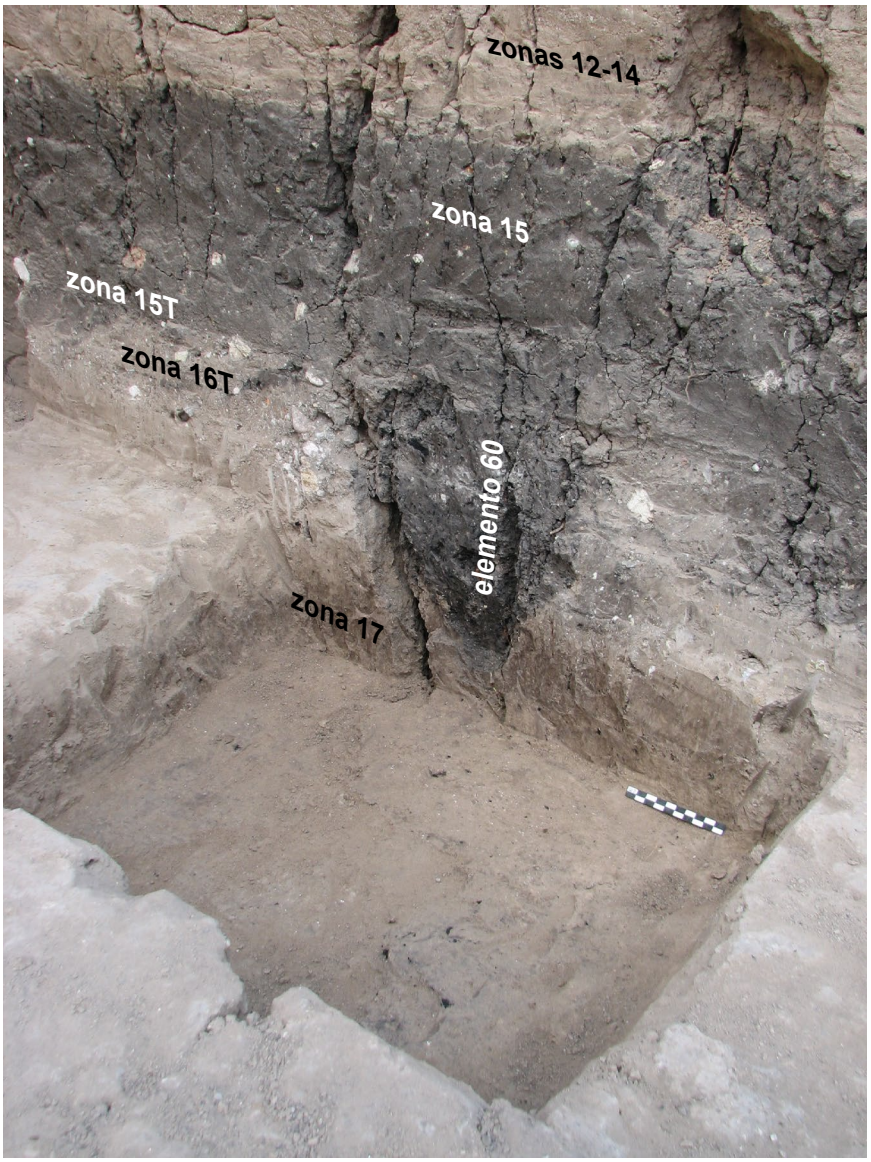


Figura 3.51. **Elemento 60 expuesto en el corte de 43E.**



Figura 3.52. **Gravas fluviales en la zona 16, el elemento natural 62.**
Después de la excavación del lote 4147.



Figura 3.53. **Gravas fluviales en las zonas 16 y 16T, el elemento natural 63.**
Después de la excavación de lotes 4207 a 4209.

4. REGISTRO DE MATERIALES

Los trabajos de análisis de los abundantes materiales producidos por la temporada 2015-2016 se prolongarán sin duda a lo largo de varios años. Por el momento anexamos al informe los registros generales de los lotes de excavación (Tablas 4.1 y 4.2) y de los objetos numerados (Tabla 4.3). Ambos se irán depurando y enriqueciendo conforme avancen los análisis. En la Tabla 4.1, los signos de interrogación indican correlaciones estratigráficas por confirmar en gabinete. En la Tabla 4.2, para los lotes que no se ajustan a la retícula – como suele ser el caso de los lotes usados para excavar elementos – las coordenadas S, N, W y E marcan los planos verticales (a intervalos de 0.1m) entre los que estaba contenido todo el volumen de tierra excavado. En la misma tabla, el entrecomillado marca elementos definidos durante la excavación que a la postre resultaron no ser culturales o fueron subsumidos en otros elementos o zonas estratigráficas. En ambas tablas, las fechas indican el día en el que se inició el lote en cuestión. Los materiales están divididos, de acuerdo con el planteamiento aprobado del proyecto, entre el Centro Regional Oaxaca, la Subdirección de Laboratorios y Apoyo Académico, y la Universidad Autónoma de San Luis Potosí.

Tabla 4.1. **Registro general de lotes de excavación y muestreo del sitio Yuzanú 50.**

Lote	Cuadrantes	N	E	Zona	Criba	Flotación	Fecha
6001	No	n/a	n/a	50	Sí	No	30-dic-15
6002	No	502	499	63-1	Sí	No	5-ene-16
6003	No	501	499	63-1	No	No	5-ene-16
6004	No	500	499	63-1	Sí	No	5-ene-16
6005	No	499	499	63-1	No	No	5-ene-16
6006	No	498	499	63-1	Sí	No	5-ene-16
6007	No	497	499	63-1	No	No	5-ene-16
6008	No	502	499	63-2	No	No	5-ene-16
6009	No	501	499	63-2	Sí	No	5-ene-16
6010	No	500	499	63-2	No	No	5-ene-16
6011	No	499	499	63-2	Sí	No	5-ene-16
6012	No	498	499	63-2	No	No	5-ene-16
6013	No	497	499	63-2	Sí	No	5-ene-16
6014	No	502	499	63-3	Sí	No	5-ene-16
6015	No	501	499	63-3	No	No	5-ene-16
6016	No	500	499	63-3	Sí	No	5-ene-16
6017	No	499	499	63-3	No	No	5-ene-16
6018	No	498	499	63-3	Sí	No	5-ene-16
6019	No	497	499	63-3	No	No	5-ene-16
6020	No	502	499	63-4	No	No	5-ene-16
6021	No	501	499	63-4	Sí	No	5-ene-16
6022	No	500	499	63-4	No	No	5-ene-16
6023	No	499	499	63-4	Sí	No	5-ene-16
6024	No	498	499	63-4	No	No	5-ene-16
6025	No	497	499	63-4	Sí	No	5-ene-16
6026	No	502	499	64	Sí	No	6-ene-16
6027	No	501	499	64	No	No	6-ene-16
6028	No	500	499	64	Sí	No	6-ene-16
6029	No	499	499	64	No	No	6-ene-16
6030	No	498	499	64	Sí	No	6-ene-16
6031	No	497	499	64	No	No	6-ene-16
6032	No	502	499	65	No	No	6-ene-16
6033	No	501	499	65	Sí	No	6-ene-16
6034	No	500	499	65	No	No	6-ene-16
6035	No	499	499	65	Sí	No	6-ene-16
6036	No	498	499	65	No	No	6-ene-16
6037	No	497	499	65	Sí	No	6-ene-16
6038	No	502	499	66	Sí	No	6-ene-16
6039	No	501	499	66	No	No	6-ene-16
6040	No	500	499	66	Sí	No	6-ene-16
6041	No	499	499	66	No	No	6-ene-16
6042	No	498	499	66	Sí	No	6-ene-16
6043	No	497	499	66	No	No	6-ene-16
6044	No	502	499	67	Sí	No	6-ene-16
6045	No	501	499	67	Sí	No	6-ene-16
6046	No	500	499	67	Sí	No	6-ene-16

Húm. = todo el lote pasado por el proceso de flotación y cribado en húmedo.

Tabla 4.1. **Registro general de lotes de excavación y muestreo del sitio Yuzanú 50.**

Lote	Cuadrantes	N	E	Zona	Criba	Flotación	Fecha
6047	No	499	499	67	Sí	No	6-ene-16
6048	No	498	499	67	Sí	No	6-ene-16
6049	No	497	499	67	Sí	No	6-ene-16
6050	No	502	499	68	Sí	No	7-ene-16
6051	No	501	499	68	Sí	No	7-ene-16
6052	No	500	499	68	Sí	Sí	7-ene-16
6053	No	499	499	68	Sí	No	7-ene-16
6054	No	498	499	69	Sí	No	7-ene-16
6055	No	497	499	68	Sí	No	7-ene-16
6056	No	502	499	69-1	Sí	Sí	7-ene-16
6057	Sí	501	499	69-1	Sí	Sí	7-ene-16
6058	Sí	500	499	69-1	Sí	Sí	7-ene-16
6059	Sí	499	499	69-1	Sí	Sí	7-ene-16
6060	No	498	499	69-1	Húm.	Sí	7-ene-16
6061	No	499	497	69-1	Sí	Sí	7-ene-16
6062	Sí	498	499	69-2	Sí	Sí	8-ene-16
6063	Sí	497	499	69-2	Sí	Sí	8-ene-16
6064	Sí	502	499	69-2	Sí	Sí	8-ene-16
6065	Sí	501	499	69-2	Sí	Sí	8-ene-16
6066	Sí	500	499	69-2	Sí	Sí	8-ene-16
6067	Sí	498	499	69-3	Sí	Sí	8-ene-16
6068	Sí	497	499	69-3	Sí	Sí	8-ene-16
6069	Sí	502	499	70	Sí	Sí	9-ene-16
6070	Sí	501	499	70	Sí	Sí	9-ene-16
6071	Sí	497	499	70	Sí	Sí	9-ene-16
6072	Sí	499	499	69-2	Sí	Sí	9-ene-16
6073	Sí	498	499	70	Sí	Sí	9-ene-16
6074	Sí	500	499	70	Sí	Sí	9-ene-16
6075	No	502	499	71	No	No	11-ene-16
6076	No	501	499	71	Sí	No	11-ene-16
6077	No	498	499	71	No	No	11-ene-16
6078	No	497	499	71	Sí	No	11-ene-16
6079	No	500	499	71	No	No	11-ene-16
6080	No	502	499	72	Sí	No	11-ene-16
6081	No	501	499	72	No	No	11-ene-16
6082	No	500	499	72	Sí	No	11-ene-16
6083	No	498	499	72	Sí	No	11-ene-16
6084	No	497	499	72	No	No	11-ene-16
6085	Sí	499	499	69-3	Sí	Sí	12-ene-16
6086	Sí	499	499	70	Sí	Sí	12-ene-16
6087	No	502	500	63	No	No	12-ene-16
6088	No	501	500	63	No	No	12-ene-16
6089	No	500	500	63	No	No	12-ene-16
6090	No	502	501	63	No	No	12-ene-16
6091	No	501	501	63	No	No	12-ene-16
6092	No	500	501	63	No	No	12-ene-16

Húm. = todo el lote pasado por el proceso de flotación y cribado en húmedo.

Tabla 4.1. **Registro general de lotes de excavación y muestreo del sitio Yuzanú 50.**

Lote	Cuadrantes	N	E	Zona	Criba	Flotación	Fecha
6093	No	499	499	71	Sí	No	12-ene-16
6094	No	499	499	72	No	No	12-ene-16
6095	No	500-2	500-1	64	No	No	13-ene-16
6096	No	502	500	65	No	No	13-ene-16
6097	No	501	500	65	No	No	13-ene-16
6098	No	500	500	65	No	No	13-ene-16
6099	No	502	501	65	No	No	13-ene-16
6100	No	501	501	65	No	No	13-ene-16
6101	No	500	501	65	No	No	13-ene-16
6102	No	500-2	500-1	66	No	No	14-ene-16
6103	No	502	500	67	Sí	Sí	14-ene-16
6104	No	501	500	67	Sí	Sí	14-ene-16
6105	No	500	500	67	Sí	Sí	14-ene-16
6106	No	502	501	67	Sí	Sí	14-ene-16
6107	No	501	501	67	Sí	Sí	14-ene-16
6108	No	500	501	67	Sí	Sí	14-ene-16
6109	No	502	500	68A	Sí	Sí	15-ene-16
6110	No	501	500	68A	Sí	Sí	15-ene-16
6111	No	500	500	68A	Sí	Sí	15-ene-16
6112	No	502	501	68A	Sí	Sí	15-ene-16
6113	No	501	501	68A	Sí	Sí	15-ene-16
6114	No	500	501	68A	Sí	Sí	15-ene-16
6115	No	502	500	68C	Sí	Sí	15-ene-16
6116	No	501	500	68C	Sí	Sí	15-ene-16
6117	No	500	500	68C	Sí	Sí	15-ene-16
6118	No	502	501	68C	Sí	Sí	15-ene-16
6119	No	501	501	68C	Sí	Sí	15-ene-16
6120	No	500	501	68C	Sí	Sí	15-ene-16
6121	No	498	499	73	Sí	No	21-ene-16
6122	No	497	499	73	No	No	21-ene-16
6123	Sí	502	500	69-1	Sí	Sí	21-ene-16
6124	Sí	501	500	69-1	Sí	Sí	21-ene-16
6125	Sí	500	500	69-1	Sí	Sí	21-ene-16
6126	No	498	498-9	74-1	No	No	22-ene-16
6127	No	497	498-9	74-1	No	No	22-ene-16
6128	Sí	500	501	69-1	Sí	Sí	22-ene-16
6129	Sí	501	501	69-1	Sí	Sí	22-ene-16
6130	Sí	502	501	69-1	Sí	Sí	22-ene-16
6131	No	498	498-9	74-2	No	No	22-ene-16
6132	No	497	498-9	74-2	No	No	22-ene-16
6133	No	498	498-9	74-3	No	No	22-ene-16
6134	No	497	498-9	74-3	No	No	22-ene-16
6135	Sí	500	500	69-2	Sí	Sí	22-ene-16
6136	Sí	501	500	69-2	Sí	Sí	22-ene-16
6137	Sí	502	500	69-2	Sí	Sí	22-ene-16
6138	Sí	500	500	69-3	Sí	Sí	22-ene-16

Húm. = todo el lote pasado por el proceso de flotación y cribado en húmedo.

Tabla 4.1. **Registro general de lotes de excavación y muestreo del sitio Yuzanú 50.**

Lote	Cuadrantes	N	E	Zona	Criba	Flotación	Fecha
6139	No	498	498-9	75	No	No	23-ene-16
6140	No	497	498-9	75	No	No	23-ene-16
6141	Sí	501	500	69-3	Sí	Sí	23-ene-16
6142	Sí	502	501	69-2	Sí	Sí	23-ene-16
6143	No	498	498-9	ca. 76	No	No	23-ene-16
6144	No	497	498-9	ca. 76	No	No	23-ene-16
6145	Sí	500	501	69-2	Sí	Sí	23-ene-16
6146	Sí	501	501	69-2	Sí	Sí	23-ene-16
6147	No	498	498-9	ca. 77	No	No	23-ene-16
6148	No	497	498-9	ca. 77	No	No	23-ene-16
6149	No	497-9	500-2	63	No	No	23-ene-16
6150	No	497-8	498-9	77-1?	No	No	24-ene-16
6151	No	497-8	498-9	77-2?	No	No	24-ene-16
6152	No	497-9	500-2	64	No	No	24-ene-16
6153	No	497-9	500-2	65	No	No	24-ene-16
6154	No	497-9	500-2	66	No	No	26-ene-16
6155	No	497-8	498	78?	No	No	26-ene-16
6156	No	497-9	500-2	67	No	No	26-ene-16
6157	No	499	501	68	Sí	No	26-ene-16
6158	No	498	501	68	Sí	No	26-ene-16
6159	No	497	501	68	Sí	No	26-ene-16
6160	No	498	500	68	Sí	No	26-ene-16
6161	No	499	500	68	Sí	No	26-ene-16
6162	No	497	500	68	Sí	No	26-ene-16
6163	Sí	499	500	69-1	Sí	Sí	27-ene-16
6164	Sí	497	500	69-1	Sí	Sí	27-ene-16
6165	Sí	497	501	69-1	Sí	Sí	27-ene-16
6166	Sí	498	500	69-1	Sí	Sí	27-ene-16
6167	Sí	498	501	69-1	Sí	Sí	27-ene-16
6168	Sí	499	501	69-1	Sí	Sí	27-ene-16
6169	Sí	499	500	69-2	Sí	Sí	28-ene-16
6170	Sí	498	500	69-2	Sí	Sí	28-ene-16
6171	Sí	497	500	69-2	Sí	Sí	28-ene-16
6172	Sí	499	501	69-2	Sí	Sí	28-ene-16
6173	Sí	498	501	69-2	Sí	Sí	28-ene-16
6174	Sí	497	501	69-2	Sí	Sí	28-ene-16
6175	Sí	499	500	69-3	Sí	Sí	29-ene-16
6176	Sí	498	500	69-3	Sí	Sí	29-ene-16
6177	Sí	497	500	69-3	Sí	Sí	29-ene-16
6178	No	497-8	498	78?	No	No	29-ene-16
6179	Sí	499	501	69-3	Sí	Sí	29-ene-16
6180	Sí	498	501	69-3	Sí	Sí	29-ene-16
6181	No	497-8	498-9	78?	No	No	29-ene-16
6182	Sí	497	501	69-3	Sí	Sí	29-ene-16

Húm. = todo el lote pasado por el proceso de flotación y cribado en húmedo.

Tabla 4.2. **Registro general de lotes de excavación y muestreo del sitio Yuzanú 36.**

Lote	Cuadrantes	S	N	W	E	Zona	Elemento	Criba	Flotación	Fecha	Tipo de lote
4000	No	n/a	n/a	n/a	n/a	9-10	n/a	No	No	6-feb-16	acondicionamiento del área de excavación
4001	No	n/a	n/a	n/a	n/a	9-10	n/a	No	No	6-feb-16	acondicionamiento del área de excavación
4002	No	n/a	n/a	n/a	n/a	9-10	n/a	No	No	8-feb-16	acondicionamiento del área de excavación
4003	No	n/a	n/a	n/a	n/a	n/a	n/a	No	No	8-feb-16	remoción de agregados caídos
4004	No	n/a	n/a	n/a	n/a	n/a	n/a	No	No	8-feb-16	remoción de agregados caídos
4005	No	n/a	n/a	n/a	n/a	9-10	n/a	No	No	8-feb-16	acondicionamiento del área de excavación
4006	No	n/a	n/a	n/a	n/a	9-10	n/a	No	No	8-feb-16	acondicionamiento del área de excavación
4007	No	n/a	n/a	n/a	n/a	n/a	n/a	No	No	9-feb-16	remoción de agregados caídos
4008	No	49.0	50.0	49.0	50.0	11-13	n/a	Sí	No	9-feb-16	excavación por cuadros de 1m2
4009	No	49.0	50.0	48.0	49.0	11-13	n/a	Sí	No	9-feb-16	excavación por cuadros de 1m2
4010	No	49.0	50.0	47.0	48.0	11-13	n/a	No	No	10-feb-16	excavación por cuadros de 1m2
4011	No	49.0	50.0	46.0	47.0	11-13	n/a	No	No	10-feb-16	excavación por cuadros de 1m2
4012	No	49.0	50.0	45.0	46.0	11-13	n/a	No	No	10-feb-16	excavación por cuadros de 1m2
4013	No	49.0	50.0	44.0	45.0	11-13	n/a	No	No	10-feb-16	excavación por cuadros de 1m2
4014	No	48.0	49.0	44.0	45.0	11-13	n/a	No	No	10-feb-16	excavación por cuadros de 1m2
4015	No	48.0	49.0	45.0	46.0	11-13	n/a	No	No	10-feb-16	excavación por cuadros de 1m2
4016	No	48.0	49.0	46.0	47.0	11-13	n/a	No	No	10-feb-16	excavación por cuadros de 1m2
4017	No	48.0	49.0	47.0	48.0	11-13	n/a	No	No	10-feb-16	excavación por cuadros de 1m2
4018	No	48.0	49.0	48.0	49.0	11-13	n/a	No	No	10-feb-16	excavación por cuadros de 1m2
4019	No	48.0	49.0	49.0	50.0	11-13	n/a	No	No	10-feb-16	excavación por cuadros de 1m2
4020	No	49.0	50.0	47.0	48.0	11-13	n/a	Sí	No	10-feb-16	excavación por cuadros de 1m2
4021	No	48.0	49.0	49.0	50.0	11-13	n/a	Sí	No	10-feb-16	excavación por cuadros de 1m2
4022	No	48.0	49.0	48.0	49.0	11-13	n/a	Sí	No	10-feb-16	excavación por cuadros de 1m2
4023	No	48.0	49.0	47.0	48.0	11-13	n/a	Sí	No	10-feb-16	excavación por cuadros de 1m2
4024	No	49.0	50.0	46.0	47.0	11-13	n/a	Sí	No	11-feb-16	excavación por cuadros de 1m2
4025	No	48.0	49.0	46.0	47.0	11-13	n/a	Sí	No	11-feb-16	excavación por cuadros de 1m2
4026	No	49.0	50.0	44.0	45.0	11-13	n/a	Sí	No	11-feb-16	excavación por cuadros de 1m2
4027	No	49.0	50.0	49.0	50.0	14	n/a	Sí	No	11-feb-16	excavación por cuadros de 1m2
4028	No	48.0	49.0	49.0	50.0	14	n/a	Sí	No	11-feb-16	excavación por cuadros de 1m2
4029	No	49.0	50.0	48.0	49.0	14	n/a	Sí	No	11-feb-16	excavación por cuadros de 1m2
4030	No	48.0	49.0	48.0	49.0	14	n/a	Sí	No	11-feb-16	excavación por cuadros de 1m2
4031	No	48.0	49.0	47.0	48.0	14	n/a	Sí	No	11-feb-16	excavación por cuadros de 1m2

Húm. = todo el lote pasado por el proceso de flotación y cribado en húmedo.

Tabla 4.2. **Registro general de lotes de excavación y muestreo del sitio Yuzanú 36.**

Lote	Cuadrantes	S	N	W	E	Zona	Elemento	Criba	Flotación	Fecha	Tipo de lote
4032	No	49.0	50.0	45.0	46.0	11-13	n/a	Sí	No	11-feb-16	excavación por cuadros de 1m2
4033	No	48.0	49.0	45.0	46.0	11-13	n/a	Sí	No	12-feb-16	excavación por cuadros de 1m2
4034	No	49.0	50.0	47.0	48.0	14	n/a	Sí	No	12-feb-16	excavación por cuadros de 1m2
4035	No	48.0	49.0	44.0	45.0	11-13	n/a	Sí	No	12-feb-16	excavación por cuadros de 1m2
4036	No	49.0	50.0	42.0	43.0	11-13	n/a	No	No	12-feb-16	excavación por cuadros de 1m2
4037	No	48.0	49.0	42.0	43.0	11-13	n/a	No	No	12-feb-16	excavación por cuadros de 1m2
4038	No	48.0	49.0	46.0	47.0	14	n/a	Sí	No	12-feb-16	excavación por cuadros de 1m2
4039	No	49.0	50.0	46.0	47.0	14	n/a	Sí	No	12-feb-16	excavación por cuadros de 1m2
4040	No	48.0	49.0	45.0	46.0	14	n/a	Sí	No	12-feb-16	excavación por cuadros de 1m2
4041	No	49.0	50.0	45.0	46.0	14	n/a	Sí	No	12-feb-16	excavación por cuadros de 1m2
4042	No	49.0	50.0	41.0	42.0	11-13	n/a	No	No	13-feb-16	excavación por cuadros de 1m2
4043	No	48.0	49.0	41.0	42.0	11-13	n/a	No	No	13-feb-16	excavación por cuadros de 1m2
4044	No	48.0	49.0	44.0	45.0	14	n/a	Sí	No	13-feb-16	excavación por cuadros de 1m2
4045	No	48.0	49.0	40.0	41.0	11-13	n/a	No	No	13-feb-16	excavación por cuadros de 1m2
4046	No	49.0	50.0	44.0	45.0	14	n/a	Sí	No	13-feb-16	excavación por cuadros de 1m2
4047	No	49.0	50.0	40.0	41.0	11-13	n/a	No	No	13-feb-16	excavación por cuadros de 1m2
4048	No	49.0	50.0	39.0	40.0	11-13	n/a	No	No	13-feb-16	excavación por cuadros de 1m2
4049	No	48.0	49.0	39.0	40.0	11-13	n/a	No	No	13-feb-16	excavación por cuadros de 1m2
4050	No	48.0	49.0	42.0	43.0	12-13	n/a	Sí	No	15-feb-16	excavación por cuadros de 1m2
4051	No	49.0	50.0	42.0	43.0	12-13	n/a	Sí	No	15-feb-16	excavación por cuadros de 1m2
4052	No	48.0	49.0	41.0	42.0	12-13	n/a	Sí	No	15-feb-16	excavación por cuadros de 1m2
4053	No	49.0	50.0	41.0	42.0	12-13	n/a	Sí	No	15-feb-16	excavación por cuadros de 1m2
4054	No	49.0	50.0	40.0	41.0	12-13	n/a	Sí	No	15-feb-16	excavación por cuadros de 1m2
4055	No	48.0	49.0	40.0	41.0	12-13	n/a	Sí	No	15-feb-16	excavación por cuadros de 1m2
4056	Sí	49.0	50.0	49.0	50.0	15-1	n/a	Sí	Sí	16-feb-16	excavación por cuadros de 1m2
4057	Sí	48.0	49.0	49.0	50.0	15-1	n/a	Sí	Sí	16-feb-16	excavación por cuadros de 1m2
4058	Sí	48.0	49.0	48.0	49.0	15-1	n/a	Sí	Sí	16-feb-16	excavación por cuadros de 1m2
4059	Sí	49.0	50.0	49.0	50.0	15-2	n/a	Sí	Sí	17-feb-16	excavación por cuadros de 1m2
4060	Sí	48.0	49.0	49.0	50.0	15-2	n/a	Sí	Sí	17-feb-16	excavación por cuadros de 1m2
4061	Sí	49.0	50.0	48.0	49.0	15-1	n/a	Sí	Sí	17-feb-16	excavación por cuadros de 1m2
4062	Sí	48.0	49.0	49.0	50.0	15-3	n/a	Sí	Sí	18-feb-16	excavación por cuadros de 1m2
4063	Sí	49.0	50.0	49.0	50.0	15-3	n/a	Sí	Sí	18-feb-16	excavación por cuadros de 1m2

Húm. = todo el lote pasado por el proceso de flotación y cribado en húmedo.

Tabla 4.2. **Registro general de lotes de excavación y muestreo del sitio Yuzanú 36.**

Lote	Cuadrantes	S	N	W	E	Zona	Elemento	Criba	Flotación	Fecha	Tipo de lote
4064	Sí	48.0	49.0	48.0	49.0	15-2	n/a	Sí	Sí	18-feb-16	excavación por cuadros de 1m2
4065	Sí	49.0	50.0	48.0	49.0	15-2	n/a	Sí	Sí	18-feb-16	excavación por cuadros de 1m2
4066	No	48.0	49.0	42.0	43.0	14	n/a	Sí	No	19-feb-16	excavación por cuadros de 1m2
4067	No	49.0	50.0	42.0	43.0	14	n/a	Sí	No	19-feb-16	excavación por cuadros de 1m2
4068	No	48.0	49.0	41.0	42.0	14	n/a	Sí	No	19-feb-16	excavación por cuadros de 1m2
4069	No	49.0	50.0	41.0	42.0	14	n/a	Sí	No	19-feb-16	excavación por cuadros de 1m2
4070	No	49.0	50.0	40.0	41.0	14	n/a	Sí	No	19-feb-16	excavación por cuadros de 1m2
4071	No	48.0	49.0	40.0	41.0	14	n/a	Sí	No	19-feb-16	excavación por cuadros de 1m2
4072	Sí	49.0	50.0	48.0	49.0	15-3	n/a	Sí	Sí	20-feb-16	excavación por cuadros de 1m2
4073	Sí	48.0	49.0	48.0	49.0	15-3	n/a	Sí	Sí	20-feb-16	excavación por cuadros de 1m2
4074	No	49.0	50.0	39.0	40.0	14	n/a	Sí	No	20-feb-16	excavación por cuadros de 1m2
4075	No	48.0	49.0	39.0	40.0	14	n/a	Sí	No	20-feb-16	excavación por cuadros de 1m2
4076	Sí	49.0	50.0	47.0	48.0	15-1	n/a	Sí	Sí	22-feb-16	excavación por cuadros de 1m2
4077	Sí	48.0	49.0	47.0	48.0	15-1	n/a	Sí	Sí	22-feb-16	excavación por cuadros de 1m2
4078	Sí	49.0	50.0	46.0	47.0	15-1	n/a	Sí	Sí	23-feb-16	excavación por cuadros de 1m2
4079	Sí	48.0	49.0	47.0	48.0	15-2	n/a	Sí	Sí	23-feb-16	excavación por cuadros de 1m2
4080	Sí	49.0	50.0	47.0	48.0	15-2	n/a	Sí	Sí	23-feb-16	excavación por cuadros de 1m2
4081	Sí	48.0	49.0	46.0	47.0	15-1	n/a	Sí	Sí	23-feb-16	excavación por cuadros de 1m2
4082	Sí	48.0	49.0	47.0	48.0	15-3	n/a	Sí	Sí	24-feb-16	excavación por cuadros de 1m2
4083	Sí	49.0	50.0	47.0	48.0	15-3	n/a	Sí	Sí	24-feb-16	excavación por cuadros de 1m2
4084	Sí	49.0	50.0	46.0	47.0	15-2	n/a	Sí	Sí	24-feb-16	excavación por cuadros de 1m2
4085	No	49.5	49.7	48.0	48.2	37-1	37	Húm.	Sí	25-feb-16	excavación de elemento
4086	No	49.5	50.0	47.5	48.5	16	n/a	Sí	No	25-feb-16	excavación por rectángulos alineados con retícula
4087	No	48.0	48.3	47.4	47.8	38-1	38	Húm.	Sí	25-feb-16	excavación de elemento
4088	No	48.0	48.5	47.0	48.0	16	n/a	No	No	25-feb-16	excavación por rectángulos alineados con retícula
4089	Sí	48.0	49.0	39.0	40.0	15-1	n/a	Sí	Sí	25-feb-16	excavación por cuadros de 1m2
4090	No	49.2	49.8	47.0	47.4	40-1	40	Sí	Sí	25-feb-16	excavación de elemento
4091	Sí	48.0	49.0	46.0	47.0	15-2	n/a	Sí	Sí	26-feb-16	excavación por cuadros de 1m2
4092	No	49.0	50.0	47.0	47.5	16	n/a	No	No	26-feb-16	excavación por rectángulos alineados con retícula
4093	Sí	49.0	50.0	39.0	40.0	15-1	n/a	Sí	Sí	26-feb-16	excavación por cuadros de 1m2
4094	Sí	49.0	50.0	40.0	41.0	15-1	n/a	Sí	Sí	27-feb-16	excavación por cuadros de 1m2
4095	Sí	49.0	50.0	46.0	47.0	15-3	n/a	Sí	Sí	27-feb-16	excavación por cuadros de 1m2

Húm. = todo el lote pasado por el proceso de flotación y cribado en húmedo.

Tabla 4.2. **Registro general de lotes de excavación y muestreo del sitio Yuzanú 36.**

Lote	Cuadrantes	S	N	W	E	Zona	Elemento	Criba	Flotación	Fecha	Tipo de lote
4096	No	49.2	49.8	46.8	47.0	40-1	40	Sí	Sí	27-feb-16	excavación de elemento
4097	Sí	48.0	49.0	40.0	41.0	15-1	n/a	Sí	Sí	27-feb-16	excavación por cuadros de 1m2
4098	Sí	48.0	49.0	46.0	47.0	15-3	n/a	Sí	Sí	27-feb-16	excavación por cuadros de 1m2
4099	Sí	49.0	50.0	40.0	41.0	15-2	n/a	Sí	Sí	29-feb-16	excavación por cuadros de 1m2
4100	Sí	48.0	49.0	40.0	41.0	15-2	n/a	Sí	Sí	29-feb-16	excavación por cuadros de 1m2
4101	Sí	49.0	50.0	39.0	40.0	15-2	n/a	Sí	Sí	29-feb-16	excavación por cuadros de 1m2
4102	Sí	48.0	49.0	39.0	40.0	15-2	n/a	Sí	Sí	29-feb-16	excavación por cuadros de 1m2
4103	No	48.0	49.0	40.5	41.0	42-1	42	Húm.	Sí	29-feb-16	excavación de elemento
4104	No	48.4	49.1	46.5	46.8	41-1/-2	41	Sí	Sí	29-feb-16	excavación de elemento
4105	No	48.0	49.3	46.5	47.0	16	n/a	No	No	1-mar-16	excavación por rectángulos alineados con retícula
4106	Sí	49.0	50.0	40.0	41.0	15-3	n/a	Sí	Sí	2-mar-16	excavación por cuadros de 1m2
4107	Sí	48.0	49.0	40.0	41.0	15-3	n/a	Sí	Sí	2-mar-16	excavación por cuadros de 1m2
4108	Sí	49.0	50.0	39.0	40.0	15-3	n/a	Sí	Sí	2-mar-16	excavación por cuadros de 1m2
4109	Sí	48.0	49.0	39.0	40.0	15-3	n/a	Sí	Sí	2-mar-16	excavación por cuadros de 1m2
4110	No	48.4	49.1	46.2	46.5	41-1/-2	41	Sí	Sí	2-mar-16	excavación de elemento
4111	Sí	49.0	50.0	42.0	43.0	15-1	n/a	Sí	Sí	3-mar-16	excavación por cuadros de 1m2
4112	Sí	48.0	49.0	42.0	43.0	15-1	n/a	Sí	Sí	3-mar-16	excavación por cuadros de 1m2
4113	Sí	49.0	50.0	41.0	42.0	15-1	n/a	Sí	Sí	3-mar-16	excavación por cuadros de 1m2
4114	Sí	48.0	49.0	41.0	42.0	15-1	n/a	Sí	Sí	3-mar-16	excavación por cuadros de 1m2
4115	Sí	49.0	50.0	42.0	43.0	15-2	n/a	Sí	Sí	5-mar-16	excavación por cuadros de 1m2
4116	Sí	48.0	49.0	42.0	43.0	15-2	n/a	Sí	Sí	5-mar-16	excavación por cuadros de 1m2
4117	Sí	49.0	50.0	41.0	42.0	15-2	n/a	Sí	Sí	5-mar-16	excavación por cuadros de 1m2
4118	Sí	48.0	49.0	41.0	42.0	15-2	n/a	Sí	Sí	5-mar-16	excavación por cuadros de 1m2
4119	Sí	48.0	49.0	40.0	41.0	43-1/16	43	Sí	Sí	5-mar-16	excavación por cuadros de 1m2
4120	Sí	49.0	50.0	45.0	46.0	15-1	n/a	Sí	Sí	7-mar-16	excavación por cuadros de 1m2
4121	Sí	48.0	49.0	45.0	46.0	15-1	n/a	Sí	Sí	7-mar-16	excavación por cuadros de 1m2
4122	Sí	49.0	50.0	44.0	45.0	15-1	n/a	Sí	Sí	7-mar-16	excavación por cuadros de 1m2
4123	Sí	48.0	49.0	44.0	45.0	15-1	n/a	Sí	Sí	7-mar-16	excavación por cuadros de 1m2
4124	Sí	48.0	49.0	40.0	41.0	43-1	43	Sí	Sí	7-mar-16	excavación por cuadros de 1m2
4125	No	48.0	49.0	40.0	41.0	16	n/a	No	No	8-mar-16	excavación por rectángulos alineados con retícula
4126	Sí	49.0	50.0	45.0	46.0	15-2	n/a	Sí	Sí	8-mar-16	excavación por cuadros de 1m2
4127	Sí	48.0	49.0	45.0	46.0	15-2	n/a	Sí	Sí	8-mar-16	excavación por cuadros de 1m2

Húm. = todo el lote pasado por el proceso de flotación y cribado en húmedo.

Tabla 4.2. **Registro general de lotes de excavación y muestreo del sitio Yuzanú 36.**

Lote	Cuadrantes	S	N	W	E	Zona	Elemento	Criba	Flotación	Fecha	Tipo de lote
4128	Sí	49.0	50.0	44.0	45.0	15-2	n/a	Sí	Sí	8-mar-16	excavación por cuadros de 1m2
4129	Sí	48.0	49.0	44.0	45.0	15-2	n/a	Sí	Sí	8-mar-16	excavación por cuadros de 1m2
4130	No	48.0	49.0	39.5	40.0	43-1	43	Sí	No	8-mar-16	excavación de elemento
4131	No	48.0	49.0	39.0	40.0	16	n/a	No	No	8-mar-16	excavación por cuadros de 1m2
4132	Sí	48.0	49.0	41.0	42.0	15-3/15T	45	Sí	No	9-mar-16	excavación por cuadros de 1m2
4133	Sí	49.0	50.0	45.0	46.0	16	n/a	Sí	Sí	10-mar-16	excavación por cuadros de 1m2
4134	Sí	48.0	49.0	45.0	46.0	15-3/16	n/a	Sí	Sí	10-mar-16	excavación por cuadros de 1m2
4135	Sí	49.0	50.0	44.0	45.0	15-3/16	n/a	Sí	Sí	10-mar-16	excavación por cuadros de 1m2
4136	Sí	48.0	49.0	44.0	45.0	15-3/15T/44-1/16	44	Sí	Sí	10-mar-16	excavación por cuadros de 1m2
4137	No	48.0	48.0	39.0	43.0	15	n/a	Sí	No	10-mar-16	limpieza y muestreo de corte estratigráfico
4138	No	n/a	n/a	n/a	n/a	15	n/a	No	No	10-mar-16	limpieza de talud
4139	No	46.2	48.0	39.0	43.0	11-14	n/a	No	No	11-mar-16	excavación por cuadros de 1m2
4140	Sí	48.0	49.0	44.0	45.0	15T/44-1/16	44	Sí	Sí	11-mar-16	excavación por cuadros de 1m2
4141	No	47.0	48.0	39.0	40.0	12-14	n/a	Sí	No	11-mar-16	excavación por cuadros de 1m2
4142	No	47.0	48.0	40.0	41.0	12-14	n/a	Sí	No	11-mar-16	excavación por cuadros de 1m2
4143	No	46.5	47.0	40.0	41.0	12-14	n/a	Sí	No	11-mar-16	excavación por cuadros de 1m2
4144	No	46.2	47.0	39.0	40.0	12-14	n/a	Sí	No	11-mar-16	excavación por cuadros de 1m2
4145	No	47.3	48.0	41.0	42.0	12-14	n/a	Sí	No	12-mar-16	excavación por cuadros de 1m2
4146	No	46.8	48.0	42.0	43.0	12-14	n/a	Sí	No	12-mar-16	excavación por cuadros de 1m2
4147	No	48.0	50.0	45.0	46.5	16	n/a	No	No	12-mar-16	excavación por rectángulos alineados con retícula
4148	Sí	47.0	48.0	39.0	40.0	15-1	n/a	Sí	Sí	12-mar-16	excavación por cuadros de 1m2
4149	Sí	46.0	47.0	39.0	40.0	15-1	n/a	Sí	Sí	12-mar-16	excavación por cuadros de 1m2
4150	Sí	47.0	48.0	40.0	41.0	15-1	n/a	Sí	Sí	12-mar-16	excavación por cuadros de 1m2
4151	Sí	46.5	47.0	40.0	41.0	15-1	n/a	Sí	Sí	12-mar-16	excavación por cuadros de 1m2
4152	No	48.2	49.0	44.3	45.0	44-1	44	Sí	Sí	12-mar-16	excavación de elemento
4153	No	47.9	48.0	39.0	39.5	15	n/a	Sí	No	14-mar-16	limpieza y muestreo de corte estratigráfico
4154	No	48.0	49.0	44.0	45.0	46-1	"46"	Sí	Sí	15-mar-16	excavación por cuadros de 1m2
4155	Sí	46.8	47.0	42.0	43.0	15-1	n/a	Sí	Sí	15-mar-16	excavación por cuadros de 1m2
4156	Sí	47.3	48.0	41.0	42.0	15-1	n/a	Sí	Sí	15-mar-16	excavación por cuadros de 1m2
4157	No	48.0	49.0	44.0	45.0	46-1	"46"	Sí	Sí	16-mar-16	excavación por cuadros de 1m2
4158	Sí	47.0	48.0	39.0	40.0	15-2	n/a	Sí	Sí	16-mar-16	excavación por cuadros de 1m2
4159	Sí	47.0	48.0	40.0	41.0	15-2	n/a	Sí	Sí	16-mar-16	excavación por cuadros de 1m2

Húm. = todo el lote pasado por el proceso de flotación y cribado en húmedo.

Tabla 4.2. **Registro general de lotes de excavación y muestreo del sitio Yuzanú 36.**

Lote	Cuadrantes	S	N	W	E	Zona	Elemento	Criba	Flotación	Fecha	Tipo de lote
4160	Sí	46.4	47.0	40.0	41.0	15-2	n/a	Sí	Sí	16-mar-16	excavación por cuadros de 1m2
4161	No	48.0	48.3	44.4	45.1	15-3	47	Sí	No	16-mar-16	excavación de elemento
4162	No	48.0	49.0	41.6	42.0	15T	"45"	Sí	Sí	16-mar-16	excavación de elemento
4163	No	47.9	48.0	39.9	40.3	43-1	43	Sí	No	17-mar-16	excavación de elemento
4164	No	48.0	49.0	41.6	42.0	15T	"45"	Sí	Sí	17-mar-16	excavación de elemento
4165	No	48.0	50.0	44.0	44.5	16-17	n/a	No	No	17-mar-16	excavación por rectángulos alineados con retícula
4166	No	48.0	48.5	44.5	46.5	16-17	n/a	No	No	17-mar-16	excavación por rectángulos alineados con retícula
4167	No	48.0	49.0	41.0	41.8	16	n/a	Sí	No	17-mar-16	excavación por rectángulos alineados con retícula
4168	No	48.0	48.0	44.0	46.5	15	n/a	Sí	No	18-mar-16	limpieza y muestreo de corte estratigráfico
4169	No	48.0	49.0	41.0	42.0	16-17	n/a	No	No	18-mar-16	excavación por rectángulos alineados con retícula
4170	Sí	46.0	47.0	39.0	40.0	15-2	n/a	Sí	Sí	18-mar-16	excavación por cuadros de 1m2
4171	Sí	48.0	49.0	42.0	43.0	15T	n/a	Sí	No	18-mar-16	excavación por cuadros de 1m2
4172	No	48.0	48.0	46.0	50.0	15	n/a	Sí	No	18-mar-16	limpieza y muestreo de corte estratigráfico
4173	No	49.0	49.5	47.5	48.5	37-1	37	Húm.	Sí	25-feb-16	excavación de elemento
4174	No	48.0	49.0	42.0	43.0	15T	"45"	Sí	Sí	19-mar-16	excavación por cuadros de 1m2
4175	No	49.0	50.0	48.0	49.0	16	n/a	No	No	19-mar-16	excavación por rectángulos alineados con retícula
4176	No	48.0	48.6	42.3	43.0	15T	"50"	Sí	Sí	19-mar-16	excavación de elemento
4177	Sí	49.0	50.0	42.0	43.0	15-3/15T	n/a	Sí	No	19-mar-16	excavación por cuadros de 1m2
4178	No	48.7	49.0	42.2	42.6	15T	"48"	Sí	Sí	19-mar-16	excavación de elemento
4179	No	49.0	50.0	49.0	50.0	16	n/a	No	No	19-mar-16	excavación por cuadros de 1m2
4180	No	48.8	49.0	42.6	42.8	49-1/16M	"49"	Sí	No	19-mar-16	excavación de elemento
4181	No	48.0	49.0	42.0	43.0	15T/16T	n/a	Sí	Sí	19-mar-16	excavación por cuadros de 1m2
4182	No	46.7	47.2	41.0	41.3	15	n/a	Sí	No	21-mar-16	excavación por cuadros de 1m2
4183	Sí	47.0	48.0	40.0	41.0	15-3/16	n/a	Sí	Sí	21-mar-16	excavación por cuadros de 1m2
4184	Sí	47.0	48.0	39.0	40.0	15-3/16	n/a	Sí	Sí	21-mar-16	excavación por cuadros de 1m2
4185	Sí	46.0	47.0	39.0	40.0	15-3/16	n/a	Sí	Sí	21-mar-16	excavación por cuadros de 1m2
4186	Sí	46.5	47.0	40.0	41.0	15-3/16	n/a	Sí	Sí	21-mar-16	excavación por cuadros de 1m2
4187	Sí	49.0	50.0	41.0	42.0	15-3/16T	n/a	Sí	No	22-mar-16	excavación por cuadros de 1m2
4188	Sí	49.0	50.0	40.0	41.0	15-3/16T	n/a	Sí	No	22-mar-16	excavación por cuadros de 1m2
4189	No	48.0	49.0	42.0	43.0	16T/16/17	n/a	No	No	22-mar-16	excavación por cuadros de 1m2
4190	No	48.0	50.0	48.0	50.0	16	n/a	No	No	22-mar-16	excavación por rectángulos alineados con retícula
4191	No	46.5	47.0	40.0	41.0	16T	n/a	Sí	No	22-mar-16	excavación por rectángulos alineados con retícula

Húm. = todo el lote pasado por el proceso de flotación y cribado en húmedo.

Tabla 4.2. **Registro general de lotes de excavación y muestreo del sitio Yuzanú 36.**

Lote	Cuadrantes	S	N	W	E	Zona	Elemento	Criba	Flotación	Fecha	Tipo de lote
4192	No	46.6	46.7	39.1	39.2	54-1	"54"	Sí	No	22-mar-16	excavación de elemento
4193	No	46.6	47.2	39.0	40.0	53-1	"53"	Sí	No	22-mar-16	excavación de elemento
4194	No	46.0	50.0	39.0	39.5	16	n/a	No	No	22-mar-16	excavación por rectángulos alineados con retícula
4195	Sí	47.0	48.0	42.0	43.0	15-2	n/a	Sí	Sí	23-mar-16	excavación por cuadros de 1m2
4196	Sí	47.2	48.0	41.0	42.0	15-2	n/a	Sí	Sí	23-mar-16	excavación por cuadros de 1m2
4197	Sí	46.7	47.0	42.5	43.0	15-2	n/a	Sí	Sí	23-mar-16	excavación por cuadros de 1m2
4198	No	47.5	48.0	42.5	43.0	15-2	n/a	Sí	No	23-mar-16	muestreo micromorfológico
4199	No	47.5	48.0	41.5	42.0	15-2	n/a	Sí	No	23-mar-16	muestreo micromorfológico
4200	No	49.5	50.0	44.5	47.0	16-17	n/a	No	No	23-mar-16	excavación por rectángulos alineados con retícula
4201	No	48.9	49.2	40.8	41.1	56-1	56	Húm.	Sí	23-mar-16	excavación de elemento
4202	No	49.0	49.2	42.2	42.6	15T	"48"	Húm.	Sí	23-mar-16	excavación de elemento
4203	No	49.0	50.0	42.0	43.0	15-3/16T	n/a	Sí	Sí	23-mar-16	excavación por cuadros de 1m2
4204	No	49.0	50.0	41.0	42.0	16T	n/a	Sí	Sí	23-mar-16	excavación por cuadros de 1m2
4205	No	49.0	50.0	40.0	41.0	16T/16	n/a	Sí	No	23-mar-16	excavación por cuadros de 1m2
4206	Sí	47.0	48.0	42.0	43.0	15-3/15T/16T	n/a	Sí	Sí	24-mar-16	excavación por cuadros de 1m2
4207	No	49.0	50.0	42.0	43.0	16T	n/a	Sí	Sí	24-mar-16	excavación por cuadros de 1m2
4208	No	49.0	50.0	41.0	42.0	16T	n/a	Sí	Sí	24-mar-16	excavación por cuadros de 1m2
4209	No	49.0	50.0	40.0	41.0	16T/16	n/a	Sí	Sí	24-mar-16	excavación por cuadros de 1m2
4210	No	49.0	50.0	42.0	43.0	16T/16/17	n/a	Sí	No	24-mar-16	excavación por cuadros de 1m2
4211	No	49.0	50.0	41.0	42.0	16T/16	n/a	Sí	No	24-mar-16	excavación por cuadros de 1m2
4212	No	49.0	50.0	40.0	41.0	16T/16	n/a	Sí	No	24-mar-16	excavación por cuadros de 1m2
4213	No	47.4	48.0	40.8	41.6	52-1	52	Sí	Sí	24-mar-16	excavación de elemento
4214	Sí	46.6	47.0	42.5	43.0	15-3/16T	n/a	Sí	Sí	25-mar-16	excavación por cuadros de 1m2
4215	No	47.0	48.0	44.0	47.0	11-13	n/a	No	Sí	25-mar-16	excavación por cuadros de 1m2
4216	No	47.4	48.0	47.0	50.0	11-13	n/a	No	Sí	25-mar-16	excavación por cuadros de 1m2
4217	No	47.0	48.0	44.0	45.0	14	n/a	Sí	Sí	25-mar-16	excavación por cuadros de 1m2
4218	No	47.4	48.0	45.0	46.0	14	n/a	Sí	Sí	25-mar-16	excavación por cuadros de 1m2
4219	No	47.4	48.0	46.0	47.0	14	n/a	Sí	Sí	25-mar-16	excavación por cuadros de 1m2
4220	No	47.7	48.0	47.0	48.0	14	n/a	Sí	No	25-mar-16	excavación por cuadros de 1m2
4221	No	47.5	48.0	48.0	49.0	14	n/a	Sí	Sí	25-mar-16	excavación por cuadros de 1m2
4222	No	47.4	48.0	49.0	50.0	14	n/a	Sí	Sí	25-mar-16	excavación por cuadros de 1m2
4223	No	n/a	n/a	43.0	50.0	15	n/a	Sí	No	25-mar-16	remoción de agregados caídos

Húm. = todo el lote pasado por el proceso de flotación y cribado en húmedo.

Tabla 4.2. **Registro general de lotes de excavación y muestreo del sitio Yuzanú 36.**

Lote	Cuadrantes	S	N	W	E	Zona	Elemento	Criba	Flotación	Fecha	Tipo de lote
4224	No	49.0	50.0	39.5	43.0	16	n/a	No	No	25-mar-16	excavación por rectángulos alineados con retícula
4225	Sí	47.0	48.0	41.0	42.0	15-3/15T/16T	n/a	Sí	Sí	26-mar-16	excavación por cuadros de 1m2
4226	Sí	47.0	48.0	44.0	45.0	15-1	n/a	Sí	Sí	26-mar-16	excavación por cuadros de 1m2
4227	Sí	47.0	48.0	45.0	46.0	15-1	n/a	Sí	Sí	26-mar-16	excavación por cuadros de 1m2
4228	Sí	47.0	48.0	48.0	49.0	15-1	n/a	Sí	Sí	26-mar-16	excavación por cuadros de 1m2
4229	Sí	47.0	48.0	49.0	50.0	15-1	n/a	Sí	Sí	26-mar-16	excavación por cuadros de 1m2
4230	Sí	47.0	48.0	46.0	47.0	39-1/15	39	Sí	Sí	26-mar-16	excavación por cuadros de 1m2
4231	Sí	47.0	48.0	47.0	48.0	15-1	n/a	Sí	Sí	26-mar-16	excavación por cuadros de 1m2
4232	Sí	47.0	48.0	44.0	45.0	15-2	n/a	Sí	Sí	28-mar-16	excavación por cuadros de 1m2
4233	Sí	47.2	48.0	49.0	50.0	15-2	n/a	Sí	Sí	28-mar-16	excavación por cuadros de 1m2
4234	Sí	47.4	48.0	46.0	47.0	39-1/15	39	Sí	No	28-mar-16	excavación por cuadros de 1m2
4235	Sí	47.5	48.0	47.0	48.0	15-2	n/a	Sí	Sí	29-mar-16	excavación por cuadros de 1m2
4236	Sí	47.1	48.0	45.0	46.0	15-2	n/a	Sí	Sí	29-mar-16	excavación por cuadros de 1m2
4237	Sí	47.2	48.0	48.0	49.0	15-2	n/a	Sí	Sí	29-mar-16	excavación por cuadros de 1m2
4238	Sí	47.0	48.0	44.0	45.0	15-3	n/a	Sí	Sí	29-mar-16	excavación por cuadros de 1m2
4239	No	47.7	48.0	47.4	47.9	38-1-2	38	Sí	Sí	30-mar-16	excavación de elemento
4240	Sí	47.2	48.0	48.0	49.0	15-3	n/a	Sí	Sí	30-mar-16	excavación por cuadros de 1m2
4241	Sí	47.2	48.0	49.0	50.0	15-3	n/a	Sí	Sí	30-mar-16	excavación por cuadros de 1m2
4242	Sí	47.1	48.0	45.0	46.0	15-3	n/a	Sí	Sí	30-mar-16	excavación por cuadros de 1m2
4243	No	47.0	48.0	44.0	45.0	15T	n/a	Sí	Sí	30-mar-16	excavación por cuadros de 1m2
4244	No	47.0	48.0	42.0	43.0	16T	n/a	Sí	Sí	30-mar-16	excavación por cuadros de 1m2
4245	No	47.0	48.0	41.0	42.0	16	n/a	Sí	No	30-mar-16	excavación por cuadros de 1m2
4246	No	46.4	47.0	42.0	43.0	16	n/a	Sí	No	30-mar-16	excavación por cuadros de 1m2
4247	No	47.3	48.0	46.0	47.0	39-1/15	39	Sí	Sí	30-mar-16	excavación de elemento
4248	Sí	47.5	48.0	47.0	48.0	15-3	n/a	Sí	Sí	31-mar-16	excavación por cuadros de 1m2
4249	No	46.6	48.0	44.0	45.0	16	n/a	No	No	31-mar-16	recorte de las paredes de troncocónica
4250	Sí	47.0	48.0	46.0	47.0	15-3	n/a	Sí	Sí	31-mar-16	excavación por cuadros de 1m2
4251	No	47.0	47.6	44.3	44.6	59-1	59	Sí	Sí	31-mar-16	excavación de elemento
4252	No	47.2	47.6	42.8	43.0	60-1	60	Sí	Sí	31-mar-16	excavación de elemento
4253	No	46.2	47.7	46.0	47.5	15	n/a	Sí	No	31-mar-16	remoción de agregados caídos
4254	No	46.5	48.0	42.5	43.0	16-17	n/a	No	No	1-abr-16	excavación por rectángulos alineados con retícula
4255	No	48.2	50.0	43.0	43.0	15	n/a	Sí	No	1-abr-16	limpieza y muestreo de corte estratigráfico

Húm. = todo el lote pasado por el proceso de flotación y cribado en húmedo.

Tabla 4.2. **Registro general de lotes de excavación y muestreo del sitio Yuzanú 36.**

Lote	Cuadrantes	S	N	W	E	Zona	Elemento	Criba	Flotación	Fecha	Tipo de lote
4256	No	47.2	48.0	46.0	47.5	16/16T	n/a	Sí	No	1-abr-16	excavación por rectángulos alineados con retícula
4257	No	47.2	48.0	49.5	50.0	16	n/a	No	No	1-abr-16	excavación por rectángulos alineados con retícula
4258	No	47.0	47.7	44.3	44.6	59-1	59	Sí	Sí	1-abr-16	excavación de elemento
4259	No	47.5	47.8	46.6	47.3	61-1	61	Húm.	Sí	1-abr-16	excavación de elemento
4260	No	47.0	47.7	44.3	44.6	59-1	59	Húm.	Sí	1-abr-16	excavación de elemento
4261	No	47.0	47.7	44.3	44.6	59-1/2	59	Húm.	Sí	1-abr-16	excavación de elemento
4262	No	46.2	47.7	46.0	47.5	61-1/15	61	Sí	No	2-abr-16	remoción de agregados caídos
4263	No	46.7	48.3	43.0	43.0	15	n/a	Sí	No	2-abr-16	limpieza y muestreo de corte estratigráfico
4264	No	50.0	50.0	39.0	41.0	15	n/a	Sí	No	2-abr-16	limpieza y muestreo de corte estratigráfico
4265	No	46.0	50.0	39.0	39.0	15	n/a	Sí	No	2-abr-16	limpieza y muestreo de corte estratigráfico
4266	No	47.2	47.6	42.8	43.0	60-1	60	No	No	4-abr-16	excavación de elemento
4267	No	50.0	50.0	39.4	39.5	15	n/a	No	No	4-abr-16	muestreo micromorfológico
4268	No	50.0	50.0	39.9	40.1	15	n/a	No	No	4-abr-16	muestreo micromorfológico
4269	No	46.9	48.0	44.3	45.0	16-17	n/a	No	No	4-abr-16	recorte de las paredes de troncocónica
4270	No	47.0	47.7	44.3	44.6	59-2-3	59	Sí	Sí	4-abr-16	excavación de elemento
4271	No	46.9	48.0	44.3	45.0	17	n/a	No	No	4-abr-16	recorte de las paredes de troncocónica
4272	No	46.9	48.0	44.3	45.0	17	n/a	No	No	4-abr-16	recorte de las paredes de troncocónica
4273	No	48.4	50.0	44.0	45.0	15	n/a	Sí	No	4-abr-16	limpieza y muestreo de corte estratigráfico
4274	No	50.0	50.0	44.0	47.0	15	n/a	Sí	No	4-abr-16	limpieza y muestreo de corte estratigráfico
4275	No	50.0	50.0	47.0	50.0	15	n/a	Sí	No	4-abr-16	limpieza y muestreo de corte estratigráfico
4276	No	47.2	50.0	50.0	50.0	15	n/a	Sí	No	4-abr-16	limpieza y muestreo de corte estratigráfico
4277	No	46.9	47.7	43.9	44.3	59-1	59	Sí	Sí	5-abr-16	excavación de elemento
4278	No	46.9	48.0	44.0	44.3	16	n/a	No	No	6-abr-16	recorte de las paredes de troncocónica
4279	No	46.9	47.7	43.9	44.3	59-2	59	Sí	Sí	6-abr-16	excavación de elemento
4280	No	46.9	47.5	43.9	44.3	59-3	59	Sí	Sí	6-abr-16	excavación de elemento
4281	No	46.9	48.4	44.0	44.0	15	n/a	Sí	No	6-abr-16	limpieza y muestreo de corte estratigráfico

Húm. = todo el lote pasado por el proceso de flotación y cribado en húmedo.

Tabla 4.3. **Registro general de objetos numerados.**

Sitio	No.	Lote	Cuadrante	Categoría
Yuzanú 50	1	p/a	p/a	Piedra tallada
Yuzanú 50	2	p/a	p/a	Piedra tallada
Yuzanú 50	3	p/a	p/a	Piedra tallada
Yuzanú 50	4	n/a	n/a	Hueso
Yuzanú 50	5	n/a	n/a	Piedra
Yuzanú 50	6	n/a	n/a	Piedra tallada
Yuzanú 50	7	n/a	n/a	Hueso
Yuzanú 50	8	p/a	p/a	Piedra tallada
Yuzanú 50	9	p/a	p/a	Piedra tallada
Yuzanú 50	10	p/a	p/a	Piedra tallada
Yuzanú 50	11	p/a	p/a	Piedra tallada
Yuzanú 50	12	p/a	p/a	Piedra tallada
Yuzanú 50	13	6078	n/a	Hueso
Yuzanú 50	14	p/a	p/a	Piedra tallada
Yuzanú 50	15	p/a	p/a	Piedra tallada
Yuzanú 50	16	p/a	p/a	Piedra tallada
Yuzanú 50	17	p/a	p/a	Piedra tallada
Yuzanú 50	18	p/a	p/a	Piedra tallada
Yuzanú 50	19	p/a	p/a	Piedra tallada
Yuzanú 50	20	p/a	p/a	Piedra tallada
Yuzanú 50	21	6052	n/a	Piedra tallada
Yuzanú 50	22	6052	n/a	Piedra tallada
Yuzanú 50	23	6053	n/a	Hueso
Yuzanú 50	24	6052	n/a	Piedra tallada
Yuzanú 50	25	6052	n/a	Piedra tallada
Yuzanú 50	26	6052	n/a	Piedra tallada
Yuzanú 50	27	6052	n/a	Piedra tallada
Yuzanú 50	28	6052	n/a	Piedra tallada
Yuzanú 50	29	6052	n/a	Piedra tallada
Yuzanú 50	30	6052	n/a	Piedra tallada
Yuzanú 50	31	6052	n/a	Piedra tallada
Yuzanú 50	32	6052	n/a	Piedra tallada
Yuzanú 50	33	6054	n/a	Piedra tallada
Yuzanú 50	34	6054	n/a	Hueso
Yuzanú 50	35	6060	n/a	Hueso
Yuzanú 50	36	6060	n/a	Piedra tallada
Yuzanú 50	37	6052	n/a	Piedra tallada
Yuzanú 50	38	6052	n/a	Piedra tallada
Yuzanú 50	39	6052	n/a	Piedra tallada
Yuzanú 50	40	6052	n/a	Piedra tallada
Yuzanú 50	41	6052	n/a	Piedra tallada
Yuzanú 50	42	6052	n/a	Piedra tallada
Yuzanú 50	43	6052	n/a	Piedra tallada
Yuzanú 50	44	6052	n/a	Piedra tallada
Yuzanú 50	45	6052	n/a	Piedra tallada
Yuzanú 50	46	6060	n/a	Piedra tallada

n/a=no aplicable; p/a=por asignar

Tabla 4.3. **Registro general de objetos numerados.**

Sitio	No.	Lote	Cuadrante	Categoría
Yuzanú 50	47	6060	n/a	Piedra tallada
Yuzanú 50	48	6061	n/a	Piedra tallada
Yuzanú 50	49	6059	SW	Hueso
Yuzanú 50	50	6059	SW	Hueso
Yuzanú 50	51	6059	SW	Piedra tallada
Yuzanú 50	52	6059	SW	Piedra tallada
Yuzanú 50	53	6059	SW	Piedra tallada
Yuzanú 50	54	6060	NW	Piedra tallada
Yuzanú 50	55	6058	SW	Piedra tallada
Yuzanú 50	56	6058	SW	Piedra tallada
Yuzanú 50	57	6059	NW	Piedra tallada
Yuzanú 50	58	6059	NW	Piedra tallada
Yuzanú 50	59	6059	SW	Hueso
Yuzanú 50	60	6059	NW	Hueso
Yuzanú 50	61	6059	NW	Piedra tallada
Yuzanú 50	62	6059	SW	Piedra tallada
Yuzanú 50	63	6058	SE	Piedra tallada
Yuzanú 50	64	6058	SE	Piedra tallada
Yuzanú 50	65	6058	SE	Piedra tallada
Yuzanú 50	66	6059	NW	Piedra tallada
Yuzanú 50	67	6062	SE	Piedra tallada
Yuzanú 50	68	6059	NW	Piedra tallada
Yuzanú 50	69	6059	NW	Piedra tallada
Yuzanú 50	70	6059	NW	Piedra tallada
Yuzanú 50	71	6059	NW	Piedra tallada
Yuzanú 50	72	6059	NW	Piedra tallada
Yuzanú 50	73	6058	SE	Piedra tallada
Yuzanú 50	74	6058	SE	Piedra tallada
Yuzanú 50	75	6059	NW	Piedra tallada
Yuzanú 50	76	6059	NW	Piedra tallada
Yuzanú 50	77	6059	NW	Piedra tallada
Yuzanú 50	78	6059	NW	Piedra tallada
Yuzanú 50	79	6059	NW	Piedra tallada
Yuzanú 50	80	6059	NW	Piedra tallada
Yuzanú 50	81	6062	NE	Piedra tallada
Yuzanú 50	82	6059	NW	Hueso
Yuzanú 50	83	6059	NW	Piedra tallada
Yuzanú 50	84	6059	NW	Piedra tallada
Yuzanú 50	85	6059	NW	Piedra tallada
Yuzanú 50	86	6059	NW	Piedra tallada
Yuzanú 50	87	6059	NW	Piedra tallada
Yuzanú 50	88	6059	SW	Piedra tallada
Yuzanú 50	89	6059	SW	Piedra tallada
Yuzanú 50	90	6059	SW	Piedra tallada
Yuzanú 50	91	6059	SW	Piedra tallada
Yuzanú 50	92	6059	SW	Piedra tallada

n/a=no aplicable; p/a=por asignar

Tabla 4.3. **Registro general de objetos numerados.**

Sitio	No.	Lote	Cuadrante	Categoría
Yuzanú 50	93	6059	SE	Piedra tallada
Yuzanú 50	94	6059	SW	Piedra tallada
Yuzanú 50	95	6066	NE	Piedra tallada
Yuzanú 50	96	6059	NW	Hueso
Yuzanú 50	97	6059	NW	Piedra tallada
Yuzanú 50	98	6059	SW	Piedra tallada
Yuzanú 50	99	6059	SW	Piedra tallada
Yuzanú 50	100	6059	NW	Piedra tallada
Yuzanú 50	101	6059	NW	Piedra tallada
Yuzanú 50	102	6059	NW	Piedra tallada
Yuzanú 50	103	6059	NW	Piedra tallada
Yuzanú 50	104	6059	NW	Piedra tallada
Yuzanú 50	105	6059	NW	Piedra tallada
Yuzanú 50	106	6059	NW	Piedra tallada
Yuzanú 50	107	6078	n/a	Hueso
Yuzanú 50	108	6059	SE	Piedra tallada
Yuzanú 50	109	6066	NE	Piedra tallada
Yuzanú 50	110	6065	SE	Piedra tallada
Yuzanú 50	111	6065	SE	Piedra tallada
Yuzanú 50	112	6065	SE	Piedra tallada
Yuzanú 50	113	6059	NE	Piedra tallada
Yuzanú 50	114	6059	NW	Piedra tallada
Yuzanú 50	115	6059	NE	Piedra tallada
Yuzanú 50	116	6059	NE	Piedra tallada
Yuzanú 50	117	6059	NE	Hueso
Yuzanú 50	118	6059	NE	Piedra tallada
Yuzanú 50	119	6072	NE	Piedra tallada
Yuzanú 50	120	6059	NE	Piedra tallada
Yuzanú 50	121	6072	NE	Hueso
Yuzanú 50	122	6059	SE	Piedra tallada
Yuzanú 50	123	6059	NE	Piedra tallada
Yuzanú 50	124	6072	SE	Piedra tallada
Yuzanú 50	125	6072	SE	Piedra tallada
Yuzanú 50	126	6072	SE	Piedra tallada
Yuzanú 50	127	6072	SE	Piedra tallada
Yuzanú 50	128	6072	SE	Piedra tallada
Yuzanú 50	129	6072	SE	Piedra tallada
Yuzanú 50	130	6072	SE	Piedra tallada
Yuzanú 50	131	6072	SE	Piedra tallada
Yuzanú 50	132	6072	SE	Piedra tallada
Yuzanú 50	133	6072	SE	Piedra tallada
Yuzanú 50	134	6072	SE	Piedra tallada
Yuzanú 50	135	6072	SE	Piedra tallada
Yuzanú 50	136	6072	NW	Piedra tallada
Yuzanú 50	137	6072	NW	Piedra tallada
Yuzanú 50	138	6072	NW	Piedra tallada

n/a=no aplicable; p/a=por asignar

Tabla 4.3. **Registro general de objetos numerados.**

Sitio	No.	Lote	Cuadrante	Categoría
Yuzanú 50	139	6072	NW	Piedra tallada
Yuzanú 50	140	6072	NW	Piedra tallada
Yuzanú 50	141	6072	NW	Piedra tallada
Yuzanú 50	142	6072	NW	Piedra tallada
Yuzanú 50	143	6072	NW	Piedra tallada
Yuzanú 50	144	6072	NW	Piedra tallada
Yuzanú 50	145	6072	NW	Piedra tallada
Yuzanú 50	146	6072	NW	Piedra tallada
Yuzanú 50	147	6072	NW	Piedra tallada
Yuzanú 50	148	6072	NW	Piedra tallada
Yuzanú 50	149	6072	SW	Piedra tallada
Yuzanú 50	150	6072	NW	Piedra tallada
Yuzanú 50	151	6072	NW	Piedra tallada
Yuzanú 50	152	6072	NW	Piedra tallada
Yuzanú 50	153	6072	NW	Piedra tallada
Yuzanú 50	154	6072	NW	Piedra tallada
Yuzanú 50	155	6072	SW	Piedra tallada
Yuzanú 50	156	6072	SW	Piedra tallada
Yuzanú 50	157	6072	SW	Piedra tallada
Yuzanú 50	158	6072	SW	Piedra tallada
Yuzanú 50	159	6072	SW	Hueso
Yuzanú 50	160	6072	SW	Hueso
Yuzanú 50	161	6072	SW	Piedra tallada
Yuzanú 50	162	6072	NW	Piedra tallada
Yuzanú 50	163	6072	SE	Piedra tallada
Yuzanú 50	164	6072	SE	Piedra tallada
Yuzanú 50	165	6072	SE	Piedra tallada
Yuzanú 50	166	6072	SE	Piedra tallada
Yuzanú 50	167	6072	NE	Piedra tallada
Yuzanú 50	168	6072	NE	Piedra tallada
Yuzanú 50	169	6072	NE	Piedra tallada
Yuzanú 50	170	6072	NE	Piedra tallada
Yuzanú 50	171	6072	NE	Piedra tallada
Yuzanú 50	172	6072	NE	Piedra tallada
Yuzanú 50	173	6072	NE	Piedra tallada
Yuzanú 50	174	6072	NE	Piedra tallada
Yuzanú 50	175	6072	NE	Piedra tallada
Yuzanú 50	176	6072	NE	Piedra tallada
Yuzanú 50	177	6072	NE	Piedra tallada
Yuzanú 50	178	6085	NW	Piedra tallada
Yuzanú 50	179	6085	NW	Piedra tallada
Yuzanú 50	180	6086	SW	Piedra tallada
Yuzanú 50	181	6092	n/a	Hueso
Yuzanú 50	182	6111	n/a	Tierra
Yuzanú 50	183	6117	SW	Piedra tallada
Yuzanú 50	184	6117	SE	Piedra tallada

n/a=no aplicable; p/a=por asignar

Tabla 4.3. **Registro general de objetos numerados.**

Sitio	No.	Lote	Cuadrante	Categoría
Yuzanú 50	185	6125	NW	Piedra tallada
Yuzanú 50	186	6125	NW	Piedra tallada
Yuzanú 50	187	6125	SW	Piedra tallada
Yuzanú 50	188	6125	SW	Piedra tallada
Yuzanú 50	189	6125	SW	Piedra tallada
Yuzanú 50	190	6125	SW	Piedra tallada
Yuzanú 50	191	6125	SE	Hueso
Yuzanú 50	192	6163	NW	Piedra tallada
Yuzanú 50	193	6163	NW	Piedra tallada
Yuzanú 50	194	6150	n/a	Hueso
Yuzanú 50	195	6181	n/a	Hueso
Yuzanú 50	196	6155	n/a	Hueso
Yuzanú 50	197	6181	n/a	Hueso
Yuzanú 50	198	6151	n/a	Hueso
Yuzanú 50	199	6151	n/a	Hueso
Yuzanú 50	200	6151	n/a	Hueso
Yuzanú 50	201	6161	n/a	Piedra tallada
Yuzanú 50	202	6163	SW	Piedra tallada
Yuzanú 50	203	6163	SW	Piedra tallada
Yuzanú 50	204	6165	SW	Piedra tallada
Yuzanú 50	205	6163	SW	Piedra tallada
Yuzanú 50	206	6163	SW	Piedra tallada
Yuzanú 50	207	6169	NW	Piedra tallada
Yuzanú 50	208	6151	n/a	Hueso
Yuzanú 50	209	6151	n/a	Hueso
Yuzanú 50	210	6151	n/a	Hueso
Yuzanú 50	211	6151	n/a	Hueso
Yuzanú 50	212	6151	n/a	Hueso
Yuzanú 50	213	6151	n/a	Hueso
Yuzanú 50	214	6151	n/a	Hueso
Yuzanú 50	215	6151	n/a	Hueso
Yuzanú 50	216	6181	n/a	Hueso
Yuzanú 50	217	6181	n/a	Hueso
Yuzanú 50	218	6181	n/a	Hueso
Yuzanú 50	219	6181	n/a	Hueso
Yuzanú 36	220	n/a	n/a	Piedra tallada
Yuzanú 36	221	n/a	n/a	Hueso
Yuzanú 36	222	n/a	n/a	Piedra con fractura térmica
Yuzanú 36	223	n/a	n/a	Piedra tallada
Yuzanú 36	224	n/a	n/a	Piedra con fractura térmica
Yuzanú 36	225	n/a	n/a	Piedra tallada
Yuzanú 36	226	n/a	n/a	Piedra con fractura térmica
Yuzanú 36	227	n/a	n/a	Piedra tallada
Yuzanú 36	228	n/a	n/a	Piedra no modificada
Yuzanú 36	229	n/a	n/a	Piedra con fractura térmica
Yuzanú 36	230	n/a	n/a	Piedra con fractura térmica

n/a=no aplicable; p/a=por asignar

Tabla 4.3. **Registro general de objetos numerados.**

Sitio	No.	Lote	Cuadrante	Categoría
Yuzanú 36	231	n/a	n/a	Piedra no modificada
Yuzanú 36	232	n/a	n/a	Piedra no modificada
Yuzanú 36	233	n/a	n/a	Piedra con fractura térmica
Yuzanú 36	233	n/a	n/a	Piedra no modificada
Yuzanú 36	234	n/a	n/a	Piedra con fractura térmica
Yuzanú 36	235	n/a	n/a	Piedra con fractura térmica
Yuzanú 36	236	4000	n/a	Piedra con fractura térmica
Yuzanú 36	237	4000	n/a	Piedra con fractura térmica
Yuzanú 36	238	4002	n/a	Piedra tallada
Yuzanú 36	239	4003	n/a	Piedra tallada
Yuzanú 36	240	p/a	p/a	Piedra con fractura térmica
Yuzanú 36	241	n/a	n/a	Piedra tallada
Yuzanú 36	242	4138	n/a	Piedra tallada
Yuzanú 36	243	4023	n/a	Piedra no modificada
Yuzanú 36	244	4023	n/a	Piedra con fractura térmica
Yuzanú 36	245	4021	n/a	Piedra con fractura térmica
Yuzanú 36	246	4028	n/a	Piedra tallada
Yuzanú 36	247	4026	n/a	Piedra con fractura térmica
Yuzanú 36	248	4030	n/a	Piedra con fractura térmica
Yuzanú 36	249	4030	n/a	Piedra con fractura térmica
Yuzanú 36	250	4030	n/a	Piedra tallada
Yuzanú 36	251	4031	n/a	Piedra tallada
Yuzanú 36	252	4029	n/a	Piedra con fractura térmica
Yuzanú 36	253	4031	n/a	Piedra con fractura térmica
Yuzanú 36	253	4031	n/a	Piedra tallada
Yuzanú 36	254	4034	n/a	Piedra tallada
Yuzanú 36	255	4038	n/a	Piedra tallada
Yuzanú 36	256	4039	n/a	Piedra con fractura térmica
Yuzanú 36	257	4038	n/a	Piedra tallada
Yuzanú 36	258	4038	n/a	Piedra tallada
Yuzanú 36	259	4040	n/a	Piedra tallada
Yuzanú 36	260	4041	n/a	Piedra tallada
Yuzanú 36	261	4040	n/a	Piedra tallada
Yuzanú 36	262	4040	n/a	Piedra tallada
Yuzanú 36	263	4040	n/a	Piedra tallada
Yuzanú 36	264	4040	n/a	Piedra tallada
Yuzanú 36	265	n/a	n/a	Piedra con fractura térmica
Yuzanú 36	266	4040	n/a	Piedra tallada
Yuzanú 36	267	4044	n/a	Piedra tallada
Yuzanú 36	268	4046	n/a	Piedra tallada
Yuzanú 36	269	4044	n/a	Piedra con fractura térmica
Yuzanú 36	270	4046	n/a	Piedra tallada
Yuzanú 36	271	4045	n/a	Piedra con fractura térmica
Yuzanú 36	272	4046	n/a	Piedra con fractura térmica
Yuzanú 36	273	4046	n/a	Piedra tallada
Yuzanú 36	274	4046	n/a	Piedra no modificada

n/a=no aplicable; p/a=por asignar

Tabla 4.3. **Registro general de objetos numerados.**

Sitio	No.	Lote	Cuadrante	Categoría
Yuzanú 36	275	4049	n/a	Piedra con fractura térmica
Yuzanú 36	276	4049	n/a	Piedra con fractura térmica
Yuzanú 36	277	4049	n/a	Piedra con fractura térmica
Yuzanú 36	278	4049	n/a	Piedra tallada
Yuzanú 36	279	4054	n/a	Piedra tallada
Yuzanú 36	280	4056	NE	Piedra con fractura térmica
Yuzanú 36	281	4057	NE	Piedra no modificada
Yuzanú 36	282	4057	SE	Piedra con fractura térmica
Yuzanú 36	283	4057	NE	Piedra tallada
Yuzanú 36	284	4056	NE	Piedra tallada
Yuzanú 36	285	4057	NE	Piedra no modificada
Yuzanú 36	286	4056	NE	Piedra tallada
Yuzanú 36	287	4057	NE	Piedra con fractura térmica
Yuzanú 36	287	4057	NE	Piedra
Yuzanú 36	288	4057	NE	Piedra con fractura térmica
Yuzanú 36	289	4057	NE	Piedra con fractura térmica
Yuzanú 36	290	4057	p/a	Piedra
Yuzanú 36	291	4057	SE	Piedra con fractura térmica
Yuzanú 36	292	4057	SE	Piedra con fractura térmica
Yuzanú 36	293	4057	SE	Piedra con fractura térmica
Yuzanú 36	294	4057	SE	Piedra con fractura térmica
Yuzanú 36	295	4057	SE	Piedra tallada
Yuzanú 36	296	4056	SE	Piedra con fractura térmica
Yuzanú 36	297	4056	SE	Piedra con fractura térmica
Yuzanú 36	298	4056	SE	Piedra tallada
Yuzanú 36	299	4120	SW	Piedra con fractura térmica
Yuzanú 36	300	4120	SW	Piedra con fractura térmica
Yuzanú 36	301	4057	SW	Piedra tallada
Yuzanú 36	302	4056	SW	Piedra con fractura térmica
Yuzanú 36	303	4065	SW	Piedra con fractura térmica
Yuzanú 36	304	4057	NE	Piedra con fractura térmica
Yuzanú 36	305	4056	SW	Piedra con fractura térmica
Yuzanú 36	306	4056	NW	Piedra tallada
Yuzanú 36	307	4056	NW	Piedra con fractura térmica
Yuzanú 36	309	4057	NW	Piedra tallada
Yuzanú 36	310	4058	NE	Piedra tallada
Yuzanú 36	311	4056	NW	Piedra con fractura térmica
Yuzanú 36	312	4097	NW	Piedra tallada
Yuzanú 36	312	4057	NW	Piedra con fractura térmica
Yuzanú 36	313	4061	NE	Piedra con fractura térmica
Yuzanú 36	314	4061	NE	Piedra con fractura térmica
Yuzanú 36	315	4060	NE	Piedra con fractura térmica
Yuzanú 36	316	4060	NE	Piedra con fractura térmica
Yuzanú 36	317	4060	NE	Piedra con fractura térmica
Yuzanú 36	318	4059	NE	Piedra tallada
Yuzanú 36	319	4059	NE	Piedra con fractura térmica

n/a=no aplicable; p/a=por asignar

Tabla 4.3. **Registro general de objetos numerados.**

Sitio	No.	Lote	Cuadrante	Categoría
Yuzanú 36	320	4058	SE	Piedra tallada
Yuzanú 36	321	4061	NE	Piedra tallada
Yuzanú 36	322	4058	SE	Piedra con fractura térmica
Yuzanú 36	323	4058	SE	Piedra con fractura térmica
Yuzanú 36	324	4059	NE	Tierra
Yuzanú 36	325	4059	NE	Piedra con fractura térmica
Yuzanú 36	326	4059	NE	Piedra no modificada
Yuzanú 36	327	4059	SE	Piedra con fractura térmica
Yuzanú 36	328	4060	NE	Piedra tallada
Yuzanú 36	329	4060	NE	Piedra tallada
Yuzanú 36	330	4060	NE	Piedra con fractura térmica
Yuzanú 36	331	4060	NE	Piedra tallada
Yuzanú 36	332	4060	NE	Piedra tallada
Yuzanú 36	333	4058	SE	Piedra tallada
Yuzanú 36	334	4061	NE	Piedra tallada
Yuzanú 36	335	4061	NE	Piedra tallada
Yuzanú 36	336	4061	NE	Piedra tallada
Yuzanú 36	337	4061	NE	Piedra con fractura térmica
Yuzanú 36	338	4058	SE	Piedra con fractura térmica
Yuzanú 36	339	4059	NE	Piedra tallada
Yuzanú 36	340	4058	SE	Piedra tallada
Yuzanú 36	341	4058	SE	Piedra tallada
Yuzanú 36	342	4060	SE	Piedra tallada
Yuzanú 36	343	4059	SE	Piedra tallada
Yuzanú 36	344	4059	SE	Piedra tallada
Yuzanú 36	345	4061	SE	Piedra tallada
Yuzanú 36	346	4061	SE	Piedra tallada
Yuzanú 36	347	4061	SE	Piedra tallada
Yuzanú 36	348	4061	SE	Piedra con fractura térmica
Yuzanú 36	349	4061	SE	Piedra tallada
Yuzanú 36	350	4061	SE	Piedra tallada
Yuzanú 36	351	4061	SE	Piedra con fractura térmica
Yuzanú 36	352	4058	SW	Piedra con fractura térmica
Yuzanú 36	353	4060	SE	Piedra tallada
Yuzanú 36	354	4060	SE	Piedra tallada
Yuzanú 36	355	4060	SE	Piedra con fractura térmica
Yuzanú 36	356	4060	SE	Piedra tallada
Yuzanú 36	357	4061	SE	Piedra tallada
Yuzanú 36	358	4058	SW	Piedra con fractura térmica
Yuzanú 36	359	4058	SW	Piedra con fractura térmica
Yuzanú 36	360	4058	SW	Piedra tallada
Yuzanú 36	361	4059	NE	Piedra con fractura térmica
Yuzanú 36	362	4059	SE	Piedra con fractura térmica
Yuzanú 36	363	4059	SE	Piedra con fractura térmica
Yuzanú 36	364	4061	SE	Piedra con fractura térmica
Yuzanú 36	365	4058	SW	Piedra con fractura térmica

n/a=no aplicable; p/a=por asignar

Tabla 4.3. **Registro general de objetos numerados.**

Sitio	No.	Lote	Cuadrante	Categoría
Yuzanú 36	366	4060	SW	Piedra tallada
Yuzanú 36	367	4061	SW	Piedra tallada
Yuzanú 36	368	4061	SW	Piedra con fractura térmica
Yuzanú 36	369	4058	SW	Piedra tallada
Yuzanú 36	370	4058	SW	Piedra tallada
Yuzanú 36	371	4060	SW	Piedra tallada
Yuzanú 36	372	4061	SW	Piedra con fractura térmica
Yuzanú 36	373	4058	SW	Piedra tallada
Yuzanú 36	374	4058	SW	Piedra tallada
Yuzanú 36	375	4058	SW	Piedra tallada
Yuzanú 36	376	4060	NW	Piedra con fractura térmica
Yuzanú 36	377	4059	SW	Piedra con fractura térmica
Yuzanú 36	378	4058	SW	Piedra tallada
Yuzanú 36	379	4058	SW	Piedra tallada
Yuzanú 36	380	4061	SW	Piedra tallada
Yuzanú 36	381	4060	NW	Piedra tallada
Yuzanú 36	382	4060	NW	Piedra tallada
Yuzanú 36	383	4060	NW	Piedra tallada
Yuzanú 36	384	4060	NW	Piedra con fractura térmica
Yuzanú 36	385	4060	NW	Piedra tallada
Yuzanú 36	386	4059	NW	Piedra con fractura térmica
Yuzanú 36	387	4059	NW	Piedra con fractura térmica
Yuzanú 36	388	4059	NW	Piedra con fractura térmica
Yuzanú 36	389	4059	NW	Piedra con fractura térmica
Yuzanú 36	390	4058	NW	Piedra con fractura térmica
Yuzanú 36	391	4058	NW	Piedra tallada
Yuzanú 36	392	4058	NW	Piedra tallada
Yuzanú 36	393	4058	NW	Piedra tallada
Yuzanú 36	394	4061	NW	Piedra con fractura térmica
Yuzanú 36	395	4061	NW	Piedra tallada
Yuzanú 36	396	4061	NW	Piedra tallada
Yuzanú 36	397	4062	NE	Piedra tallada
Yuzanú 36	398	4061	NE	Piedra con fractura térmica
Yuzanú 36	398	4057	NW	Piedra con fractura térmica
Yuzanú 36	399	4059	NW	Piedra con fractura térmica
Yuzanú 36	400	4059	NW	Piedra tallada
Yuzanú 36	401	4059	NW	Piedra tallada
Yuzanú 36	402	4058	NW	Piedra tallada
Yuzanú 36	403	4058	NW	Piedra con fractura térmica
Yuzanú 36	404	4061	NW	Piedra tallada
Yuzanú 36	405	4062	NE	Piedra no modificada
Yuzanú 36	406	4062	NE	Piedra no modificada
Yuzanú 36	407	4062	NE	Piedra no modificada
Yuzanú 36	408	4062	NE	Piedra con fractura térmica
Yuzanú 36	409	4063	NE	Piedra con fractura térmica
Yuzanú 36	410	4062	NE	Piedra tallada

n/a=no aplicable; p/a=por asignar

Tabla 4.3. **Registro general de objetos numerados.**

Sitio	No.	Lote	Cuadrante	Categoría
Yuzanú 36	411	4063	NE	Piedra con fractura térmica
Yuzanú 36	412	4065	NE	Piedra tallada
Yuzanú 36	413	4062	SE	Piedra tallada
Yuzanú 36	414	4063	NE	Piedra tallada
Yuzanú 36	415	4062	SE	Piedra con fractura térmica
Yuzanú 36	416	4065	NE	Piedra tallada
Yuzanú 36	417	4065	NE	Piedra tallada
Yuzanú 36	418	4065	NE	Piedra tallada
Yuzanú 36	419	4064	NE	Piedra tallada
Yuzanú 36	420	4062	SE	Piedra con fractura térmica
Yuzanú 36	421	4062	SE	Piedra tallada
Yuzanú 36	422	4062	SE	Piedra tallada
Yuzanú 36	422	4062	SE	Piedra tallada
Yuzanú 36	423	4062	SE	Piedra tallada
Yuzanú 36	424	4064	NE	Piedra tallada
Yuzanú 36	425	4065	NE	Piedra tallada
Yuzanú 36	426	4065	NE	Piedra tallada
Yuzanú 36	427	4064	NE	Piedra con fractura térmica
Yuzanú 36	428	4062	SE	Piedra con fractura térmica
Yuzanú 36	429	4062	SW	Piedra tallada
Yuzanú 36	430	4065	NE	Hueso
Yuzanú 36	431	4065	p/a	Piedra con fractura térmica
Yuzanú 36	432	4062	SE	Piedra tallada
Yuzanú 36	433	4063	SE	Piedra tallada
Yuzanú 36	434	4068	SE	Piedra tallada
Yuzanú 36	435	4063	SE	Piedra tallada
Yuzanú 36	436	4065	NE	Piedra con fractura térmica
Yuzanú 36	437	4063	SE	Piedra con fractura térmica
Yuzanú 36	438	4063	SE	Piedra tallada
Yuzanú 36	439	4063	SE	Piedra tallada
Yuzanú 36	440	4064	NE	Piedra tallada
Yuzanú 36	441	4062	SW	Piedra tallada
Yuzanú 36	442	4062	SW	Piedra con fractura térmica
Yuzanú 36	443	4062	SW	Piedra con fractura térmica
Yuzanú 36	444	4062	SW	Piedra tallada
Yuzanú 36	445	4062	SW	Piedra con fractura térmica
Yuzanú 36	446	4065	SE	Piedra tallada
Yuzanú 36	447	4064	NE	Piedra tallada
Yuzanú 36	448	4062	SW	Piedra tallada
Yuzanú 36	449	4063	SE	Piedra tallada
Yuzanú 36	450	4065	SE	Piedra con fractura térmica
Yuzanú 36	451	4065	SE	Piedra tallada
Yuzanú 36	452	4065	SE	Piedra con fractura térmica
Yuzanú 36	453	4064	SE	Piedra tallada
Yuzanú 36	454	4064	SE	Piedra tallada
Yuzanú 36	455	4062	NW	Piedra tallada

n/a=no aplicable; p/a=por asignar

Tabla 4.3. **Registro general de objetos numerados.**

Sitio	No.	Lote	Cuadrante	Categoría
Yuzanú 36	456	4063	SW	Piedra con fractura térmica
Yuzanú 36	457	4063	SW	Piedra tallada
Yuzanú 36	458	4063	SW	Piedra con fractura térmica
Yuzanú 36	459	4065	SE	Piedra tallada
Yuzanú 36	460	4062	NW	Piedra con fractura térmica
Yuzanú 36	461	4065	SE	Piedra con fractura térmica
Yuzanú 36	462	4062	NW	Piedra tallada
Yuzanú 36	463	4062	NW	Piedra tallada
Yuzanú 36	464	4063	SW	Piedra tallada
Yuzanú 36	465	4063	SW	Piedra tallada
Yuzanú 36	466	4065	SE	Piedra tallada
Yuzanú 36	467	4064	SE	Piedra con fractura térmica
Yuzanú 36	468	4064	SW	Piedra con fractura térmica
Yuzanú 36	469	4065	SW	Piedra con fractura térmica
Yuzanú 36	470	4065	SW	Piedra tallada
Yuzanú 36	471	4063	NW	Piedra con fractura térmica
Yuzanú 36	472	4063	NW	Piedra tallada
Yuzanú 36	473	4063	NW	Piedra con fractura térmica
Yuzanú 36	474	4063	NW	Piedra con fractura térmica
Yuzanú 36	475	4063	NE	Piedra no modificada
Yuzanú 36	476	4063	NW	Piedra tallada
Yuzanú 36	477	4066	n/a	Piedra con fractura térmica
Yuzanú 36	478	4066	n/a	Piedra tallada
Yuzanú 36	479	4067	n/a	Piedra con fractura térmica
Yuzanú 36	480	4067	n/a	Piedra no modificada
Yuzanú 36	481	4067	n/a	Piedra tallada
Yuzanú 36	482	4067	n/a	Piedra con fractura térmica
Yuzanú 36	483	4064	SW	Piedra tallada
Yuzanú 36	484	4064	SW	Piedra tallada
Yuzanú 36	485	4064	SW	Piedra tallada
Yuzanú 36	486	4065	SW	Piedra tallada
Yuzanú 36	487	4065	SW	Piedra tallada
Yuzanú 36	488	4065	SW	Piedra tallada
Yuzanú 36	489	4064	SW	Piedra tallada
Yuzanú 36	490	4065	SW	Piedra tallada
Yuzanú 36	491	4066	n/a	Piedra con fractura térmica
Yuzanú 36	492	4067	n/a	Piedra tallada
Yuzanú 36	493	4067	n/a	Piedra tallada
Yuzanú 36	494	4067	n/a	Piedra con fractura térmica
Yuzanú 36	495	4065	SW	Piedra tallada
Yuzanú 36	496	4065	SW	Piedra con fractura térmica
Yuzanú 36	497	4064	SW	Piedra tallada
Yuzanú 36	498	4064	SW	Piedra con fractura térmica
Yuzanú 36	499	4064	SW	Piedra tallada
Yuzanú 36	500	4068	n/a	Piedra tallada
Yuzanú 36	501	4068	n/a	Piedra no modificada

n/a=no aplicable; p/a=por asignar

Tabla 4.3. **Registro general de objetos numerados.**

Sitio	No.	Lote	Cuadrante	Categoría
Yuzanú 36	502	4068	n/a	Piedra no modificada
Yuzanú 36	503	4068	n/a	Piedra con fractura térmica
Yuzanú 36	504	4068	n/a	Piedra tallada
Yuzanú 36	505	4068	n/a	Piedra tallada
Yuzanú 36	506	4068	n/a	Piedra con fractura térmica
Yuzanú 36	507	4069	n/a	Piedra con fractura térmica
Yuzanú 36	508	4069	n/a	Piedra con fractura térmica
Yuzanú 36	509	4069	n/a	Piedra con fractura térmica
Yuzanú 36	510	4069	n/a	Piedra con fractura térmica
Yuzanú 36	511	4069	n/a	Piedra con fractura térmica
Yuzanú 36	512	4068	NW	Piedra tallada
Yuzanú 36	513	4064	NW	Piedra tallada
Yuzanú 36	514	4065	NW	Piedra tallada
Yuzanú 36	515	4065	NW	Piedra con fractura térmica
Yuzanú 36	516	4064	NW	Piedra con fractura térmica
Yuzanú 36	517	4064	NW	Piedra tallada
Yuzanú 36	518	4065	NW	Piedra tallada
Yuzanú 36	518	4071	n/a	Piedra con fractura térmica
Yuzanú 36	519	4070	n/a	Piedra tallada
Yuzanú 36	520	4070	n/a	Piedra tallada
Yuzanú 36	521	4070	n/a	Piedra tallada
Yuzanú 36	522	4070	n/a	Piedra no modificada
Yuzanú 36	523	4070	n/a	Piedra con fractura térmica
Yuzanú 36	524	4071	n/a	Piedra tallada
Yuzanú 36	525	4070	n/a	Piedra tallada
Yuzanú 36	526	4064	NW	Piedra con fractura térmica
Yuzanú 36	527	4065	NW	Piedra con fractura térmica
Yuzanú 36	528	4065	NW	Piedra con fractura térmica
Yuzanú 36	529	p/a	p/a	Piedra con fractura térmica
Yuzanú 36	530	p/a	p/a	Piedra no modificada
Yuzanú 36	531	p/a	p/a	Piedra con fractura térmica
Yuzanú 36	532	p/a	p/a	Piedra con fractura térmica
Yuzanú 36	533	p/a	p/a	Piedra no modificada
Yuzanú 36	534	p/a	p/a	Piedra con fractura térmica
Yuzanú 36	535	p/a	p/a	Piedra con fractura térmica
Yuzanú 36	536	p/a	p/a	Piedra tallada
Yuzanú 36	537	p/a	p/a	Piedra con fractura térmica
Yuzanú 36	538	p/a	p/a	Piedra con fractura térmica
Yuzanú 36	539	p/a	p/a	Piedra con fractura térmica
Yuzanú 36	540	p/a	p/a	Piedra con fractura térmica
Yuzanú 36	541	p/a	p/a	Piedra tallada
Yuzanú 36	542	p/a	p/a	Piedra con fractura térmica
Yuzanú 36	543	p/a	p/a	Piedra con fractura térmica
Yuzanú 36	544	p/a	p/a	Piedra con fractura térmica
Yuzanú 36	545	p/a	p/a	Piedra con fractura térmica
Yuzanú 36	546	p/a	p/a	Piedra con fractura térmica

n/a=no aplicable; p/a=por asignar

Tabla 4.3. **Registro general de objetos numerados.**

Sitio	No.	Lote	Cuadrante	Categoría
Yuzanú 36	547	p/a	p/a	Piedra con fractura térmica
Yuzanú 36	548	p/a	p/a	Piedra no modificada
Yuzanú 36	549	p/a	p/a	Piedra con fractura térmica
Yuzanú 36	550	p/a	p/a	Piedra no modificada
Yuzanú 36	551	p/a	p/a	Piedra con fractura térmica
Yuzanú 36	552	p/a	p/a	Piedra no modificada
Yuzanú 36	553	p/a	p/a	Piedra con fractura térmica
Yuzanú 36	554	p/a	p/a	Tierra
Yuzanú 36	555	p/a	p/a	Piedra con fractura térmica
Yuzanú 36	556	p/a	p/a	Piedra con fractura térmica
Yuzanú 36	557	p/a	p/a	Piedra con fractura térmica
Yuzanú 36	558	p/a	p/a	Piedra con fractura térmica
Yuzanú 36	559	p/a	p/a	Piedra con fractura térmica
Yuzanú 36	560	p/a	p/a	Piedra con fractura térmica
Yuzanú 36	561	p/a	p/a	Piedra no modificada
Yuzanú 36	562	p/a	p/a	Piedra con fractura térmica
Yuzanú 36	563	p/a	p/a	Piedra con fractura térmica
Yuzanú 36	564	4070	n/a	Piedra tallada
Yuzanú 36	565	4073	NE	Piedra tallada
Yuzanú 36	566	4073	NE	Piedra tallada
Yuzanú 36	567	4073	NE	Piedra con fractura térmica
Yuzanú 36	568	4073	NE	Piedra con fractura térmica
Yuzanú 36	569	4073	NE	Piedra con fractura térmica
Yuzanú 36	570	4073	NE	Piedra con fractura térmica
Yuzanú 36	571	4072	NE	Piedra tallada
Yuzanú 36	572	4073	NE	Piedra con fractura térmica
Yuzanú 36	573	4073	NE	Piedra tallada
Yuzanú 36	574	4074	n/a	Hueso
Yuzanú 36	575	4073	NE	Piedra tallada
Yuzanú 36	576	4072	SE	Piedra con fractura térmica
Yuzanú 36	577	4072	SE	Piedra no modificada
Yuzanú 36	578	p/a	p/a	Piedra tallada
Yuzanú 36	579	4072	SW	Piedra con fractura térmica
Yuzanú 36	580	4972	SW	Piedra con fractura térmica
Yuzanú 36	581	4072	SW	Piedra con fractura térmica
Yuzanú 36	582	4073	SE	Piedra tallada
Yuzanú 36	583	4073	SE	Piedra tallada
Yuzanú 36	584	4070	n/a	Piedra tallada
Yuzanú 36	585	4070	n/a	Piedra con fractura térmica
Yuzanú 36	586	4070	n/a	Piedra con fractura térmica
Yuzanú 36	587	4070	n/a	Piedra con fractura térmica
Yuzanú 36	588	4070	n/a	Piedra con fractura térmica
Yuzanú 36	589	4070	n/a	Piedra no modificada
Yuzanú 36	590	4070	n/a	Piedra tallada
Yuzanú 36	591	4070	n/a	Piedra no modificada
Yuzanú 36	592	4074	n/a	Piedra no modificada

n/a=no aplicable; p/a=por asignar

Tabla 4.3. **Registro general de objetos numerados.**

Sitio	No.	Lote	Cuadrante	Categoría
Yuzanú 36	592	4074	n/a	Piedra tallada
Yuzanú 36	593	4074	n/a	Piedra tallada
Yuzanú 36	594	4075	n/a	Piedra tallada
Yuzanú 36	595	4075	n/a	Piedra tallada
Yuzanú 36	596	4075	n/a	Piedra tallada
Yuzanú 36	597	4075	n/a	Piedra tallada
Yuzanú 36	598	4075	n/a	Piedra tallada
Yuzanú 36	599	4070	n/a	Piedra con fractura térmica
Yuzanú 36	600	4070	n/a	Piedra tallada
Yuzanú 36	601	4071	n/a	Piedra con fractura térmica
Yuzanú 36	602	4070	n/a	Piedra con fractura térmica
Yuzanú 36	603	4070	n/a	Piedra no modificada
Yuzanú 36	604	4074	n/a	Piedra con fractura térmica
Yuzanú 36	605	4074	n/a	Piedra con fractura térmica
Yuzanú 36	606	4074	n/a	Piedra tallada
Yuzanú 36	607	4074	n/a	Piedra con fractura térmica
Yuzanú 36	608	4074	n/a	Piedra tallada
Yuzanú 36	609	4074	n/a	Piedra con fractura térmica
Yuzanú 36	610	4074	n/a	Piedra con fractura térmica
Yuzanú 36	611	4074	n/a	Piedra tallada
Yuzanú 36	612	4074	n/a	Piedra con fractura térmica
Yuzanú 36	613	4074	n/a	Piedra con fractura térmica
Yuzanú 36	614	4074	n/a	Piedra con fractura térmica
Yuzanú 36	615	4071	n/a	Piedra tallada
Yuzanú 36	616	4071	n/a	Piedra con fractura térmica
Yuzanú 36	617	4071	n/a	Piedra con fractura térmica
Yuzanú 36	618	4071	n/a	Piedra con fractura térmica
Yuzanú 36	619	4071	n/a	Piedra no modificada
Yuzanú 36	620	4071	n/a	Piedra con fractura térmica
Yuzanú 36	621	4071	n/a	Piedra con fractura térmica
Yuzanú 36	622	4075	n/a	Piedra con fractura térmica
Yuzanú 36	623	4075	n/a	Piedra tallada
Yuzanú 36	624	4075	n/a	Piedra tallada
Yuzanú 36	625	4075	n/a	Piedra con fractura térmica
Yuzanú 36	626	4075	n/a	Piedra tallada
Yuzanú 36	627	4075	n/a	Piedra con fractura térmica
Yuzanú 36	628	4075	n/a	Piedra con fractura térmica
Yuzanú 36	629	4075	n/a	Piedra con fractura térmica
Yuzanú 36	630	4075	n/a	Piedra con fractura térmica
Yuzanú 36	631	4075	n/a	Piedra con fractura térmica
Yuzanú 36	632	4075	n/a	Piedra con fractura térmica
Yuzanú 36	633	4075	n/a	Piedra no modificada
Yuzanú 36	634	4075	n/a	Piedra con fractura térmica
Yuzanú 36	635	4075	n/a	Piedra con fractura térmica
Yuzanú 36	636	4075	n/a	Piedra con fractura térmica
Yuzanú 36	637	4075	n/a	Piedra con fractura térmica

n/a=no aplicable; p/a=por asignar

Tabla 4.3. **Registro general de objetos numerados.**

Sitio	No.	Lote	Cuadrante	Categoría
Yuzanú 36	638	4075	n/a	Piedra con fractura térmica
Yuzanú 36	639	4075	n/a	Piedra no modificada
Yuzanú 36	640	4075	n/a	Piedra con fractura térmica
Yuzanú 36	641	4075	n/a	Piedra no modificada
Yuzanú 36	642	4075	n/a	Piedra con fractura térmica
Yuzanú 36	643	4071	n/a	Piedra tallada
Yuzanú 36	644	4072	SW	Piedra tallada
Yuzanú 36	644	4072	SW	Piedra no modificada
Yuzanú 36	645	4072	SW	Piedra tallada
Yuzanú 36	646	4073	SE	Piedra con fractura térmica
Yuzanú 36	647	4073	SE	Piedra tallada
Yuzanú 36	648	4072	SW	Piedra con fractura térmica
Yuzanú 36	649	p/a	p/a	Hueso
Yuzanú 36	650	4077	NE	Piedra tallada
Yuzanú 36	651	4077	NE	Piedra con fractura térmica
Yuzanú 36	652	4077	NE	Piedra tallada
Yuzanú 36	653	4077	NE	Piedra tallada
Yuzanú 36	654	4077	NE	Piedra tallada
Yuzanú 36	655	4077	NE	Piedra tallada
Yuzanú 36	656	4077	NE	Piedra tallada
Yuzanú 36	657	4077	NE	Piedra tallada
Yuzanú 36	658	4076	NE	Piedra no modificada
Yuzanú 36	659	4076	NE	Piedra tallada
Yuzanú 36	660	4076	NE	Piedra tallada
Yuzanú 36	661	4076	NE	Piedra con fractura térmica
Yuzanú 36	662	4072	NW	Piedra tallada
Yuzanú 36	663	4072	NW	Piedra tallada
Yuzanú 36	664	4072	NW	Piedra tallada
Yuzanú 36	665	4073	SW	Piedra tallada
Yuzanú 36	666	4073	SW	Piedra tallada
Yuzanú 36	667	4073	SW	Piedra con fractura térmica
Yuzanú 36	668	4077	NE	Piedra con fractura térmica
Yuzanú 36	669	4077	NE	Piedra con fractura térmica
Yuzanú 36	670	4076	NE	Piedra tallada
Yuzanú 36	671	4073	SW	Hueso
Yuzanú 36	672	4076	NE	Piedra tallada
Yuzanú 36	673	4076	NE	Piedra con fractura térmica
Yuzanú 36	674	4076	NE	Piedra con fractura térmica
Yuzanú 36	675	4072	NW	Piedra tallada
Yuzanú 36	676	4072	NW	Piedra con fractura térmica
Yuzanú 36	677	4072	NW	Piedra tallada
Yuzanú 36	678	4073	SW	Piedra tallada
Yuzanú 36	679	4073	SW	Piedra con fractura térmica
Yuzanú 36	680	4073	SW	Piedra tallada
Yuzanú 36	681	4073	SW	Piedra tallada
Yuzanú 36	682	4073	SW	Piedra con fractura térmica

n/a=no aplicable; p/a=por asignar

Tabla 4.3. **Registro general de objetos numerados.**

Sitio	No.	Lote	Cuadrante	Categoría
Yuzanú 36	683	4077	SE	Piedra tallada
Yuzanú 36	684	4077	SE	Piedra tallada
Yuzanú 36	685	4077	SE	Piedra tallada
Yuzanú 36	686	4077	SE	Piedra tallada
Yuzanú 36	687	4077	SE	Piedra tallada
Yuzanú 36	688	4076	NE	Piedra tallada
Yuzanú 36	689	4077	SE	Piedra con fractura térmica
Yuzanú 36	690	4077	SE	Piedra con fractura térmica
Yuzanú 36	691	4077	SE	Piedra tallada
Yuzanú 36	692	4077	SE	Piedra con fractura térmica
Yuzanú 36	693	4077	SE	Piedra tallada
Yuzanú 36	694	4077	SE	Piedra tallada
Yuzanú 36	695	4076	SE	Piedra tallada
Yuzanú 36	696	4076	SE	Piedra con fractura térmica
Yuzanú 36	697	4076	SE	Piedra con fractura térmica
Yuzanú 36	698	4076	SE	Piedra con fractura térmica
Yuzanú 36	699	4076	SE	Piedra con fractura térmica
Yuzanú 36	700	4076	SE	Piedra con fractura térmica
Yuzanú 36	701	4073	SW	Piedra con fractura térmica
Yuzanú 36	702	4073	SW	Piedra con fractura térmica
Yuzanú 36	703	4077	SE	Piedra con fractura térmica
Yuzanú 36	704	4077	SE	Piedra tallada
Yuzanú 36	705	4077	SE	Piedra con fractura térmica
Yuzanú 36	706	4077	SE	Hueso
Yuzanú 36	707	4076	SE	Piedra tallada
Yuzanú 36	708	4077	SW	Piedra tallada
Yuzanú 36	709	4077	SW	Piedra tallada
Yuzanú 36	710	4076	SE	Piedra tallada
Yuzanú 36	711	4076	SE	Piedra con fractura térmica
Yuzanú 36	712	4073	NW	Piedra tallada
Yuzanú 36	713	4073	NW	Piedra con fractura térmica
Yuzanú 36	714	4073	NW	Piedra con fractura térmica
Yuzanú 36	715	4073	NW	Piedra tallada
Yuzanú 36	716	4077	SW	Piedra con fractura térmica
Yuzanú 36	718	4076	SE	Piedra tallada
Yuzanú 36	719	4076	SE	Piedra tallada
Yuzanú 36	720	4076	SE	Piedra tallada
Yuzanú 36	721	4076	SE	Piedra tallada
Yuzanú 36	722	4077	SW	Piedra con fractura térmica
Yuzanú 36	723	4073	NW	Piedra con fractura térmica
Yuzanú 36	724	4073	NW	Piedra con fractura térmica
Yuzanú 36	725	4077	SW	Piedra tallada
Yuzanú 36	726	4077	NE	Piedra con fractura térmica
Yuzanú 36	727	4077	SW	Piedra tallada
Yuzanú 36	728	4077	SW	Piedra con fractura térmica
Yuzanú 36	729	4077	SW	Piedra tallada

n/a=no aplicable; p/a=por asignar

Tabla 4.3. **Registro general de objetos numerados.**

Sitio	No.	Lote	Cuadrante	Categoría
Yuzanú 36	730	4076	SW	Piedra tallada
Yuzanú 36	731	4076	SW	Piedra con fractura térmica
Yuzanú 36	732	4076	SW	Piedra tallada
Yuzanú 36	733	4076	SW	Piedra tallada
Yuzanú 36	734	4076	SW	Piedra con fractura térmica
Yuzanú 36	735	4077	NW	Piedra con fractura térmica
Yuzanú 36	736	4077	NW	Piedra tallada
Yuzanú 36	737	4077	NW	Piedra tallada
Yuzanú 36	738	4077	NW	Piedra tallada
Yuzanú 36	739	4077	NW	Piedra tallada
Yuzanú 36	740	4077	NW	Piedra tallada
Yuzanú 36	741	4073	NW	Piedra tallada
Yuzanú 36	742	4073	NW	Piedra tallada
Yuzanú 36	743	4077	NW	Piedra tallada
Yuzanú 36	744	4077	NW	Piedra con fractura térmica
Yuzanú 36	745	4077	NW	Piedra con fractura térmica
Yuzanú 36	746	4077	NW	Piedra tallada
Yuzanú 36	747	4976	SW	Piedra tallada
Yuzanú 36	748	4076	SW	Piedra tallada
Yuzanú 36	749	4077	NW	Piedra tallada
Yuzanú 36	750	p/a	p/a	Piedra tallada
Yuzanú 36	751	p/a	p/a	Piedra tallada
Yuzanú 36	752	p/a	p/a	Piedra tallada
Yuzanú 36	753	4076	NW	Piedra con fractura térmica
Yuzanú 36	754	4076	NW	Piedra con fractura térmica
Yuzanú 36	755	4079	NE	Piedra con fractura térmica
Yuzanú 36	756	4079	NE	Piedra tallada
Yuzanú 36	757	4079	NE	Piedra tallada
Yuzanú 36	758	4079	NE	Piedra con fractura térmica
Yuzanú 36	759	4079	NE	Piedra con fractura térmica
Yuzanú 36	760	4076	NW	Piedra con fractura térmica
Yuzanú 36	761	4076	NW	Piedra tallada
Yuzanú 36	762	4078	NE	Piedra no modificada
Yuzanú 36	763	4078	NE	Piedra con fractura térmica
Yuzanú 36	764	4079	NE	Piedra tallada
Yuzanú 36	765	4079	NE	Piedra tallada
Yuzanú 36	766	4079	NE	Piedra con fractura térmica
Yuzanú 36	767	4079	NE	Piedra con fractura térmica
Yuzanú 36	768	4079	NE	Piedra con fractura térmica
Yuzanú 36	769	4079	NE	Piedra con fractura térmica
Yuzanú 36	770	4080	NE	Hueso
Yuzanú 36	771	4080	NE	Piedra con fractura térmica
Yuzanú 36	772	4080	NE	Piedra tallada
Yuzanú 36	772	4080	NE	Piedra tallada
Yuzanú 36	774	4079	SE	Piedra con fractura térmica
Yuzanú 36	775	4079	SW	Piedra tallada

n/a=no aplicable; p/a=por asignar

Tabla 4.3. **Registro general de objetos numerados.**

Sitio	No.	Lote	Cuadrante	Categoría
Yuzanú 36	776	4079	SE	Piedra tallada
Yuzanú 36	777	4078	SE	Piedra tallada
Yuzanú 36	778	4078	SE	Piedra tallada
Yuzanú 36	779	4078	SE	Piedra con fractura térmica
Yuzanú 36	780	4078	SE	Piedra tallada
Yuzanú 36	781	4079	SE	Piedra tallada
Yuzanú 36	782	4079	SE	Piedra con fractura térmica
Yuzanú 36	783	4093	NE	Piedra tallada
Yuzanú 36	784	4080	NE	Piedra tallada
Yuzanú 36	785	4079	SE	Piedra tallada
Yuzanú 36	786	4079	SE	Piedra tallada
Yuzanú 36	787	4079	SE	Piedra con fractura térmica
Yuzanú 36	788	4079	SE	Piedra con fractura térmica
Yuzanú 36	789	4080	SE	Piedra tallada
Yuzanú 36	790	p/a	p/a	Piedra con fractura térmica
Yuzanú 36	791	p/a	p/a	Hueso
Yuzanú 36	792	4079	SE	Piedra tallada
Yuzanú 36	793	4079	SE	Piedra tallada
Yuzanú 36	794	4080	NE	Piedra tallada
Yuzanú 36	795	4081	NE	Piedra con fractura térmica
Yuzanú 36	796	4081	NE	Piedra con fractura térmica
Yuzanú 36	797	4078	SE	Piedra con fractura térmica
Yuzanú 36	798	4078	SE	Piedra con fractura térmica
Yuzanú 36	799	4078	SE	Piedra tallada
Yuzanú 36	800	4078	SE	Piedra tallada
Yuzanú 36	801	4078	SE	Piedra tallada
Yuzanú 36	802	4079	SW	Piedra tallada
Yuzanú 36	803	4079	SE	Piedra con fractura térmica
Yuzanú 36	804	4080	SE	Piedra tallada
Yuzanú 36	805	4080	SE	Piedra tallada
Yuzanú 36	806	4080	SE	Piedra no modificada
Yuzanú 36	807	4080	SE	Piedra con fractura térmica
Yuzanú 36	808	4080	SE	Piedra tallada
Yuzanú 36	809	4080	SE	Piedra tallada
Yuzanú 36	810	4080	SE	Piedra con fractura térmica
Yuzanú 36	811	4080	SE	Piedra tallada
Yuzanú 36	812	4079	SW	Piedra tallada
Yuzanú 36	813	4078	SE	Piedra tallada
Yuzanú 36	814	4081	NE	Piedra con fractura térmica
Yuzanú 36	815	4081	NE	Piedra con fractura térmica
Yuzanú 36	816	4079	SW	Piedra con fractura térmica
Yuzanú 36	817	4080	SE	Piedra con fractura térmica
Yuzanú 36	818	4080	SE	Piedra tallada
Yuzanú 36	819	4080	SE	Piedra tallada
Yuzanú 36	820	4080	SE	Piedra con fractura térmica
Yuzanú 36	821	4081	NE	Piedra tallada

n/a=no aplicable; p/a=por asignar

Tabla 4.3. **Registro general de objetos numerados.**

Sitio	No.	Lote	Cuadrante	Categoría
Yuzanú 36	822	4081	NE	Piedra con fractura térmica
Yuzanú 36	823	4079	SW	Piedra con fractura térmica
Yuzanú 36	824	4079	SW	Piedra con fractura térmica
Yuzanú 36	825	4079	SW	Piedra con fractura térmica
Yuzanú 36	826	4079	SW	Piedra tallada
Yuzanú 36	827	4079	SW	Piedra con fractura térmica
Yuzanú 36	828	4079	SW	Piedra tallada
Yuzanú 36	829	4079	SW	Piedra con fractura térmica
Yuzanú 36	830	4079	SW	Piedra con fractura térmica
Yuzanú 36	831	4081	NE	Piedra con fractura térmica
Yuzanú 36	832	4081	NE	Piedra con fractura térmica
Yuzanú 36	833	4078	SE	Piedra no modificada
Yuzanú 36	834	4078	SW	Piedra tallada
Yuzanú 36	835	4080	SW	Piedra tallada
Yuzanú 36	836	4080	SW	Piedra tallada
Yuzanú 36	837	4080	SW	Piedra con fractura térmica
Yuzanú 36	838	4080	SW	Piedra tallada
Yuzanú 36	839	4081	NE	Piedra tallada
Yuzanú 36	840	4078	SW	Piedra tallada
Yuzanú 36	841	4078	SW	Piedra tallada
Yuzanú 36	842	4080	SW	Piedra no modificada
Yuzanú 36	843	4080	SW	Piedra tallada
Yuzanú 36	844	4079	NW	Piedra con fractura térmica
Yuzanú 36	845	4078	SW	Piedra con fractura térmica
Yuzanú 36	846	4079	NW	Piedra con fractura térmica
Yuzanú 36	847	4079	NW	Piedra con fractura térmica
Yuzanú 36	848	4078	SW	Piedra con fractura térmica
Yuzanú 36	849	4079	NW	Piedra tallada
Yuzanú 36	850	4079	NW	Piedra con fractura térmica
Yuzanú 36	851	4079	NW	Piedra con fractura térmica
Yuzanú 36	852	4079	NW	Piedra con fractura térmica
Yuzanú 36	853	4078	SW	Piedra tallada
Yuzanú 36	854	4078	SW	Piedra tallada
Yuzanú 36	855	4078	SW	Piedra tallada
Yuzanú 36	856	4078	SW	Piedra con fractura térmica
Yuzanú 36	857	4078	SW	Piedra tallada
Yuzanú 36	858	4078	SW	Piedra con fractura térmica
Yuzanú 36	859	4079	NW	Piedra tallada
Yuzanú 36	860	4079	NW	Piedra tallada
Yuzanú 36	861	4079	NW	Piedra con fractura térmica
Yuzanú 36	862	4079	NW	Piedra con fractura térmica
Yuzanú 36	863	4078	SW	Piedra tallada
Yuzanú 36	864	4078	SW	Piedra con fractura térmica
Yuzanú 36	865	4078	SW	Piedra con fractura térmica
Yuzanú 36	866	4078	SW	Piedra tallada
Yuzanú 36	867	4078	SW	Piedra tallada

n/a=no aplicable; p/a=por asignar

Tabla 4.3. **Registro general de objetos numerados.**

Sitio	No.	Lote	Cuadrante	Categoría
Yuzanú 36	868	4081	SE	Piedra con fractura térmica
Yuzanú 36	869	4079	NW	Piedra no modificada
Yuzanú 36	870	4079	NW	Piedra tallada
Yuzanú 36	871	4079	NW	Piedra tallada
Yuzanú 36	872	4081	SE	Piedra con fractura térmica
Yuzanú 36	873	4081	SE	Piedra con fractura térmica
Yuzanú 36	874	4081	SE	Piedra tallada
Yuzanú 36	875	4078	NW	Piedra tallada
Yuzanú 36	876	4078	NW	Piedra tallada
Yuzanú 36	877	4080	SW	Piedra con fractura térmica
Yuzanú 36	878	4080	SW	Piedra tallada
Yuzanú 36	879	4080	SW	Piedra tallada
Yuzanú 36	880	4082	NE	Piedra con fractura térmica
Yuzanú 36	881	4082	NE	Piedra con fractura térmica
Yuzanú 36	882	4082	NE	Piedra con fractura térmica
Yuzanú 36	883	4082	NE	Piedra tallada
Yuzanú 36	884	4081	SE	Piedra tallada
Yuzanú 36	885	4081	SE	Piedra tallada
Yuzanú 36	886	4078	NW	Piedra tallada
Yuzanú 36	887	4078	NW	Piedra tallada
Yuzanú 36	888	4082	NE	Piedra tallada
Yuzanú 36	889	4078	NW	Piedra tallada
Yuzanú 36	890	4081	SE	Piedra con fractura térmica
Yuzanú 36	891	4081	SE	Piedra con fractura térmica
Yuzanú 36	892	4081	SE	Piedra tallada
Yuzanú 36	893	4081	SE	Piedra con fractura térmica
Yuzanú 36	894	4081	SE	Piedra tallada
Yuzanú 36	895	4078	NW	Piedra tallada
Yuzanú 36	896	4078	NW	Piedra tallada
Yuzanú 36	897	4082	SE	Piedra tallada
Yuzanú 36	898	4082	SE	Piedra tallada
Yuzanú 36	899	4081	SE	Piedra tallada
Yuzanú 36	900	4081	SE	Piedra tallada
Yuzanú 36	901	4081	SE	Piedra con fractura térmica
Yuzanú 36	902	4078	NW	Piedra tallada
Yuzanú 36	903	4078	NW	Piedra tallada
Yuzanú 36	904	4078	NW	Piedra tallada
Yuzanú 36	905	4082	SE	Piedra tallada
Yuzanú 36	906	4082	SE	Piedra con fractura térmica
Yuzanú 36	907	4082	SE	Piedra tallada
Yuzanú 36	908	4080	NW	Piedra tallada
Yuzanú 36	909	4082	SE	Hueso
Yuzanú 36	910	4082	SE	Hueso
Yuzanú 36	911	4082	SE	Piedra tallada
Yuzanú 36	912	4078	NW	Piedra tallada
Yuzanú 36	913	4082	SE	Piedra tallada

n/a=no aplicable; p/a=por asignar

Tabla 4.3. **Registro general de objetos numerados.**

Sitio	No.	Lote	Cuadrante	Categoría
Yuzanú 36	914	4082	SE	Piedra con fractura térmica
Yuzanú 36	915	4082	SE	Piedra con fractura térmica
Yuzanú 36	916	4082	SE	Piedra tallada
Yuzanú 36	917	4083	NE	Hueso
Yuzanú 36	918	4082	SW	Piedra tallada
Yuzanú 36	919	4083	NE	Hueso
Yuzanú 36	920	4083	NE	Piedra pulida
Yuzanú 36	921	4083	NE	Piedra tallada
Yuzanú 36	922	4082	SW	Piedra tallada
Yuzanú 36	923	4082	SW	Piedra con fractura térmica
Yuzanú 36	924	4082	SW	Piedra tallada
Yuzanú 36	925	4084	NE	Hueso
Yuzanú 36	926	p/a	p/a	Piedra con fractura térmica
Yuzanú 36	927	4082	NW	Piedra con fractura térmica
Yuzanú 36	928	4084	NE	Piedra no modificada
Yuzanú 36	929	4081	SW	Piedra con fractura térmica
Yuzanú 36	930	4081	SW	Piedra tallada
Yuzanú 36	931	4081	SW	Piedra tallada
Yuzanú 36	932	4081	SW	Piedra tallada
Yuzanú 36	933	4081	SW	Piedra tallada
Yuzanú 36	934	4081	SW	Piedra con fractura térmica
Yuzanú 36	935	4081	SW	Piedra con fractura térmica
Yuzanú 36	936	4081	SW	Piedra con fractura térmica
Yuzanú 36	937	4084	NE	Piedra tallada
Yuzanú 36	938	4084	NE	Piedra con fractura térmica
Yuzanú 36	939	4086	n/a	Piedra no modificada
Yuzanú 36	939	4086	n/a	Piedra tallada
Yuzanú 36	940	4086	n/a	Piedra tallada
Yuzanú 36	941	4087	n/a	Piedra tallada
Yuzanú 36	942	4087	n/a	Piedra tallada
Yuzanú 36	943	4087	n/a	Hueso
Yuzanú 36	944	4087	n/a	Hueso
Yuzanú 36	945	4087	n/a	Piedra con fractura térmica
Yuzanú 36	946	4087	n/a	Hueso
Yuzanú 36	947	4087	n/a	Hueso
Yuzanú 36	948	4087	n/a	Hueso
Yuzanú 36	949	4087	n/a	Piedra con fractura térmica
Yuzanú 36	950	4086	n/a	Piedra tallada
Yuzanú 36	951	4086	n/a	Piedra tallada
Yuzanú 36	952	4084	SE	Piedra tallada
Yuzanú 36	953	4084	SE	Piedra tallada
Yuzanú 36	954	4084	SE	Piedra tallada
Yuzanú 36	955	4084	SE	Piedra tallada
Yuzanú 36	956	4084	SE	Piedra tallada
Yuzanú 36	957	4081	SW	Piedra no modificada
Yuzanú 36	958	4081	SW	Piedra con fractura térmica

n/a=no aplicable; p/a=por asignar

Tabla 4.3. **Registro general de objetos numerados.**

Sitio	No.	Lote	Cuadrante	Categoría
Yuzanú 36	959	4081	SW	Piedra con fractura térmica
Yuzanú 36	960	4087	n/a	Hueso
Yuzanú 36	961	4087	n/a	Piedra tallada
Yuzanú 36	962	4087	n/a	Hueso
Yuzanú 36	963	4081	SW	Piedra con fractura térmica
Yuzanú 36	964	4081	SW	Piedra con fractura térmica
Yuzanú 36	965	4081	SW	Piedra con fractura térmica
Yuzanú 36	966	4081	SW	Piedra con fractura térmica
Yuzanú 36	967	4084	SE	Piedra tallada
Yuzanú 36	968	4087	n/a	Piedra tallada
Yuzanú 36	969	4087	n/a	Piedra tallada
Yuzanú 36	970	4087	n/a	Piedra tallada
Yuzanú 36	971	4081	NW	Piedra tallada
Yuzanú 36	972	4081	NW	Piedra tallada
Yuzanú 36	973	4081	NW	Piedra tallada
Yuzanú 36	974	4081	NW	Piedra tallada
Yuzanú 36	975	4081	NW	Piedra con fractura térmica
Yuzanú 36	976	4081	NW	Piedra no modificada
Yuzanú 36	977	4081	NW	Piedra tallada
Yuzanú 36	978	4081	NW	Piedra tallada
Yuzanú 36	979	4081	NW	Piedra tallada
Yuzanú 36	980	4084	SE	Piedra con fractura térmica
Yuzanú 36	981	4084	SE	Piedra con fractura térmica
Yuzanú 36	982	4084	SE	Piedra tallada
Yuzanú 36	983	4084	SE	Piedra tallada
Yuzanú 36	984	4084	SE	Piedra tallada
Yuzanú 36	985	4081	NW	Piedra tallada
Yuzanú 36	986	4081	NW	Piedra con fractura térmica
Yuzanú 36	987	4081	SW	Piedra con fractura térmica
Yuzanú 36	988	4091	n/a	Piedra con fractura térmica
Yuzanú 36	989	4091	n/a	Piedra con fractura térmica
Yuzanú 36	990	4091	n/a	Piedra con fractura térmica
Yuzanú 36	990	4091	n/a	Piedra con fractura térmica
Yuzanú 36	991	4091	n/a	Piedra con fractura térmica
Yuzanú 36	992	4091	n/a	Piedra con fractura térmica
Yuzanú 36	993	4091	n/a	Piedra con fractura térmica
Yuzanú 36	994	4091	n/a	Piedra con fractura térmica
Yuzanú 36	994	4091	n/a	Piedra no modificada
Yuzanú 36	994	4091	n/a	Piedra no modificada
Yuzanú 36	995	4091	n/a	Piedra pulida
Yuzanú 36	996	4091	n/a	Piedra con fractura térmica
Yuzanú 36	997	4239	n/a	Hueso
Yuzanú 36	998	4083	SW	Hueso
Yuzanú 36	999	4083	SW	Piedra tallada
Yuzanú 36	1000	4083	SW	Piedra tallada
Yuzanú 36	1001	4083	SW	Piedra con fractura térmica

n/a=no aplicable; p/a=por asignar

Tabla 4.3. **Registro general de objetos numerados.**

Sitio	No.	Lote	Cuadrante	Categoría
Yuzanú 36	1002	4083	SW	Piedra no modificada
Yuzanú 36	1003	4084	SW	Piedra tallada
Yuzanú 36	1004	4084	SW	Piedra con fractura térmica
Yuzanú 36	1005	4084	SW	Piedra con fractura térmica
Yuzanú 36	1006	4081	NW	Piedra tallada
Yuzanú 36	1007	4081	NW	Hueso
Yuzanú 36	1008	4081	NW	Piedra tallada
Yuzanú 36	1009	4084	SW	Piedra tallada
Yuzanú 36	1010	4084	SW	Piedra tallada
Yuzanú 36	1011	4084	SW	Piedra tallada
Yuzanú 36	1012	4084	SW	Hueso
Yuzanú 36	1013	4081	NW	Piedra tallada
Yuzanú 36	1014	4083	NW	Hueso
Yuzanú 36	1015	4083	NW	Piedra tallada
Yuzanú 36	1016	4081	NW	Piedra tallada
Yuzanú 36	1017	4081	NW	Piedra tallada
Yuzanú 36	1018	4081	NW	Piedra con fractura térmica
Yuzanú 36	1019	4081	NW	Piedra tallada
Yuzanú 36	1020	4084	SW	Piedra tallada
Yuzanú 36	1021	4084	SW	Piedra tallada
Yuzanú 36	1022	4089	NE	Piedra con fractura térmica
Yuzanú 36	1023	4089	NE	Piedra tallada
Yuzanú 36	1024	4089	NE	Hueso
Yuzanú 36	1025	4089	NE	Piedra tallada
Yuzanú 36	1026	4089	NE	Piedra con fractura térmica
Yuzanú 36	1027	4090	n/a	Piedra tallada
Yuzanú 36	1028	4090	n/a	Piedra tallada
Yuzanú 36	1029	4083	NW	Piedra con fractura térmica
Yuzanú 36	1030	4090	n/a	Hueso
Yuzanú 36	1031	4083	NW	Piedra tallada
Yuzanú 36	1032	4089	NE	Piedra tallada
Yuzanú 36	1033	4089	NE	Piedra tallada
Yuzanú 36	1034	4089	NE	Piedra tallada
Yuzanú 36	1035	4089	NE	Piedra con fractura térmica
Yuzanú 36	1036	4089	NE	Piedra tallada
Yuzanú 36	1037	4089	NE	Hueso
Yuzanú 36	1038	4089	NE	Piedra con fractura térmica
Yuzanú 36	1039	4089	NE	Piedra con fractura térmica
Yuzanú 36	1040	4089	NE	Piedra con fractura térmica
Yuzanú 36	1041	4089	NE	Piedra con fractura térmica
Yuzanú 36	1042	4090	n/a	Piedra tallada
Yuzanú 36	1043	4090	n/a	Piedra tallada
Yuzanú 36	1044	4090	n/a	Piedra tallada
Yuzanú 36	1045	4090	n/a	Hueso
Yuzanú 36	1046	4091	NE	Piedra con fractura térmica
Yuzanú 36	1047	4089	SE	Hueso

n/a=no aplicable; p/a=por asignar

Tabla 4.3. **Registro general de objetos numerados.**

Sitio	No.	Lote	Cuadrante	Categoría
Yuzanú 36	1048	4089	SE	Piedra tallada
Yuzanú 36	1049	4089	SE	Piedra con fractura térmica
Yuzanú 36	1050	4090	n/a	Hueso
Yuzanú 36	1051	4090	n/a	Hueso
Yuzanú 36	1052	4091	NE	Piedra con fractura térmica
Yuzanú 36	1053	4090	n/a	Piedra tallada
Yuzanú 36	1054	4091	NE	Piedra tallada
Yuzanú 36	1055	4091	NE	Piedra tallada
Yuzanú 36	1056	4090	n/a	Piedra tallada
Yuzanú 36	1057	4090	n/a	Hueso
Yuzanú 36	1058	4090	n/a	Hueso
Yuzanú 36	1059	4090	n/a	Hueso
Yuzanú 36	1060	4090	n/a	Piedra tallada
Yuzanú 36	1061	4090	n/a	Piedra tallada
Yuzanú 36	1062	4091	NE	Piedra con fractura térmica
Yuzanú 36	1063	4089	SE	Piedra con fractura térmica
Yuzanú 36	1064	4089	SE	Piedra con fractura térmica
Yuzanú 36	1065	4089	SE	Piedra con fractura térmica
Yuzanú 36	1066	4091	NE	Piedra con fractura térmica
Yuzanú 36	1067	4089	SE	Piedra tallada
Yuzanú 36	1068	4089	SE	Piedra con fractura térmica
Yuzanú 36	1069	4089	SE	Piedra tallada
Yuzanú 36	1070	4089	SE	Piedra con fractura térmica
Yuzanú 36	1071	4089	SE	Piedra tallada
Yuzanú 36	1072	4089	SE	Piedra no modificada
Yuzanú 36	1073	4091	NE	Piedra tallada
Yuzanú 36	1074	4089	SE	Piedra con fractura térmica
Yuzanú 36	1075	4089	SE	Piedra con fractura térmica
Yuzanú 36	1076	4089	SE	Piedra con fractura térmica
Yuzanú 36	1077	4089	SE	Piedra con fractura térmica
Yuzanú 36	1078	4089	SE	Piedra con fractura térmica
Yuzanú 36	1079	4089	SE	Piedra con fractura térmica
Yuzanú 36	1080	4093	NE	Piedra tallada
Yuzanú 36	1081	4291	NE	Piedra tallada
Yuzanú 36	1082	4091	NE	Piedra con fractura térmica
Yuzanú 36	1083	4084	NW	Piedra tallada
Yuzanú 36	1084	4092	n/a	Piedra tallada
Yuzanú 36	1085	4093	NE	Piedra no modificada
Yuzanú 36	1086	4093	NE	Piedra tallada
Yuzanú 36	1087	4093	NE	Piedra tallada
Yuzanú 36	1088	4089	SW	Piedra con fractura térmica
Yuzanú 36	1089	4108	SE	Piedra con fractura térmica
Yuzanú 36	1089	4089	SW	Piedra tallada
Yuzanú 36	1090	4089	SW	Piedra tallada
Yuzanú 36	1091	4089	SW	Piedra tallada
Yuzanú 36	1092	4089	SW	Piedra tallada

n/a=no aplicable; p/a=por asignar

Tabla 4.3. **Registro general de objetos numerados.**

Sitio	No.	Lote	Cuadrante	Categoría
Yuzanú 36	1093	4089	SW	Piedra tallada
Yuzanú 36	1094	4089	SW	Piedra tallada
Yuzanú 36	1095	4089	SW	Hueso
Yuzanú 36	1096	4089	SW	Piedra con fractura térmica
Yuzanú 36	1097	4089	SW	Piedra con fractura térmica
Yuzanú 36	1098	4089	SW	Piedra tallada
Yuzanú 36	1099	4084	NW	Piedra con fractura térmica
Yuzanú 36	1100	4084	NW	Piedra con fractura térmica
Yuzanú 36	1101	4084	NW	Piedra tallada
Yuzanú 36	1102	4084	NW	Piedra tallada
Yuzanú 36	1103	4084	NW	Piedra con fractura térmica
Yuzanú 36	1104	4091	SE	Piedra tallada
Yuzanú 36	1105	4091	n/a	Piedra con fractura térmica
Yuzanú 36	1106	4091	n/a	Piedra con fractura térmica
Yuzanú 36	1107	4091	n/a	Piedra con fractura térmica
Yuzanú 36	1108	4091	n/a	Piedra con fractura térmica
Yuzanú 36	1109	4091	n/a	Piedra con fractura térmica
Yuzanú 36	1110	4091	n/a	Piedra con fractura térmica
Yuzanú 36	1111	4091	n/a	Piedra con fractura térmica
Yuzanú 36	1112	4091	n/a	Piedra con fractura térmica
Yuzanú 36	1113	4091	n/a	Piedra no modificada
Yuzanú 36	1114	4091	n/a	Piedra con fractura térmica
Yuzanú 36	1115	4091	n/a	Piedra con fractura térmica
Yuzanú 36	1116	4091	n/a	Piedra no modificada
Yuzanú 36	1117	4093	NE	Piedra tallada
Yuzanú 36	1118	4093	SE	Piedra tallada
Yuzanú 36	1119	4089	SW	Piedra tallada
Yuzanú 36	1120	4089	SW	Piedra tallada
Yuzanú 36	1121	4089	SW	Piedra tallada
Yuzanú 36	1122	4089	SW	Piedra tallada
Yuzanú 36	1123	4089	SW	Piedra tallada
Yuzanú 36	1124	4089	SW	Piedra tallada
Yuzanú 36	1125	4089	SW	Piedra tallada
Yuzanú 36	1126	4089	SW	Piedra con fractura térmica
Yuzanú 36	1127	4089	SW	Piedra con fractura térmica
Yuzanú 36	1128	4089	SW	Piedra con fractura térmica
Yuzanú 36	1129	4089	SW	Piedra con fractura térmica
Yuzanú 36	1130	4089	SW	Piedra con fractura térmica
Yuzanú 36	1131	4089	SW	Piedra con fractura térmica
Yuzanú 36	1132	4089	SW	Piedra con fractura térmica
Yuzanú 36	1133	4091	n/a	Piedra con fractura térmica
Yuzanú 36	1134	4091	n/a	Piedra con fractura térmica
Yuzanú 36	1135	4093	SE	Piedra tallada
Yuzanú 36	1136	4091	n/a	Piedra con fractura térmica
Yuzanú 36	1137	4091	n/a	Piedra con fractura térmica
Yuzanú 36	1138	4091	n/a	Piedra con fractura térmica

n/a=no aplicable; p/a=por asignar

Tabla 4.3. **Registro general de objetos numerados.**

Sitio	No.	Lote	Cuadrante	Categoría
Yuzanú 36	1139	4091	n/a	Piedra con fractura térmica
Yuzanú 36	1140	4093	SE	Piedra con fractura térmica
Yuzanú 36	1141	4093	SE	Piedra tallada
Yuzanú 36	1142	4093	SE	Piedra con fractura térmica
Yuzanú 36	1143	4093	SE	Piedra tallada
Yuzanú 36	1144	4089	SW	Piedra tallada
Yuzanú 36	1145	4089	SW	Piedra con fractura térmica
Yuzanú 36	1146	4089	SW	Piedra tallada
Yuzanú 36	1147	4089	SW	Piedra con fractura térmica
Yuzanú 36	1148	4089	SW	Piedra con fractura térmica
Yuzanú 36	1149	4089	SW	Hueso
Yuzanú 36	1150	4089	NE	Piedra tallada
Yuzanú 36	1151	4091	n/a	Piedra con fractura térmica
Yuzanú 36	1152	4089	SW	Piedra con fractura térmica
Yuzanú 36	1153	4089	SW	Piedra tallada
Yuzanú 36	1154	4089	SW	Piedra tallada
Yuzanú 36	1155	4089	SW	Piedra tallada
Yuzanú 36	1156	4093	SE	Hueso
Yuzanú 36	1157	4093	SE	Piedra tallada
Yuzanú 36	1158	4091	n/a	Piedra no modificada
Yuzanú 36	1159	4091	n/a	Piedra con fractura térmica
Yuzanú 36	1160	4091	n/a	Piedra con fractura térmica
Yuzanú 36	1161	4091	n/a	Piedra tallada
Yuzanú 36	1162	4091	n/a	Piedra con fractura térmica
Yuzanú 36	1163	4091	n/a	Piedra con fractura térmica
Yuzanú 36	1164	4091	n/a	Piedra con fractura térmica
Yuzanú 36	1165	4091	n/a	Piedra con fractura térmica
Yuzanú 36	1166	4089	NW	Piedra no modificada
Yuzanú 36	1167	4089	NW	Piedra con fractura térmica
Yuzanú 36	1168	4089	NW	Piedra con fractura térmica
Yuzanú 36	1169	4089	NW	Piedra con fractura térmica
Yuzanú 36	1170	4089	NW	Piedra con fractura térmica
Yuzanú 36	1171	4089	NW	Piedra con fractura térmica
Yuzanú 36	1172	4089	NW	Piedra con fractura térmica
Yuzanú 36	1173	4089	NW	Piedra tallada
Yuzanú 36	1174	4089	NW	Hueso
Yuzanú 36	1175	4089	NW	Piedra tallada
Yuzanú 36	1176	4093	SW	Piedra tallada
Yuzanú 36	1177	4093	SW	Piedra tallada
Yuzanú 36	1178	4093	SW	Piedra tallada
Yuzanú 36	1179	4093	SW	Piedra con fractura térmica
Yuzanú 36	1180	4093	SW	Piedra tallada
Yuzanú 36	1181	4094	NE	Piedra con fractura térmica
Yuzanú 36	1182	4094	NE	Piedra tallada
Yuzanú 36	1183	4093	SW	Piedra con fractura térmica
Yuzanú 36	1184	4093	SW	Piedra tallada

n/a=no aplicable; p/a=por asignar

Tabla 4.3. **Registro general de objetos numerados.**

Sitio	No.	Lote	Cuadrante	Categoría
Yuzanú 36	1185	4093	SW	Piedra con fractura térmica
Yuzanú 36	1186	4093	SW	Piedra tallada
Yuzanú 36	1187	4093	SW	Piedra con fractura térmica
Yuzanú 36	1188	4093	SW	Piedra tallada
Yuzanú 36	1189	4089	NW	Piedra con fractura térmica
Yuzanú 36	1190	4089	NW	Piedra tallada
Yuzanú 36	1191	4089	NW	Hueso
Yuzanú 36	1192	4089	NW	Piedra tallada
Yuzanú 36	1193	4089	NW	Piedra con fractura térmica
Yuzanú 36	1194	4089	NW	Piedra tallada
Yuzanú 36	1195	4089	NW	Hueso
Yuzanú 36	1196	4089	NW	Piedra con fractura térmica
Yuzanú 36	1197	4089	NW	Piedra con fractura térmica
Yuzanú 36	1198	4089	NW	Piedra tallada
Yuzanú 36	1199	4091	SW	Piedra con fractura térmica
Yuzanú 36	1200	4091	n/a	Piedra con fractura térmica
Yuzanú 36	1201	4093	SW	Piedra con fractura térmica
Yuzanú 36	1202	4091	NW	Piedra con fractura térmica
Yuzanú 36	1203	4091	NW	Piedra con fractura térmica
Yuzanú 36	1204	4089	NW	Piedra con fractura térmica
Yuzanú 36	1205	4089	NW	Piedra tallada
Yuzanú 36	1206	4089	NW	Piedra con fractura térmica
Yuzanú 36	1207	4089	NW	Piedra tallada
Yuzanú 36	1208	4089	NW	Piedra con fractura térmica
Yuzanú 36	1209	4089	NW	Piedra tallada
Yuzanú 36	1210	4089	NW	Piedra tallada
Yuzanú 36	1211	4089	NW	Piedra con fractura térmica
Yuzanú 36	1212	4093	SW	Piedra tallada
Yuzanú 36	1213	4093	SW	Piedra con fractura térmica
Yuzanú 36	1214	4093	SW	Piedra tallada
Yuzanú 36	1215	4093	SW	Piedra tallada
Yuzanú 36	1216	4093	SW	Piedra tallada
Yuzanú 36	1217	4093	SW	Piedra tallada
Yuzanú 36	1218	4093	SW	Piedra tallada
Yuzanú 36	1219	4093	SW	Piedra con fractura térmica
Yuzanú 36	1220	4095	SE	Piedra tallada
Yuzanú 36	1221	4096	n/a	Piedra tallada
Yuzanú 36	1222	4096	n/a	Piedra tallada
Yuzanú 36	1223	4096	n/a	Hueso
Yuzanú 36	1224	4091	NW	Piedra tallada
Yuzanú 36	1225	4091	NW	Hueso
Yuzanú 36	1226	4089	NW	Piedra con fractura térmica
Yuzanú 36	1227	4093	SW	Piedra tallada
Yuzanú 36	1228	4094	SE	Piedra tallada
Yuzanú 36	1229	4094	SE	Piedra tallada
Yuzanú 36	1230	4094	SE	Piedra con fractura térmica

n/a=no aplicable; p/a=por asignar

Tabla 4.3. **Registro general de objetos numerados.**

Sitio	No.	Lote	Cuadrante	Categoría
Yuzanú 36	1231	4094	SE	Piedra con fractura térmica
Yuzanú 36	1232	4094	SE	Piedra con fractura térmica
Yuzanú 36	1233	4097	NE	Piedra con fractura térmica
Yuzanú 36	1234	4097	NE	Piedra tallada
Yuzanú 36	1235	4097	NE	Piedra con fractura térmica
Yuzanú 36	1236	4097	NE	Piedra tallada
Yuzanú 36	1237	4095	SE	Hueso
Yuzanú 36	1238	4095	SE	Piedra no modificada
Yuzanú 36	1239	4095	SE	Piedra con fractura térmica
Yuzanú 36	1240	4091	NW	Piedra con fractura térmica
Yuzanú 36	1241	4091	NW	Piedra tallada
Yuzanú 36	1242	4091	NW	Piedra tallada
Yuzanú 36	1243	4097	NE	Piedra tallada
Yuzanú 36	1244	4097	NE	Piedra con fractura térmica
Yuzanú 36	1245	4097	NE	Piedra tallada
Yuzanú 36	1246	4097	NE	Piedra tallada
Yuzanú 36	1247	4097	NE	Hueso
Yuzanú 36	1248	4094	SE	Piedra tallada
Yuzanú 36	1249	4093	NW	Piedra tallada
Yuzanú 36	1250	4093	NW	Piedra tallada
Yuzanú 36	1251	4093	NW	Piedra tallada
Yuzanú 36	1252	4093	NW	Piedra con fractura térmica
Yuzanú 36	1253	4093	NE	Piedra tallada
Yuzanú 36	1254	4091	NW	Piedra tallada
Yuzanú 36	1255	4091	NW	Piedra tallada
Yuzanú 36	1256	4093	NW	Piedra tallada
Yuzanú 36	1257	4093	NW	Piedra tallada
Yuzanú 36	1258	4093	NW	Piedra tallada
Yuzanú 36	1259	4093	NW	Piedra tallada
Yuzanú 36	1260	4093	NE	Piedra tallada
Yuzanú 36	1261	4093	NW	Piedra tallada
Yuzanú 36	1262	4097	SE	Piedra con fractura térmica
Yuzanú 36	1263	4097	SE	Piedra tallada
Yuzanú 36	1264	4097	SE	Piedra con fractura térmica
Yuzanú 36	1265	4097	SE	Piedra tallada
Yuzanú 36	1266	4097	SE	Piedra tallada
Yuzanú 36	1267	4098	NE	Piedra con fractura térmica
Yuzanú 36	1268	4095	NE	Piedra con fractura térmica
Yuzanú 36	1269	4098	NE	Piedra con fractura térmica
Yuzanú 36	1270	4093	NW	Piedra tallada
Yuzanú 36	1271	4094	SW	Piedra con fractura térmica
Yuzanú 36	1272	4094	SW	Piedra con fractura térmica
Yuzanú 36	1273	4094	SW	Piedra tallada
Yuzanú 36	1274	4094	SW	Piedra con fractura térmica
Yuzanú 36	1275	4094	SW	Piedra con fractura térmica
Yuzanú 36	1276	4094	SW	Piedra con fractura térmica

n/a=no aplicable; p/a=por asignar

Tabla 4.3. **Registro general de objetos numerados.**

Sitio	No.	Lote	Cuadrante	Categoría
Yuzanú 36	1277	4097	SE	Piedra tallada
Yuzanú 36	1278	4097	SE	Piedra con fractura térmica
Yuzanú 36	1279	4097	SE	Piedra tallada
Yuzanú 36	1280	4097	SE	Piedra con fractura térmica
Yuzanú 36	1281	4097	SE	Piedra con fractura térmica
Yuzanú 36	1282	4097	SE	Piedra tallada
Yuzanú 36	1283	4097	SE	Hueso
Yuzanú 36	1284	4097	SE	Piedra con fractura térmica
Yuzanú 36	1285	4094	SW	Piedra con fractura térmica
Yuzanú 36	1286	4094	NW	Piedra tallada
Yuzanú 36	1287	4094	NW	Piedra con fractura térmica
Yuzanú 36	1288	4094	NW	Piedra tallada
Yuzanú 36	1289	4097	NW	Piedra tallada
Yuzanú 36	1290	4097	NW	Piedra tallada
Yuzanú 36	1291	4097	NW	Piedra con fractura térmica
Yuzanú 36	1292	4097	NW	Piedra con fractura térmica
Yuzanú 36	1293	4097	NW	Piedra tallada
Yuzanú 36	1294	4097	NW	Piedra tallada
Yuzanú 36	1295	4097	SW	Piedra con fractura térmica
Yuzanú 36	1296	4097	SW	Piedra con fractura térmica
Yuzanú 36	1297	4097	SW	Piedra tallada
Yuzanú 36	1298	4097	SW	Piedra con fractura térmica
Yuzanú 36	1299	4097	SW	Piedra con fractura térmica
Yuzanú 36	1300	4097	SW	Piedra tallada
Yuzanú 36	1301	4097	NW	Piedra tallada
Yuzanú 36	1302	4094	NW	Piedra con fractura térmica
Yuzanú 36	1303	4096	n/a	Piedra pulida
Yuzanú 36	1304	4096	n/a	Piedra con fractura térmica
Yuzanú 36	1305	4097	SW	Piedra tallada
Yuzanú 36	1306	4097	SW	Piedra con fractura térmica
Yuzanú 36	1307	4097	SW	Piedra tallada
Yuzanú 36	1308	4097	SW	Piedra con fractura térmica
Yuzanú 36	1309	4097	SW	Piedra tallada
Yuzanú 36	1310	4097	NW	Piedra tallada
Yuzanú 36	1311	4097	NW	Piedra con fractura térmica
Yuzanú 36	1312	4097	NW	Piedra tallada
Yuzanú 36	1313	4097	NW	Piedra con fractura térmica
Yuzanú 36	1314	4097	NW	Piedra con fractura térmica
Yuzanú 36	1315	4097	NW	Piedra tallada
Yuzanú 36	1316	4094	NW	Piedra tallada
Yuzanú 36	1317	4095	p/a	Piedra con fractura térmica
Yuzanú 36	1318	4102	NE	Piedra tallada
Yuzanú 36	1319	4102	NE	Piedra con fractura térmica
Yuzanú 36	1320	4102	NE	Piedra con fractura térmica
Yuzanú 36	1321	4102	NE	Piedra tallada
Yuzanú 36	1322	4102	NE	Piedra tallada

n/a=no aplicable; p/a=por asignar

Tabla 4.3. **Registro general de objetos numerados.**

Sitio	No.	Lote	Cuadrante	Categoría
Yuzanú 36	1323	4102	NE	Piedra tallada
Yuzanú 36	1324	4102	NE	Piedra tallada
Yuzanú 36	1325	4102	NE	Piedra tallada
Yuzanú 36	1326	4102	NE	Piedra tallada
Yuzanú 36	1327	4102	SE	Piedra con fractura térmica
Yuzanú 36	1328	4102	NE	Hueso
Yuzanú 36	1329	4101	NE	Piedra con fractura térmica
Yuzanú 36	1330	4101	NE	Piedra tallada
Yuzanú 36	1331	4101	NE	Piedra con fractura térmica
Yuzanú 36	1332	4101	NE	Piedra con fractura térmica
Yuzanú 36	1333	4101	NE	Piedra tallada
Yuzanú 36	1334	4101	NE	Piedra con fractura térmica
Yuzanú 36	1335	4101	NE	Piedra con fractura térmica
Yuzanú 36	1336	4101	NE	Piedra con fractura térmica
Yuzanú 36	1337	4099	NE	Piedra con fractura térmica
Yuzanú 36	1337	4106	SW	Piedra con fractura térmica
Yuzanú 36	1338	4099	NE	Piedra con fractura térmica
Yuzanú 36	1339	4099	NE	Piedra tallada
Yuzanú 36	1340	4100	NE	Piedra tallada
Yuzanú 36	1341	4100	NE	Piedra con fractura térmica
Yuzanú 36	1342	4100	NE	Piedra tallada
Yuzanú 36	1343	4100	NE	Piedra con fractura térmica
Yuzanú 36	1344	4100	NE	Piedra con fractura térmica
Yuzanú 36	1345	4100	NE	Piedra tallada
Yuzanú 36	1346	4100	NE	Piedra tallada
Yuzanú 36	1347	4100	NE	Piedra con fractura térmica
Yuzanú 36	1348	4100	NE	Piedra tallada
Yuzanú 36	1349	4100	NE	Piedra con fractura térmica
Yuzanú 36	1350	4100	NE	Piedra tallada
Yuzanú 36	1351	4100	NE	Piedra con fractura térmica
Yuzanú 36	1352	4100	NE	Piedra con fractura térmica
Yuzanú 36	1353	4100	NE	Piedra tallada
Yuzanú 36	1354	4100	NE	Piedra con fractura térmica
Yuzanú 36	1355	4099	NE	Piedra con fractura térmica
Yuzanú 36	1356	4101	NE	Piedra tallada
Yuzanú 36	1356	4101	NE	Piedra con fractura térmica
Yuzanú 36	1357	4101	NE	Piedra con fractura térmica
Yuzanú 36	1358	4101	NE	Piedra tallada
Yuzanú 36	1359	4101	NE	Piedra tallada
Yuzanú 36	1360	4101	NE	Piedra con fractura térmica
Yuzanú 36	1361	4101	NE	Piedra tallada
Yuzanú 36	1362	4101	NE	Piedra tallada
Yuzanú 36	1363	4102	NE	Piedra con fractura térmica
Yuzanú 36	1364	4102	NE	Piedra tallada
Yuzanú 36	1365	4102	NE	Piedra con fractura térmica
Yuzanú 36	1366	4102	NE	Piedra tallada

n/a=no aplicable; p/a=por asignar

Tabla 4.3. **Registro general de objetos numerados.**

Sitio	No.	Lote	Cuadrante	Categoría
Yuzanú 36	1367	4102	NE	Hueso
Yuzanú 36	1368	4102	NE	Piedra con fractura térmica
Yuzanú 36	1369	4102	NE	Piedra tallada
Yuzanú 36	1370	4104	n/a	Piedra con fractura térmica
Yuzanú 36	1371	4099	NE	Piedra con fractura térmica
Yuzanú 36	1372	4099	NE	Piedra con fractura térmica
Yuzanú 36	1373	4099	NE	Piedra con fractura térmica
Yuzanú 36	1374	4100	NE	Hueso
Yuzanú 36	1375	4100	NE	Hueso
Yuzanú 36	1376	4100	NE	Piedra con fractura térmica
Yuzanú 36	1377	4100	NE	Piedra tallada
Yuzanú 36	1378	4100	NE	Piedra tallada
Yuzanú 36	1379	4101	SE	Piedra tallada
Yuzanú 36	1380	4101	SE	Piedra tallada
Yuzanú 36	1381	4101	SE	Piedra tallada
Yuzanú 36	1382	4101	SE	Piedra tallada
Yuzanú 36	1383	4101	SE	Piedra tallada
Yuzanú 36	1384	4101	SE	Piedra tallada
Yuzanú 36	1385	4102	SE	Piedra con fractura térmica
Yuzanú 36	1386	4102	SE	Piedra con fractura térmica
Yuzanú 36	1387	4102	SE	Piedra con fractura térmica
Yuzanú 36	1388	4102	SE	Piedra con fractura térmica
Yuzanú 36	1389	4102	SE	Piedra tallada
Yuzanú 36	1390	4102	SE	Piedra no modificada
Yuzanú 36	1391	4102	SE	Piedra tallada
Yuzanú 36	1392	4102	SE	Piedra tallada
Yuzanú 36	1393	4102	SE	Piedra con fractura térmica
Yuzanú 36	1394	4102	SE	Piedra con fractura térmica
Yuzanú 36	1395	4102	SE	Piedra tallada
Yuzanú 36	1396	4104	n/a	Piedra con fractura térmica
Yuzanú 36	1397	4104	n/a	Piedra con fractura térmica
Yuzanú 36	1398	4104	n/a	Hueso
Yuzanú 36	1399	4099	SE	Piedra con fractura térmica
Yuzanú 36	1400	4099	SE	Piedra con fractura térmica
Yuzanú 36	1401	4099	SE	Piedra tallada
Yuzanú 36	1402	4099	SE	Piedra con fractura térmica
Yuzanú 36	1403	4099	SE	Piedra tallada
Yuzanú 36	1404	4100	NE	Piedra con fractura térmica
Yuzanú 36	1405	4100	NE	Piedra tallada
Yuzanú 36	1406	4100	NE	Piedra con fractura térmica
Yuzanú 36	1407	4100	SE	Piedra con fractura térmica
Yuzanú 36	1408	4101	SE	Piedra con fractura térmica
Yuzanú 36	1409	4101	SE	Piedra con fractura térmica
Yuzanú 36	1410	4101	SE	Piedra tallada
Yuzanú 36	1411	4101	SE	Piedra tallada
Yuzanú 36	1412	4101	SE	Piedra tallada

n/a=no aplicable; p/a=por asignar

Tabla 4.3. **Registro general de objetos numerados.**

Sitio	No.	Lote	Cuadrante	Categoría
Yuzanú 36	1413	4101	SE	Piedra tallada
Yuzanú 36	1414	4101	SE	Piedra tallada
Yuzanú 36	1415	4102	SE	Piedra tallada
Yuzanú 36	1416	4102	SE	Piedra con fractura térmica
Yuzanú 36	1417	4120	SE	Piedra con fractura térmica
Yuzanú 36	1418	4102	SE	Piedra con fractura térmica
Yuzanú 36	1419	4102	SE	Piedra tallada
Yuzanú 36	1420	4102	SE	Piedra tallada
Yuzanú 36	1421	4102	SE	Piedra tallada
Yuzanú 36	1422	4102	SE	Piedra tallada
Yuzanú 36	1423	4102	SE	Piedra tallada
Yuzanú 36	1424	4102	SE	Piedra con fractura térmica
Yuzanú 36	1425	4099	SE	Piedra tallada
Yuzanú 36	1426	4099	SE	Piedra tallada
Yuzanú 36	1427	4099	SE	Piedra con fractura térmica
Yuzanú 36	1428	4100	NE	Piedra con fractura térmica
Yuzanú 36	1429	4100	NE	Piedra tallada
Yuzanú 36	1430	4100	NE	Piedra con fractura térmica
Yuzanú 36	1431	4102	SE	Piedra con fractura térmica
Yuzanú 36	1432	4102	SE	Piedra con fractura térmica
Yuzanú 36	1433	4102	SE	Piedra con fractura térmica
Yuzanú 36	1434	4101	SE	Piedra tallada
Yuzanú 36	1435	4101	SE	Piedra tallada
Yuzanú 36	1436	4101	SE	Piedra con fractura térmica
Yuzanú 36	1437	4101	SE	Piedra con fractura térmica
Yuzanú 36	1438	4099	SE	Piedra con fractura térmica
Yuzanú 36	1439	4099	SE	Piedra con fractura térmica
Yuzanú 36	1440	4099	SE	Piedra con fractura térmica
Yuzanú 36	1441	4099	SE	Piedra tallada
Yuzanú 36	1442	4099	SE	Piedra tallada
Yuzanú 36	1443	4099	SE	Piedra tallada
Yuzanú 36	1444	4099	SE	Piedra con fractura térmica
Yuzanú 36	1445	4100	SE	Piedra tallada
Yuzanú 36	1446	4100	SE	Piedra con fractura térmica
Yuzanú 36	1447	4100	SE	Piedra con fractura térmica
Yuzanú 36	1448	4100	SE	Piedra con fractura térmica
Yuzanú 36	1449	4100	SE	Piedra tallada
Yuzanú 36	1450	4100	SE	Piedra tallada
Yuzanú 36	1451	4101	SE	Piedra con fractura térmica
Yuzanú 36	1452	4101	SW	Piedra tallada
Yuzanú 36	1453	4101	SW	Piedra tallada
Yuzanú 36	1454	4102	SW	Piedra tallada
Yuzanú 36	1455	4102	SW	Piedra tallada
Yuzanú 36	1456	4102	SW	Hueso
Yuzanú 36	1457	4102	SW	Piedra con fractura térmica
Yuzanú 36	1458	4102	SW	Piedra tallada

n/a=no aplicable; p/a=por asignar

Tabla 4.3. **Registro general de objetos numerados.**

Sitio	No.	Lote	Cuadrante	Categoría
Yuzanú 36	1459	4102	SW	Hueso
Yuzanú 36	1459	4102	SW	Piedra tallada
Yuzanú 36	1460	4102	SW	Piedra con fractura térmica
Yuzanú 36	1461	4102	SW	Piedra tallada
Yuzanú 36	1462	4102	SW	Piedra tallada
Yuzanú 36	1463	4101	SW	Piedra con fractura térmica
Yuzanú 36	1464	4100	SE	Piedra tallada
Yuzanú 36	1465	4098	NE	Piedra no modificada
Yuzanú 36	1466	4098	NE	Piedra con fractura térmica
Yuzanú 36	1467	4101	SW	Piedra con fractura térmica
Yuzanú 36	1468	4101	SW	Piedra con fractura térmica
Yuzanú 36	1469	4101	SW	Piedra tallada
Yuzanú 36	1470	4102	SW	Piedra con fractura térmica
Yuzanú 36	1471	4102	SW	Piedra tallada
Yuzanú 36	1472	4099	SW	Piedra con fractura térmica
Yuzanú 36	1473	4100	SE	Piedra tallada
Yuzanú 36	1474	4100	SE	Piedra tallada
Yuzanú 36	1475	4100	SE	Piedra tallada
Yuzanú 36	1476	4099	SW	Piedra con fractura térmica
Yuzanú 36	1477	4099	SW	Piedra con fractura térmica
Yuzanú 36	1478	4099	SW	Piedra con fractura térmica
Yuzanú 36	1479	4099	SW	Piedra con fractura térmica
Yuzanú 36	1480	4099	SW	Piedra con fractura térmica
Yuzanú 36	1481	4100	SE	Piedra tallada
Yuzanú 36	1482	4101	SW	Piedra tallada
Yuzanú 36	1483	4101	SW	Piedra con fractura térmica
Yuzanú 36	1484	4101	SW	Piedra con fractura térmica
Yuzanú 36	1485	4101	SW	Piedra con fractura térmica
Yuzanú 36	1486	4101	SW	Piedra con fractura térmica
Yuzanú 36	1487	4101	SW	Piedra tallada
Yuzanú 36	1488	4101	SW	Piedra con fractura térmica
Yuzanú 36	1489	4101	SE	Piedra con fractura térmica
Yuzanú 36	1490	4101	SW	Piedra con fractura térmica
Yuzanú 36	1491	4101	SW	Piedra tallada
Yuzanú 36	1492	4101	SW	Piedra tallada
Yuzanú 36	1493	4102	SW	Piedra tallada
Yuzanú 36	1494	4102	SW	Piedra con fractura térmica
Yuzanú 36	1495	4102	SW	Hueso
Yuzanú 36	1496	4102	SW	Piedra tallada
Yuzanú 36	1497	4102	SW	Piedra con fractura térmica
Yuzanú 36	1498	4102	SW	Piedra tallada
Yuzanú 36	1499	4102	SW	Piedra con fractura térmica
Yuzanú 36	1500	4100	SE	Piedra tallada
Yuzanú 36	1501	4098	SE	Piedra tallada
Yuzanú 36	1502	4098	SE	Piedra tallada
Yuzanú 36	1503	4099	SW	Piedra tallada

n/a=no aplicable; p/a=por asignar

Tabla 4.3. **Registro general de objetos numerados.**

Sitio	No.	Lote	Cuadrante	Categoría
Yuzanú 36	1504	4099	SW	Piedra tallada
Yuzanú 36	1505	4099	SW	Piedra con fractura térmica
Yuzanú 36	1506	4099	SW	Piedra con fractura térmica
Yuzanú 36	1507	4100	SW	Piedra no modificada
Yuzanú 36	1508	4100	SW	Piedra con fractura térmica
Yuzanú 36	1509	4100	SW	Piedra tallada
Yuzanú 36	1510	4101	SW	Piedra con fractura térmica
Yuzanú 36	1511	4101	SW	Piedra tallada
Yuzanú 36	1512	4101	SW	Piedra tallada
Yuzanú 36	1513	4101	SW	Piedra con fractura térmica
Yuzanú 36	1514	4101	SW	Piedra tallada
Yuzanú 36	1515	4101	SW	Piedra tallada
Yuzanú 36	1516	4101	SW	Piedra tallada
Yuzanú 36	1517	4101	SW	Piedra con fractura térmica
Yuzanú 36	1518	4101	SW	Piedra con fractura térmica
Yuzanú 36	1519	4101	SW	Piedra con fractura térmica
Yuzanú 36	1520	4101	SW	Piedra tallada
Yuzanú 36	1521	4102	SW	Piedra tallada
Yuzanú 36	1522	4102	NW	Hueso
Yuzanú 36	1523	4102	NW	Piedra tallada
Yuzanú 36	1524	4102	NW	Piedra tallada
Yuzanú 36	1525	4102	NW	Piedra tallada
Yuzanú 36	1526	4102	NW	Piedra con fractura térmica
Yuzanú 36	1527	4102	NW	Piedra con fractura térmica
Yuzanú 36	1528	4102	NW	Piedra tallada
Yuzanú 36	1529	4102	NW	Piedra tallada
Yuzanú 36	1530	4102	NW	Piedra no modificada
Yuzanú 36	1531	4100	SW	Hueso
Yuzanú 36	1532	4100	SW	Hueso
Yuzanú 36	1533	4099	SW	Piedra con fractura térmica
Yuzanú 36	1534	4099	SW	Piedra con fractura térmica
Yuzanú 36	1535	4100	SW	Piedra tallada
Yuzanú 36	1536	4100	SW	Piedra tallada
Yuzanú 36	1537	4100	SW	Piedra con fractura térmica
Yuzanú 36	1538	4100	SW	Piedra con fractura térmica
Yuzanú 36	1539	4100	SW	Piedra tallada
Yuzanú 36	1540	4100	SW	Piedra tallada
Yuzanú 36	1541	4100	NW	Piedra con fractura térmica
Yuzanú 36	1542	4100	SW	Piedra con fractura térmica
Yuzanú 36	1543	4100	SW	Piedra tallada
Yuzanú 36	1544	4100	SW	Piedra tallada
Yuzanú 36	1545	4100	SW	Hueso
Yuzanú 36	1546	4101	SW	Piedra con fractura térmica
Yuzanú 36	1547	4101	SW	Piedra tallada
Yuzanú 36	1548	4101	SW	Piedra tallada
Yuzanú 36	1549	4101	NW	Piedra tallada

n/a=no aplicable; p/a=por asignar

Tabla 4.3. **Registro general de objetos numerados.**

Sitio	No.	Lote	Cuadrante	Categoría
Yuzanú 36	1550	4101	NW	Piedra tallada
Yuzanú 36	1551	4101	NW	Piedra con fractura térmica
Yuzanú 36	1552	4101	NW	Piedra tallada
Yuzanú 36	1553	4101	NE	Piedra tallada
Yuzanú 36	1554	4101	NW	Piedra con fractura térmica
Yuzanú 36	1555	4102	NE	Piedra tallada
Yuzanú 36	1556	4102	NW	Piedra tallada
Yuzanú 36	1557	4102	NW	Piedra tallada
Yuzanú 36	1558	4102	NW	Piedra tallada
Yuzanú 36	1559	4102	NW	Piedra tallada
Yuzanú 36	1560	4102	NW	Piedra tallada
Yuzanú 36	1561	4102	NW	Piedra tallada
Yuzanú 36	1562	4099	NW	Piedra tallada
Yuzanú 36	1563	4099	NW	Piedra tallada
Yuzanú 36	1564	4100	SW	Piedra con fractura térmica
Yuzanú 36	1565	4100	SW	Piedra con fractura térmica
Yuzanú 36	1566	4100	SW	Piedra con fractura térmica
Yuzanú 36	1567	4100	SW	Piedra tallada
Yuzanú 36	1568	4100	SW	Piedra tallada
Yuzanú 36	1569	4100	SW	Piedra no modificada
Yuzanú 36	1570	4101	NW	Piedra con fractura térmica
Yuzanú 36	1571	4101	NW	Piedra con fractura térmica
Yuzanú 36	1572	4101	NW	Piedra con fractura térmica
Yuzanú 36	1573	4101	NW	Piedra con fractura térmica
Yuzanú 36	1574	4101	NW	Piedra con fractura térmica
Yuzanú 36	1575	4101	NW	Piedra con fractura térmica
Yuzanú 36	1576	4101	NW	Piedra con fractura térmica
Yuzanú 36	1577	4101	NW	Piedra tallada
Yuzanú 36	1578	4102	NW	Piedra con fractura térmica
Yuzanú 36	1579	4102	NW	Piedra con fractura térmica
Yuzanú 36	1580	4102	NW	Piedra tallada
Yuzanú 36	1581	4102	NW	Piedra con fractura térmica
Yuzanú 36	1582	4099	NW	Piedra con fractura térmica
Yuzanú 36	1583	4099	NW	Piedra con fractura térmica
Yuzanú 36	1584	4100	SW	Piedra con fractura térmica
Yuzanú 36	1585	4100	SW	Piedra con fractura térmica
Yuzanú 36	1585	4108	SE	Piedra con fractura térmica
Yuzanú 36	1586	4100	SW	Piedra con fractura térmica
Yuzanú 36	1587	4100	SW	Piedra tallada
Yuzanú 36	1588	4100	SW	Piedra con fractura térmica
Yuzanú 36	1589	4100	SW	Piedra con fractura térmica
Yuzanú 36	1590	4100	SW	Piedra con fractura térmica
Yuzanú 36	1591	4101	NW	Piedra con fractura térmica
Yuzanú 36	1592	4101	NW	Piedra tallada
Yuzanú 36	1593	4101	NW	Piedra tallada
Yuzanú 36	1594	4101	NW	Piedra con fractura térmica

n/a=no aplicable; p/a=por asignar

Tabla 4.3. **Registro general de objetos numerados.**

Sitio	No.	Lote	Cuadrante	Categoría
Yuzanú 36	1595	4101	NW	Piedra con fractura térmica
Yuzanú 36	1596	4102	NW	Piedra tallada
Yuzanú 36	1597	4099	NW	Piedra con fractura térmica
Yuzanú 36	1598	4099	NW	Piedra tallada
Yuzanú 36	1599	4099	NW	Piedra con fractura térmica
Yuzanú 36	1600	4099	NW	Piedra con fractura térmica
Yuzanú 36	1601	4100	NW	Piedra tallada
Yuzanú 36	1602	4100	NW	Piedra tallada
Yuzanú 36	1603	4100	NW	Piedra con fractura térmica
Yuzanú 36	1604	4100	NW	Piedra tallada
Yuzanú 36	1605	4100	NW	Hueso
Yuzanú 36	1606	4100	NW	Piedra tallada
Yuzanú 36	1607	4100	NW	Piedra con fractura térmica
Yuzanú 36	1608	4100	NW	Piedra tallada
Yuzanú 36	1609	4100	NW	Piedra tallada
Yuzanú 36	1610	4100	NW	Piedra tallada
Yuzanú 36	1611	4100	NW	Piedra con fractura térmica
Yuzanú 36	1612	4100	NW	Piedra con fractura térmica
Yuzanú 36	1613	4100	NW	Piedra con fractura térmica
Yuzanú 36	1614	4100	NW	Piedra tallada
Yuzanú 36	1615	4100	NW	Piedra con fractura térmica
Yuzanú 36	1616	4100	NW	Piedra con fractura térmica
Yuzanú 36	1617	4100	NW	Piedra con fractura térmica
Yuzanú 36	1618	4100	NE	Piedra con fractura térmica
Yuzanú 36	1619	4100	NW	Piedra tallada
Yuzanú 36	1620	4100	NW	Piedra con fractura térmica
Yuzanú 36	1621	4100	NW	Piedra tallada
Yuzanú 36	1622	4100	NW	Piedra tallada
Yuzanú 36	1623	4100	NW	Piedra tallada
Yuzanú 36	1624	4100	NW	Piedra tallada
Yuzanú 36	1624	4100	NW	Piedra con fractura térmica
Yuzanú 36	1625	4100	NW	Piedra con fractura térmica
Yuzanú 36	1626	4100	NW	Hueso
Yuzanú 36	1627	4100	NW	Hueso
Yuzanú 36	1628	4100	NW	Piedra con fractura térmica
Yuzanú 36	1629	4100	NW	Piedra con fractura térmica
Yuzanú 36	1630	4100	NW	Piedra tallada
Yuzanú 36	1631	4100	NW	Piedra tallada
Yuzanú 36	1632	4100	NW	Piedra con fractura térmica
Yuzanú 36	1633	4100	NW	Piedra tallada
Yuzanú 36	1634	4106	NE	Piedra tallada
Yuzanú 36	1635	4106	NE	Piedra con fractura térmica
Yuzanú 36	1636	4107	NE	Hueso
Yuzanú 36	1637	4107	NE	Piedra con fractura térmica
Yuzanú 36	1638	4107	NE	Piedra tallada
Yuzanú 36	1639	4107	NE	Piedra con fractura térmica

n/a=no aplicable; p/a=por asignar

Tabla 4.3. **Registro general de objetos numerados.**

Sitio	No.	Lote	Cuadrante	Categoría
Yuzanú 36	1640	4107	NE	Piedra tallada
Yuzanú 36	1641	4108	NE	Piedra tallada
Yuzanú 36	1642	4108	NE	Piedra con fractura térmica
Yuzanú 36	1643	4108	NE	Piedra tallada
Yuzanú 36	1644	4108	NE	Piedra con fractura térmica
Yuzanú 36	1645	4108	NE	Piedra con fractura térmica
Yuzanú 36	1646	4108	NE	Piedra tallada
Yuzanú 36	1647	4108	NE	Piedra tallada
Yuzanú 36	1648	4109	NE	Piedra tallada
Yuzanú 36	1649	4109	NE	Piedra tallada
Yuzanú 36	1650	4109	NE	Piedra tallada
Yuzanú 36	1651	4109	NE	Piedra tallada
Yuzanú 36	1652	4109	NE	Piedra tallada
Yuzanú 36	1653	4109	NE	Piedra con fractura térmica
Yuzanú 36	1654	4109	NE	Piedra con fractura térmica
Yuzanú 36	1655	4109	NE	Piedra tallada
Yuzanú 36	1656	4109	NE	Piedra tallada
Yuzanú 36	1657	4109	NE	Piedra con fractura térmica
Yuzanú 36	1658	4109	NE	Piedra con fractura térmica
Yuzanú 36	1659	4109	NE	Piedra tallada
Yuzanú 36	1660	4109	NE	Piedra tallada
Yuzanú 36	1661	4109	NE	Piedra tallada
Yuzanú 36	1662	4109	NE	Piedra tallada
Yuzanú 36	1663	4107	NE	Piedra no modificada
Yuzanú 36	1664	4107	p/a	Piedra tallada
Yuzanú 36	1665	4107	NE	Piedra con fractura térmica
Yuzanú 36	1666	4107	NE	Piedra tallada
Yuzanú 36	1667	4107	NE	Piedra con fractura térmica
Yuzanú 36	1668	4108	SE	Piedra tallada
Yuzanú 36	1669	4108	SE	Piedra tallada
Yuzanú 36	1670	4108	NE	Piedra con fractura térmica
Yuzanú 36	1671	4108	NE	Piedra tallada
Yuzanú 36	1672	4108	NE	Piedra con fractura térmica
Yuzanú 36	1673	4109	NE	Piedra con fractura térmica
Yuzanú 36	1674	4109	NE	Piedra con fractura térmica
Yuzanú 36	1675	4109	NE	Piedra tallada
Yuzanú 36	1676	4109	NE	Piedra tallada
Yuzanú 36	1677	4110	n/a	Piedra con fractura térmica
Yuzanú 36	1678	4106	SE	Piedra no modificada
Yuzanú 36	1679	4106	SE	Piedra tallada
Yuzanú 36	1680	4106	SE	Piedra con fractura térmica
Yuzanú 36	1681	4107	SE	Piedra con fractura térmica
Yuzanú 36	1682	4107	SE	Piedra tallada
Yuzanú 36	1683	4107	SE	Piedra tallada
Yuzanú 36	1684	4108	SE	Piedra con fractura térmica
Yuzanú 36	1685	4108	SE	Piedra con fractura térmica

n/a=no aplicable; p/a=por asignar

Tabla 4.3. **Registro general de objetos numerados.**

Sitio	No.	Lote	Cuadrante	Categoría
Yuzanú 36	1686	4108	SE	Piedra con fractura térmica
Yuzanú 36	1687	4108	SE	Piedra tallada
Yuzanú 36	1688	4108	SE	Piedra tallada
Yuzanú 36	1689	4108	SE	Piedra con fractura térmica
Yuzanú 36	1690	4109	SE	Piedra tallada
Yuzanú 36	1691	4109	SE	Piedra tallada
Yuzanú 36	1692	4109	SE	Piedra tallada
Yuzanú 36	1693	4109	SE	Piedra tallada
Yuzanú 36	1694	4109	SE	Piedra tallada
Yuzanú 36	1695	4109	SE	Piedra con fractura térmica
Yuzanú 36	1696	4109	SE	Piedra con fractura térmica
Yuzanú 36	1697	4109	SE	Piedra tallada
Yuzanú 36	1698	4109	SE	Piedra tallada
Yuzanú 36	1699	4109	SE	Piedra con fractura térmica
Yuzanú 36	1700	4109	SE	Piedra tallada
Yuzanú 36	1701	4109	SE	Piedra tallada
Yuzanú 36	1702	4106	SE	Piedra con fractura térmica
Yuzanú 36	1703	4110	n/a	Piedra con fractura térmica
Yuzanú 36	1704	4110	n/a	Piedra con fractura térmica
Yuzanú 36	1705	4106	SE	Piedra tallada
Yuzanú 36	1706	4107	SW	Hueso
Yuzanú 36	1707	4107	SW	Piedra con fractura térmica
Yuzanú 36	1708	4107	SW	Piedra tallada
Yuzanú 36	1709	4109	SE	Piedra con fractura térmica
Yuzanú 36	1710	4109	SE	Piedra tallada
Yuzanú 36	1711	4110	n/a	Piedra con fractura térmica
Yuzanú 36	1712	4110	n/a	Hueso
Yuzanú 36	1713	4106	SW	Piedra tallada
Yuzanú 36	1714	4106	SW	Piedra tallada
Yuzanú 36	1715	4106	SW	Piedra con fractura térmica
Yuzanú 36	1716	4107	SW	Piedra tallada
Yuzanú 36	1717	4107	SW	Piedra con fractura térmica
Yuzanú 36	1718	4107	SW	Piedra con fractura térmica
Yuzanú 36	1719	4107	SW	Piedra tallada
Yuzanú 36	1720	4107	SW	Piedra con fractura térmica
Yuzanú 36	1721	4107	SW	Piedra con fractura térmica
Yuzanú 36	1722	4107	SW	Piedra tallada
Yuzanú 36	1723	4107	SW	Piedra tallada
Yuzanú 36	1724	4107	SW	Piedra tallada
Yuzanú 36	1725	4108	SW	Piedra con fractura térmica
Yuzanú 36	1726	4108	SW	Piedra tallada
Yuzanú 36	1727	4108	SW	Piedra con fractura térmica
Yuzanú 36	1728	4108	SW	Piedra tallada
Yuzanú 36	1729	4108	SW	Piedra tallada
Yuzanú 36	1730	4108	SW	Piedra tallada
Yuzanú 36	1731	4108	SW	Piedra con fractura térmica

n/a=no aplicable; p/a=por asignar

Tabla 4.3. **Registro general de objetos numerados.**

Sitio	No.	Lote	Cuadrante	Categoría
Yuzanú 36	1732	4108	SW	Piedra tallada
Yuzanú 36	1733	4108	SE	Piedra tallada
Yuzanú 36	1734	4108	SE	Piedra tallada
Yuzanú 36	1735	4109	SW	Piedra con fractura térmica
Yuzanú 36	1736	4109	SW	Piedra tallada
Yuzanú 36	1737	4106	SW	Piedra con fractura térmica
Yuzanú 36	1738	4106	SW	Piedra con fractura térmica
Yuzanú 36	1739	4106	SW	Piedra tallada
Yuzanú 36	1740	4107	NW	Piedra con fractura térmica
Yuzanú 36	1741	4107	NW	Piedra con fractura térmica
Yuzanú 36	1742	4107	NW	Piedra tallada
Yuzanú 36	1743	4107	NW	Piedra tallada
Yuzanú 36	1744	4107	NW	Piedra tallada
Yuzanú 36	1745	4107	NW	Piedra con fractura térmica
Yuzanú 36	1746	4107	NW	Piedra con fractura térmica
Yuzanú 36	1747	4107	NW	Piedra tallada
Yuzanú 36	1748	4107	NW	Piedra con fractura térmica
Yuzanú 36	1749	4107	NW	Piedra tallada
Yuzanú 36	1750	4107	NW	Piedra con fractura térmica
Yuzanú 36	1751	4108	SW	Piedra con fractura térmica
Yuzanú 36	1752	4108	SW	Piedra tallada
Yuzanú 36	1753	4108	SW	Piedra con fractura térmica
Yuzanú 36	1754	4108	SW	Piedra con fractura térmica
Yuzanú 36	1755	4108	SW	Piedra con fractura térmica
Yuzanú 36	1756	4108	SW	Piedra con fractura térmica
Yuzanú 36	1757	4109	SW	Piedra con fractura térmica
Yuzanú 36	1758	4109	NE	Piedra con fractura térmica
Yuzanú 36	1758	4109	SW	Piedra tallada
Yuzanú 36	1759	4109	SW	Piedra tallada
Yuzanú 36	1760	4107	NW	Piedra tallada
Yuzanú 36	1761	4107	NW	Piedra con fractura térmica
Yuzanú 36	1762	4107	NW	Piedra con fractura térmica
Yuzanú 36	1763	4106	NW	Piedra tallada
Yuzanú 36	1764	4106	NW	Piedra tallada
Yuzanú 36	1765	4106	NW	Piedra con fractura térmica
Yuzanú 36	1766	4106	NW	Piedra no modificada
Yuzanú 36	1767	4106	NW	Piedra tallada
Yuzanú 36	1768	4108	NW	Piedra con fractura térmica
Yuzanú 36	1769	4108	NW	Piedra con fractura térmica
Yuzanú 36	1770	4108	NW	Piedra con fractura térmica
Yuzanú 36	1771	4107	NW	Piedra con fractura térmica
Yuzanú 36	1772	4106	NE	Piedra con fractura térmica
Yuzanú 36	1773	4108	NW	Piedra tallada
Yuzanú 36	1774	4106	NW	Piedra tallada
Yuzanú 36	1775	4106	NW	Piedra con fractura térmica
Yuzanú 36	1776	4106	NW	Piedra con fractura térmica

n/a=no aplicable; p/a=por asignar

Tabla 4.3. **Registro general de objetos numerados.**

Sitio	No.	Lote	Cuadrante	Categoría
Yuzanú 36	1777	4106	NW	Piedra con fractura térmica
Yuzanú 36	1778	4106	NW	Piedra tallada
Yuzanú 36	1779	4095	NW	Piedra no modificada
Yuzanú 36	1780	4111	NE	Piedra tallada
Yuzanú 36	1781	4111	NE	Piedra tallada
Yuzanú 36	1782	4111	NE	Piedra tallada
Yuzanú 36	1783	4112	NE	Piedra con fractura térmica
Yuzanú 36	1784	4112	NE	Piedra tallada
Yuzanú 36	1785	4112	NE	Piedra tallada
Yuzanú 36	1786	4112	NE	Piedra con fractura térmica
Yuzanú 36	1787	4112	NE	Hueso
Yuzanú 36	1788	4112	NE	Piedra tallada
Yuzanú 36	1789	4113	NE	Piedra con fractura térmica
Yuzanú 36	1790	4113	NE	Piedra tallada
Yuzanú 36	1791	4113	NE	Piedra tallada
Yuzanú 36	1792	4113	NE	Piedra tallada
Yuzanú 36	1793	4114	NE	Piedra tallada
Yuzanú 36	1794	4114	NE	Piedra tallada
Yuzanú 36	1795	4114	NE	Piedra con fractura térmica
Yuzanú 36	1796	4114	NE	Piedra tallada
Yuzanú 36	1797	4114	NE	Piedra tallada
Yuzanú 36	1798	4114	NE	Piedra tallada
Yuzanú 36	1799	4114	NE	Piedra tallada
Yuzanú 36	1800	4113	NE	Piedra con fractura térmica
Yuzanú 36	1801	4113	NE	Piedra con fractura térmica
Yuzanú 36	1802	4111	NE	Piedra con fractura térmica
Yuzanú 36	1803	4111	NE	Piedra con fractura térmica
Yuzanú 36	1804	4111	NE	Piedra tallada
Yuzanú 36	1805	4111	NE	Piedra tallada
Yuzanú 36	1806	4112	NE	Piedra tallada
Yuzanú 36	1807	4112	NE	Piedra con fractura térmica
Yuzanú 36	1808	4112	NE	Piedra con fractura térmica
Yuzanú 36	1808	4113	NE	Piedra con fractura térmica
Yuzanú 36	1809	4112	NE	Piedra tallada
Yuzanú 36	1810	4112	NE	Piedra con fractura térmica
Yuzanú 36	1811	4112	NE	Piedra tallada
Yuzanú 36	1812	4112	NE	Piedra tallada
Yuzanú 36	1813	4112	NE	Piedra tallada
Yuzanú 36	1814	4112	NE	Piedra tallada
Yuzanú 36	1815	4112	NE	Piedra tallada
Yuzanú 36	1816	4112	NE	Piedra con fractura térmica
Yuzanú 36	1817	4113	NE	Piedra tallada
Yuzanú 36	1818	4113	NE	Piedra tallada
Yuzanú 36	1819	4113	NE	Piedra pulida
Yuzanú 36	1820	4114	NE	Piedra con fractura térmica
Yuzanú 36	1821	4114	NE	Piedra con fractura térmica

n/a=no aplicable; p/a=por asignar

Tabla 4.3. **Registro general de objetos numerados.**

Sitio	No.	Lote	Cuadrante	Categoría
Yuzanú 36	1822	4114	NE	Piedra no modificada
Yuzanú 36	1823	4114	NE	Piedra con fractura térmica
Yuzanú 36	1824	4114	NE	Piedra tallada
Yuzanú 36	1825	4114	NE	Piedra con fractura térmica
Yuzanú 36	1826	4114	NE	Piedra tallada
Yuzanú 36	1827	4112	NE	Piedra tallada
Yuzanú 36	1828	4147	n/a	Hueso
Yuzanú 36	1829	4098	NW	Piedra con fractura térmica
Yuzanú 36	1830	4098	NW	Piedra con fractura térmica
Yuzanú 36	1831	4111	SE	Piedra con fractura térmica
Yuzanú 36	1832	4112	NE	Piedra con fractura térmica
Yuzanú 36	1833	4112	NE	Piedra tallada
Yuzanú 36	1834	4112	NE	Piedra tallada
Yuzanú 36	1835	4112	NE	Piedra tallada
Yuzanú 36	1836	4112	NE	Piedra con fractura térmica
Yuzanú 36	1837	4112	NE	Piedra tallada
Yuzanú 36	1838	4112	SW	Piedra tallada
Yuzanú 36	1839	4113	SE	Piedra con fractura térmica
Yuzanú 36	1840	4113	SE	Piedra con fractura térmica
Yuzanú 36	1841	4113	SE	Piedra tallada
Yuzanú 36	1842	4113	SE	Piedra tallada
Yuzanú 36	1843	4113	SE	Piedra no modificada
Yuzanú 36	1844	4113	SE	Piedra tallada
Yuzanú 36	1845	4114	SE	Piedra tallada
Yuzanú 36	1846	4114	SE	Piedra con fractura térmica
Yuzanú 36	1847	4114	SE	Piedra tallada
Yuzanú 36	1848	4114	SE	Piedra tallada
Yuzanú 36	1849	4114	SE	Piedra con fractura térmica
Yuzanú 36	1850	4114	SE	Piedra tallada
Yuzanú 36	1851	4114	SE	Piedra tallada
Yuzanú 36	1852	4114	SE	Piedra con fractura térmica
Yuzanú 36	1853	4114	SE	Piedra tallada
Yuzanú 36	1854	4114	SE	Piedra tallada
Yuzanú 36	1855	4114	SE	Piedra tallada
Yuzanú 36	1856	4111	SE	Piedra con fractura térmica
Yuzanú 36	1857	4111	SE	Piedra con fractura térmica
Yuzanú 36	1857	4111	SE	Piedra no modificada
Yuzanú 36	1858	4112	SE	Piedra con fractura térmica
Yuzanú 36	1859	4112	SE	Piedra tallada
Yuzanú 36	1860	4112	SE	Piedra tallada
Yuzanú 36	1861	4112	SE	Piedra con fractura térmica
Yuzanú 36	1862	4112	SE	Piedra tallada
Yuzanú 36	1863	4113	SE	Piedra con fractura térmica
Yuzanú 36	1864	4113	SE	Piedra tallada
Yuzanú 36	1865	4113	SE	Piedra tallada
Yuzanú 36	1866	4113	SE	Piedra tallada

n/a=no aplicable; p/a=por asignar

Tabla 4.3. **Registro general de objetos numerados.**

Sitio	No.	Lote	Cuadrante	Categoría
Yuzanú 36	1867	4114	SE	Piedra con fractura térmica
Yuzanú 36	1868	4114	SE	Piedra con fractura térmica
Yuzanú 36	1869	4114	SE	Piedra con fractura térmica
Yuzanú 36	1870	4111	SE	Piedra tallada
Yuzanú 36	1870	4114	SE	Piedra tallada
Yuzanú 36	1871	4114	SE	Piedra con fractura térmica
Yuzanú 36	1872	4111	SE	Piedra tallada
Yuzanú 36	1873	4098	SW	Piedra con fractura térmica
Yuzanú 36	1874	4098	SW	Piedra con fractura térmica
Yuzanú 36	1875	4111	SE	Piedra tallada
Yuzanú 36	1876	4111	SE	Piedra con fractura térmica
Yuzanú 36	1877	4111	SE	Piedra con fractura térmica
Yuzanú 36	1878	4111	SE	Piedra tallada
Yuzanú 36	1879	4112	SE	Piedra con fractura térmica
Yuzanú 36	1880	4112	SE	Piedra tallada
Yuzanú 36	1881	4112	SE	Piedra con fractura térmica
Yuzanú 36	1882	4112	SE	Piedra con fractura térmica
Yuzanú 36	1883	4113	SE	Piedra tallada
Yuzanú 36	1884	4113	SE	Piedra con fractura térmica
Yuzanú 36	1885	4114	SE	Piedra tallada
Yuzanú 36	1886	4114	SE	Piedra tallada
Yuzanú 36	1887	4114	SE	Piedra tallada
Yuzanú 36	1888	4114	SE	Piedra no modificada
Yuzanú 36	1889	4098	SW	Hueso
Yuzanú 36	1890	4111	SE	Piedra tallada
Yuzanú 36	1891	4111	SE	Piedra tallada
Yuzanú 36	1892	4111	SE	Piedra con fractura térmica
Yuzanú 36	1893	4111	SE	Piedra tallada
Yuzanú 36	1894	4111	SE	Piedra tallada
Yuzanú 36	1895	4112	SE	Piedra tallada
Yuzanú 36	1896	4112	SE	Piedra tallada
Yuzanú 36	1897	4112	SE	Piedra tallada
Yuzanú 36	1898	4113	SW	Piedra con fractura térmica
Yuzanú 36	1899	4113	SW	Piedra con fractura térmica
Yuzanú 36	1900	4113	SW	Piedra con fractura térmica
Yuzanú 36	1901	4113	SW	Piedra con fractura térmica
Yuzanú 36	1902	4114	SW	Piedra tallada
Yuzanú 36	1903	4114	SW	Piedra con fractura térmica
Yuzanú 36	1904	4114	SW	Piedra tallada
Yuzanú 36	1905	4114	SW	Piedra con fractura térmica
Yuzanú 36	1906	4114	SW	Piedra tallada
Yuzanú 36	1907	4114	SW	Piedra tallada
Yuzanú 36	1908	4111	SW	Piedra tallada
Yuzanú 36	1909	4111	SW	Piedra tallada
Yuzanú 36	1910	4111	SW	Piedra tallada
Yuzanú 36	1911	4112	SE	Piedra tallada

n/a=no aplicable; p/a=por asignar

Tabla 4.3. **Registro general de objetos numerados.**

Sitio	No.	Lote	Cuadrante	Categoría
Yuzanú 36	1912	4112	SE	Piedra tallada
Yuzanú 36	1913	4112	SE	Piedra con fractura térmica
Yuzanú 36	1914	4112	SW	Piedra con fractura térmica
Yuzanú 36	1915	4112	SW	Piedra tallada
Yuzanú 36	1916	4112	SW	Piedra tallada
Yuzanú 36	1917	4112	SW	Piedra con fractura térmica
Yuzanú 36	1918	4112	SW	Piedra tallada
Yuzanú 36	1919	4112	SW	Piedra con fractura térmica
Yuzanú 36	1920	4112	SW	Piedra con fractura térmica
Yuzanú 36	1921	4113	SW	Piedra tallada
Yuzanú 36	1922	4113	SW	Piedra tallada
Yuzanú 36	1923	4113	SW	Piedra tallada
Yuzanú 36	1924	4113	SW	Piedra con fractura térmica
Yuzanú 36	1925	4113	SW	Piedra tallada
Yuzanú 36	1926	4113	SW	Piedra con fractura térmica
Yuzanú 36	1927	4113	SW	Piedra tallada
Yuzanú 36	1928	4113	SW	Piedra con fractura térmica
Yuzanú 36	1929	4114	SW	Piedra tallada
Yuzanú 36	1930	4114	SW	Piedra tallada
Yuzanú 36	1931	4114	SW	Piedra tallada
Yuzanú 36	1932	4114	SW	Piedra tallada
Yuzanú 36	1933	4114	SW	Piedra tallada
Yuzanú 36	1934	4114	SW	Piedra tallada
Yuzanú 36	1935	4114	SW	Piedra con fractura térmica
Yuzanú 36	1936	4114	SE	Piedra tallada
Yuzanú 36	1937	4114	SW	Piedra con fractura térmica
Yuzanú 36	1938	4114	SW	Piedra tallada
Yuzanú 36	1939	4114	SW	Piedra tallada
Yuzanú 36	1940	4112	SW	Hueso
Yuzanú 36	1941	4112	SW	Piedra tallada
Yuzanú 36	1942	4112	SW	Piedra tallada
Yuzanú 36	1943	4112	SW	Piedra con fractura térmica
Yuzanú 36	1944	4112	SW	Piedra con fractura térmica
Yuzanú 36	1945	4112	SW	Piedra con fractura térmica
Yuzanú 36	1946	4112	SW	Piedra con fractura térmica
Yuzanú 36	1947	4112	SW	Piedra tallada
Yuzanú 36	1948	4111	SW	Piedra tallada
Yuzanú 36	1949	4113	SW	Piedra con fractura térmica
Yuzanú 36	1950	4114	SW	Piedra con fractura térmica
Yuzanú 36	1951	4114	SW	Piedra tallada
Yuzanú 36	1952	4114	SW	Piedra con fractura térmica
Yuzanú 36	1953	4114	SW	Piedra tallada
Yuzanú 36	1954	4114	SW	Piedra tallada
Yuzanú 36	1955	4114	SW	Piedra tallada
Yuzanú 36	1956	4114	SW	Piedra tallada
Yuzanú 36	1957	4111	SW	Piedra tallada

n/a=no aplicable; p/a=por asignar

Tabla 4.3. **Registro general de objetos numerados.**

Sitio	No.	Lote	Cuadrante	Categoría
Yuzanú 36	1958	4111	SW	Piedra con fractura térmica
Yuzanú 36	1959	4112	SW	Piedra con fractura térmica
Yuzanú 36	1960	4112	SW	Piedra tallada
Yuzanú 36	1961	4112	SW	Piedra con fractura térmica
Yuzanú 36	1962	4113	NW	Piedra tallada
Yuzanú 36	1963	4113	NW	Piedra con fractura térmica
Yuzanú 36	1964	4113	NW	Piedra tallada
Yuzanú 36	1965	4113	NW	Piedra tallada
Yuzanú 36	1966	4113	NW	Piedra tallada
Yuzanú 36	1967	4114	NW	Piedra tallada
Yuzanú 36	1968	4114	NW	Piedra con fractura térmica
Yuzanú 36	1969	4114	NW	Piedra tallada
Yuzanú 36	1970	4114	NW	Piedra con fractura térmica
Yuzanú 36	1971	4114	NW	Piedra tallada
Yuzanú 36	1972	4114	NW	Piedra tallada
Yuzanú 36	1973	4114	NW	Piedra tallada
Yuzanú 36	1974	4114	NW	Piedra tallada
Yuzanú 36	1975	4114	NW	Piedra con fractura térmica
Yuzanú 36	1976	4112	SW	Piedra tallada
Yuzanú 36	1977	4114	NW	Piedra tallada
Yuzanú 36	1978	p/a	p/a	Tierra
Yuzanú 36	1979	4111	NW	Piedra tallada
Yuzanú 36	1980	4111	NW	Piedra con fractura térmica
Yuzanú 36	1981	4112	NW	Piedra tallada
Yuzanú 36	1982	4112	NW	Hueso
Yuzanú 36	1983	4112	NW	Piedra con fractura térmica
Yuzanú 36	1984	4112	NW	Piedra tallada
Yuzanú 36	1985	4112	NW	Piedra tallada
Yuzanú 36	1986	4112	NW	Piedra tallada
Yuzanú 36	1987	4112	NW	Piedra con fractura térmica
Yuzanú 36	1988	4112	NW	Piedra con fractura térmica
Yuzanú 36	1989	4112	NW	Piedra con fractura térmica
Yuzanú 36	1990	4112	NW	Piedra tallada
Yuzanú 36	1991	4112	NW	Piedra con fractura térmica
Yuzanú 36	1992	4112	SW	Piedra tallada
Yuzanú 36	1993	4112	SW	Piedra tallada
Yuzanú 36	1994	4113	NW	Piedra con fractura térmica
Yuzanú 36	1995	4113	NW	Piedra con fractura térmica
Yuzanú 36	1996	4113	NW	Piedra con fractura térmica
Yuzanú 36	1997	4114	NW	Piedra con fractura térmica
Yuzanú 36	1998	4114	NW	Piedra con fractura térmica
Yuzanú 36	1999	4114	NW	Piedra tallada
Yuzanú 36	2000	4114	NW	Piedra tallada
Yuzanú 36	2001	4114	NW	Piedra con fractura térmica
Yuzanú 36	2002	4114	NW	Hueso
Yuzanú 36	2003	4114	NW	Piedra tallada

n/a=no aplicable; p/a=por asignar

Tabla 4.3. **Registro general de objetos numerados.**

Sitio	No.	Lote	Cuadrante	Categoría
Yuzanú 36	2004	4114	NE	Piedra tallada
Yuzanú 36	2005	4114	NW	Piedra tallada
Yuzanú 36	2006	4114	NW	Piedra tallada
Yuzanú 36	2007	4114	NW	Piedra con fractura térmica
Yuzanú 36	2008	4114	NW	Piedra con fractura térmica
Yuzanú 36	2009	4114	NW	Piedra tallada
Yuzanú 36	2010	4111	NW	Piedra tallada
Yuzanú 36	2011	4111	NW	Piedra no modificada
Yuzanú 36	2012	4111	NW	Piedra con fractura térmica
Yuzanú 36	2013	4111	NW	Piedra tallada
Yuzanú 36	2014	4112	NW	Piedra tallada
Yuzanú 36	2015	4112	NW	Piedra con fractura térmica
Yuzanú 36	2016	4112	NW	Piedra tallada
Yuzanú 36	2017	4112	NW	Piedra con fractura térmica
Yuzanú 36	2017	4114	NW	Piedra con fractura térmica
Yuzanú 36	2018	4113	NW	Piedra tallada
Yuzanú 36	2019	4114	NW	Piedra con fractura térmica
Yuzanú 36	2020	4114	NW	Piedra tallada
Yuzanú 36	2021	4114	NW	Piedra tallada
Yuzanú 36	2022	4114	NW	Piedra con fractura térmica
Yuzanú 36	2023	4114	NW	Piedra con fractura térmica
Yuzanú 36	2024	4114	NW	Piedra tallada
Yuzanú 36	2025	4114	NW	Piedra tallada
Yuzanú 36	2026	4114	NW	Hueso
Yuzanú 36	2027	4114	NW	Hueso
Yuzanú 36	2028	4112	NW	Piedra tallada
Yuzanú 36	2029	4112	NW	Hueso
Yuzanú 36	2030	4113	NW	Piedra tallada
Yuzanú 36	2031	4112	NW	Piedra tallada
Yuzanú 36	2032	4115	NE	Piedra tallada
Yuzanú 36	2033	4115	NE	Piedra tallada
Yuzanú 36	2034	4115	NE	Piedra no modificada
Yuzanú 36	2035	4115	NE	Piedra tallada
Yuzanú 36	2036	4115	NE	Piedra tallada
Yuzanú 36	2037	4115	NE	Piedra con fractura térmica
Yuzanú 36	2038	4117	NE	Piedra tallada
Yuzanú 36	2039	4118	NE	Piedra tallada
Yuzanú 36	2040	4118	NE	Piedra tallada
Yuzanú 36	2041	4118	NE	Piedra tallada
Yuzanú 36	2042	4118	NE	Piedra tallada
Yuzanú 36	2043	4118	NE	Piedra tallada
Yuzanú 36	2044	4118	NE	Piedra tallada
Yuzanú 36	2045	4116	NE	Piedra con fractura térmica
Yuzanú 36	2046	4117	NE	Piedra tallada
Yuzanú 36	2047	4117	NE	Piedra con fractura térmica
Yuzanú 36	2048	4118	NE	Piedra tallada

n/a=no aplicable; p/a=por asignar

Tabla 4.3. **Registro general de objetos numerados.**

Sitio	No.	Lote	Cuadrante	Categoría
Yuzanú 36	2049	4115	NE	Piedra con fractura térmica
Yuzanú 36	2050	4116	NE	Piedra tallada
Yuzanú 36	2051	4117	NE	Piedra tallada
Yuzanú 36	2052	4117	NE	Piedra no modificada
Yuzanú 36	2053	4117	NE	Piedra tallada
Yuzanú 36	2054	4118	NE	Piedra tallada
Yuzanú 36	2055	4118	NE	Piedra con fractura térmica
Yuzanú 36	2056	4118	NE	Piedra con fractura térmica
Yuzanú 36	2057	4118	NE	Piedra tallada
Yuzanú 36	2058	4116	SE	Piedra con fractura térmica
Yuzanú 36	2059	4116	SE	Piedra con fractura térmica
Yuzanú 36	2060	4116	SE	Piedra tallada
Yuzanú 36	2061	4116	SE	Piedra no modificada
Yuzanú 36	2062	4118	SE	Piedra con fractura térmica
Yuzanú 36	2063	4118	SE	Piedra con fractura térmica
Yuzanú 36	2064	4118	SE	Piedra tallada
Yuzanú 36	2065	4118	SE	Piedra tallada
Yuzanú 36	2066	4118	SE	Piedra tallada
Yuzanú 36	2067	4128	SE	Piedra tallada
Yuzanú 36	2068	4118	SE	Piedra tallada
Yuzanú 36	2069	4118	SE	Piedra con fractura térmica
Yuzanú 36	2070	4117	SE	Piedra con fractura térmica
Yuzanú 36	2071	4017	SE	Piedra con fractura térmica
Yuzanú 36	2072	4117	SE	Piedra tallada
Yuzanú 36	2073	4117	SE	Piedra tallada
Yuzanú 36	2074	4117	SE	Piedra tallada
Yuzanú 36	2075	4115	SE	Piedra con fractura térmica
Yuzanú 36	2076	4115	SE	Piedra tallada
Yuzanú 36	2077	4116	SE	Piedra tallada
Yuzanú 36	2078	4116	SE	Piedra con fractura térmica
Yuzanú 36	2079	4116	SE	Piedra con fractura térmica
Yuzanú 36	2080	4116	SE	Piedra con fractura térmica
Yuzanú 36	2081	4117	SW	Piedra con fractura térmica
Yuzanú 36	2082	4117	SW	Piedra tallada
Yuzanú 36	2083	4117	SW	Piedra tallada
Yuzanú 36	2084	4117	SW	Piedra tallada
Yuzanú 36	2085	4118	SW	Piedra tallada
Yuzanú 36	2086	4118	SW	Piedra tallada
Yuzanú 36	2087	4118	SW	Piedra tallada
Yuzanú 36	2088	4118	SW	Piedra tallada
Yuzanú 36	2089	4118	SW	Piedra no modificada
Yuzanú 36	2089	4118	SW	Hueso
Yuzanú 36	2090	4119	NW	Piedra con fractura térmica
Yuzanú 36	2091	4130	n/a	Piedra no modificada
Yuzanú 36	2092	4130	n/a	Piedra no modificada
Yuzanú 36	2093	4130	n/a	Piedra con fractura térmica

n/a=no aplicable; p/a=por asignar

Tabla 4.3. **Registro general de objetos numerados.**

Sitio	No.	Lote	Cuadrante	Categoría
Yuzanú 36	2094	4130	n/a	Piedra con fractura térmica
Yuzanú 36	2095	4130	n/a	Piedra con fractura térmica
Yuzanú 36	2096	4115	SW	Piedra con fractura térmica
Yuzanú 36	2097	4115	SW	Piedra con fractura térmica
Yuzanú 36	2098	4115	SW	Piedra con fractura térmica
Yuzanú 36	2099	4116	SW	Piedra con fractura térmica
Yuzanú 36	2100	4116	SW	Piedra con fractura térmica
Yuzanú 36	2101	4116	SW	Piedra tallada
Yuzanú 36	2102	4116	SW	Piedra tallada
Yuzanú 36	2103	4127	NW	Piedra tallada
Yuzanú 36	2103	4116	SW	Piedra tallada
Yuzanú 36	2104	4117	SW	Piedra con fractura térmica
Yuzanú 36	2105	4117	SW	Piedra con fractura térmica
Yuzanú 36	2106	4117	SW	Piedra con fractura térmica
Yuzanú 36	2107	4117	SW	Piedra con fractura térmica
Yuzanú 36	2108	4117	SW	Piedra con fractura térmica
Yuzanú 36	2109	4118	SW	Piedra tallada
Yuzanú 36	2110	4118	SW	Piedra con fractura térmica
Yuzanú 36	2111	4118	SW	Piedra tallada
Yuzanú 36	2112	4118	SW	Piedra tallada
Yuzanú 36	2113	4118	SW	Piedra tallada
Yuzanú 36	2114	4118	SW	Piedra tallada
Yuzanú 36	2115	4115	SW	Piedra tallada
Yuzanú 36	2116	4118	SW	Piedra con fractura térmica
Yuzanú 36	2117	4118	SW	Piedra tallada
Yuzanú 36	2118	4119	SW	Piedra tallada
Yuzanú 36	2119	4119	SW	Piedra no modificada
Yuzanú 36	2120	4119	SW	Piedra con fractura térmica
Yuzanú 36	2121	4119	NW	Piedra tallada
Yuzanú 36	2122	4119	SW	Piedra con fractura térmica
Yuzanú 36	2123	4116	SW	Piedra tallada
Yuzanú 36	2124	4116	SW	Piedra tallada
Yuzanú 36	2125	4116	SW	Piedra no modificada
Yuzanú 36	2126	4115	SW	Piedra con fractura térmica
Yuzanú 36	2127	4115	SW	Piedra con fractura térmica
Yuzanú 36	2128	4117	SW	Piedra tallada
Yuzanú 36	2129	4118	SW	Piedra tallada
Yuzanú 36	2130	4118	SW	Piedra con fractura térmica
Yuzanú 36	2131	4118	SW	Hueso
Yuzanú 36	2132	4118	SW	Piedra tallada
Yuzanú 36	2133	4115	SW	Piedra tallada
Yuzanú 36	2134	4115	SW	Piedra tallada
Yuzanú 36	2135	4115	NW	Piedra no modificada
Yuzanú 36	2136	4115	NW	Piedra con fractura térmica
Yuzanú 36	2136	4115	NW	Piedra tallada
Yuzanú 36	2138	4115	NW	Piedra tallada

n/a=no aplicable; p/a=por asignar

Tabla 4.3. **Registro general de objetos numerados.**

Sitio	No.	Lote	Cuadrante	Categoría
Yuzanú 36	2139	4115	NW	Hueso
Yuzanú 36	2140	4115	NW	Piedra con fractura térmica
Yuzanú 36	2141	4115	NW	Piedra con fractura térmica
Yuzanú 36	2142	4117	NW	Piedra con fractura térmica
Yuzanú 36	2143	4116	NW	Piedra con fractura térmica
Yuzanú 36	2144	4116	NW	Piedra con fractura térmica
Yuzanú 36	2145	4116	NW	Piedra no modificada
Yuzanú 36	2146	4116	NW	Hueso
Yuzanú 36	2147	4117	NW	Piedra tallada
Yuzanú 36	2148	4118	NW	Piedra tallada
Yuzanú 36	2149	4118	NW	Piedra tallada
Yuzanú 36	2150	4118	NW	Piedra tallada
Yuzanú 36	2151	4118	NW	Piedra tallada
Yuzanú 36	2152	4118	NW	Piedra con fractura térmica
Yuzanú 36	2153	4118	NW	Piedra con fractura térmica
Yuzanú 36	2154	4118	SW	Piedra tallada
Yuzanú 36	2155	4118	NW	Hueso
Yuzanú 36	2156	4115	NW	Piedra con fractura térmica
Yuzanú 36	2157	4115	NW	Piedra con fractura térmica
Yuzanú 36	2158	4118	NW	Piedra tallada
Yuzanú 36	2159	4118	NW	Piedra tallada
Yuzanú 36	2160	4118	NW	Piedra tallada
Yuzanú 36	2161	4118	NW	Piedra tallada
Yuzanú 36	2162	4115	NW	Piedra con fractura térmica
Yuzanú 36	2163	4118	NW	Piedra con fractura térmica
Yuzanú 36	2164	4118	NW	Piedra tallada
Yuzanú 36	2165	4118	NW	Piedra con fractura térmica
Yuzanú 36	2166	4118	NW	Piedra tallada
Yuzanú 36	2167	4118	NW	Hueso
Yuzanú 36	2168	4118	NW	Piedra con fractura térmica
Yuzanú 36	2169	4118	NW	Piedra con fractura térmica
Yuzanú 36	2170	4115	NW	Piedra tallada
Yuzanú 36	2171	4115	NW	Piedra tallada
Yuzanú 36	2172	4118	NE	Piedra con fractura térmica
Yuzanú 36	2173	4115	NW	Piedra con fractura térmica
Yuzanú 36	2174	4120	NE	Piedra con fractura térmica
Yuzanú 36	2175	4120	NE	Piedra con fractura térmica
Yuzanú 36	2176	4121	NE	Piedra con fractura térmica
Yuzanú 36	2177	4121	NE	Piedra tallada
Yuzanú 36	2178	4122	NE	Piedra tallada
Yuzanú 36	2179	4122	NE	Piedra con fractura térmica
Yuzanú 36	2180	4122	NE	Piedra no modificada
Yuzanú 36	2181	4123	NE	Piedra con fractura térmica
Yuzanú 36	2182	4123	NE	Piedra tallada
Yuzanú 36	2183	4123	NE	Hueso
Yuzanú 36	2184	4121	NE	Piedra con fractura térmica

n/a=no aplicable; p/a=por asignar

Tabla 4.3. **Registro general de objetos numerados.**

Sitio	No.	Lote	Cuadrante	Categoría
Yuzanú 36	2185	4121	NE	Piedra con fractura térmica
Yuzanú 36	2186	4118	SW	Piedra tallada
Yuzanú 36	2186	4121	NE	Piedra tallada
Yuzanú 36	2187	4121	NE	Piedra tallada
Yuzanú 36	2188	4122	NE	Piedra con fractura térmica
Yuzanú 36	2189	4122	NE	Piedra con fractura térmica
Yuzanú 36	2190	4122	NE	Piedra no modificada
Yuzanú 36	2191	4123	NE	Piedra con fractura térmica
Yuzanú 36	2192	4123	NE	Piedra con fractura térmica
Yuzanú 36	2193	4123	NE	Piedra tallada
Yuzanú 36	2194	4123	NE	Piedra tallada
Yuzanú 36	2195	4120	NE	Piedra tallada
Yuzanú 36	2196	4121	NE	Piedra tallada
Yuzanú 36	2197	4121	NE	Piedra con fractura térmica
Yuzanú 36	2198	4121	NE	Piedra con fractura térmica
Yuzanú 36	2199	4121	NE	Piedra con fractura térmica
Yuzanú 36	2200	4122	NE	Piedra con fractura térmica
Yuzanú 36	2201	4122	NE	Piedra con fractura térmica
Yuzanú 36	2202	4122	NE	Piedra con fractura térmica
Yuzanú 36	2203	4122	NE	Piedra con fractura térmica
Yuzanú 36	2204	4122	NE	Piedra con fractura térmica
Yuzanú 36	2205	4123	NE	Hueso
Yuzanú 36	2206	4123	NE	Piedra con fractura térmica
Yuzanú 36	2207	4123	NE	Piedra con fractura térmica
Yuzanú 36	2208	4123	NE	Piedra con fractura térmica
Yuzanú 36	2209	4123	NE	Piedra tallada
Yuzanú 36	2210	4123	NE	Piedra tallada
Yuzanú 36	2211	4120	NE	Piedra con fractura térmica
Yuzanú 36	2212	4120	NE	Piedra tallada
Yuzanú 36	2213	4121	NE	Piedra tallada
Yuzanú 36	2214	4121	NE	Piedra tallada
Yuzanú 36	2215	4121	NE	Piedra tallada
Yuzanú 36	2216	4121	NE	Piedra con fractura térmica
Yuzanú 36	2217	4122	NE	Piedra con fractura térmica
Yuzanú 36	2218	4122	NE	Piedra tallada
Yuzanú 36	2219	4122	NE	Piedra tallada
Yuzanú 36	2220	4123	NE	Piedra tallada
Yuzanú 36	2221	4123	NE	Piedra con fractura térmica
Yuzanú 36	2222	4123	NE	Piedra con fractura térmica
Yuzanú 36	2223	4123	NE	Piedra con fractura térmica
Yuzanú 36	2224	4123	NE	Piedra con fractura térmica
Yuzanú 36	2225	4123	NE	Piedra con fractura térmica
Yuzanú 36	2226	4123	NE	Piedra con fractura térmica
Yuzanú 36	2227	4123	NE	Piedra tallada
Yuzanú 36	2228	4123	NE	Piedra tallada
Yuzanú 36	2229	4121	NE	Piedra tallada

n/a=no aplicable; p/a=por asignar

Tabla 4.3. **Registro general de objetos numerados.**

Sitio	No.	Lote	Cuadrante	Categoría
Yuzanú 36	2230	4120	NE	Piedra con fractura térmica
Yuzanú 36	2231	4120	SE	Piedra tallada
Yuzanú 36	2232	4120	SE	Piedra tallada
Yuzanú 36	2233	4121	SE	Piedra tallada
Yuzanú 36	2234	4121	SE	Piedra tallada
Yuzanú 36	2235	4121	SE	Piedra tallada
Yuzanú 36	2236	4121	SE	Piedra tallada
Yuzanú 36	2237	4121	SE	Piedra tallada
Yuzanú 36	2238	4122	SE	Piedra con fractura térmica
Yuzanú 36	2239	4122	SE	Piedra tallada
Yuzanú 36	2240	4122	SE	Piedra con fractura térmica
Yuzanú 36	2241	4122	SE	Piedra tallada
Yuzanú 36	2242	4122	SE	Hueso
Yuzanú 36	2243	4122	SE	Piedra con fractura térmica
Yuzanú 36	2244	4123	NE	Piedra con fractura térmica
Yuzanú 36	2245	4123	NE	Piedra tallada
Yuzanú 36	2246	4123	NE	Piedra tallada
Yuzanú 36	2247	4123	NE	Piedra con fractura térmica
Yuzanú 36	2248	4123	NE	Piedra tallada
Yuzanú 36	2249	4123	NE	Hueso
Yuzanú 36	2250	4120	SE	Piedra con fractura térmica
Yuzanú 36	2251	4121	SE	Piedra tallada
Yuzanú 36	2252	4121	SE	Piedra tallada
Yuzanú 36	2253	4122	SE	Piedra con fractura térmica
Yuzanú 36	2253	4122	SE	Piedra con fractura térmica
Yuzanú 36	2253	4122	SE	Piedra tallada
Yuzanú 36	2254	4122	SE	Piedra con fractura térmica
Yuzanú 36	2255	4122	SE	Piedra con fractura térmica
Yuzanú 36	2256	4122	SE	Piedra con fractura térmica
Yuzanú 36	2257	4122	SE	Piedra con fractura térmica
Yuzanú 36	2258	4122	SE	Piedra con fractura térmica
Yuzanú 36	2259	4123	SE	Piedra tallada
Yuzanú 36	2260	4123	SE	Piedra con fractura térmica
Yuzanú 36	2261	4123	SE	Piedra con fractura térmica
Yuzanú 36	2262	4120	SE	Piedra con fractura térmica
Yuzanú 36	2263	4120	SE	Piedra con fractura térmica
Yuzanú 36	2264	4120	SE	Piedra con fractura térmica
Yuzanú 36	2265	4120	SE	Piedra con fractura térmica
Yuzanú 36	2266	4120	SE	Piedra con fractura térmica
Yuzanú 36	2267	4121	SE	Piedra tallada
Yuzanú 36	2268	4121	SE	Piedra con fractura térmica
Yuzanú 36	2269	4121	SE	Piedra tallada
Yuzanú 36	2270	4121	SE	Piedra con fractura térmica
Yuzanú 36	2271	4121	SE	Piedra tallada
Yuzanú 36	2272	4122	SE	Piedra con fractura térmica
Yuzanú 36	2273	4122	SE	Piedra con fractura térmica

n/a=no aplicable; p/a=por asignar

Tabla 4.3. **Registro general de objetos numerados.**

Sitio	No.	Lote	Cuadrante	Categoría
Yuzanú 36	2274	4122	SE	Piedra tallada
Yuzanú 36	2275	4122	SE	Piedra con fractura térmica
Yuzanú 36	2276	4123	SE	Piedra tallada
Yuzanú 36	2277	4123	SE	Piedra con fractura térmica
Yuzanú 36	2278	4123	SE	Piedra tallada
Yuzanú 36	2279	4123	SE	Piedra con fractura térmica
Yuzanú 36	2280	4123	SE	Piedra tallada
Yuzanú 36	2281	4122	SE	Piedra tallada
Yuzanú 36	2282	4122	SE	Piedra no modificada
Yuzanú 36	2283	4122	p/a	Piedra con fractura térmica
Yuzanú 36	2284	4120	SE	Piedra tallada
Yuzanú 36	2285	4120	SE	Piedra tallada
Yuzanú 36	2286	4124	SW	Piedra con fractura térmica
Yuzanú 36	2287	4124	SW	Piedra con fractura térmica
Yuzanú 36	2288	4124	SW	Piedra con fractura térmica
Yuzanú 36	2289	4124	SW	Piedra con fractura térmica
Yuzanú 36	2290	4124	SW	Piedra con fractura térmica
Yuzanú 36	2291	p/a	p/a	Piedra con fractura térmica
Yuzanú 36	2292	4124	SW	Piedra no modificada
Yuzanú 36	2293	4124	SW	Piedra no modificada
Yuzanú 36	2294	4124	SW	Piedra con fractura térmica
Yuzanú 36	2295	4124	SW	Piedra con fractura térmica
Yuzanú 36	2296	4124	SW	Piedra con fractura térmica
Yuzanú 36	2297	4124	SW	Piedra con fractura térmica
Yuzanú 36	2298	4124	SW	Piedra con fractura térmica
Yuzanú 36	2299	4124	SW	Piedra con fractura térmica
Yuzanú 36	2300	4124	SW	Piedra con fractura térmica
Yuzanú 36	2301	4124	SW	Piedra tallada
Yuzanú 36	2302	4120	SE	Piedra con fractura térmica
Yuzanú 36	2303	4121	SE	Piedra tallada
Yuzanú 36	2304	4121	SW	Piedra tallada
Yuzanú 36	2305	4121	SW	Piedra tallada
Yuzanú 36	2306	4122	SE	Piedra con fractura térmica
Yuzanú 36	2307	4122	SE	Piedra con fractura térmica
Yuzanú 36	2308	4122	NW	Piedra con fractura térmica
Yuzanú 36	2309	4122	NW	Piedra con fractura térmica
Yuzanú 36	2310	4123	SE	Piedra tallada
Yuzanú 36	2311	4123	SE	Piedra con fractura térmica
Yuzanú 36	2312	4123	SE	Piedra no modificada
Yuzanú 36	2313	4123	SE	Piedra tallada
Yuzanú 36	2314	4123	SE	Piedra con fractura térmica
Yuzanú 36	2315	4123	SE	Piedra tallada
Yuzanú 36	2316	4121	SW	Piedra tallada
Yuzanú 36	2317	4124	SW	Piedra tallada
Yuzanú 36	2318	4124	SW	Piedra con fractura térmica
Yuzanú 36	2319	4122	NW	Piedra con fractura térmica

n/a=no aplicable; p/a=por asignar

Tabla 4.3. **Registro general de objetos numerados.**

Sitio	No.	Lote	Cuadrante	Categoría
Yuzanú 36	2320	4122	NW	Piedra con fractura térmica
Yuzanú 36	2321	4120	SE	Piedra con fractura térmica
Yuzanú 36	2322	4120	SE	Piedra tallada
Yuzanú 36	2323	4120	SE	Piedra con fractura térmica
Yuzanú 36	2324	4121	SW	Piedra tallada
Yuzanú 36	2325	4121	SW	Piedra tallada
Yuzanú 36	2326	4121	SW	Piedra tallada
Yuzanú 36	2327	4121	SW	Piedra con fractura térmica
Yuzanú 36	2328	4123	SE	Piedra tallada
Yuzanú 36	2329	4124	NW	Piedra tallada
Yuzanú 36	2330	4124	NW	Piedra con fractura térmica
Yuzanú 36	2331	4120	SE	Piedra tallada
Yuzanú 36	2332	4120	SW	Piedra con fractura térmica
Yuzanú 36	2333	4120	SW	Piedra con fractura térmica
Yuzanú 36	2334	4120	SW	Piedra con fractura térmica
Yuzanú 36	2335	4121	SW	Piedra tallada
Yuzanú 36	2336	4121	SW	Piedra con fractura térmica
Yuzanú 36	2337	4121	SW	Hueso
Yuzanú 36	2338	4121	SW	Piedra con fractura térmica
Yuzanú 36	2339	4121	SW	Piedra con fractura térmica
Yuzanú 36	2340	4121	SW	Piedra tallada
Yuzanú 36	2341	4122	SW	Piedra con fractura térmica
Yuzanú 36	2342	4123	SW	Piedra tallada
Yuzanú 36	2343	4123	SW	Hueso
Yuzanú 36	2344	4123	SW	Piedra tallada
Yuzanú 36	2345	4123	SW	Piedra tallada
Yuzanú 36	2346	4123	SW	Piedra con fractura térmica
Yuzanú 36	2347	4120	SW	Piedra no modificada
Yuzanú 36	2348	4120	SW	Piedra no modificada
Yuzanú 36	2349	4120	SW	Piedra con fractura térmica
Yuzanú 36	2350	4121	SW	Piedra tallada
Yuzanú 36	2351	4121	SW	Piedra tallada
Yuzanú 36	2352	4121	SW	Piedra con fractura térmica
Yuzanú 36	2353	4123	SW	Piedra con fractura térmica
Yuzanú 36	2354	4123	SW	Piedra con fractura térmica
Yuzanú 36	2355	4123	SW	Hueso
Yuzanú 36	2356	4120	SW	Piedra con fractura térmica
Yuzanú 36	2357	4120	SW	Piedra con fractura térmica
Yuzanú 36	2358	4120	SW	Piedra con fractura térmica
Yuzanú 36	2359	4121	SW	Piedra no modificada
Yuzanú 36	2360	4121	NW	Piedra tallada
Yuzanú 36	2361	4121	NW	Piedra tallada
Yuzanú 36	2362	4121	NW	Piedra tallada
Yuzanú 36	2363	4121	NW	Piedra tallada
Yuzanú 36	2364	4121	NW	Piedra con fractura térmica
Yuzanú 36	2365	4121	NW	Piedra con fractura térmica

n/a=no aplicable; p/a=por asignar

Tabla 4.3. **Registro general de objetos numerados.**

Sitio	No.	Lote	Cuadrante	Categoría
Yuzanú 36	2366	4122	SW	Piedra tallada
Yuzanú 36	2367	4122	SW	Piedra con fractura térmica
Yuzanú 36	2368	4122	SW	Piedra con fractura térmica
Yuzanú 36	2369	4122	SW	Piedra tallada
Yuzanú 36	2370	4122	SW	Piedra con fractura térmica
Yuzanú 36	2371	4123	SW	Piedra con fractura térmica
Yuzanú 36	2372	4123	SW	Piedra con fractura térmica
Yuzanú 36	2373	4123	SW	Piedra con fractura térmica
Yuzanú 36	2374	4123	SW	Hueso
Yuzanú 36	2375	4120	SW	Piedra no modificada
Yuzanú 36	2376	4124	SE	Piedra con fractura térmica
Yuzanú 36	2377	4124	SE	Piedra tallada
Yuzanú 36	2378	4120	SW	Piedra tallada
Yuzanú 36	2379	4120	SW	Piedra tallada
Yuzanú 36	2380	4120	SW	Piedra con fractura térmica
Yuzanú 36	2381	4120	SW	Piedra con fractura térmica
Yuzanú 36	2382	4120	SW	Piedra tallada
Yuzanú 36	2383	4120	SW	Piedra tallada
Yuzanú 36	2383	4120	SW	Piedra no modificada
Yuzanú 36	2384	4121	NW	Piedra con fractura térmica
Yuzanú 36	2385	4121	NW	Piedra con fractura térmica
Yuzanú 36	2386	4121	NW	Piedra con fractura térmica
Yuzanú 36	2387	4121	NW	Piedra con fractura térmica
Yuzanú 36	2388	4121	NW	Hueso
Yuzanú 36	2389	4121	NW	Piedra tallada
Yuzanú 36	2390	4121	NW	Piedra con fractura térmica
Yuzanú 36	2391	4120	SW	Piedra con fractura térmica
Yuzanú 36	2392	4122	SW	Piedra con fractura térmica
Yuzanú 36	2393	4122	SW	Piedra tallada
Yuzanú 36	2394	4122	SW	Piedra tallada
Yuzanú 36	2395	4122	SW	Piedra tallada
Yuzanú 36	2396	4122	SW	Piedra tallada
Yuzanú 36	2397	4123	NW	Piedra con fractura térmica
Yuzanú 36	2398	4123	NW	Piedra con fractura térmica
Yuzanú 36	2399	4123	NW	Piedra no modificada
Yuzanú 36	2400	4123	NW	Piedra con fractura térmica
Yuzanú 36	2401	4122	SW	Piedra con fractura térmica
Yuzanú 36	2402	4122	SW	Piedra con fractura térmica
Yuzanú 36	2403	4122	SW	Piedra no modificada
Yuzanú 36	2404	4122	SW	Piedra con fractura térmica
Yuzanú 36	2405	4122	SW	Piedra con fractura térmica
Yuzanú 36	2406	4123	NW	Piedra con fractura térmica
Yuzanú 36	2407	4123	NW	Piedra con fractura térmica
Yuzanú 36	2408	4123	NW	Piedra tallada
Yuzanú 36	2409	4120	NW	Piedra con fractura térmica
Yuzanú 36	2410	4120	NW	Piedra tallada

n/a=no aplicable; p/a=por asignar

Tabla 4.3. **Registro general de objetos numerados.**

Sitio	No.	Lote	Cuadrante	Categoría
Yuzanú 36	2411	4120	NW	Piedra tallada
Yuzanú 36	2412	4120	NW	Piedra tallada
Yuzanú 36	2413	4121	NW	Piedra con fractura térmica
Yuzanú 36	2414	4121	NW	Piedra con fractura térmica
Yuzanú 36	2415	4122	SW	Piedra tallada
Yuzanú 36	2416	4122	SW	Piedra con fractura térmica
Yuzanú 36	2417	4122	SW	Piedra con fractura térmica
Yuzanú 36	2418	4122	SW	Piedra no modificada
Yuzanú 36	2419	4122	SW	Piedra no modificada
Yuzanú 36	2420	4122	SW	Piedra con fractura térmica
Yuzanú 36	2421	4122	SW	Piedra con fractura térmica
Yuzanú 36	2422	4120	NW	Piedra con fractura térmica
Yuzanú 36	2423	4120	NW	Piedra tallada
Yuzanú 36	2424	4120	NW	Piedra tallada
Yuzanú 36	2425	4120	NW	Piedra tallada
Yuzanú 36	2426	4124	SW	Piedra con fractura térmica
Yuzanú 36	2427	4126	NE	Piedra con fractura térmica
Yuzanú 36	2428	4126	NE	Piedra con fractura térmica
Yuzanú 36	2429	4126	NE	Piedra con fractura térmica
Yuzanú 36	2430	4127	NE	Piedra con fractura térmica
Yuzanú 36	2431	4127	NE	Piedra con fractura térmica
Yuzanú 36	2432	4127	NE	Piedra con fractura térmica
Yuzanú 36	2433	4127	NE	Piedra tallada
Yuzanú 36	2434	4127	NE	Piedra con fractura térmica
Yuzanú 36	2435	4127	NE	Hueso
Yuzanú 36	2436	4127	NE	Piedra con fractura térmica
Yuzanú 36	2437	4128	NE	Piedra con fractura térmica
Yuzanú 36	2438	4128	NE	Piedra tallada
Yuzanú 36	2439	4128	NE	Piedra con fractura térmica
Yuzanú 36	2440	4129	NE	Piedra con fractura térmica
Yuzanú 36	2441	4129	NE	Piedra con fractura térmica
Yuzanú 36	2442	4129	NE	Piedra tallada
Yuzanú 36	2443	4129	NE	Piedra con fractura térmica
Yuzanú 36	2444	4128	NE	Piedra tallada
Yuzanú 36	2445	4130	n/a	Piedra tallada
Yuzanú 36	2446	4130	n/a	Piedra con fractura térmica
Yuzanú 36	2447	4130	n/a	Piedra con fractura térmica
Yuzanú 36	2448	4127	NE	Hueso
Yuzanú 36	2449	4127	NE	Piedra tallada
Yuzanú 36	2450	4127	NE	Piedra con fractura térmica
Yuzanú 36	2451	4128	NE	Piedra con fractura térmica
Yuzanú 36	2452	4128	NE	Piedra no modificada
Yuzanú 36	2453	4128	NE	Piedra tallada
Yuzanú 36	2454	4128	NE	Piedra con fractura térmica
Yuzanú 36	2455	4129	NE	Piedra con fractura térmica
Yuzanú 36	2456	4129	NE	Piedra tallada

n/a=no aplicable; p/a=por asignar

Tabla 4.3. **Registro general de objetos numerados.**

Sitio	No.	Lote	Cuadrante	Categoría
Yuzanú 36	2457	4126	NE	Piedra con fractura térmica
Yuzanú 36	2458	4126	NE	Piedra con fractura térmica
Yuzanú 36	2459	4127	NE	Piedra tallada
Yuzanú 36	2460	4127	NE	Piedra tallada
Yuzanú 36	2461	4127	NE	Piedra tallada
Yuzanú 36	2462	4127	NE	Piedra con fractura térmica
Yuzanú 36	2463	4128	NE	Piedra con fractura térmica
Yuzanú 36	2464	4128	NE	Piedra con fractura térmica
Yuzanú 36	2465	4129	NE	Piedra con fractura térmica
Yuzanú 36	2466	4129	NE	Piedra con fractura térmica
Yuzanú 36	2467	4127	NE	Piedra tallada
Yuzanú 36	2467	4127	NE	Piedra no modificada
Yuzanú 36	2468	4126	SE	Piedra con fractura térmica
Yuzanú 36	2469	4127	SE	Piedra con fractura térmica
Yuzanú 36	2470	4127	SE	Piedra con fractura térmica
Yuzanú 36	2471	4127	SE	Piedra tallada
Yuzanú 36	2472	4127	SE	Piedra tallada
Yuzanú 36	2473	4127	SE	Piedra tallada
Yuzanú 36	2474	4127	SE	Piedra tallada
Yuzanú 36	2475	4127	SE	Piedra tallada
Yuzanú 36	2476	4127	SE	Piedra con fractura térmica
Yuzanú 36	2478	4127	SE	Piedra con fractura térmica
Yuzanú 36	2479	4128	NE	Piedra no modificada
Yuzanú 36	2480	4129	SE	Piedra con fractura térmica
Yuzanú 36	2481	4129	SE	Piedra con fractura térmica
Yuzanú 36	2482	4129	SE	Piedra con fractura térmica
Yuzanú 36	2483	4129	SE	Piedra con fractura térmica
Yuzanú 36	2484	4131	SE	Piedra con fractura térmica
Yuzanú 36	2485	4131	SE	Piedra tallada
Yuzanú 36	2486	4126	SE	Piedra tallada
Yuzanú 36	2487	4126	SE	Piedra tallada
Yuzanú 36	2488	4126	SE	Piedra con fractura térmica
Yuzanú 36	2489	4127	SE	Piedra con fractura térmica
Yuzanú 36	2490	4127	SE	Piedra tallada
Yuzanú 36	2491	4127	SE	Piedra tallada
Yuzanú 36	2492	4127	SE	Piedra tallada
Yuzanú 36	2492	4127	SW	Piedra tallada
Yuzanú 36	2493	4127	SE	Piedra con fractura térmica
Yuzanú 36	2494	4127	SE	Hueso
Yuzanú 36	2495	4127	SE	Piedra tallada
Yuzanú 36	2496	4128	SE	Piedra tallada
Yuzanú 36	2497	4128	SE	Piedra tallada
Yuzanú 36	2498	4128	SE	Piedra tallada
Yuzanú 36	2499	4129	SE	Piedra con fractura térmica
Yuzanú 36	2500	4120	SE	Piedra con fractura térmica
Yuzanú 36	2501	4129	SE	Piedra con fractura térmica

n/a=no aplicable; p/a=por asignar

Tabla 4.3. **Registro general de objetos numerados.**

Sitio	No.	Lote	Cuadrante	Categoría
Yuzanú 36	2502	4128	SE	Piedra con fractura térmica
Yuzanú 36	2503	4128	SE	Piedra no modificada
Yuzanú 36	2504	4128	SE	Piedra con fractura térmica
Yuzanú 36	2505	4126	NE	Piedra no modificada
Yuzanú 36	2506	4126	SE	Piedra tallada
Yuzanú 36	2507	4126	SE	Piedra no modificada
Yuzanú 36	2508	4126	SE	Piedra con fractura térmica
Yuzanú 36	2509	4127	SE	Piedra tallada
Yuzanú 36	2510	4127	SE	Piedra con fractura térmica
Yuzanú 36	2511	4127	SE	Piedra tallada
Yuzanú 36	2512	4127	SE	Piedra tallada
Yuzanú 36	2513	4127	SE	Piedra con fractura térmica
Yuzanú 36	2514	4127	SE	Piedra tallada
Yuzanú 36	2515	4128	SE	Piedra con fractura térmica
Yuzanú 36	2516	4128	SE	Piedra con fractura térmica
Yuzanú 36	2517	4128	SE	Piedra tallada
Yuzanú 36	2518	4128	SE	Piedra tallada
Yuzanú 36	2519	4129	SE	Piedra con fractura térmica
Yuzanú 36	2520	4129	SE	Piedra con fractura térmica
Yuzanú 36	2521	4129	SE	Piedra con fractura térmica
Yuzanú 36	2522	4129	SE	Piedra tallada
Yuzanú 36	2523	4129	SE	Hueso
Yuzanú 36	2524	4129	SE	Piedra con fractura térmica
Yuzanú 36	2525	4127	SE	Piedra tallada
Yuzanú 36	2526	4127	SE	Piedra tallada
Yuzanú 36	2527	4128	SE	Piedra tallada
Yuzanú 36	2528	4129	SE	Piedra con fractura térmica
Yuzanú 36	2529	4129	SE	Piedra con fractura térmica
Yuzanú 36	2530	4129	SE	Hueso
Yuzanú 36	2531	4129	SE	Piedra con fractura térmica
Yuzanú 36	2532	4129	SE	Piedra con fractura térmica
Yuzanú 36	2533	4129	SE	Piedra con fractura térmica
Yuzanú 36	2534	4132	SW	Piedra tallada
Yuzanú 36	2535	4126	SW	Piedra con fractura térmica
Yuzanú 36	2536	4127	SE	Piedra tallada
Yuzanú 36	2537	4128	SE	Piedra con fractura térmica
Yuzanú 36	2538	4128	SE	Piedra con fractura térmica
Yuzanú 36	2539	4129	SE	Piedra tallada
Yuzanú 36	2540	4129	SE	Piedra con fractura térmica
Yuzanú 36	2541	4126	SW	Piedra con fractura térmica
Yuzanú 36	2542	4126	SW	Piedra con fractura térmica
Yuzanú 36	2543	4126	SW	Piedra tallada
Yuzanú 36	2544	4127	SW	Piedra tallada
Yuzanú 36	2545	4127	SW	Piedra tallada
Yuzanú 36	2546	4127	SW	Piedra con fractura térmica
Yuzanú 36	2547	4128	SW	Por categorizar

n/a=no aplicable; p/a=por asignar

Tabla 4.3. **Registro general de objetos numerados.**

Sitio	No.	Lote	Cuadrante	Categoría
Yuzanú 36	2548	4128	SW	Piedra con fractura térmica
Yuzanú 36	2549	4128	SW	Piedra con fractura térmica
Yuzanú 36	2550	4129	SW	Piedra con fractura térmica
Yuzanú 36	2551	4129	SW	Piedra tallada
Yuzanú 36	2552	4129	SW	Piedra tallada
Yuzanú 36	2553	4129	SW	Piedra tallada
Yuzanú 36	2554	4126	SW	Piedra con fractura térmica
Yuzanú 36	2555	4126	SW	Piedra no modificada
Yuzanú 36	2556	4126	SW	Piedra con fractura térmica
Yuzanú 36	2557	4126	SW	Piedra con fractura térmica
Yuzanú 36	2558	4127	SW	Piedra no modificada
Yuzanú 36	2558	4127	SW	Piedra tallada
Yuzanú 36	2559	4127	SW	Piedra tallada
Yuzanú 36	2560	4127	SW	Piedra tallada
Yuzanú 36	2561	4127	SW	Piedra tallada
Yuzanú 36	2562	4128	SW	Piedra con fractura térmica
Yuzanú 36	2563	4128	SW	Piedra con fractura térmica
Yuzanú 36	2564	4128	SW	Piedra con fractura térmica
Yuzanú 36	2565	4128	SW	Piedra tallada
Yuzanú 36	2566	4126	SW	Piedra con fractura térmica
Yuzanú 36	2567	4126	SW	Piedra tallada
Yuzanú 36	2568	4126	SW	Piedra tallada
Yuzanú 36	2569	4127	SW	Piedra tallada
Yuzanú 36	2570	4127	SW	Piedra con fractura térmica
Yuzanú 36	2571	4127	SW	Piedra con fractura térmica
Yuzanú 36	2572	4127	SW	Piedra tallada
Yuzanú 36	2573	4127	SW	Piedra no modificada
Yuzanú 36	2574	4127	SW	Hueso
Yuzanú 36	2575	4127	SW	Piedra con fractura térmica
Yuzanú 36	2576	4128	SW	Piedra con fractura térmica
Yuzanú 36	2577	4128	SW	Piedra con fractura térmica
Yuzanú 36	2578	4129	SW	Piedra tallada
Yuzanú 36	2579	4149	SW	Piedra tallada
Yuzanú 36	2580	4129	SW	Piedra con fractura térmica
Yuzanú 36	2581	4129	SW	Piedra tallada
Yuzanú 36	2582	4129	SW	Piedra tallada
Yuzanú 36	2583	4129	SW	Piedra con fractura térmica
Yuzanú 36	2584	4129	SW	Piedra con fractura térmica
Yuzanú 36	2585	4129	SW	Piedra tallada
Yuzanú 36	2586	4132	NE	Piedra con fractura térmica
Yuzanú 36	2587	4126	SW	Piedra con fractura térmica
Yuzanú 36	2588	4127	SW	Piedra tallada
Yuzanú 36	2589	4127	SW	Piedra tallada
Yuzanú 36	2590	4127	SW	Piedra con fractura térmica
Yuzanú 36	2591	4127	SW	Tierra
Yuzanú 36	2592	4127	SW	Piedra tallada

n/a=no aplicable; p/a=por asignar

Tabla 4.3. **Registro general de objetos numerados.**

Sitio	No.	Lote	Cuadrante	Categoría
Yuzanú 36	2593	4127	SW	Piedra con fractura térmica
Yuzanú 36	2594	4127	SW	Piedra con fractura térmica
Yuzanú 36	2595	4127	SW	Piedra no modificada
Yuzanú 36	2596	4129	SW	Piedra con fractura térmica
Yuzanú 36	2597	4129	SW	Piedra con fractura térmica
Yuzanú 36	2598	4129	SW	Piedra tallada
Yuzanú 36	2599	4129	SW	Piedra tallada
Yuzanú 36	2600	4132	SE	Piedra con fractura térmica
Yuzanú 36	2601	4132	SE	Piedra con fractura térmica
Yuzanú 36	2602	4127	NW	Piedra tallada
Yuzanú 36	2603	4127	NW	Piedra tallada
Yuzanú 36	2604	4127	NW	Piedra con fractura térmica
Yuzanú 36	2605	4127	NW	Piedra con fractura térmica
Yuzanú 36	2606	4127	NW	Piedra con fractura térmica
Yuzanú 36	2607	4127	NW	Piedra con fractura térmica
Yuzanú 36	2608	4128	NW	Piedra tallada
Yuzanú 36	2609	4128	NW	Piedra con fractura térmica
Yuzanú 36	2610	4128	NW	Piedra con fractura térmica
Yuzanú 36	2611	4128	NW	Piedra tallada
Yuzanú 36	2612	4128	NW	Piedra con fractura térmica
Yuzanú 36	2613	4128	NW	Piedra no modificada
Yuzanú 36	2614	4128	SW	Piedra tallada
Yuzanú 36	2615	4129	SW	Piedra con fractura térmica
Yuzanú 36	2616	4127	SW	Piedra con fractura térmica
Yuzanú 36	2617	4126	NW	Piedra con fractura térmica
Yuzanú 36	2618	4126	NW	Piedra con fractura térmica
Yuzanú 36	2619	4126	NW	Piedra tallada
Yuzanú 36	2620	4126	NW	Piedra tallada
Yuzanú 36	2621	4127	NW	Piedra no modificada
Yuzanú 36	2622	4127	NW	Piedra tallada
Yuzanú 36	2623	4127	NW	Piedra tallada
Yuzanú 36	2624	4127	NW	Piedra con fractura térmica
Yuzanú 36	2625	4127	NW	Piedra con fractura térmica
Yuzanú 36	2626	4129	SW	Piedra con fractura térmica
Yuzanú 36	2627	4129	NW	Piedra con fractura térmica
Yuzanú 36	2628	4129	NW	Piedra tallada
Yuzanú 36	2629	4132	NW	Piedra con fractura térmica
Yuzanú 36	2630	4132	NW	Piedra con fractura térmica
Yuzanú 36	2631	4126	NW	Piedra tallada
Yuzanú 36	2632	4129	NW	Piedra con fractura térmica
Yuzanú 36	2633	4129	NW	Piedra con fractura térmica
Yuzanú 36	2634	4129	NW	Piedra con fractura térmica
Yuzanú 36	2635	4129	NW	Piedra con fractura térmica
Yuzanú 36	2636	4126	NW	Piedra con fractura térmica
Yuzanú 36	2637	4129	NW	Piedra con fractura térmica
Yuzanú 36	2638	4129	NW	Piedra tallada

n/a=no aplicable; p/a=por asignar

Tabla 4.3. **Registro general de objetos numerados.**

Sitio	No.	Lote	Cuadrante	Categoría
Yuzanú 36	2639	4129	NW	Piedra tallada
Yuzanú 36	2640	4129	NW	Piedra con fractura térmica
Yuzanú 36	2641	4129	NW	Piedra tallada
Yuzanú 36	2642	4129	NW	Piedra tallada
Yuzanú 36	2643	4129	NW	Piedra tallada
Yuzanú 36	2644	4129	NW	Piedra con fractura térmica
Yuzanú 36	2645	4129	NW	Piedra tallada
Yuzanú 36	2646	4129	NW	Piedra con fractura térmica
Yuzanú 36	2647	4129	NW	Piedra con fractura térmica
Yuzanú 36	2648	p/a	p/a	Piedra
Yuzanú 36	2649	4132	NW	Piedra tallada
Yuzanú 36	2650	4132	NW	Hueso
Yuzanú 36	2651	4132	NW	Piedra con fractura térmica
Yuzanú 36	2652	4134	NE	Piedra con fractura térmica
Yuzanú 36	2653	4135	NE	Piedra con fractura térmica
Yuzanú 36	2654	4134	SE	Piedra no modificada
Yuzanú 36	2654	4134	SE	Piedra tallada
Yuzanú 36	2655	4134	SE	Piedra con fractura térmica
Yuzanú 36	2656	4134	SE	Piedra tallada
Yuzanú 36	2657	4135	SE	Piedra con fractura térmica
Yuzanú 36	2658	4136	NE	Piedra con fractura térmica
Yuzanú 36	2659	4136	NE	Piedra no modificada
Yuzanú 36	2660	4136	NE	Piedra tallada
Yuzanú 36	2661	4133	SW	Piedra tallada
Yuzanú 36	2662	4134	SW	Piedra con fractura térmica
Yuzanú 36	2663	4136	SE	Piedra no modificada
Yuzanú 36	2664	4137	n/a	Piedra tallada
Yuzanú 36	2665	4137	n/a	Piedra con fractura térmica
Yuzanú 36	2666	4134	NW	Piedra con fractura térmica
Yuzanú 36	2667	4135	SW	Piedra con fractura térmica
Yuzanú 36	2668	4135	NW	Piedra con fractura térmica
Yuzanú 36	2669	4136	SW	Piedra tallada
Yuzanú 36	2669	4150	NE	Piedra tallada
Yuzanú 36	2670	4138	n/a	Piedra no modificada
Yuzanú 36	2671	4138	n/a	Piedra con fractura térmica
Yuzanú 36	2672	4138	n/a	Piedra con fractura térmica
Yuzanú 36	2673	4138	n/a	Piedra con fractura térmica
Yuzanú 36	2674	4138	n/a	Piedra no modificada
Yuzanú 36	2675	4138	n/a	Piedra tallada
Yuzanú 36	2676	4138	n/a	Piedra con fractura térmica
Yuzanú 36	2677	4140	SW	Piedra con fractura térmica
Yuzanú 36	2678	4140	SW	Piedra con fractura térmica
Yuzanú 36	2679	4138	n/a	Piedra con fractura térmica
Yuzanú 36	2680	4138	n/a	Piedra con fractura térmica
Yuzanú 36	2681	4138	n/a	Piedra con fractura térmica
Yuzanú 36	2682	4130	n/a	Piedra con fractura térmica

n/a=no aplicable; p/a=por asignar

Tabla 4.3. **Registro general de objetos numerados.**

Sitio	No.	Lote	Cuadrante	Categoría
Yuzanú 36	2683	4140	SW	Piedra con fractura térmica
Yuzanú 36	2684	4140	SW	Piedra con fractura térmica
Yuzanú 36	2685	4140	SW	Piedra con fractura térmica
Yuzanú 36	2686	4141	n/a	Piedra con fractura térmica
Yuzanú 36	2687	4141	n/a	Piedra con fractura térmica
Yuzanú 36	2688	4141	n/a	Piedra tallada
Yuzanú 36	2689	4141	n/a	Piedra con fractura térmica
Yuzanú 36	2690	4141	n/a	Piedra con fractura térmica
Yuzanú 36	2691	4143	n/a	Piedra tallada
Yuzanú 36	2691	4143	n/a	Piedra con fractura térmica
Yuzanú 36	2692	4143	n/a	Piedra con fractura térmica
Yuzanú 36	2693	4143	n/a	Piedra con fractura térmica
Yuzanú 36	2694	4143	n/a	Piedra con fractura térmica
Yuzanú 36	2695	4143	n/a	Piedra con fractura térmica
Yuzanú 36	2696	4143	n/a	Piedra con fractura térmica
Yuzanú 36	2697	4141	n/a	Piedra con fractura térmica
Yuzanú 36	2698	4141	n/a	Piedra con fractura térmica
Yuzanú 36	2699	4141	n/a	Piedra con fractura térmica
Yuzanú 36	2700	4141	n/a	Piedra con fractura térmica
Yuzanú 36	2701	4141	n/a	Piedra con fractura térmica
Yuzanú 36	2702	4143	n/a	Piedra con fractura térmica
Yuzanú 36	2703	4143	n/a	Piedra con fractura térmica
Yuzanú 36	2704	4143	n/a	Piedra tallada
Yuzanú 36	2705	4143	n/a	Piedra no modificada
Yuzanú 36	2706	4143	n/a	Piedra tallada
Yuzanú 36	2707	4143	n/a	Piedra con fractura térmica
Yuzanú 36	2708	4140	SW	Piedra tallada
Yuzanú 36	2709	4140	SW	Piedra con fractura térmica
Yuzanú 36	2710	4140	SW	Piedra tallada
Yuzanú 36	2711	4141	n/a	Piedra con fractura térmica
Yuzanú 36	2712	4141	n/a	Piedra con fractura térmica
Yuzanú 36	2713	4141	n/a	Piedra con fractura térmica
Yuzanú 36	2714	4141	n/a	Piedra con fractura térmica
Yuzanú 36	2715	4141	n/a	Piedra con fractura térmica
Yuzanú 36	2716	4142	n/a	Piedra tallada
Yuzanú 36	2717	4142	n/a	Hueso
Yuzanú 36	2718	4140	NW	Piedra con fractura térmica
Yuzanú 36	2719	4141	n/a	Piedra tallada
Yuzanú 36	2720	4141	n/a	Piedra tallada
Yuzanú 36	2721	4141	n/a	Piedra tallada
Yuzanú 36	2722	4141	n/a	Piedra con fractura térmica
Yuzanú 36	2723	4141	n/a	Piedra con fractura térmica
Yuzanú 36	2724	4141	n/a	Piedra con fractura térmica
Yuzanú 36	2725	4141	n/a	Piedra con fractura térmica
Yuzanú 36	2726	4142	n/a	Piedra con fractura térmica
Yuzanú 36	2727	4142	n/a	Piedra con fractura térmica

n/a=no aplicable; p/a=por asignar

Tabla 4.3. **Registro general de objetos numerados.**

Sitio	No.	Lote	Cuadrante	Categoría
Yuzanú 36	2728	4142	n/a	Piedra no modificada
Yuzanú 36	2729	4142	n/a	Piedra con fractura térmica
Yuzanú 36	2730	4142	n/a	Piedra con fractura térmica
Yuzanú 36	2731	4142	n/a	Piedra con fractura térmica
Yuzanú 36	2732	4142	n/a	Piedra no modificada
Yuzanú 36	2733	4142	n/a	Piedra con fractura térmica
Yuzanú 36	2734	4142	n/a	Piedra con fractura térmica
Yuzanú 36	2735	4142	n/a	Piedra con fractura térmica
Yuzanú 36	2736	4142	n/a	Piedra con fractura térmica
Yuzanú 36	2737	4142	n/a	Piedra con fractura térmica
Yuzanú 36	2738	4142	n/a	Piedra con fractura térmica
Yuzanú 36	2739	4141	n/a	Piedra con fractura térmica
Yuzanú 36	2740	4141	n/a	Piedra con fractura térmica
Yuzanú 36	2741	4142	n/a	Piedra tallada
Yuzanú 36	2742	4142	n/a	Piedra con fractura térmica
Yuzanú 36	2743	4142	n/a	Piedra con fractura térmica
Yuzanú 36	2744	4142	n/a	Piedra con fractura térmica
Yuzanú 36	2745	4142	n/a	Piedra con fractura térmica
Yuzanú 36	2746	4142	n/a	Piedra con fractura térmica
Yuzanú 36	2747	4141	n/a	Piedra tallada
Yuzanú 36	2748	4141	n/a	Hueso
Yuzanú 36	2749	4141	n/a	Piedra con fractura térmica
Yuzanú 36	2750	4141	n/a	Piedra tallada
Yuzanú 36	2751	4141	n/a	Piedra tallada
Yuzanú 36	2752	4141	n/a	Piedra tallada
Yuzanú 36	2753	4142	n/a	Piedra tallada
Yuzanú 36	2754	4142	n/a	Piedra con fractura térmica
Yuzanú 36	2755	4142	n/a	Piedra con fractura térmica
Yuzanú 36	2756	4142	n/a	Piedra con fractura térmica
Yuzanú 36	2757	4142	n/a	Piedra con fractura térmica
Yuzanú 36	2758	4140	NE	Piedra tallada
Yuzanú 36	2759	4140	NE	Piedra con fractura térmica
Yuzanú 36	2760	4140	NE	Piedra con fractura térmica
Yuzanú 36	2761	4144	n/a	Piedra con fractura térmica
Yuzanú 36	2762	4144	n/a	Piedra con fractura térmica
Yuzanú 36	2763	4144	n/a	Piedra no modificada
Yuzanú 36	2764	4144	n/a	Piedra tallada
Yuzanú 36	2765	4144	n/a	Piedra tallada
Yuzanú 36	2766	4144	n/a	Piedra tallada
Yuzanú 36	2767	4144	n/a	Piedra tallada
Yuzanú 36	2768	4144	n/a	Piedra con fractura térmica
Yuzanú 36	2769	4144	n/a	Piedra con fractura térmica
Yuzanú 36	2770	4144	n/a	Piedra tallada
Yuzanú 36	2771	4144	n/a	Piedra con fractura térmica
Yuzanú 36	2772	4144	n/a	Piedra tallada
Yuzanú 36	2773	4144	n/a	Piedra con fractura térmica

n/a=no aplicable; p/a=por asignar

Tabla 4.3. **Registro general de objetos numerados.**

Sitio	No.	Lote	Cuadrante	Categoría
Yuzanú 36	2774	4138	n/a	Piedra tallada
Yuzanú 36	2775	4144	n/a	Piedra con fractura térmica
Yuzanú 36	2776	4144	n/a	Piedra con fractura térmica
Yuzanú 36	2777	4144	n/a	Piedra con fractura térmica
Yuzanú 36	2778	4144	n/a	Piedra con fractura térmica
Yuzanú 36	2779	4138	n/a	Piedra tallada
Yuzanú 36	2780	4144	n/a	Piedra no modificada
Yuzanú 36	2781	4144	n/a	Piedra no modificada
Yuzanú 36	2781	4144	n/a	Piedra tallada
Yuzanú 36	2782	4144	n/a	Piedra tallada
Yuzanú 36	2783	4144	n/a	Piedra con fractura térmica
Yuzanú 36	2784	4144	n/a	Piedra tallada
Yuzanú 36	2785	4144	n/a	Piedra con fractura térmica
Yuzanú 36	2786	4144	n/a	Piedra tallada
Yuzanú 36	2787	4144	n/a	Piedra con fractura térmica
Yuzanú 36	2788	4144	n/a	Piedra con fractura térmica
Yuzanú 36	2789	4140	SE	Piedra con fractura térmica
Yuzanú 36	2790	4144	n/a	Piedra tallada
Yuzanú 36	2791	4144	n/a	Piedra con fractura térmica
Yuzanú 36	2792	4144	n/a	Piedra con fractura térmica
Yuzanú 36	2793	4144	n/a	Piedra no modificada
Yuzanú 36	2794	4144	n/a	Piedra no modificada
Yuzanú 36	2794	4144	n/a	Piedra tallada
Yuzanú 36	2795	4144	n/a	Piedra con fractura térmica
Yuzanú 36	2796	4144	n/a	Piedra pulida
Yuzanú 36	2797	4144	n/a	Piedra con fractura térmica
Yuzanú 36	2798	4139	n/a	Piedra con fractura térmica
Yuzanú 36	2799	4140	SE	Piedra con fractura térmica
Yuzanú 36	2800	4140	SE	Piedra no modificada
Yuzanú 36	2801	4140	SE	Piedra con fractura térmica
Yuzanú 36	2802	4140	SE	Piedra con fractura térmica
Yuzanú 36	2803	4140	SE	Piedra tallada
Yuzanú 36	2804	4140	SE	Piedra no modificada
Yuzanú 36	2805	4131	NE	Piedra tallada
Yuzanú 36	2806	4145	n/a	Piedra con fractura térmica
Yuzanú 36	2807	4145	n/a	Piedra con fractura térmica
Yuzanú 36	2808	4145	n/a	Piedra con fractura térmica
Yuzanú 36	2809	4125	n/a	Piedra con fractura térmica
Yuzanú 36	2810	4145	n/a	Piedra no modificada
Yuzanú 36	2811	4145	n/a	Piedra con fractura térmica
Yuzanú 36	2812	4145	n/a	Piedra con fractura térmica
Yuzanú 36	2813	4145	n/a	Piedra con fractura térmica
Yuzanú 36	2814	4145	n/a	Piedra tallada
Yuzanú 36	2815	4146	n/a	Piedra con fractura térmica
Yuzanú 36	2816	4146	n/a	Piedra tallada
Yuzanú 36	2817	4146	n/a	Piedra tallada

n/a=no aplicable; p/a=por asignar

Tabla 4.3. **Registro general de objetos numerados.**

Sitio	No.	Lote	Cuadrante	Categoría
Yuzanú 36	2818	4146	n/a	Piedra no modificada
Yuzanú 36	2819	4146	n/a	Piedra con fractura térmica
Yuzanú 36	2820	4146	n/a	Piedra con fractura térmica
Yuzanú 36	2821	4146	n/a	Hueso
Yuzanú 36	2822	4145	n/a	Piedra tallada
Yuzanú 36	2823	4147	n/a	Por categorizar
Yuzanú 36	2824	4149	NE	Piedra con fractura térmica
Yuzanú 36	2825	4149	NE	Piedra con fractura térmica
Yuzanú 36	2826	4149	NE	Piedra no modificada
Yuzanú 36	2827	4149	NE	Piedra con fractura térmica
Yuzanú 36	2828	4149	NE	Piedra no modificada
Yuzanú 36	2829	4149	NW	Piedra con fractura térmica
Yuzanú 36	2830	4149	NW	Piedra con fractura térmica
Yuzanú 36	2831	4149	NW	Piedra con fractura térmica
Yuzanú 36	2832	4149	SE	Piedra tallada
Yuzanú 36	2833	4150	NE	Piedra tallada
Yuzanú 36	2834	4148	NE	Piedra con fractura térmica
Yuzanú 36	2835	4148	SE	Piedra con fractura térmica
Yuzanú 36	2836	4148	NW	Piedra con fractura térmica
Yuzanú 36	2837	4148	NW	Piedra no modificada
Yuzanú 36	2838	4150	NE	Piedra con fractura térmica
Yuzanú 36	2839	4150	NE	Piedra tallada
Yuzanú 36	2840	4149	NE	Piedra tallada
Yuzanú 36	2841	4151	NE	Piedra con fractura térmica
Yuzanú 36	2842	4151	NE	Piedra con fractura térmica
Yuzanú 36	2843	4149	NE	Piedra no modificada
Yuzanú 36	2844	4148	NE	Piedra con fractura térmica
Yuzanú 36	2845	4148	NE	Piedra con fractura térmica
Yuzanú 36	2846	4148	NE	Piedra no modificada
Yuzanú 36	2847	4148	NE	Piedra tallada
Yuzanú 36	2848	4148	NE	Piedra con fractura térmica
Yuzanú 36	2849	4148	NE	Piedra con fractura térmica
Yuzanú 36	2850	4148	NE	Piedra con fractura térmica
Yuzanú 36	2851	4148	NE	Piedra con fractura térmica
Yuzanú 36	2852	4149	NE	Piedra con fractura térmica
Yuzanú 36	2853	4149	NE	Piedra tallada
Yuzanú 36	2854	4149	NE	Piedra con fractura térmica
Yuzanú 36	2855	4149	NE	Piedra tallada
Yuzanú 36	2856	4149	NE	Piedra no modificada
Yuzanú 36	2857	4150	NE	Piedra con fractura térmica
Yuzanú 36	2858	4150	NE	Piedra con fractura térmica
Yuzanú 36	2859	4150	NE	Piedra con fractura térmica
Yuzanú 36	2860	4150	NE	Piedra con fractura térmica
Yuzanú 36	2861	4151	NE	Piedra con fractura térmica
Yuzanú 36	2862	4151	NE	Piedra con fractura térmica
Yuzanú 36	2863	4148	NE	Piedra tallada

n/a=no aplicable; p/a=por asignar

Tabla 4.3. **Registro general de objetos numerados.**

Sitio	No.	Lote	Cuadrante	Categoría
Yuzanú 36	2864	4148	NE	Piedra con fractura térmica
Yuzanú 36	2865	4166	n/a	Piedra pulida
Yuzanú 36	2866	4161	n/a	Piedra con fractura térmica
Yuzanú 36	2867	4152	n/a	Piedra con fractura térmica
Yuzanú 36	2868	4152	n/a	Piedra con fractura térmica
Yuzanú 36	2869	4152	n/a	Piedra con fractura térmica
Yuzanú 36	2870	4152	n/a	Piedra con fractura térmica
Yuzanú 36	2871	4152	n/a	Piedra con fractura térmica
Yuzanú 36	2872	4152	n/a	Piedra con fractura térmica
Yuzanú 36	2873	4152	n/a	Piedra no modificada
Yuzanú 36	2874	4152	n/a	Piedra con fractura térmica
Yuzanú 36	2875	4152	n/a	Piedra con fractura térmica
Yuzanú 36	2876	4152	n/a	Piedra pulida
Yuzanú 36	2877	4152	n/a	Piedra con fractura térmica
Yuzanú 36	2878	4152	n/a	Piedra no modificada
Yuzanú 36	2879	4152	n/a	Piedra con fractura térmica
Yuzanú 36	2880	4152	n/a	Piedra no modificada
Yuzanú 36	2881	4152	n/a	Piedra no modificada
Yuzanú 36	2882	4152	n/a	Piedra tallada
Yuzanú 36	2882	4152	n/a	Piedra con fractura térmica
Yuzanú 36	2883	4152	n/a	Piedra no modificada
Yuzanú 36	2884	4152	n/a	Piedra con fractura térmica
Yuzanú 36	2885	4152	n/a	Piedra con fractura térmica
Yuzanú 36	2886	4152	n/a	Piedra con fractura térmica
Yuzanú 36	2887	4152	n/a	Piedra con fractura térmica
Yuzanú 36	2888	4152	n/a	Piedra con fractura térmica
Yuzanú 36	2889	4152	n/a	Piedra con fractura térmica
Yuzanú 36	2890	p/a	p/a	Piedra con fractura térmica
Yuzanú 36	2891	4148	NE	Piedra pulida
Yuzanú 36	2892	4148	NE	Piedra tallada
Yuzanú 36	2893	4148	NE	Piedra tallada
Yuzanú 36	2894	4148	NE	Piedra con fractura térmica
Yuzanú 36	2895	4148	NE	Piedra no modificada
Yuzanú 36	2896	4148	NE	Piedra con fractura térmica
Yuzanú 36	2897	4148	NE	Piedra con fractura térmica
Yuzanú 36	2898	4148	NE	Piedra tallada
Yuzanú 36	2899	4148	NE	Piedra con fractura térmica
Yuzanú 36	2900	4148	NE	Piedra con fractura térmica
Yuzanú 36	2901	4148	NE	Piedra con fractura térmica
Yuzanú 36	2902	4148	NE	Piedra no modificada
Yuzanú 36	2903	4149	NE	Piedra tallada
Yuzanú 36	2904	4149	NE	Piedra no modificada
Yuzanú 36	2905	4149	NE	Piedra con fractura térmica
Yuzanú 36	2906	4149	NE	Piedra con fractura térmica
Yuzanú 36	2907	4149	NE	Piedra con fractura térmica
Yuzanú 36	2908	4149	NE	Piedra tallada

n/a=no aplicable; p/a=por asignar

Tabla 4.3. **Registro general de objetos numerados.**

Sitio	No.	Lote	Cuadrante	Categoría
Yuzanú 36	2909	4150	NE	Piedra tallada
Yuzanú 36	2910	4150	NE	Piedra tallada
Yuzanú 36	2911	4150	NE	Piedra tallada
Yuzanú 36	2912	4150	NE	Piedra no modificada
Yuzanú 36	2913	4150	NE	Piedra con fractura térmica
Yuzanú 36	2914	4151	NE	Piedra con fractura térmica
Yuzanú 36	2915	4115	NE	Piedra con fractura térmica
Yuzanú 36	2916	4151	NE	Piedra con fractura térmica
Yuzanú 36	2917	4151	NE	Piedra con fractura térmica
Yuzanú 36	2918	4148	NE	Piedra tallada
Yuzanú 36	2919	4148	NE	Piedra con fractura térmica
Yuzanú 36	2920	4148	NE	Piedra con fractura térmica
Yuzanú 36	2921	4148	NE	Piedra con fractura térmica
Yuzanú 36	2922	4148	NE	Piedra con fractura térmica
Yuzanú 36	2923	4148	NE	Piedra con fractura térmica
Yuzanú 36	2924	4148	NE	Piedra con fractura térmica
Yuzanú 36	2925	4148	NE	Piedra tallada
Yuzanú 36	2926	4148	NE	Piedra con fractura térmica
Yuzanú 36	2927	4149	NE	Piedra tallada
Yuzanú 36	2928	4148	NE	Piedra tallada
Yuzanú 36	2929	4148	NE	Piedra con fractura térmica
Yuzanú 36	2930	4148	NE	Piedra tallada
Yuzanú 36	2930	4149	NE	Piedra tallada
Yuzanú 36	2931	4148	NE	Piedra con fractura térmica
Yuzanú 36	2932	4149	NE	Piedra tallada
Yuzanú 36	2933	4149	NE	Piedra con fractura térmica
Yuzanú 36	2934	4149	NE	Piedra con fractura térmica
Yuzanú 36	2935	4149	NE	Piedra con fractura térmica
Yuzanú 36	2936	4149	NE	Piedra con fractura térmica
Yuzanú 36	2937	4149	NE	Piedra tallada
Yuzanú 36	2938	4149	NE	Piedra con fractura térmica
Yuzanú 36	2939	4149	NE	Piedra tallada
Yuzanú 36	2940	4149	NE	Piedra con fractura térmica
Yuzanú 36	2941	4150	NE	Piedra con fractura térmica
Yuzanú 36	2942	4150	NE	Piedra con fractura térmica
Yuzanú 36	2943	4150	NE	Piedra tallada
Yuzanú 36	2944	4150	NE	Piedra tallada
Yuzanú 36	2945	4151	NE	Piedra tallada
Yuzanú 36	2946	4151	NE	Piedra con fractura térmica
Yuzanú 36	2947	4151	NE	Piedra con fractura térmica
Yuzanú 36	2948	4152	n/a	Hueso
Yuzanú 36	2949	4152	n/a	Piedra no modificada
Yuzanú 36	2950	4148	NE	Piedra tallada
Yuzanú 36	2951	4148	NE	Piedra no modificada
Yuzanú 36	2952	4148	NE	Piedra tallada
Yuzanú 36	2953	4148	NE	Piedra no modificada

n/a=no aplicable; p/a=por asignar

Tabla 4.3. **Registro general de objetos numerados.**

Sitio	No.	Lote	Cuadrante	Categoría
Yuzanú 36	2953	4148	NE	Piedra tallada
Yuzanú 36	2954	4148	NE	Piedra tallada
Yuzanú 36	2955	4148	NE	Piedra no modificada
Yuzanú 36	2955	4148	NE	Piedra tallada
Yuzanú 36	2956	4148	NE	Piedra con fractura térmica
Yuzanú 36	2957	4149	NE	Piedra tallada
Yuzanú 36	2958	4149	NE	Piedra tallada
Yuzanú 36	2959	4149	NE	Piedra con fractura térmica
Yuzanú 36	2960	4149	NE	Piedra tallada
Yuzanú 36	2961	4149	NE	Piedra con fractura térmica
Yuzanú 36	2962	4149	NE	Piedra no modificada
Yuzanú 36	2963	4149	NE	Hueso
Yuzanú 36	2964	4149	NE	Hueso
Yuzanú 36	2965	4149	NE	Piedra no modificada
Yuzanú 36	2965	4149	NE	Piedra tallada
Yuzanú 36	2966	4150	NE	Piedra tallada
Yuzanú 36	2967	4150	NE	Piedra con fractura térmica
Yuzanú 36	2968	4150	NE	Piedra tallada
Yuzanú 36	2969	4150	NE	Piedra tallada
Yuzanú 36	2970	4151	NW	Piedra con fractura térmica
Yuzanú 36	2971	4151	NW	Piedra tallada
Yuzanú 36	2972	4151	NW	Piedra tallada
Yuzanú 36	2973	4151	NW	Piedra tallada
Yuzanú 36	2974	4151	NW	Piedra tallada
Yuzanú 36	2975	4151	NW	Piedra con fractura térmica
Yuzanú 36	2976	4151	NW	Piedra tallada
Yuzanú 36	2977	4149	NE	Hueso
Yuzanú 36	2978	4152	n/a	Piedra con fractura térmica
Yuzanú 36	2979	4152	n/a	Piedra con fractura térmica
Yuzanú 36	2980	4152	n/a	Piedra con fractura térmica
Yuzanú 36	2981	4152	n/a	Piedra tallada
Yuzanú 36	2982	4152	n/a	Piedra con fractura térmica
Yuzanú 36	2983	4152	n/a	Piedra con fractura térmica
Yuzanú 36	2984	4152	n/a	Piedra con fractura térmica
Yuzanú 36	2985	4152	n/a	Piedra con fractura térmica
Yuzanú 36	2986	4152	n/a	Piedra con fractura térmica
Yuzanú 36	2987	4152	n/a	Piedra no modificada
Yuzanú 36	2988	4152	n/a	Piedra con fractura térmica
Yuzanú 36	2989	4152	n/a	Piedra con fractura térmica
Yuzanú 36	2990	4152	n/a	Piedra no modificada
Yuzanú 36	2991	4152	n/a	Piedra con fractura térmica
Yuzanú 36	2992	4152	n/a	Piedra no modificada
Yuzanú 36	2993	4152	n/a	Piedra con fractura térmica
Yuzanú 36	2994	4152	n/a	Piedra con fractura térmica
Yuzanú 36	2995	4152	n/a	Piedra con fractura térmica
Yuzanú 36	2996	4152	n/a	Piedra con fractura térmica

n/a=no aplicable; p/a=por asignar

Tabla 4.3. **Registro general de objetos numerados.**

Sitio	No.	Lote	Cuadrante	Categoría
Yuzanú 36	2997	4152	n/a	Piedra con fractura térmica
Yuzanú 36	2998	4152	n/a	Piedra no modificada
Yuzanú 36	2999	4148	SE	Piedra con fractura térmica
Yuzanú 36	3000	4148	SE	Piedra tallada
Yuzanú 36	3001	4148	SE	Piedra no modificada
Yuzanú 36	3002	4148	SE	Piedra con fractura térmica
Yuzanú 36	3003	4148	SE	Piedra con fractura térmica
Yuzanú 36	3004	4148	SE	Piedra con fractura térmica
Yuzanú 36	3005	4148	SE	Piedra con fractura térmica
Yuzanú 36	3006	4148	SE	Piedra con fractura térmica
Yuzanú 36	3007	4148	SE	Piedra con fractura térmica
Yuzanú 36	3008	4149	NE	Hueso
Yuzanú 36	3009	4149	NE	Piedra tallada
Yuzanú 36	3010	4149	NE	Piedra tallada
Yuzanú 36	3011	4149	NE	Piedra con fractura térmica
Yuzanú 36	3012	4149	NE	Piedra con fractura térmica
Yuzanú 36	3013	4149	NE	Piedra con fractura térmica
Yuzanú 36	3014	4149	NE	Piedra con fractura térmica
Yuzanú 36	3015	4149	NE	Piedra con fractura térmica
Yuzanú 36	3016	4149	NE	Piedra con fractura térmica
Yuzanú 36	3017	4149	NE	Piedra con fractura térmica
Yuzanú 36	3018	4149	NE	Piedra tallada
Yuzanú 36	3019	4149	NE	Piedra con fractura térmica
Yuzanú 36	3020	4150	NE	Piedra tallada
Yuzanú 36	3021	4150	NE	Piedra tallada
Yuzanú 36	3022	4150	NE	Piedra tallada
Yuzanú 36	3023	4150	NE	Piedra tallada
Yuzanú 36	3024	4150	NE	Piedra tallada
Yuzanú 36	3025	4151	NW	Piedra tallada
Yuzanú 36	3026	4151	NW	Piedra con fractura térmica
Yuzanú 36	3027	4151	NW	Piedra tallada
Yuzanú 36	3028	4151	NW	Piedra con fractura térmica
Yuzanú 36	3029	4151	NW	Piedra con fractura térmica
Yuzanú 36	3030	4148	SE	Piedra con fractura térmica
Yuzanú 36	3031	4148	SE	Piedra con fractura térmica
Yuzanú 36	3032	4148	SE	Piedra con fractura térmica
Yuzanú 36	3033	4148	SE	Piedra con fractura térmica
Yuzanú 36	3034	4148	SE	Piedra con fractura térmica
Yuzanú 36	3035	4148	SE	Piedra con fractura térmica
Yuzanú 36	3036	4148	SE	Hueso
Yuzanú 36	3037	4148	SE	Piedra con fractura térmica
Yuzanú 36	3038	4148	SE	Piedra con fractura térmica
Yuzanú 36	3039	4148	SE	Piedra no modificada
Yuzanú 36	3040	4148	SE	Hueso
Yuzanú 36	3041	4151	NW	Piedra con fractura térmica
Yuzanú 36	3042	4151	NW	Piedra con fractura térmica

n/a=no aplicable; p/a=por asignar

Tabla 4.3. **Registro general de objetos numerados.**

Sitio	No.	Lote	Cuadrante	Categoría
Yuzanú 36	3043	4151	NW	Piedra con fractura térmica
Yuzanú 36	3044	4151	NW	Piedra tallada
Yuzanú 36	3045	4151	NW	Piedra con fractura térmica
Yuzanú 36	3046	4151	NW	Piedra con fractura térmica
Yuzanú 36	3047	4148	SE	Piedra con fractura térmica
Yuzanú 36	3048	4148	SE	Piedra con fractura térmica
Yuzanú 36	3049	4148	SE	Piedra tallada
Yuzanú 36	3050	4148	SE	Piedra tallada
Yuzanú 36	3051	4148	SE	Piedra con fractura térmica
Yuzanú 36	3052	4148	SE	Piedra con fractura térmica
Yuzanú 36	3053	4148	SE	Piedra con fractura térmica
Yuzanú 36	3054	4148	SE	Piedra con fractura térmica
Yuzanú 36	3055	4148	SE	Piedra con fractura térmica
Yuzanú 36	3056	4148	SE	Piedra tallada
Yuzanú 36	3057	4148	SE	Piedra con fractura térmica
Yuzanú 36	3058	4148	SE	Piedra con fractura térmica
Yuzanú 36	3059	4148	SE	Piedra tallada
Yuzanú 36	3060	4148	SE	Piedra con fractura térmica
Yuzanú 36	3061	4148	SE	Piedra tallada
Yuzanú 36	3062	4148	SE	Piedra tallada
Yuzanú 36	3063	4148	SE	Piedra con fractura térmica
Yuzanú 36	3064	4148	SE	Piedra tallada
Yuzanú 36	3065	4148	SE	Piedra tallada
Yuzanú 36	3066	4148	SE	Piedra con fractura térmica
Yuzanú 36	3067	4148	SE	Piedra con fractura térmica
Yuzanú 36	3068	4148	SE	Piedra con fractura térmica
Yuzanú 36	3069	4148	SE	Piedra con fractura térmica
Yuzanú 36	3070	4148	SE	Piedra con fractura térmica
Yuzanú 36	3071	4151	NW	Piedra tallada
Yuzanú 36	3072	4151	NW	Piedra tallada
Yuzanú 36	3073	4151	NW	Piedra no modificada
Yuzanú 36	3074	4151	NW	Piedra con fractura térmica
Yuzanú 36	3075	4151	NW	Piedra tallada
Yuzanú 36	3076	4151	NW	Piedra tallada
Yuzanú 36	3077	4151	NW	Piedra con fractura térmica
Yuzanú 36	3078	4151	NW	Piedra tallada
Yuzanú 36	3079	4151	NW	Piedra no modificada
Yuzanú 36	3080	4188	SE	Piedra tallada
Yuzanú 36	3081	4148	SE	Piedra con fractura térmica
Yuzanú 36	3082	4148	SE	Piedra tallada
Yuzanú 36	3083	4148	SE	Hueso
Yuzanú 36	3084	4148	SE	Piedra con fractura térmica
Yuzanú 36	3085	4148	SE	Piedra tallada
Yuzanú 36	3086	4148	SE	Hueso
Yuzanú 36	3087	4151	NW	Piedra con fractura térmica
Yuzanú 36	3088	4151	NW	Piedra no modificada

n/a=no aplicable; p/a=por asignar

Tabla 4.3. **Registro general de objetos numerados.**

Sitio	No.	Lote	Cuadrante	Categoría
Yuzanú 36	3089	4151	NW	Piedra tallada
Yuzanú 36	3090	4151	NW	Piedra tallada
Yuzanú 36	3091	4151	NW	Piedra con fractura térmica
Yuzanú 36	3092	4148	SE	Piedra tallada
Yuzanú 36	3093	4148	SE	Hueso
Yuzanú 36	3094	4148	SE	Piedra con fractura térmica
Yuzanú 36	3095	4148	SW	Hueso
Yuzanú 36	3096	4148	SW	Piedra con fractura térmica
Yuzanú 36	3097	4148	SW	Piedra con fractura térmica
Yuzanú 36	3098	4148	SW	Piedra con fractura térmica
Yuzanú 36	3099	4148	SW	Piedra tallada
Yuzanú 36	3100	4148	SW	Piedra con fractura térmica
Yuzanú 36	3101	4148	SW	Piedra con fractura térmica
Yuzanú 36	3102	4149	NE	Piedra con fractura térmica
Yuzanú 36	3103	4149	NE	Piedra con fractura térmica
Yuzanú 36	3104	4149	NE	Piedra con fractura térmica
Yuzanú 36	3105	4149	NE	Piedra no modificada
Yuzanú 36	3106	4149	NE	Piedra con fractura térmica
Yuzanú 36	3107	4149	NE	Piedra con fractura térmica
Yuzanú 36	3108	4149	NE	Piedra tallada
Yuzanú 36	3109	4148	SW	Piedra con fractura térmica
Yuzanú 36	3110	4148	SW	Piedra con fractura térmica
Yuzanú 36	3111	4148	SW	Piedra tallada
Yuzanú 36	3112	4148	SW	Piedra con fractura térmica
Yuzanú 36	3113	4148	SW	Piedra con fractura térmica
Yuzanú 36	3113	4148	SW	Piedra con fractura térmica
Yuzanú 36	3114	4148	SW	Piedra con fractura térmica
Yuzanú 36	3115	4148	SW	Piedra tallada
Yuzanú 36	3116	4148	SW	Piedra tallada
Yuzanú 36	3117	4149	NE	Piedra con fractura térmica
Yuzanú 36	3118	4149	NE	Piedra con fractura térmica
Yuzanú 36	3119	4149	NE	Piedra con fractura térmica
Yuzanú 36	3120	4149	NE	Piedra con fractura térmica
Yuzanú 36	3121	4149	NE	Piedra con fractura térmica
Yuzanú 36	3122	4148	SW	Piedra con fractura térmica
Yuzanú 36	3123	4148	SW	Hueso
Yuzanú 36	3124	4148	SW	Hueso
Yuzanú 36	3125	4148	SW	Hueso
Yuzanú 36	3126	4148	SW	Piedra con fractura térmica
Yuzanú 36	3127	4149	NE	Piedra con fractura térmica
Yuzanú 36	3128	4149	NE	Piedra con fractura térmica
Yuzanú 36	3129	4149	NE	Piedra con fractura térmica
Yuzanú 36	3130	4148	SW	Piedra con fractura térmica
Yuzanú 36	3131	4148	SW	Piedra tallada
Yuzanú 36	3132	4148	SW	Piedra tallada
Yuzanú 36	3133	4148	NW	Piedra con fractura térmica

n/a=no aplicable; p/a=por asignar

Tabla 4.3. **Registro general de objetos numerados.**

Sitio	No.	Lote	Cuadrante	Categoría
Yuzanú 36	3134	4148	NW	Piedra tallada
Yuzanú 36	3135	4148	NW	Piedra con fractura térmica
Yuzanú 36	3136	4148	NW	Piedra con fractura térmica
Yuzanú 36	3137	4148	NW	Piedra con fractura térmica
Yuzanú 36	3138	4151	NW	Piedra tallada
Yuzanú 36	3139	4149	NE	Piedra con fractura térmica
Yuzanú 36	3140	4148	NW	Piedra con fractura térmica
Yuzanú 36	3141	4148	NW	Piedra tallada
Yuzanú 36	3142	4148	NW	Piedra tallada
Yuzanú 36	3143	4148	NW	Piedra tallada
Yuzanú 36	3144	4148	NW	Piedra con fractura térmica
Yuzanú 36	3144	4148	NW	Piedra no modificada
Yuzanú 36	3144	4148	NW	Piedra no modificada
Yuzanú 36	3145	4148	NW	Piedra con fractura térmica
Yuzanú 36	3146	4148	NW	Piedra con fractura térmica
Yuzanú 36	3147	4148	NW	Piedra con fractura térmica
Yuzanú 36	3148	4148	NW	Piedra con fractura térmica
Yuzanú 36	3149	4148	NW	Piedra con fractura térmica
Yuzanú 36	3150	4148	NW	Piedra no modificada
Yuzanú 36	3151	4149	SE	Piedra con fractura térmica
Yuzanú 36	3152	4149	SE	Piedra con fractura térmica
Yuzanú 36	3153	4149	SE	Piedra con fractura térmica
Yuzanú 36	3154	4149	SE	Piedra tallada
Yuzanú 36	3155	4149	SE	Piedra tallada
Yuzanú 36	3156	4149	SE	Piedra con fractura térmica
Yuzanú 36	3157	4149	SW	Piedra con fractura térmica
Yuzanú 36	3158	4149	SW	Piedra tallada
Yuzanú 36	3159	4149	SW	Piedra con fractura térmica
Yuzanú 36	3160	4148	NW	Piedra con fractura térmica
Yuzanú 36	3161	4140	NW	Piedra con fractura térmica
Yuzanú 36	3162	4148	NW	Piedra con fractura térmica
Yuzanú 36	3163	4148	NW	Piedra con fractura térmica
Yuzanú 36	3164	4148	NW	Piedra con fractura térmica
Yuzanú 36	3165	4148	NW	Hueso
Yuzanú 36	3166	4148	NW	Piedra tallada
Yuzanú 36	3167	4148	NW	Piedra tallada
Yuzanú 36	3168	4148	NW	Piedra no modificada
Yuzanú 36	3169	4148	NW	Piedra con fractura térmica
Yuzanú 36	3170	4148	NW	Piedra con fractura térmica
Yuzanú 36	3171	4148	NW	Piedra con fractura térmica
Yuzanú 36	3172	4148	NW	Hueso
Yuzanú 36	3173	4148	NW	Piedra con fractura térmica
Yuzanú 36	3174	4148	NW	Piedra tallada
Yuzanú 36	3175	4148	NW	Piedra con fractura térmica
Yuzanú 36	3176	4148	NW	Piedra tallada
Yuzanú 36	3177	4148	NW	Piedra con fractura térmica

n/a=no aplicable; p/a=por asignar

Tabla 4.3. **Registro general de objetos numerados.**

Sitio	No.	Lote	Cuadrante	Categoría
Yuzanú 36	3178	4148	NW	Piedra con fractura térmica
Yuzanú 36	3179	4148	NW	Piedra con fractura térmica
Yuzanú 36	3180	4158	NW	Piedra con fractura térmica
Yuzanú 36	3181	4158	NW	Piedra tallada
Yuzanú 36	3182	4149	SW	Piedra tallada
Yuzanú 36	3183	4149	SW	Piedra tallada
Yuzanú 36	3184	4149	SW	Piedra con fractura térmica
Yuzanú 36	3185	4149	SW	Piedra con fractura térmica
Yuzanú 36	3186	4149	SW	Piedra con fractura térmica
Yuzanú 36	3187	4149	SW	Piedra no modificada
Yuzanú 36	3188	4149	SW	Piedra tallada
Yuzanú 36	3189	4148	NE	Piedra con fractura térmica
Yuzanú 36	3190	4148	NW	Piedra con fractura térmica
Yuzanú 36	3191	4148	NW	Piedra tallada
Yuzanú 36	3192	4148	NW	Piedra tallada
Yuzanú 36	3193	4148	NW	Piedra con fractura térmica
Yuzanú 36	3194	4148	NW	Piedra tallada
Yuzanú 36	3195	4148	NW	Piedra con fractura térmica
Yuzanú 36	3196	4148	NW	Piedra tallada
Yuzanú 36	3197	4148	NW	Hueso
Yuzanú 36	3198	4148	NW	Piedra tallada
Yuzanú 36	3199	4149	SW	Piedra tallada
Yuzanú 36	3200	4149	SW	Piedra tallada
Yuzanú 36	3201	4149	SW	Piedra con fractura térmica
Yuzanú 36	3202	4149	SW	Piedra con fractura térmica
Yuzanú 36	3203	4149	SW	Piedra con fractura térmica
Yuzanú 36	3204	4149	SW	Piedra con fractura térmica
Yuzanú 36	3205	4149	SW	Piedra con fractura térmica
Yuzanú 36	3206	4149	SW	Piedra con fractura térmica
Yuzanú 36	3207	4149	SW	Piedra con fractura térmica
Yuzanú 36	3208	4149	SW	Piedra con fractura térmica
Yuzanú 36	3209	4149	SW	Piedra con fractura térmica
Yuzanú 36	3210	4149	SW	Piedra con fractura térmica
Yuzanú 36	3211	4149	SW	Piedra con fractura térmica
Yuzanú 36	3212	4148	NW	Hueso
Yuzanú 36	3213	4148	NW	Piedra con fractura térmica
Yuzanú 36	3214	4148	NW	Piedra tallada
Yuzanú 36	3215	4148	NW	Piedra con fractura térmica
Yuzanú 36	3216	4148	NW	Piedra con fractura térmica
Yuzanú 36	3217	4149	SW	Piedra tallada
Yuzanú 36	3218	4149	SW	Piedra con fractura térmica
Yuzanú 36	3219	4149	SW	Piedra con fractura térmica
Yuzanú 36	3220	4149	SW	Piedra con fractura térmica
Yuzanú 36	3221	4149	SW	Piedra tallada
Yuzanú 36	3222	4149	SW	Piedra con fractura térmica
Yuzanú 36	3223	4149	SW	Piedra con fractura térmica

n/a=no aplicable; p/a=por asignar

Tabla 4.3. **Registro general de objetos numerados.**

Sitio	No.	Lote	Cuadrante	Categoría
Yuzanú 36	3224	4149	SW	Piedra con fractura térmica
Yuzanú 36	3225	4149	SW	Piedra tallada
Yuzanú 36	3226	4149	SW	Piedra con fractura térmica
Yuzanú 36	3227	4149	SW	Piedra con fractura térmica
Yuzanú 36	3228	4149	SW	Piedra con fractura térmica
Yuzanú 36	3229	4149	SW	Piedra con fractura térmica
Yuzanú 36	3230	4149	SW	Piedra con fractura térmica
Yuzanú 36	3231	4149	SW	Piedra con fractura térmica
Yuzanú 36	3232	4149	SW	Piedra no modificada
Yuzanú 36	3233	4150	NE	Piedra con fractura térmica
Yuzanú 36	3234	4150	NE	Piedra tallada
Yuzanú 36	3235	4150	NE	Piedra con fractura térmica
Yuzanú 36	3236	4150	NE	Piedra con fractura térmica
Yuzanú 36	3237	4150	NE	Piedra tallada
Yuzanú 36	3238	4155	NE	Piedra con fractura térmica
Yuzanú 36	3238	4150	NE	Piedra tallada
Yuzanú 36	3239	4150	NE	Piedra tallada
Yuzanú 36	3240	4150	NE	Piedra con fractura térmica
Yuzanú 36	3241	4150	NE	Piedra tallada
Yuzanú 36	3242	4149	NW	Piedra con fractura térmica
Yuzanú 36	3243	4149	NW	Piedra con fractura térmica
Yuzanú 36	3244	4149	NW	Piedra con fractura térmica
Yuzanú 36	3245	4149	NW	Piedra con fractura térmica
Yuzanú 36	3246	4149	NW	Piedra con fractura térmica
Yuzanú 36	3247	4149	NW	Piedra con fractura térmica
Yuzanú 36	3248	4149	NW	Piedra con fractura térmica
Yuzanú 36	3249	4149	NW	Piedra con fractura térmica
Yuzanú 36	3250	4149	NW	Piedra con fractura térmica
Yuzanú 36	3251	4150	NE	Piedra no modificada
Yuzanú 36	3252	4150	NE	Piedra con fractura térmica
Yuzanú 36	3253	4149	NW	Piedra tallada
Yuzanú 36	3254	4149	NW	Piedra con fractura térmica
Yuzanú 36	3255	4149	NW	Piedra con fractura térmica
Yuzanú 36	3256	4149	NW	Piedra con fractura térmica
Yuzanú 36	3257	4149	NW	Piedra con fractura térmica
Yuzanú 36	3258	4148	NE	Hueso
Yuzanú 36	3259	4148	NE	Piedra tallada
Yuzanú 36	3260	4148	SW	Hueso
Yuzanú 36	3261	4148	SW	Piedra tallada
Yuzanú 36	3262	4154	n/a	Hueso
Yuzanú 36	3263	4149	NW	Piedra con fractura térmica
Yuzanú 36	3264	4149	NW	Piedra con fractura térmica
Yuzanú 36	3265	4149	NW	Piedra no modificada
Yuzanú 36	3266	4149	NW	Piedra con fractura térmica
Yuzanú 36	3267	4149	NW	Piedra tallada
Yuzanú 36	3267	4158	SE	Piedra tallada

n/a=no aplicable; p/a=por asignar

Tabla 4.3. **Registro general de objetos numerados.**

Sitio	No.	Lote	Cuadrante	Categoría
Yuzanú 36	3268	4149	NW	Piedra con fractura térmica
Yuzanú 36	3269	4149	NW	Piedra con fractura térmica
Yuzanú 36	3270	4149	NW	Piedra tallada
Yuzanú 36	3271	4149	NW	Piedra con fractura térmica
Yuzanú 36	3272	4149	NW	Hueso
Yuzanú 36	3273	4149	NW	Hueso
Yuzanú 36	3274	4150	SE	Piedra tallada
Yuzanú 36	3275	4150	SE	Piedra tallada
Yuzanú 36	3276	4150	SE	Piedra con fractura térmica
Yuzanú 36	3277	4150	SE	Piedra con fractura térmica
Yuzanú 36	3278	4150	SE	Piedra tallada
Yuzanú 36	3279	4150	SE	Piedra con fractura térmica
Yuzanú 36	3280	4150	SE	Piedra tallada
Yuzanú 36	3281	4150	SE	Piedra con fractura térmica
Yuzanú 36	3282	4150	SE	Piedra con fractura térmica
Yuzanú 36	3283	4150	SE	Piedra no modificada
Yuzanú 36	3284	4150	SE	Piedra con fractura térmica
Yuzanú 36	3285	4150	SE	Piedra no modificada
Yuzanú 36	3286	4150	SE	Piedra con fractura térmica
Yuzanú 36	3287	4150	SE	Piedra con fractura térmica
Yuzanú 36	3288	4150	SE	Piedra con fractura térmica
Yuzanú 36	3289	4155	NE	Piedra con fractura térmica
Yuzanú 36	3290	4155	NE	Piedra con fractura térmica
Yuzanú 36	3291	4155	NE	Piedra tallada
Yuzanú 36	3292	4155	NE	Piedra tallada
Yuzanú 36	3293	4155	NE	Piedra con fractura térmica
Yuzanú 36	3294	4155	NE	Piedra tallada
Yuzanú 36	3295	4155	NE	Hueso
Yuzanú 36	3296	4155	NE	Piedra con fractura térmica
Yuzanú 36	3297	4150	SE	Piedra no modificada
Yuzanú 36	3298	4154	n/a	Piedra no modificada
Yuzanú 36	3299	4149	NW	Piedra con fractura térmica
Yuzanú 36	3300	4149	NW	Piedra con fractura térmica
Yuzanú 36	3301	4149	NW	Piedra con fractura térmica
Yuzanú 36	3302	4149	NW	Piedra con fractura térmica
Yuzanú 36	3303	4149	NW	Piedra con fractura térmica
Yuzanú 36	3304	4149	NW	Piedra con fractura térmica
Yuzanú 36	3305	4149	NW	Piedra con fractura térmica
Yuzanú 36	3306	4149	NW	Piedra con fractura térmica
Yuzanú 36	3307	4149	NW	Piedra con fractura térmica
Yuzanú 36	3308	4149	NW	Piedra no modificada
Yuzanú 36	3309	4150	SE	Piedra tallada
Yuzanú 36	3310	4150	SE	Piedra con fractura térmica
Yuzanú 36	3311	4150	SE	Piedra con fractura térmica
Yuzanú 36	3312	4150	SE	Piedra con fractura térmica
Yuzanú 36	3313	4150	SE	Piedra con fractura térmica

n/a=no aplicable; p/a=por asignar

Tabla 4.3. **Registro general de objetos numerados.**

Sitio	No.	Lote	Cuadrante	Categoría
Yuzanú 36	3314	4150	SE	Piedra con fractura térmica
Yuzanú 36	3315	4150	SE	Piedra con fractura térmica
Yuzanú 36	3316	4150	SE	Piedra con fractura térmica
Yuzanú 36	3317	4150	SE	Piedra con fractura térmica
Yuzanú 36	3318	4150	SE	Piedra tallada
Yuzanú 36	3319	4150	SE	Piedra con fractura térmica
Yuzanú 36	3320	4150	SE	Piedra tallada
Yuzanú 36	3321	4150	SE	Piedra con fractura térmica
Yuzanú 36	3322	4150	SE	Piedra tallada
Yuzanú 36	3323	4150	SE	Piedra tallada
Yuzanú 36	3324	4149	SE	Piedra tallada
Yuzanú 36	3325	4155	NE	Piedra con fractura térmica
Yuzanú 36	3326	4155	NE	Piedra con fractura térmica
Yuzanú 36	3327	4155	NE	Piedra tallada
Yuzanú 36	3328	4155	NE	Piedra tallada
Yuzanú 36	3329	4155	NE	Piedra con fractura térmica
Yuzanú 36	3330	4155	NE	Piedra tallada
Yuzanú 36	3331	4155	NE	Hueso
Yuzanú 36	3332	4155	NE	Hueso
Yuzanú 36	3333	4155	NE	Hueso
Yuzanú 36	3333	4155	NE	Piedra con fractura térmica
Yuzanú 36	3334	4154	n/a	Piedra con fractura térmica
Yuzanú 36	3335	4154	n/a	Piedra tallada
Yuzanú 36	3336	4154	n/a	Piedra tallada
Yuzanú 36	3337	4155	NE	Piedra con fractura térmica
Yuzanú 36	3338	4155	NE	Piedra con fractura térmica
Yuzanú 36	3339	4155	NE	Hueso
Yuzanú 36	3340	4155	NE	Piedra con fractura térmica
Yuzanú 36	3341	4150	SE	Hueso
Yuzanú 36	3342	4150	SE	Piedra con fractura térmica
Yuzanú 36	3343	4150	SE	Piedra tallada
Yuzanú 36	3344	4150	SE	Piedra no modificada
Yuzanú 36	3344	4150	SE	Piedra tallada
Yuzanú 36	3345	4150	SE	Piedra tallada
Yuzanú 36	3346	4150	SE	Hueso
Yuzanú 36	3347	4149	NW	Piedra tallada
Yuzanú 36	3348	4148	NW	Piedra con fractura térmica
Yuzanú 36	3349	4149	NW	Piedra con fractura térmica
Yuzanú 36	3350	4156	NE	Piedra tallada
Yuzanú 36	3351	4150	SE	Piedra con fractura térmica
Yuzanú 36	3352	4150	SE	Hueso
Yuzanú 36	3353	4150	SE	Piedra tallada
Yuzanú 36	3354	4150	SE	Piedra tallada
Yuzanú 36	3355	4150	SE	Piedra tallada
Yuzanú 36	3356	4150	SE	Piedra con fractura térmica
Yuzanú 36	3357	4150	SE	Piedra con fractura térmica

n/a=no aplicable; p/a=por asignar

Tabla 4.3. **Registro general de objetos numerados.**

Sitio	No.	Lote	Cuadrante	Categoría
Yuzanú 36	3358	4150	SE	Piedra tallada
Yuzanú 36	3359	4150	SE	Piedra con fractura térmica
Yuzanú 36	3360	4150	SE	Piedra con fractura térmica
Yuzanú 36	3361	4150	SE	Hueso
Yuzanú 36	3362	4156	NE	Piedra con fractura térmica
Yuzanú 36	3363	4156	NE	Piedra con fractura térmica
Yuzanú 36	3364	4156	NE	Piedra tallada
Yuzanú 36	3365	4155	SE	Hueso
Yuzanú 36	3366	4155	SE	Piedra tallada
Yuzanú 36	3367	4155	SE	Piedra tallada
Yuzanú 36	3368	4155	SE	Piedra con fractura térmica
Yuzanú 36	3369	4155	SE	Piedra con fractura térmica
Yuzanú 36	3370	4155	SE	Piedra tallada
Yuzanú 36	3371	4155	SE	Piedra no modificada
Yuzanú 36	3372	4155	SE	Piedra tallada
Yuzanú 36	3373	4150	SE	Piedra no modificada
Yuzanú 36	3374	4156	NE	Piedra tallada
Yuzanú 36	3375	4156	NE	Piedra tallada
Yuzanú 36	3376	4155	SE	Hueso
Yuzanú 36	3377	4155	SE	Piedra tallada
Yuzanú 36	3378	4155	SE	Piedra con fractura térmica
Yuzanú 36	3379	4155	SE	Piedra tallada
Yuzanú 36	3380	4155	SE	Piedra tallada
Yuzanú 36	3381	4155	SE	Piedra tallada
Yuzanú 36	3382	4150	SW	Piedra con fractura térmica
Yuzanú 36	3383	4150	SW	Piedra con fractura térmica
Yuzanú 36	3384	4150	SW	Piedra con fractura térmica
Yuzanú 36	3385	4154	n/a	Piedra no modificada
Yuzanú 36	3386	4154	n/a	Hueso
Yuzanú 36	3387	4154	n/a	Piedra tallada
Yuzanú 36	3388	4154	n/a	Piedra tallada
Yuzanú 36	3389	4154	n/a	Piedra con fractura térmica
Yuzanú 36	3390	4150	SW	Piedra con fractura térmica
Yuzanú 36	3391	4150	SW	Piedra tallada
Yuzanú 36	3392	4150	SW	Piedra con fractura térmica
Yuzanú 36	3393	4150	SW	Piedra tallada
Yuzanú 36	3394	4150	SW	Piedra tallada
Yuzanú 36	3395	4150	SW	Piedra con fractura térmica
Yuzanú 36	3396	4150	SW	Piedra con fractura térmica
Yuzanú 36	3397	4150	SW	Piedra con fractura térmica
Yuzanú 36	3398	4150	SW	Piedra tallada
Yuzanú 36	3399	4150	SW	Piedra con fractura térmica
Yuzanú 36	3400	4150	SW	Piedra tallada
Yuzanú 36	3401	4150	SW	Piedra tallada
Yuzanú 36	3402	4150	SW	Piedra tallada
Yuzanú 36	3403	4150	SW	Piedra con fractura térmica

n/a=no aplicable; p/a=por asignar

Tabla 4.3. **Registro general de objetos numerados.**

Sitio	No.	Lote	Cuadrante	Categoría
Yuzanú 36	3404	4150	SW	Piedra con fractura térmica
Yuzanú 36	3405	4150	SW	Piedra con fractura térmica
Yuzanú 36	3406	4156	NE	Piedra con fractura térmica
Yuzanú 36	3407	4156	NE	Piedra con fractura térmica
Yuzanú 36	3408	4156	NE	Piedra con fractura térmica
Yuzanú 36	3409	4156	NE	Piedra con fractura térmica
Yuzanú 36	3410	4156	NE	Piedra tallada
Yuzanú 36	3411	4155	SE	Piedra tallada
Yuzanú 36	3412	4155	SE	Piedra con fractura térmica
Yuzanú 36	3413	4155	SE	Piedra tallada
Yuzanú 36	3414	4154	n/a	Piedra con fractura térmica
Yuzanú 36	3415	4150	SW	Hueso
Yuzanú 36	3416	4150	SW	Piedra tallada
Yuzanú 36	3417	4150	SW	Piedra con fractura térmica
Yuzanú 36	3418	4150	SW	Piedra con fractura térmica
Yuzanú 36	3419	4150	SW	Piedra con fractura térmica
Yuzanú 36	3420	4150	SW	Piedra con fractura térmica
Yuzanú 36	3421	4150	SW	Piedra con fractura térmica
Yuzanú 36	3422	4150	SW	Piedra con fractura térmica
Yuzanú 36	3423	4150	SW	Piedra con fractura térmica
Yuzanú 36	3424	4150	SW	Piedra tallada
Yuzanú 36	3425	4150	SW	Piedra tallada
Yuzanú 36	3426	4150	SW	Piedra con fractura térmica
Yuzanú 36	3427	4150	SW	Piedra con fractura térmica
Yuzanú 36	3428	4151	SW	Hueso
Yuzanú 36	3429	4150	SW	Piedra tallada
Yuzanú 36	3430	4150	SW	Hueso
Yuzanú 36	3431	4156	NE	Piedra con fractura térmica
Yuzanú 36	3432	4156	NE	Piedra tallada
Yuzanú 36	3433	4156	NE	Piedra con fractura térmica
Yuzanú 36	3434	4156	NE	Piedra con fractura térmica
Yuzanú 36	3435	4156	NE	Piedra con fractura térmica
Yuzanú 36	3436	4155	SE	Piedra tallada
Yuzanú 36	3437	4155	SE	Piedra con fractura térmica
Yuzanú 36	3438	4150	SW	Hueso
Yuzanú 36	3439	4150	SW	Hueso
Yuzanú 36	3440	4150	SW	Piedra tallada
Yuzanú 36	3441	4150	SW	Piedra con fractura térmica
Yuzanú 36	3442	4150	SW	Piedra con fractura térmica
Yuzanú 36	3443	4150	SW	Piedra tallada
Yuzanú 36	3444	4150	SW	Piedra tallada
Yuzanú 36	3445	4150	SW	Piedra con fractura térmica
Yuzanú 36	3446	4150	SW	Piedra con fractura térmica
Yuzanú 36	3447	4150	SW	Piedra tallada
Yuzanú 36	3448	4150	SW	Piedra con fractura térmica
Yuzanú 36	3449	4150	SW	Piedra con fractura térmica

n/a=no aplicable; p/a=por asignar

Tabla 4.3. **Registro general de objetos numerados.**

Sitio	No.	Lote	Cuadrante	Categoría
Yuzanú 36	3450	4150	SW	Piedra tallada
Yuzanú 36	3451	4156	NW	Hueso
Yuzanú 36	3452	4155	NW	Piedra tallada
Yuzanú 36	3453	4155	NW	Piedra tallada
Yuzanú 36	3454	4155	NW	Piedra con fractura térmica
Yuzanú 36	3455	4155	NW	Piedra con fractura térmica
Yuzanú 36	3456	4155	NW	Piedra tallada
Yuzanú 36	3457	4155	NW	Piedra tallada
Yuzanú 36	3458	4155	NW	Piedra tallada
Yuzanú 36	3459	4155	NW	Piedra no modificada
Yuzanú 36	3460	4150	NW	Piedra con fractura térmica
Yuzanú 36	3461	4150	NW	Piedra tallada
Yuzanú 36	3462	4150	SW	Piedra con fractura térmica
Yuzanú 36	3463	4150	SW	Piedra tallada
Yuzanú 36	3464	4150	SW	Piedra tallada
Yuzanú 36	3465	4150	SW	Piedra con fractura térmica
Yuzanú 36	3466	4150	SW	Piedra tallada
Yuzanú 36	3467	4150	SW	Piedra con fractura térmica
Yuzanú 36	3468	4156	NW	Piedra tallada
Yuzanú 36	3469	4156	NW	Piedra con fractura térmica
Yuzanú 36	3470	4156	NW	Piedra tallada
Yuzanú 36	3471	4156	NW	Piedra con fractura térmica
Yuzanú 36	3472	4156	NW	Piedra no modificada
Yuzanú 36	3473	4156	NW	Piedra con fractura térmica
Yuzanú 36	3474	4150	NW	Hueso
Yuzanú 36	3475	4155	NW	Piedra tallada
Yuzanú 36	3476	4155	NW	Piedra tallada
Yuzanú 36	3477	4155	NW	Piedra tallada
Yuzanú 36	3478	4155	NW	Piedra tallada
Yuzanú 36	3479	4155	NW	Piedra con fractura térmica
Yuzanú 36	3480	4150	NW	Hueso
Yuzanú 36	3481	4154	n/a	Piedra con fractura térmica
Yuzanú 36	3482	4154	n/a	Piedra con fractura térmica
Yuzanú 36	3483	4150	NW	Piedra tallada
Yuzanú 36	3484	4150	NW	Piedra tallada
Yuzanú 36	3485	4150	NW	Piedra con fractura térmica
Yuzanú 36	3486	4150	NW	Piedra con fractura térmica
Yuzanú 36	3487	4150	NW	Piedra tallada
Yuzanú 36	3488	4156	NW	Piedra con fractura térmica
Yuzanú 36	3489	4156	NW	Piedra con fractura térmica
Yuzanú 36	3490	4156	NW	Piedra con fractura térmica
Yuzanú 36	3491	4156	NW	Piedra con fractura térmica
Yuzanú 36	3492	4155	NW	Piedra con fractura térmica
Yuzanú 36	3493	4155	NW	Piedra tallada
Yuzanú 36	3494	4155	NW	Piedra tallada
Yuzanú 36	3495	4155	NW	Piedra tallada

n/a=no aplicable; p/a=por asignar

Tabla 4.3. **Registro general de objetos numerados.**

Sitio	No.	Lote	Cuadrante	Categoría
Yuzanú 36	3496	4155	NW	Piedra tallada
Yuzanú 36	3497	p/a	p/a	Hueso
Yuzanú 36	3498	4154	n/a	Piedra con fractura térmica
Yuzanú 36	3499	4154	n/a	Carbón
Yuzanú 36	3500	4154	n/a	Piedra tallada
Yuzanú 36	3501	4150	NW	Piedra con fractura térmica
Yuzanú 36	3502	4150	NW	Piedra con fractura térmica
Yuzanú 36	3502	4158	SE	Piedra tallada
Yuzanú 36	3503	4150	NW	Piedra con fractura térmica
Yuzanú 36	3504	4150	NW	Piedra tallada
Yuzanú 36	3505	4150	NW	Piedra tallada
Yuzanú 36	3506	4150	NW	Piedra tallada
Yuzanú 36	3507	4150	NW	Piedra tallada
Yuzanú 36	3508	4156	NW	Piedra tallada
Yuzanú 36	3509	4156	NW	Piedra con fractura térmica
Yuzanú 36	3510	4156	NW	Piedra con fractura térmica
Yuzanú 36	3511	4156	NW	Piedra con fractura térmica
Yuzanú 36	3512	4154	n/a	Piedra tallada
Yuzanú 36	3513	4154	n/a	Piedra con fractura térmica
Yuzanú 36	3514	4154	n/a	Piedra con fractura térmica
Yuzanú 36	3515	4154	n/a	Piedra con fractura térmica
Yuzanú 36	3516	4156	NW	Piedra tallada
Yuzanú 36	3517	4150	NW	Piedra tallada
Yuzanú 36	3518	4150	NW	Piedra con fractura térmica
Yuzanú 36	3519	4150	NW	Piedra tallada
Yuzanú 36	3520	4150	NW	Piedra tallada
Yuzanú 36	3521	4156	NW	Piedra con fractura térmica
Yuzanú 36	3522	4156	NW	Piedra tallada
Yuzanú 36	3523	4156	NW	Piedra tallada
Yuzanú 36	3524	4156	NW	Piedra con fractura térmica
Yuzanú 36	3525	4126	NW	Piedra tallada
Yuzanú 36	3526	4156	NW	Piedra tallada
Yuzanú 36	3527	4156	NW	Piedra tallada
Yuzanú 36	3528	4158	NE	Piedra tallada
Yuzanú 36	3529	4158	NE	Piedra tallada
Yuzanú 36	3530	4158	NE	Piedra con fractura térmica
Yuzanú 36	3531	4158	NE	Piedra con fractura térmica
Yuzanú 36	3532	4158	NE	Hueso
Yuzanú 36	3533	4158	NE	Piedra tallada
Yuzanú 36	3534	4158	NE	Piedra con fractura térmica
Yuzanú 36	3535	4158	NE	Piedra con fractura térmica
Yuzanú 36	3536	4158	NE	Piedra con fractura térmica
Yuzanú 36	3537	4158	NE	Piedra tallada
Yuzanú 36	3538	4158	NE	Piedra con fractura térmica
Yuzanú 36	3539	4159	NE	Piedra con fractura térmica
Yuzanú 36	3540	4159	NE	Piedra con fractura térmica

n/a=no aplicable; p/a=por asignar

Tabla 4.3. **Registro general de objetos numerados.**

Sitio	No.	Lote	Cuadrante	Categoría
Yuzanú 36	3541	4159	NE	Piedra tallada
Yuzanú 36	3542	4160	NE	Piedra con fractura térmica
Yuzanú 36	3543	4160	NE	Piedra con fractura térmica
Yuzanú 36	3544	4160	NE	Piedra con fractura térmica
Yuzanú 36	3545	4147	n/a	Hueso
Yuzanú 36	3546	n/a	n/a	Piedra no modificada
Yuzanú 36	3547	4165	n/a	Piedra
Yuzanú 36	3548	4165	n/a	Piedra con fractura térmica
Yuzanú 36	3549	4158	NE	Hueso
Yuzanú 36	3550	4158	NE	Piedra tallada
Yuzanú 36	3551	4158	NE	Piedra no modificada
Yuzanú 36	3552	4158	NE	Piedra tallada
Yuzanú 36	3553	4158	NE	Piedra con fractura térmica
Yuzanú 36	3554	4158	NE	Piedra no modificada
Yuzanú 36	3554	4158	NE	Piedra tallada
Yuzanú 36	3555	4159	NE	Piedra tallada
Yuzanú 36	3556	4159	NE	Piedra con fractura térmica
Yuzanú 36	3557	4159	NE	Piedra con fractura térmica
Yuzanú 36	3558	4159	NE	Piedra con fractura térmica
Yuzanú 36	3559	4160	NE	Piedra tallada
Yuzanú 36	3560	4160	NE	Piedra tallada
Yuzanú 36	3561	4160	NE	Piedra con fractura térmica
Yuzanú 36	3562	4158	NE	Piedra tallada
Yuzanú 36	3563	4158	NE	Piedra tallada
Yuzanú 36	3564	4158	NE	Piedra tallada
Yuzanú 36	3565	4158	NE	Piedra tallada
Yuzanú 36	3566	4158	NE	Piedra tallada
Yuzanú 36	3567	4158	NE	Piedra tallada
Yuzanú 36	3568	4158	NE	Piedra con fractura térmica
Yuzanú 36	3569	4159	NE	Piedra tallada
Yuzanú 36	3570	4159	NE	Piedra con fractura térmica
Yuzanú 36	3571	4159	NE	Piedra tallada
Yuzanú 36	3572	4160	NE	Piedra con fractura térmica
Yuzanú 36	3573	4160	NE	Piedra no modificada
Yuzanú 36	3574	4158	NE	Piedra tallada
Yuzanú 36	3575	4158	NE	Piedra con fractura térmica
Yuzanú 36	3576	4159	NE	Piedra tallada
Yuzanú 36	3577	4159	NE	Piedra tallada
Yuzanú 36	3578	4159	NE	Piedra con fractura térmica
Yuzanú 36	3579	4159	NE	Piedra con fractura térmica
Yuzanú 36	3580	4159	NE	Piedra tallada
Yuzanú 36	3581	4159	NE	Piedra con fractura térmica
Yuzanú 36	3582	4160	NE	Piedra tallada
Yuzanú 36	3583	4160	NE	Piedra tallada
Yuzanú 36	3584	4159	NW	Piedra con fractura térmica
Yuzanú 36	3585	4158	NE	Hueso

n/a=no aplicable; p/a=por asignar

Tabla 4.3. **Registro general de objetos numerados.**

Sitio	No.	Lote	Cuadrante	Categoría
Yuzanú 36	3586	4158	NE	Piedra con fractura térmica
Yuzanú 36	3587	4158	NE	Piedra tallada
Yuzanú 36	3588	4158	NE	Piedra tallada
Yuzanú 36	3589	4158	NE	Piedra tallada
Yuzanú 36	3590	4159	NE	Piedra tallada
Yuzanú 36	3591	4159	NE	Piedra tallada
Yuzanú 36	3592	4160	NW	Piedra con fractura térmica
Yuzanú 36	3593	4160	NW	Piedra con fractura térmica
Yuzanú 36	3594	4160	NW	Piedra tallada
Yuzanú 36	3595	4160	NW	Piedra con fractura térmica
Yuzanú 36	3596	4162	n/a	Piedra tallada
Yuzanú 36	3597	4158	SE	Piedra tallada
Yuzanú 36	3598	4158	SE	Piedra con fractura térmica
Yuzanú 36	3599	4158	SE	Piedra con fractura térmica
Yuzanú 36	3600	4158	SE	Piedra tallada
Yuzanú 36	3601	4158	SE	Piedra tallada
Yuzanú 36	3602	4158	SE	Piedra tallada
Yuzanú 36	3603	4158	SE	Piedra con fractura térmica
Yuzanú 36	3604	4158	SE	Piedra tallada
Yuzanú 36	3605	4158	SE	Piedra tallada
Yuzanú 36	3606	4158	SE	Piedra tallada
Yuzanú 36	3607	4158	SE	Piedra tallada
Yuzanú 36	3608	4158	SE	Piedra no modificada
Yuzanú 36	3609	4158	SE	Piedra tallada
Yuzanú 36	3610	4158	SE	Piedra tallada
Yuzanú 36	3611	4158	SE	Piedra tallada
Yuzanú 36	3612	4159	NE	Hueso
Yuzanú 36	3613	4159	NE	Hueso
Yuzanú 36	3614	4159	NE	Piedra tallada
Yuzanú 36	3615	4159	NE	Piedra tallada
Yuzanú 36	3616	4162	n/a	Piedra tallada
Yuzanú 36	3617	4162	n/a	Piedra tallada
Yuzanú 36	3618	4162	n/a	Piedra tallada
Yuzanú 36	3619	4162	n/a	Piedra tallada
Yuzanú 36	3620	4158	SE	Piedra con fractura térmica
Yuzanú 36	3621	4158	SE	Piedra tallada
Yuzanú 36	3622	4158	SE	Piedra tallada
Yuzanú 36	3623	4158	SE	Hueso
Yuzanú 36	3624	4158	SE	Piedra con fractura térmica
Yuzanú 36	3625	4158	SE	Piedra tallada
Yuzanú 36	3626	4158	SE	Hueso
Yuzanú 36	3627	4158	SE	Piedra con fractura térmica
Yuzanú 36	3628	4158	SE	Piedra con fractura térmica
Yuzanú 36	3629	4158	SE	Piedra tallada
Yuzanú 36	3630	4158	SE	Piedra con fractura térmica
Yuzanú 36	3631	4158	SE	Hueso

n/a=no aplicable; p/a=por asignar

Tabla 4.3. **Registro general de objetos numerados.**

Sitio	No.	Lote	Cuadrante	Categoría
Yuzanú 36	3632	4159	SE	Piedra tallada
Yuzanú 36	3633	4159	SE	Piedra con fractura térmica
Yuzanú 36	3634	4159	SE	Piedra tallada
Yuzanú 36	3635	4159	SE	Piedra con fractura térmica
Yuzanú 36	3636	4159	SE	Piedra tallada
Yuzanú 36	3637	4159	SE	Piedra tallada
Yuzanú 36	3638	4159	SE	Piedra con fractura térmica
Yuzanú 36	3639	4159	SE	Piedra con fractura térmica
Yuzanú 36	3640	4159	SE	Piedra con fractura térmica
Yuzanú 36	3641	4159	SE	Piedra tallada
Yuzanú 36	3642	4159	SE	Piedra tallada
Yuzanú 36	3643	4159	SE	Piedra tallada
Yuzanú 36	3644	4159	SE	Piedra tallada
Yuzanú 36	3645	4159	SE	Piedra con fractura térmica
Yuzanú 36	3646	4159	SE	Piedra tallada
Yuzanú 36	3647	4159	SE	Piedra tallada
Yuzanú 36	3648	4159	SE	Piedra tallada
Yuzanú 36	3649	4159	SE	Piedra con fractura térmica
Yuzanú 36	3650	4159	SE	Piedra tallada
Yuzanú 36	3651	4159	SE	Piedra tallada
Yuzanú 36	3652	4158	SE	Hueso
Yuzanú 36	3653	4160	NW	Piedra con fractura térmica
Yuzanú 36	3654	4162	n/a	Piedra con fractura térmica
Yuzanú 36	3655	4162	n/a	Piedra con fractura térmica
Yuzanú 36	3656	4162	n/a	Piedra tallada
Yuzanú 36	3657	4162	n/a	Piedra con fractura térmica
Yuzanú 36	3658	4147	n/a	Piedra no modificada
Yuzanú 36	3659	4158	SE	Piedra tallada
Yuzanú 36	3660	4158	SE	Semilla
Yuzanú 36	3661	4158	SE	Piedra tallada
Yuzanú 36	3662	4148	NW	Piedra con fractura térmica
Yuzanú 36	3662	4158	SE	Piedra con fractura térmica
Yuzanú 36	3663	4158	SE	Hueso
Yuzanú 36	3663	4156	NE	Piedra con fractura térmica
Yuzanú 36	3664	4158	SE	Piedra tallada
Yuzanú 36	3665	4158	SE	Piedra con fractura térmica
Yuzanú 36	3666	4158	SE	Piedra tallada
Yuzanú 36	3667	4158	SE	Piedra tallada
Yuzanú 36	3668	4158	SE	Piedra con fractura térmica
Yuzanú 36	3669	4158	SE	Piedra con fractura térmica
Yuzanú 36	3670	4158	SE	Piedra con fractura térmica
Yuzanú 36	3671	4158	NE	Hueso
Yuzanú 36	3672	4158	SE	Piedra con fractura térmica
Yuzanú 36	3673	4158	SE	Piedra tallada
Yuzanú 36	3674	4158	SE	Piedra con fractura térmica
Yuzanú 36	3675	4158	SE	Piedra tallada

n/a=no aplicable; p/a=por asignar

Tabla 4.3. **Registro general de objetos numerados.**

Sitio	No.	Lote	Cuadrante	Categoría
Yuzanú 36	3676	4159	SE	Piedra tallada
Yuzanú 36	3677	4159	SE	Piedra tallada
Yuzanú 36	3678	4159	SE	Piedra con fractura térmica
Yuzanú 36	3679	4159	SE	Piedra tallada
Yuzanú 36	3680	4159	SE	Piedra con fractura térmica
Yuzanú 36	3681	4159	SE	Piedra tallada
Yuzanú 36	3682	4159	SE	Piedra con fractura térmica
Yuzanú 36	3683	4159	SE	Piedra tallada
Yuzanú 36	3684	4159	SE	Piedra tallada
Yuzanú 36	3685	4159	SE	Piedra tallada
Yuzanú 36	3686	4159	SE	Piedra tallada
Yuzanú 36	3687	4160	NW	Piedra tallada
Yuzanú 36	3688	4158	SE	Hueso
Yuzanú 36	3689	4158	SE	Piedra con fractura térmica
Yuzanú 36	3690	4159	SE	Piedra tallada
Yuzanú 36	3691	4159	SE	Hueso
Yuzanú 36	3692	4160	NW	Piedra con fractura térmica
Yuzanú 36	3693	4160	NW	Piedra con fractura térmica
Yuzanú 36	3694	4160	NW	Piedra con fractura térmica
Yuzanú 36	3695	4160	NW	Piedra con fractura térmica
Yuzanú 36	3696	4162	n/a	Piedra con fractura térmica
Yuzanú 36	3697	4162	n/a	Piedra tallada
Yuzanú 36	3698	4164	n/a	Piedra tallada
Yuzanú 36	3699	4164	n/a	Piedra con fractura térmica
Yuzanú 36	3700	4158	SW	Piedra con fractura térmica
Yuzanú 36	3701	4158	SW	Piedra con fractura térmica
Yuzanú 36	3702	4158	SW	Piedra con fractura térmica
Yuzanú 36	3703	4158	SW	Piedra tallada
Yuzanú 36	3704	4158	SW	Piedra tallada
Yuzanú 36	3705	4158	SW	Piedra con fractura térmica
Yuzanú 36	3706	4158	SW	Piedra con fractura térmica
Yuzanú 36	3707	4158	SW	Piedra con fractura térmica
Yuzanú 36	3708	4158	SW	Piedra con fractura térmica
Yuzanú 36	3709	4158	SW	Piedra con fractura térmica
Yuzanú 36	3710	4158	SW	Piedra con fractura térmica
Yuzanú 36	3711	4158	SW	Piedra tallada
Yuzanú 36	3712	4158	SW	Piedra tallada
Yuzanú 36	3713	4158	SW	Piedra con fractura térmica
Yuzanú 36	3714	4158	SW	Piedra tallada
Yuzanú 36	3715	4141	n/a	Piedra con fractura térmica
Yuzanú 36	3715	4159	SE	Piedra tallada
Yuzanú 36	3716	4159	SE	Piedra tallada
Yuzanú 36	3717	4159	SE	Piedra con fractura térmica
Yuzanú 36	3718	4160	NW	Piedra con fractura térmica
Yuzanú 36	3719	4164	n/a	Piedra con fractura térmica
Yuzanú 36	3720	4158	SW	Piedra con fractura térmica

n/a=no aplicable; p/a=por asignar

Tabla 4.3. **Registro general de objetos numerados.**

Sitio	No.	Lote	Cuadrante	Categoría
Yuzanú 36	3721	4158	SW	Piedra no modificada
Yuzanú 36	3722	4158	SW	Piedra con fractura térmica
Yuzanú 36	3723	4158	SW	Piedra tallada
Yuzanú 36	3724	4158	SW	Piedra con fractura térmica
Yuzanú 36	3725	4158	SW	Piedra no modificada
Yuzanú 36	3726	4158	SW	Piedra con fractura térmica
Yuzanú 36	3727	4159	SW	Piedra con fractura térmica
Yuzanú 36	3728	4159	SW	Piedra tallada
Yuzanú 36	3729	4159	SW	Piedra tallada
Yuzanú 36	3730	4159	SW	Piedra con fractura térmica
Yuzanú 36	3731	4159	SW	Piedra con fractura térmica
Yuzanú 36	3732	4159	SW	Piedra tallada
Yuzanú 36	3733	4159	SW	Piedra con fractura térmica
Yuzanú 36	3734	4159	SW	Piedra con fractura térmica
Yuzanú 36	3735	4159	SW	Piedra tallada
Yuzanú 36	3736	4159	SW	Piedra tallada
Yuzanú 36	3737	4159	SW	Piedra con fractura térmica
Yuzanú 36	3738	4159	SW	Piedra tallada
Yuzanú 36	3739	4159	SW	Hueso
Yuzanú 36	3740	4160	NW	Piedra con fractura térmica
Yuzanú 36	3741	4160	NW	Piedra tallada
Yuzanú 36	3742	4160	NW	Piedra con fractura térmica
Yuzanú 36	3743	4167	n/a	Piedra con fractura térmica
Yuzanú 36	3744	4167	n/a	Piedra con fractura térmica
Yuzanú 36	3745	4160	NW	Piedra tallada
Yuzanú 36	3746	4160	NW	Piedra tallada
Yuzanú 36	3747	4160	NW	Piedra tallada
Yuzanú 36	3748	4158	SW	Hueso
Yuzanú 36	3749	4158	SW	Hueso
Yuzanú 36	3750	4159	SW	Hueso
Yuzanú 36	3751	4159	SW	Piedra con fractura térmica
Yuzanú 36	3752	4159	SW	Piedra con fractura térmica
Yuzanú 36	3753	4159	SW	Piedra tallada
Yuzanú 36	3754	4159	SW	Piedra tallada
Yuzanú 36	3755	4160	NW	Piedra con fractura térmica
Yuzanú 36	3756	4160	NW	Piedra tallada
Yuzanú 36	3757	4160	NW	Piedra tallada
Yuzanú 36	3758	4160	NW	Piedra tallada
Yuzanú 36	3759	4100	NW	Piedra con fractura térmica
Yuzanú 36	3760	4167	n/a	Piedra con fractura térmica
Yuzanú 36	3761	4167	n/a	Piedra con fractura térmica
Yuzanú 36	3762	4167	n/a	Piedra tallada
Yuzanú 36	3763	4158	NW	Piedra tallada
Yuzanú 36	3764	4158	NW	Piedra tallada
Yuzanú 36	3765	4158	NW	Piedra con fractura térmica
Yuzanú 36	3766	4158	NW	Piedra tallada

n/a=no aplicable; p/a=por asignar

Tabla 4.3. **Registro general de objetos numerados.**

Sitio	No.	Lote	Cuadrante	Categoría
Yuzanú 36	3767	4158	NW	Piedra tallada
Yuzanú 36	3768	4158	NW	Piedra con fractura térmica
Yuzanú 36	3769	4158	NE	Piedra con fractura térmica
Yuzanú 36	3770	4158	NW	Piedra no modificada
Yuzanú 36	3771	4158	NW	Piedra tallada
Yuzanú 36	3772	4158	NW	Hueso
Yuzanú 36	3773	4158	NW	Hueso
Yuzanú 36	3774	4158	NW	Piedra con fractura térmica
Yuzanú 36	3775	4159	SW	Piedra tallada
Yuzanú 36	3776	4159	SW	Piedra tallada
Yuzanú 36	3777	4159	SW	Piedra tallada
Yuzanú 36	3778	4159	SW	Piedra con fractura térmica
Yuzanú 36	3779	4159	SW	Piedra con fractura térmica
Yuzanú 36	3780	4159	SW	Piedra tallada
Yuzanú 36	3781	4159	SW	Piedra tallada
Yuzanú 36	3782	4159	SW	Piedra tallada
Yuzanú 36	3783	4159	SW	Piedra tallada
Yuzanú 36	3783	4159	SW	Piedra tallada
Yuzanú 36	3784	4159	SW	Piedra con fractura térmica
Yuzanú 36	3785	4159	SW	Piedra con fractura térmica
Yuzanú 36	3786	4159	SW	Piedra tallada
Yuzanú 36	3787	4160	NW	Piedra con fractura térmica
Yuzanú 36	3788	4158	NW	Hueso
Yuzanú 36	3789	4158	NW	Piedra tallada
Yuzanú 36	3790	4158	NW	Piedra tallada
Yuzanú 36	3791	4160	NW	Hueso
Yuzanú 36	3792	4160	NW	Piedra con fractura térmica
Yuzanú 36	3793	4160	NW	Piedra tallada
Yuzanú 36	3794	4159	SW	Hueso
Yuzanú 36	3795	4159	SW	Hueso
Yuzanú 36	3796	4159	SW	Piedra tallada
Yuzanú 36	3797	4159	SW	Hueso
Yuzanú 36	3798	4159	SW	Hueso
Yuzanú 36	3799	4159	SW	Piedra tallada
Yuzanú 36	3800	4159	NW	Piedra tallada
Yuzanú 36	3801	4159	NW	Piedra con fractura térmica
Yuzanú 36	3802	4158	NW	Piedra tallada
Yuzanú 36	3803	4158	NW	Hueso
Yuzanú 36	3804	4158	NW	Piedra con fractura térmica
Yuzanú 36	3805	4158	NW	Piedra con fractura térmica
Yuzanú 36	3806	4158	NW	Piedra con fractura térmica
Yuzanú 36	3807	4158	NW	Piedra con fractura térmica
Yuzanú 36	3808	4158	NW	Piedra con fractura térmica
Yuzanú 36	3809	4158	NW	Piedra tallada
Yuzanú 36	3810	4158	NE	Piedra tallada
Yuzanú 36	3811	4158	NW	Piedra con fractura térmica

n/a=no aplicable; p/a=por asignar

Tabla 4.3. **Registro general de objetos numerados.**

Sitio	No.	Lote	Cuadrante	Categoría
Yuzanú 36	3812	4158	NW	Piedra con fractura térmica
Yuzanú 36	3813	4158	NW	Piedra tallada
Yuzanú 36	3814	4158	NW	Piedra con fractura térmica
Yuzanú 36	3815	4158	NW	Hueso
Yuzanú 36	3816	4158	NW	Piedra tallada
Yuzanú 36	3817	4158	NW	Piedra tallada
Yuzanú 36	3818	4158	NW	Hueso
Yuzanú 36	3819	4158	NW	Piedra tallada
Yuzanú 36	3820	4158	NW	Hueso
Yuzanú 36	3821	4158	NW	Piedra no modificada
Yuzanú 36	3822	4158	NW	Piedra no modificada
Yuzanú 36	3823	4158	NW	Piedra tallada
Yuzanú 36	3824	4159	NW	Piedra tallada
Yuzanú 36	3825	4159	NW	Piedra tallada
Yuzanú 36	3826	4159	NW	Piedra tallada
Yuzanú 36	3827	4159	NW	Piedra tallada
Yuzanú 36	3828	4159	NW	Piedra tallada
Yuzanú 36	3829	4159	NW	Hueso
Yuzanú 36	3830	4159	NW	Piedra con fractura térmica
Yuzanú 36	3831	4159	NW	Piedra con fractura térmica
Yuzanú 36	3832	4159	NW	Piedra con fractura térmica
Yuzanú 36	3833	4159	NW	Piedra tallada
Yuzanú 36	3834	4159	NW	Piedra tallada
Yuzanú 36	3835	4159	NW	Piedra no modificada
Yuzanú 36	3836	4159	NW	Piedra no modificada
Yuzanú 36	3837	4159	NW	Piedra con fractura térmica
Yuzanú 36	3838	4159	NW	Piedra con fractura térmica
Yuzanú 36	3839	4159	NW	Piedra con fractura térmica
Yuzanú 36	3840	4159	NW	Piedra con fractura térmica
Yuzanú 36	3841	4159	NW	Piedra con fractura térmica
Yuzanú 36	3842	4159	NW	Piedra con fractura térmica
Yuzanú 36	3843	4159	NW	Piedra tallada
Yuzanú 36	3844	4159	NW	Hueso
Yuzanú 36	3845	4158	NW	Piedra tallada
Yuzanú 36	3846	4159	NW	Hueso
Yuzanú 36	3847	4159	NW	Piedra tallada
Yuzanú 36	3848	4159	NW	Piedra tallada
Yuzanú 36	3849	4159	NW	Piedra tallada
Yuzanú 36	3850	4159	NW	Piedra no modificada
Yuzanú 36	3850	4159	NW	Piedra tallada
Yuzanú 36	3851	4159	NW	Piedra tallada
Yuzanú 36	3852	4170	NE	Piedra con fractura térmica
Yuzanú 36	3853	4170	NE	Piedra con fractura térmica
Yuzanú 36	3854	4170	NE	Piedra tallada
Yuzanú 36	3855	4170	NE	Piedra tallada
Yuzanú 36	3856	4170	NE	Piedra con fractura térmica

n/a=no aplicable; p/a=por asignar

Tabla 4.3. **Registro general de objetos numerados.**

Sitio	No.	Lote	Cuadrante	Categoría
Yuzanú 36	3857	4170	NE	Piedra con fractura térmica
Yuzanú 36	3858	4170	NE	Piedra con fractura térmica
Yuzanú 36	3859	4170	NE	Hueso
Yuzanú 36	3860	4170	NE	Hueso
Yuzanú 36	3861	4170	NE	Hueso
Yuzanú 36	3862	4170	NE	Piedra tallada
Yuzanú 36	3863	4159	NW	Piedra con fractura térmica
Yuzanú 36	3864	4159	NW	Piedra tallada
Yuzanú 36	3865	4159	NW	Piedra tallada
Yuzanú 36	3866	4159	NW	Piedra tallada
Yuzanú 36	3867	4159	NW	Piedra tallada
Yuzanú 36	3868	4159	NW	Piedra tallada
Yuzanú 36	3869	4232	NE	Piedra tallada
Yuzanú 36	3870	4232	NE	Piedra con fractura térmica
Yuzanú 36	3871	4236	NW	Piedra con fractura térmica
Yuzanú 36	3872	4227	NW	Piedra con fractura térmica
Yuzanú 36	3873	4215	n/a	Piedra con fractura térmica
Yuzanú 36	3874	4227	NW	Piedra con fractura térmica
Yuzanú 36	3875	4242	NW	Piedra tallada
Yuzanú 36	3876	4236	NW	Piedra con fractura térmica
Yuzanú 36	3877	4242	NW	Piedra con fractura térmica
Yuzanú 36	3878	4159	NW	Piedra con fractura térmica
Yuzanú 36	3879	4159	NW	Piedra tallada
Yuzanú 36	3880	4159	NW	Piedra tallada
Yuzanú 36	3881	4159	NW	Piedra tallada
Yuzanú 36	3882	4159	NW	Piedra tallada
Yuzanú 36	3883	4170	NE	Piedra con fractura térmica
Yuzanú 36	3884	4170	NE	Piedra con fractura térmica
Yuzanú 36	3885	4170	NW	Piedra no modificada
Yuzanú 36	3886	4170	NE	Piedra tallada
Yuzanú 36	3887	4170	NE	Piedra tallada
Yuzanú 36	3888	4170	NE	Piedra tallada
Yuzanú 36	3889	4170	NE	Piedra tallada
Yuzanú 36	3890	4170	NE	Hueso
Yuzanú 36	3891	4170	NE	Hueso
Yuzanú 36	3892	4170	NE	Piedra con fractura térmica
Yuzanú 36	3893	4170	NE	Piedra con fractura térmica
Yuzanú 36	3894	4170	NE	Piedra tallada
Yuzanú 36	3895	4170	NE	Piedra con fractura térmica
Yuzanú 36	3896	4170	NE	Piedra tallada
Yuzanú 36	3897	4170	NE	Hueso
Yuzanú 36	3898	4170	NE	Piedra tallada
Yuzanú 36	3899	4170	NE	Piedra con fractura térmica
Yuzanú 36	3900	4170	NE	Piedra con fractura térmica
Yuzanú 36	3901	4170	NE	Piedra tallada
Yuzanú 36	3902	4170	NE	Hueso

n/a=no aplicable; p/a=por asignar

Tabla 4.3. **Registro general de objetos numerados.**

Sitio	No.	Lote	Cuadrante	Categoría
Yuzanú 36	3903	4170	NE	Piedra tallada
Yuzanú 36	3904	4170	NE	Piedra tallada
Yuzanú 36	3905	4170	NE	Piedra tallada
Yuzanú 36	3906	4171	SW	Piedra tallada
Yuzanú 36	3907	4171	SW	Piedra tallada
Yuzanú 36	3908	4170	NE	Piedra con fractura térmica
Yuzanú 36	3909	4170	NE	Piedra tallada
Yuzanú 36	3910	4170	NE	Piedra tallada
Yuzanú 36	3911	4170	NE	Piedra con fractura térmica
Yuzanú 36	3912	4170	SE	Piedra tallada
Yuzanú 36	3913	4170	SE	Piedra con fractura térmica
Yuzanú 36	3913	4150	NE	Piedra con fractura térmica
Yuzanú 36	3914	4170	SE	Piedra con fractura térmica
Yuzanú 36	3915	4170	SE	Hueso
Yuzanú 36	3916	4171	NE	Piedra tallada
Yuzanú 36	3917	4171	NE	Piedra tallada
Yuzanú 36	3918	4171	SE	Piedra con fractura térmica
Yuzanú 36	3919	4158	NW	Piedra tallada
Yuzanú 36	3920	4170	SE	Piedra tallada
Yuzanú 36	3921	4170	SW	Piedra con fractura térmica
Yuzanú 36	3922	4170	SW	Piedra tallada
Yuzanú 36	3923	4170	SW	Piedra con fractura térmica
Yuzanú 36	3924	4171	SE	Piedra con fractura térmica
Yuzanú 36	3925	4171	SE	Piedra con fractura térmica
Yuzanú 36	3926	4171	SW	Piedra con fractura térmica
Yuzanú 36	3927	4070	SW	Piedra con fractura térmica
Yuzanú 36	3928	4170	SW	Piedra con fractura térmica
Yuzanú 36	3929	4170	SW	Piedra con fractura térmica
Yuzanú 36	3930	4170	SW	Piedra con fractura térmica
Yuzanú 36	3931	4170	SW	Piedra con fractura térmica
Yuzanú 36	3932	4170	SW	Piedra tallada
Yuzanú 36	3933	4170	SW	Piedra tallada
Yuzanú 36	3934	4170	SW	Piedra con fractura térmica
Yuzanú 36	3935	4140	SW	Piedra no modificada
Yuzanú 36	3935	4140	SW	Piedra tallada
Yuzanú 36	3936	4170	SW	Piedra tallada
Yuzanú 36	3937	4170	SW	Piedra con fractura térmica
Yuzanú 36	3938	4170	SW	Piedra tallada
Yuzanú 36	3939	4171	NW	Piedra con fractura térmica
Yuzanú 36	3940	4170	SW	Piedra con fractura térmica
Yuzanú 36	3941	4170	SW	Piedra tallada
Yuzanú 36	3942	4174	n/a	Piedra tallada
Yuzanú 36	3943	4170	SW	Piedra tallada
Yuzanú 36	3944	4170	NW	Piedra tallada
Yuzanú 36	3945	4170	NW	Hueso
Yuzanú 36	3946	4174	n/a	Piedra con fractura térmica

n/a=no aplicable; p/a=por asignar

Tabla 4.3. **Registro general de objetos numerados.**

Sitio	No.	Lote	Cuadrante	Categoría
Yuzanú 36	3947	4170	NW	Piedra tallada
Yuzanú 36	3948	4174	n/a	Piedra con fractura térmica
Yuzanú 36	3949	4174	n/a	Piedra con fractura térmica
Yuzanú 36	3950	4174	n/a	Piedra con fractura térmica
Yuzanú 36	3951	4174	n/a	Piedra con fractura térmica
Yuzanú 36	3952	4174	n/a	Piedra con fractura térmica
Yuzanú 36	3953	4170	NW	Piedra con fractura térmica
Yuzanú 36	3954	4170	NW	Piedra con fractura térmica
Yuzanú 36	3955	4170	NW	Piedra con fractura térmica
Yuzanú 36	3956	4170	NW	Hueso
Yuzanú 36	3957	4170	NW	Hueso
Yuzanú 36	3958	4170	NW	Piedra con fractura térmica
Yuzanú 36	3959	4176	n/a	Piedra tallada
Yuzanú 36	3960	4170	NW	Piedra con fractura térmica
Yuzanú 36	3961	4170	NW	Piedra con fractura térmica
Yuzanú 36	3962	4170	NW	Piedra con fractura térmica
Yuzanú 36	3963	4170	NW	Piedra con fractura térmica
Yuzanú 36	3964	4170	NW	Piedra con fractura térmica
Yuzanú 36	3965	4170	NW	Piedra con fractura térmica
Yuzanú 36	3966	4176	n/a	Piedra tallada
Yuzanú 36	3967	4170	NW	Piedra con fractura térmica
Yuzanú 36	3968	4170	NW	Piedra con fractura térmica
Yuzanú 36	3969	4170	NW	Piedra con fractura térmica
Yuzanú 36	3970	4170	NW	Piedra con fractura térmica
Yuzanú 36	3971	4170	NW	Piedra con fractura térmica
Yuzanú 36	3972	4170	NW	Piedra con fractura térmica
Yuzanú 36	3973	4170	NW	Piedra con fractura térmica
Yuzanú 36	3974	4170	NW	Piedra con fractura térmica
Yuzanú 36	3975	4170	NW	Piedra con fractura térmica
Yuzanú 36	3976	4170	NW	Piedra no modificada
Yuzanú 36	3976	4170	NW	Piedra tallada
Yuzanú 36	3977	4170	NW	Piedra no modificada
Yuzanú 36	3978	4170	NW	Piedra con fractura térmica
Yuzanú 36	3979	4170	NW	Piedra con fractura térmica
Yuzanú 36	3980	4176	n/a	Piedra tallada
Yuzanú 36	3981	4176	n/a	Piedra tallada
Yuzanú 36	3982	4170	NW	Piedra con fractura térmica
Yuzanú 36	3983	4170	NW	Hueso
Yuzanú 36	3984	4177	NE	Piedra tallada
Yuzanú 36	3985	4177	NE	Piedra tallada
Yuzanú 36	3986	4177	NE	Piedra tallada
Yuzanú 36	3987	4178	n/a	Piedra tallada
Yuzanú 36	3988	4176	n/a	Piedra tallada
Yuzanú 36	3989	4177	NE	Piedra tallada
Yuzanú 36	3990	4177	NW	Piedra tallada
Yuzanú 36	3991	4179	n/a	Piedra tallada

n/a=no aplicable; p/a=por asignar

Tabla 4.3. **Registro general de objetos numerados.**

Sitio	No.	Lote	Cuadrante	Categoría
Yuzanú 36	3992	4177	NW	Piedra con fractura térmica
Yuzanú 36	3993	4177	NW	Piedra tallada
Yuzanú 36	3994	4177	SW	Piedra no modificada
Yuzanú 36	3995	4183	NE	Piedra no modificada
Yuzanú 36	3996	4183	p/a	Piedra con fractura térmica
Yuzanú 36	3997	4183	NE	Piedra con fractura térmica
Yuzanú 36	3998	4183	NE	Piedra tallada
Yuzanú 36	3999	4183	NE	Piedra con fractura térmica
Yuzanú 36	5000	4185	NE	Hueso
Yuzanú 36	5001	4183	NE	Piedra con fractura térmica
Yuzanú 36	5002	4183	NE	Piedra con fractura térmica
Yuzanú 36	5003	4185	NE	Piedra con fractura térmica
Yuzanú 36	5004	4185	NE	Piedra con fractura térmica
Yuzanú 36	5005	4184	NE	Piedra tallada
Yuzanú 36	5006	4184	NE	Piedra tallada
Yuzanú 36	5007	4184	NE	Piedra tallada
Yuzanú 36	5008	4185	NE	Piedra tallada
Yuzanú 36	5009	4185	NE	Piedra con fractura térmica
Yuzanú 36	5010	4183	NE	Piedra con fractura térmica
Yuzanú 36	5011	4183	NE	Piedra con fractura térmica
Yuzanú 36	5012	4183	NE	Piedra con fractura térmica
Yuzanú 36	5013	4183	NE	Piedra tallada
Yuzanú 36	5014	4183	NE	Piedra con fractura térmica
Yuzanú 36	5015	4183	SE	Piedra con fractura térmica
Yuzanú 36	5016	4183	SE	Piedra con fractura térmica
Yuzanú 36	5017	4183	SE	Piedra con fractura térmica
Yuzanú 36	5018	4183	SE	Piedra no modificada
Yuzanú 36	5019	4183	SE	Piedra con fractura térmica
Yuzanú 36	5020	4183	SE	Piedra tallada
Yuzanú 36	5021	4185	NE	Piedra tallada
Yuzanú 36	5021	4184	NE	Piedra tallada
Yuzanú 36	5022	4184	NE	Piedra tallada
Yuzanú 36	5023	4184	NE	Piedra con fractura térmica
Yuzanú 36	5024	4184	NE	Piedra con fractura térmica
Yuzanú 36	5025	4185	NE	Piedra tallada
Yuzanú 36	5026	4185	NE	Piedra tallada
Yuzanú 36	5027	4185	NE	Piedra tallada
Yuzanú 36	5028	4185	NE	Piedra tallada
Yuzanú 36	5029	4185	NE	Piedra con fractura térmica
Yuzanú 36	5030	4185	NE	Piedra con fractura térmica
Yuzanú 36	5031	4185	NE	Piedra con fractura térmica
Yuzanú 36	5032	4183	SE	Piedra tallada
Yuzanú 36	5033	4183	SE	Piedra tallada
Yuzanú 36	5034	4183	SE	Piedra con fractura térmica
Yuzanú 36	5035	4184	NE	Piedra tallada
Yuzanú 36	5036	4184	NE	Piedra con fractura térmica

n/a=no aplicable; p/a=por asignar

Tabla 4.3. **Registro general de objetos numerados.**

Sitio	No.	Lote	Cuadrante	Categoría
Yuzanú 36	5037	4184	NE	Piedra tallada
Yuzanú 36	5038	4241	NW	Piedra con fractura térmica
Yuzanú 36	5039	4228	NE	Piedra con fractura térmica
Yuzanú 36	5040	4239	n/a	Hueso
Yuzanú 36	5041	4088	n/a	Piedra no modificada
Yuzanú 36	5042	4239	n/a	Hueso
Yuzanú 36	5043	4239	n/a	Hueso
Yuzanú 36	5044	4239	n/a	Hueso
Yuzanú 36	5045	4231	NW	Piedra tallada
Yuzanú 36	5046	4231	NW	Piedra con fractura térmica
Yuzanú 36	5047	4235	NW	Piedra no modificada
Yuzanú 36	5048	4230	n/a	Piedra tallada
Yuzanú 36	5049	4183	SW	Piedra tallada
Yuzanú 36	5050	4183	SW	Piedra tallada
Yuzanú 36	5051	4184	SE	Hueso
Yuzanú 36	5052	4184	SE	Piedra tallada
Yuzanú 36	5053	4184	SE	Piedra tallada
Yuzanú 36	5054	4181	n/a	Piedra no modificada
Yuzanú 36	5055	4183	NE	Piedra con fractura térmica
Yuzanú 36	5056	4183	SW	Piedra con fractura térmica
Yuzanú 36	5057	4183	SW	Piedra tallada
Yuzanú 36	5058	4183	SW	Piedra tallada
Yuzanú 36	5059	4185	NW	Piedra tallada
Yuzanú 36	5060	4185	NW	Piedra tallada
Yuzanú 36	5061	4185	NW	Piedra no modificada
Yuzanú 36	5062	4184	SE	Piedra tallada
Yuzanú 36	5063	4184	SE	Piedra tallada
Yuzanú 36	5064	4184	SE	Piedra tallada
Yuzanú 36	5065	4181	n/a	Piedra con fractura térmica
Yuzanú 36	5066	4185	NW	Piedra tallada
Yuzanú 36	5067	4184	SW	Piedra con fractura térmica
Yuzanú 36	5068	4184	SW	Piedra tallada
Yuzanú 36	5069	4184	SW	Piedra tallada
Yuzanú 36	5070	4184	SW	Piedra tallada
Yuzanú 36	5071	4183	SW	Piedra tallada
Yuzanú 36	5072	4183	NW	Piedra tallada
Yuzanú 36	5073	4181	n/a	Piedra tallada
Yuzanú 36	5074	4186	NE	Piedra con fractura térmica
Yuzanú 36	5075	4186	NE	Piedra no modificada
Yuzanú 36	5076	4186	NE	Piedra con fractura térmica
Yuzanú 36	5077	4186	NE	Piedra no modificada
Yuzanú 36	5078	4186	NE	Piedra con fractura térmica
Yuzanú 36	5079	4186	NE	Piedra con fractura térmica
Yuzanú 36	5080	4186	NE	Piedra tallada
Yuzanú 36	5081	4186	NE	Hueso
Yuzanú 36	5082	4183	NW	Piedra tallada

n/a=no aplicable; p/a=por asignar

Tabla 4.3. **Registro general de objetos numerados.**

Sitio	No.	Lote	Cuadrante	Categoría
Yuzanú 36	5083	4184	NW	Piedra tallada
Yuzanú 36	5084	4184	NW	Piedra tallada
Yuzanú 36	5085	4181	n/a	Piedra con fractura térmica
Yuzanú 36	5086	4186	NW	Hueso
Yuzanú 36	5087	4186	NW	Plástico
Yuzanú 36	5088	4186	NW	Piedra tallada
Yuzanú 36	5089	4186	NW	Piedra con fractura térmica
Yuzanú 36	5090	4186	NW	Piedra con fractura térmica
Yuzanú 36	5091	4186	NW	Piedra con fractura térmica
Yuzanú 36	5092	4186	NW	Piedra con fractura térmica
Yuzanú 36	5093	4186	NW	Piedra con fractura térmica
Yuzanú 36	5094	4186	NW	Piedra con fractura térmica
Yuzanú 36	5095	4188	NE	Hueso
Yuzanú 36	5096	4186	NW	Piedra tallada
Yuzanú 36	5097	4186	NW	Piedra tallada
Yuzanú 36	5098	4186	NW	Piedra con fractura térmica
Yuzanú 36	5099	4186	NW	Piedra con fractura térmica
Yuzanú 36	5100	4188	NE	Piedra con fractura térmica
Yuzanú 36	5101	4186	NE	Piedra con fractura térmica
Yuzanú 36	5102	4186	NE	Piedra con fractura térmica
Yuzanú 36	5103	4188	NE	Piedra tallada
Yuzanú 36	5104	4188	NE	Piedra con fractura térmica
Yuzanú 36	5105	4188	NE	Piedra tallada
Yuzanú 36	5106	4188	NE	Piedra con fractura térmica
Yuzanú 36	5107	4188	NE	Piedra tallada
Yuzanú 36	5108	4188	NE	Piedra tallada
Yuzanú 36	5109	4187	SE	Piedra tallada
Yuzanú 36	5110	4187	SE	Piedra tallada
Yuzanú 36	5111	4187	SE	Piedra con fractura térmica
Yuzanú 36	5112	4187	SW	Piedra con fractura térmica
Yuzanú 36	5113	4187	SW	Piedra no modificada
Yuzanú 36	5114	4187	SW	Piedra con fractura térmica
Yuzanú 36	5115	4188	SE	Piedra con fractura térmica
Yuzanú 36	5116	4188	SE	Piedra con fractura térmica
Yuzanú 36	5117	4188	SE	Piedra con fractura térmica
Yuzanú 36	5118	4188	SE	Piedra con fractura térmica
Yuzanú 36	5119	4188	SE	Piedra con fractura térmica
Yuzanú 36	5120	4188	SE	Piedra con fractura térmica
Yuzanú 36	5121	4188	SE	Piedra con fractura térmica
Yuzanú 36	5122	4188	SE	Piedra tallada
Yuzanú 36	5123	4188	SE	Piedra con fractura térmica
Yuzanú 36	5124	4188	SE	Piedra con fractura térmica
Yuzanú 36	5125	4188	SW	Piedra con fractura térmica
Yuzanú 36	5126	4188	SW	Piedra tallada
Yuzanú 36	5127	4188	SW	Piedra con fractura térmica
Yuzanú 36	5128	4188	SW	Piedra tallada

n/a=no aplicable; p/a=por asignar

Tabla 4.3. **Registro general de objetos numerados.**

Sitio	No.	Lote	Cuadrante	Categoría
Yuzanú 36	5129	4188	SW	Piedra tallada
Yuzanú 36	5130	4188	SW	Piedra tallada
Yuzanú 36	5131	4187	NW	Piedra tallada
Yuzanú 36	5132	4187	NW	Piedra con fractura térmica
Yuzanú 36	5133	4187	NW	Piedra con fractura térmica
Yuzanú 36	5134	4188	NW	Piedra tallada
Yuzanú 36	5135	4188	NW	Piedra con fractura térmica
Yuzanú 36	5136	4192	n/a	Piedra con fractura térmica
Yuzanú 36	5137	4192	n/a	Piedra tallada
Yuzanú 36	5138	4192	n/a	Piedra con fractura térmica
Yuzanú 36	5139	4192	n/a	Piedra con fractura térmica
Yuzanú 36	5140	4191	n/a	Hueso
Yuzanú 36	5141	4193	n/a	Piedra tallada
Yuzanú 36	5142	4191	n/a	Piedra tallada
Yuzanú 36	5143	4193	n/a	Piedra tallada
Yuzanú 36	5144	4193	n/a	Piedra con fractura térmica
Yuzanú 36	5145	4191	n/a	Piedra con fractura térmica
Yuzanú 36	5146	4196	NE	Piedra tallada
Yuzanú 36	5147	4196	NE	Piedra con fractura térmica
Yuzanú 36	5148	4196	NE	Piedra tallada
Yuzanú 36	5149	4196	NE	Piedra tallada
Yuzanú 36	5150	4196	NE	Piedra con fractura térmica
Yuzanú 36	5151	4196	NE	Hueso
Yuzanú 36	5152	4196	NE	Piedra tallada
Yuzanú 36	5153	4196	NE	Piedra con fractura térmica
Yuzanú 36	5154	4196	NE	Piedra con fractura térmica
Yuzanú 36	5155	4196	NE	Piedra tallada
Yuzanú 36	5156	4196	NE	Piedra con fractura térmica
Yuzanú 36	5157	4196	NE	Piedra con fractura térmica
Yuzanú 36	5158	4196	NE	Piedra tallada
Yuzanú 36	5159	4195	NE	Piedra tallada
Yuzanú 36	5160	4195	NE	Piedra con fractura térmica
Yuzanú 36	5161	4195	NE	Piedra tallada
Yuzanú 36	5162	4195	NE	Piedra con fractura térmica
Yuzanú 36	5163	4195	NE	Piedra con fractura térmica
Yuzanú 36	5164	4195	NE	Piedra tallada
Yuzanú 36	5165	4196	NE	Piedra tallada
Yuzanú 36	5166	4196	NE	Piedra tallada
Yuzanú 36	5167	4196	NE	Piedra tallada
Yuzanú 36	5168	4196	NE	Piedra tallada
Yuzanú 36	5169	4196	NE	Piedra tallada
Yuzanú 36	5170	4196	NE	Piedra tallada
Yuzanú 36	5171	4196	NE	Piedra tallada
Yuzanú 36	5172	4196	NE	Piedra con fractura térmica
Yuzanú 36	5173	4196	NE	Piedra con fractura térmica
Yuzanú 36	5174	4195	NE	Piedra tallada

n/a=no aplicable; p/a=por asignar

Tabla 4.3. **Registro general de objetos numerados.**

Sitio	No.	Lote	Cuadrante	Categoría
Yuzanú 36	5175	4195	NE	Piedra con fractura térmica
Yuzanú 36	5176	4202	n/a	Piedra con fractura térmica
Yuzanú 36	5177	4195	NE	Piedra tallada
Yuzanú 36	5178	4195	SE	Piedra con fractura térmica
Yuzanú 36	5179	4195	SE	Piedra con fractura térmica
Yuzanú 36	5180	4195	SE	Piedra con fractura térmica
Yuzanú 36	5181	4195	SE	Piedra con fractura térmica
Yuzanú 36	5182	4196	NE	Piedra tallada
Yuzanú 36	5183	4195	NE	Piedra tallada
Yuzanú 36	5184	4196	SE	Piedra tallada
Yuzanú 36	5185	4196	SE	Piedra tallada
Yuzanú 36	5186	4196	SE	Piedra tallada
Yuzanú 36	5187	4196	SE	Piedra tallada
Yuzanú 36	5188	4196	SE	Piedra con fractura térmica
Yuzanú 36	5189	4202	n/a	Piedra con fractura térmica
Yuzanú 36	5190	4202	n/a	Piedra con fractura térmica
Yuzanú 36	5191	4202	n/a	Piedra con fractura térmica
Yuzanú 36	5192	4202	n/a	Piedra tallada
Yuzanú 36	5193	4196	SE	Piedra con fractura térmica
Yuzanú 36	5194	4196	SE	Piedra tallada
Yuzanú 36	5195	4196	SW	Piedra tallada
Yuzanú 36	5196	4196	SW	Piedra tallada
Yuzanú 36	5197	4196	NW	Piedra con fractura térmica
Yuzanú 36	5198	4196	SW	Piedra tallada
Yuzanú 36	5199	4196	SW	Piedra tallada
Yuzanú 36	5200	4196	SW	Piedra con fractura térmica
Yuzanú 36	5201	4196	SW	Piedra con fractura térmica
Yuzanú 36	5202	4195	SE	Piedra tallada
Yuzanú 36	5203	4195	SE	Piedra tallada
Yuzanú 36	5204	4195	SE	Piedra tallada
Yuzanú 36	5205	4195	SE	Piedra con fractura térmica
Yuzanú 36	5205	4206	SE	Piedra con fractura térmica
Yuzanú 36	5206	4195	NW	Piedra con fractura térmica
Yuzanú 36	5207	4195	NW	Hueso
Yuzanú 36	5208	4195	NW	Piedra con fractura térmica
Yuzanú 36	5209	4195	NW	Piedra tallada
Yuzanú 36	5210	4195	NW	Piedra con fractura térmica
Yuzanú 36	5211	4195	NW	Piedra con fractura térmica
Yuzanú 36	5212	4195	NW	Piedra con fractura térmica
Yuzanú 36	5213	4196	SW	Piedra tallada
Yuzanú 36	5214	4196	SW	Piedra con fractura térmica
Yuzanú 36	5215	4196	SW	Piedra tallada
Yuzanú 36	5216	4196	SW	Piedra no modificada
Yuzanú 36	5217	4196	NW	Piedra tallada
Yuzanú 36	5218	4196	NW	Piedra tallada
Yuzanú 36	5219	4196	NW	Piedra con fractura térmica

n/a=no aplicable; p/a=por asignar

Tabla 4.3. **Registro general de objetos numerados.**

Sitio	No.	Lote	Cuadrante	Categoría
Yuzanú 36	5219	4213	n/a	Piedra con fractura térmica
Yuzanú 36	5220	4195	NW	Piedra con fractura térmica
Yuzanú 36	5221	4195	NW	Piedra con fractura térmica
Yuzanú 36	5222	4195	NW	Piedra tallada
Yuzanú 36	5223	4196	NW	Piedra tallada
Yuzanú 36	5224	4196	NW	Piedra tallada
Yuzanú 36	5225	4196	NW	Piedra tallada
Yuzanú 36	5226	4196	NW	Piedra con fractura térmica
Yuzanú 36	5227	4196	NW	Piedra tallada
Yuzanú 36	5228	4196	NW	Piedra con fractura térmica
Yuzanú 36	5229	4196	NW	Piedra con fractura térmica
Yuzanú 36	5230	4196	NW	Piedra no modificada
Yuzanú 36	5231	4196	NW	Piedra tallada
Yuzanú 36	5232	4197	NW	Piedra con fractura térmica
Yuzanú 36	5233	4196	NW	Piedra tallada
Yuzanú 36	5234	4197	NE	Piedra tallada
Yuzanú 36	5235	4197	NE	Piedra con fractura térmica
Yuzanú 36	5236	4196	NW	Piedra no modificada
Yuzanú 36	5237	4196	NW	Piedra con fractura térmica
Yuzanú 36	5237	4210	n/a	Piedra tallada
Yuzanú 36	5238	4203	n/a	Piedra con fractura térmica
Yuzanú 36	5239	4203	n/a	Piedra tallada
Yuzanú 36	5240	4203	n/a	Piedra con fractura térmica
Yuzanú 36	5241	4203	n/a	Piedra tallada
Yuzanú 36	5242	4203	n/a	Piedra tallada
Yuzanú 36	5243	4203	n/a	Piedra tallada
Yuzanú 36	5244	4203	n/a	Piedra tallada
Yuzanú 36	5245	4203	n/a	Hueso
Yuzanú 36	5246	4203	n/a	Piedra con fractura térmica
Yuzanú 36	5247	4204	n/a	Piedra con fractura térmica
Yuzanú 36	5248	4204	n/a	Piedra con fractura térmica
Yuzanú 36	5249	4203	n/a	Piedra con fractura térmica
Yuzanú 36	5250	4203	n/a	Piedra tallada
Yuzanú 36	5251	4203	n/a	Piedra tallada
Yuzanú 36	5252	4203	n/a	Piedra con fractura térmica
Yuzanú 36	5253	4203	n/a	Piedra tallada
Yuzanú 36	5254	4203	n/a	Piedra tallada
Yuzanú 36	5255	4203	n/a	Piedra tallada
Yuzanú 36	5256	4203	n/a	Piedra tallada
Yuzanú 36	5257	4203	n/a	Piedra no modificada
Yuzanú 36	5258	4203	n/a	Piedra con fractura térmica
Yuzanú 36	5259	4204	n/a	Piedra con fractura térmica
Yuzanú 36	5260	4204	n/a	Piedra tallada
Yuzanú 36	5261	4204	n/a	Piedra con fractura térmica
Yuzanú 36	5262	4203	n/a	Piedra tallada
Yuzanú 36	5263	4203	n/a	Piedra tallada

n/a=no aplicable; p/a=por asignar

Tabla 4.3. **Registro general de objetos numerados.**

Sitio	No.	Lote	Cuadrante	Categoría
Yuzanú 36	5264	4203	n/a	Piedra tallada
Yuzanú 36	5265	4203	n/a	Piedra tallada
Yuzanú 36	5266	4203	n/a	Piedra tallada
Yuzanú 36	5267	4203	n/a	Piedra tallada
Yuzanú 36	5268	4203	n/a	Piedra tallada
Yuzanú 36	5269	4203	n/a	Piedra tallada
Yuzanú 36	5270	4204	n/a	Piedra tallada
Yuzanú 36	5271	4207	n/a	Piedra tallada
Yuzanú 36	5272	4206	NE	Piedra con fractura térmica
Yuzanú 36	5273	4206	NE	Piedra tallada
Yuzanú 36	5274	4207	n/a	Piedra con fractura térmica
Yuzanú 36	5275	4207	n/a	Piedra tallada
Yuzanú 36	5276	4208	n/a	Piedra con fractura térmica
Yuzanú 36	5277	4208	n/a	Piedra con fractura térmica
Yuzanú 36	5278	4208	n/a	Piedra con fractura térmica
Yuzanú 36	5279	4208	n/a	Piedra con fractura térmica
Yuzanú 36	5280	4206	NE	Piedra con fractura térmica
Yuzanú 36	5281	4206	NE	Piedra con fractura térmica
Yuzanú 36	5282	4207	n/a	Piedra tallada
Yuzanú 36	5283	4207	n/a	Piedra tallada
Yuzanú 36	5284	4208	n/a	Piedra con fractura térmica
Yuzanú 36	5285	4208	n/a	Piedra tallada
Yuzanú 36	5286	4208	n/a	Piedra con fractura térmica
Yuzanú 36	5287	4208	n/a	Piedra no modificada
Yuzanú 36	5288	4209	n/a	Piedra con fractura térmica
Yuzanú 36	5289	4207	n/a	Piedra tallada
Yuzanú 36	5290	4207	n/a	Hueso
Yuzanú 36	5291	4207	n/a	Piedra no modificada
Yuzanú 36	5292	4207	n/a	Piedra con fractura térmica
Yuzanú 36	5293	4207	n/a	Piedra tallada
Yuzanú 36	5294	4207	n/a	Piedra tallada
Yuzanú 36	5295	4208	n/a	Piedra tallada
Yuzanú 36	5296	4208	n/a	Piedra tallada
Yuzanú 36	5297	4208	n/a	Piedra no modificada
Yuzanú 36	5298	4208	n/a	Piedra con fractura térmica
Yuzanú 36	5299	4207	n/a	Piedra tallada
Yuzanú 36	5300	4207	n/a	Piedra tallada
Yuzanú 36	5301	4206	SE	Piedra tallada
Yuzanú 36	5302	4206	SE	Piedra con fractura térmica
Yuzanú 36	5303	4206	SE	Piedra tallada
Yuzanú 36	5304	4206	SE	Piedra no modificada
Yuzanú 36	5305	4206	SE	Piedra con fractura térmica
Yuzanú 36	5306	4206	SE	Piedra con fractura térmica
Yuzanú 36	5307	4206	SE	Piedra tallada
Yuzanú 36	5308	4206	SE	Piedra tallada
Yuzanú 36	5309	4206	SE	Piedra tallada

n/a=no aplicable; p/a=por asignar

Tabla 4.3. **Registro general de objetos numerados.**

Sitio	No.	Lote	Cuadrante	Categoría
Yuzanú 36	5310	4207	n/a	Piedra tallada
Yuzanú 36	5311	4207	n/a	Piedra con fractura térmica
Yuzanú 36	5312	4207	n/a	Piedra con fractura térmica
Yuzanú 36	5313	4207	n/a	Piedra con fractura térmica
Yuzanú 36	5314	4207	n/a	Piedra con fractura térmica
Yuzanú 36	5315	4207	n/a	Piedra tallada
Yuzanú 36	5316	4208	n/a	Piedra con fractura térmica
Yuzanú 36	5317	4209	n/a	Piedra con fractura térmica
Yuzanú 36	5318	4213	n/a	Piedra con fractura térmica
Yuzanú 36	5319	4213	n/a	Piedra con fractura térmica
Yuzanú 36	5320	4213	n/a	Piedra con fractura térmica
Yuzanú 36	5321	4213	n/a	Piedra con fractura térmica
Yuzanú 36	5322	4206	SE	Piedra tallada
Yuzanú 36	5323	4206	NW	Piedra tallada
Yuzanú 36	5324	4206	NW	Piedra con fractura térmica
Yuzanú 36	5325	4206	NW	Piedra tallada
Yuzanú 36	5326	4206	NW	Piedra no modificada
Yuzanú 36	5327	4210	n/a	Piedra tallada
Yuzanú 36	5328	4210	n/a	Piedra con fractura térmica
Yuzanú 36	5329	4210	n/a	Piedra tallada
Yuzanú 36	5330	4213	n/a	Piedra con fractura térmica
Yuzanú 36	5331	4213	n/a	Piedra con fractura térmica
Yuzanú 36	5332	4206	NE	Hueso
Yuzanú 36	5333	4210	n/a	Piedra con fractura térmica
Yuzanú 36	5334	4210	n/a	Piedra tallada
Yuzanú 36	5335	4211	n/a	Piedra tallada
Yuzanú 36	5336	4211	n/a	Piedra con fractura térmica
Yuzanú 36	5337	4211	n/a	Piedra tallada
Yuzanú 36	5338	4211	n/a	Piedra tallada
Yuzanú 36	5339	4211	n/a	Piedra con fractura térmica
Yuzanú 36	5340	4213	n/a	Piedra con fractura térmica
Yuzanú 36	5341	4213	n/a	Piedra no modificada
Yuzanú 36	5342	4213	n/a	Piedra con fractura térmica
Yuzanú 36	5343	4213	n/a	Piedra con fractura térmica
Yuzanú 36	5344	4213	n/a	Piedra no modificada
Yuzanú 36	5345	4213	n/a	Piedra con fractura térmica
Yuzanú 36	5346	4213	n/a	Piedra con fractura térmica
Yuzanú 36	5347	4213	n/a	Piedra tallada
Yuzanú 36	5348	4213	n/a	Hueso
Yuzanú 36	5349	4206	NW	Piedra con fractura térmica
Yuzanú 36	5350	4206	NW	Piedra con fractura térmica
Yuzanú 36	5351	4206	NW	Piedra con fractura térmica
Yuzanú 36	5352	4211	n/a	Piedra con fractura térmica
Yuzanú 36	5353	4213	n/a	Piedra con fractura térmica
Yuzanú 36	5354	4214	NE	Piedra con fractura térmica
Yuzanú 36	5355	4214	NE	Piedra con fractura térmica

n/a=no aplicable; p/a=por asignar

Tabla 4.3. **Registro general de objetos numerados.**

Sitio	No.	Lote	Cuadrante	Categoría
Yuzanú 36	5356	4214	NE	Piedra con fractura térmica
Yuzanú 36	5357	4214	NE	Piedra tallada
Yuzanú 36	5358	4214	NE	Piedra con fractura térmica
Yuzanú 36	5359	4213	n/a	Piedra tallada
Yuzanú 36	5360	4213	n/a	Piedra con fractura térmica
Yuzanú 36	5361	4213	n/a	Piedra no modificada
Yuzanú 36	5361	4213	n/a	Piedra tallada
Yuzanú 36	5362	4213	n/a	Piedra con fractura térmica
Yuzanú 36	5363	4217	n/a	Piedra tallada
Yuzanú 36	5364	4217	n/a	Piedra con fractura térmica
Yuzanú 36	5365	4217	n/a	Piedra tallada
Yuzanú 36	5366	4217	n/a	Piedra con fractura térmica
Yuzanú 36	5367	4217	n/a	Piedra no modificada
Yuzanú 36	5367	4217	n/a	Piedra tallada
Yuzanú 36	5368	4217	n/a	Piedra con fractura térmica
Yuzanú 36	5369	4217	n/a	Piedra con fractura térmica
Yuzanú 36	5370	4218	n/a	Piedra con fractura térmica
Yuzanú 36	5371	4218	n/a	Piedra con fractura térmica
Yuzanú 36	5372	4218	n/a	Piedra tallada
Yuzanú 36	5373	4218	n/a	Piedra con fractura térmica
Yuzanú 36	5374	4218	n/a	Piedra tallada
Yuzanú 36	5375	4219	n/a	Piedra con fractura térmica
Yuzanú 36	5376	4219	n/a	Piedra con fractura térmica
Yuzanú 36	5377	4219	n/a	Piedra con fractura térmica
Yuzanú 36	5378	4219	n/a	Piedra con fractura térmica
Yuzanú 36	5379	4219	n/a	Piedra con fractura térmica
Yuzanú 36	5380	4213	n/a	Piedra tallada
Yuzanú 36	5381	4213	n/a	Piedra pulida
Yuzanú 36	5382	4213	n/a	Piedra tallada
Yuzanú 36	5383	4213	n/a	Piedra con fractura térmica
Yuzanú 36	5384	4213	n/a	Hueso
Yuzanú 36	5385	4217	n/a	Piedra con fractura térmica
Yuzanú 36	5386	4217	n/a	Piedra no modificada
Yuzanú 36	5387	4217	n/a	Piedra tallada
Yuzanú 36	5388	4217	n/a	Piedra tallada
Yuzanú 36	5389	4217	n/a	Piedra tallada
Yuzanú 36	5390	4217	n/a	Piedra con fractura térmica
Yuzanú 36	5391	4217	n/a	Piedra con fractura térmica
Yuzanú 36	5392	4218	n/a	Piedra con fractura térmica
Yuzanú 36	5393	4218	n/a	Piedra con fractura térmica
Yuzanú 36	5394	4218	n/a	Piedra tallada
Yuzanú 36	5395	4218	n/a	Piedra tallada
Yuzanú 36	5396	4218	n/a	Piedra con fractura térmica
Yuzanú 36	5397	4218	n/a	Piedra con fractura térmica
Yuzanú 36	5398	4219	n/a	Piedra tallada
Yuzanú 36	5399	4219	n/a	Piedra con fractura térmica

n/a=no aplicable; p/a=por asignar

Tabla 4.3. **Registro general de objetos numerados.**

Sitio	No.	Lote	Cuadrante	Categoría
Yuzanú 36	5400	4220	n/a	Piedra con fractura térmica
Yuzanú 36	5401	4220	n/a	Piedra no modificada
Yuzanú 36	5402	4220	n/a	Piedra tallada
Yuzanú 36	5403	4220	n/a	Piedra tallada
Yuzanú 36	5404	4220	n/a	Piedra tallada
Yuzanú 36	5405	4220	n/a	Piedra no modificada
Yuzanú 36	5406	4221	n/a	Piedra tallada
Yuzanú 36	5407	4221	n/a	Piedra no modificada
Yuzanú 36	5408	4222	n/a	Piedra con fractura térmica
Yuzanú 36	5409	4222	n/a	Piedra con fractura térmica
Yuzanú 36	5410	4221	n/a	Piedra tallada
Yuzanú 36	5411	4221	n/a	Piedra tallada
Yuzanú 36	5411	4221	n/a	Piedra no modificada
Yuzanú 36	5412	4222	n/a	Piedra no modificada
Yuzanú 36	5413	4222	n/a	Piedra con fractura térmica
Yuzanú 36	5414	4222	n/a	Piedra tallada
Yuzanú 36	5415	4222	n/a	Piedra no modificada
Yuzanú 36	5416	4222	n/a	Piedra con fractura térmica
Yuzanú 36	5417	4223	n/a	Hueso
Yuzanú 36	5418	4223	n/a	Piedra pulida
Yuzanú 36	5419	4225	NE	Piedra tallada
Yuzanú 36	5420	4225	NE	Piedra con fractura térmica
Yuzanú 36	5421	4225	NE	Piedra con fractura térmica
Yuzanú 36	5422	4225	NE	Piedra con fractura térmica
Yuzanú 36	5423	4225	NE	Piedra con fractura térmica
Yuzanú 36	5424	4225	SE	Piedra con fractura térmica
Yuzanú 36	5425	4225	SE	Piedra con fractura térmica
Yuzanú 36	5426	4225	SE	Piedra con fractura térmica
Yuzanú 36	5427	4225	SE	Piedra con fractura térmica
Yuzanú 36	5428	4226	NE	Piedra tallada
Yuzanú 36	5429	4226	NE	Piedra tallada
Yuzanú 36	5430	4228	NE	Piedra con fractura térmica
Yuzanú 36	5431	4229	NE	Piedra tallada
Yuzanú 36	5432	4229	NE	Piedra con fractura térmica
Yuzanú 36	5433	4229	NE	Piedra con fractura térmica
Yuzanú 36	5434	4229	NE	Hueso
Yuzanú 36	5435	4229	NE	Piedra tallada
Yuzanú 36	5436	4227	NE	Piedra con fractura térmica
Yuzanú 36	5437	4226	NE	Piedra con fractura térmica
Yuzanú 36	5438	4227	NE	Hueso
Yuzanú 36	5439	4228	NE	Piedra con fractura térmica
Yuzanú 36	5440	4225	SW	Piedra tallada
Yuzanú 36	5441	4226	NE	Piedra con fractura térmica
Yuzanú 36	5442	4226	NE	Piedra no modificada
Yuzanú 36	5443	4226	NE	Piedra tallada
Yuzanú 36	5444	4226	NE	Piedra tallada

n/a=no aplicable; p/a=por asignar

Tabla 4.3. **Registro general de objetos numerados.**

Sitio	No.	Lote	Cuadrante	Categoría
Yuzanú 36	5445	4226	NE	Piedra con fractura térmica
Yuzanú 36	5446	4226	NE	Piedra tallada
Yuzanú 36	5447	4227	NE	Hueso
Yuzanú 36	5448	4227	NE	Piedra con fractura térmica
Yuzanú 36	5449	4227	NE	Piedra con fractura térmica
Yuzanú 36	5450	4227	NE	Piedra tallada
Yuzanú 36	5451	4227	NE	Piedra tallada
Yuzanú 36	5452	4227	NE	Piedra tallada
Yuzanú 36	5453	4227	NE	Piedra tallada
Yuzanú 36	5454	4227	NE	Piedra con fractura térmica
Yuzanú 36	5455	4227	NE	Piedra tallada
Yuzanú 36	5456	4228	NE	Piedra con fractura térmica
Yuzanú 36	5457	4229	NE	Piedra tallada
Yuzanú 36	5458	4229	NE	Piedra con fractura térmica
Yuzanú 36	5459	4229	NE	Piedra con fractura térmica
Yuzanú 36	5460	4229	NE	Piedra con fractura térmica
Yuzanú 36	5461	4229	NE	Piedra con fractura térmica
Yuzanú 36	5462	4229	NE	Hueso
Yuzanú 36	5463	4229	NE	Piedra con fractura térmica
Yuzanú 36	5464	4226	NE	Piedra con fractura térmica
Yuzanú 36	5465	4226	NE	Piedra tallada
Yuzanú 36	5466	4226	NE	Piedra con fractura térmica
Yuzanú 36	5467	4226	NE	Piedra con fractura térmica
Yuzanú 36	5468	4226	NE	Piedra con fractura térmica
Yuzanú 36	5469	4226	NE	Piedra tallada
Yuzanú 36	5470	4226	NE	Piedra con fractura térmica
Yuzanú 36	5471	4226	NE	Piedra con fractura térmica
Yuzanú 36	5472	4226	NE	Piedra tallada
Yuzanú 36	5473	4226	NE	Piedra con fractura térmica
Yuzanú 36	5474	4226	NE	Piedra con fractura térmica
Yuzanú 36	5475	4227	NE	Piedra con fractura térmica
Yuzanú 36	5476	4227	NE	Piedra con fractura térmica
Yuzanú 36	5477	4227	NE	Piedra tallada
Yuzanú 36	5478	4227	NE	Piedra con fractura térmica
Yuzanú 36	5479	4227	NE	Piedra tallada
Yuzanú 36	5480	4227	p/a	Piedra tallada
Yuzanú 36	5481	4228	NE	Piedra tallada
Yuzanú 36	5482	4228	NE	Piedra con fractura térmica
Yuzanú 36	5483	4228	NE	Hueso
Yuzanú 36	5484	4229	NE	Piedra tallada
Yuzanú 36	5485	4229	NE	Piedra tallada
Yuzanú 36	5486	4229	NE	Piedra no modificada
Yuzanú 36	5487	4229	NE	Piedra no modificada
Yuzanú 36	5487	4229	NE	Piedra tallada
Yuzanú 36	5488	4228	NE	Piedra con fractura térmica
Yuzanú 36	5489	4226	NE	Piedra tallada

n/a=no aplicable; p/a=por asignar

Tabla 4.3. **Registro general de objetos numerados.**

Sitio	No.	Lote	Cuadrante	Categoría
Yuzanú 36	5490	4230	NE	Piedra con fractura térmica
Yuzanú 36	5491	4230	NE	Piedra con fractura térmica
Yuzanú 36	5492	4230	NE	Piedra con fractura térmica
Yuzanú 36	5493	4230	NE	Piedra con fractura térmica
Yuzanú 36	5494	4230	NE	Piedra no modificada
Yuzanú 36	5495	4227	NE	Piedra con fractura térmica
Yuzanú 36	5496	4227	NE	Piedra tallada
Yuzanú 36	5497	4227	NE	Piedra con fractura térmica
Yuzanú 36	5498	4227	NE	Piedra con fractura térmica
Yuzanú 36	5499	4227	NE	Piedra con fractura térmica
Yuzanú 36	5500	4227	NE	Piedra con fractura térmica
Yuzanú 36	5501	4227	NE	Piedra con fractura térmica
Yuzanú 36	5502	4228	NE	Piedra con fractura térmica
Yuzanú 36	5503	4228	NE	Piedra no modificada
Yuzanú 36	5504	4228	NE	Piedra con fractura térmica
Yuzanú 36	5505	4226	NE	Piedra con fractura térmica
Yuzanú 36	5506	4226	SE	Piedra no modificada
Yuzanú 36	5507	4226	SE	Piedra tallada
Yuzanú 36	5508	4227	NE	Piedra tallada
Yuzanú 36	5509	4227	NE	Piedra con fractura térmica
Yuzanú 36	5510	4227	NE	Piedra con fractura térmica
Yuzanú 36	5511	4227	NE	Piedra con fractura térmica
Yuzanú 36	5512	4227	NE	Hueso
Yuzanú 36	5513	4227	NE	Piedra tallada
Yuzanú 36	5514	4227	NE	Piedra tallada
Yuzanú 36	5515	4230	NE	Piedra no modificada
Yuzanú 36	5516	4230	NE	Piedra con fractura térmica
Yuzanú 36	5517	4230	NE	Piedra con fractura térmica
Yuzanú 36	5518	4230	NE	Piedra con fractura térmica
Yuzanú 36	5519	4230	NE	Piedra con fractura térmica
Yuzanú 36	5520	4228	NE	Piedra tallada
Yuzanú 36	5521	4229	NE	Piedra tallada
Yuzanú 36	5522	4229	NE	Piedra tallada
Yuzanú 36	5523	4229	NE	Piedra con fractura térmica
Yuzanú 36	5524	4226	SE	Piedra tallada
Yuzanú 36	5525	4226	SE	Piedra con fractura térmica
Yuzanú 36	5526	4226	SE	Piedra con fractura térmica
Yuzanú 36	5527	4226	SE	Piedra con fractura térmica
Yuzanú 36	5528	4226	SE	Piedra con fractura térmica
Yuzanú 36	5529	4226	SE	Piedra con fractura térmica
Yuzanú 36	5530	4226	SE	Piedra con fractura térmica
Yuzanú 36	5531	4226	SE	Piedra con fractura térmica
Yuzanú 36	5532	4226	SE	Piedra con fractura térmica
Yuzanú 36	5533	4226	SE	Piedra con fractura térmica
Yuzanú 36	5534	4226	SE	Piedra con fractura térmica
Yuzanú 36	5535	4230	NE	Piedra con fractura térmica

n/a=no aplicable; p/a=por asignar

Tabla 4.3. **Registro general de objetos numerados.**

Sitio	No.	Lote	Cuadrante	Categoría
Yuzanú 36	5536	4230	NE	Piedra con fractura térmica
Yuzanú 36	5537	4230	NE	Piedra con fractura térmica
Yuzanú 36	5538	4230	NE	Piedra con fractura térmica
Yuzanú 36	5539	4230	NE	Piedra tallada
Yuzanú 36	5540	4226	SW	Piedra con fractura térmica
Yuzanú 36	5541	4226	SW	Piedra tallada
Yuzanú 36	5542	4226	SW	Piedra con fractura térmica
Yuzanú 36	5543	4226	SW	Piedra con fractura térmica
Yuzanú 36	5544	4231	NE	Piedra tallada
Yuzanú 36	5545	4228	NW	Piedra tallada
Yuzanú 36	5546	4228	NW	Piedra tallada
Yuzanú 36	5547	4228	NW	Piedra tallada
Yuzanú 36	5548	4228	NW	Piedra no modificada
Yuzanú 36	5549	4228	NW	Piedra tallada
Yuzanú 36	5549	4229	NW	Piedra con fractura térmica
Yuzanú 36	5550	4229	NW	Piedra tallada
Yuzanú 36	5551	4229	NW	Piedra tallada
Yuzanú 36	5552	4229	NW	Piedra tallada
Yuzanú 36	5553	4226	SW	Piedra con fractura térmica
Yuzanú 36	5554	4226	SW	Piedra con fractura térmica
Yuzanú 36	5555	4226	SW	Piedra tallada
Yuzanú 36	5556	4226	SW	Piedra con fractura térmica
Yuzanú 36	5557	4226	SW	Piedra con fractura térmica
Yuzanú 36	5558	4226	SW	Piedra con fractura térmica
Yuzanú 36	5559	4226	SW	Piedra tallada
Yuzanú 36	5560	4230	NW	Piedra con fractura térmica
Yuzanú 36	5561	4230	NW	Piedra con fractura térmica
Yuzanú 36	5562	4228	NW	Piedra no modificada
Yuzanú 36	5563	4228	NW	Piedra con fractura térmica
Yuzanú 36	5564	4228	NW	Piedra tallada
Yuzanú 36	5565	4228	NW	Piedra con fractura térmica
Yuzanú 36	5566	4228	NW	Piedra con fractura térmica
Yuzanú 36	5567	4228	NW	Piedra tallada
Yuzanú 36	5568	4228	NW	Piedra tallada
Yuzanú 36	5569	4228	NW	Piedra tallada
Yuzanú 36	5570	4229	NW	Piedra con fractura térmica
Yuzanú 36	5571	4230	NW	Piedra con fractura térmica
Yuzanú 36	5572	4230	NW	Piedra con fractura térmica
Yuzanú 36	5573	4230	NW	Piedra con fractura térmica
Yuzanú 36	5574	4230	NW	Piedra con fractura térmica
Yuzanú 36	5575	4230	NW	Piedra tallada
Yuzanú 36	5576	4226	SW	Piedra con fractura térmica
Yuzanú 36	5577	4226	SW	Piedra con fractura térmica
Yuzanú 36	5578	4226	SW	Piedra con fractura térmica
Yuzanú 36	5579	4226	SW	Piedra con fractura térmica
Yuzanú 36	5580	4226	SW	Piedra con fractura térmica

n/a=no aplicable; p/a=por asignar

Tabla 4.3. **Registro general de objetos numerados.**

Sitio	No.	Lote	Cuadrante	Categoría
Yuzanú 36	5581	4226	SW	Piedra con fractura térmica
Yuzanú 36	5582	4226	SW	Hueso
Yuzanú 36	5583	4230	NW	Piedra no modificada
Yuzanú 36	5584	4228	NW	Piedra tallada
Yuzanú 36	5585	4228	NW	Piedra con fractura térmica
Yuzanú 36	5585	4229	NW	Piedra con fractura térmica
Yuzanú 36	5586	4229	NW	Piedra con fractura térmica
Yuzanú 36	5587	4229	NW	Piedra con fractura térmica
Yuzanú 36	5588	4229	NW	Piedra con fractura térmica
Yuzanú 36	5589	4226	SW	Piedra tallada
Yuzanú 36	5590	4226	NW	Piedra tallada
Yuzanú 36	5591	4228	NW	Piedra tallada
Yuzanú 36	5592	4228	NW	Piedra tallada
Yuzanú 36	5593	4228	NW	Piedra tallada
Yuzanú 36	5595	4229	NW	Piedra con fractura térmica
Yuzanú 36	5596	4230	NW	Piedra con fractura térmica
Yuzanú 36	5597	4230	NW	Piedra con fractura térmica
Yuzanú 36	5598	4230	NW	Piedra con fractura térmica
Yuzanú 36	5599	4230	NW	Piedra tallada
Yuzanú 36	5600	4230	NW	Piedra con fractura térmica
Yuzanú 36	5601	4230	NW	Piedra con fractura térmica
Yuzanú 36	5602	4230	NW	Piedra tallada
Yuzanú 36	5603	4230	NW	Piedra tallada
Yuzanú 36	5604	4230	NW	Piedra con fractura térmica
Yuzanú 36	5605	4230	NW	Piedra con fractura térmica
Yuzanú 36	5606	4226	NW	Piedra con fractura térmica
Yuzanú 36	5607	p/a	p/a	Piedra tallada
Yuzanú 36	5608	4227	NW	Piedra tallada
Yuzanú 36	5609	4227	NW	Piedra no modificada
Yuzanú 36	5610	4227	NW	Piedra tallada
Yuzanú 36	5611	4228	NW	Hueso
Yuzanú 36	5612	4226	NW	Piedra con fractura térmica
Yuzanú 36	5613	4226	NW	Piedra con fractura térmica
Yuzanú 36	5614	4226	NW	Piedra con fractura térmica
Yuzanú 36	5615	4226	NW	Piedra tallada
Yuzanú 36	5616	4227	NW	Piedra con fractura térmica
Yuzanú 36	5617	4227	NW	Piedra con fractura térmica
Yuzanú 36	5618	4227	NW	Piedra tallada
Yuzanú 36	5619	4231	NE	Hueso
Yuzanú 36	5620	4231	NE	Piedra tallada
Yuzanú 36	5621	4231	NE	Piedra tallada
Yuzanú 36	5622	4230	n/a	Piedra con fractura térmica
Yuzanú 36	5623	4230	n/a	Piedra no modificada
Yuzanú 36	5624	4230	n/a	Piedra no modificada
Yuzanú 36	5625	4230	n/a	Piedra con fractura térmica
Yuzanú 36	5626	4230	n/a	Piedra con fractura térmica

n/a=no aplicable; p/a=por asignar

Tabla 4.3. **Registro general de objetos numerados.**

Sitio	No.	Lote	Cuadrante	Categoría
Yuzanú 36	5627	4230	n/a	Piedra con fractura térmica
Yuzanú 36	5628	4231	NE	Piedra con fractura térmica
Yuzanú 36	5629	4230	n/a	Piedra con fractura térmica
Yuzanú 36	5630	4230	n/a	Piedra con fractura térmica
Yuzanú 36	5631	4230	n/a	Piedra no modificada
Yuzanú 36	5632	4230	n/a	Piedra con fractura térmica
Yuzanú 36	5633	4230	n/a	Piedra con fractura térmica
Yuzanú 36	5634	4230	n/a	Piedra con fractura térmica
Yuzanú 36	5635	4230	n/a	Piedra con fractura térmica
Yuzanú 36	5636	4230	n/a	Piedra con fractura térmica
Yuzanú 36	5637	4230	n/a	Piedra con fractura térmica
Yuzanú 36	5638	4230	n/a	Piedra con fractura térmica
Yuzanú 36	5639	4230	n/a	Piedra con fractura térmica
Yuzanú 36	5640	4230	n/a	Piedra tallada
Yuzanú 36	5641	4230	n/a	Piedra con fractura térmica
Yuzanú 36	5642	4230	n/a	Piedra con fractura térmica
Yuzanú 36	5643	4230	n/a	Piedra con fractura térmica
Yuzanú 36	5644	4230	n/a	Piedra con fractura térmica
Yuzanú 36	5645	4230	NW	Piedra con fractura térmica
Yuzanú 36	5646	4231	NE	Piedra con fractura térmica
Yuzanú 36	5647	4230	NW	Piedra con fractura térmica
Yuzanú 36	5648	4230	NW	Piedra con fractura térmica
Yuzanú 36	5649	4230	NW	Piedra con fractura térmica
Yuzanú 36	5650	4227	NW	Piedra con fractura térmica
Yuzanú 36	5651	4227	NW	Piedra tallada
Yuzanú 36	5652	4227	NW	Piedra con fractura térmica
Yuzanú 36	5653	4227	NW	Piedra tallada
Yuzanú 36	5654	4227	NW	Piedra con fractura térmica
Yuzanú 36	5655	4228	NW	Hueso
Yuzanú 36	5656	4228	NW	Piedra tallada
Yuzanú 36	5657	4228	NW	Piedra tallada
Yuzanú 36	5658	4228	NW	Piedra tallada
Yuzanú 36	5659	4228	NW	Piedra tallada
Yuzanú 36	5660	4226	NW	Piedra tallada
Yuzanú 36	5661	4226	NW	Piedra tallada
Yuzanú 36	5662	4230	n/a	Piedra tallada
Yuzanú 36	5663	4230	n/a	Piedra con fractura térmica
Yuzanú 36	5664	4232	NE	Piedra con fractura térmica
Yuzanú 36	5665	4232	NE	Piedra con fractura térmica
Yuzanú 36	5666	4232	NE	Piedra con fractura térmica
Yuzanú 36	5667	4232	NE	Piedra con fractura térmica
Yuzanú 36	5668	4232	NE	Piedra con fractura térmica
Yuzanú 36	5669	4232	NE	Piedra con fractura térmica
Yuzanú 36	5670	4232	NE	Piedra tallada
Yuzanú 36	5671	4232	NE	Piedra tallada
Yuzanú 36	5672	4227	NW	Piedra con fractura térmica

n/a=no aplicable; p/a=por asignar

Tabla 4.3. **Registro general de objetos numerados.**

Sitio	No.	Lote	Cuadrante	Categoría
Yuzanú 36	5673	4227	NW	Piedra con fractura térmica
Yuzanú 36	5674	4227	NW	Piedra con fractura térmica
Yuzanú 36	5675	4227	NW	Piedra tallada
Yuzanú 36	5676	4227	NW	Piedra con fractura térmica
Yuzanú 36	5677	4231	NW	Piedra tallada
Yuzanú 36	5678	4231	NW	Piedra tallada
Yuzanú 36	5679	4232	NE	Piedra con fractura térmica
Yuzanú 36	5680	4232	NE	Piedra con fractura térmica
Yuzanú 36	5681	4232	NE	Piedra tallada
Yuzanú 36	5682	4232	NE	Piedra tallada
Yuzanú 36	5683	4232	NE	Piedra tallada
Yuzanú 36	5684	4232	NE	Piedra tallada
Yuzanú 36	5685	4227	NW	Piedra con fractura térmica
Yuzanú 36	5686	4227	NW	Piedra con fractura térmica
Yuzanú 36	5687	4227	NW	Piedra tallada
Yuzanú 36	5688	4227	NW	Piedra tallada
Yuzanú 36	5689	4231	NW	Piedra tallada
Yuzanú 36	5690	4231	NW	Piedra tallada
Yuzanú 36	5691	4231	NW	Piedra tallada
Yuzanú 36	5692	4231	NW	Piedra tallada
Yuzanú 36	5693	4231	NW	Piedra tallada
Yuzanú 36	5694	4213	NW	Hueso
Yuzanú 36	5695	4231	NW	Hueso
Yuzanú 36	5696	4231	NW	Hueso
Yuzanú 36	5697	4231	NE	Piedra tallada
Yuzanú 36	5698	4231	NE	Piedra no modificada
Yuzanú 36	5699	4232	SE	Piedra no modificada
Yuzanú 36	5700	4232	SE	Piedra tallada
Yuzanú 36	5701	4232	SE	Piedra con fractura térmica
Yuzanú 36	5702	4232	SE	Piedra con fractura térmica
Yuzanú 36	5703	4232	SE	Piedra tallada
Yuzanú 36	5704	4232	SE	Piedra tallada
Yuzanú 36	5705	4232	SE	Piedra con fractura térmica
Yuzanú 36	5706	4232	SE	Piedra con fractura térmica
Yuzanú 36	5707	4231	NW	Hueso
Yuzanú 36	5708	4231	NW	Piedra tallada
Yuzanú 36	5709	4231	NW	Hueso
Yuzanú 36	5710	4231	NW	Piedra tallada
Yuzanú 36	5711	4233	NE	Piedra con fractura térmica
Yuzanú 36	5712	4233	NE	Piedra con fractura térmica
Yuzanú 36	5713	4232	SE	Piedra con fractura térmica
Yuzanú 36	5714	4232	SE	Piedra tallada
Yuzanú 36	5715	4232	SE	Piedra tallada
Yuzanú 36	5716	4232	SE	Piedra tallada
Yuzanú 36	5717	4233	NE	Piedra tallada
Yuzanú 36	5718	4234	NE	Piedra tallada

n/a=no aplicable; p/a=por asignar

Tabla 4.3. **Registro general de objetos numerados.**

Sitio	No.	Lote	Cuadrante	Categoría
Yuzanú 36	5719	4234	NE	Piedra con fractura térmica
Yuzanú 36	5720	4234	NE	Piedra con fractura térmica
Yuzanú 36	5721	4234	NW	Hueso
Yuzanú 36	5722	4234	NE	Piedra con fractura térmica
Yuzanú 36	5723	4234	NE	Piedra con fractura térmica
Yuzanú 36	5724	4232	NE	Piedra con fractura térmica
Yuzanú 36	5725	4232	SE	Piedra con fractura térmica
Yuzanú 36	5726	4232	SE	Piedra con fractura térmica
Yuzanú 36	5727	4236	NE	Piedra tallada
Yuzanú 36	5728	4236	NE	Hueso
Yuzanú 36	5729	4236	NE	Piedra con fractura térmica
Yuzanú 36	5730	4236	NE	Piedra tallada
Yuzanú 36	5731	4236	NE	Piedra tallada
Yuzanú 36	5732	4236	NE	Piedra tallada
Yuzanú 36	5733	4236	NE	Piedra tallada
Yuzanú 36	5734	4236	NE	Piedra con fractura térmica
Yuzanú 36	5735	4236	NE	Hueso
Yuzanú 36	5736	4236	NE	Piedra tallada
Yuzanú 36	5737	4235	NE	Piedra con fractura térmica
Yuzanú 36	5738	4235	NE	Piedra no modificada
Yuzanú 36	5739	4233	NE	Piedra con fractura térmica
Yuzanú 36	5740	4233	NE	Piedra tallada
Yuzanú 36	5741	4233	NE	Piedra tallada
Yuzanú 36	5742	4233	NE	Piedra tallada
Yuzanú 36	5743	4232	NE	Piedra con fractura térmica
Yuzanú 36	5744	4232	NE	Piedra tallada
Yuzanú 36	5745	4234	NW	Piedra con fractura térmica
Yuzanú 36	5746	4234	NW	Piedra con fractura térmica
Yuzanú 36	5747	4234	NW	Piedra con fractura térmica
Yuzanú 36	5748	4234	NW	Piedra tallada
Yuzanú 36	5749	4234	NW	Piedra no modificada
Yuzanú 36	5750	4234	NW	Piedra con fractura térmica
Yuzanú 36	5751	4232	NE	Piedra con fractura térmica
Yuzanú 36	5752	4233	SE	Piedra tallada
Yuzanú 36	5753	4232	NE	Piedra tallada
Yuzanú 36	5754	4232	SE	Piedra tallada
Yuzanú 36	5755	4236	NE	Piedra con fractura térmica
Yuzanú 36	5756	4236	NE	Hueso
Yuzanú 36	5757	4236	NE	Hueso
Yuzanú 36	5758	4236	NE	Hueso
Yuzanú 36	5759	4239	NE	Piedra con fractura térmica
Yuzanú 36	5760	4239	NE	Piedra con fractura térmica
Yuzanú 36	5761	4239	NE	Piedra tallada
Yuzanú 36	5762	4239	NE	Hueso
Yuzanú 36	5763	4236	NE	Piedra con fractura térmica
Yuzanú 36	5764	4235	NE	Piedra con fractura térmica

n/a=no aplicable; p/a=por asignar

Tabla 4.3. **Registro general de objetos numerados.**

Sitio	No.	Lote	Cuadrante	Categoría
Yuzanú 36	5765	4233	NE	Piedra con fractura térmica
Yuzanú 36	5766	4233	NE	Piedra no modificada
Yuzanú 36	5767	4232	SW	Piedra con fractura térmica
Yuzanú 36	5768	4232	SW	Piedra tallada
Yuzanú 36	5769	4232	SW	Piedra con fractura térmica
Yuzanú 36	5770	4232	SW	Piedra tallada
Yuzanú 36	5771	4232	SW	Piedra tallada
Yuzanú 36	5772	4232	SW	Piedra con fractura térmica
Yuzanú 36	5773	4232	SW	Piedra con fractura térmica
Yuzanú 36	5774	4232	SW	Hueso
Yuzanú 36	5775	4232	SW	Piedra tallada
Yuzanú 36	5776	4236	NE	Piedra tallada
Yuzanú 36	5777	4235	NE	Piedra con fractura térmica
Yuzanú 36	5778	4233	SW	Piedra con fractura térmica
Yuzanú 36	5779	4233	SW	Piedra tallada
Yuzanú 36	5780	4233	SW	Piedra tallada
Yuzanú 36	5781	4233	SW	Piedra tallada
Yuzanú 36	5782	4233	SW	Piedra con fractura térmica
Yuzanú 36	5783	4233	SW	Piedra con fractura térmica
Yuzanú 36	5784	4234	NE	Piedra con fractura térmica
Yuzanú 36	5785	4234	NE	Piedra con fractura térmica
Yuzanú 36	5786	4234	NE	Piedra con fractura térmica
Yuzanú 36	5787	4234	NW	Piedra con fractura térmica
Yuzanú 36	5787	4229	NW	Piedra con fractura térmica
Yuzanú 36	5788	4234	NW	Piedra con fractura térmica
Yuzanú 36	5789	4234	NW	Piedra tallada
Yuzanú 36	5790	4234	NW	Piedra no modificada
Yuzanú 36	5791	4234	NW	Piedra con fractura térmica
Yuzanú 36	5792	4234	NW	Piedra con fractura térmica
Yuzanú 36	5793	4234	NW	Piedra con fractura térmica
Yuzanú 36	5794	4234	NW	Piedra con fractura térmica
Yuzanú 36	5795	4234	NW	Piedra con fractura térmica
Yuzanú 36	5796	4234	NW	Piedra con fractura térmica
Yuzanú 36	5797	4234	NW	Piedra con fractura térmica
Yuzanú 36	5798	4234	NW	Piedra con fractura térmica
Yuzanú 36	5799	4234	NW	Piedra no modificada
Yuzanú 36	5800	4235	NW	Piedra con fractura térmica
Yuzanú 36	5801	4235	NW	Piedra no modificada
Yuzanú 36	5802	4232	SW	Piedra con fractura térmica
Yuzanú 36	5803	4232	SW	Piedra con fractura térmica
Yuzanú 36	5804	4232	SW	Piedra con fractura térmica
Yuzanú 36	5805	4232	SW	Piedra con fractura térmica
Yuzanú 36	5806	4232	SW	Piedra tallada
Yuzanú 36	5807	4232	SW	Piedra con fractura térmica
Yuzanú 36	5808	4232	SW	Piedra tallada
Yuzanú 36	5809	4232	SW	Piedra tallada

n/a=no aplicable; p/a=por asignar

Tabla 4.3. **Registro general de objetos numerados.**

Sitio	No.	Lote	Cuadrante	Categoría
Yuzanú 36	5810	4236	NE	Hueso
Yuzanú 36	5811	4236	NE	Piedra tallada
Yuzanú 36	5812	4236	NE	Piedra tallada
Yuzanú 36	5813	4236	NE	Hueso
Yuzanú 36	5814	4236	NE	Piedra tallada
Yuzanú 36	5815	4236	NE	Hueso
Yuzanú 36	5816	4236	NE	Hueso
Yuzanú 36	5817	4236	NE	Piedra tallada
Yuzanú 36	5818	4234	NW	Piedra tallada
Yuzanú 36	5819	4233	NW	Piedra con fractura térmica
Yuzanú 36	5820	4233	NW	Piedra con fractura térmica
Yuzanú 36	5821	4233	NW	Piedra con fractura térmica
Yuzanú 36	5822	4236	SE	Piedra con fractura térmica
Yuzanú 36	5823	4236	SE	Piedra tallada
Yuzanú 36	5824	4236	SE	Piedra con fractura térmica
Yuzanú 36	5825	4236	SE	Piedra con fractura térmica
Yuzanú 36	5826	4236	SE	Piedra con fractura térmica
Yuzanú 36	5827	4236	SE	Piedra con fractura térmica
Yuzanú 36	5828	4236	SE	Piedra tallada
Yuzanú 36	5829	4236	SE	Piedra tallada
Yuzanú 36	5830	4234	NW	Piedra no modificada
Yuzanú 36	5831	4234	NW	Piedra con fractura térmica
Yuzanú 36	5832	4234	NW	Piedra tallada
Yuzanú 36	5833	4235	NW	Piedra no modificada
Yuzanú 36	5834	4233	NW	Piedra no modificada
Yuzanú 36	5835	4233	NW	Piedra tallada
Yuzanú 36	5836	4233	NW	Piedra con fractura térmica
Yuzanú 36	5837	4233	NW	Piedra tallada
Yuzanú 36	5838	4233	NW	Piedra tallada
Yuzanú 36	5839	4232	SW	Piedra tallada
Yuzanú 36	5840	4233	NW	Piedra tallada
Yuzanú 36	5841	4235	NW	Tierra
Yuzanú 36	5842	4237	NE	Piedra tallada
Yuzanú 36	5843	4237	NE	Hueso
Yuzanú 36	5844	4237	NE	Piedra tallada
Yuzanú 36	5845	4235	NW	Piedra tallada
Yuzanú 36	5846	4235	NW	Piedra no modificada
Yuzanú 36	5847	4236	SE	Piedra tallada
Yuzanú 36	5848	4236	SW	Piedra con fractura térmica
Yuzanú 36	5849	4236	SW	Piedra con fractura térmica
Yuzanú 36	5850	4236	SW	Piedra con fractura térmica
Yuzanú 36	5851	4236	SW	Piedra con fractura térmica
Yuzanú 36	5852	4236	SW	Piedra con fractura térmica
Yuzanú 36	5853	4236	SW	Piedra con fractura térmica
Yuzanú 36	5854	4236	SW	Piedra con fractura térmica
Yuzanú 36	5855	4236	SW	Piedra tallada

n/a=no aplicable; p/a=por asignar

Tabla 4.3. **Registro general de objetos numerados.**

Sitio	No.	Lote	Cuadrante	Categoría
Yuzanú 36	5856	4232	NW	Piedra tallada
Yuzanú 36	5857	4232	NW	Piedra tallada
Yuzanú 36	5858	4232	NW	Piedra con fractura térmica
Yuzanú 36	5859	4232	NW	Piedra tallada
Yuzanú 36	5860	4232	NW	Piedra tallada
Yuzanú 36	5861	4232	NW	Piedra no modificada
Yuzanú 36	5862	4232	NW	Piedra tallada
Yuzanú 36	5863	4237	NE	Piedra con fractura térmica
Yuzanú 36	5864	4237	NE	Piedra con fractura térmica
Yuzanú 36	5865	4235	NW	Piedra con fractura térmica
Yuzanú 36	5866	4234	NE	Piedra con fractura térmica
Yuzanú 36	5867	4234	NW	Piedra con fractura térmica
Yuzanú 36	5868	4234	NW	Piedra con fractura térmica
Yuzanú 36	5869	4234	NW	Piedra con fractura térmica
Yuzanú 36	5870	4234	NW	Piedra con fractura térmica
Yuzanú 36	5871	4234	NW	Piedra con fractura térmica
Yuzanú 36	5872	4234	NE	Piedra con fractura térmica
Yuzanú 36	5873	4234	NE	Piedra con fractura térmica
Yuzanú 36	5874	4234	NW	Piedra con fractura térmica
Yuzanú 36	5875	4234	NW	Piedra con fractura térmica
Yuzanú 36	5876	4232	NW	Piedra tallada
Yuzanú 36	5877	4232	NW	Piedra con fractura térmica
Yuzanú 36	5878	4232	NW	Piedra con fractura térmica
Yuzanú 36	5879	4232	NW	Piedra tallada
Yuzanú 36	5880	4232	NW	Piedra con fractura térmica
Yuzanú 36	5881	4232	NW	Piedra con fractura térmica
Yuzanú 36	5882	4236	SW	Piedra con fractura térmica
Yuzanú 36	5883	4232	SW	Piedra tallada
Yuzanú 36	5884	4235	NW	Piedra con fractura térmica
Yuzanú 36	5885	4235	NW	Piedra tallada
Yuzanú 36	5886	4237	NE	Piedra tallada
Yuzanú 36	5887	4237	NE	Piedra con fractura térmica
Yuzanú 36	5888	4237	NE	Piedra tallada
Yuzanú 36	5889	4236	NW	Piedra tallada
Yuzanú 36	5890	4236	NW	Piedra con fractura térmica
Yuzanú 36	5891	4236	NW	Piedra tallada
Yuzanú 36	5892	4236	NW	Piedra con fractura térmica
Yuzanú 36	5893	4236	NW	Piedra con fractura térmica
Yuzanú 36	5894	4236	NW	Piedra tallada
Yuzanú 36	5895	4236	NW	Piedra tallada
Yuzanú 36	5896	4236	NW	Piedra tallada
Yuzanú 36	5897	4236	NW	Piedra tallada
Yuzanú 36	5898	4236	NW	Hueso
Yuzanú 36	5899	4237	NW	Piedra con fractura térmica
Yuzanú 36	5900	4237	SE	Piedra con fractura térmica
Yuzanú 36	5901	4237	SE	Piedra tallada

n/a=no aplicable; p/a=por asignar

Tabla 4.3. **Registro general de objetos numerados.**

Sitio	No.	Lote	Cuadrante	Categoría
Yuzanú 36	5902	4237	NW	Piedra tallada
Yuzanú 36	5903	4237	NW	Piedra con fractura térmica
Yuzanú 36	5904	4237	NW	Piedra tallada
Yuzanú 36	5905	4235	NE	Piedra con fractura térmica
Yuzanú 36	5906	4237	NW	Piedra con fractura térmica
Yuzanú 36	5907	4238	NE	Piedra con fractura térmica
Yuzanú 36	5908	4238	NE	Piedra tallada
Yuzanú 36	5909	4238	NE	Piedra con fractura térmica
Yuzanú 36	5910	4238	NE	Piedra con fractura térmica
Yuzanú 36	5911	4238	NE	Piedra con fractura térmica
Yuzanú 36	5912	4238	NE	Piedra tallada
Yuzanú 36	5913	4238	NE	Piedra con fractura térmica
Yuzanú 36	5914	4238	NE	Piedra con fractura térmica
Yuzanú 36	5915	4236	NW	Piedra tallada
Yuzanú 36	5916	4237	NW	Piedra con fractura térmica
Yuzanú 36	5917	4238	NE	Piedra con fractura térmica
Yuzanú 36	5918	4238	NE	Piedra con fractura térmica
Yuzanú 36	5919	4236	NW	Piedra con fractura térmica
Yuzanú 36	5920	4236	NW	Piedra con fractura térmica
Yuzanú 36	5921	4236	NW	Piedra con fractura térmica
Yuzanú 36	5922	4236	NW	Piedra con fractura térmica
Yuzanú 36	5923	4236	NW	Piedra con fractura térmica
Yuzanú 36	5924	4236	NW	Piedra tallada
Yuzanú 36	5925	4239	n/a	Piedra tallada
Yuzanú 36	5926	4239	n/a	Piedra tallada
Yuzanú 36	5927	4241	NE	Piedra no modificada
Yuzanú 36	5928	4239	n/a	Hueso
Yuzanú 36	5929	4239	n/a	Piedra no modificada
Yuzanú 36	5930	4238	SE	Piedra no modificada
Yuzanú 36	5931	4238	SE	Piedra con fractura térmica
Yuzanú 36	5932	4238	SE	Piedra con fractura térmica
Yuzanú 36	5933	4242	NE	Piedra con fractura térmica
Yuzanú 36	5934	4242	NE	Piedra tallada
Yuzanú 36	5935	4240	NE	Piedra con fractura térmica
Yuzanú 36	5936	4240	NE	Piedra con fractura térmica
Yuzanú 36	5937	4240	NE	Piedra con fractura térmica
Yuzanú 36	5938	4241	NE	Piedra no modificada
Yuzanú 36	5939	4241	NE	Piedra con fractura térmica
Yuzanú 36	5940	4241	NE	Piedra no modificada
Yuzanú 36	5941	4241	NE	Piedra tallada
Yuzanú 36	5942	4239	n/a	Piedra tallada
Yuzanú 36	5943	4239	n/a	Piedra tallada
Yuzanú 36	5944	4239	n/a	Piedra tallada
Yuzanú 36	5945	4239	n/a	Piedra con fractura térmica
Yuzanú 36	5946	4239	n/a	Piedra con fractura térmica
Yuzanú 36	5947	4239	n/a	Piedra tallada

n/a=no aplicable; p/a=por asignar

Tabla 4.3. **Registro general de objetos numerados.**

Sitio	No.	Lote	Cuadrante	Categoría
Yuzanú 36	5948	4238	SW	Piedra con fractura térmica
Yuzanú 36	5949	4239	n/a	Piedra con fractura térmica
Yuzanú 36	5950	4239	n/a	Piedra tallada
Yuzanú 36	5951	4239	n/a	Hueso
Yuzanú 36	5952	4240	NE	Piedra tallada
Yuzanú 36	5953	4241	SE	Hueso
Yuzanú 36	5954	4238	SW	Piedra con fractura térmica
Yuzanú 36	5955	4238	SW	Piedra con fractura térmica
Yuzanú 36	5956	4230	SW	Hueso
Yuzanú 36	5957	4238	SW	Piedra con fractura térmica
Yuzanú 36	5958	4242	SE	Piedra con fractura térmica
Yuzanú 36	5959	4239	n/a	Hueso
Yuzanú 36	5960	4239	n/a	Piedra tallada
Yuzanú 36	5961	4239	n/a	Piedra tallada
Yuzanú 36	5962	4241	SW	Piedra tallada
Yuzanú 36	5963	4241	SW	Piedra con fractura térmica
Yuzanú 36	5964	4241	SW	Piedra con fractura térmica
Yuzanú 36	5965	4238	SW	Piedra no modificada
Yuzanú 36	5966	4238	SW	Piedra con fractura térmica
Yuzanú 36	5967	4238	SW	Piedra no modificada
Yuzanú 36	5968	4238	SW	Piedra tallada
Yuzanú 36	5969	4238	SW	Piedra con fractura térmica
Yuzanú 36	5970	4238	SW	Piedra con fractura térmica
Yuzanú 36	5971	4239	n/a	Hueso
Yuzanú 36	5972	4239	n/a	Hueso
Yuzanú 36	5973	4239	n/a	Hueso
Yuzanú 36	5974	4241	NW	Hueso
Yuzanú 36	5975	4241	NW	Piedra tallada
Yuzanú 36	5976	4241	NW	Piedra con fractura térmica
Yuzanú 36	5977	4241	NW	Piedra tallada
Yuzanú 36	5978	4241	NW	Piedra tallada
Yuzanú 36	5979	4242	SW	Piedra con fractura térmica
Yuzanú 36	5980	4242	SW	Piedra con fractura térmica
Yuzanú 36	5981	4242	SW	Piedra con fractura térmica
Yuzanú 36	5982	4242	SW	Piedra tallada
Yuzanú 36	5983	4239	n/a	Piedra tallada
Yuzanú 36	5984	4239	n/a	Hueso
Yuzanú 36	5985	4239	n/a	Piedra no modificada
Yuzanú 36	5986	4239	n/a	Piedra tallada
Yuzanú 36	5987	4239	n/a	Hueso
Yuzanú 36	5988	4240	NW	Piedra con fractura térmica
Yuzanú 36	5989	4240	NW	Piedra con fractura térmica
Yuzanú 36	5990	4238	NW	Piedra con fractura térmica
Yuzanú 36	5991	4238	NW	Piedra con fractura térmica
Yuzanú 36	5992	4242	NW	Piedra con fractura térmica
Yuzanú 36	5993	4242	NW	Piedra con fractura térmica

n/a=no aplicable; p/a=por asignar

Tabla 4.3. **Registro general de objetos numerados.**

Sitio	No.	Lote	Cuadrante	Categoría
Yuzanú 36	5994	4239	n/a	Piedra con fractura térmica
Yuzanú 36	5995	4239	n/a	Piedra tallada
Yuzanú 36	5996	4240	NW	Piedra con fractura térmica
Yuzanú 36	5997	4240	NW	Piedra tallada
Yuzanú 36	5998	4241	NW	Piedra tallada
Yuzanú 36	5999	4241	NW	Piedra tallada
Yuzanú 36	7000	4241	NW	Piedra con fractura térmica
Yuzanú 36	7001	4241	NW	Piedra tallada
Yuzanú 36	7002	4242	NW	Piedra no modificada
Yuzanú 36	7003	4239	n/a	Hueso
Yuzanú 36	7004	4239	n/a	Piedra no modificada
Yuzanú 36	7005	4239	n/a	Piedra con fractura térmica
Yuzanú 36	7006	4239	n/a	Piedra tallada
Yuzanú 36	7007	4238	NW	Piedra tallada
Yuzanú 36	7008	4238	NW	Piedra con fractura térmica
Yuzanú 36	7009	4238	NW	Piedra tallada
Yuzanú 36	7010	4238	NW	Piedra tallada
Yuzanú 36	7011	4238	NW	Piedra tallada
Yuzanú 36	7012	4238	NW	Piedra tallada
Yuzanú 36	7013	4238	NW	Piedra con fractura térmica
Yuzanú 36	7014	4243	n/a	Piedra con fractura térmica
Yuzanú 36	7015	4249	n/a	Piedra con fractura térmica
Yuzanú 36	7016	4245	n/a	Piedra con fractura térmica
Yuzanú 36	7016	4243	n/a	Piedra con fractura térmica
Yuzanú 36	7017	4243	n/a	Piedra con fractura térmica
Yuzanú 36	7018	4246	n/a	Piedra con fractura térmica
Yuzanú 36	7019	4245	n/a	Piedra con fractura térmica
Yuzanú 36	7020	4245	n/a	Piedra con fractura térmica
Yuzanú 36	7021	4243	n/a	Piedra tallada
Yuzanú 36	7022	4247	n/a	Piedra con fractura térmica
Yuzanú 36	7023	4247	n/a	Piedra tallada
Yuzanú 36	7024	4245	n/a	Piedra con fractura térmica
Yuzanú 36	7025	4247	n/a	Piedra con fractura térmica
Yuzanú 36	7026	4045	n/a	Piedra con fractura térmica
Yuzanú 36	7027	4244	n/a	Piedra con fractura térmica
Yuzanú 36	7028	4244	n/a	Piedra con fractura térmica
Yuzanú 36	7029	4244	n/a	Piedra tallada
Yuzanú 36	7030	4243	n/a	Piedra tallada
Yuzanú 36	7031	4247	n/a	Piedra con fractura térmica
Yuzanú 36	7032	4247	n/a	Piedra tallada
Yuzanú 36	7033	4247	n/a	Piedra tallada
Yuzanú 36	7034	4247	n/a	Piedra con fractura térmica
Yuzanú 36	7035	4247	n/a	Piedra con fractura térmica
Yuzanú 36	7036	4243	n/a	Piedra con fractura térmica
Yuzanú 36	7037	4243	n/a	Piedra con fractura térmica
Yuzanú 36	7038	4243	n/a	Piedra con fractura térmica

n/a=no aplicable; p/a=por asignar

Tabla 4.3. **Registro general de objetos numerados.**

Sitio	No.	Lote	Cuadrante	Categoría
Yuzanú 36	7039	4243	n/a	Piedra tallada
Yuzanú 36	7040	4248	NE	Piedra tallada
Yuzanú 36	7041	4248	p/a	Piedra tallada
Yuzanú 36	7042	4245	n/a	Piedra con fractura térmica
Yuzanú 36	7043	4245	n/a	Piedra con fractura térmica
Yuzanú 36	7044	4245	n/a	Piedra con fractura térmica
Yuzanú 36	7045	4244	n/a	Hueso
Yuzanú 36	7046	4246	n/a	Piedra tallada
Yuzanú 36	7047	4248	NE	Piedra con fractura térmica
Yuzanú 36	7048	4248	NW	Piedra con fractura térmica
Yuzanú 36	7049	4248	NW	Piedra con fractura térmica
Yuzanú 36	7050	4248	NW	Piedra tallada
Yuzanú 36	7051	4248	NW	Hueso
Yuzanú 36	7052	4251	n/a	Hueso
Yuzanú 36	7053	4245	n/a	Piedra con fractura térmica
Yuzanú 36	7054	4245	n/a	Piedra con fractura térmica
Yuzanú 36	7055	4245	n/a	Piedra con fractura térmica
Yuzanú 36	7056	4245	n/a	Piedra con fractura térmica
Yuzanú 36	7057	4251	n/a	Piedra tallada
Yuzanú 36	7058	4251	n/a	Piedra con fractura térmica
Yuzanú 36	7059	4251	n/a	Hueso
Yuzanú 36	7060	4251	n/a	Hueso
Yuzanú 36	7061	4250	NE	Piedra tallada
Yuzanú 36	7062	p/a	p/a	Hueso
Yuzanú 36	7063	4251	n/a	Piedra con fractura térmica
Yuzanú 36	7064	4251	n/a	Piedra tallada
Yuzanú 36	7065	4251	n/a	Piedra con fractura térmica
Yuzanú 36	7066	4251	n/a	Piedra con fractura térmica
Yuzanú 36	7067	4251	n/a	Hueso
Yuzanú 36	7068	4244	n/a	Piedra con fractura térmica
Yuzanú 36	7069	4251	n/a	Piedra tallada
Yuzanú 36	7070	4251	n/a	Hueso
Yuzanú 36	7071	4251	n/a	Piedra con fractura térmica
Yuzanú 36	7072	4250	NW	Piedra con fractura térmica
Yuzanú 36	7073	4250	NW	Hueso
Yuzanú 36	7074	4250	NW	Piedra con fractura térmica
Yuzanú 36	7075	4244	n/a	Piedra con fractura térmica
Yuzanú 36	7076	4251	n/a	Piedra con fractura térmica
Yuzanú 36	7077	4251	n/a	Piedra con fractura térmica
Yuzanú 36	7078	4251	n/a	Piedra con fractura térmica
Yuzanú 36	7079	4251	n/a	Piedra con fractura térmica
Yuzanú 36	7080	4251	n/a	Hueso
Yuzanú 36	7081	4245	n/a	Piedra tallada
Yuzanú 36	7082	4251	n/a	Piedra tallada
Yuzanú 36	7083	4250	NW	Hueso
Yuzanú 36	7084	4252	n/a	Piedra tallada

n/a=no aplicable; p/a=por asignar

Tabla 4.3. **Registro general de objetos numerados.**

Sitio	No.	Lote	Cuadrante	Categoría
Yuzanú 36	7085	4244	n/a	Piedra con fractura térmica
Yuzanú 36	7086	4252	n/a	Hueso
Yuzanú 36	7087	4252	n/a	Piedra con fractura térmica
Yuzanú 36	7088	4253	n/a	Tierra
Yuzanú 36	7089	4251	n/a	Piedra no modificada
Yuzanú 36	7090	4251	n/a	Piedra con fractura térmica
Yuzanú 36	7091	4256	n/a	Hueso
Yuzanú 36	7092	4256	n/a	Piedra con fractura térmica
Yuzanú 36	7093	4251	n/a	Piedra con fractura térmica
Yuzanú 36	7094	4251	n/a	Piedra no modificada
Yuzanú 36	7095	4251	n/a	Piedra con fractura térmica
Yuzanú 36	7096	4251	n/a	Piedra con fractura térmica
Yuzanú 36	7097	4251	n/a	Piedra no modificada
Yuzanú 36	7098	4251	n/a	Piedra con fractura térmica
Yuzanú 36	7099	4251	n/a	Piedra no modificada
Yuzanú 36	7100	4251	n/a	Piedra con fractura térmica
Yuzanú 36	7101	4251	n/a	Piedra tallada
Yuzanú 36	7102	4251	n/a	Piedra con fractura térmica
Yuzanú 36	7103	4251	n/a	Piedra con fractura térmica
Yuzanú 36	7104	4251	n/a	Piedra no modificada
Yuzanú 36	7105	4251	n/a	Piedra con fractura térmica
Yuzanú 36	7106	4251	n/a	Piedra con fractura térmica
Yuzanú 36	7107	4251	n/a	Piedra con fractura térmica
Yuzanú 36	7108	4251	n/a	Piedra con fractura térmica
Yuzanú 36	7109	4251	n/a	Piedra con fractura térmica
Yuzanú 36	7110	4251	n/a	Piedra no modificada
Yuzanú 36	7111	4251	n/a	Piedra con fractura térmica
Yuzanú 36	7112	4254	n/a	Hueso
Yuzanú 36	7112	4254	n/a	Hueso
Yuzanú 36	7113	4259	n/a	Piedra tallada
Yuzanú 36	7114	4259	n/a	Piedra tallada
Yuzanú 36	7115	4259	n/a	Hueso
Yuzanú 36	7116	4259	n/a	Hueso
Yuzanú 36	7117	4259	n/a	Hueso
Yuzanú 36	7118	4259	n/a	Hueso
Yuzanú 36	7119	4259	n/a	Hueso
Yuzanú 36	7120	4259	n/a	Hueso
Yuzanú 36	7121	4259	n/a	Hueso
Yuzanú 36	7122	4259	n/a	Piedra tallada
Yuzanú 36	7123	4259	n/a	Hueso
Yuzanú 36	7124	4259	n/a	Hueso
Yuzanú 36	7125	4259	n/a	Hueso
Yuzanú 36	7126	4259	n/a	Piedra con fractura térmica
Yuzanú 36	7127	4259	n/a	Hueso
Yuzanú 36	7128	4259	n/a	Hueso
Yuzanú 36	7129	4259	n/a	Concha

n/a=no aplicable; p/a=por asignar

Tabla 4.3. **Registro general de objetos numerados.**

Sitio	No.	Lote	Cuadrante	Categoría
Yuzanú 36	7130	4259	n/a	Hueso
Yuzanú 36	7131	p/a	p/a	Piedra con fractura térmica
Yuzanú 36	7132	n/a	n/a	Piedra tallada
Yuzanú 36	7133	4262	n/a	Hueso
Yuzanú 36	7134	4262	n/a	Hueso
Yuzanú 36	7135	4262	n/a	Hueso
Yuzanú 36	7136	4170	SW	Piedra con fractura térmica
Yuzanú 36	7137	4149	NW	Piedra no modificada
Yuzanú 36	7138	4139	NW	Piedra con fractura térmica
Yuzanú 36	7139	4149	NW	Piedra con fractura térmica
Yuzanú 36	7140	4158	SW	Piedra con fractura térmica
Yuzanú 36	7141	4158	SW	Piedra con fractura térmica
Yuzanú 36	7142	4158	NW	Piedra con fractura térmica
Yuzanú 36	7143	4148	NW	Piedra con fractura térmica
Yuzanú 36	7144	4089	SW	Piedra con fractura térmica
Yuzanú 36	7145	4089	SW	Piedra con fractura térmica
Yuzanú 36	7146	4089	SW	Piedra con fractura térmica
Yuzanú 36	7147	4089	NW	Piedra tallada
Yuzanú 36	7148	4049	SW	Piedra con fractura térmica
Yuzanú 36	7149	4089	NW	Piedra con fractura térmica
Yuzanú 36	7150	4101	SW	Piedra con fractura térmica
Yuzanú 36	7151	p/a	p/a	Piedra con fractura térmica
Yuzanú 36	7152	4101	NW	Piedra tallada
Yuzanú 36	7153	4266	n/a	Piedra pulida
Yuzanú 36	7154	4093	NW	Piedra con fractura térmica
Yuzanú 36	7155	4101	NE	Piedra con fractura térmica
Yuzanú 36	7156	4093	NE	Piedra con fractura térmica
Yuzanú 36	7157	4108	NE	Piedra con fractura térmica
Yuzanú 36	7158	4093	NE	Piedra tallada
Yuzanú 36	7159	4094	NW	Piedra no modificada
Yuzanú 36	7160	4094	NW	Piedra tallada
Yuzanú 36	7161	4099	NE	Piedra tallada
Yuzanú 36	7162	4117	NW	Piedra con fractura térmica
Yuzanú 36	7163	4113	NE	Piedra con fractura térmica
Yuzanú 36	7164	4177	NW	Piedra con fractura térmica
Yuzanú 36	7165	4111	NW	Piedra con fractura térmica
Yuzanú 36	7166	4177	NW	Piedra con fractura térmica
Yuzanú 36	7167	4115	NW	Piedra con fractura térmica
Yuzanú 36	7168	4115	SE	Piedra tallada
Yuzanú 36	7169	4112	NE	Piedra con fractura térmica
Yuzanú 36	7170	4116	SE	Piedra con fractura térmica
Yuzanú 36	7171	n/a	n/a	Piedra tallada
Yuzanú 36	7172	4270	n/a	Piedra no modificada
Yuzanú 36	7173	4270	n/a	Piedra no modificada
Yuzanú 36	7174	4270	n/a	Piedra tallada
Yuzanú 36	7175	4270	n/a	Piedra no modificada

n/a=no aplicable; p/a=por asignar

Tabla 4.3. **Registro general de objetos numerados.**

Sitio	No.	Lote	Cuadrante	Categoría
Yuzanú 36	7176	4277	n/a	Piedra con fractura térmica
Yuzanú 36	7177	4277	n/a	Piedra no modificada
Yuzanú 36	7178	4277	n/a	Piedra con fractura térmica
Yuzanú 36	7179	4277	n/a	Piedra con fractura térmica
Yuzanú 36	7180	4277	n/a	Piedra con fractura térmica
Yuzanú 36	7181	4277	n/a	Piedra con fractura térmica
Yuzanú 36	7182	4277	n/a	Piedra pulida
Yuzanú 36	7183	4277	n/a	Hueso
Yuzanú 36	7184	4277	n/a	Piedra no modificada
Yuzanú 36	7185	4277	n/a	Piedra no modificada
Yuzanú 36	7186	4277	n/a	Piedra con fractura térmica
Yuzanú 36	7187	4277	n/a	Piedra con fractura térmica
Yuzanú 36	7188	4277	n/a	Piedra pulida
Yuzanú 36	7189	4277	n/a	Piedra con fractura térmica
Yuzanú 36	7190	4277	n/a	Piedra tallada
Yuzanú 36	7191	4277	n/a	Hueso
Yuzanú 36	7192	4277	n/a	Hueso
Yuzanú 36	7193	4277	n/a	Hueso
Yuzanú 36	7194	4277	n/a	Hueso
Yuzanú 36	7195	4277	n/a	Piedra con fractura térmica
Yuzanú 36	7196	4277	n/a	Piedra con fractura térmica
Yuzanú 36	7197	4277	n/a	Piedra con fractura térmica
Yuzanú 36	7198	4277	n/a	Piedra con fractura térmica
Yuzanú 36	7199	4277	n/a	Piedra con fractura térmica
Yuzanú 36	7200	4277	n/a	Piedra tallada
Yuzanú 36	7201	4277	n/a	Piedra con fractura térmica
Yuzanú 36	7202	4277	n/a	Piedra con fractura térmica
Yuzanú 36	7203	4277	n/a	Piedra con fractura térmica
Yuzanú 36	7204	4279	n/a	Piedra no modificada
Yuzanú 36	7205	4279	n/a	Piedra tallada
Yuzanú 36	7206	4279	n/a	Piedra con fractura térmica
Yuzanú 36	7207	4279	n/a	Piedra con fractura térmica
Yuzanú 36	7208	4279	n/a	Piedra con fractura térmica
Yuzanú 36	7209	4279	n/a	Piedra con fractura térmica
Yuzanú 36	7210	4279	n/a	Piedra con fractura térmica
Yuzanú 36	7211	4280	n/a	Piedra con fractura térmica

n/a=no aplicable; p/a=por asignar

5. ANÁLISIS DE LA LÍTICA TALLADA DE YUZANÚ 50

Durante la temporada 2015-1016 las excavaciones en Yuzanú 50 arrojaron evidencia de lo que parece haber sido un campamento de corta duración en la planicie de inundación del curso alto del Río Yuzanú. El sitio arqueológico que resultó de aquella acampada se encuentra sepultado a una profundidad de más de 13 metros abajo de la superficie actual. La profunda incisión de la barranca que hoy en día lleva los escurrimientos del Río Yuzanú había alcanzado y rebasado este nivel. Descubrimos el sitio al observar una serie de lascas que se estaban cayendo de la pared de la barranca. En el Capítulo 2 de este informe presentamos el contexto geomórfico, la estratigrafía del sitio y los procedimientos que empleamos para excavarlo. Aquí abordamos el análisis de los artefactos líticos recuperados.

La excavación de una repisa en la parte inferior de la pared de la barranca nos permitió abarcar unos 18m^2 de la superficie de ocupación. En vista de los retos logísticos de exponer un área mayor a esta profundidad y, sobre todo, debido a que los cambios en la forma del cauce a lo largo de los últimos 12 mil años habían destruido una porción del sitio, resulta imposible saber cuál fue la extensión original del campamento y difícil saber cuál es la extensión del sitio que se conserva hoy en día. Sin embargo, lo que podemos afirmar después de haber excavado el área referida, siguiendo la estratigrafía natural de los depósitos fluviales, es que se trata de artefactos depositados en un contexto de muy baja energía, cubiertos por sedimentos finos poco tiempo después de ser desechados. En total recuperamos en Yuzanú 533 artefactos líticos, sin contar las microlascas contenidas en la fracción pesada de las muestras de flotación y cribado en húmedo. La gran mayoría de éstos yacían cerca en una franja de unos cuantos centímetros de espesor, en la parte superior de la zona estratigráfica 69; varios descansaban exactamente en el contacto de las zonas 69 y 68. Recuperamos cinco artefactos de la zona 67, más tardía, y seis artefactos de la zona 70, más temprana. No queda claro aún si éstos representan otras ocupaciones efímeras del mismo lugar, o artefactos desplazados por procesos posdeposicionales. Un total de 21 artefactos de lítica

tallada procede de niveles superiores de la columna estratigráfica, algunos de ellos de niveles cerámicos. Éstos documentan la presencia reiterada o continua de gente en esta parte del valle desde el Pleistoceno final. Sin embargo, la única concentración de artefactos que permita hablar de una ocupación y pueda interpretarse en términos de conducta humana es la que procede de la parte superior de la zona 69 y es ésta la que analizamos aquí.

Entre las zonas 67 y 70 contamos entonces un total de 508 artefactos, todos con excepción de once procedentes de la parte superior de la zona 69 o su contacto con la zona 68. Más de 95% de éstos proceden de los cuadros (499N; 499E), (499N; 500E) y (500N; 499E). Esta concentración extrema sugiere que los artefactos fueron depositados en un lapso muy breve. 494 de los 508 artefactos son lascas o fragmentos de lascas que representan desechos de talla lítica; hay también una preforma bifacial y dos artefactos bifaciales que fueron usados como herramientas. Entre los desechos de talla sólo dos lascas muestran huellas obvias de haber sido usadas como herramientas. Casi la totalidad de este conjunto (99.3%) es el resultado de la reducción de nódulos de rocas criptocristalinas que llamaríamos pedernales o calcedonias. Las características de las lascas y la presencia de una preforma bifacial rota sugieren que la gran mayoría de los desechos de talla es resultado del proceso de fabricación de herramientas bifaciales, probablemente destinadas a ser enmangadas para servir como puntas de proyectil en la caza de animales.

A continuación presentamos el conjunto por categoría, empezando por los desechos de talla, siguiendo con las herramientas y terminando con la única preforma. Después hacemos algunas observaciones generales acerca de todo el conjunto y lo que nos dice acerca de la ocupación más temprana de esta porción del valle de Nochixtlán. Lo que queda claro de antemano es que el sitio proporciona evidencia importante de la presencia humana temprana en las tierras altas de Oaxaca y en general, el sur de México, antes de que finalizara el Pleistoceno (compárese con Sánchez 2016: capítulo 2). Dadas las características de la tecnología lítica, se pueden ofrecer algunas conclusiones preliminares acerca de las estrategias de obtención y reducción de materiales líticos

empleadas por los pobladores tempranos de la región. Así mismo, se pueden situar estas estrategias respecto a las que han sido documentadas para este periodo en otras partes del continente.

5.1. Desechos de talla

El conjunto de lascas y fragmentos de lascas de Yuzanú 50 abarca desde muy pequeñas lascas de presión desprendidas con el propósito de delimitar y estabilizar el plano de lasqueo de un núcleo, hasta lascas de adelgazamiento de superficies más extensas. Las lascas más grandes alcanzan anchos de unos 8cm y grosores algo superiores a 4cm, aunque la mayoría mide menos de 2.5cm de grueso (Figura 5.1). La lasca más larga mide más de 8.5cm, la más corta unos cuantos milímetros de largo. Los talones de las lascas muchas veces habían sido pulidos con un abrasivo o preparadas por medios como el facetado. Incluso las lascas con talones planos 'sencillos' suelen mostrar huellas de abrasión. Esta característica es común entre las colecciones de desechos de talla paleoindias de Norteamérica, haciéndose mucho menos frecuente en el Arcaico (véase Ranere et al. 2009). Muchos tienen un marcado 'labio' en su cara ventral, lo que sugiere el uso de un percutor blando: madera dura, hueso animal, o marfil serían algunas de las posibilidades.

La mayoría de las lascas ostenta cierto grado de curvatura en su corte longitudinal, desde el talón hasta su extremo distal. Esta curvatura refleja a su vez la morfología del corte transversal de los bifaces que estaban siendo adelgazados. Aun cuando sea difícil medir el grado de curvatura, ésta es conspicua en lascas más o menos completas. Además, al comparar algunas lascas con la preforma bifacial que encontramos, se percibe un grado comparable de curvatura, lo que indica la fabricación de herramientas bifaciales de una forma consistente (Figura 5.2). Además, casi todas las lascas tienen negativos de lascas previas en su cara dorsal (Figura 5.3). Muy pocas conservan evidencia de la corteza del nódulo original. En conjunto, estas características indican que, en términos generales, la reducción lítica en Yuzanú 50 se centró en guijarros que ya habían sido calados, desbastados y hasta cierto punto formados, de tal

manera que carecían casi por completo de corteza. El conjunto analizado refleja por lo tanto una etapa bastante avanzada de la reducción de la materia prima.

En dos casos, el extremo distal de las lascas llegó hasta la orilla del bifaz, de tal manera que fue levantada una porción de la cara opuesta al negativo dejado por la cara ventral de la lasca (Figura 5.4). Cuando se trata de levantamientos hechos de manera premeditada, controlada y reiterada, este tipo de lasqueo recibe el nombre de sobrepasado (*overshot* u *outrepassé*) y se considera diagnóstico de las estrategias de reducción lítica paleoindias en Norteamérica (Bradley et al. 2010). Una de esas terminaciones levantó una pequeña porción de la orilla tabular de ángulo recto del guijarro original. Otras terminaciones de lascas ostentan morfologías de bisagra, pluma, o quiebre abrupto.

5.2 Herramientas

Sólo recuperamos cuatro herramientas en Yuzanú 50: dos de ellas son lascas sin retoque usadas para cortar o raspar, mientras que las otras dos son herramientas bifaciales bastante toscas. El reducido número de herramienta apoya la idea que la principal actividad que se llevó a cabo en el sitio fue el adelgazamiento de bifaces.

Las dos lascas mencionadas muestran desgaste macroscópico a lo largo de sus bordes laterales. Una de ellas, el objeto 81 – del lote 6062, cuadro (498N; 499E), zona 69-2 – es un fragmento de lasca con huellas de uso a lo largo del borde quebrado. El quiebre resultó en un vértice puntiagudo que también fue usado, quizás como una gubia o perforador (Figura 4.5A). El objeto 165 – del lote 6072, cuadro (499N; 500 E), zona 69-2 – es un fragmento proximal de una lasca, con extenso desgaste de un borde lateral (Figura 4.5B). Llama la atención que el objeto 165 no tenga la misma curvatura que la mayoría de las lascas de este conjunto; más bien, se trata de un artefacto con un corte longitudinal casi recto, con un talón liso sin abrasión ni ningún otro tipo de preparación. Con 5.59cm de ancho se cuenta, además, entre las lascas más grandes de todo el conjunto. Aunque en la Figura 5.1 no se ilustre el largo – muchísimas lascas están rotas haciendo que las mediciones del largo carezcan de interés – el objeto 165 es también la segunda lasca más

larga del conjunto (la más larga es la usamos en la Figura 5.2 para ilustrar la curvatura). El objeto 165 parece estar roto aproximadamente a la mitad, lo que significa que el ancho del guijarro del que fue levantada esta lasca fue aun mayor a la dimensión que medimos. Como estos detalles reflejan el tamaño y morfología de los nódulos trabajados, cabe señalar que pocas, quizás ninguna, de las demás lascas se aproxima siquiera a estas dimensiones. Estas peculiaridades nos hacen pensar que esta lasca en particular (1) fue levantada en una etapa mucho más temprana de la reducción de la materia prima, o bien (2) procede de un nódulo con características muy diferentes, que dieran lugar a talones planos y caras relativamente planas, en lugar de bi-convexas. Como no encontramos entre los desechos de talla formas intermedias entre el tamaño del objeto 185 y bifaces más pequeños, la primera interpretación parece poco creíble. La segunda interpretación implicaría que quienes acamparon en Yuzanú 50 llevaban consigo nódulos de dos tipos diferentes, algunos destinados a ser reducidos a bifaces, y otros que servirían como núcleos de los que se pudieran levantar lascas que se aprovecharían en calidad de herramientas parecidas al objeto 185. Una tercera interpretación posible es que lascas como el objeto 185 hayan sido levantadas de un núcleo en otro lugar y que la gente llevara consigo las lascas que se usaran como herramientas en el momento oportuno.

Aparte de estas dos lascas, recuperamos dos bifaces, los objetos 204 y 206. El primero fue encontrado en el cuadro de (497N; 501E), aislado de la concentración principal de lítica (Figura 2.20). Se trata de un bifaz ovalado que mide 7.73cm de largo, por 4.58cm de ancho y 1.95cm de grueso (Figura 5.6). No tiene corteza visible, pero conserva una porción tabular en un tramo de su borde lateral. Los negativos de las lascas usadas para adelgazar el bifaz convergen cerca de su eje longitudinal. No se percibe ningún patrón conspicuo de huellas de uso macroscópicas, con excepción de un desgaste menor pero claro de los bordes, debido al uso en actividades como cortar o cercenar. Un raspado intensivo o reiterado normalmente deja los bordes más desportillados de lo que se observa en esta herramienta. Podríamos hablar por lo tanto de un cuchillo bifacial.

El segundo bifaz, el objeto 206, fue encontrado en la orilla de la concentración principal de lítica (Figura 2.20), en el cuadro de (499N; 500E). Está mucho menos

trabajado que el objeto 204 (Figura 5.7), ostentando las huellas de un lasqueo consistente solamente en una de sus caras, mientras que la otra ha sido tallada de manera muy burda. Parece tratarse de un guijarro quebrado, del que se había quitado la corteza en una etapa anterior. El artefacto mide 8.13cm de largo, por 4.88cm de ancho y 2.06cm de grueso. La mayoría de las huellas de uso macroscópicas se concentra en dos tramos contiguos de su borde lateral, en donde el desgaste ha resultado en bordes romos de ángulos más o menos constantes y de trazo irregular. A diferencia del objeto 204, este tipo de ángulos obtusos en el borde se debe comúnmente a la actividad de raspar o raer. Podríamos hablar por lo tanto de una raedera.

5.3. Preforma bifacial

El objeto 125 es una preforma bifacial. Se trata de un artefacto único en su género en todo el sitio, pero uno que proporciona bastante información acerca de la tecnología lítica y permite incluso conjeturar algunos parentescos culturales de quienes acamparon en Yuzanú 50. La preforma proviene del lote 6072 y la zona 69-2; yacía horizontalmente en el cuadro de (499N; 500E), rodeada de un importante número de lascas y fragmentos de lascas (Figuras 2.15, 2.19-2.20). Mide 10.41cm de largo, por 8.37cm de ancho y 1.79cm de grueso; pesa 181.12 g. Está rota por una fractura oblicua que la atraviesa de un borde lateral al otro; lo que se conserva es un poco más de la mitad del largo original, ya que está presente la parte en la que la preforma alcanza su ancho máximo. Lo que originó la fractura fue una imperfección oculta de la materia prima en forma de una vesícula o hueco de aproximadamente un centímetro de diámetro. Los bordes se contraen marcadamente hacia el extremo conservado y parecen hacer lo mismo en el sentido opuesto (Figura 5.8). El lasqueo en este artefacto está bien hecho, con levantamientos cubrientes que por lo general alcanzan o rebasan el eje longitudinal de la preforma. Bradley et al. (2010: 65) llaman este tipo de lascas de adelgazamiento *full-face flakes*, definiéndolas como "flakes that traveled most of the way across the biface" (Bradley 1982: 207); Smallwood (2010) las llama *overface flakes*. Este tipo de lasqueo es característico de estrategias de reducción lítica del Pleistoceno terminal, abocadas a

lograr un cociente ancho/grosor alto en ciertos bifaces (véase Lohse et al. 2014a: 46-47). El remanente de un borde tabular del guijarro original está presente en uno de los costados, cerca de la punta intacta de la preforma. Como lo hemos señalado, uno de los fragmentos de lasca sobrepasada recuperados en el sitio conserva también una porción pequeña de un borde tabular parecido.

La preforma se quebró antes de ser terminada. Desde una perspectiva tecnológica, cabe señalar que en otros depósitos del Pleistoceno terminal en Norteamérica, bifaces como éste se consideran por lo general como preformas para la fabricación de puntas de proyectil. La edad de la superficie de ocupación de la que procede el objeto 125, ca. 12,700 años a.P. en una escala de tiempo sideral, es un poco más tardía que el intervalo asociado con la cultura clovis, la que Waters y Stafford (2007) ubican, de manera muy restrictiva, entre 13,050 y 12,800 a.P. Muchos otros arqueólogos han argumentado que la cultura clovis abarca un periodo más largo, empezando antes y terminando después de este intervalo. Los fechamientos del Fin del Mundo y otros trabajos en el actual estado de Sonora confirman la presencia de grupos de filiación clovis en fechas cercanas a 13,400 a.P (Sánchez et al. 2014; Sánchez 2016). Aun con una cronología más amplia, consideramos que Yuzanú 50 es demasiado tardío para pertenecer propiamente a esa cultura. Sin embargo, tomamos aquí la oportunidad de comparar el objeto 125 con otros bifaces paleoindios de la era clovis, para empezar a entender qué podría significar en términos de la movilidad de grupos de cazadores-recolectores y las correspondientes estrategias de fabricación de herramientas de piedra tallada.

Otros análisis de bifaces similares provenientes de los llamados 'escondites' (*caches*) clovis han empleado el cociente ancho/grosor para describir de manera objetiva sus proporciones y entender cuál era la forma deseada al final del proceso de reducción lítica (Lohse et al. 2014b). En este tipo de estudios los parámetros A/(A+G) y G/(A+G) – donde A=ancho y G=grosor – permiten reducir las dimensiones medidas a valores sin dimensión que describen la forma sin importar el tamaño. Al calcularlos para el objeto 125 y compararlo con bifaces de los escondites clovis (Figuras 5.9 y 5.10) la preforma se

parece más a los llamados bifaces aovados u ovalados (*ovate bifaces*). Se trata de una forma que pertenece a las etapas intermedias del proceso de reducción, no tan definida como las preformas lanceoladas de las etapas tardía, pero obviamente mucho más definida que un nódulo bruto. Es entonces en una etapa intermedia entre una preforma de etapa temprana y una punta de proyectil terminada que ubicaríamos el objeto 125.

5.4. Comentarios e interpretaciones finales

El análisis del conjunto de lítica tallada de Yuzanú 50 indica un enfoque muy marcado en la reducción de guijarros a preformas bifaciales. En vista de las características de la preforma rota que recuperamos, creemos que la intención era convertirlas en puntas que serían fijadas a un intermediario (*foreshaft*) que las fijaría a su vez a un mango, formando de esta manera un proyectil (dardo o lanza) para cazar animales. Aparte de la lítica analizada en este capítulo, recuperamos en la superficie de ocupación dos fragmentos de hueso que resultan de interés. Uno de ellos es el astrágalo de un animal del tamaño de un venado que yacía a unos cuantos centímetros de la preforma (Figura 2.15); el otro es un fragmento de diáfisis de hueso largo de un animal de tamaño comparable, quemado y con huellas de corte (Figura 5.11) encontrado en el contacto de las zonas 68 y 69, en el cuadro (498N; 499E). En términos tecnológicos, los artefactos recuperados en el sitio reflejan actividades poco variadas, lo que sería consistente con una acampada breve, quizás un solo evento de unas cuantas horas, suficiente para reponer unas herramientas por medio del lasqueo y quizás comer.

La materia prima presente en el conjunto lítico de Yuzanú 50 parece estar disponible en las cercanías y es bastante uniforme, aunque se pueden reconocer por lo menos tres variedades de pedernal o calcedonia distintas. Los tres bifaces (la preforma y las dos herramientas bifaciales) son de la misma variedad, la que se distingue por colores que transitan de un azul oscuro traslúcido hasta un blanco lechoso. Grandes cantos de este material (Figura 5.12) afloran en por lo menos un lugar cerca del parteaguas de la cuenca del Río Yuzanú, a unos tres kilómetros río y cuesta arriba del sitio, quizás a una hora y media de caminata en vista de la accidentada topografía.

Guijarros de un material parecido están presentes en los cauces de varios ramales del sistema fluvial del Río Yuzanú, aunque en vista de la milenaria ocupación de la cuenca a veces resulta difícil saber si llegaron allí únicamente por procesos naturales o habían pasado en algún momento por manos humanas. La segunda variedad de material es de color lechoso opaco, casi libre de impurezas o inclusiones (Figura 5.13). La lasca con huellas de uso (Figura 5B) es de este material. La tercera variedad es también de apariencia opaca, pero de un color beige a café, con vetas de un café más oscuro a moradas. Dos lascas que se pueden remontar en sus partes distales – representando por lo tanto un bifaz de más de 9cm de ancho – son de este tercer material (Figura 5.14). Las tres variedades de materia prima sirvieron para la fabricación de bifaces en Yuzanú 50.

En conclusión, el sitio Yuzanú 50 y sus materiales culturales indican una acampada efímera por un grupo muy reducido de personas, quienes se dedicaron a preparar sus herramientas y comer. Desafortunadamente, será casi imposible saber qué porción del sitio ha sido destruida por la erosión ocasionada por los cambios en la arquitectura fluvial del río y difícil estimar la extensión de la porción que aún se conserva sepultada bajo los más de 13 metros de aluvión. Aun así, Yuzanú 50 constituye una ejemplo excepcional de la adaptación de cazadores-recolectores a los ambientes de la Mixteca Alta a finales del Pleistoceno.

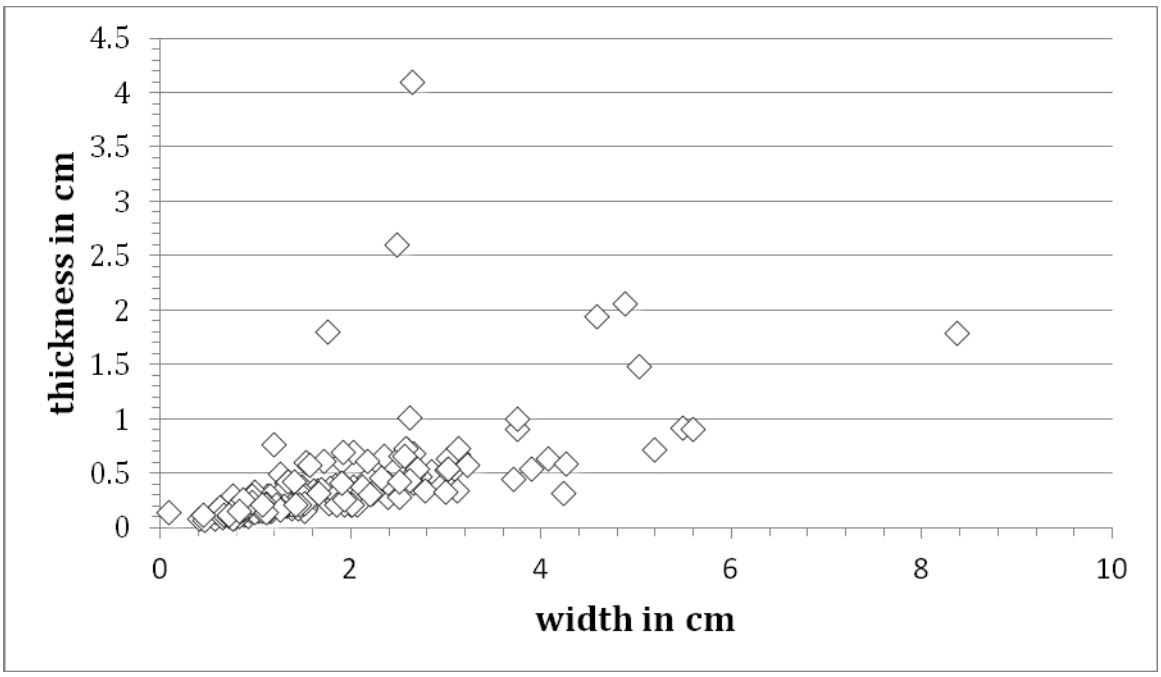


Figura 5.1. **Ancho y grosor de las lascas de Yuzanú 50.**



Figura 5.2. **Ejemplo de la curvatura de una lasca de Yuzanú 50, comparada con la de la preforma bifacial recuperada en el mismo sitio.**



Figura 5.3. **Ejemplo de una lasca "típica" de Yuzanú 50, resultado del adelgazamiento de bifaces.**



Figura 5.4. **Ejemplo de una terminación sobrepasada controlada.**
Hay dos ejemplares en la colección que muestran claramente esta característica.

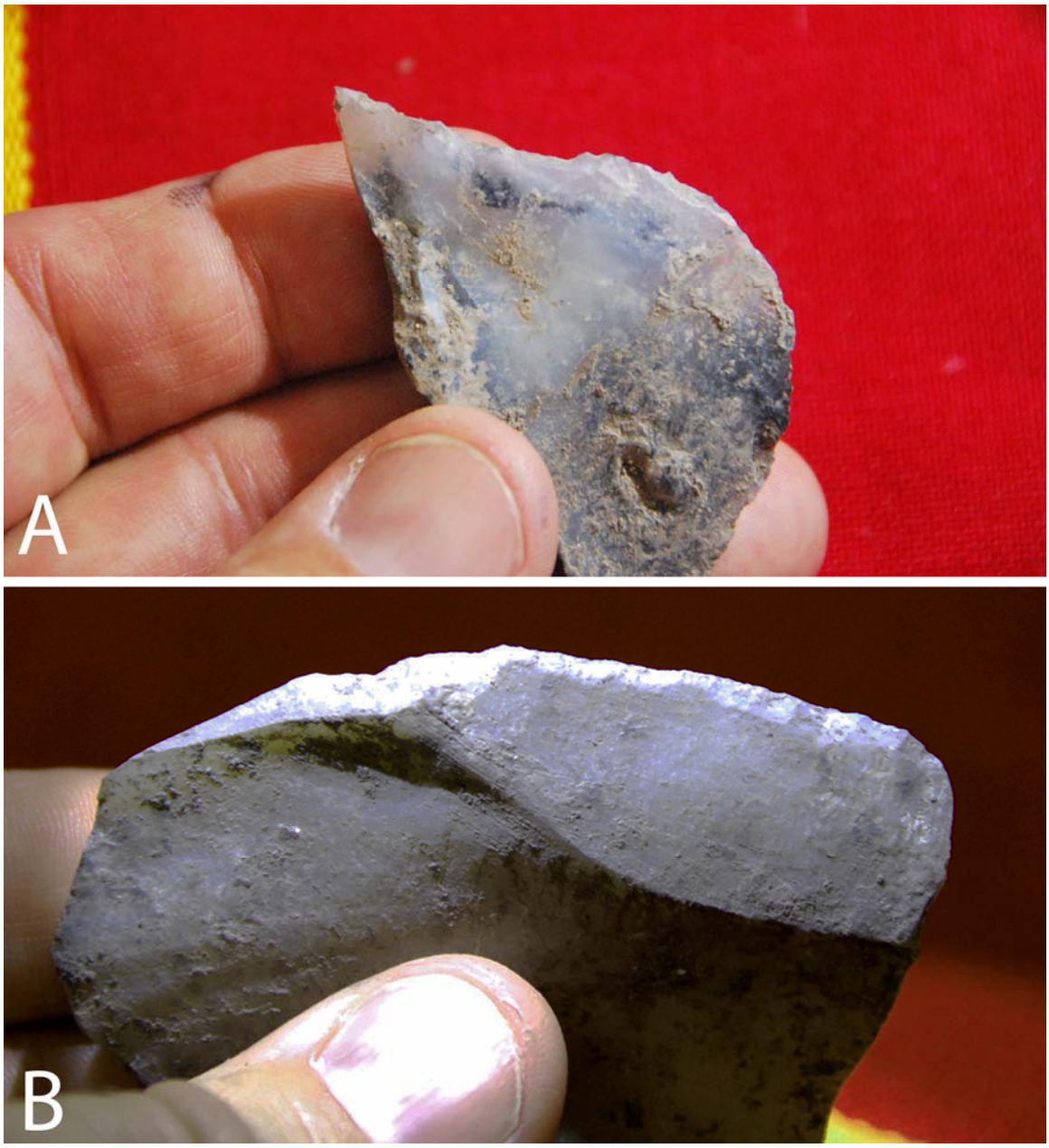


Figura 5.5. **Las dos lascas con huellas de uso recuperadas en Yuzanú 50.**
A: objeto 81 (lote 6062); B: objeto 165 (lote 6072).



Figura 5.6. **El objeto 204, una herramienta bifacial ovalada usada a manera de cuchillo.**


Figura 5.7. **El objeto 206, una herramienta bifacial tosca, usada a manera de raedera.**



Figura 5.8. Ambas **caras del objeto 125, una preforma bifacial.**

En la Figura 5.2 se puede apreciar una vista transversal que muestra la vesícula que contribuyó a que el artefacto se quebrara.

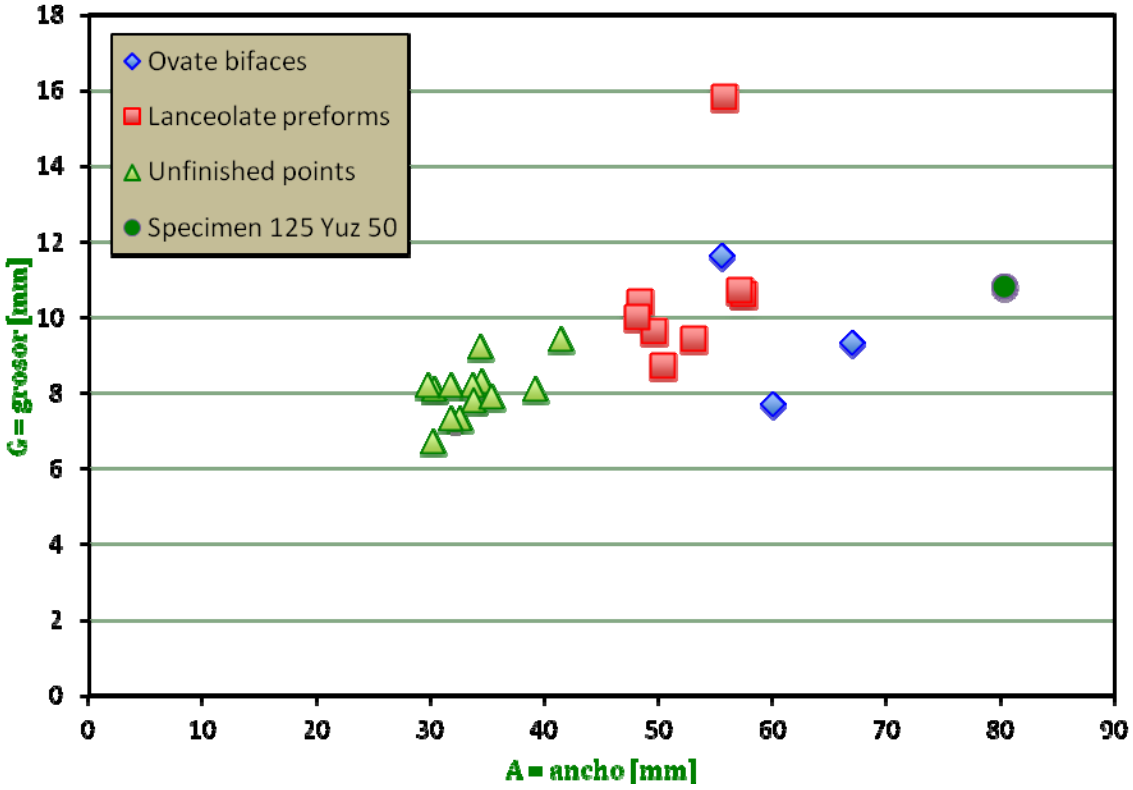


Figura 5.9. **El objeto 125 de Yuzanú 50 comparado con algunos bifaces clovis clasificados en función de la etapa de reducción a la que pertenecen. Datos expresados en dimensiones absolutas, en milímetros.**
Datos comparativos tomados de Lohse et al. (2014b: figura 9.5).

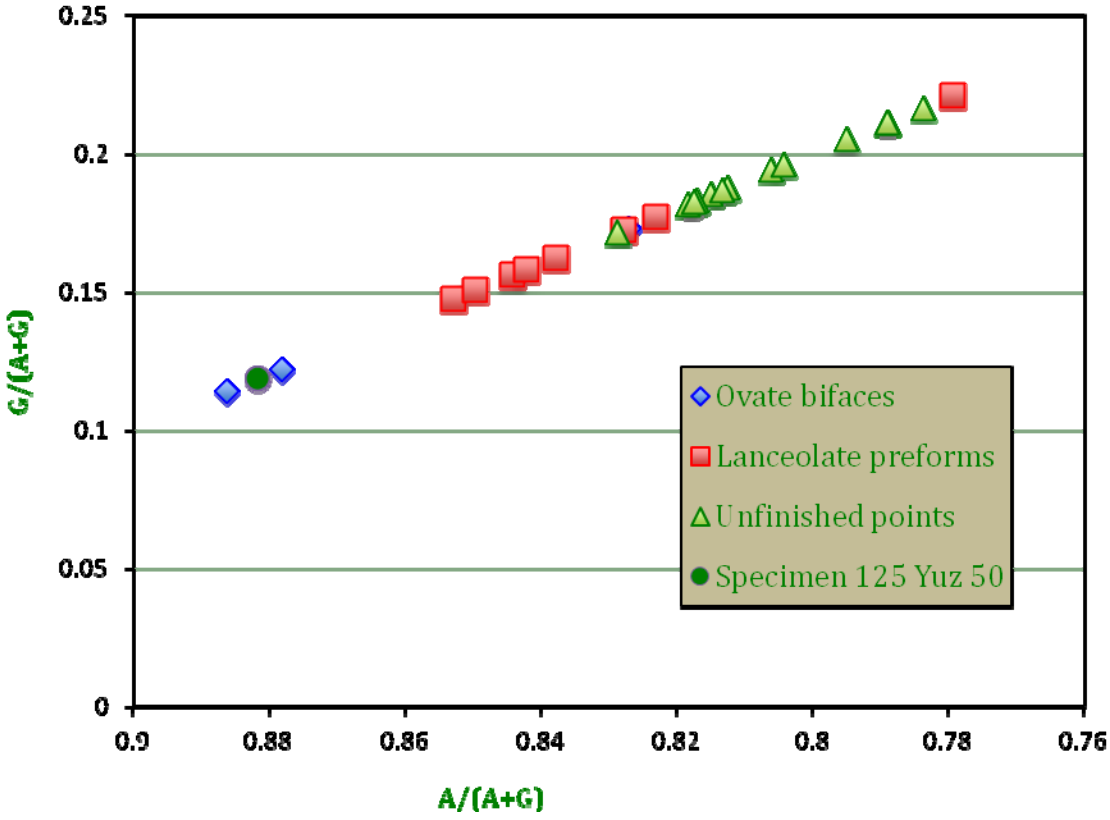


Figura 5.10. **El objeto 125 de Yuzanú 50 comparado con algunos bifaces clovis clasificados en función de la etapa de reducción a la que pertenecen. Datos expresados en términos proporcionales, sin dimensión.**
Datos comparativos tomados de Lohse et al. (2014b: figura 9.5).



Figura 5.11. **Objeto 34, un fragmento de un hueso largo de un animal del tamaño de un venado, con huellas de corte.**



Figura 5.12. **Ejemplo de la primera variedad de materia prima presente en Yuzanú 50.** El bloque de la izquierda fue recolectado en un afloramiento natural.



Figura 5.13. **Ejemplos de la segunda variedad de materia prima presente en Yuzanú 50.**



Figura 5.14. **Dos lascas remontadas que representan un solo bifaz, hecho de la tercera variedad de materia prima presente en Yuzanú 50.**

6. CÉDULAS DE SITIO

Se anexan cédulas de sitio para el Registro Público de Monumentos y Zonas Arqueológicas. Cabe señalar que la de Yuzanú 50 es una cédula nueva, mientras que la de Yuzanú 36 es una re-elaboración de la cédula presentada en 2012. Resulta urgente enmendarla, ya que los trabajos de la temporada 2015-2016 revelaron que el sitio es mucho más extenso de lo que pensábamos. Yuzanú 36 está inscrito en el Catálogo Nacional de Sitios Arqueológicos con la clave E14D2520303 e identificador 45568.

INAH

REGISTRO PÚBLICO DE MONUMENTOS Y ZONAS ARQUEOLÓGICOS

SITIO INSCRITO EN EL CATÁLOGO NACIONAL
(OFICIO 401.F(202)45.2013/0251)

SE COMUNICA AQUÍ QUE RESULTA TENER EXTENSIÓN MUCHO MAYOR QUE LA QUE ASENTAMOS EN LA CÉDULA ORIGINAL

CATÁLOGO E INVENTARIO DE ZONAS ARQUEOLÓGICAS

CLAVE E14D2520303

Anotó: Arthur A. Joyce Fecha: 9 octubre 2017 **01. TIPO DE SITIO:** sin estructuras

02. NOMBRE DEL SITIO: Yuz 36 Municipio: Yanhuitlán Estado: Oaxaca

03. COORDENADAS UTM: E 6 76 500 **04. NÚMERO DE CARTA** E14D25

N 19 39 100 Escala de la carta 1: 50,000

05. FOTO AÉREA: No disponible Inexistente ☐

Compañía o Institución: _____ Escala: _____ Fecha de vuelo: _____

Número de rollo: _____ o vuelo: _____ Línea: _____ Foto: _____

Número de marca en foto: _____ Cuadro menor: _____

06. INFORMACIÓN RECUPERADA POR: 1. Bibliografía ☐ 2. Fotointerpretación ☐ 3. Informante ☐ 4. Casualidad ☒

INFORMACIÓN: 1. Verificada en campo ☒ 2. No verificada en campo ☐

07. TAMAÑO DE POBLACIONES MÁS CERCANAS AL SITIO:

Kms.	TAMAÑO DE POBLACIONES (HABITANTES)		
	< 500	500-2500	> 2500
0	0	0	0
0.1-5	6	1	0
5-10	16	6	0

08. ACCESO AL SITIO DESDE POBLACIONES A MENOS DE 10 Kms.

Tipo de ruta	DISTANCIA A RECORRERSE (en kms.)		
	0-1	1-5	5-10
1. Camino asfaltado			
2. Terracería	x		
3. Brecha	x		
4. Vereda			
5. Vía acuática			
6. Vía aérea			

09. USO ACTUAL DEL SUELO:

1. Forestal ☐ 2. Ganadero ☐ 3. Agricultura de temporal ☒ 4. Agricultura de riego ☐ 5.Urbano ☐ 6. Turístico ☐

7. Otros Barranca

Observaciones sobre proporciones y localización

10. NÚMERO Y TAMAÑO DE ESTRUCTURAS DEL SITIO:

EXTENSIÓN 70 000 m^2

7 Has

(1 Hectárea=10 000 m^2)

Altura	NÚMERO DE ESTRUCTURAS				
	0-5	6-10	11-50	51-100	> 100
< 2					
2-5					
6-10					
> 10					

11. GRADO DE SAQUEO ENCONTRADO EN EL SITIO:

0. Ninguno ☒ 1. Saqueo antiguo ☐ 2. Saqueo reciente ocasional ☐ 3. Saqueo reciente sistemático simple ☐ 4. Saqueo reciente sistemático profesional ☐

12. GRADO DE DESTRUCCIÓN POTENCIAL EN EL SITIO

0. Ninguno [X]

1. Por obra de infraestructura a corto plazo [ ]
2. Por obra de infraestructura a mediano plazo [ ]
3. Por obra de infraestructura a largo plazo [ ]
4. Extracción de piedra como actividad familiar [ ]
5. Extracción de piedra como actividad mayor [ ]
6. Nivelación del terreno como obra agrícola [X]
7. Asentamiento humano [ ]
8. Vandalismo [ ]

EROSIÓN:

9. Extensiva severa [ ]
10. Extensiva moderada [ ]
11. Parcial severa [X]
12. Parcial moderada [ ]

13. Observaciones sobre intensidad de destrucción y otros procesos no descritos:

13. GRADO DE EXPOSICIÓN DE ELEMENTOS ARQUEOLÓGICOS

0. Ninguno [ ]

1. Estratigrafía [X]
2. Arquitectura [ ]
3. Tumbas [ ]
4. Escultura [ ]
5. Pintura mural [ ]

6. Otros _____

Fotos _____

Observaciones

14. MATERIALES FUNDAMENTALES EN LA CONSTRUCCIÓN DE ESTRUCTURAS:

0. No observables [X]

1. Piedra careada [ ]
2. Piedra y tierra [ ]
3. Ladrillo [ ]
4. Adobe [ ]
5. Tierra [ ]

6. Otros _____

Observaciones sobre posición original de material y proporciones:

15. OTROS VALORES DEL SITIO

1. Didáctico [ ]
2. Investigación [X]
3. Conservación excepcional [ ]
4. Alto valor artístico [ ]
5. Sitio asociado a trabajo excepcional [ ]

Observaciones sobre justificación de la decisión:

16. TENENCIA DE LA TIERRA EN EL ÁREA DEFINIDA POR LOS LÍMITES DEL SITIO:

1. Federal [X]
2. Comunal [X]
3. Pequeña propiedad [ ]
4. Mediana propiedad [ ]
5. Ejidal [ ]

Observaciones sobre proporciones y localización: EL SITIO ABARCA UNA SUPERFICIE APROXIMADA DE 7 HA, TAL COMO SE SEÑALA EN LA FIGURA ADJUNTA

17. CRONOLOGÍA TENTATIVA:

MUESTREAR MATERIAL CERÁMICO Y/O LÍTICO DIAGNÓSTICO EN CASO DE QUE EL ÁREA NO HAYA SIDO INVESTIGADA

1. Anterior a 5000 a.n.e. [ ]
2. 5000-1500 a.n.e. [X]
3. 1500 a.n.e.-200 n.e. [ ]
4. 200-650/900 n.e. [ ]
5. 650/900-1200 n.e. [ ]
6. 1200-1521 n.e. [ ]
7. Post. 1521 n.e. [ ]

BIBLIOGRAFÍA MÍNIMA DEL SITIO:

1. Descripción Borejsza, A., Lohse, J.C., Joyce, A.A. 2017. Informe técnico de la temporada de campo 2015-2016 del proyecto arqueológico y paleoecológico "El Precerámico del Valle De Nochixtlán". Informe entregado al Instituto Nacional de Antropología e Historia.

2. Mapa o croquis Figura 1.1 del informe (se anexa).

REGISTRO PÚBLICO DE MONUMENTOS Y ZONAS ARQUEOLÓGICOS

INAH

SITIO AÚN NO INSCRITO EN EL CATÁLOGO NACIONAL

CATÁLOGO E INVENTARIO DE ZONAS ARQUEOLÓGICAS

CLAVE

Anotó: Arthur A. Joyce Fecha: 9 octubre 2017 **01. TIPO DE SITIO:** sin estructuras

02. NOMBRE DEL SITIO: Yuz 50 Municipio: Yanhuitlán Estado: Oaxaca

03. COORDENADAS UTM: E 6 76 300 **04. NÚMERO DE CARTA** E14D25

N 19 40 200 Escala de la carta 1: 50,000

05. FOTO AÉREA: No disponible Inexistente ☐

Compañía o Institución: _____ Escala: _____ Fecha de vuelo: _____

Número de rollo: _____ o vuelo: _____ Línea: _____ Foto: _____

Número de marca en foto: _____ Cuadro menor: _____

06. INFORMACIÓN RECUPERADA POR: 1. Bibliografía ☐ 2. Fotointerpretación ☐ 3. Informante ☐ 4. Casualidad ☒

INFORMACIÓN: 1. Verificada en campo ☒ 2. No verificada en campo ☐

07. TAMAÑO DE POBLACIONES MÁS CERCANAS AL SITIO:

		TAMAÑO DE POBLACIONES (HABITANTES)		
		< 500	500-2500	> 2500
Kms.	0	0	0	0
	0.1-5	6	1	0
	5-10	15	5	0

08. ACCESO AL SITIO DESDE POBLACIONES A MENOS DE 10 Kms.

		DISTANCIA A RECORRERSE (en kms.)		
		0-1	1-5	5-10
Tipo de ruta	1. Camino asfaltado			
	2. Terracería	x		
	3. Brecha			
	4. Vereda		x	
	5. Vía acuática			
	6. Vía aérea			

09. USO ACTUAL DEL SUELO:

1. Forestal ☐ 2. Ganadero ☐ 3. Agricultura de temporal ☐ 4. Agricultura de riego ☐ 5.Urbano ☐ 6. Turístico ☐

7. Otros Barranca

Observaciones sobre proporciones y localización

10. NÚMERO Y TAMAÑO DE ESTRUCTURAS DEL SITIO:

EXTENSIÓN 100 m^2

0.01 Has

(1 Hectárea=10 000 m^2)

		NÚMERO DE ESTRUCTURAS				
		0-5	6-10	11-50	51-100	> 100
Altura	< 2					
	2-5					
	6-10					
	> 10					

11. GRADO DE SAQUEO ENCONTRADO EN EL SITIO:

0. Ninguno ☒ 1. Saqueo antiguo ☐ 2. Saqueo reciente ocasional ☐ 3. Saqueo reciente sistemático simple ☐ 4. Saqueo reciente sistemático profesional ☐

12. GRADO DE DESTRUCCIÓN POTENCIAL EN EL SITIO

0. Ninguno [x]

1. Por obra de infraestructura a corto plazo [ ]
2. Por obra de infraestructura a mediano plazo [ ]
3. Por obra de infraestructura a largo plazo [ ]
4. Extracción de piedra como actividad familiar [ ]
5. Extracción de piedra como actividad mayor [ ]
6. Nivelación del terreno como obra agrícola [ ]
7. Asentamiento humano [ ]
8. Vandalismo [ ]

EROSIÓN:

9. Extensiva severa [ ]
10. Extensiva moderada [ ]
11. Parcial severa [x]
12. Parcial moderada [ ]

13. Observaciones sobre intensidad de destrucción y otros procesos no descritos:

13. GRADO DE EXPOSICIÓN DE ELEMENTOS ARQUEOLÓGICOS

0. Ninguno [ ]

1. Estratigrafía [x]
2. Arquitectura [ ]
3. Tumbas [ ]
4. Escultura [ ]
5. Pintura mural [ ]

6. Otros _____

Fotos _____

Observaciones

14. MATERIALES FUNDAMENTALES EN LA CONSTRUCCIÓN DE ESTRUCTURAS:

0. No observables [x]

1. Piedra careada [ ]
2. Piedra y tierra [ ]
3. Ladrillo [ ]
4. Adobe [ ]
5. Tierra [ ]

6. Otros _____

Observaciones sobre posición original de material y proporciones:

15. OTROS VALORES DEL SITIO

1. Didáctico [ ]
2. Investigación [x]
3. Conservación excepcional [ ]
4. Alto valor artístico [ ]
5. Sitio asociado a trabajo excepcional [ ]

Observaciones sobre justificación de la decisión:

16. TENENCIA DE LA TIERRA EN EL ÁREA DEFINIDA POR LOS LÍMITES DEL SITIO:

1. Federal [x]
2. Comunal [ ]
3. Pequeña propiedad [ ]
4. Mediana propiedad [ ]
5. Ejidal [ ]

Observaciones sobre proporciones y localización:

17. CRONOLOGÍA TENTATIVA:

MUESTREAR MATERIAL CERÁMICO Y/O LÍTICO DIAGNÓSTICO EN CASO DE QUE EL ÁREA NO HAYA SIDO INVESTIGADA

1. Anterior a 5000 a.n.e. [x]
2. 5000-1500 a.n.e. [ ]
3. 1500 a.n.e.-200 n.e. [ ]
4. 200-650/900 n.e. [ ]
5. 650/900-1200 n.e. [ ]
6. 1200-1521 n.e. [ ]
7. Post. 1521 n.e. [ ]

BIBLIOGRAFÍA MÍNIMA DEL SITIO:

1. Descripción Borejsza, A., Lohse, J.C., Joyce, A.A. 2017. Informe técnico de la temporada de campo 2015-2016 del proyecto arqueológico y paleoecológico "El Precerámico del Valle De Nochixtlán". Informe entregado al Instituto Nacional de Antropología e Historia.

2. Mapa o croquis Figura 1.1 del informe (se anexa).

OBRAS CITADAS

Acosta, Jorge R. y Javier Romero. 1992. *Exploraciones en Monte Negro, Oaxaca, 1937-38, 1938-39 y 1939-40*. México: Instituto Nacional de Antropología e Historia.

Acosta Ochoa, Guillermo. 2008. La cueva de Santa Marta y los cazadores-recolectores del Pleistoceno final - Holoceno temprano en las regiones tropicales de México. Tesis de doctorado, Instituto de Investigaciones Antropológicas, Universidad Nacional Autónoma de México, México.

Acosta Ochoa, Guillermo. 2010a. Late-Pleistocene/early-Holocene tropical foragers of Chiapas, Mexico: recent studies. *Current Research in the Pleistocene*. 27: 1-4.

Acosta Ochoa, Guillermo. 2010b. Antecedentes precerámicos de las sociedades del "Formativo" en el sureste de México. *Thule: Rivista italiana di studi americanistici*. 22/25: 101-20.

Acosta Ochoa, Guillermo. 2014. Nuevos estudios sobre las sociedades precerámicas de Chiapas. En *Perspectivas de los estudios de prehistoria en México: un homenaje a la trayectoria de Joaquín García Bárcena* (coords. Eduardo Corona Martínez y Joaquín Arroyo Cabrales), pp. 143-67. México: Instituto Nacional de Antropología e Historia.

Acosta Ochoa, Guillermo. 2017. Early agricultural modes of production in Mesoamerica: new insights from Southern and Central Mexico. En *Modes of Production in Archaeology* (coords. Robert M. Rosenswig y Jerimy J. Cunningham), pp. 75-98. Gainesville: University Press of Florida.

Acosta Ochoa, Guillermo y Luis Felipe Bate. 2006. Ocupaciones en cuevas y abrigos rocosos de Ocozocoautla, Chiapas: de la prehistoria a las sociedades clasistas. En *Perspectivas de investigación arqueológica II: homenaje a Gustavo Vargas* (coords. Cristina Corona, Patricia Fournier García y Alejandro Villalobos Pérez), pp. 89-100. México: Escuela Nacional de Antropología e Historia.

Acosta Ochoa, Guillermo y Patricia Pérez Martínez. 2012. El poblamiento de Chiapas a fines del Pleistoceno. En *Arqueología reciente de Chiapas: contribuciones del encuentro celebrado en el 60° aniversario de la Fundación Arqueológica Nuevo Mundo* (coords. Lynneth S. Lowe y Mary E. Pye), pp. 21-9. Provo: New World Archaeological Foundation.

Arroyo Cabrales, Joaquín, Oscar J. Polaco y Eileen Johnson. 2006. A preliminary view of the coexistence of mammoth and early peoples in México. *Quaternary International*. 142/143: 79-86.

Arroyo Cabrales, Joaquín, Oscar J. Polaco, César Laurito, Eileen Johnson, María Teresa Alberdi y Ana Lucía Valerio Zamora. 2007. The proboscideans (Mammalia) from Mesoamerica. *Quaternary International*. 169-170: 17-23.

Arroyo Cabrales, Joaquín, Oscar J. Polaco, Eileen Johnson e Ismael Ferrusquía Villafranca. 2010. A perspective on mammal biodiversity and zoogeography in the Late Pleistocene of México. *Quaternary International*. 212: 187-97.

Arroyo Cabrales, Joaquín, Ramón Viñas Vallverdú, Xose Pedro Rodriguez, Albert Rubio, Jordi Rosell, Alejandro López Jiménez e Irán I. Rivera González. 2012. A new Pleistocene-age archaeological-paleontological deposit in Santiago Chazumba, Oaxaca, México: an initial appraisal. En *Southbound: Late Pleistocene Peopling of Latin America* (coords. Laura Miotti, Mónica Salemme, Nora Flegenheimer y Ted Goebel), pp. 179-81. College Station: Center for the Study of the First Americans.

Aveleyra Arroyo de Anda, Luis. 1964. The primitive hunters. En *Handbook of Middle American Indians, vol. 1: Natural Environment and Early Cultures* (coord. Robert C. West), pp. 384-412. Austin: University of Texas Press.

Balkansky, Andrew K., Verónica Pérez Rodríguez y Stephen A. Kowalewski. 2004. Monte Negro and the urban revolution in Oaxaca, Mexico. *Latin American Antiquity*. 15: 33-60.

Bellwood, Peter. 2005. *First Farmers: The Origins of Agricultural Societies*. Oxford: Blackwell.

Black, Stephen L. y Alston V. Thoms. 2014. Hunter-gatherer earth ovens in the archaeological record: fundamental concepts. *American Antiquity*. 79: 204-26.

Blomster, Jeffrey P. 2004. *Etlatongo: Social Complexity, Interaction, and Village Life in the Mixteca Alta of Oaxaca, Mexico*. Belmont: Wadsworth.

Borejsza, Aleksander y Charles D. Frederick. 2010. Fluvial response to Holocene climate change in low-order streams of central Mexico. *Journal of Quaternary Science*. 25(5): 762-81.

Borejsza, Aleksander y Isabel Rodríguez López. 2014. La Laguna: Formative contexts away from the site center. En Formative Lifeways in Central Tlaxcala, vol. I: Excavations, Contexts, and Chronology (coord. Richard G. Lesure), pp. 113-67. Los Angeles: Cotsen Institute of Achaeology Press.

Borejsza, Aleksander, Charles D. Frederick, Luis Morett Alatorre y Arthur A. Joyce. 2014. Alluvial stratigraphy and the search for Preceramic open-air sites in highland Mesoamerica. *Latin American Antiquity*. 25(3): 278-99.

Bradley, Bruce A. 1982. Flaked stone technology and typology. En *The Agate Basin Site: A Record of the Paleoindian Occupation of the Northwestern High Plains* (coords. George C. Frison y Dennis J. Stanford), pp. 181-202. New York: Academic Press.

Bradley, Bruce A., Michael B. Collins, Andrew Hemmings, Marilyn Shoberg y Jon C. Lohse. 2010. *Clovis Technology*. Ann Arbor: International Monographs in Prehistory.

Byers, Douglas S., coord. 1967. *The Prehistory of the Tehuacan Valley, vol. 1: Enviroment and Subsistence*. Austin: University of Texas Press.

Byland, Bruce E. y John M. D. Pohl. 1994. *In the Realm of 8 Deer*. Norman: University of Oklahoma Press.

Carballal Staedtler, Margarita, coord. 1997. *A propósito del Cuaternario: homenaje al profesor Francisco González Rul*. México: Instituto Nacional de Antropología e Historia.

Caso, Alfonso. 1938. *Exploraciones en Oaxaca: quinta y sexta temporadas, 1936-1937*. México: Instituto Panamericano de Geografía e Historia.

Ceballos, Gerardo, Joaquín Arroyo Cabrales y Eduardo Ponce. 2010. Effects of Pleistocene environmental changes on the distribution and community structure of the mammalian fauna of Mexico. *Quaternary Research*. 73: 464-73.

Corona Martínez, Eduardo. 2014. Algunas consideraciones sobre las relaciones entre el hombre y la fauna en los estudios de prehistoria en México. En *Perspectivas de los estudios de prehistoria en México: un homenaje a la trayectoria de Joaquín García Bárcena* (coords. Eduardo Corona Martínez y Joaquín Arroyo Cabrales), pp. 199-219. México: Instituto Nacional de Antropología e Historia.

Cruz, J. Alberto, Joaquín Arroyo Cabrales y Ramón Viñas Vallverdú. 2009. Tortugas fósiles del Pleistoceno tardío de Santiago Chazumba, Oaxaca. *Boletín de la Sociedad Geológica Mexicana*. 61: 225-32.

Doebley, John. 2004. The genetics of maize evolution. *Annual Review of Genetics*. 38: 37-59.

Faugère, Brigitte, coord. 2006. *Cueva de los Portales: un sitio arcaico del Norte de Michoacán, México*. México: Instituto Nacional de Antropología e Historia.

Ferrusquía Villafranca, Ismael, Joaquín Arroyo Cabrales, Enrique Martínez Hernández, Jorge Gama Castro, José Ruiz González, Oscar J. Polaco y Eileen Johnson. 2010. Pleistocene mammals of Mexico: A critical review of regional chronofaunas, climate change response and biogeographic provinciality. *Quaternary International*. 217: 53-104.

Flannery, Kent V. 1972. The origins of the village as a settlement type in Mesoamerica and the Near East: a comparative study. En *Man, Settlement, and Urbanism* (coords. Peter J. Ucko, Ruth Tringham y Geoffrey W. Dimbleby), pp. 23-53. London: Duckworth.

Flannery, Kent V. 1973. The origins of agriculture. *Annual Review of Anthropology*. 2: 271-310.

Flannery, Kent V., coord. 1976. *The Early Mesoamerican Village*. New York: Academic Press.

Flannery, Kent V., coord. 1986. *Guilá Naquitz: Archaic Foraging and Early Agriculture in Oaxaca, Mexico*. New York: Academic Press.

Flannery, Kent V. y Joyce Marcus. 2005. *Excavations at San José Mogote*, vol. 1: *The Household Archaeology*. Ann Arbor: Museum of Anthropology, University of Michigan.

Flannery, Kent V. y Ronald Spores. 1983. Excavated sites of the Oaxaca Preceramic. En *The Cloud People: Divergent Evolution of the Zapotec and Mixtec Civilizations* (coords. Kent V. Flannery y Joyce Marcus), pp. 20-6. New York: Academic Press.

Gaines, Edmund P., Guadalupe Sánchez y Vance T. Holliday. 2009. Paleoindian archaeology in northern and central Sonora, Mexico: a review and update. *Kiva*. 74: 305-55.

García Bárcena, Joaquín y Diana Santamaría. 1982. *La cueva de Santa Marta Ocozocoautla, Chiapas*. México: Instituto Nacional de Antropología e Historia.

Geurds, A. y M. Jansen. 2008. The ceremonial center of Monte Negro: A cognitive approach to urbanization in Ñuu Dzaui. En *El urbanismo en Mesoamérica* (coords. Alba Guadalupe Mastache, Robert H. Cobean, Ángel García Cook y Kenneth G. Hirth), pp. México: Instituto Nacional de Antropología e Historia.

González, Arturo H., Alejandro Terrazas Mata, Wolfgang Stinnesbeck, Martha E. Benavente, Jerónimo Avilés, Carmen Rojas, José Manuel Padilla, Adriana Velásquez, Eugenio Acevez y Eberhard Frey. 2013. The first human settlers on the Yucatan Peninsula: Evidence from drowned caves in the state of Quintana Roo (South Mexico) En *Paleoamerican Odyssey* (coords. Kelly E. Graf, Caroline V. Ketron y Michael R Waters), pp. 323-37. College Station: Center for the Study of the First Americans.

González, Silvia, José Concepción Jiménez López, Robert Hedges, David Huddart, James C. Ohman, Alan Turner y José Antonio Pompa y Padilla. 2003. Earliest humans in the Americas: new evidence from Mexico. *Journal of Human Evolution*. 44: 379-87.

González, Silvia, David Huddart, Isabel Israde Alcántara, Gabriela Domínguez Vázquez y James Bischoff. 2014. Tocuila mammoths, Basin of Mexico: Late Pleistocene-Early Holocene stratigraphy and the geological context of the bone accumulation. *Quaternary Science Reviews*. 96: 222-39.

González, Silvia, David Huddart, Isabel Israde Alcántara, Gabriela Domínguez Vázquez, James Bischoff y Nicholas Felstead. 2015. Paleoindian sites from the Basin of Mexico: Evidence from stratigraphy, tephrochronology and dating. *Quaternary International*. 363: 4-19.

Gruhn, Ruth, Alan Lyle Bryan y Jack D. Nance. 1977. Los Tapiales: A Paleo-Indian campsite in the Guatemalan highlands. *Proceedings of the American Philosophical Society*. 121(3): 235-73.

Jiménez Hidalgo, E., R. Guerrero Arenas, B. J. MacFadden y L. Cabrera Pérez. 2011. The Late Pleistocene (Rancholabrean) Viko Vijin local fauna from the Mixteca Alta, northwestern Oaxaca, southern Mexico. *Revista Brasileira de Paleontología*. 14: 15-28.

Jiménez López, José Concepción, coord. 2010. *III simposio internacional. El hombre Temprano en América*. México: Instituto Nacional de Antropología e Historia.

Jiménez López, José Concepción, Rocío Hernández Flores, Gloria Martínez Sosa y Gabriel Saucedo Arteaga. 2006a. La mujer del Peñon III. En *El hombre temprano en América y sus implicaciones en el poblamiento de la cuenca de México: primer simposio internacional* (coords. José Concepción Jiménez López, Silvia González, José Antonio Pompa y Padilla y Francisco Ortiz Pedraza), pp. 49-66. México: Instituto Nacional de Antropología e Historia.

Jiménez López, José Concepción, Silvia González, José Antonio Pompa y Padilla y Francisco Ortiz Pedraza, coords. 2006b. *El hombre temprano en América y sus implicaciones en el poblamiento de la cuenca de México: primer simposio internacional*. México: Instituto Nacional de Antropología e Historia.

Jiménez López, José Concepción, Carlos Serrano Sánchez, Arturo González González y Felisa J. Aguilar Arellano, coords. 2011. *IV Simposio Internacional: El hombre temprano en América*. México: Instituto Nacional de Antropología e Historia.

Jiménez López, José Concepción, Gloria Martínez Sosa y Rocío Hernández Flores. 2014. Primeras evidencias humanas en la cuenca de México. En *Perspectivas de los estudios de prehistoria en México: un homenaje a la trayectoria de Joaquín García Bárcena* (coords. Eduardo Corona Martínez y Joaquín Arroyo Cabrales), pp. 169-88. México: Instituto Nacional de Antropología e Historia.

Johnson, Eileen, Joaquín Arroyo Cabrales y Oscar J. Polaco. 2006. Climate, environment, and game animal resources of the late Pleistocene Mexican grassland. En *El hombre temprano en América y sus implicaciones en el poblamiento de la cuenca de México: primer simposio internacional* (coords. José Concepción Jiménez López, Silvia González, José Antonio Pompa y Padilla y Francisco Ortiz Pedraza), pp. 231-45. México: Instituto Nacional de Antropología e Historia.

Johnson, Eileen, Joaquín Arroyo Cabrales y Luis Morett 2012. Mammoth bone technology at Tocuila in the Basin of Mexico. En *Bones for Tools - Tools for Bones: the Interplay Between Objects and Objectives* (coords. Krish Seetah y Brad Gravina), pp. 97-113. Cambridge: McDonald Institute for Archaeological Research.

Joyce, Arthur A. y Raymond G. Mueller. 1997. Prehispanic human ecology of the Río Verde drainage basin, Mexico. *World Archaeology*. 29: 75-94.

Joyce, Arthur A., Aleksander Borejsza, Johnrobert Koukopoulos, William D. Middleton, Jorge Alberto Ortiz Hernández y Isabel Rodríguez López. 2012. Informe técnico del proyecto arqueológico "Agricultura temprana en la cuenca superior del Río Verde". Informe presentado al Consejo de Arqueología, Instituto Nacional de Antropología e Historia.

Kennett, Douglas J., Dolores R. Piperno, John G. Jones, Hector Neff, Barbara Voorhies, Megan K. Walsh y Brendan J. Culleton. 2010. Pre-pottery farmers on the Pacific coast of southern Mexico. *Journal of Archaeological Science*. 37: 3401-11.

Killion, Thomas W. 2013. Nonagricultural cultivation and social complexity: the Olmec, their ancestors, and Mexico's southern Gulf coast lowlands. *Current Anthropology*. 54: 569-606.

Kirkby, Michael. 1972. *The Physical Environment of the Nochixtlan Valley, Oaxaca, Publications in Anthropology*. Nashville: Vanderbilt University.

Kowalewski, Stephen A., Andrew K. Balkansky, Laura R. Stiver Walsh, Thomas J. Pluckhahn, John F. Chamblee, Verónica Pérez Rodríguez, Verenice Y. Heredia Espinoza y Charlotte A. Smith. 2009. *Origins of the Ñuu: Archaeology in the Mixteca Alta, Mexico*. Boulder: University Press of Colorado.

Leigh, David S., Stephen A. Kowalewski y Genevieve Holdridge. 2013. 3400 years of agricultural engineering in Mesoamerica: lama-bordos of the Mixteca Alta, Oaxaca, Mexico. *Journal of Archaeological Science*. 40: 4107-11.

Lesure, Richard G. 2008. The neolithic demographic transition in Mesoamerica? Larger implications of the strategy of relative chronology. En *The Neolithic Demographic Transition and its Consequences* (coords. Jean-Pierre Bocquet-Appel y Ofer Bar-Yosef), pp. 107-38. New York: Springer.

Lohse, Jon C. 2010. Archaic origins of the Lowland Maya. *Latin American Antiquity*. 21: 312-52.

Lohse, Jon C. 2011. Step by step: the Influence of reduction sequence models on understanding learning and skill transmission. *Lithic Technology*. 36(2): 97-108.

Lohse, Jon C., Jaime J Awe, Cameron Griffith, Robert M Rosenswig y Fred Valdez. 2006. Preceramic occupations in Belize: updating the Paleoindian and Archaic record. *Latin American Antiquity*. 17(2): 209-26.

Lohse Jon C., Michael B. Collins y Bruce Bradley. 2014a. Controlled overshot flaking: a response to Eren, Patten, O'Brien, and Meltzer. *Lithic Technology*. 39: 46-54.

Lohse, Jon C., C. Andrew Hemmings, Michael B. Collins y David M. Yelacic. 2014b. Putting the specialization back in Clovis: what some caches reveal about skill and the organization of production in the Terminal Pleistocene. En *Clovis Caches: Recent Discoveries and New Research* (coords. Bruce B. Huckell y David J. Kilby), pp. 153-175. Albuquerque: University of New Mexico Press.

Lohse, Jon C., Isabel Rodríguez López y Aleksander Borejsza. 2015. Informe del análisis de artefactos recuperados por el proyecto "Agricultura temprana en la cuenca superior del Río Verde" durante la temporada de campo 2012. Informe presentado al Consejo de Arqueología, Instituto Nacional de Antropología e Historia.

López Corral, Aurelio y Gabriela Uruñuela y Ladrón de Guevara. 2013. Capacidad de almacenamiento en pozos tronco-cónicos de Cholula, Puebla. En *Almacenamiento prehispánico del Norte de México al Altiplano Central* (coords. Séverine Bortot, Dominique Michelet y Véronique Darras), pp. 61-72. México: Centre d'Etudes Mexicaines et Centraméricaines.

Lorenzo, José Luis. 1958. *Un sitio precerámico en Yanhuitlán, Oaxaca*. México: Instituto Nacional de Antropología e Historia.

Lorenzo, José Luis. 1967. *La etapa lítica en México*. México: Departamento de Prehistoria, Instituto Nacional de Antropología e Historia.

Lorenzo, José Luis y Lorena Mirambell, coords. 1986. *Tlapacoya: 35 000 años de historia del lago de Chalco*. México: Instituto Nacional de Antropología e Historia.

MacNeish, Richard S. 1958. *Preliminary Archaeological Investigations in the Sierra de Tamaulipas, México*. Philadelphia: American Philosophical Society.

MacNeish, Richard S. 1981. Tehuacan's accomplishments. En *Supplement to the Handbook of Middle American Indians, vol. 1: Archaeology* (coord. J.A. Sabloff), pp. 31-47. Austin: University of Texas Press.

MacNeish, Richard S. y Mary W. Eubanks. 2000. Comparative analysis of the Río Balsas and Tehuacan models for the origin of maize. *Latin American Antiquity*. 11: 3-20.

MacNeish, Richard S. y Ángel García Cook. 1975. Excavations in the San Marcos locality in the travertine slopes. En *The Prehistory of the Tehuacan Valley, vol. 5: Excavations and Reconnaissance* (coords. Richard S. MacNeish, Melvin L. Fowler, Ángel García Cook, Frederick A. Peterson, Antoinette Nelken-Turner y James A. Neely), pp. 137-60. Austin: University of Texas Press.

MacNeish, Richard S., Melvin L. Fowler, Ángel García Cook, Frederick A. Peterson, Antoinette Nelken-Turner y James A. Neely. 1975. *The Prehistory of the Tehuacan Valley*, vol. 5: *Excavations and Reconnaissance*. Austin: University of Texas Press.

Manzanilla, Linda. 1985. El sitio de Cuanalan en el marco de las comunidades pre-urbanas del Valle de Teotihuacan. En *Mesoamérica y el Centro de México* (coords. J. Manjarás Ruiz, E. Pérez Rocha y R. Brambila), pp. 133-78. México: Instituto Nacional de Antropología e Historia.

Marcus, Joyce y Kent V. Flannery. 1996. *Zapotec Civilization: How Urban Society Evolved in Mexico's Oaxaca Valley*. New York: Thames and Hudson.

McClung de Tapia, Emily y Guillermo Acosta Ochoa. 2015. Una ocupación del periodo de agricultrua temprana en Xochimilco (*ca.* 4200-400 a.n.e.). *Anales de Antropología*. 49(II): 299-315.

Mead, Jim I., Arturo Baez, Sandra L. Swift, Jon Lohse y Lorena Paiz. 2012. Late Pleistocene mammals from Chivacabé, Huehuetenango, Guatemala. *Revista mexicana de ciencias geológicas*. 29: 319-29.

Mirambell, Lorena. 2000. Los primeros pobladores del actual territorio mexicano. En *Historia Antigua de México, vol. 1: El México antiguo, sus áreas culturales, los orígenes y el horizonte Preclásico* (coords. Linda Manzanilla y Luján Leonardo López), pp. 223-54. México: Instituto Nacional de Antropología e Historia.

Mirambell, Lorena, coord. 2012. *Rancho "La Amapola", Cedral. Un sitio arqueológico-paleontológico pleistocénico-holocénico con restos de actividad humana*. México: Instituto Nacional de Antropología e Historia.

Mirambell, Lorena y Luis Morett Alatorre. 2010. El tránsito a la agricultura. *Arqueo-Ciencias*. 5: 5-13.

Morales Mejía, Fabiola Montserrat, Joaquín Arroyo Cabrales y Oscar J. Polaco. 2009. New records for the Pleistocene mammal fauna from Loltún Cave, Yucatán, México. *Current Research in the Pleistocene*. 26: 166-8.

Morett Alatorre, Luis y Joaquín Arroyo Cabrales. 2003. *El yacimiento paleontológico de Tocuila*. Chapingo: Museo Nacional de Agricultura.

Morett Alatorre, Luis, Silvia González, Joaquín Arroyo Cabrales, Óscar J. Polaco, Graham J. Sherwood y Alan Turner. 2003. The Late Pleistocene

paleoenvironment of the Basin of Mexico - evidence from the Tocuila mammoth site. *Deinsea*. 9: 267-72.

Mueller, Raymond G. y Lucia Pou. 2011. Investigación geológica en la Cuenca Superior del Río Verde. En *Informe global del Proyecto Río Verde*. Informe presentado al Consejo de Arqueología, Instituto Nacional de Antropología e Historia.

Mueller, Raymond G., Arthur A. Joyce y Aleksander Borejsza. 2012. Alluvial archives of the Nochixtlan valley, Oaxaca, Mexico: age and significance for reconstructions of environmental change. *Palaeogeography, Palaeoclimatology, Palaeoecology*. 321-322: 121-36.

Niederberger, Christine. 1976. *Zohapilco: cinco milenios de ocupación humana en un sitio lacustre de la Cuenca de México*. México: Instituto Nacional de Antropología e Historia.

Pearson, Georges A. 2002. Pan-Continental Paleoindian Expansions and Interactions as Viewed from the Earliest Lithic Industries of Lower Central America. Tesis de doctorado, Department of Anthropology, University of Kansas, Lawrence.

Pearson, Georges A. 2004. Pan-American Paleoindian dispersals and the origins of fishtail projectil points as seen through the lithic raw-material reduction strategies and tool-manufacturing techniques at the Guardería site, Turrialba Valley, Costa Rica. En *The Settlement of the American Continents: a Multidisciplinary Approach to Human Biogeography* (coords. M. Barton, G. A. Clark, D. R. Yesner y G. A. Pearson), pp. 85-102. Tucson: University of Arizona Press.

Pérez Crespo, Víctor Adrían, Joaquín Arroyo Cabrales y Antonio Santos Moreno. 2008. Generalidades de los mamíferos del Pleistoceno Tardío de Oaxaca. *Naturaleza y desarrollo*. 6(2): 5-11.

Pérez Crespo, Víctor Adrián, Luis M. Alva Valdivia, Joaquín Arroyo Cabrales y Oscar J. Polaco. 2010. Uso de los marcadores biogeoquímicos $\delta^{13}C$ y $\delta^{18}O$ en paleoecología de tetrápodos. *Arqueo-Ciencias*. 5: 15-27.

Pérez Crespo, Víctor Adrián, Joaquín Arroyo Cabrales, Mouloud Benammi, Eileen Johnson, Oscar J. Polaco, Antonio Santos Moreno, Pedro Morales Puente y Edith Cienfuegos Alvarado. 2012. Geographic variation of diet and habitat of the Mexican populations of Columbian mammoth (*Mammuthus columbi*). *Quaternary International*. 276-277: 8-16.

Pérez Rodríguez, Verónica. 2013. Recent advances in Mixtec Archaeology. *Journal of Archaeological Research*. 21: 75-121.

Pérez Rodríguez, Verónica y Kirk C. Anderson. 2013. Terracing in the Mixteca Alta, Mexico: cycles of resilience of an ancient land-use strategy. *Human Ecology*. 41: 335-49.

Pérez Rodríguez, Verónica, Kirk C. Anderson y Margaret K. Neff. 2011. The Cerro Jazmín Archaeological Project: investigating prehispanic urbanism and its environmental impact in the Mixteca Alta, Oaxaca, Mexico. *Journal of Field Archaeology*. 36: 83-99.

Piperno, Dolores R. 2011. The origins of plants cultivation and domestication in the New World tropics: Patterns, process, and new developments. *Current Anthropology*. 52: 453-70.

Piperno, Dolores R., J. Enrique Moreno, J. Iriarte, Irene Holst, Matthew Lachniet, John G. Jones, Anthony J. Ranere y R. Castanzo. 2007. Late Pleistocene and Holocene environmental history of the Iguala valley, central Balsas watershed of Mexico. *Proceedings of the National Academy of Sciences*. 104: 11874-81.

Piperno, Dolores y Kent V. Flannery. 2001. The earliest archaeological maize (*Zea mays* L.) from Highland Mexico: New accelerator mass spectrometry dates and their implications. *Proceedings of the National Academy of Sciences*. 98: 2101-3.

Plunket, Patricia. 1983. An Intensive Survey in the Yucuita Sector of the Nochixtlan Valley, Oaxaca. Tesis de doctorado, Tulane University, New Orleans.

Prado, José Luis, Joaquín Arroyo Cabrales, Eileen Johnson, María Teresa Alberdi y Oscar J. Polaco. En prensa. New World proboscidean extinctions: Comparisons between North and South America. *Archaeological and Anthropological Sciences*. doi: 10.1007/s12520-012-0094-3.

Ranere, Anthony J., Dolores R. Piperno, Irene Holst, Ruth Dickau y José Iriarte. 2009. The cultural and chronological context of early Holocene maize and squash domestication in the central Balsas River valley, Mexico. *Proceedings of the National Academy of Sciences*. 106: 5014-8.

Reyna Robles, Rosa María. 1976. Salvamento arqueológico en la periferia de la Ciudad de México, una experiencia. En *Las fronteras de Mesoamérica*, pp. 81-8. México: Sociedad Mexicana de Antropología.

Robles García, Nelly M. 1986. Arquitecturas de las unidades domésticas en la Mixteca Alta. *Cuadernos de Arquitectura Mesoamericana*. 7: 27-36.

Robles García, Nelly M. 1988. *Las unidades domésticas del Preclásico superior en la Mixteca Alta*. Oxford: British Archaeological Reports.

Robles García, Nelly M. y Antonio Martínez Tuñón. 2011. Paisajes prehistóricos en Oaxaca: avances en la investigación de las cuevas prehistóricas de Yagul y Mitla. En *Monte Albán en la encrucijada regional y disciplinaria. Memoria de la Quinta Mesa Redonda de Monte Albán* (coords. Nelly M. Robles García y Ángel Rivera Guzmán), pp. 93-118. México: Instituto Nacional de Antropología e Historia.

Rodríguez López, Isabel, Aleksander Borejsza y Luis Morett Alatorre. 2006. Formative bell-shaped pits as storage devices: insights from experimental replicas. Cartel presentado en la 71a Reuníon Anual de la Society for American Archaeology, San Juan, Puerto Rico.

Rzedowski, Jerzy. 2006. *Vegetación de México*. México: Comisión Nacional para el Conocimiento y Uso de la Biodiversidad.

Sánchez, Guadalupe. 2001. A synopsis of Paleo-Indian archaeology in Mexico. *Kiva*. 67: 119-36.

Sánchez, Guadalupe. 2016. *Los primeros mexicanos: Late Pleistocene and Early Holocene People of Sonora*. Tucson: University of Arizona Press.

Sánchez, Guadalupe y John Carpenter. 2009. La industria lítica Clovis sonorense del Pleistoceno tardío/ Holoceno temprano: una mirada desde el sitio Clovis de El Bajío. En *Investigaciones recientes sobre la lítica arqueológica* (coords. Lorena Mirambell y Leticia González Arratia), pp. 19-36. México: Instituto Nacional de Antropología e Historia.

Sánchez Miranda, Guadalupe, Edmund P. Gaines y Vance T. Holliday. 2009. El Fin del Mundo, Sonora. Cazadores Clovis de megafauna del Pleistoceno terminal. *Arqueología mexicana*. 17(97): 46-9.

Sánchez, Guadalupe, Vance T. Holliday, Edmund P. Gaines, Joaquín Arroyo Cabrales, Natalia Martínez Tagüeña, Andrew Kowler, Todd Lange, Gregory W. L. Hodgins, Susan M. Mentzer y Ismael Sánchez Morales. 2014. Human (Clovis)–gomphothere (*Cuvieronius* sp.) association ~13,390 calibrated yBP in Sonora, Mexico. *Proceedings of the National Academy of Sciences*. 111: 10972-7.

Sánchez, Guadalupe, Vance T. Holliday, John Carpenter y Edmund Gaines. 2015. Sonoran Clovis groups: lithic technological organization and land use. En *Clovis: On the Edge of a New Understanding* (coords. Ashley Smallwood, M. y Thomas A. Jennings), pp. 243-61. College Station: Texas A&M University Press.

Santamaría, Diana. 1981. Preceramic occupations at Los Grifos rockshelter, Chiapas, Mexico. En *Miscelanea del X Congreso de la Unión Internacional de Ciencias Prehistóricas y Protohistoricas* (coords. Joaquín García Bárcena y Fernando Sánchez Marínez), pp. 63-83. México: Instituto Nacional de Antropología e Historia.

Santamaría Estévez, Diana. 2014. Los sitios precerámicos de Chiapas: 1974-1984. En *Perspectivas de los estudios de prehistoria en México: un homenaje a la trayectoria de Joaquín García Bárcena* (coords. Eduardo Corona Martínez y Joaquín Arroyo Cabrales), pp. 49-62. México: Instituto Nacional de Antropología e Historia.

Santamaría Estévez, Diana y Joaquín García-Bárcena. 1984a. *Raederas y raspadores de Los Grifos*. México: Instituto Nacional de Antropología e Historia.

Santamaría Estévez, Diana y Joaquín García-Bárcena. 1984b. *Raspadores verticales de la Cueva de los Grifos*. México: Instituto Nacional de Antropología e Historia.

Santamaría Estévez, Diana y Joaquín García-Bárcena. 1989. *Puntas de proyectil, cuchillos y otras herramientas sencillas de Los Grifos*. México: Instituto Nacional de Antropología e Historia.

Scheffler, Timothy E., Kenneth G. Hirth y George Hasemann. 2012. The El Gigante Rockshelter: Preliminary observations on an early to late Holocene occupation in Southern Honduras. *Latin American Antiquity*. 23(4): 597-610.

Smallwood, Ashley M. 2010 Clovis biface technology at the Topper Site, South Carolina: evidence for variation and technological flexibility. *Journal of Archaeological Science*. 37: 2413-25.

Smith, Bruce D. 2005. Reassessing Coxcatlan Cave and the early history of domesticated plants in Mesoamerica. *Proceedings of the National Academy of Sciences*. 102: 9438-45.

Solís Castillo, Berenice, Elizabeth Solleiro Rebolledo, Sergey Sedov y César Salcido Berkovich. 2012. Paleosuelos en secuencias coluvio–aluviales del Pleistoceno – Holoceno en Tlaxcala: registros paleoambientales del poblamiento temprano en el centro de México. *Boletín de la Sociedad Geológica Mexicana*. 64(1): 91-108.

Spores, Ronald. 1969. Settlement, farming technology, and environment in the Nochixtlán Valley. *Science*. 166: 557-69.

Spores, Ronald. 1972. *An Archaeological Settlement Survey of the Nochixtlan Valley, Oaxaca, Publications in Anthropology*. Nashville: Vanderbilt University.

Spores, Ronald. 1974. *Stratigraphic Excavations in the Nochixtlan Valley, Oaxaca*. Nashville: Vanderbilt University.

Staller, John E., Robert H. Tykot y Bruce F. Benz, coords. 2006. *Histories of Maize: Multidisciplinary Approaches to the Prehistory, Linguistics, Biogeography, Domestication, and Evolution of Maize*. Amsterdam: Elsevier.

Tovar, Rosa E., Sergey Sedov, Berenice Solís y Elizabeth Solleiro. 2013. Dark humic alluvial paleosols in Central and Southern Mexico: Micromorphological indicators of Late Pleistocene megafauna habitats. *Spanish Journal of Soil Science*. 3(3): 217-35.

Tovar, Rosa E., Sergey Sedov, Marisol Montellano Ballesteros y Elizabeth Solleiro. 2014a. The alluvial sequence of Santa Cruz Nuevo, Mexico: paleoecological interpretation of fossil vertebrates and pedosediments from marine isotope stage 3. *Revista mexicana de ciencias geológicas*. 31(3): 407-19.

Tovar, Rosa E., Sergey Sedov, Marisol Montellano Ballesteros, Elizabeth Solleiro y Mouloud Benammi. 2014b. Paleosols, bones, phytoliths, and $\delta^{13}C$ signatures of humus and teeth in the alluvial sequence of Axamilpa, Puebla: Inferences for landscape evolution and megafauna paleoecology during MIS 3–2 in Southern Mexico. *Catena*. 112: 25-37.

Uruñuela y Ladrón de Guevara, Gabriela y Patricia Plunket. 2013. De tronco-cónicos a cuexcomates: hacia la exhibición del almacenamiento a finales del Formativo. En *Almacenamiento prehispánico: del Norte de México al Altiplano Central* (coords. Séverine Bortot, Véronique Darras y Dominique Michelet), pp. 41-60. México: Centre d'Etudes Mexicaines et Centraméricaines.

Viñas Vallverdú, Ramón, Joaquín Arroyo Cabrales, Irán I. Rivera González, Xosé Pedro Rodríguez Álvarez, Albert Rubio Mora, Itzel N. Eudave Eusebio, Óscar Solís Torres y Ciprian F. Ardelean. 2017. Recent archaeo-palaeontological findings from Barranca del Muerto site, Santiago Chazumba, Oaxaca, México. *Quaternary International*. 431: 168-80.

Voorhies, Barbara. 2004. *Coastal Collectors in the Holocene: the Chantuto People of Southwest Mexico*. Gainesville: University Press of Florida.

Voorhies, Barbara. 2013. The deep prehistory of Indian gaming: possible Late Archaic period game boards at the Tlacuachero shellmound, Chiapas, Mexico. *Latin American Antiquity*. 24: 98-115.

Voorhies, Barbara, Douglas J. Kennett, John G. Jones y Thomas A. Wake. 2002. A Middle Archaic archaeological site on the west coast of Mexico. *Latin American Antiquity*. 13: 179-200.

Waters, Michael R. y Thomas W. Stafford. 2007. Redefining the age of Clovis: implications for the peopling of the Americas. *Science*. 315: 1122-6.

Webb, Elizabeth A., Henry P. Schwarcz, Christopher T. Jensen, Richard E. Terry, Matthew D. Moriarty y Kitty F. Emery. 2007. Stable carbon isotope signature of ancient maize agriculture in the soils of Motul de San José, Guatemala. *Geoarchaeology*. 22: 291-312.

Webster, David L. 2011. Backward bottlenecks: ancient teosinte/maize selection. *Current Anthropology*. 52: 77-104.

Winter, Marcus C. 1972. Tierras Largas: A Formative Community in the Valley of Oaxaca. Tesis de doctorado, University of Arizona, Tucson.

Winter, Marcus C. 1976. The archaeological household cluster in the Valley of Oaxaca. En *The Early Mesoamerican Village* (coord. Kent V. Flannery), pp. 25-31. New York: Academic Press.

Winter, Marcus. 1982. *Guía de la zona arqueológica de Yucuita*. Oaxaca: Instituto Nacional de Antropología e Historia.

Winter, Marcus. 1994. The Mixteca prior to the Late Postclassic. En *Mixteca-Puebla: Discoveries and Research in Mesoamerican Art and Archaeology* (coords. Henry B. Nicholson y Eloise Quiñones Keber), pp. 201-21. Culver City: Labyrinthos.

Winter, Marcus. 2011. Las ocupaciones paleo-americanas en Oaxaca: hallazgos recientes. En *Monte Albán en la encrucijada regional y disciplinaria. Memoria de la Quinta Mesa Redonda de Monte Albán* (coords. Nelly M. Robles García y Ángel Rivera Guzmán), pp. 73-92. México: Instituto Nacional de Antropología e Historia.

Wright, David R., Richard E. Terry y Markus Eberl. 2009. Soil properties and stable carbon isotope analysis of landscape features in the Petexbatún region of Guatemala. *Geoarchaeology*. 24: 466-91.

Zárate, Roberto. 1987. *Excavaciones de un sitio preclásico en San Mateo Etlatongo Nochixtlán, Oaxaca, México*. Oxford: British Archaeological Reports.

Zizumbo Villarreal, Daniel y Patricia Colunga García Marín. 2010. Origin of agriculture and plant domestication in West Mesoamerica. *Genetic Resources and Crop Evolution*. 57: 813-25.

Zizumbo Villarreal, Daniel, Alondra Flores Silva y Patricia Colunga García Marín. 2012. The Archaic diet in Mesoamerica: incentive for milpa development and species domestication. *Economic Botany*. 66: 328-43.